

Feststoffmanagement im Mühlviertel und im Bayerischen Wald

Anhang

Studie im Auftrag

Bayerisches Landesamt für
Umwelt



Wasserwirtschaftsamt
Deggendorf



mit finanzieller Unterstützung



gefördert durch



Projektleitung

Priv.-Doz. Dipl.-Ing. Dr. Christoph Hauer
Univ.-Prof. Dipl.-Ing. Dr. Helmut Habersack

Projektkoordination

Priv.-Doz. Dipl.-Ing. Dr. Christoph Hauer
Wien, Juli 2015



Bearbeitung durch:

*Institut für Wasserwirtschaft, Hydrologie und Konstruktiven Wasserbau,
Department für Wasser – Atmosphäre – Umwelt, Universität für Bodenkultur
Wien, Muthgasse 107, 1190 Wien, Österreich*



*Blattfisch - Technisches Büro für Gewässerökologie, DI Clemens Gumpinger,
Gabelsbergerstraße 7, 4600 Wels*



*Institut für Hydrobiologie und Gewässermanagement, Department Wasser –
Atmosphäre - Umwelt, Universität für Bodenkultur Wien, Max-Emanuelstrasse
17, 1180 Wien, Österreich*



Zitiervorschlag:

Hauer, C., Höfler, S., Dossi, F., Flödl, P., Graf, G., Graf, W., Gstöttenmayr, D., Gumpinger, C., Holzinger, J., Huber, T., Janecek, B., Kloibmüller, A., Leitner, P., Lichtneger, P., Mayer, T., Ottner, F., Riechl, D., Sporcka, F., Wagner, B., Habersack, H. (2015): Feststoffmanagement im Mühlviertel und im Bayerischen Wald. Anhang. Studie im Auftrag des Amtes der Oberösterreichischen Landesregierung, gefördert durch das BMLFUW und das Interreg Programm Bayern – Österreich 2007 - 2013. Wien, 440 S.

Bearbeitung IWHW:

Bsc. Peter Flödl

Dipl.-Ing. Tobias Mayer

Bsc. Alexander Kloibmüller

Dipl.-Ingⁱⁿ. Beatrice Wagner

Bsc. Daniela Riechl

Bsc. Jacob Holzinger

Dr. Petr Lichtneger

Priv.-Doz. Dipl.-Ing. Dr. Christoph Hauer

Bearbeitung Blattfisch:

Dipl.-Ingⁱⁿ. Sarah Höfler (Projektleitung Blattfisch)

MSc Daniela Gstöttenmayr

Dipl.-Ing. Clemens Gumpinger

Bearbeitung IHG:

Dipl.-Ing. Dr. Patrick Leitner

Ass. Prof. Dr. Wolfram Graf (Projektleitung IHG)

Dipl.-Ing. Thomas Huber

Dr. Berthold Janecek

Dr. Ferdinand Sporka

Dipl.-Ing. Florian Dossi

Gerald Graf

Bearbeitung IAG:

Ao. Univ.-Prof. Dr. Franz Ottner

ANHANG

Teil 1 – Sedimentprobenentnahme / Korngrößenanalyse

1. Rodl	5
2. Große Mühl	32
3. Kleine Mühl	65
4. Osterbach	84
5. Gusen	102
6. Aist	130
7. Naarn	178
8. Erlau	200

Teil 1

Sedimentprobenentnahme / Korngrößenanalyse

1. Rodl

Dieses Kapitel umfasst die Ergebnisse der Probenentnahme an der Rodl. Es wurden nach Möglichkeit bei jedem Entnahmepunkt (siehe folgende Abbildung) links und rechts eine Probe entnommen. In den folgenden Abbildungen werden die daraus resultierenden Kornverteilungskurven und die dazugehörigen Fotos dokumentiert.

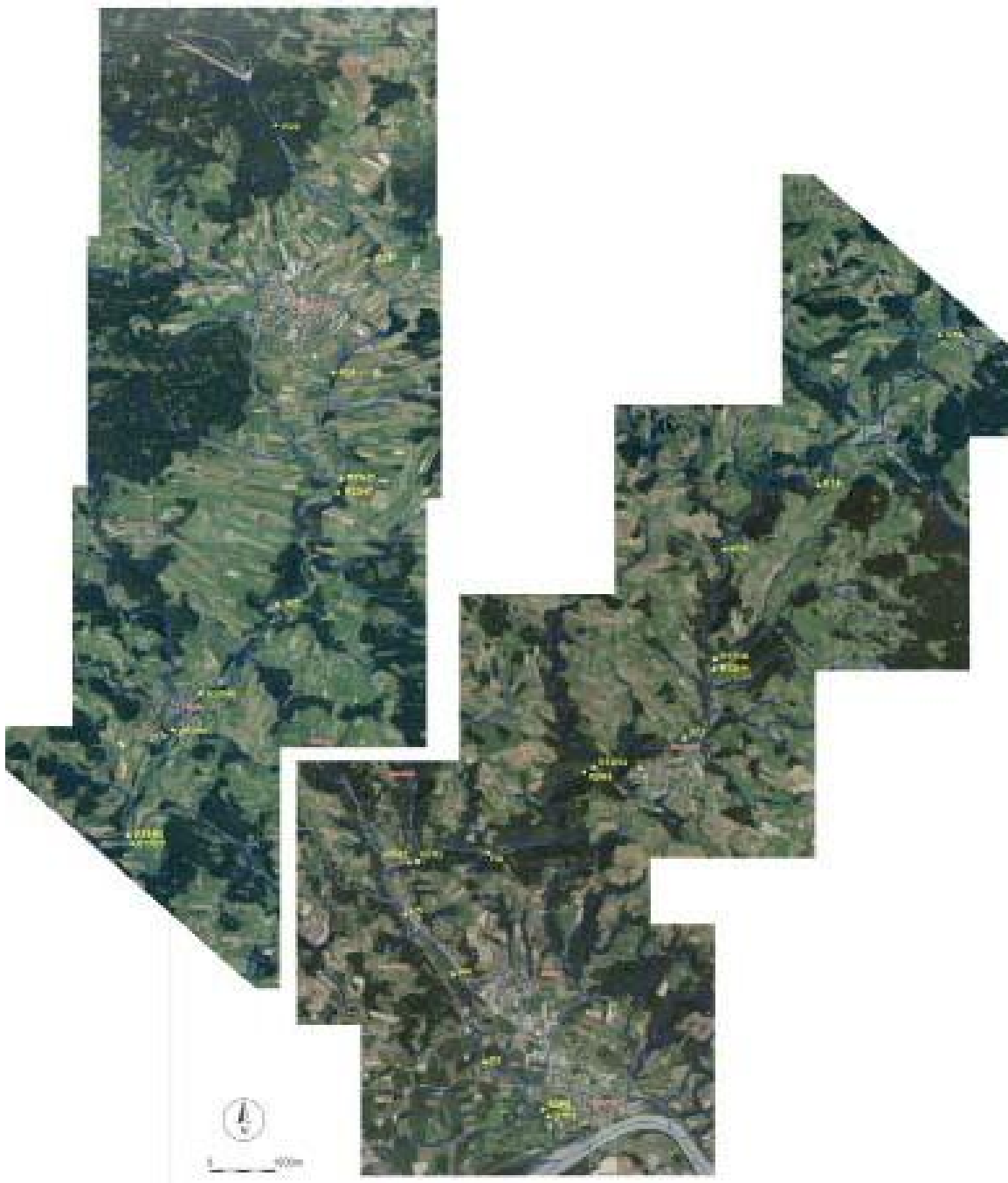


Abbildung 1: Probenentnahmepunkte – RODL.

1.1. R1H1



Abbildung 2: R1H1 - Blickrichtung flussaufwärts



Abbildung 3: R1H1 - Profilsicht



Abbildung 4: R1H1 - Entnahmestelle links



Abbildung 5: R1H1 - Entnahmestelle rechts

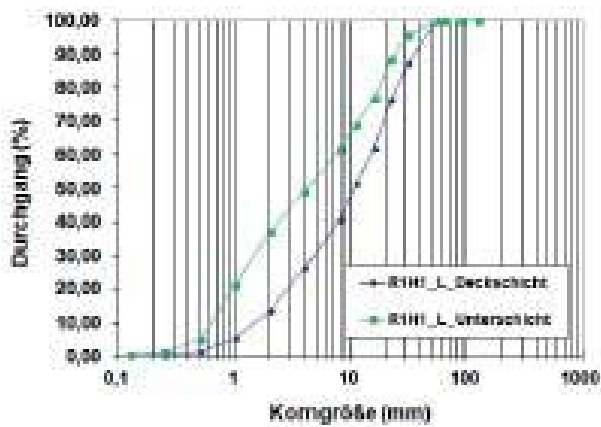


Abbildung 6: R1H1 - Kornverteilungskurve links

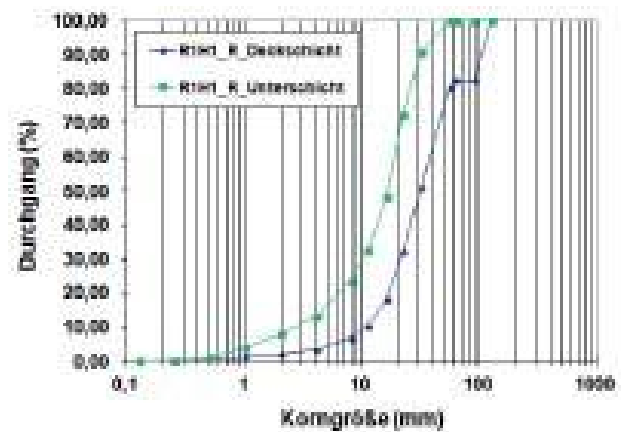


Abbildung 7: R1H1 - Kornverteilungskurve rechts

1.2. R2H1



Abbildung 8: R2H1 - Blickrichtung flussaufwärts



Abbildung 9: R2H1 - Profilsicht



Abbildung 10: R2H1 - Entnahmestelle links



Abbildung 11: R2H1 - Entnahmestelle rechts

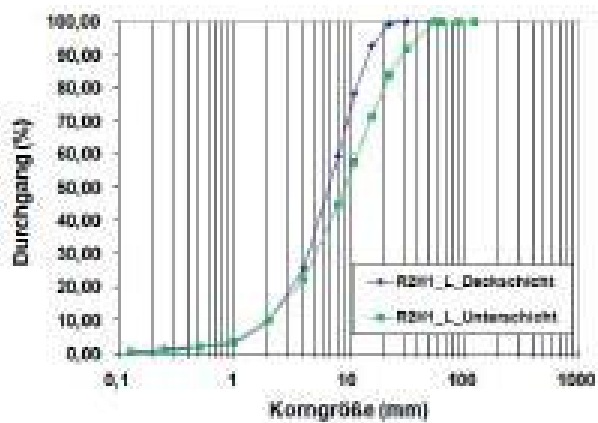


Abbildung 12: R4 - Kornverteilungskurve links

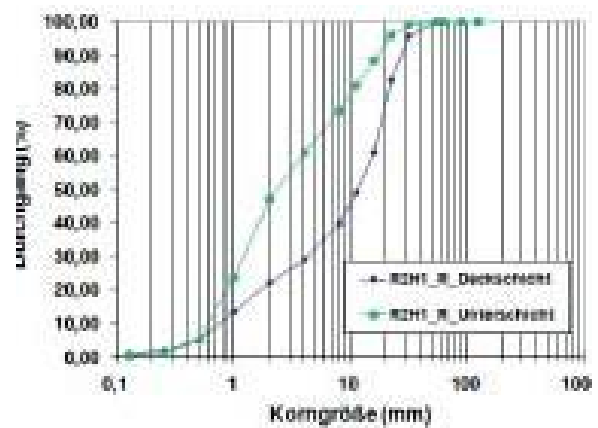


Abbildung 13: R2H1 - Kornverteilungskurve rechts

1.3. R3



Abbildung 14: R3H1 - Blickrichtung flussaufwärts



Abbildung 15: R3H1 - Profilansicht



Abbildung 16: R3H1 - Entnahmestelle links



Abbildung 17: R3H1 - Entnahmestelle rechts

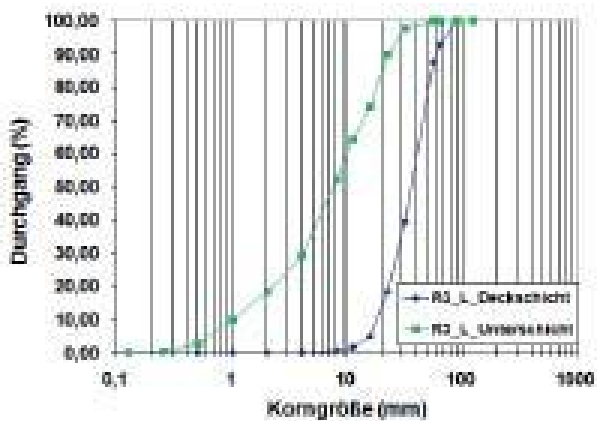


Abbildung 18: R3 - Kornverteilungskurve links

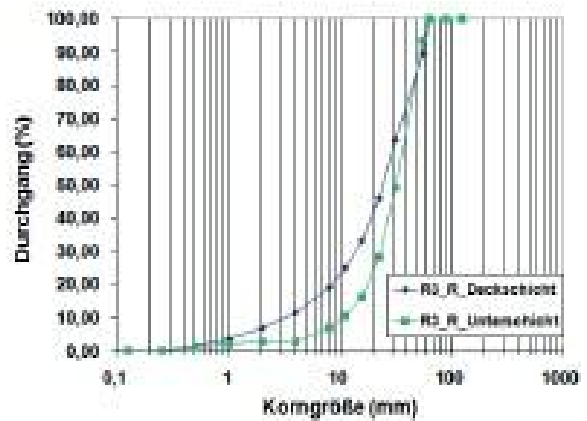


Abbildung 19: R3H1 - Kornverteilungskurve rechts

1.4. R4



Abbildung 20: 2 R4 - Blickrichtung flussaufwärts



Abbildung 21: R4 - Profilsicht



Abbildung 22: R4 - Entnahmestelle links

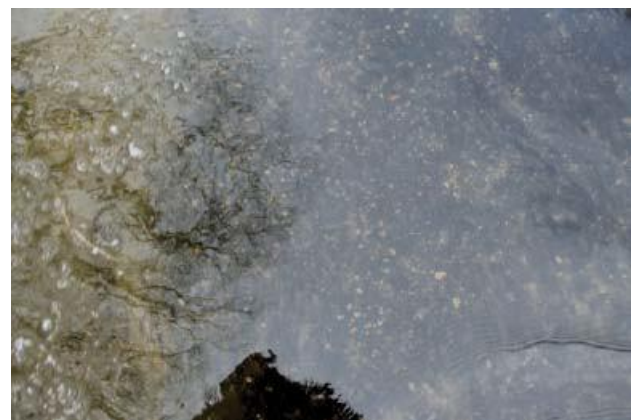


Abbildung 23: R4 - Entnahmestelle rechts

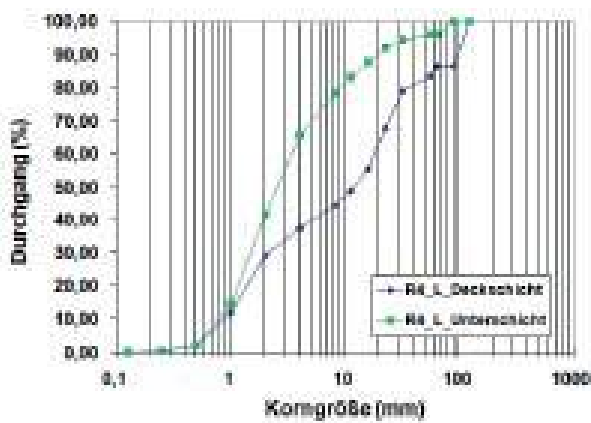


Abbildung 24: R4 - Kornverteilungskurve links

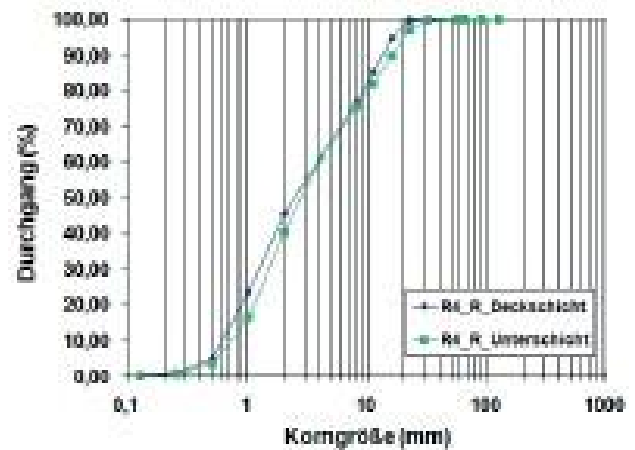


Abbildung 25: R4 - Kornverteilungskurve rechts

1.5. R5



Abbildung 26: R5 - Blickrichtung flussaufwärts



Abbildung 27: R5 - Profilansicht



Abbildung 28: R5 - Entnahmestelle links



Abbildung 29: R5 - Entnahmestelle rechts

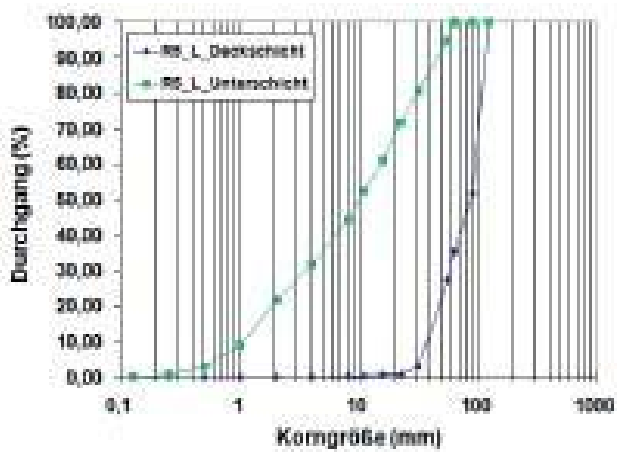


Abbildung 30: R5 - Kornverteilungskurve links

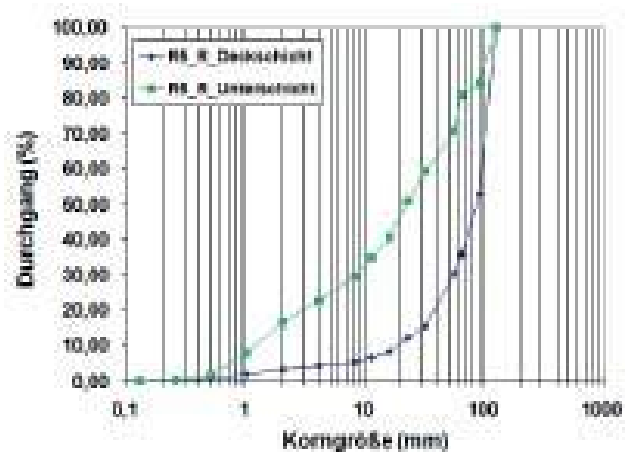


Abbildung 31: R5 - Kornverteilungskurve rechts

1.6. R6H2



Abbildung 32: R6H2 - Blickrichtung flussaufwärts



Abbildung 33: R6H2 - Profilansicht



Abbildung 34: R6H2 - Entnahmestelle links



Abbildung 35: R6H2 - Entnahmestelle rechts

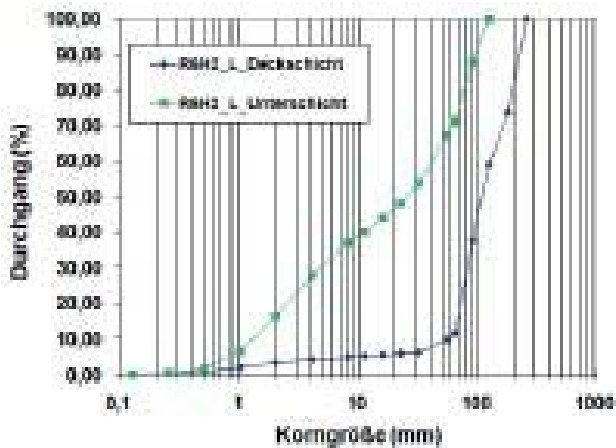


Abbildung 36: R6H2 - Kornverteilungskurve links

Semiquantitative Analyse der Korn-
eigenschaften (Bestimmung größerer
Fraktionen mittels Schublehre;
Abschätzung des Versandungsgrades)

Es wurden keine Sieblinien erstellt.

1.7. R7H2



Abbildung 37: R7H2 - Blickrichtung flussaufwärts



Abbildung 38: R7H2 - Profilansicht



Abbildung 39: R7H2 - Entnahmestelle links



Abbildung 40: R7H2 - Entnahmestelle rechts

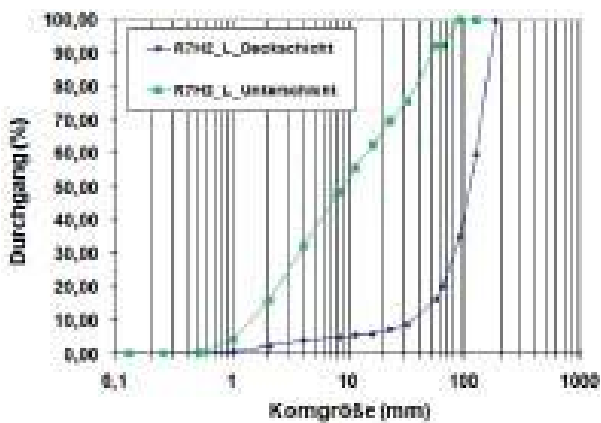


Abbildung 41: R7H2 - Kornverteilungskurve links

Semiquantitative Analyse der Korn-
eigenschaften (Bestimmung größerer
Fraktionen mittels Schublehre;
Abschätzung des Versandungsgrades)

Es wurden keine Sieblinien erstellt.

1.8. R8

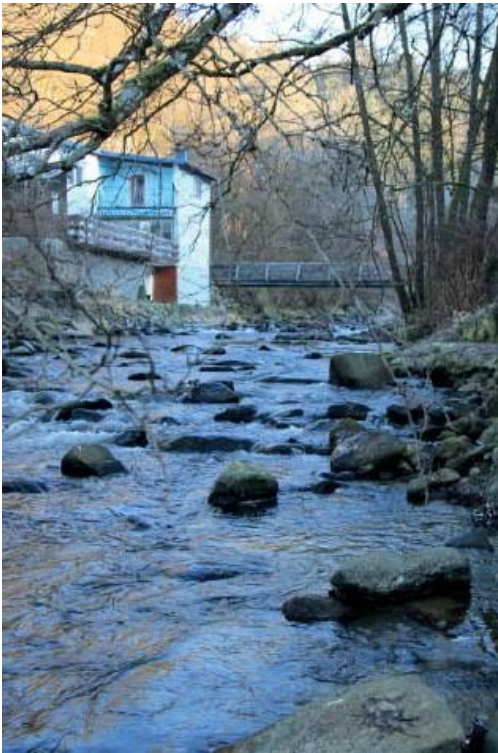


Abbildung 42: R8 - Blickrichtung flussaufwärts

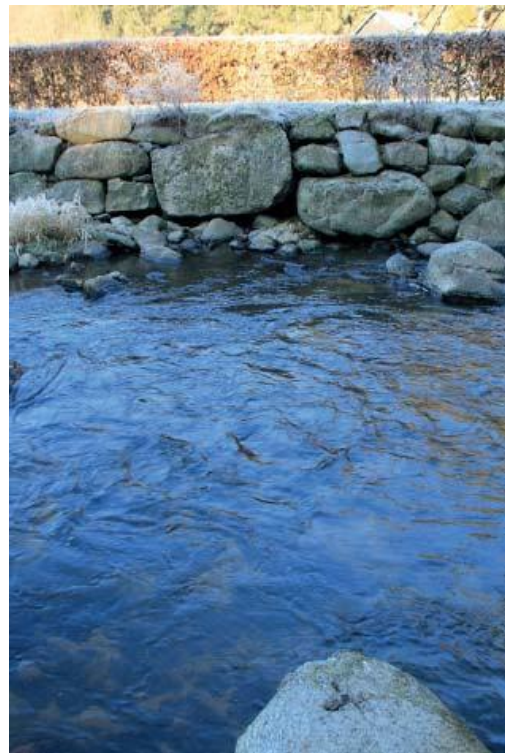


Abbildung 43: R8 - Profilansicht



Abbildung 44: R8 - Entnahmestelle links



Abbildung 45: R8 - Entnahmestelle rechts

Semiquantitative Analyse der Korn-eigenschaften (Bestimmung gröberer Fraktionen mittels Schublehre; Abschätzung des Versandungsgrades)

Es wurden keine Sieblinien erstellt.

Semiquantitative Analyse der Korn-eigenschaften (Bestimmung gröberer Fraktionen mittels Schublehre; Abschätzung des Versandungsgrades)

Es wurden keine Sieblinien erstellt.

1.9. R9H3

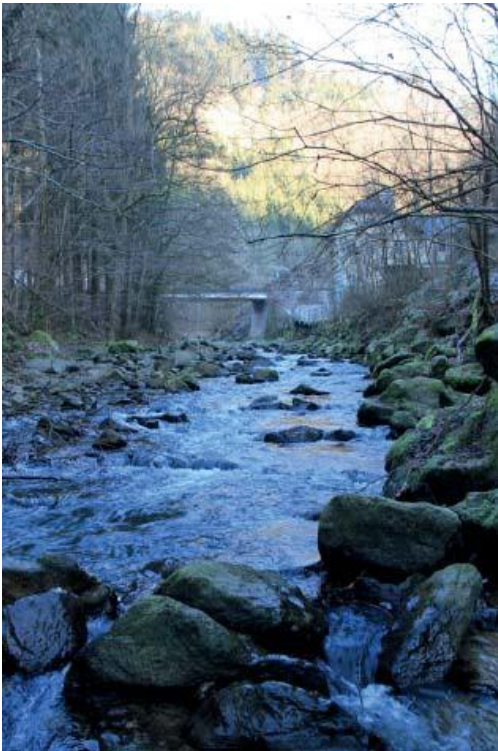


Abbildung 46: R9H3 - Blickrichtung flussaufwärts



Abbildung 47: R9H3 - Profilansicht



Abbildung 48: R9H3 - Entnahmestelle links



Abbildung 49: R9H3 - Entnahmestelle rechts

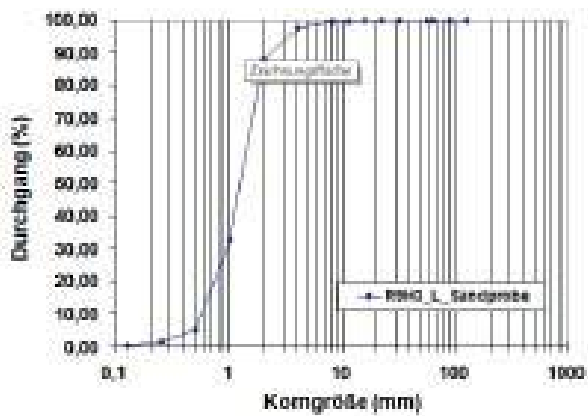


Abbildung 50: R9H3 - Kornverteilungskurve links

Semiquantitative Analyse der Korn-
eigenschaften (Bestimmung größerer
Fraktionen mittels Schublehre;
Abschätzung des Versandungsgrades)

Es wurden keine Sieblinien erstellt.

1.10. R10H3



Abbildung 51: R10H3 - Blickrichtung flussaufwärts

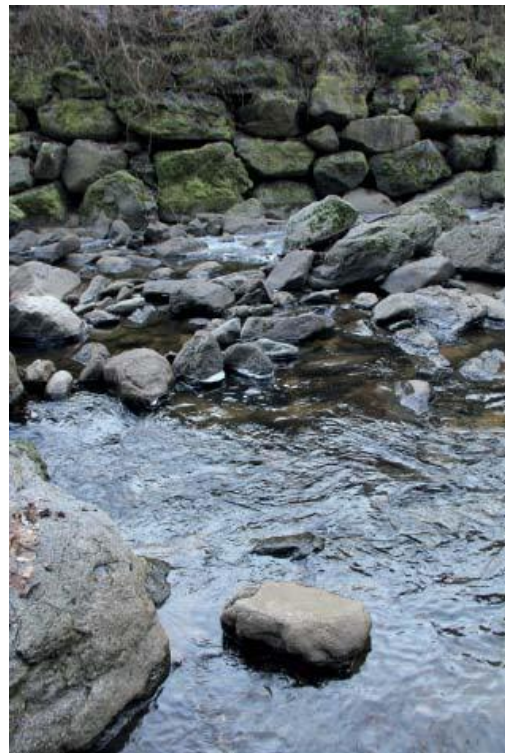


Abbildung 52: R10H3 - Profilsicht



Abbildung 53: R10H3 - Entnahmestelle links

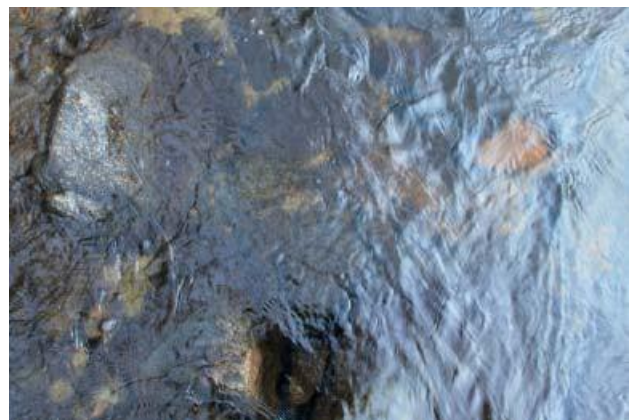


Abbildung 54: R10H3 - Entnahmestelle rechts

Semiquantitative Analyse der Korn-eigenschaften (Bestimmung größerer Fraktionen mittels Schublehre; Abschätzung des Versandungsgrades)

Es wurden keine Sieblinien erstellt.

Semiquantitative Analyse der Korn-eigenschaften (Bestimmung größerer Fraktionen mittels Schublehre; Abschätzung des Versandungsgrades)

Es wurden keine Sieblinien erstellt.

1.11. R11



Abbildung 55: R11 - Blickrichtung flussaufwärts



Abbildung 56: R11 - Profilsicht



Abbildung 57: R11 - Entnahmestelle links



Abbildung 58: R11 - Entnahmestelle rechts

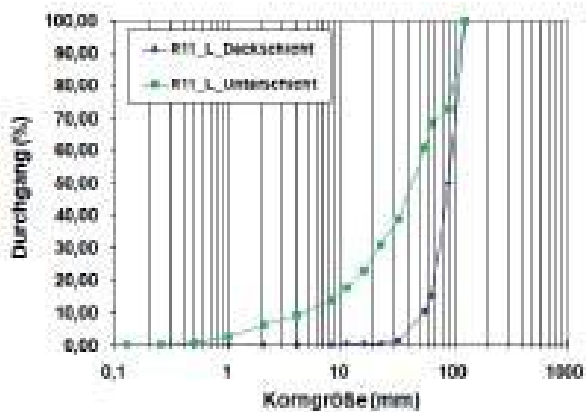


Abbildung 59: R11 - Kornverteilungskurve links

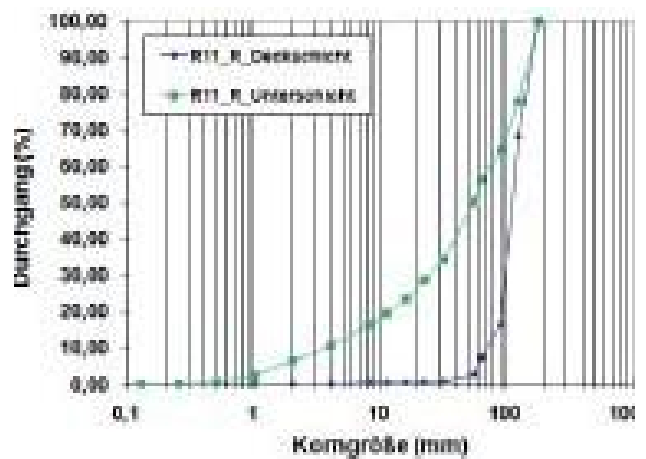


Abbildung 60: R11 - Kornverteilungskurve rechts

1.12. R12H4



Abbildung 61: R12H4 - Blickrichtung flussaufwärts



Abbildung 62: R12H4 - Profilsicht



Abbildung 63: R12H4 - Entnahmestelle links



Abbildung 64: R12H4 - Entnahmestelle rechts

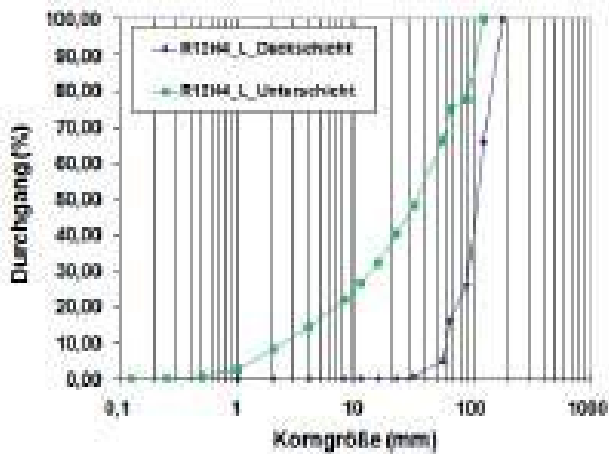


Abbildung 65: R12 - Kornverteilungskurve links

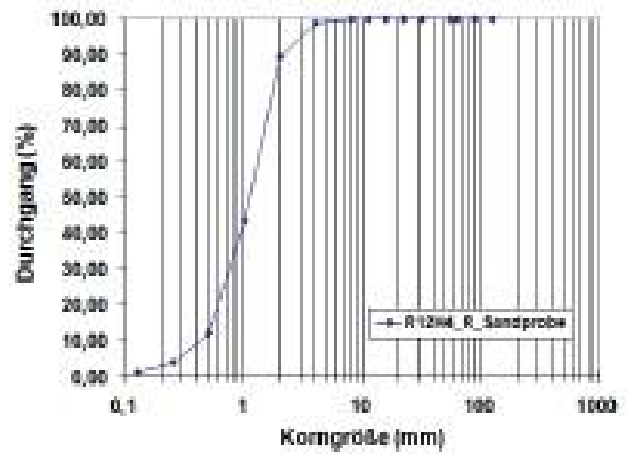


Abbildung 66: R12H4 - Kornverteilungskurve

1.13. R13H4



Abbildung 67: R13H4 - Blickrichtung flussaufwärts



Abbildung 68: R13H4 - Profilsicht



Abbildung 69: R13H4 - Entnahmestelle links

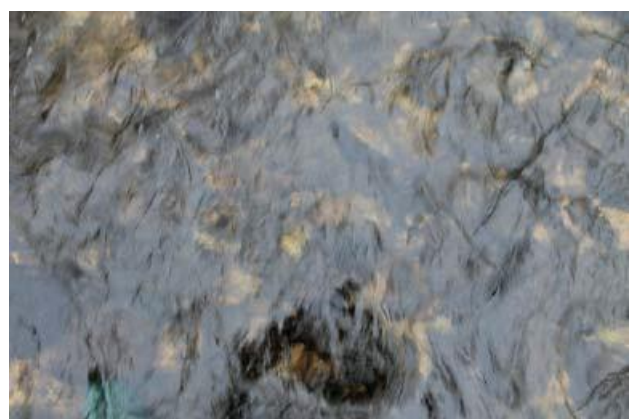


Abbildung 70: R13H4 - Entnahmestelle rechts

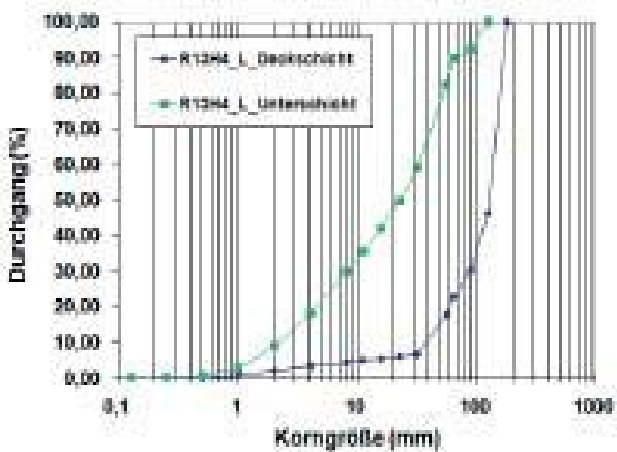


Abbildung 71: R14 - Kornverteilungskurve links

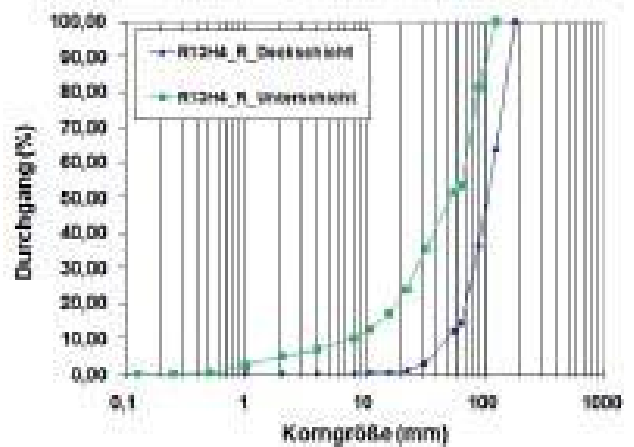


Abbildung 72: R13H4 - Kornverteilungskurve rechts

1.14. R14



Abbildung 73: R14 - Blickrichtung flussaufwärts



Abbildung 74: R14 - Profilsicht



Abbildung 75: R14 - Entnahmestelle links



Abbildung 76: R14 - Entnahmestelle rechts

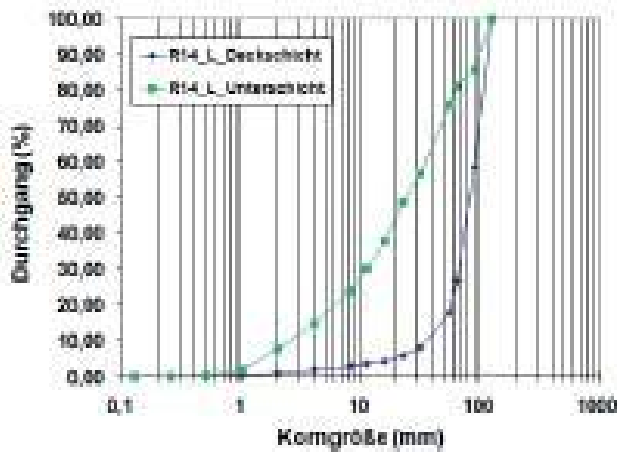


Abbildung 77: R14 - Kornverteilungskurve links

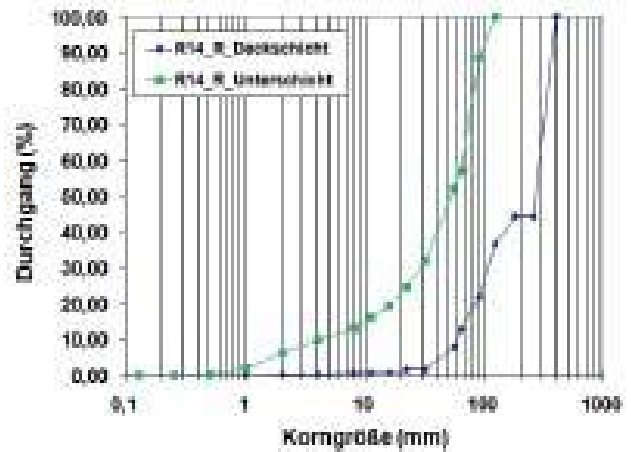


Abbildung 78: R14 - Kornverteilungskurve rechts

1.15. R15



Abbildung 79: R15 - Blickrichtung flussaufwärts



Abbildung 80: R15 - Profilsicht



Abbildung 81: R15 - Entnahmestelle links



Abbildung 82: R15 - Entnahmestelle rechts

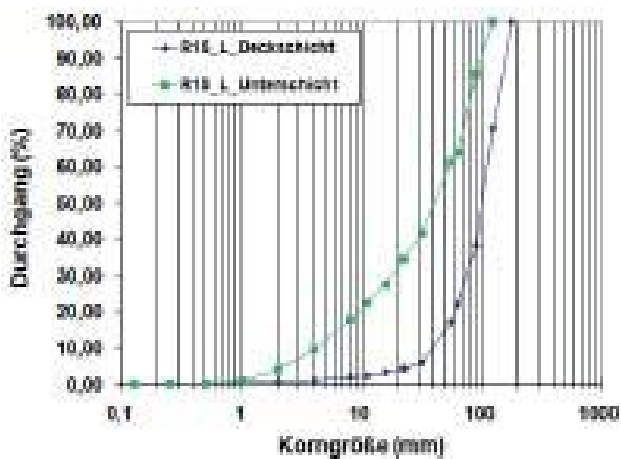


Abbildung 83: R16 - Kornverteilungskurve links

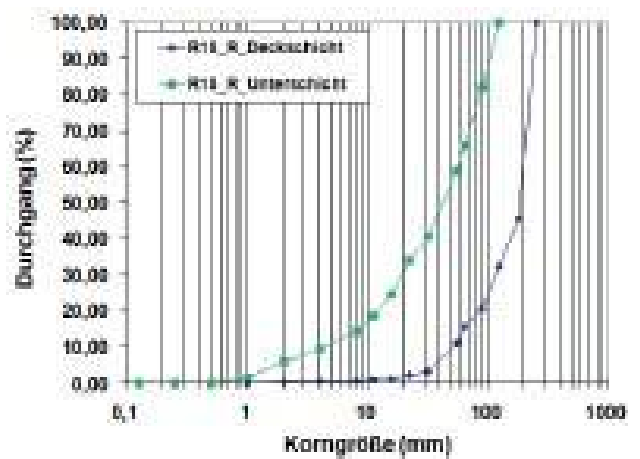


Abbildung 84: R15 - Kornverteilungskurve rechts

1.16. R16



Abbildung 85: R16 - Blickrichtung flussaufwärts



Abbildung 86: R16 - Profilsicht



Abbildung 87: R16 - Entnahmestelle links



Abbildung 88: R16 - Entnahmestelle rechts

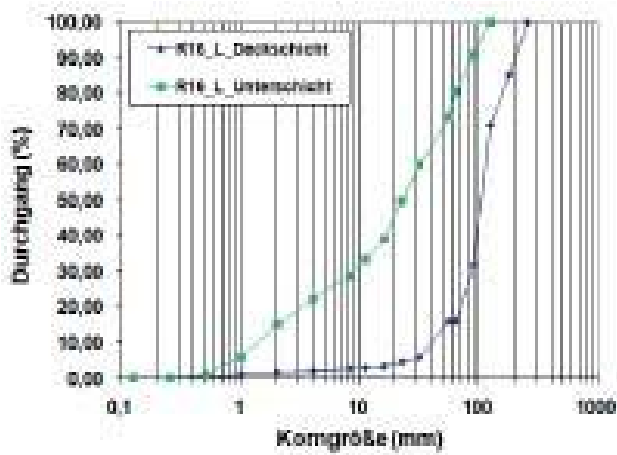


Abbildung 89: R16 - Kornverteilungskurve links

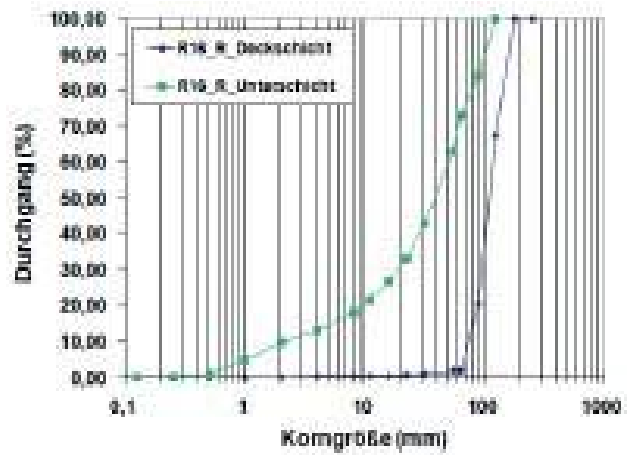


Abbildung 90: R16 - Kornverteilungskurve rechts

1.17. R17H5



Abbildung 91: R17H5 - Blickrichtung flussaufwärts



Abbildung 92: R17H5 - Profilsicht



Abbildung 93: R17H5 - Entnahmestelle links



Abbildung 94: R17H5 - Entnahmestelle rechts

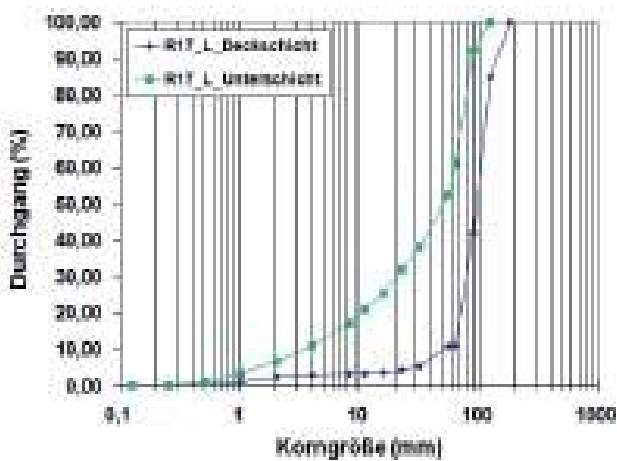


Abbildung 95: R17 - Kornverteilungskurve links

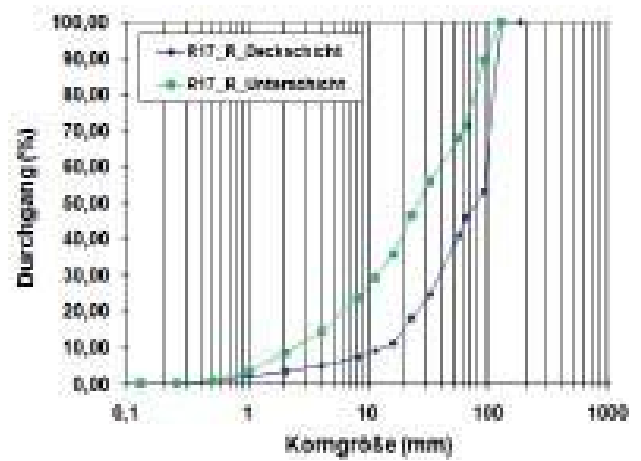


Abbildung 96: R17H5 - Kornverteilungskurve rechts

1.18. R18H5



Abbildung 97: R18H5 - Blickrichtung flussaufwärts



Abbildung 98: R18H5 - Profilsansicht

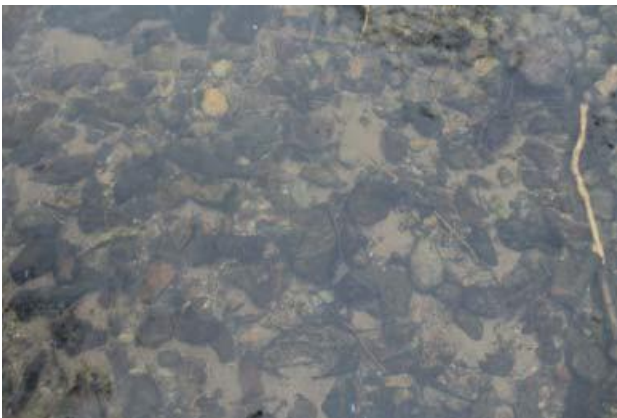


Abbildung 99: R18H5 - Entnahmestelle links

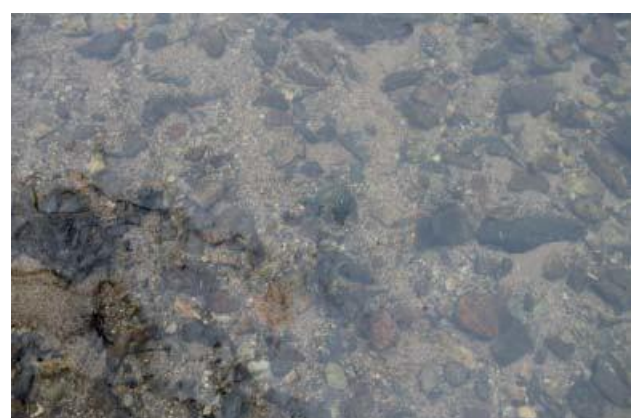


Abbildung 100: R18H5 - Entnahmestelle rechts

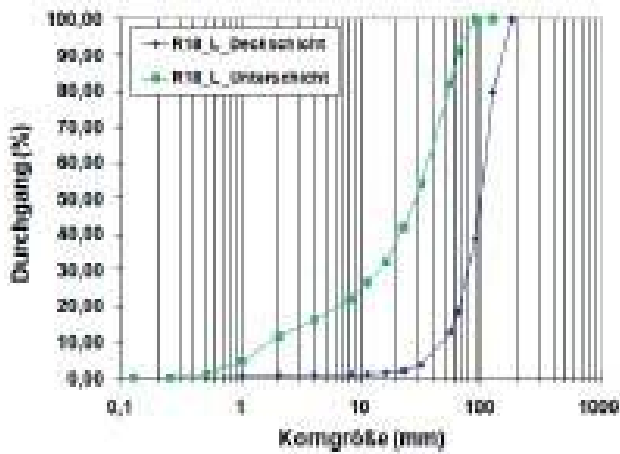


Abbildung 101: R18 - Kornverteilungskurve links

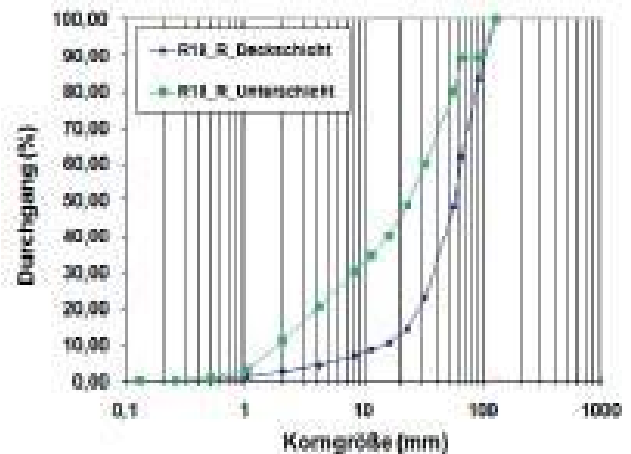


Abbildung 102: R18H5 - Kornverteilungskurve rechts

1.19. R19H6



Abbildung 103: R19H6 - Blickrichtung flussaufwärts



Abbildung 104: R19H6 - Profilsicht



Abbildung 105: R19H6 - Entnahmestelle links

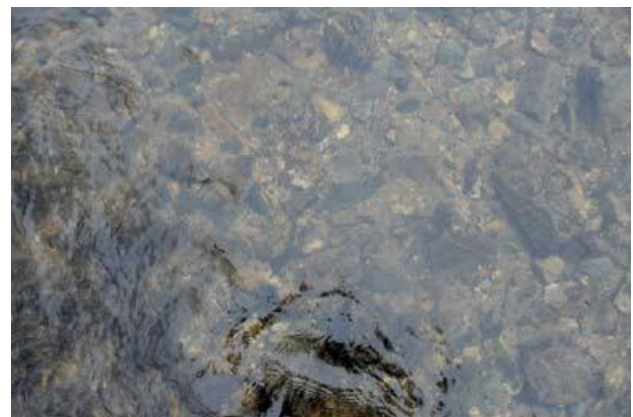


Abbildung 106: R19H6 - Entnahmestelle rechts

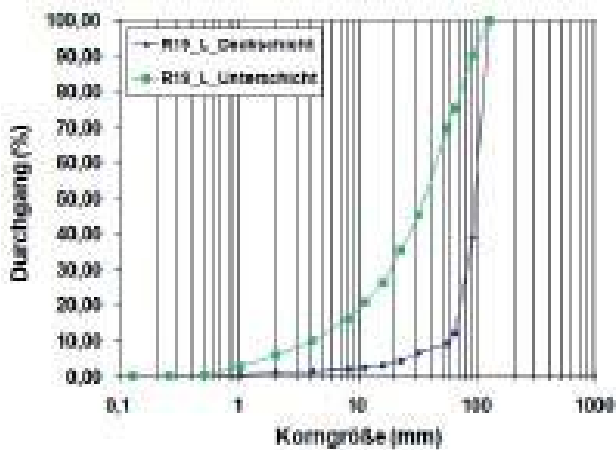


Abbildung 107: R19H6 - Kornverteilungskurve links

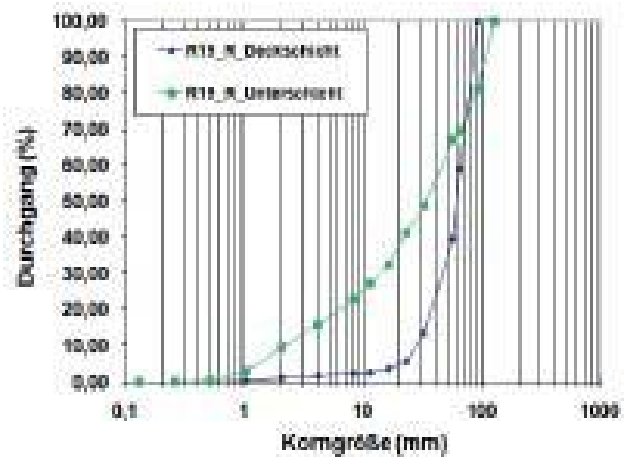


Abbildung 108: R19H6 - Kornverteilungskurve rechts

1.20. R20H6



Abbildung 109: R20H6 - Blickrichtung flussaufwärts



Abbildung 110: R20H6 - Profilansicht



Abbildung 111: R20H6 - Entnahmestelle links



Abbildung 112: R20H6 - Entnahmestelle rechts

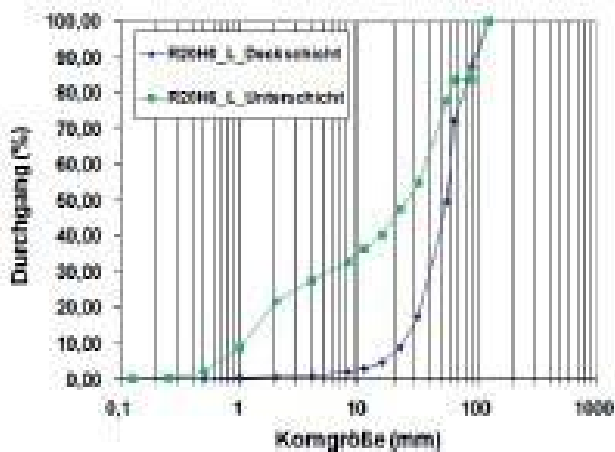


Abbildung 113: R20H6 - Kornverteilungskurve links

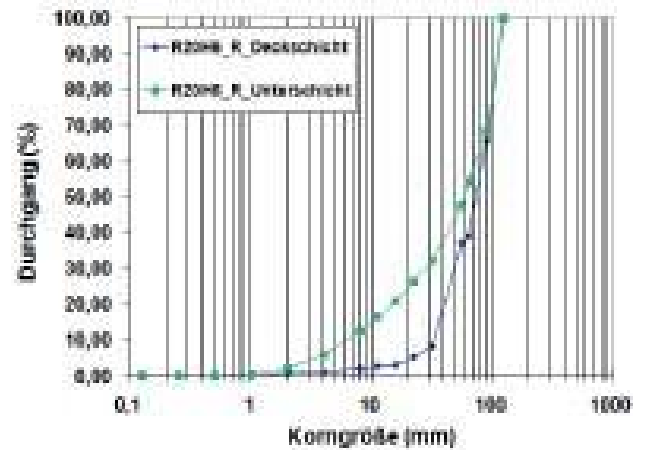


Abbildung 114: R20H6 - Kornverteilungskurve rechts

1.21. R21



Abbildung 115: R21 - Blickrichtung flussaufwärts



Abbildung 116: R21 - Profilansicht



Abbildung 117: R21 - Entnahmestelle links



Abbildung 118: R21 - Entnahmestelle rechts

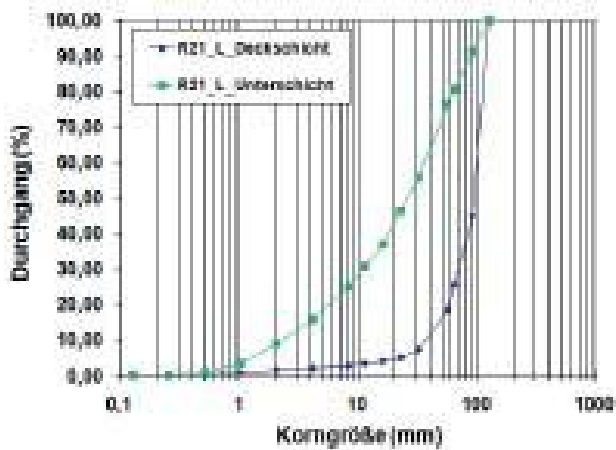


Abbildung 119: R21 - Kornverteilungskurve links

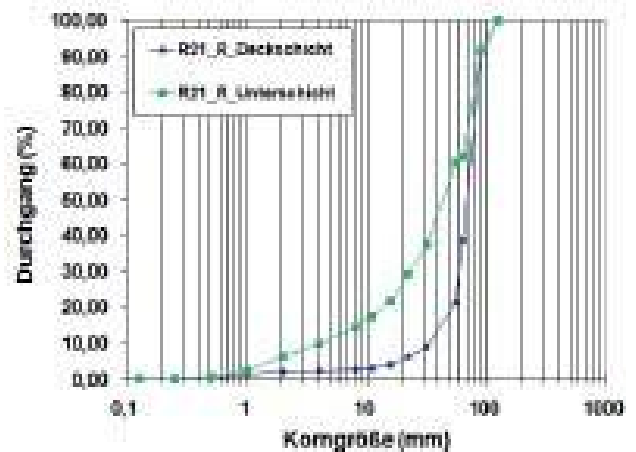


Abbildung 120: R21 - Kornverteilungskurve rechts

1.22. R22H7



Abbildung 121: R22H7 - Blickrichtung flussaufwärts



Abbildung 122: R22H7 - Blickrichtung flussabwärts



Abbildung 123: R22H7 - Entnahmestelle links



Abbildung 124: R22H7 - Entnahmestelle rechts

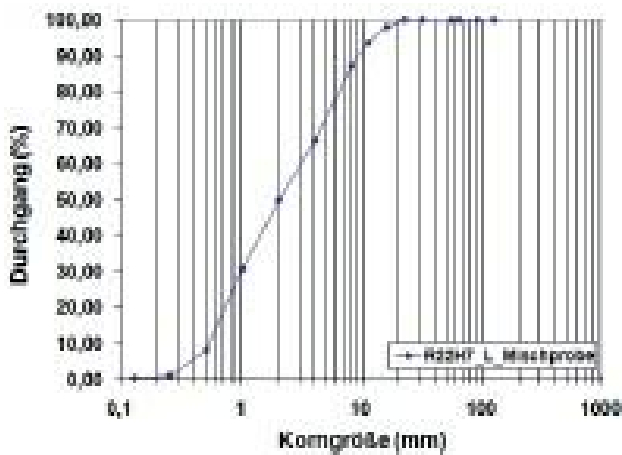


Abbildung 125: R22 - Kornverteilungskurve links

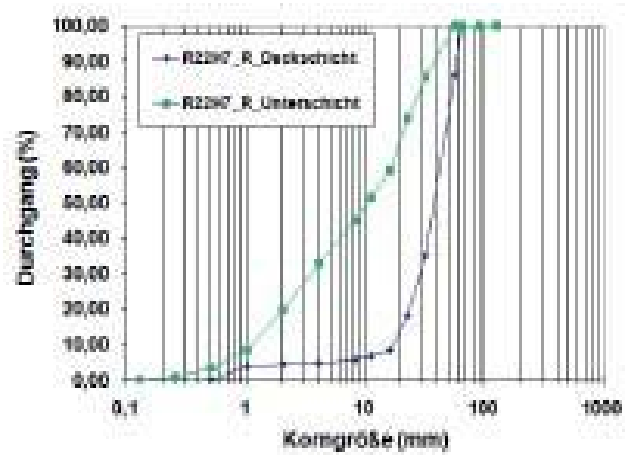


Abbildung 126: R22H7 - Kornverteilungskurve rechts

1.23. R23H7



Abbildung 127: R23H7 - Blickrichtung flussaufwärts



Abbildung 128: R23H7 - Profilansicht



Abbildung 129: R23H7 - Entnahmestelle links

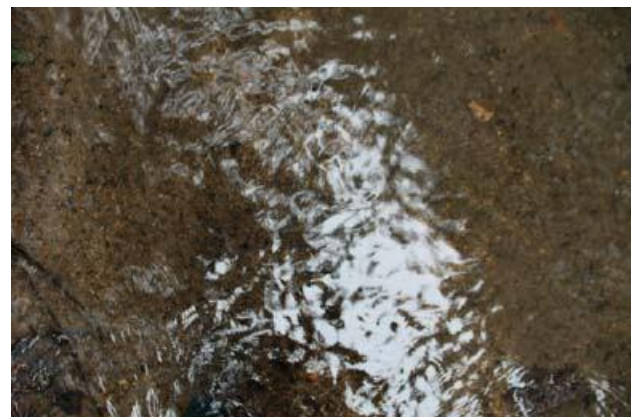


Abbildung 130: R23H7 - Entnahmestelle rechts

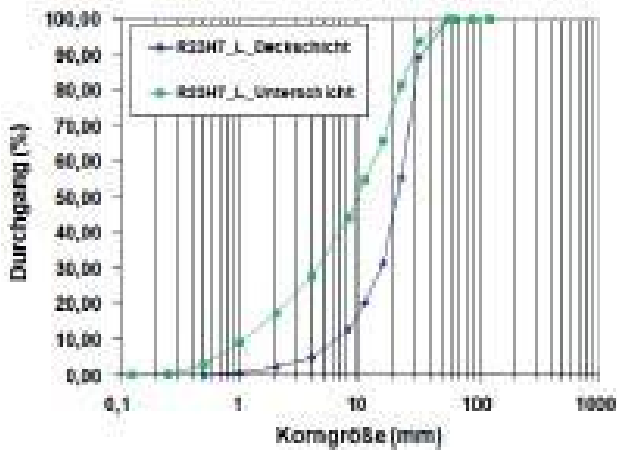


Abbildung 131: R23 - Kornverteilungskurve links

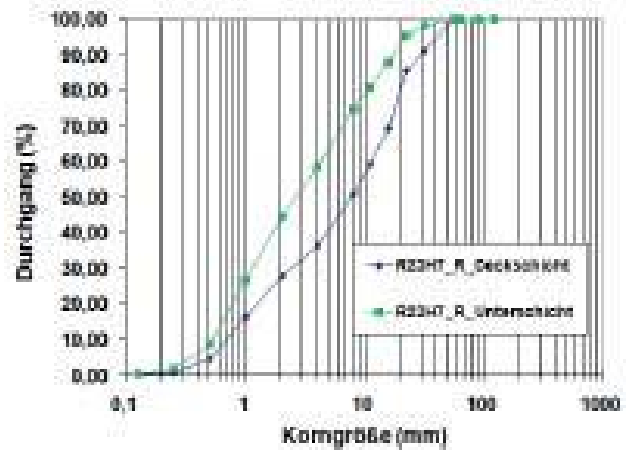


Abbildung 132: R23H7 - Kornverteilungskurve rechts

1.24. R24



Abbildung 134: R24 - Blickrichtung flussaufwärts



Abbildung 135: R24 - Profilansicht



Abbildung 136: R24 - Entnahmestelle links



Abbildung 137: R24 - Entnahmestelle rechts

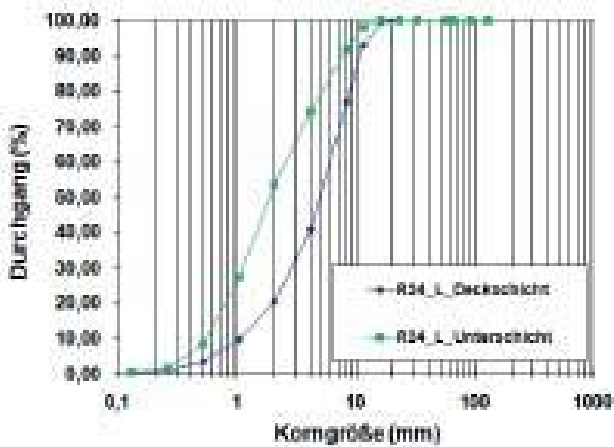


Abbildung 138: R24 - Kornverteilungskurve links

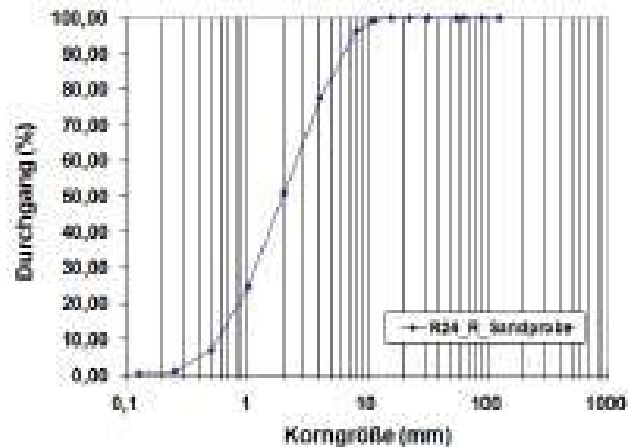


Abbildung 139: R24 - Kornverteilungskurve rechts

1.25. R25



Abbildung 140: R25 - Blickrichtung flussaufwärts



Abbildung 141: R25 - Profilansicht



Abbildung 142: R25 - Entnahmestelle links



Abbildung 143: R25 - Entnahmestelle rechts

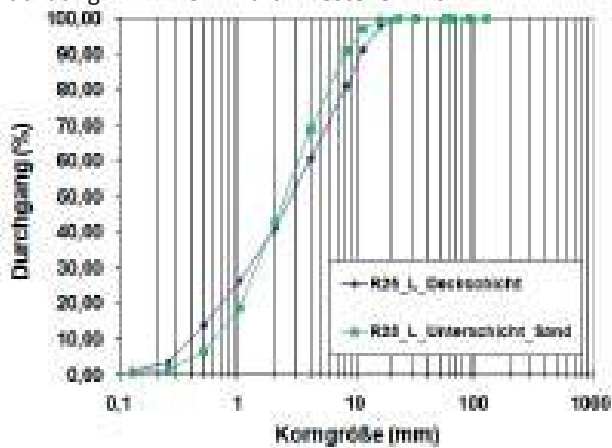


Abbildung 144: R26 - Kornverteilungskurve links

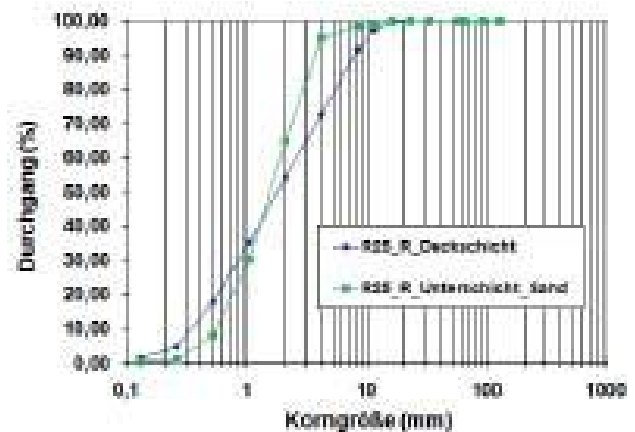


Abbildung 145: R25 - Kornverteilungskurve rechts

1.26. R26



Abbildung 146: R26 - Blickrichtung flussaufwärts



Abbildung 147: R26 - Profilansicht



Abbildung 148: R26 - Entnahmestelle

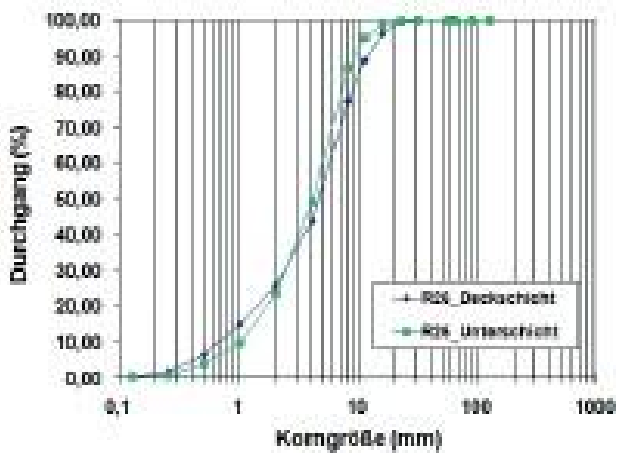


Abbildung 149: R26 - Kornverteilungskurve

2. Große Mühl

Dieses Kapitel umfasst die Ergebnisse der Probenentnahme an der Großen Mühl. Es wurden nach Möglichkeit bei jedem Entnahmepunkt (siehe folgende Abbildung links und rechts eine Probe entnommen. In den folgenden Abbildungen werden die daraus resultierenden Kornverteilungskurven und die dazugehörigen Fotos dokumentiert.



Abbildung 150: Probenentnahmepunkte - GROSSE MÜHL

2.1. GM1



Abbildung 151: GM1 - Blickrichtung flussaufwärts



Abbildung 152: GM1 - Profilansicht



Abbildung 153: GM1 - Entnahmestelle links



Abbildung 154: GM1 - Entnahmestelle rechts

Semiquantitative Analyse der Korn-
eigenschaften (Bestimmung gröberer
Fraktionen mittels Schublehre;
Abschätzung des Versandungsgrades)

Es wurden keine Sieblinien erstellt.

Semiquantitative Analyse der Korn-
eigenschaften (Bestimmung gröberer
Fraktionen mittels Schublehre;
Abschätzung des Versandungsgrades)

Es wurden keine Sieblinien erstellt.

2.2. GM2



Abbildung 155: GM2- Blickrichtung flussaufwärts



Abbildung 156: GM2 - Profilansicht



Abbildung 157: GM2 - Entnahmestelle links



Abbildung 158: GM2 - Entnahmestelle rechts

Semiquantitative Analyse der Korn-eigenschaften (Bestimmung gröberer Fraktionen mittels Schublehre; Abschätzung des Versandungsgrades)

Es wurden keine Sieblinien erstellt.

Semiquantitative Analyse der Korn-eigenschaften (Bestimmung gröberer Fraktionen mittels Schublehre; Abschätzung des Versandungsgrades)

Es wurden keine Sieblinien erstellt.

2.3. GM3



Abbildung 159: GM2 - Blickrichtung flussaufwärts

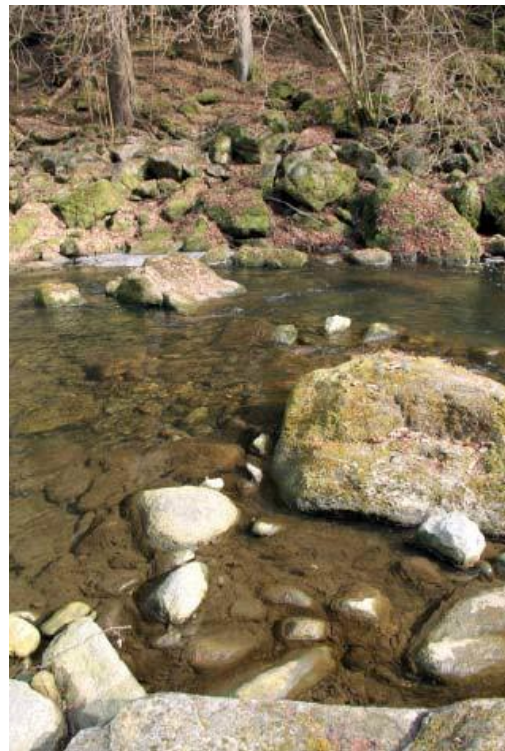


Abbildung 160: GM2 - Profilansicht



Abbildung 161: GM2 - Entnahmestelle links



Abbildung 162: GM2 - Entnahmestelle rechts

Semiquantitative Analyse der Korn-eigenschaften (Bestimmung gröberer Fraktionen mittels Schublehre; Abschätzung des Versandungsgrades)

Es wurden keine Sieblinien erstellt.

Semiquantitative Analyse der Korn-eigenschaften (Bestimmung gröberer Fraktionen mittels Schublehre; Abschätzung des Versandungsgrades)

Es wurden keine Sieblinien erstellt.

2.4. GM4



Abbildung 163: GM4 - Blickrichtung flussaufwärts



Abbildung 164: GM4 - Profilansicht



Abbildung 165: GM4 - Entnahmestelle links



Abbildung 166: GM4 - Entnahmestelle rechts

Semiquantitative Analyse der Korn-
eigenschaften (Bestimmung gröberer
Fraktionen mittels Schublehre;
Abschätzung des Versandungsgrades)

Es wurden keine Sieblinien erstellt.

Semiquantitative Analyse der Korn-
eigenschaften (Bestimmung gröberer
Fraktionen mittels Schublehre;
Abschätzung des Versandungsgrades)

Es wurden keine Sieblinien erstellt.

2.5. GM5



Abbildung 167: GM5 - Blickrichtung flussaufwärts

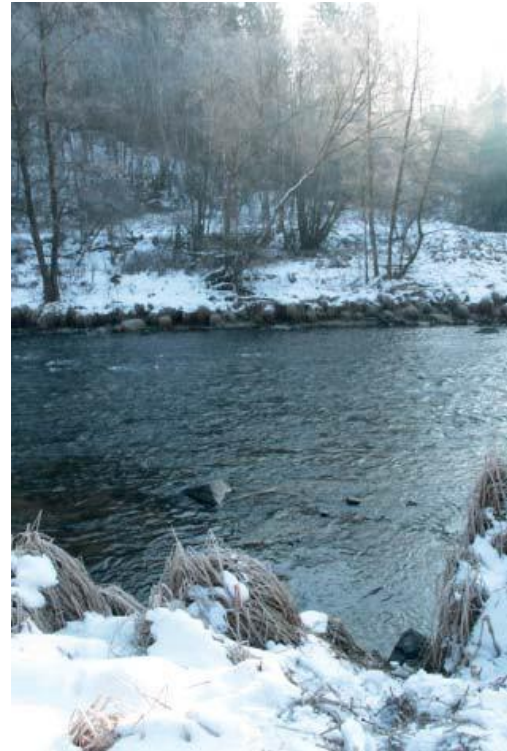


Abbildung 168: GM5 - Profilansicht



Abbildung 169: GM5 - Entnahmestelle links



Abbildung 170: GM5 - Entnahmestelle rechts

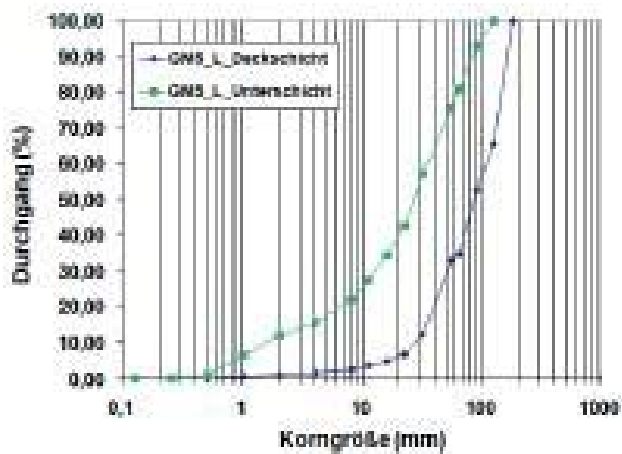


Abbildung 171: GM5 - Kornverteilungskurve links

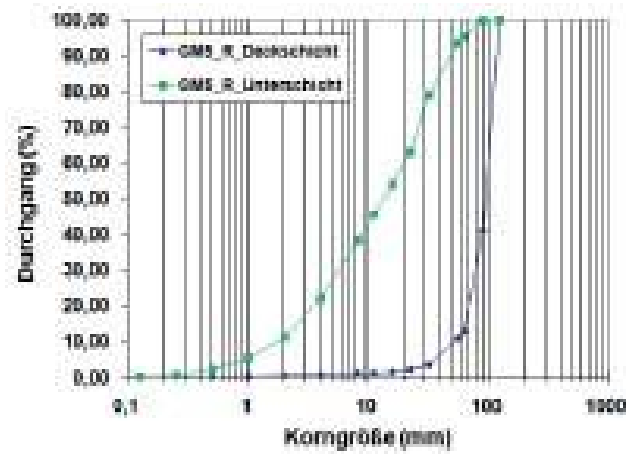


Abbildung 172: GM5 - Kornverteilungskurve rechts

2.6. GM6



Abbildung 173: GM6 - Blickrichtung flussaufwärts



Abbildung 174: GM6 - Profilsicht



Abbildung 175: GM6 - Entnahmestelle links



Abbildung 176: GM6 - Entnahmestelle rechts

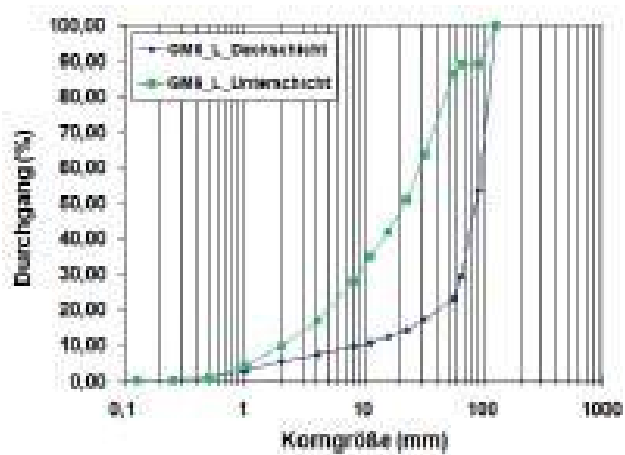


Abbildung 177: GM6 - Kornverteilungskurve links

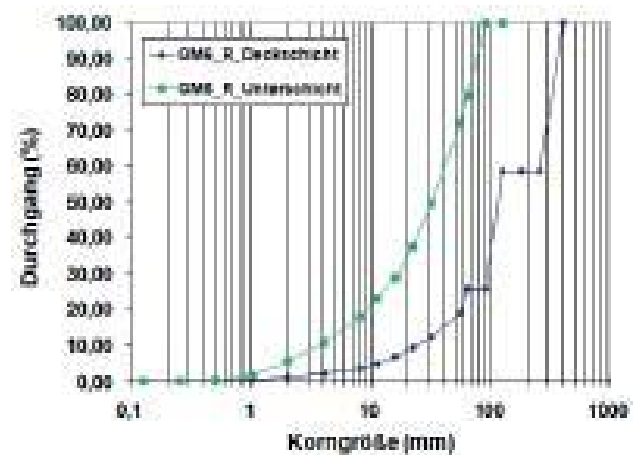


Abbildung 178: GM6 - Kornverteilungskurve rechts

2.7. GM7



Abbildung 179: GM7 - Blickrichtung flussaufwärts



Abbildung 180: GM7 - Profilansicht



Abbildung 181: GM7 - Entnahmestelle links



Abbildung 182: GM7 - Entnahmestelle rechts

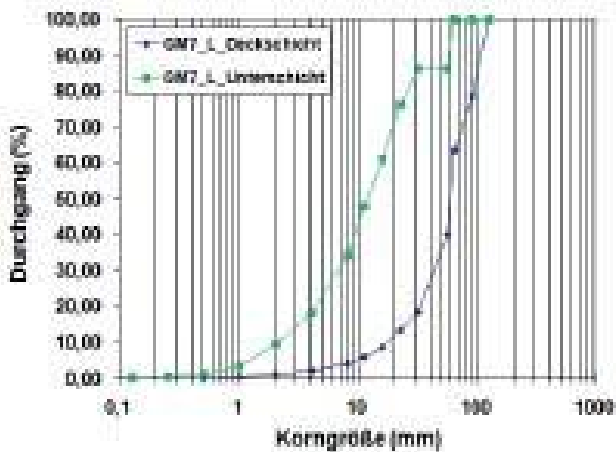


Abbildung 183: GM7 - Kornverteilungskurve links

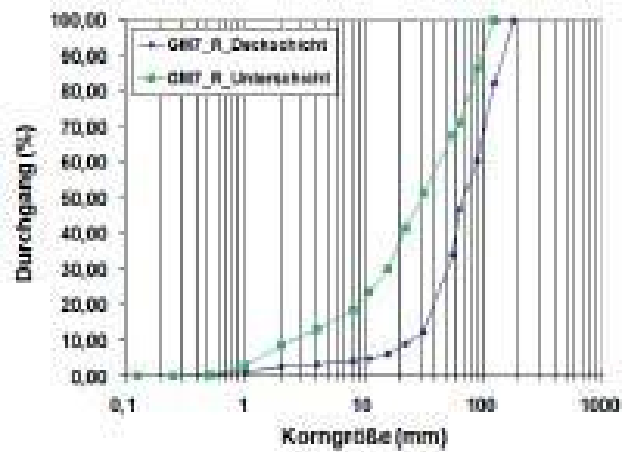


Abbildung 184: GM7 - Kornverteilungskurve rechts

2.8. GM8



Abbildung 185: GM8 - Blickrichtung flussaufwärts



Abbildung 186: GM8 - Profilsicht



Abbildung 187: GM8 - Entnahmestelle links



Abbildung 188: GM8 - Entnahmestelle rechts

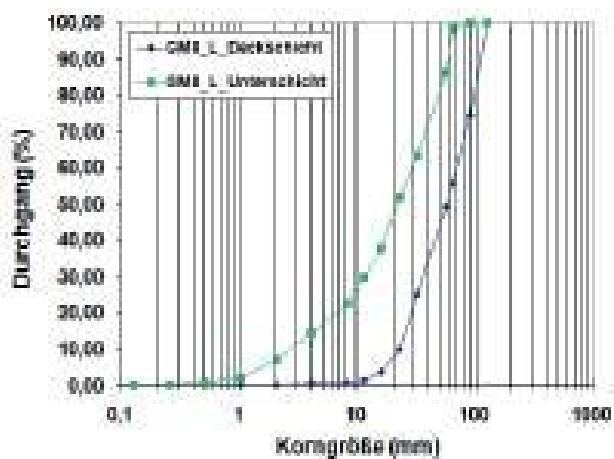


Abbildung 189: GM8 - Kornverteilungskurve links

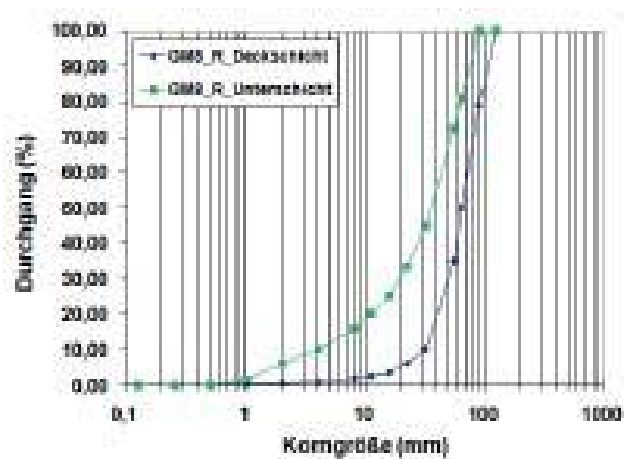


Abbildung 190: GM8 - Kornverteilungskurve rechts

2.9. GM9



Abbildung 191: GM9 - Blickrichtung flussaufwärts



Abbildung 192: GM9 - Profilansicht



Abbildung 193: GM9 - Entnahmestelle links



Abbildung 194: GM9 - Entnahmestelle rechts

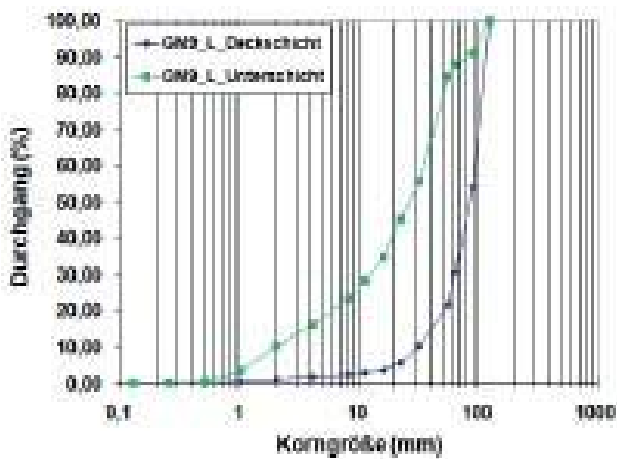


Abbildung 195: GM9 - Kornverteilungskurve links

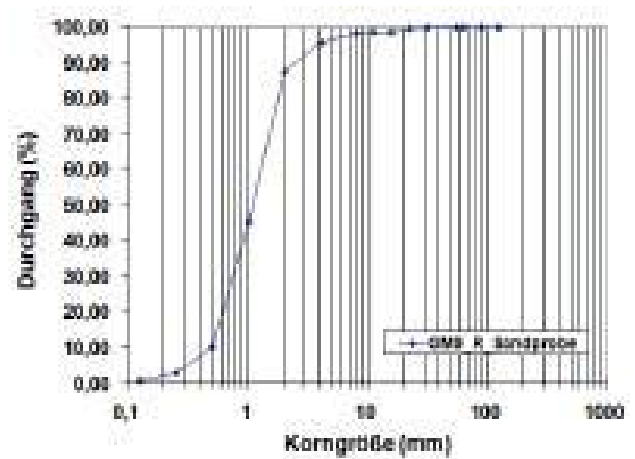


Abbildung 196: GM9 - Kornverteilungskurve rechts

2.10. GM10



Abbildung 197: GM10 - Blickrichtung flussaufwärts

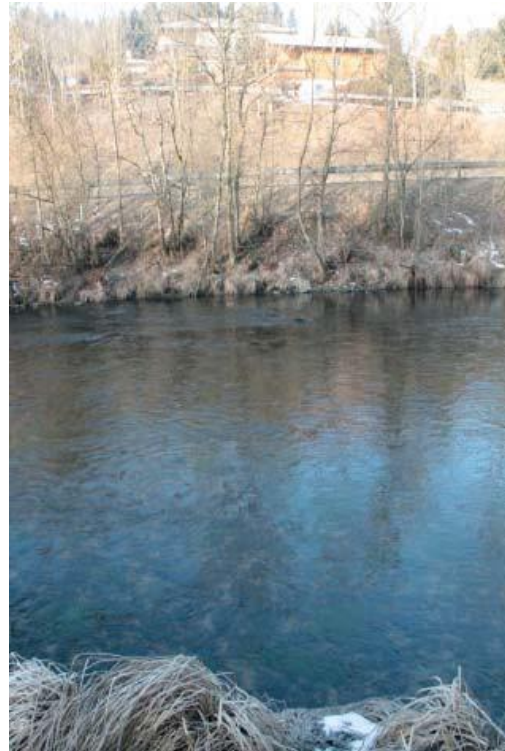


Abbildung 198: GM10 - Profilsicht



Abbildung 199: GM10 - Entnahmestelle links



Abbildung 200: GM10 - Entnahmestelle rechts

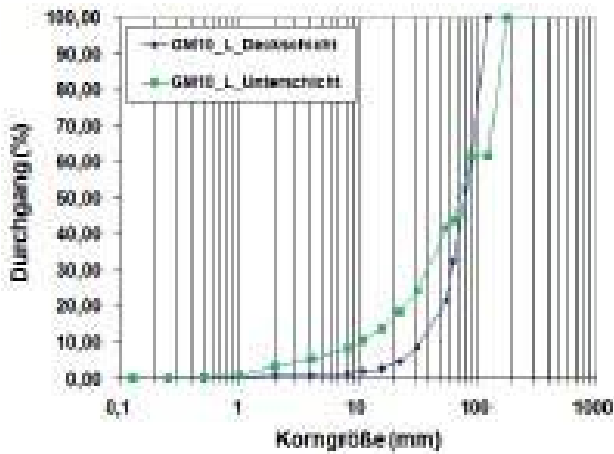


Abbildung 201: GM10 - Kornverteilungskurve links

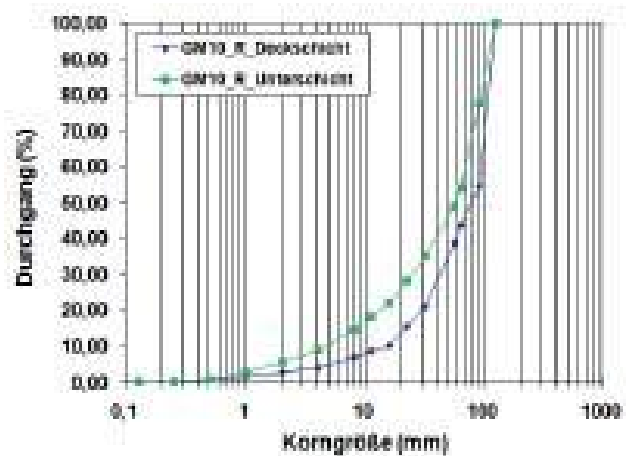


Abbildung 202: GM10 - Kornverteilungskurve rechts

2.11. GM11



Abbildung 203: GM11 - Blickrichtung flussaufwärts



Abbildung 204: GM11 - Profilsicht



Abbildung 205: GM11 - Entnahmestelle links



Abbildung 206: GM11 - Entnahmestelle rechts

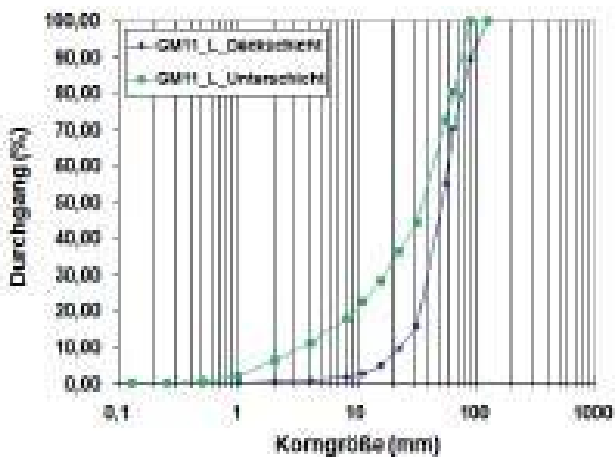


Abbildung 207: GM11 - Kornverteilungskurve links

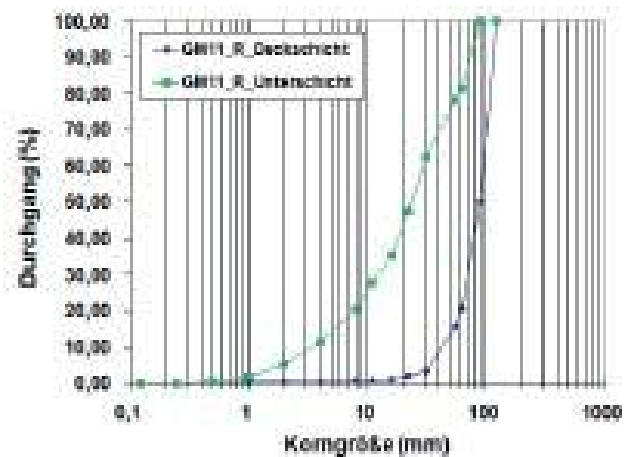


Abbildung 208: GM11 - Kornverteilungskurve rechts

2.12. GM12



Abbildung 209: GM12 - Blickrichtung flussaufwärts



Abbildung 210: GM12 - Profilsicht



Abbildung 211: GM12 - Entnahmestelle links



Abbildung 212: GM12 - Entnahmestelle rechts

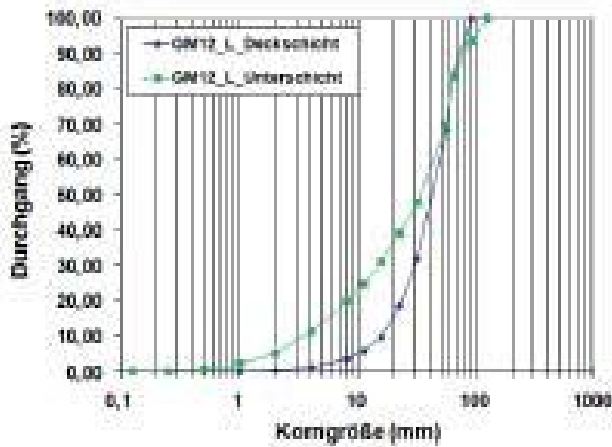


Abbildung 213: GM12 - Kornverteilungskurve links

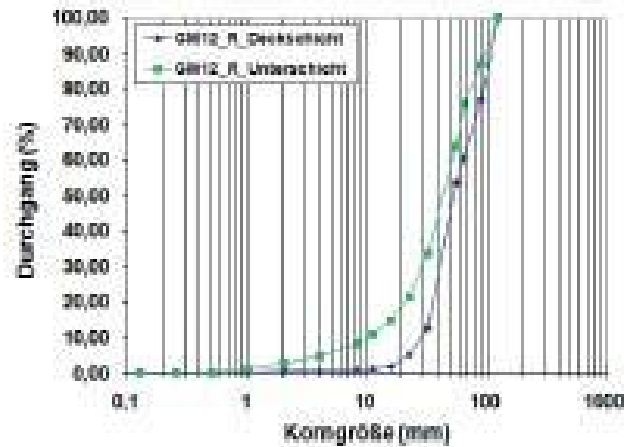


Abbildung 214: GM12 - Kornverteilungskurve rechts

2.13. GM13



Abbildung 215: GM13 - Blickrichtung flussaufwärts



Abbildung 216: GM13 - Profilsicht



Abbildung 217: GM13 - Entnahmestelle links



Abbildung 218: GM13 - Entnahmestelle rechts

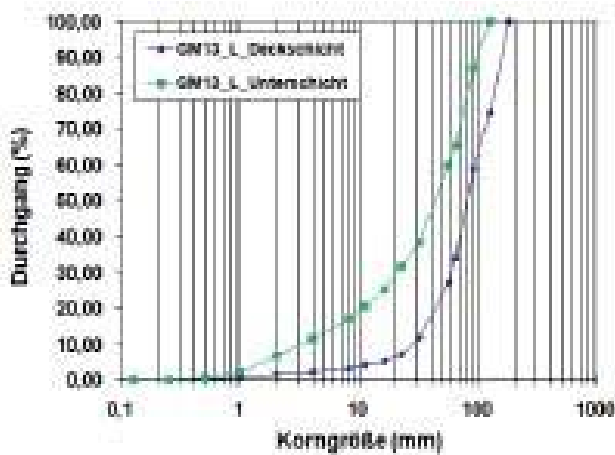


Abbildung 219: GM13 - Kornverteilungskurve links

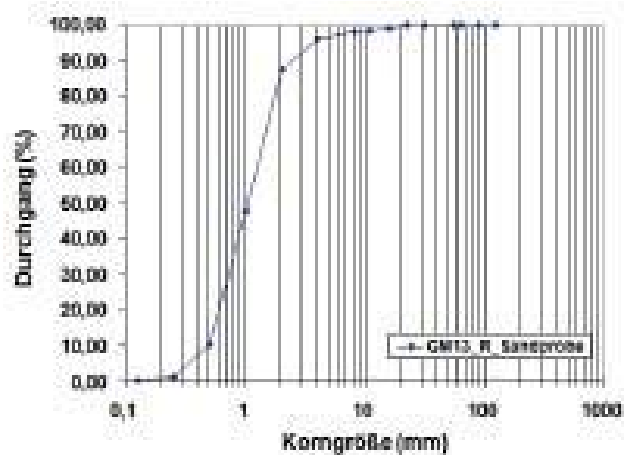


Abbildung 220: GM13 - Kornverteilungskurve rechts

2.14. GM14



Abbildung 221: GM14 - Blickrichtung flussaufwärts



Abbildung 222: GM14 - Profilsicht



Abbildung 223: GM14 - Entnahmestelle links



Abbildung 224: GM14 - Entnahmestelle rechts

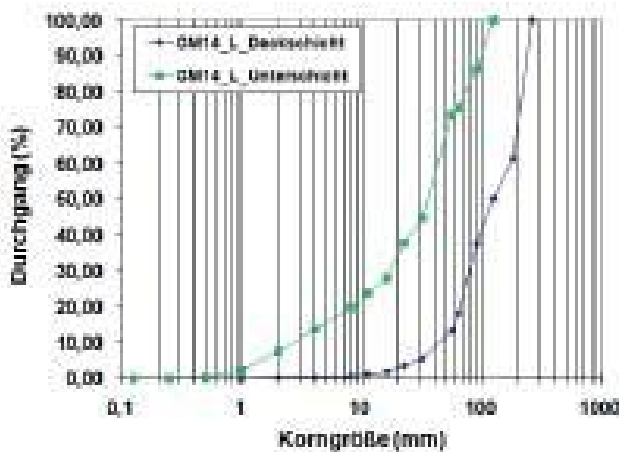


Abbildung 225: GM14 - Kornverteilungskurve links

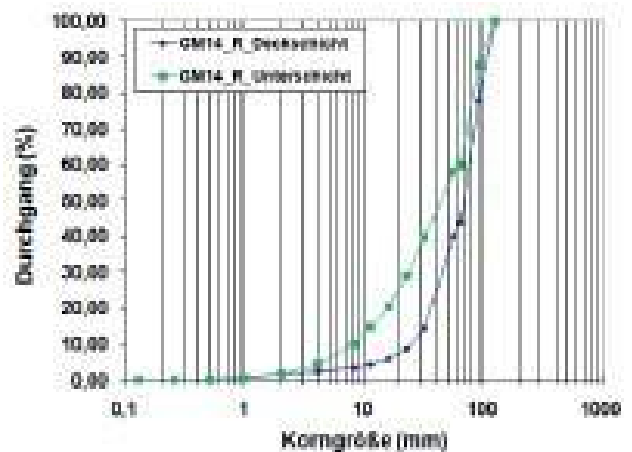


Abbildung 226: GM14 - Kornverteilungskurve rechts

2.15. GM15



Abbildung 227: GM15 - Blickrichtung flussaufwärts



Abbildung 228: GM15 - Profilsicht



Abbildung 229: GM15 - Entnahmestelle links



Abbildung 230: GM15 - Entnahmestelle rechts

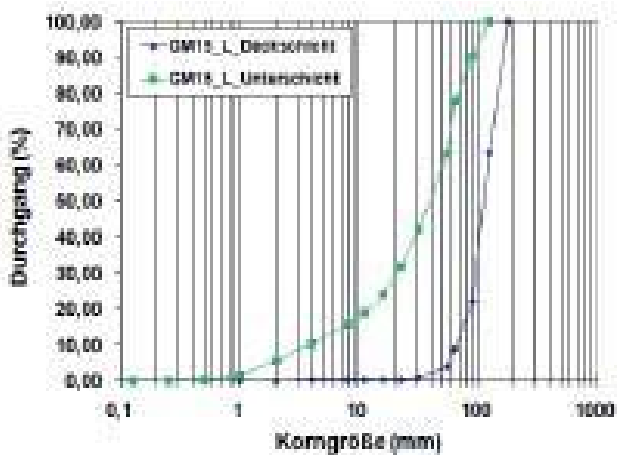


Abbildung 231: GM15 - Kornverteilungskurve links

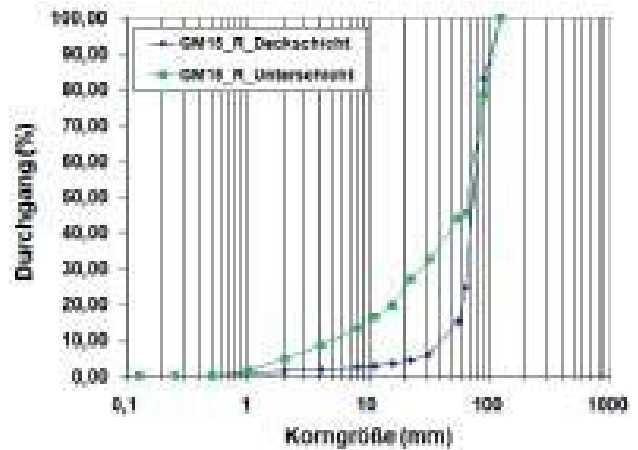


Abbildung 232: GM15 - Kornverteilungskurve rechts

2.16. GM16



Abbildung 233: GM16 - Blickrichtung flussaufwärts



Abbildung 234: GM16 - Profilsicht



Abbildung 235: GM16 - Entnahmestelle links



Abbildung 236: GM16 - Entnahmestelle rechts

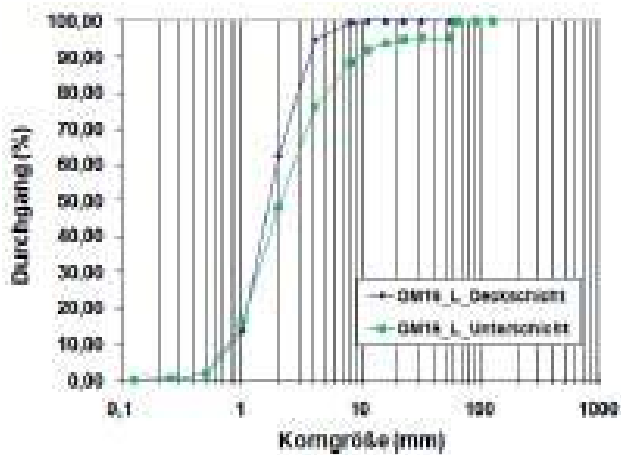


Abbildung 237: GM16 - Kornverteilungskurve links

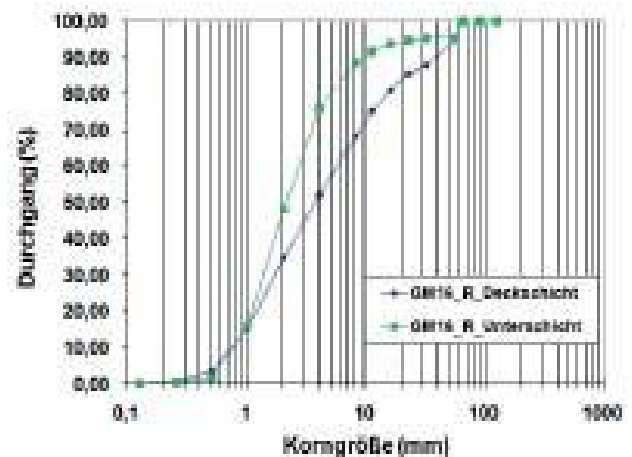


Abbildung 238: GM16 - Kornverteilungskurve rechts

2.17. GM17



Abbildung 239: GM17 - Blickrichtung flussaufwärts



Abbildung 240: GM17 - Profilsicht

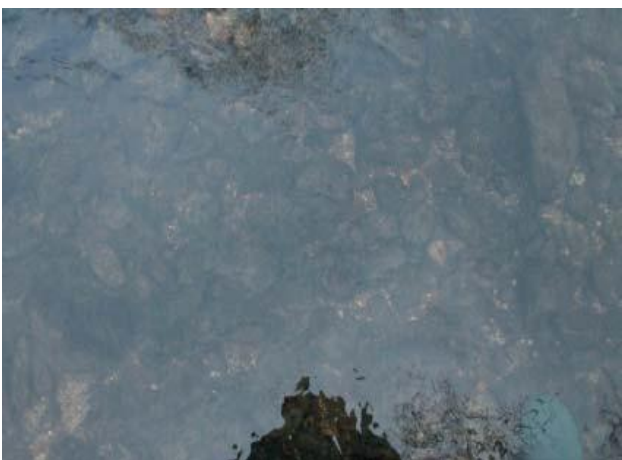


Abbildung 241: GM17 - Entnahmestelle links



Abbildung 242: GM17 - Entnahmestelle rechts

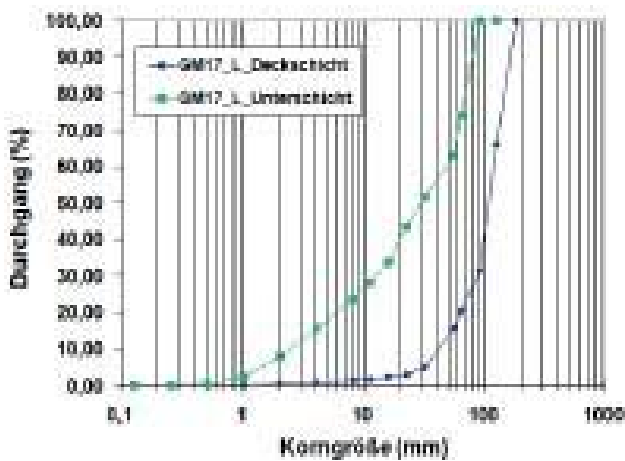


Abbildung 243: GM17 - Kornverteilungskurve links

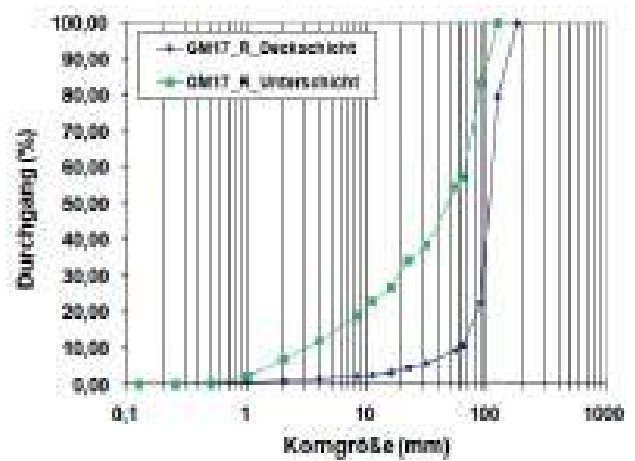


Abbildung 244: GM17 - Kornverteilungskurve rechts

2.18. GM18



Abbildung 245: GM18 - Blickrichtung flussaufwärts



Abbildung 246: GM18 - Profilsicht



Abbildung 247: GM18 - Entnahmestelle links



Abbildung 248: GM18 - Entnahmestelle rechts

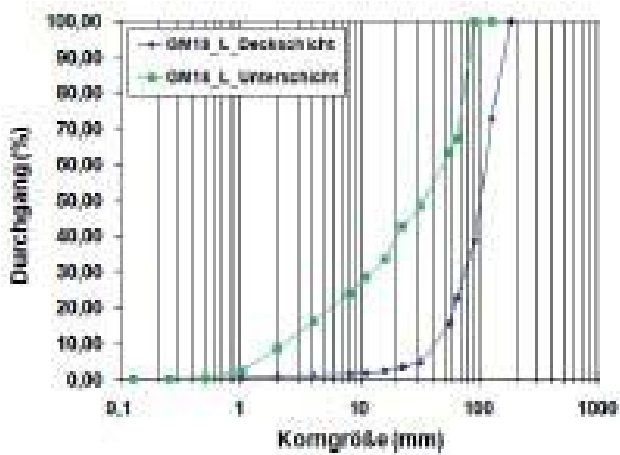


Abbildung 249: GM18 - Kornverteilungskurve

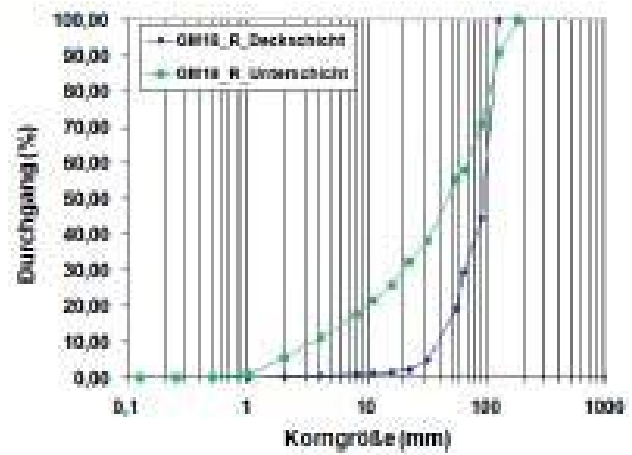


Abbildung 250: GM18 - Kornverteilungskurve

2.19. GM19



Abbildung 251: GM19 - Blickrichtung flussaufwärts



Abbildung 252: GM19 - Profilsicht



Abbildung 253: GM19 - Entnahmestelle links



Abbildung 254: GM19 - Entnahmestelle rechts

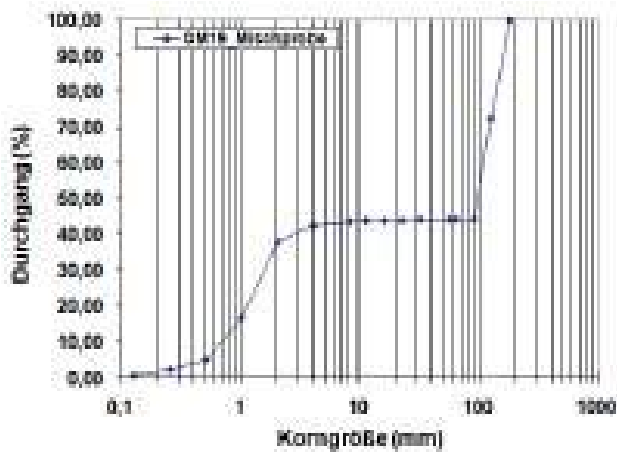


Abbildung 255: GM19 - Kornverteilungskurve links

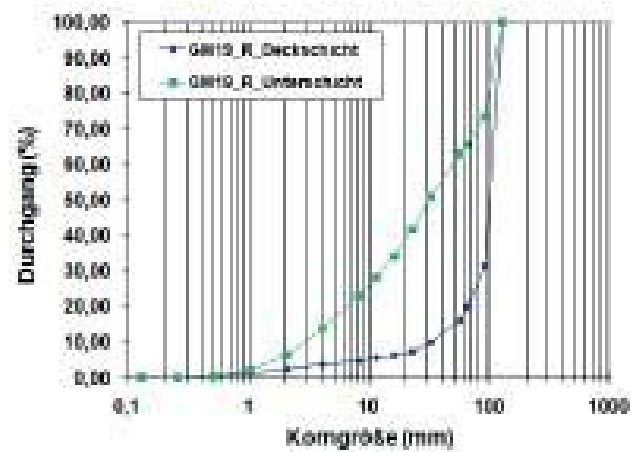


Abbildung 256: GM19 - Kornverteilungskurve rechts

2.20. GM20



Abbildung 257: GM20 - Blickrichtung flussaufwärts



Abbildung 258: GM20 - Profilsicht



Abbildung 259: GM20 - Entnahmestelle links



Abbildung 260: GM20 - Entnahmestelle rechts

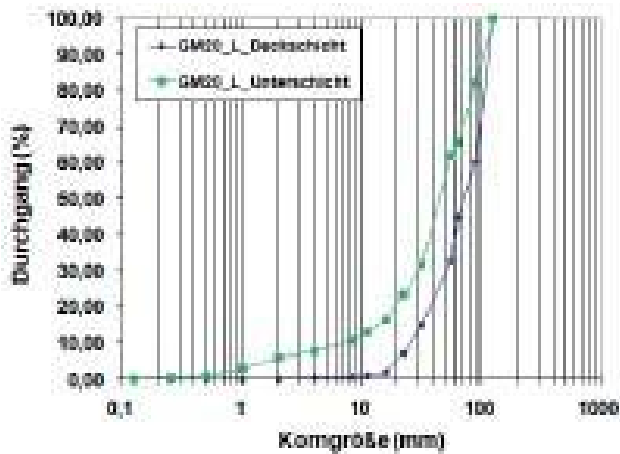


Abbildung 261: GM20 - Kornverteilungskurve links

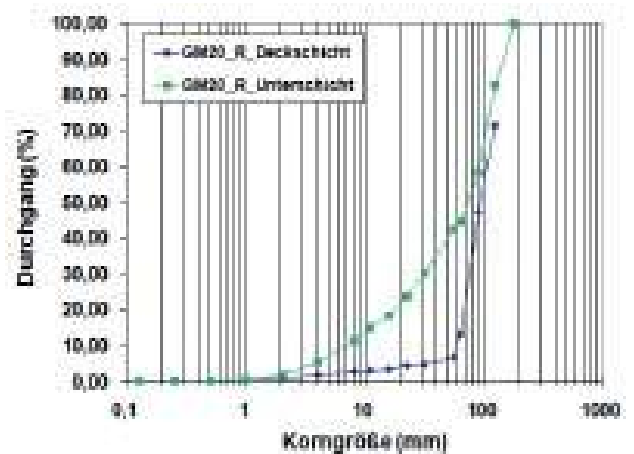


Abbildung 262: GM20 - Kornverteilungskurve rechts

2.21. GM21



Abbildung 263: GM21 - Blickrichtung flussaufwärts



Abbildung 264: GM21 - Profilsicht



Abbildung 265: GM21 - Entnahmestelle links



Abbildung 266: GM21 - Entnahmestelle rechts

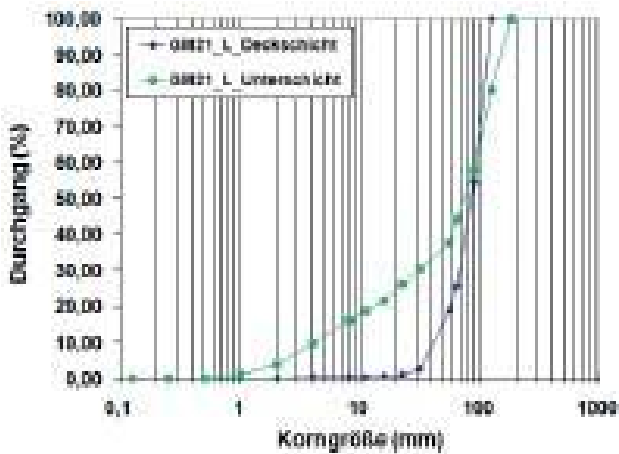


Abbildung 267: GM21 - Kornverteilungskurve links

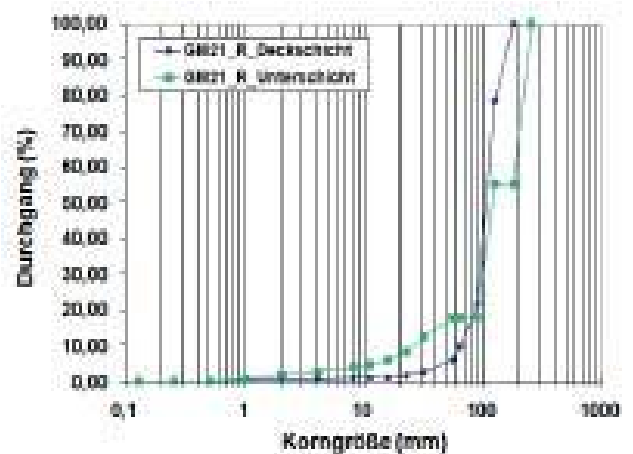


Abbildung 268: GM21 - Kornverteilungskurve rechts

2.22. GM22



Abbildung 269: GM22 - Blickrichtung flussaufwärts



Abbildung 270: GM22 - Profilsicht



Abbildung 271: GM22 - Entnahmestelle links



Abbildung 272: GM22 - Entnahmestelle rechts

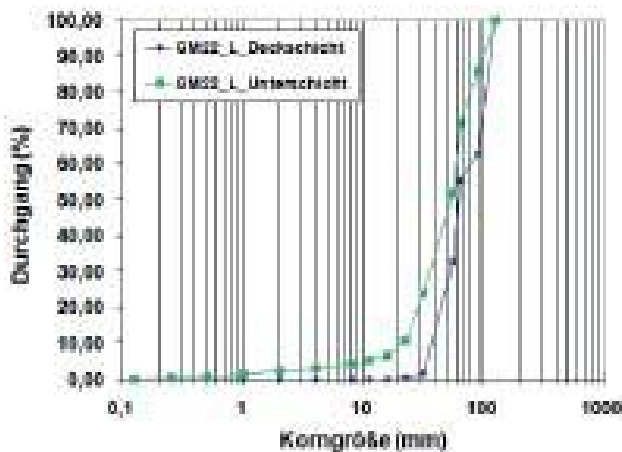


Abbildung 273: GM22 - Kornverteilungskurve links

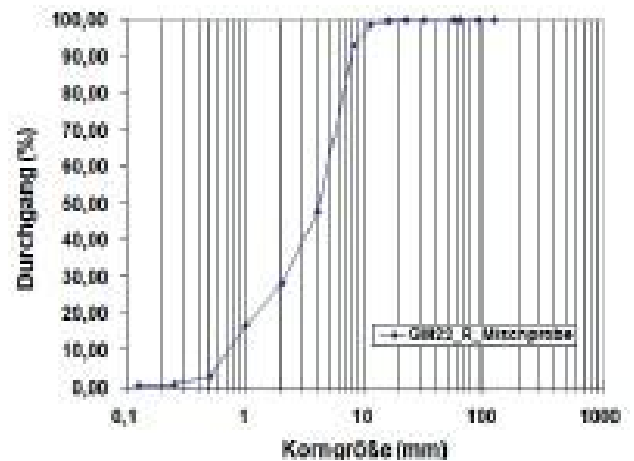


Abbildung 274: GM22 - Kornverteilungskurve rechts

2.23. GM23



Abbildung 275: GM23 - Blickrichtung flussaufwärts



Abbildung 276: GM23 - Profilsicht



Abbildung 277: GM23 - Entnahmestelle links



Abbildung 278: GM23 - Entnahmestelle rechts

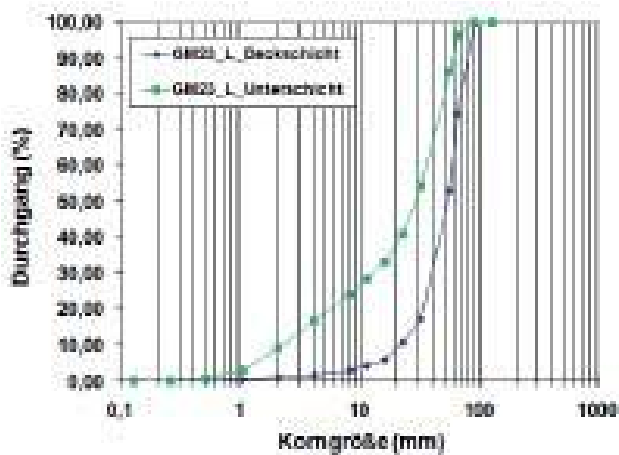


Abbildung 279: GM23 - Kornverteilungskurve links

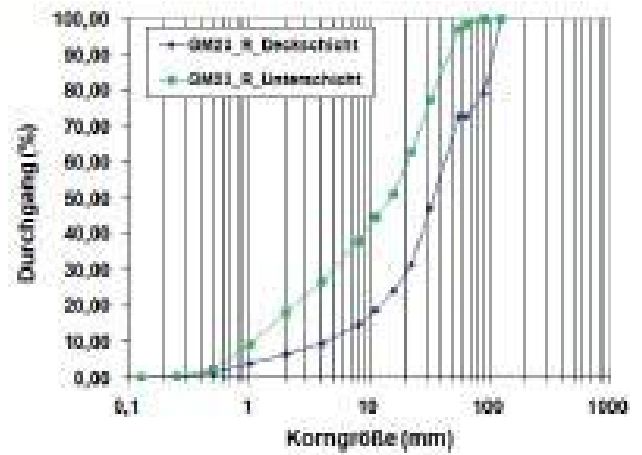


Abbildung 280: GM23 - Kornverteilungskurve rechts

2.24. GM24



Abbildung 281: GM24 - Blickrichtung flussaufwärts



Abbildung 282: GM24 - Profilsicht



Abbildung 283: GM24 - Entnahmestelle links

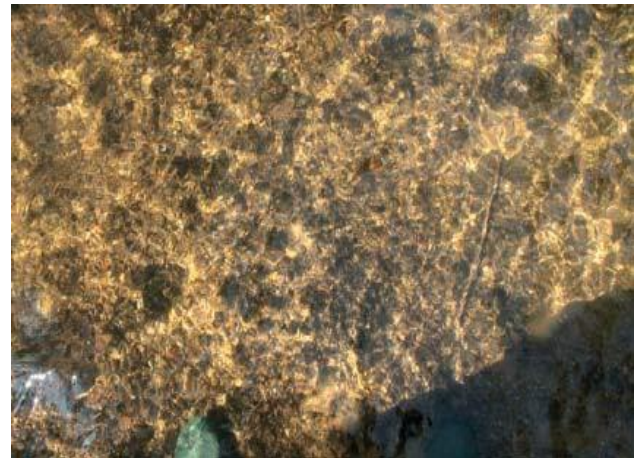


Abbildung 284: GM24 - Entnahmestelle rechts

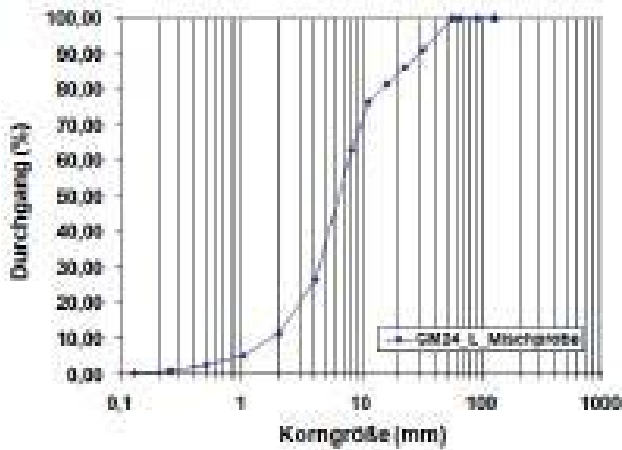


Abbildung 285: GM24 - Kornverteilungskurve links

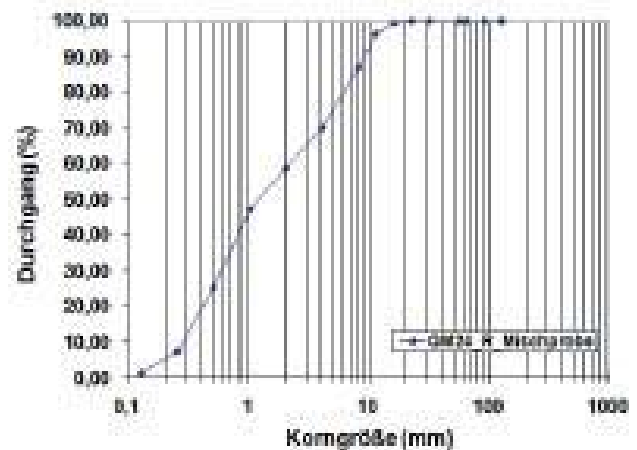


Abbildung 286: GM24 - Kornverteilungskurve rechts

2.25. GM25



Abbildung 287: GM25 - Blickrichtung flussaufwärts



Abbildung 288: GM25 - Profilsicht



Abbildung 289: GM25 - Entnahmestelle links



Abbildung 290: GM25 - Entnahmestelle rechts

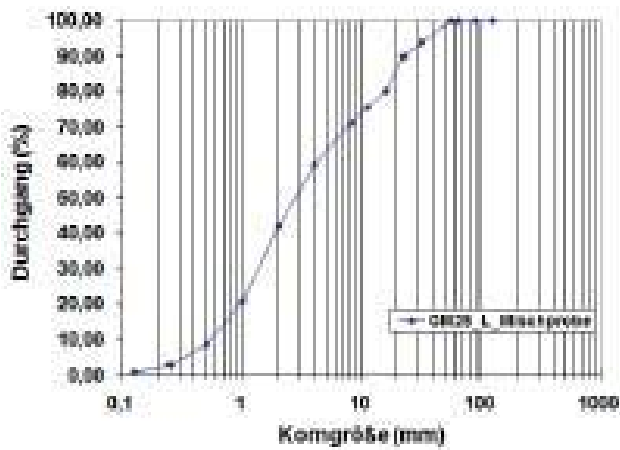


Abbildung 291: GM25 - Kornverteilungskurve links

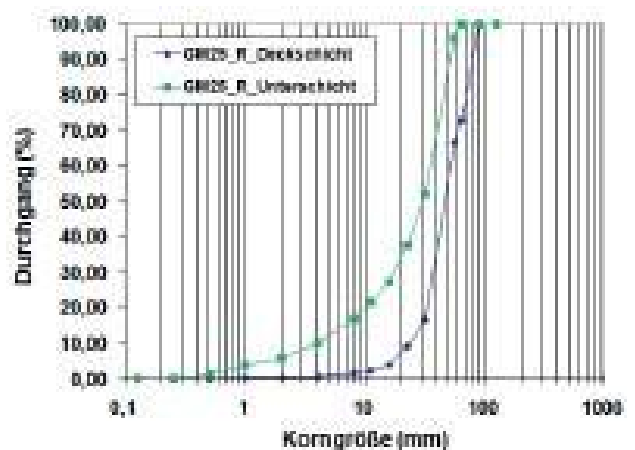


Abbildung 292: GM25 - Kornverteilungskurve rechts

2.26. GM26



Abbildung 293: GM26 - Blickrichtung flussaufwärts

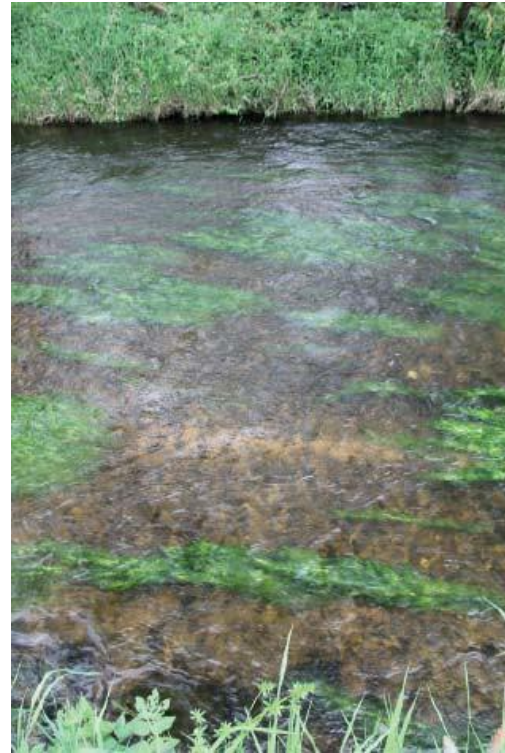


Abbildung 294: GM26 - Profilsicht



Abbildung 295: GM26 - Entnahmestelle links



Abbildung 296: GM26 - Entnahmestelle rechts

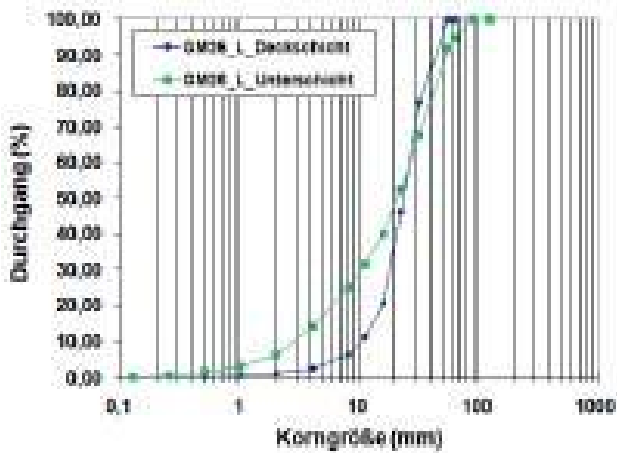


Abbildung 297: GM26 - Kornverteilungskurve links

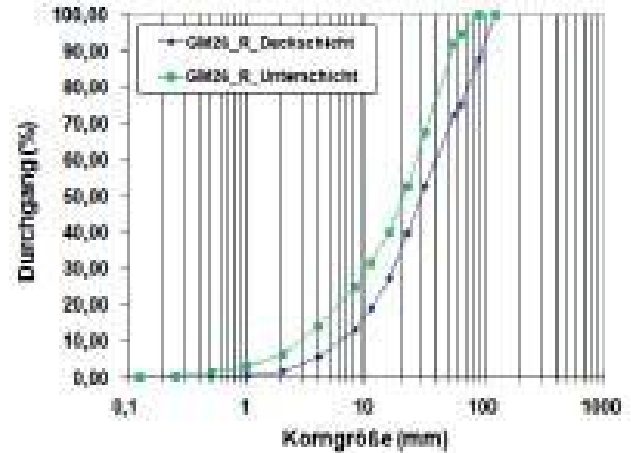


Abbildung 298: GM26 - Kornverteilungskurve rechts

2.27. GM27_I



Abbildung 299: GM27_I_Furt - Blickrichtung flussaufwärts



Abbildung 300: GM27_I_Furt - Profilsicht



Abbildung 301: GM27_I_Furt - Entnahmestelle links



Abbildung 302: GM27_I_Furt - Entnahmestelle rechts

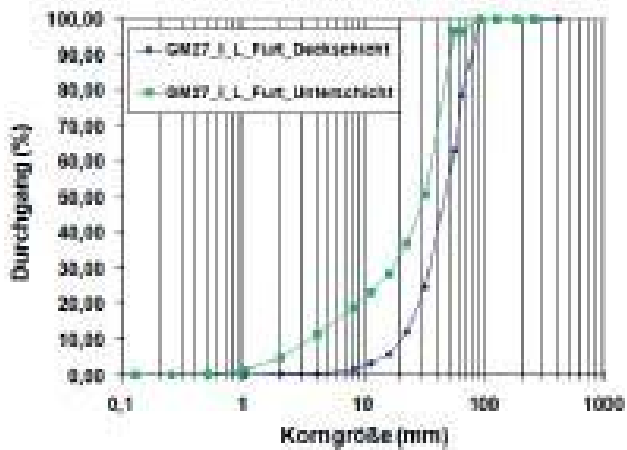


Abbildung 303: GM27_I_Furt - Kornverteilungskurve links

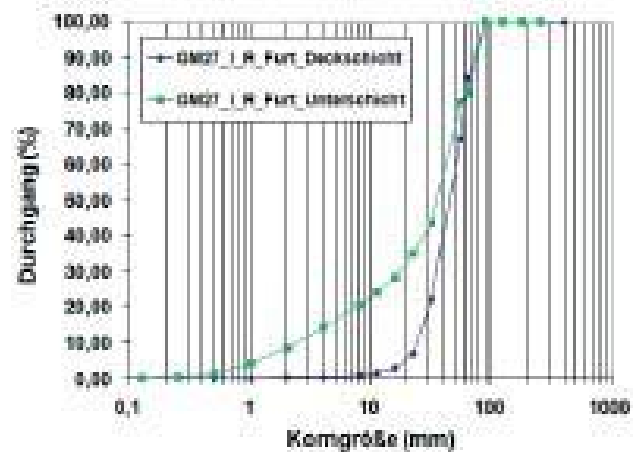


Abbildung 304: GM27_I_Furt - Kornverteilungskurve rechts



Abbildung 305: GM27_I_Rinner - Blickrichtung flussaufwärts



Abbildung 306: GM27_I_Rinner - Profilsicht



Abbildung 307: GM27_I_Rinner - Entnahmestelle

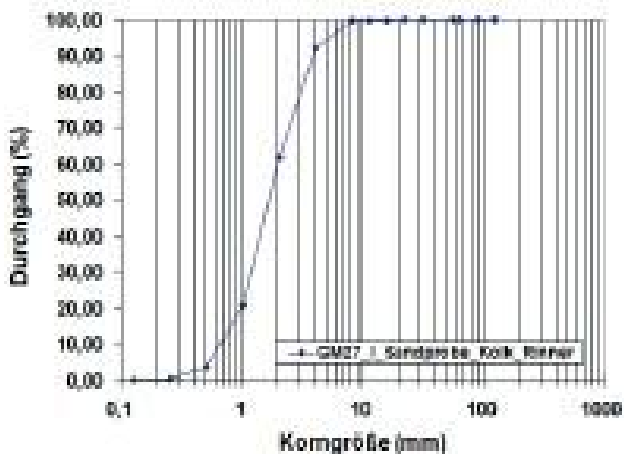


Abbildung 308: GM27_I_Rinner - Kornverteilungskurve

2.28. GM27



Abbildung 309: GM27 - Lage im Fließgewässer

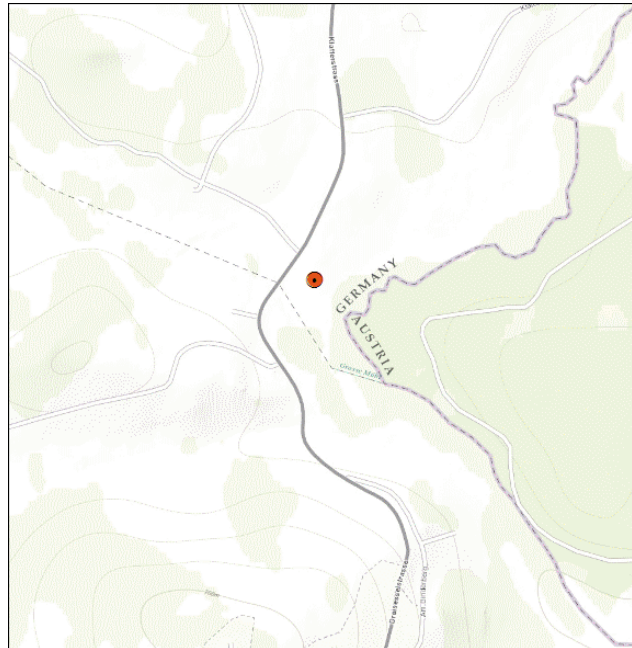


Abbildung 310: GM27 - Topografische Lage

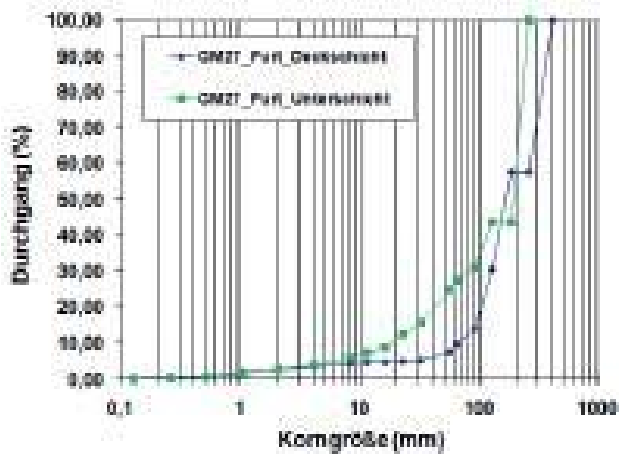


Abbildung 311: GM27 - Kornverteilungskurve Furt

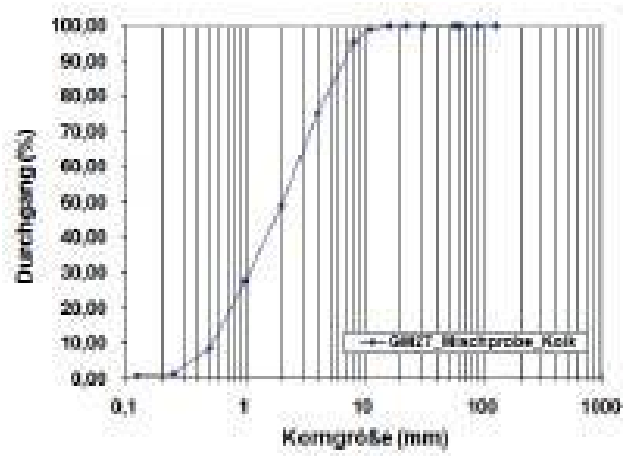


Abbildung 312: GM27 - Kornverteilungskurve Kolk

2.30. GM29



Abbildung 317: GM29 - Lage im Fließgewässer

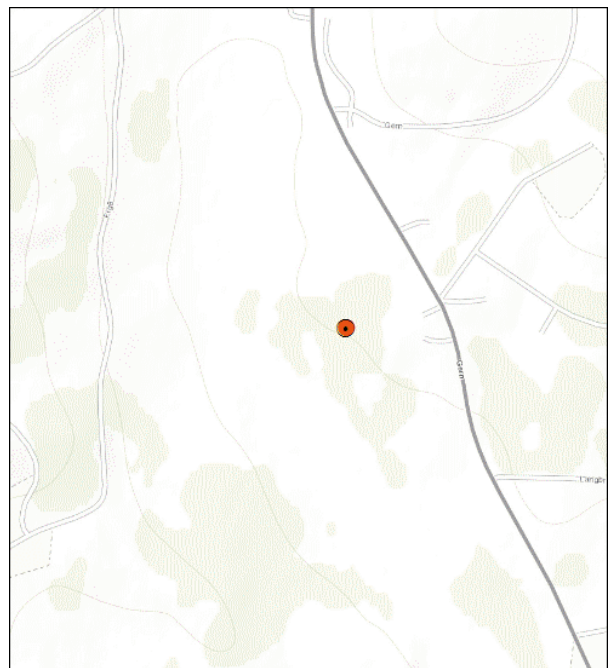


Abbildung 318: GM29 - Topografische Lage

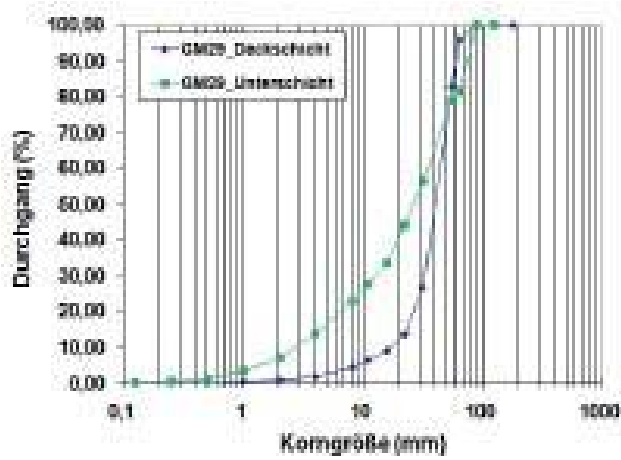


Abbildung 319: GM29 - Kornverteilungskurve Furt

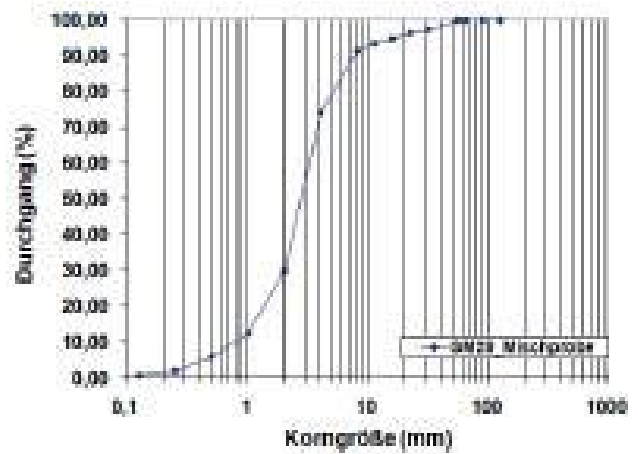


Abbildung 320: GM29 - Kornverteilungskurve Kolk

3. Kleine Mühl

Dieses Kapitel umfasst die Ergebnisse der Probenentnahme an der Kleinen Mühl. Es wurden nach Möglichkeit bei jedem Entnahmepunkt (siehe folgende Abbildung) links und rechts eine Probe entnommen. In den folgenden Abbildungen werden die daraus resultierenden Kornverteilungskurven und die dazugehörigen Fotos dokumentiert.



Abbildung 324: Probenentnahmepunkte - KLEINE MÜHL

3.1. KM1



Abbildung 325: KM1 - Blickrichtung flussaufwärts



Abbildung 326: KM1 - Profilansicht



Abbildung 327: KM1 - Entnahmestelle

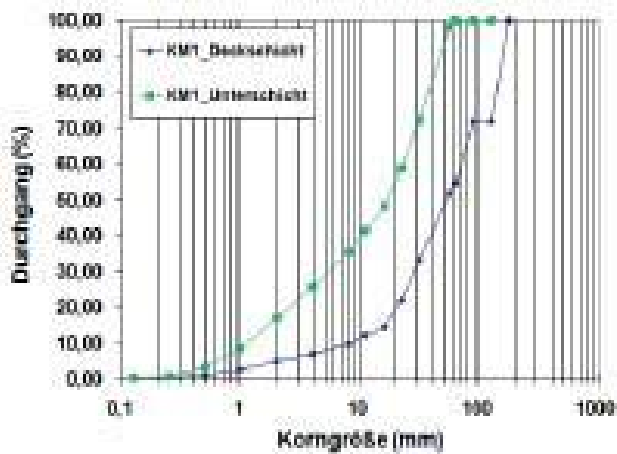


Abbildung 328: KM1 - Kornverteilungskurve

3.2. KM2



Abbildung 329: KM2 - Blickrichtung flussaufwärts



Abbildung 330: KM2 - Profilansicht



Abbildung 331: KM2 - Entnahmestelle

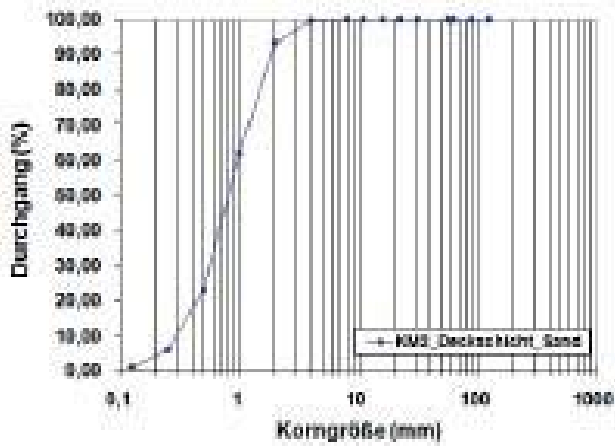


Abbildung 332: KM2 - Kornverteilungskurve

3.3. KM3



Abbildung 333: KM3 - Blickrichtung flussaufwärts



Abbildung 334: KM3 - Profilansicht



Abbildung 335: KM3 - Entnahmestelle

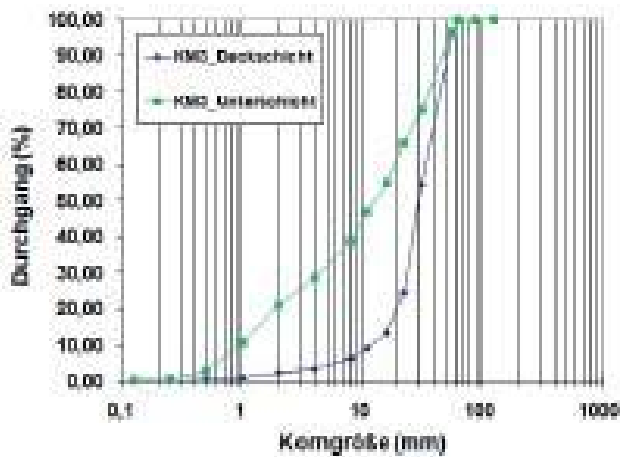


Abbildung 336: KM3 - Kornverteilungskurve

3.4. KM4



Abbildung 337: KM4 - Blickrichtung flussaufwärts



Abbildung 338: KM4 - Profilsicht



Abbildung 339: KM4 - Entnahmestelle Furt



Abbildung 340: KM4 - Entnahmestelle Kolk

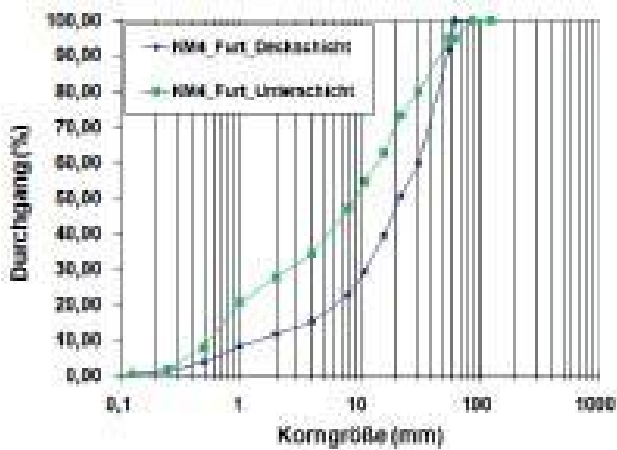


Abbildung 341: KM4 - Kornverteilungskurve Furt

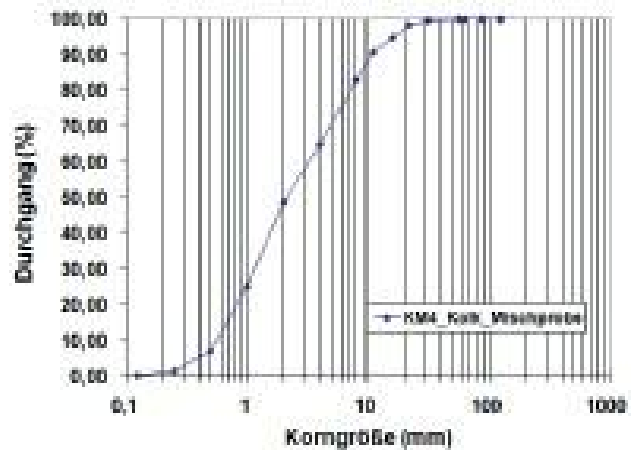


Abbildung 342: KM4 - Kornverteilungskurve Kolk

3.5. KM5



Abbildung 343: KM5 - Blickrichtung flussaufwärts



Abbildung 344: KM5 - Profilansicht



Abbildung 345: KM5 - Entnahmestelle

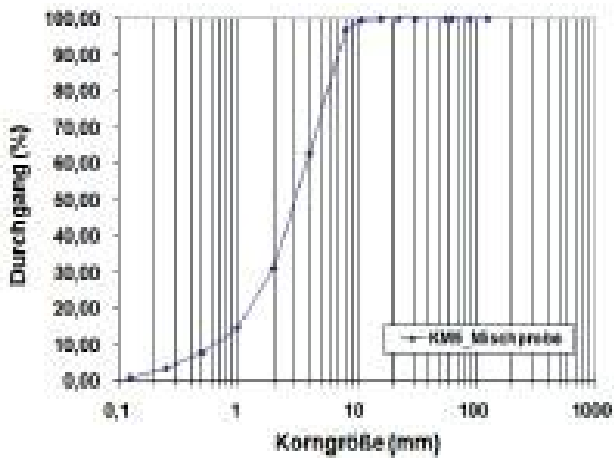


Abbildung 346: KM5 - Kornverteilungskurve

3.6. KM6



Abbildung 347: KM6 - Blickrichtung flussaufwärts



Abbildung 348: KM6 - Profilansicht



Abbildung 349: KM6 - Entnahmestelle Furt

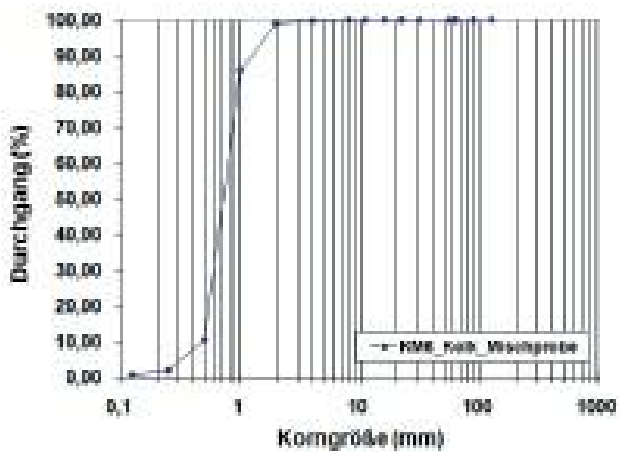


Abbildung 350: KM6 - Kornverteilungskurve Furt

3.7. KM7



Abbildung 351: KM7 - Blickrichtung flussaufwärts



Abbildung 352: KM7 - Profilansicht



Abbildung 353: KM7 - Entnahmestelle Furt



Abbildung 354: KM7 - Entnahmestelle Kolk

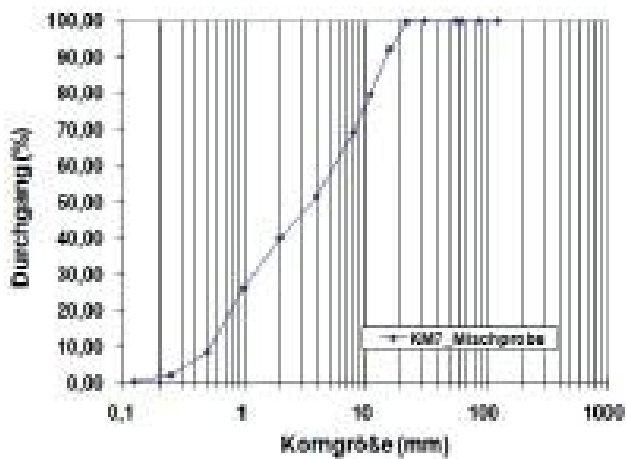


Abbildung 355: KM7 - Kornverteilungskurve Furt

3.8. KM8



Abbildung 356: KM8 - Blickrichtung flussaufwärts



Abbildung 357: KM8 - Profilansicht



Abbildung 358: KM8 - Entnahmestelle links

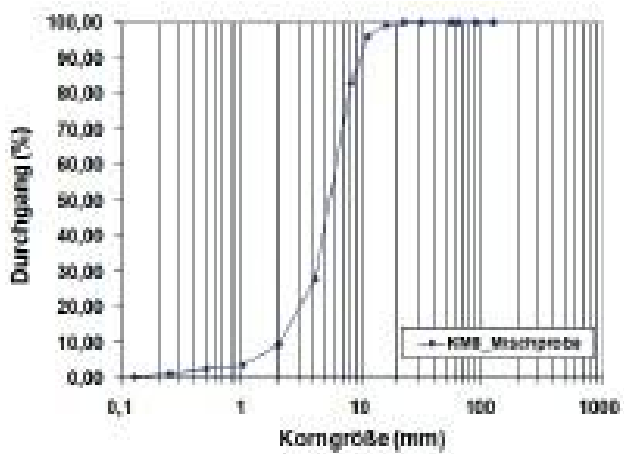


Abbildung 359: KM8 - Kornverteilungskurve links

3.9. KM9



Abbildung 360: KM9 - Blickrichtung flussaufwärts



Abbildung 361: KM9 - Profilansicht



Abbildung 362: KM9 - Entnahmestelle

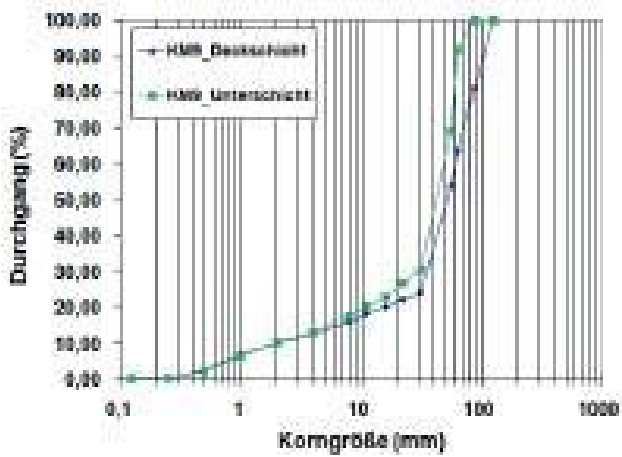


Abbildung 363: KM9 - Kornverteilungskurve links

3.10. KM10



Abbildung 364: KM10 - Blickrichtung flussaufwärts



Abbildung 365: KM10 - Profilsicht



Abbildung 366: KM10 - Entnahmestelle links

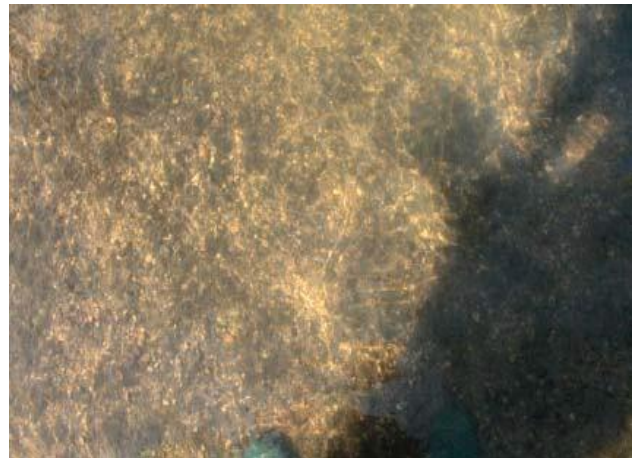


Abbildung 367: KM10 - Entnahmestelle rechts

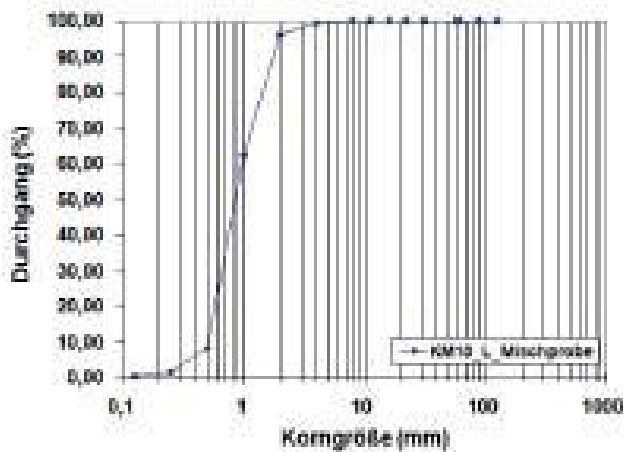


Abbildung 368: KM10 - Kornverteilungskurve links

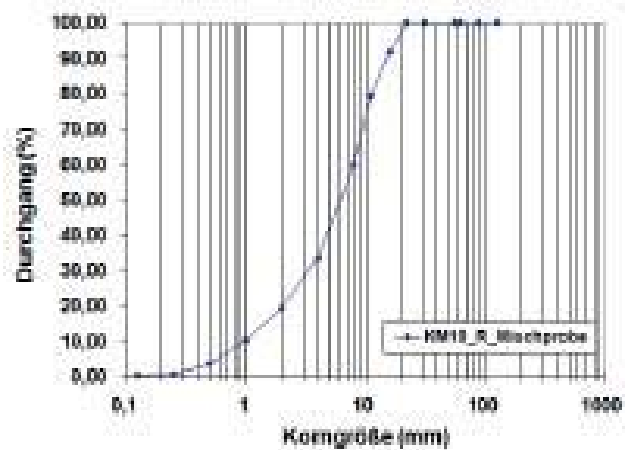


Abbildung 369: KM10 - Kornverteilungskurve rechts

3.11. KM11



Abbildung 370: KM11 - Blickrichtung flussaufwärts



Abbildung 371: KM11 - Profilsicht

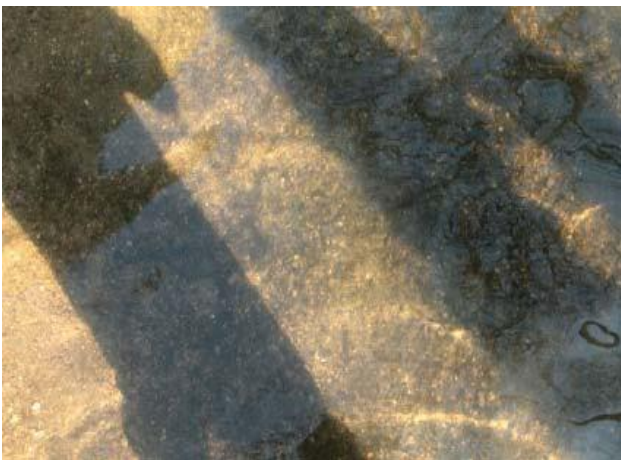


Abbildung 372: KM11 - Entnahmestelle links



Abbildung 373: KM11 - Entnahmestelle rechts

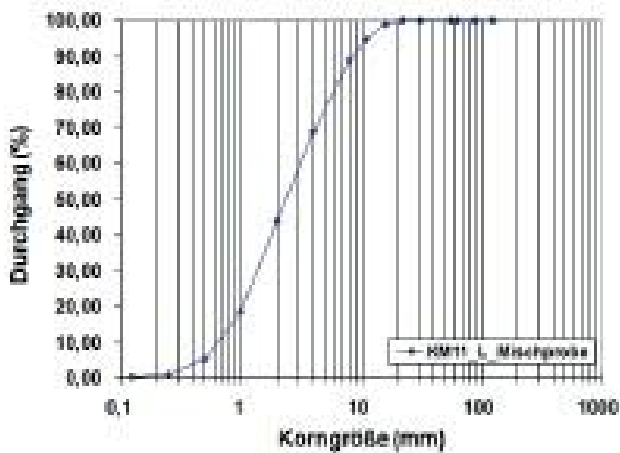


Abbildung 374: KM11 - Kornverteilungskurve links

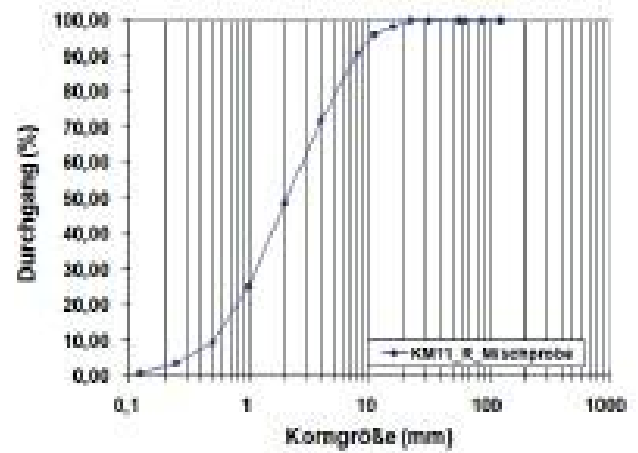


Abbildung 375: KM11 - Kornverteilungskurve rechts

3.12. KM12



Abbildung 376: KM12_Furt - Blickrichtung flussaufwärts



Abbildung 377: KM12_Furt - Profilsicht



Abbildung 378: KM12_Furt - Entnahmestelle

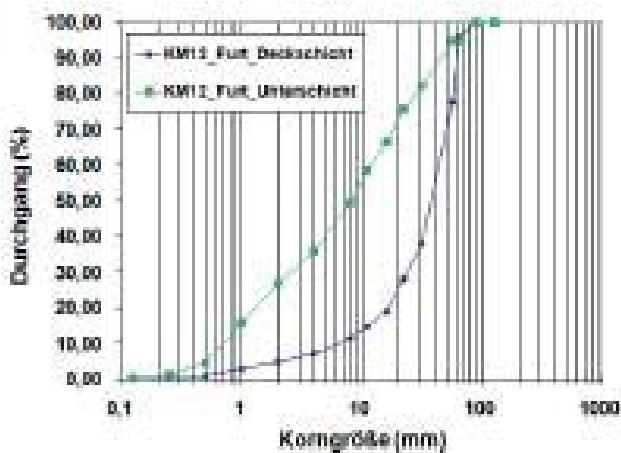


Abbildung 379: KM12_Furt - Kornverteilungskurve

Semiquantitative Analyse der Korn-eigenschaften (Bestimmung größerer Fraktionen mittels Schublehre; Abschätzung des Versandungsgrades)

Es wurden keine Sieblinien erstellt.



Abbildung 380: KM12 - Blickrichtung flussaufwärts



Abbildung 381: KM12 - Profilsicht



Abbildung 382: KM12 - Entnahmestelle links



Abbildung 383: KM12 - Entnahmestelle rechts

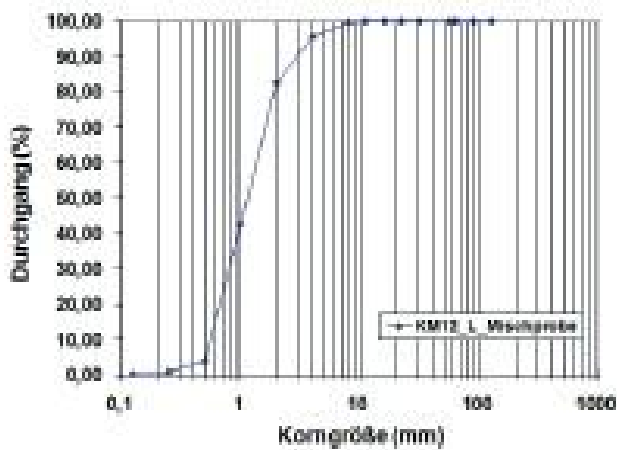


Abbildung 384: KM12 - Kornverteilungskurve links

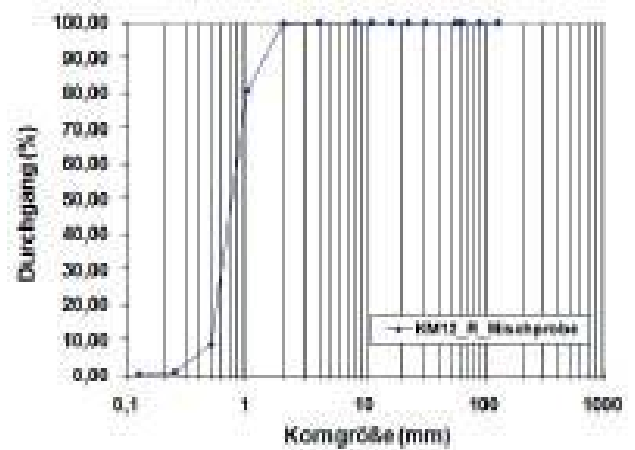


Abbildung 385: KM12 - Kornverteilungskurve rechts

3.13. KM13



Abbildung 386: KM13 - Blickrichtung flussaufwärts



Abbildung 387: KM13 - Profilansicht



Abbildung 388: KM13 - Entnahmestelle links

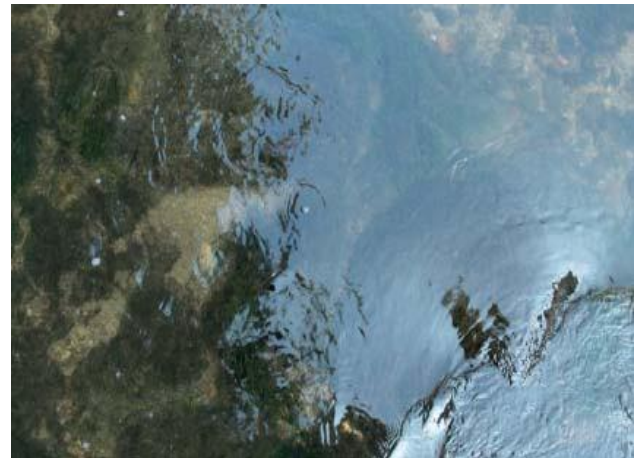


Abbildung 389: KM13 - Entnahmestelle rechts

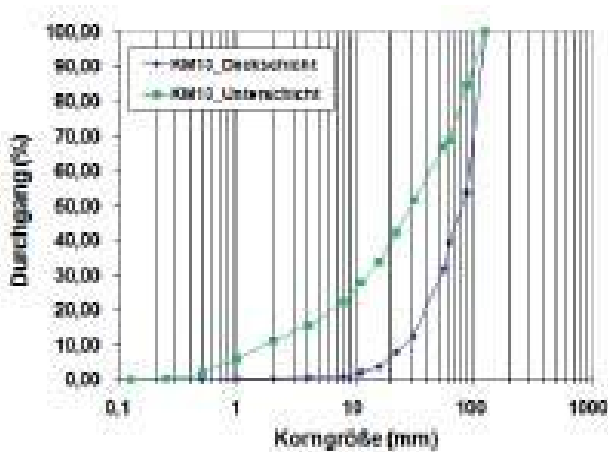


Abbildung 390: KM13 - Kornverteilungskurve links

Semiquantitative Analyse der Korn-eigenschaften (Bestimmung größerer Fraktionen mittels Schublehre; Abschätzung des Versandungsgrades)

Es wurden keine Sieblinien erstellt.

3.14. KM14



Abbildung 391: KM14 - Blickrichtung flussaufwärts



Abbildung 392: KM14 - Profilansicht



Abbildung 393: KM14 - Entnahmestelle links



Abbildung 394: KM14 - Entnahmestelle rechts

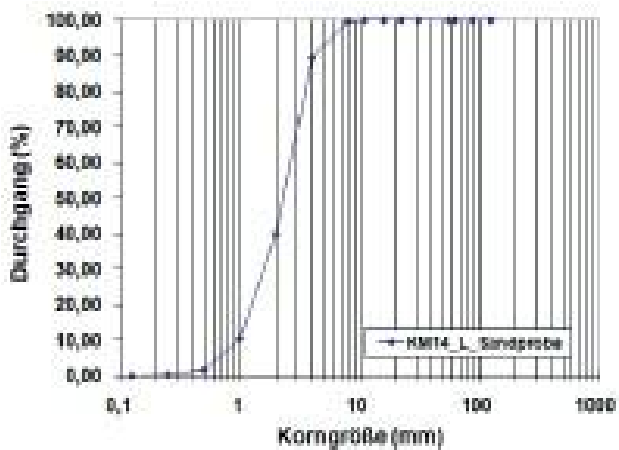


Abbildung 395: KM14 - Kornverteilungskurve links

Semiquantitative Analyse der Korn-eigenschaften (Bestimmung gröberer Fraktionen mittels Schublehre; Abschätzung des Versandungsgrades)

Es wurden keine Sieblinien erstellt.

3.15. KM15



Abbildung 396: KM15 - Blickrichtung flussaufwärts



Abbildung 397: KM15 - Profilansicht



Abbildung 398: KM15 - Entnahmestelle links



Abbildung 399: KM15 - Entnahmestelle rechts

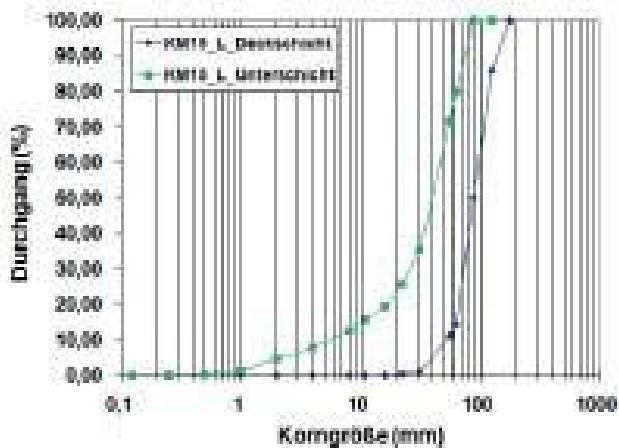


Abbildung 400: KM15 - Kornverteilungskurve

Semiquantitative Analyse der Korn-eigenschaften (Bestimmung gröberer Fraktionen mittels Schublehre; Abschätzung des Versandungsgrades)

Es wurden keine Sieblinien erstellt.

3.16. KM16



Abbildung 401: KM16 - Blickrichtung flussaufwärts

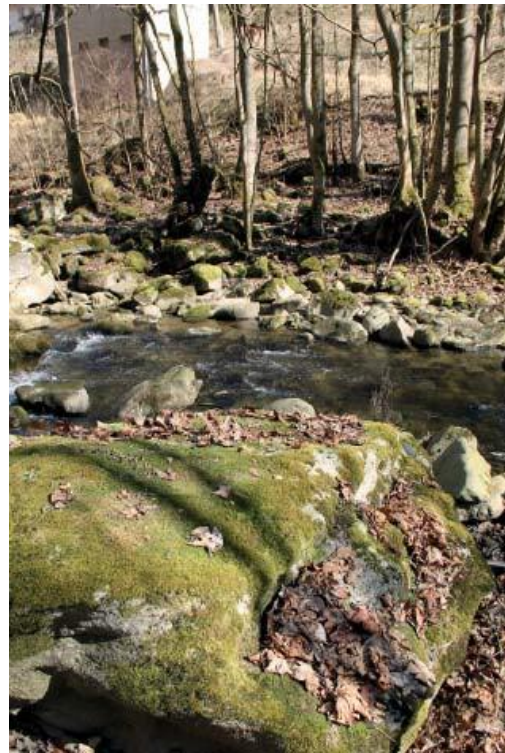


Abbildung 402: KM16 - Profilansicht



Abbildung 403: KM16 - Entnahmestelle links



Abbildung 404: KM16 - Entnahmestelle rechts

Semiquantitative Analyse der Korn-eigenschaften (Bestimmung gröberer Fraktionen mittels Schublehre; Abschätzung des Versandungsgrades)

Es wurden keine Sieblinien erstellt.

Semiquantitative Analyse der Korn-eigenschaften (Bestimmung gröberer Fraktionen mittels Schublehre; Abschätzung des Versandungsgrades)

Es wurden keine Sieblinien erstellt.

3.17. KM17



Abbildung 405: KM17 - Blickrichtung flussaufwärts



Abbildung 406: KM17 - Profilansicht



Abbildung 407: KM17 - Entnahmestelle links

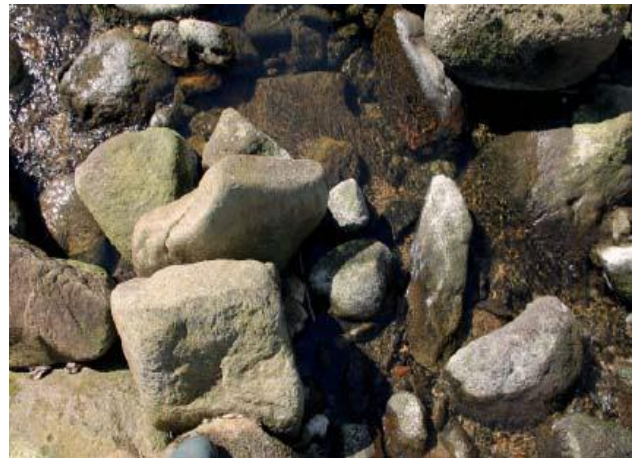


Abbildung 408: KM17 - Entnahmestelle rechts

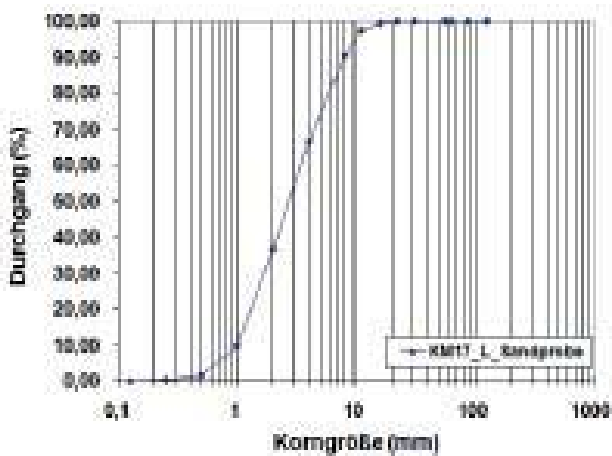


Abbildung 409: KM17 - Kornverteilungskurve links

Semiquantitative Analyse der Korn-eigenschaften (Bestimmung größerer Fraktionen mittels Schublehre; Abschätzung des Versandungsgrades)

Es wurden keine Sieblinien erstellt.

4. Osterbach

Dieses Kapitel umfasst die Ergebnisse der Probenentnahme am Osterbach. Es wurden nach Möglichkeit bei jedem Entnahmepunkt (siehe folgende Abbildung) links und rechts eine Probe entnommen. In den folgenden Abbildungen werden die daraus resultierenden Kornverteilungskurven und die dazugehörigen Fotos dokumentiert.



Abbildung 410: Probenentnahmepunkte - OSTERBACH

4.1. O1



Abbildung 411: O1 - Blickrichtung flussaufwärts



Abbildung 412: O1 - Profilsicht



Abbildung 413: O1 - Entnahmestelle

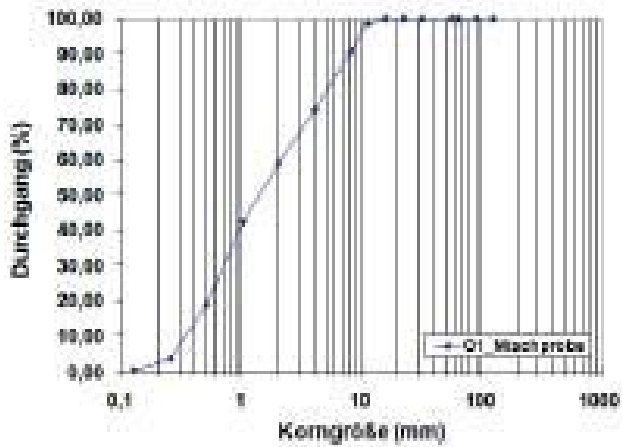


Abbildung 414: O1 - Kornverteilungskurve

4.2. O2



Abbildung 415: O2 - Blickrichtung flussaufwärts



Abbildung 416: O2 - Profilsicht



Abbildung 417: O2 - Entnahmestelle Furt



Abbildung 418: O2 - Entnahmestelle Kolk

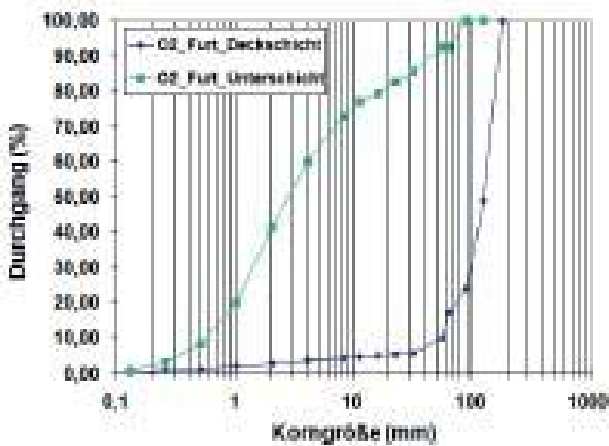


Abbildung 419: O2 - Kornverteilungskurve Furt

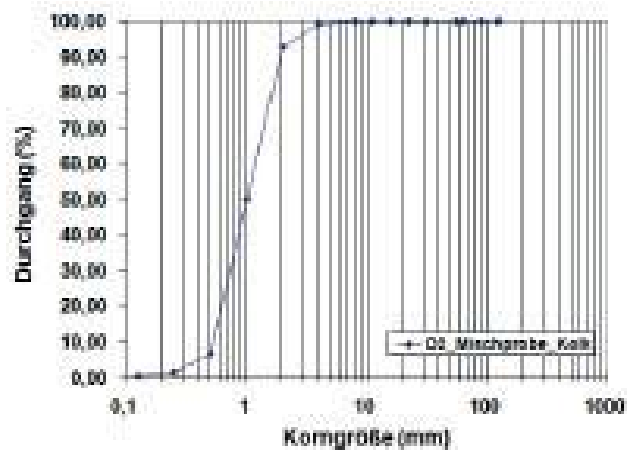


Abbildung 420: O2 - Kornverteilungskurve Kolk

4.3. O3



Abbildung 421: O3 - Blickrichtung flussaufwärts



Abbildung 422: O3 - Profilsicht



Abbildung 423: O3 - Entnahmestelle

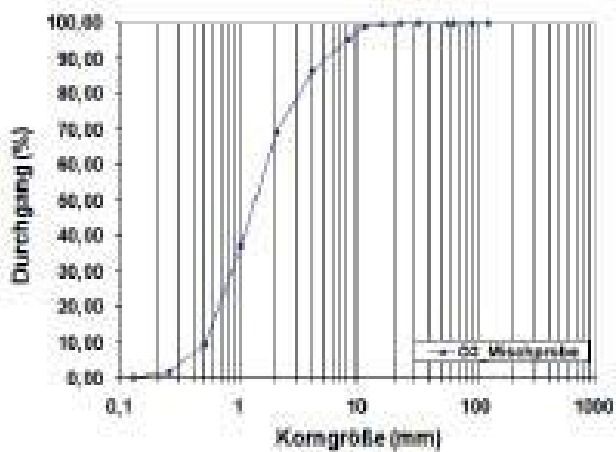


Abbildung 424: O3 - Kornverteilungskurve

4.4. O4

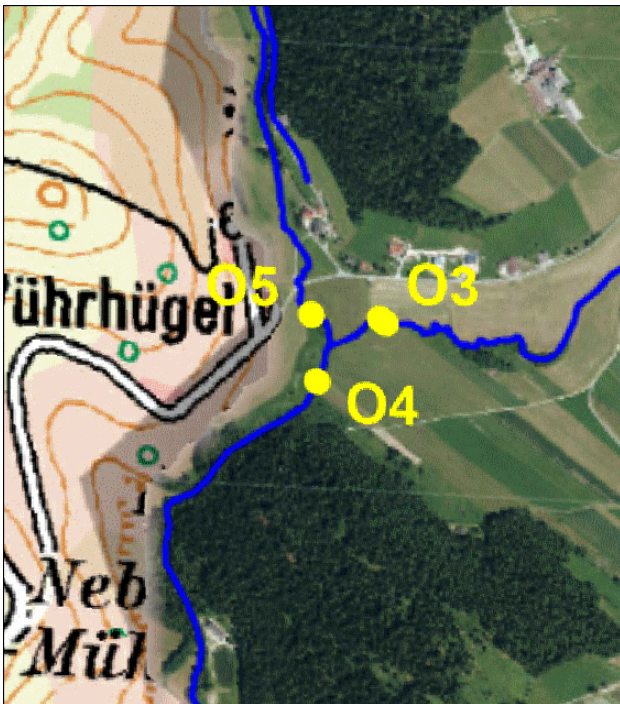


Abbildung 425: O4 - Lage im Fließgewässer

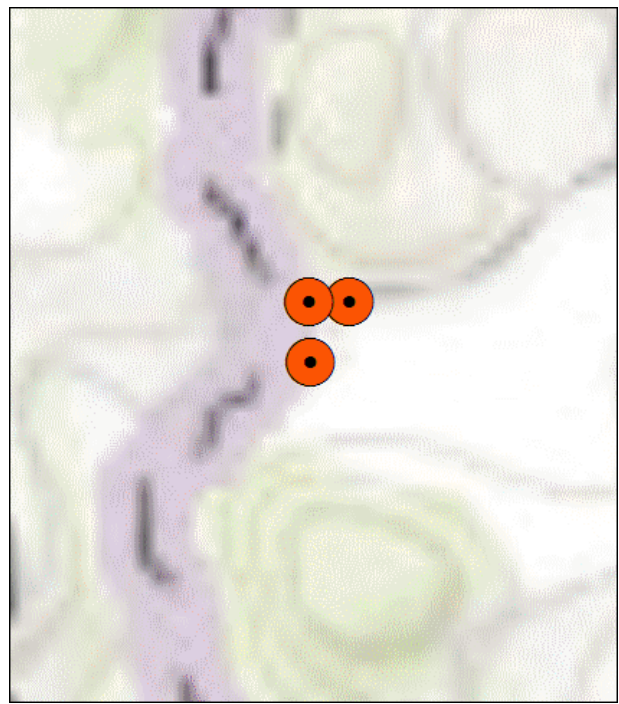


Abbildung 426: O4 - Topografische Lage

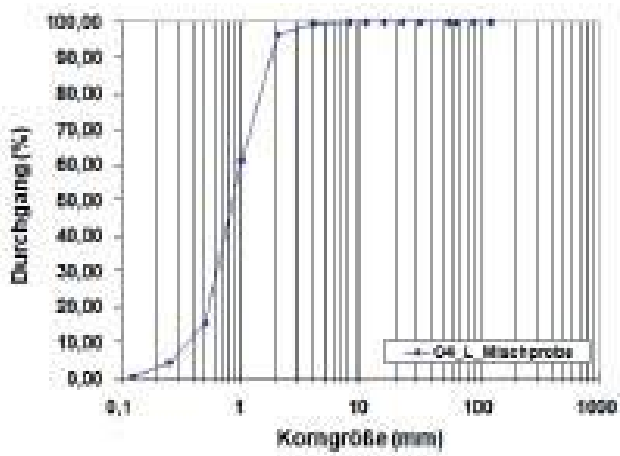


Abbildung 427: O4 - Kornverteilungskurve links

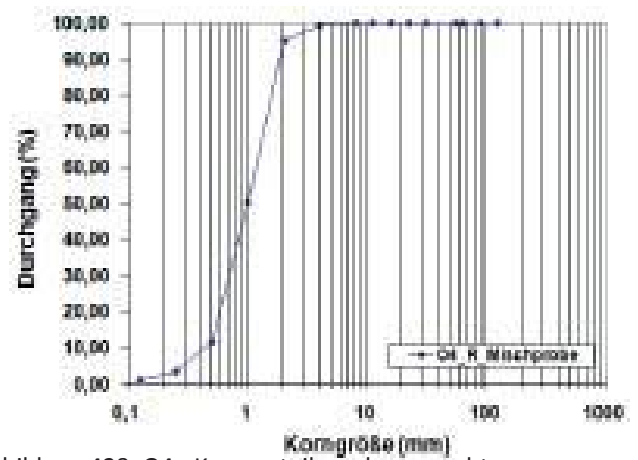


Abbildung 428: O4 - Kornverteilungskurve rechts

4.5. O5



Abbildung 429: KM17 - Blickrichtung flussaufwärts



Abbildung 430: KM17 - Profilsicht



Abbildung 431: KM17 - Entnahmestelle Furt



Abbildung 432: KM17 - Entnahmestelle Kolk

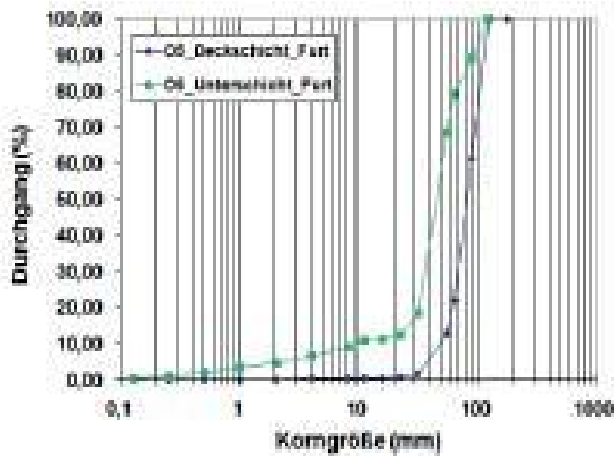


Abbildung 433: KM17 - Kornverteilungskurve Furt

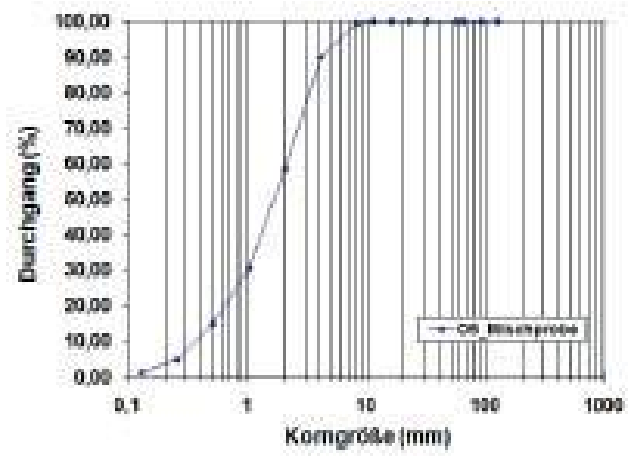


Abbildung 434: KM17 - Kornverteilungskurve Kolk

4.6. O6



Abbildung 435: O6 - Blickrichtung flussabwärts



Abbildung 436: O6 - Profilansicht



Abbildung 437: O6 - Entnahmestelle links

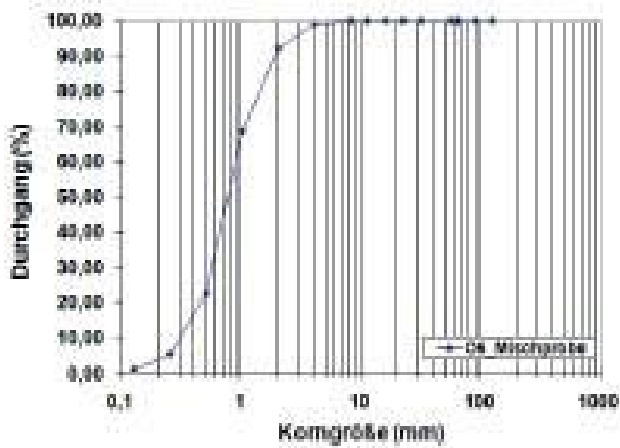


Abbildung 438: O6 - Kornverteilungskurve

4.7. O7



Abbildung 439: O7 - Blickrichtung flussaufwärts



Abbildung 440: O7 - Profilansicht



Abbildung 441: O7 - Entnahmestelle

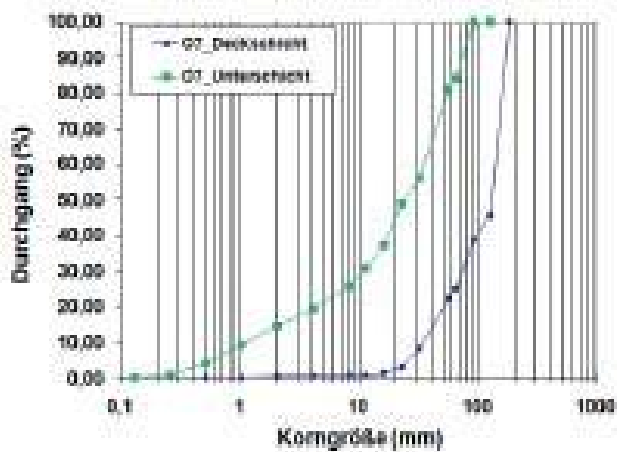


Abbildung 442: O7 - Kornverteilungskurve

4.8. O8

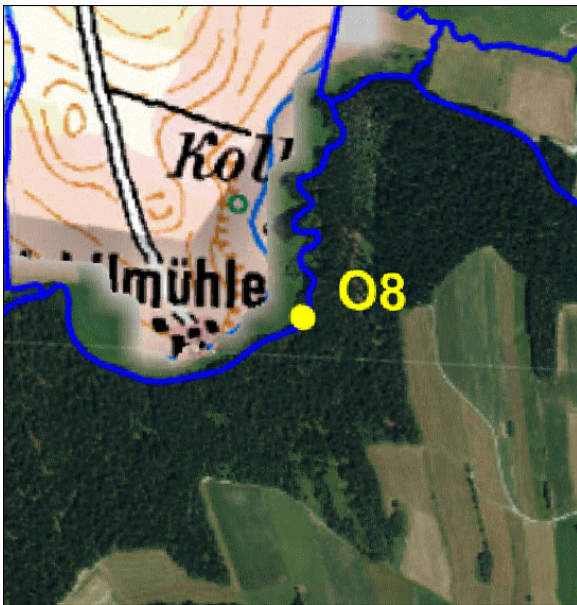


Abbildung 443: O8 - Lage im Fließgewässer

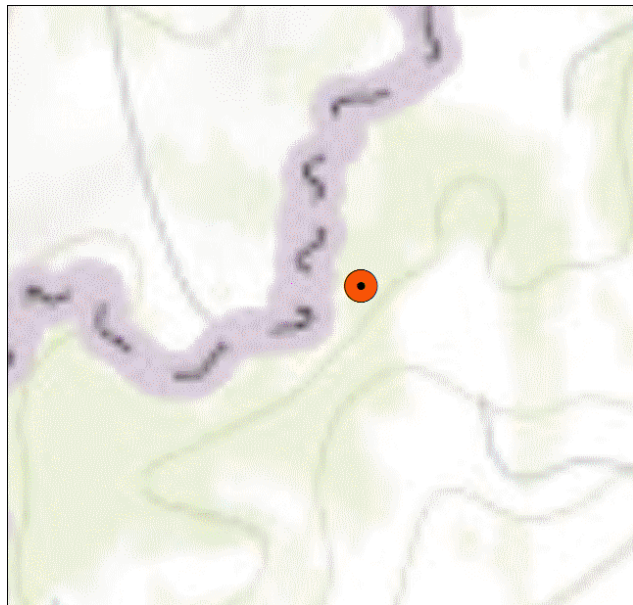


Abbildung 444: O8 - Topografische Lage

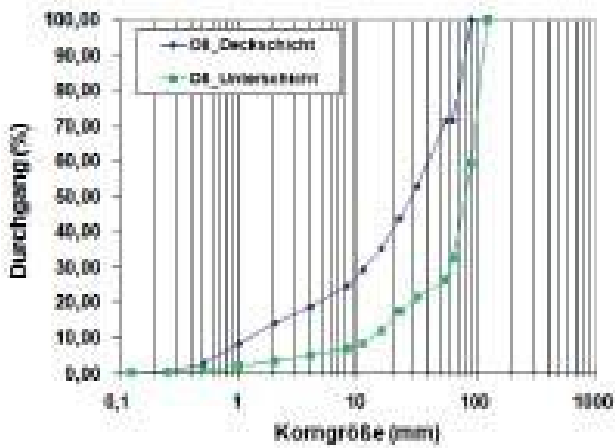


Abbildung 445: O8 - Kornverteilungskurve

4.9. O9



Abbildung 446: O9 - Blickrichtung flussaufwärts



Abbildung 447: O9 - Profilsicht



Abbildung 448: O9 - Entnahmestelle links



Abbildung 449: O9 - Entnahmestelle rechts

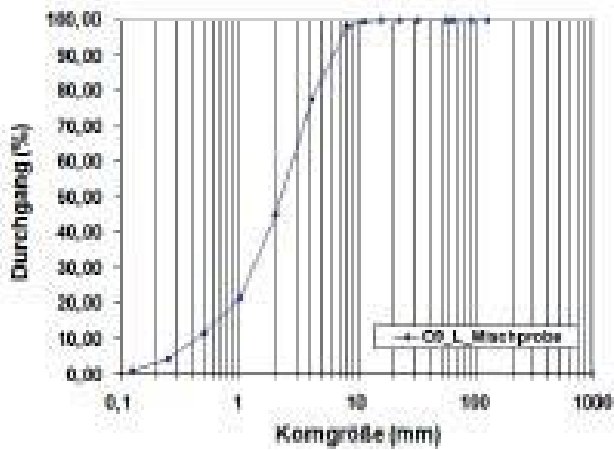


Abbildung 450: O9 - Kornverteilungskurve links

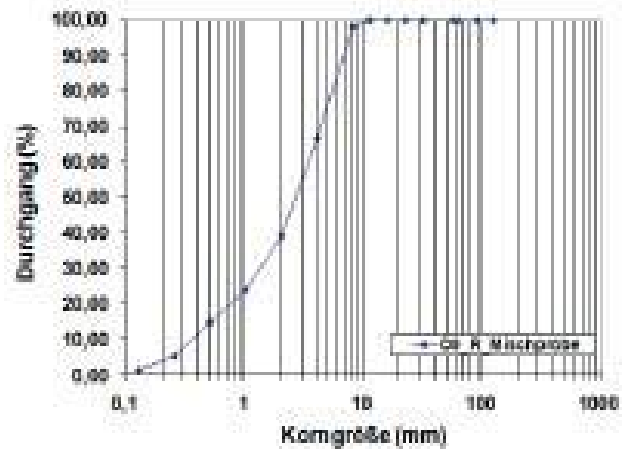


Abbildung 451: O9 - Kornverteilungskurve rechts

4.10. O10



Abbildung 452: O10 - Blickrichtung flussaufwärts



Abbildung 453: O10 - Profilsicht



Abbildung 454: O10 - Entnahmestelle links

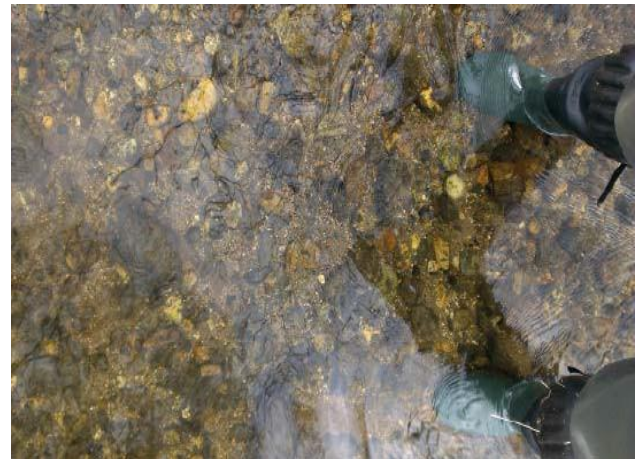


Abbildung 455: O10 - Entnahmestelle rechts

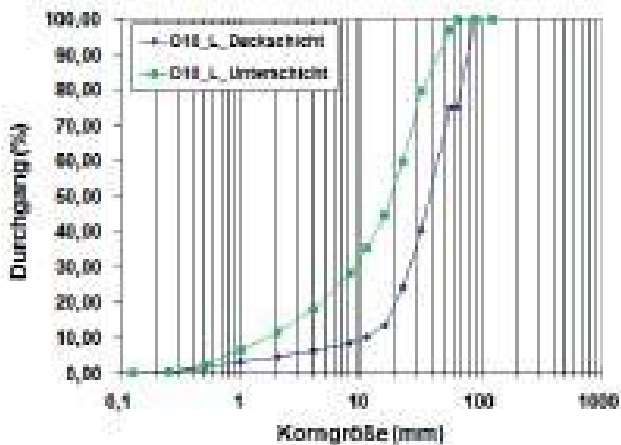


Abbildung 456: O10 - Kornverteilungskurve links

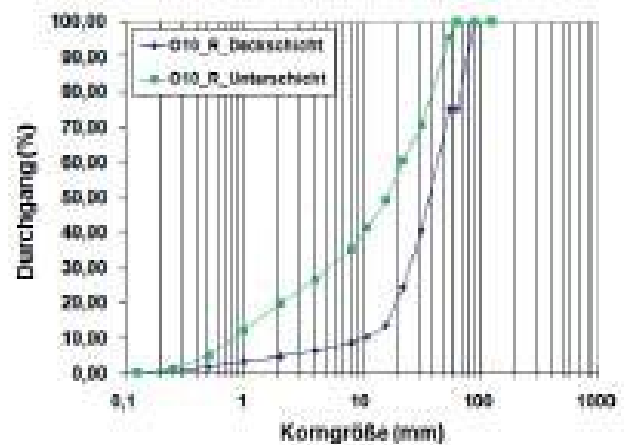


Abbildung 457: O10 - Kornverteilungskurve rechts



Abbildung 458: O10 - Blickrichtung flussaufwärts



Abbildung 459: O10 - Profilsicht



Abbildung 460: O10 - Entnahmestelle

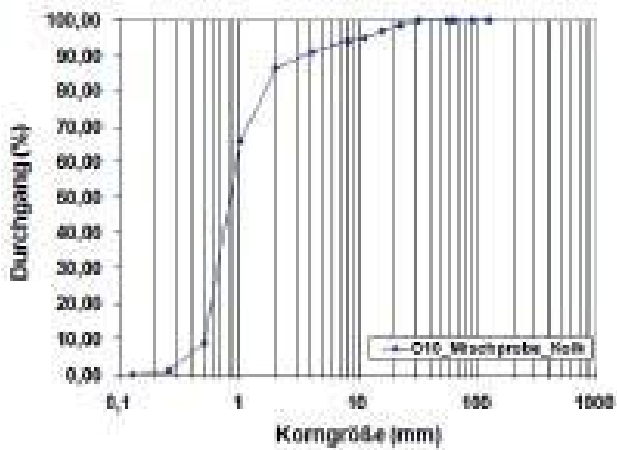


Abbildung 461: O10 - Kornverteilungskurve

4.11. O11



Abbildung 462: O11 - Blickrichtung flussaufwärts



Abbildung 463: O11 - Profilansicht



Abbildung 464: O11 - Entnahmestelle

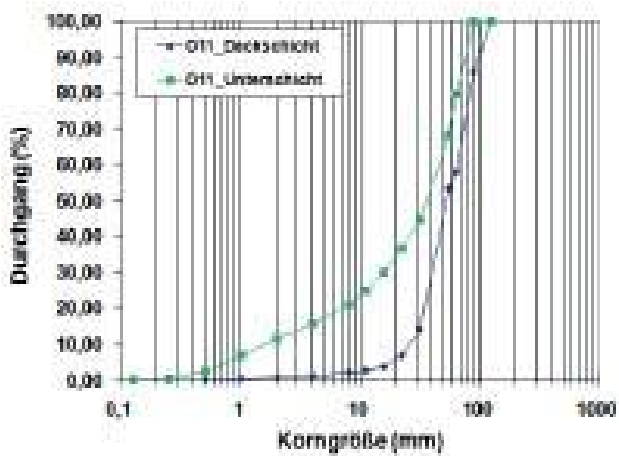


Abbildung 465: O11 - Kornverteilungskurve

4.12. O12



Abbildung 466: O12 - Blickrichtung flussaufwärts



Abbildung 467: O12 - Profilansicht



Abbildung 468: O12 - Entnahmestelle links



Abbildung 469: O12 - Entnahmestelle rechts

Semiquantitative Analyse der Korn-eigenschaften (Bestimmung gröberer Fraktionen mittels Schublehre; Abschätzung des Versandungsgrades)

Es wurden keine Sieblinien erstellt.

Semiquantitative Analyse der Korn-eigenschaften (Bestimmung gröberer Fraktionen mittels Schublehre; Abschätzung des Versandungsgrades)

Es wurden keine Sieblinien erstellt.

4.13. O13



Abbildung 470: O13 - Blickrichtung flussaufwärts

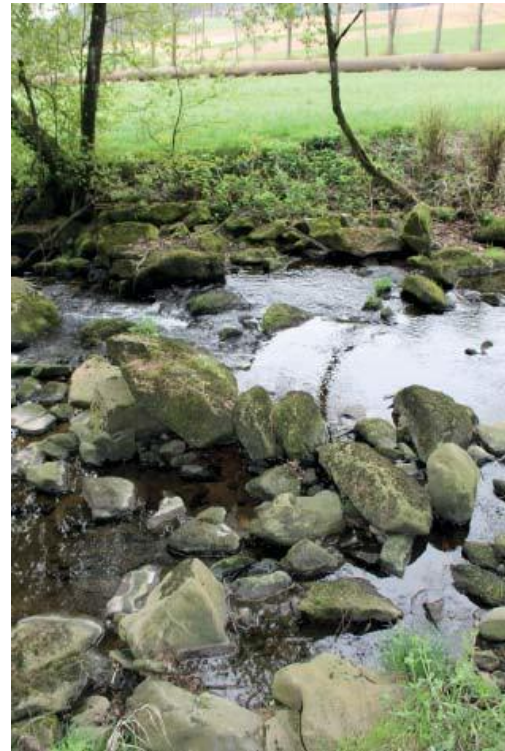


Abbildung 471: O13 - Profilansicht



Abbildung 472: O13 - Entnahmestelle links



Abbildung 473: O13 - Entnahmestelle rechts

Semiquantitative Analyse der Korn-eigenschaften (Bestimmung gröberer Fraktionen mittels Schublehre; Abschätzung des Versandungsgrades)

Es wurden keine Sieblinien erstellt.

Semiquantitative Analyse der Korn-eigenschaften (Bestimmung gröberer Fraktionen mittels Schublehre; Abschätzung des Versandungsgrades)

Es wurden keine Sieblinien erstellt.

4.14. O14



Abbildung 474: O14 - Blickrichtung flussaufwärts

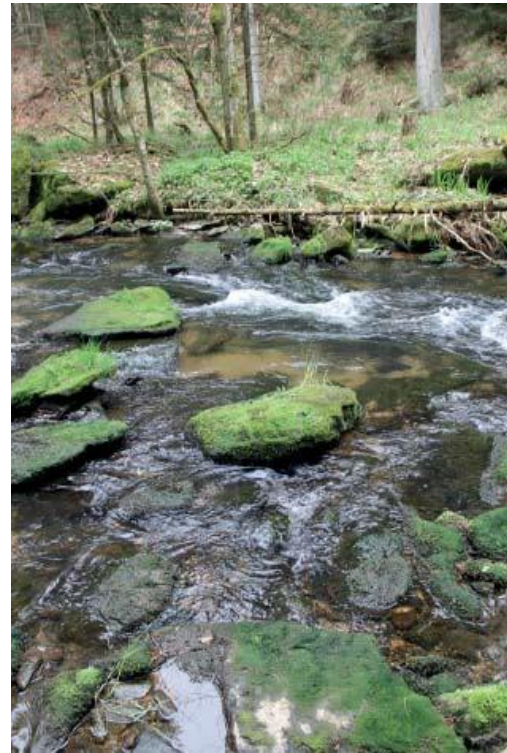


Abbildung 475: O14 - Profilansicht



Abbildung 476: O14 - Entnahmestelle links



Abbildung 477: O14 - Entnahmestelle rechts

Semiquantitative Analyse der Korn-eigenschaften (Bestimmung gröberer Fraktionen mittels Schublehre; Abschätzung des Versandungsgrades)

Es wurden keine Sieblinien erstellt.

Semiquantitative Analyse der Korn-eigenschaften (Bestimmung gröberer Fraktionen mittels Schublehre; Abschätzung des Versandungsgrades)

Es wurden keine Sieblinien erstellt.

4.15. O15



Abbildung 478: O15 - Blickrichtung flussaufwärts



Abbildung 479: O15 - Profilansicht

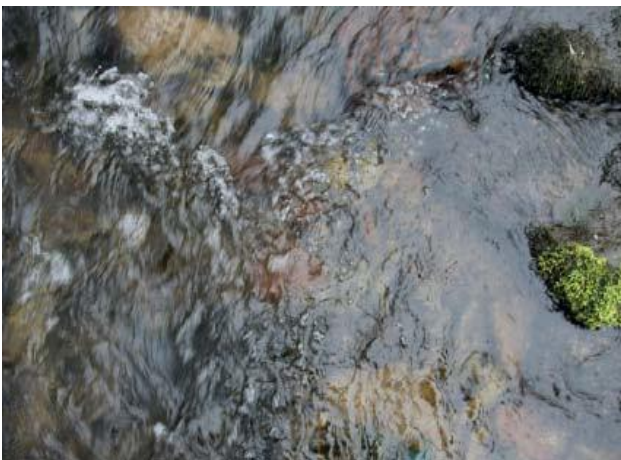


Abbildung 480: O15 - Entnahmestelle links



Abbildung 481: O15 - Entnahmestelle rechts

Semiquantitative Analyse der Korn-
eigenschaften (Bestimmung gröberer
Fraktionen mittels Schublehre;
Abschätzung des Versandungsgrades)

Es wurden keine Sieblinien erstellt.

Semiquantitative Analyse der Korn-
eigenschaften (Bestimmung gröberer
Fraktionen mittels Schublehre;
Abschätzung des Versandungsgrades)

Es wurden keine Sieblinien erstellt.

4.16. O16



Abbildung 482: O16 - Blickrichtung flussaufwärts



Abbildung 483: O16 - Profilsicht

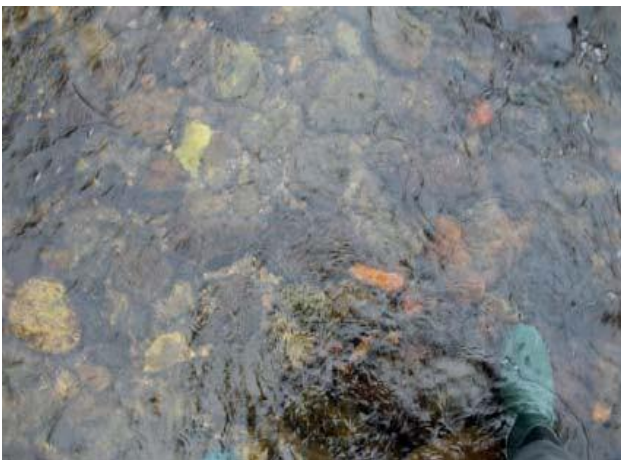


Abbildung 484: O16 - Entnahmestelle

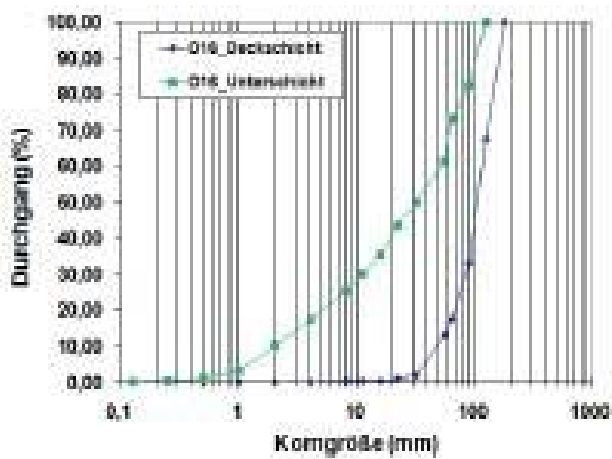


Abbildung 485: O16 - Kornverteilungskurve

5. Gusen

Dieses Kapitel umfasst die Ergebnisse der Probenentnahme an der Gusen. Es wurden nach Möglichkeit bei jedem Entnahmepunkt (siehe folgende Abbildung links und rechts eine Probe entnommen. In den folgenden Abbildungen werden die daraus resultierenden Kornverteilungskurven und die dazugehörigen Fotos dokumentiert.



Abbildung 486: Probenentnahmepunkte - GUSEN

5.1. GU1



Abbildung 487: GU1 - Blickrichtung flussaufwärts



Abbildung 488: GU1 - Profilsicht



Abbildung 489: GU1 - Entnahmestelle links



Abbildung 490: GU1 - Entnahmestelle rechts

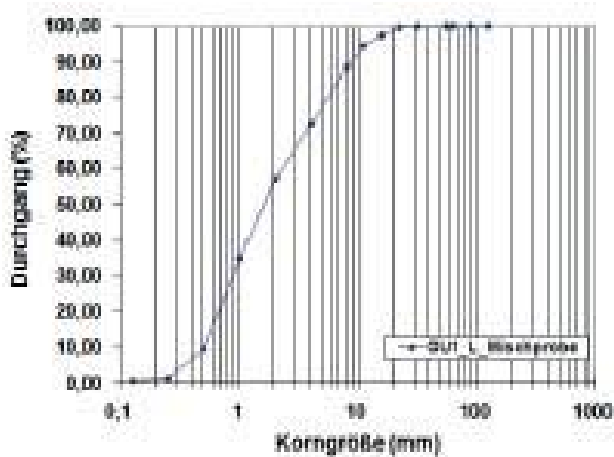


Abbildung 491: GU1 - Kornverteilungskurve links

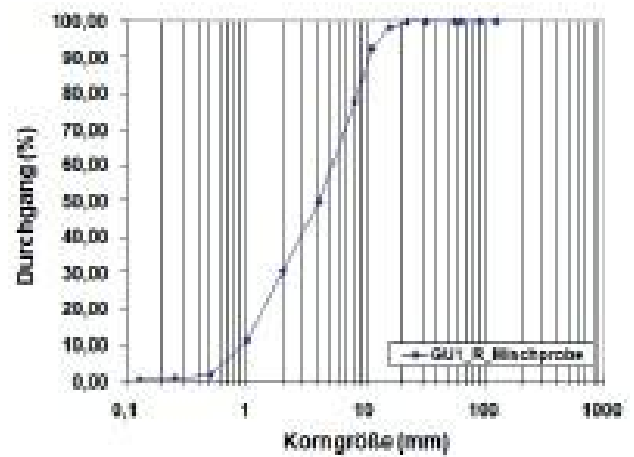


Abbildung 492: GU1 - Kornverteilungskurve rechts

5.2. GU2



Abbildung 493: GU2 - Blickrichtung flussaufwärts



Abbildung 494: GU2 - Profilansicht



Abbildung 495: GU2 - Entnahmestelle links



Abbildung 496: GU2 - Entnahmestelle rechts

Semiquantitative Analyse der Korn-eigenschaften (Bestimmung gröberer Fraktionen mittels Schublehre; Abschätzung des Versandungsgrades)

Es wurden keine Sieblinien erstellt.

Semiquantitative Analyse der Korn-eigenschaften (Bestimmung gröberer Fraktionen mittels Schublehre; Abschätzung des Versandungsgrades)

Es wurden keine Sieblinien erstellt.

5.3. GU3



Abbildung 497: GU3 - Blickrichtung flussaufwärts



Abbildung 498: GU3 - Profilansicht



Abbildung 499: GU3 - Entnahmestelle links



Abbildung 500: GU3 - Entnahmestelle rechts

Semiquantitative Analyse der Korn-eigenschaften (Bestimmung gröberer Fraktionen mittels Schublehre; Abschätzung des Versandungsgrades)

Es wurden keine Sieblinien erstellt.

Semiquantitative Analyse der Korn-eigenschaften (Bestimmung gröberer Fraktionen mittels Schublehre; Abschätzung des Versandungsgrades)

Es wurden keine Sieblinien erstellt.

5.4. GU4



Abbildung 501: GU4 - Blickrichtung flussaufwärts



Abbildung 502: GU4 - Profilansicht



Abbildung 503: GU4 - Entnahmestelle links

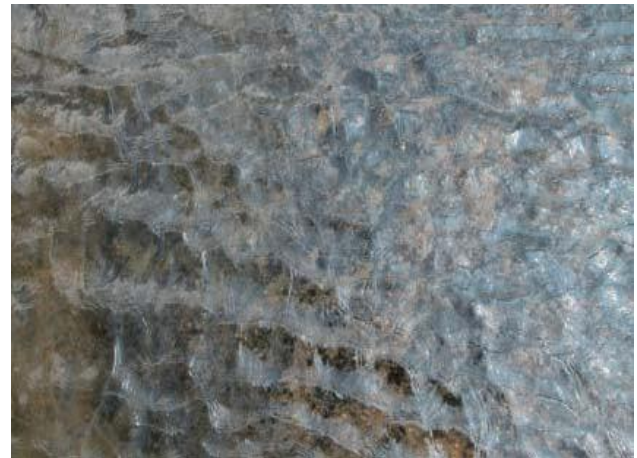


Abbildung 504: GU4 - Entnahmestelle rechts

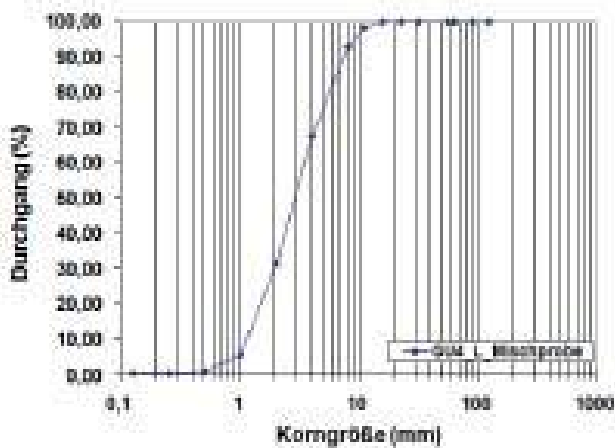


Abbildung 505: GU4 - Kornverteilungskurve links

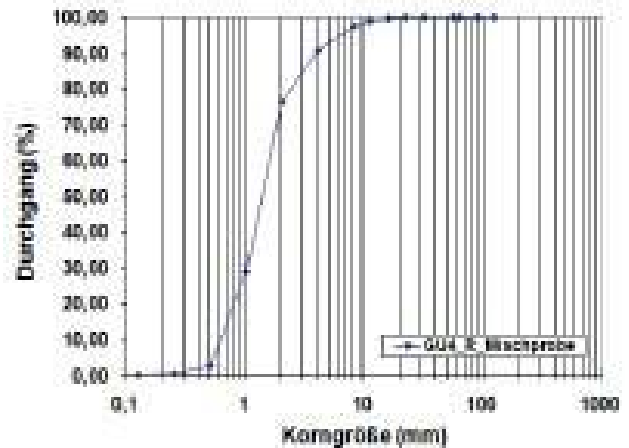


Abbildung 506: GU4 - Kornverteilungskurve rechts

5.5. GU5



Abbildung 507: GU5 - Blickrichtung flussaufwärts

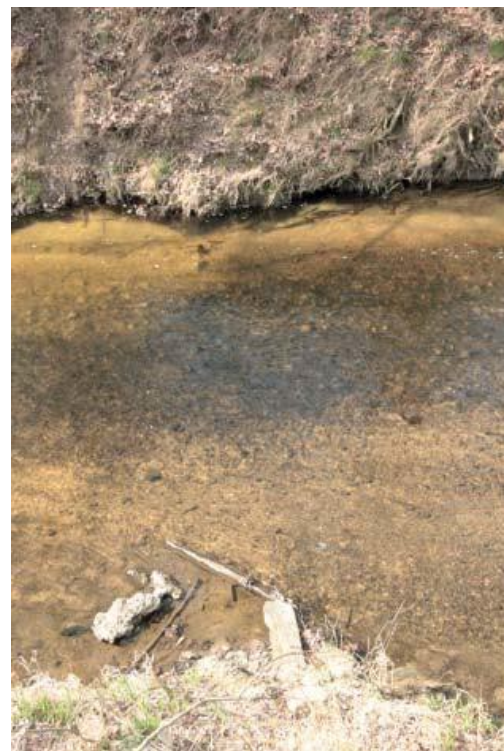


Abbildung 508: GU5 - Profilansicht



Abbildung 509: GU5 - Entnahmestelle links



Abbildung 510: GU5 - Entnahmestelle rechts

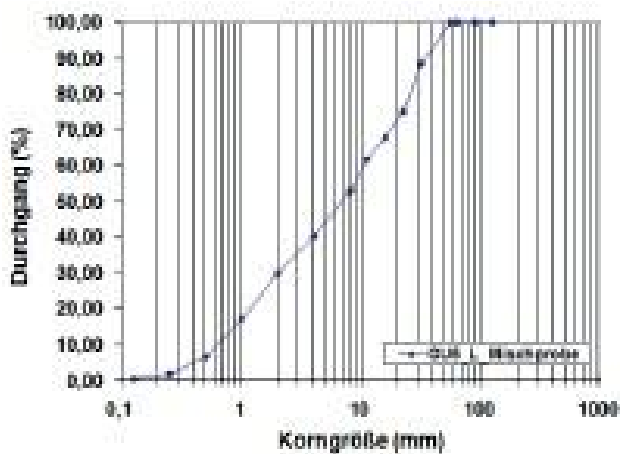


Abbildung 511: GU5 - Kornverteilungskurve links

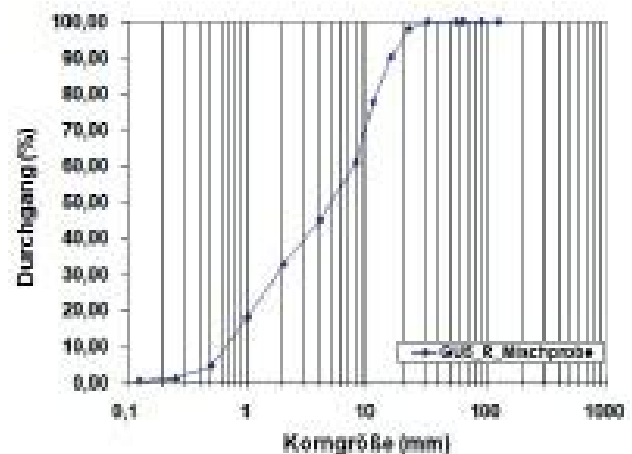


Abbildung 512: GU5 - Kornverteilungskurve rechts

5.6. GU6



Abbildung 513: GU6 - Blickrichtung flussaufwärts



Abbildung 514: GU6 - Profilsicht



Abbildung 515: GU6 - Entnahmestelle links



Abbildung 516: GU6 - Entnahmestelle rechts

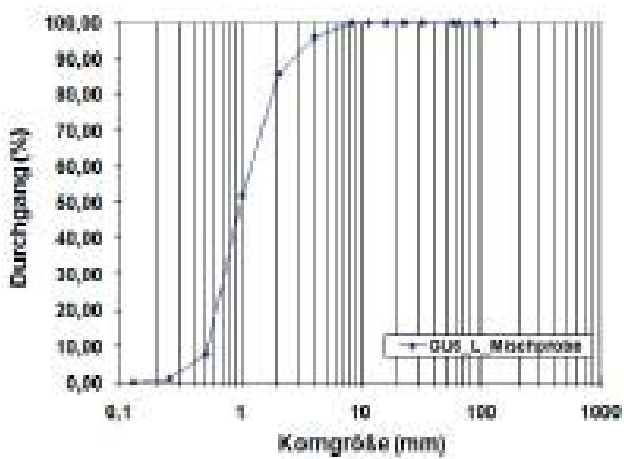


Abbildung 517: GU6 - Kornverteilungskurve links

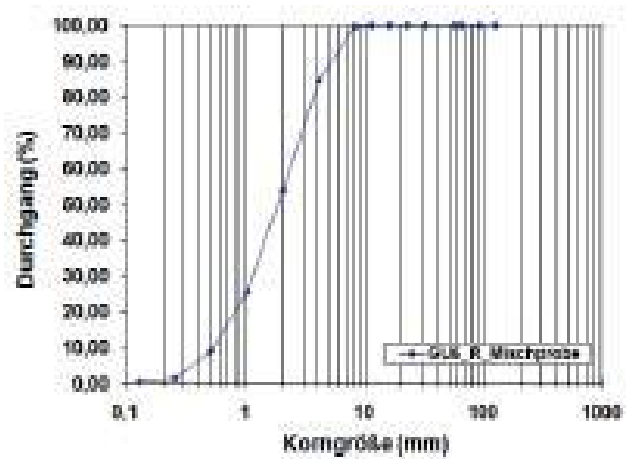


Abbildung 518: GU6 - Kornverteilungskurve rechts

5.7. GU7



Abbildung 519: GU7 - Blickrichtung flussaufwärts



Abbildung 520: GU7 - Profilsicht



Abbildung 521: GU7 - Entnahmestelle links



Abbildung 522: GU7 - Entnahmestelle rechts

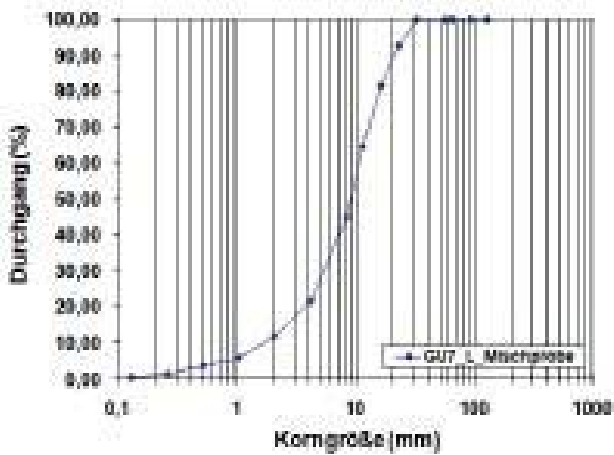


Abbildung 523: GU7 - Kornverteilungskurve links

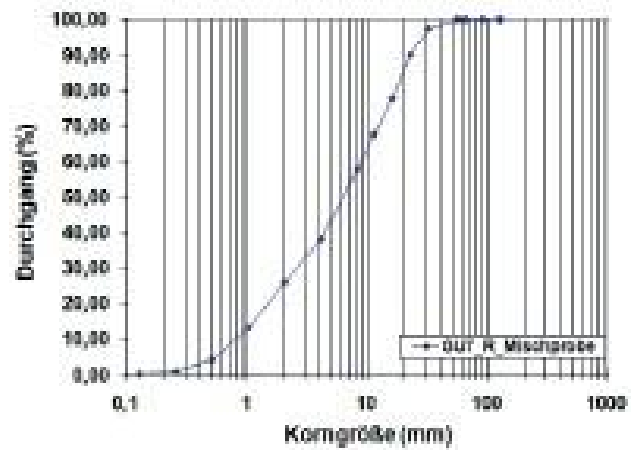


Abbildung 524: GU7 - Kornverteilungskurve rechts

5.8. GU7_I



Abbildung 525: GU7_I - Blickrichtung flussaufwärts



Abbildung 526: GU7_I - Profilsicht



Abbildung 527: GU7_I - Entnahmestelle links



Abbildung 528: GU7_I - Entnahmestelle rechts

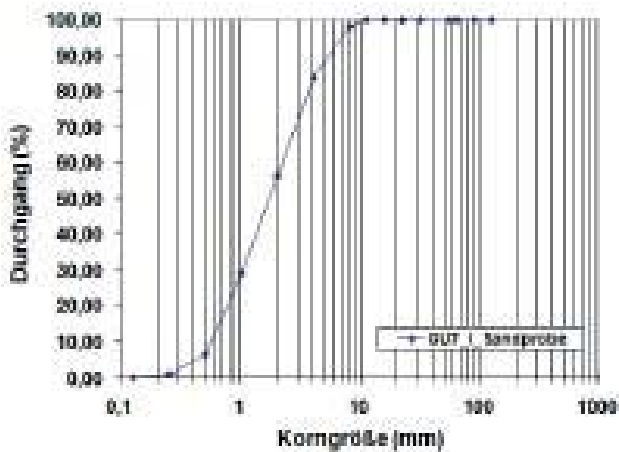


Abbildung 529: GU7_I - Kornverteilungskurve Sandprobe

Semiquantitative Analyse der Korn-
eigenschaften (Bestimmung größerer
Fraktionen mittels Schublehre;
Abschätzung des Versandungsgrades)

Es wurden keine Sieblinien erstellt.

5.9. GU8



Abbildung 530: GU8 - Blickrichtung flussaufwärts



Abbildung 531: GU8 - Profilansicht



Abbildung 532: GU8 - Entnahmestelle links



Abbildung 533: GU8 - Entnahmestelle rechts

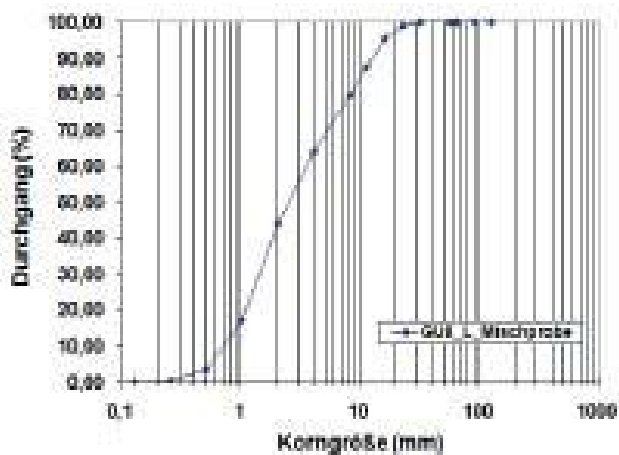


Abbildung 534: GU8 - Kornverteilungskurve links

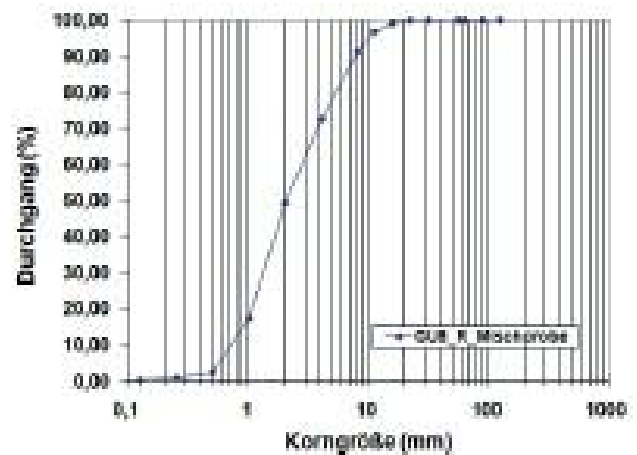


Abbildung 535: GU8 - Kornverteilungskurve rechts

5.10. GU9



Abbildung 536: GU9 - Blickrichtung flussaufwärts



Abbildung 537: GU9 - Profilansicht



Abbildung 538: GU9 - Entnahmestelle

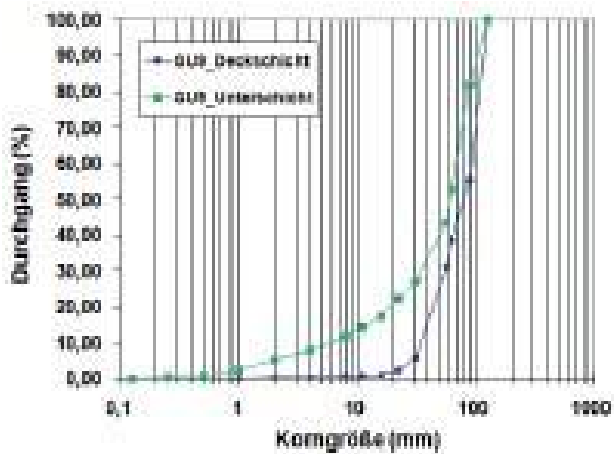


Abbildung 539: GU9 - Kornverteilungskurve

5.11. GU10



Abbildung 540: GU10 - Blickrichtung flussaufwärts

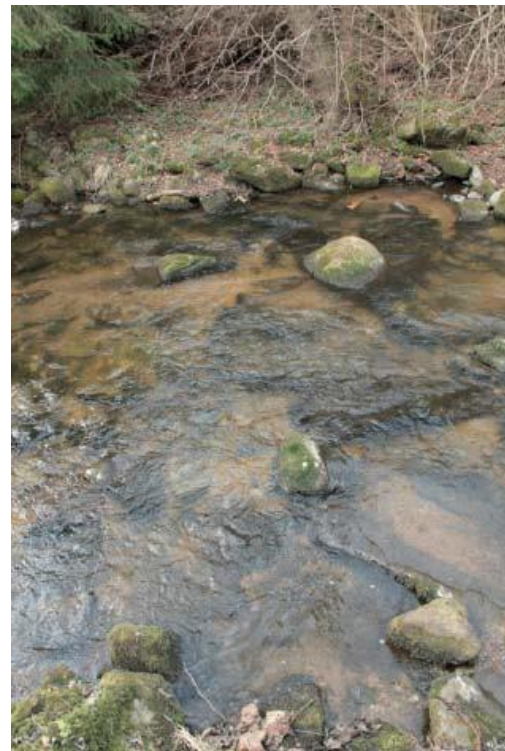


Abbildung 541: GU10 - Profilsansicht



Abbildung 542: GU10 - Entnahmestelle links

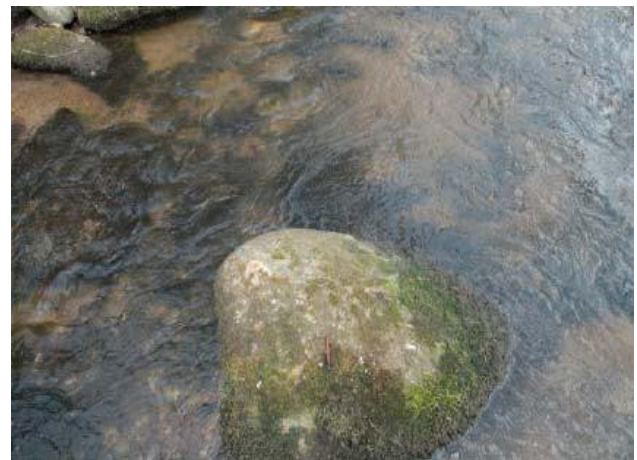


Abbildung 543: GU10 - Entnahmestelle rechts

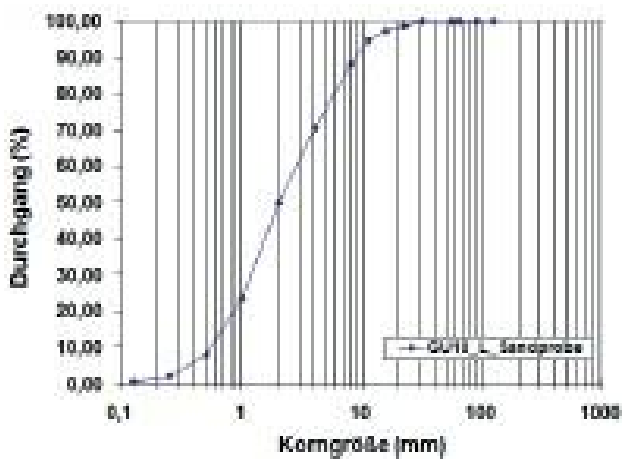


Abbildung 544: GU10 - Kornverteilungskurve links

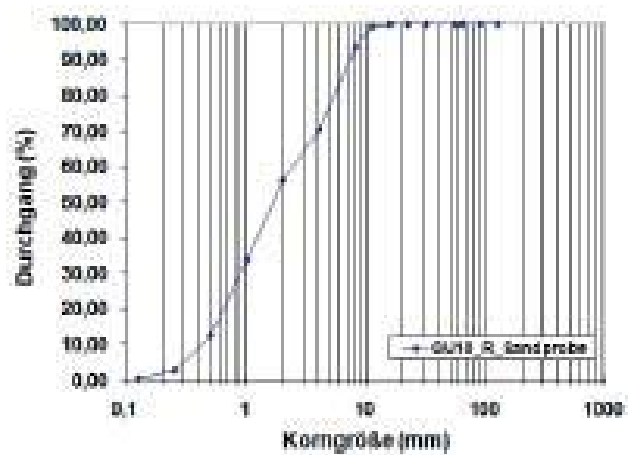


Abbildung 545: GU10 - Kornverteilungskurve rechts

5.12. GU11



Abbildung 546: GU11 - Blickrichtung flussaufwärts



Abbildung 547: GU11 - Profilsicht



Abbildung 548: GU11 - Entnahmestelle links



Abbildung 549: GU11 - Entnahmestelle rechts

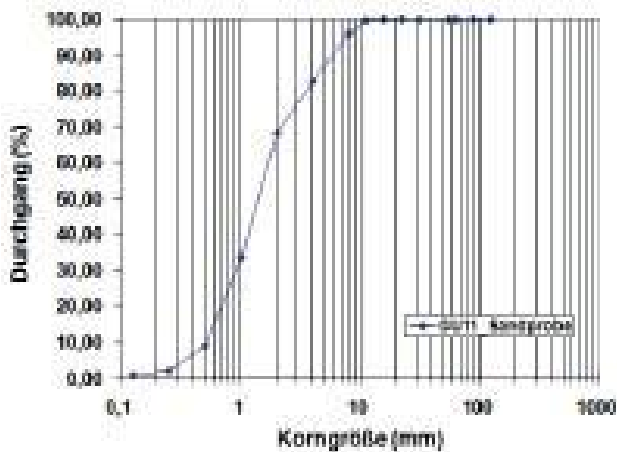


Abbildung 550: GU11 - Kornverteilungskurve Sandprobe

Semiquantitative Analyse der Korn-eigenschaften (Bestimmung größerer Fraktionen mittels Schublehre; Abschätzung des Versandungsgrades)

Es wurden keine Sieblinien erstellt.

5.13. GU12



Abbildung 551: GU12 - Blickrichtung flussaufwärts



Abbildung 552: GU12 - Profilsansicht



Abbildung 553: GU12 - Entnahmestelle

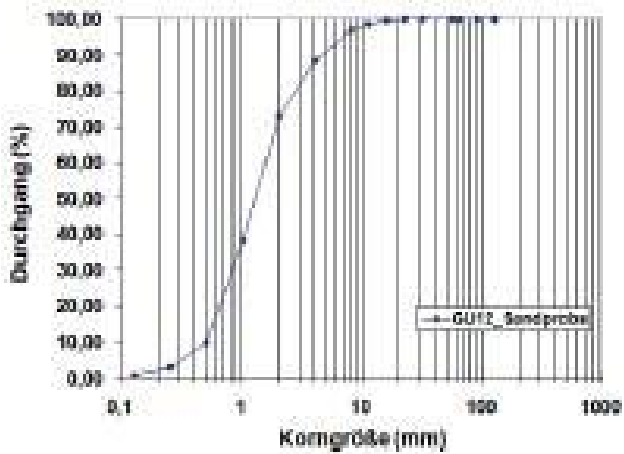


Abbildung 554: GU12 - Kornverteilungskurve

5.14. GU13



Abbildung 555: GU13 - Blickrichtung flussaufwärts



Abbildung 556: GU13 - Profilansicht



Abbildung 557: GU13 - Entnahmestelle Furt



Abbildung 558: GU13 - Entnahmestelle Kolk

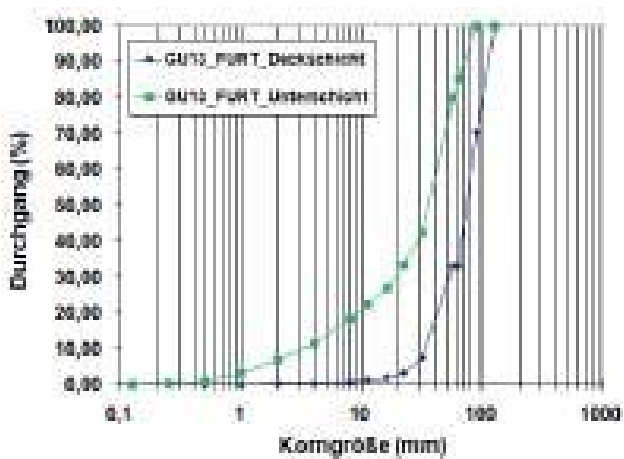


Abbildung 559: GU13 - Kornverteilungskurve Furt

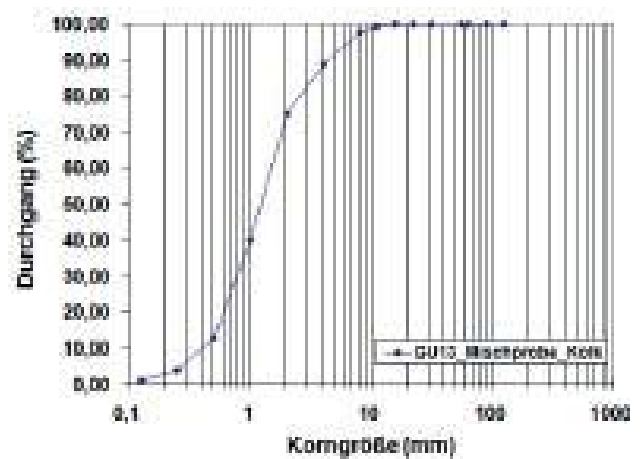


Abbildung 560: GU13 - Kornverteilungskurve Kolk

5.15. GU14



Abbildung 561: GU14 - Blickrichtung flussaufwärts



Abbildung 562: GU14 - Profilsansicht



Abbildung 563: GU14 - Entnahmestelle

Semiquantitative Analyse der Korn-
eigenschaften (Bestimmung gröberer
Fraktionen mittels Schublehre;
Abschätzung des Versandungsgrades)

Es wurden keine Sieblinien erstellt.

5.16. GU15



Abbildung 564: GU15 - Blickrichtung flussaufwärts



Abbildung 565: GU15 - Profilansicht



Abbildung 566: GU15 - Entnahmestelle

Semiquantitative Analyse der Korn-
eigenschaften (Bestimmung gröberer
Fraktionen mittels Schublehre;
Abschätzung des Versandungsgrades)

Es wurden keine Sieblinien erstellt.

5.17. GU16



Abbildung 567: GU16 - Blickrichtung flussaufwärts



Abbildung 568: GU16 - Profilsicht



Abbildung 569: GU16 - Entnahmestelle links



Abbildung 570: GU16 - Entnahmestelle rechts

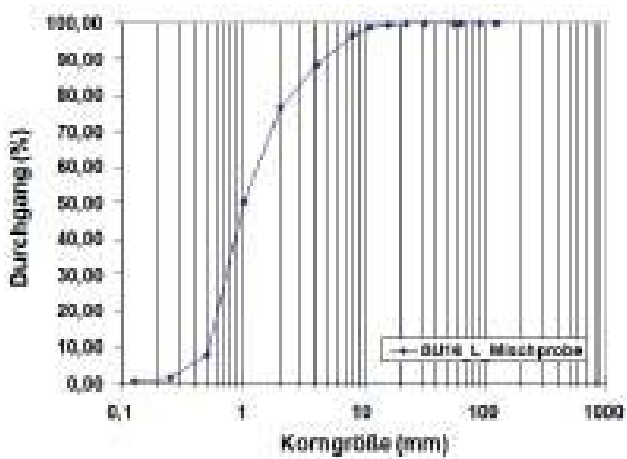


Abbildung 571: GU16 - Kornverteilungskurve links

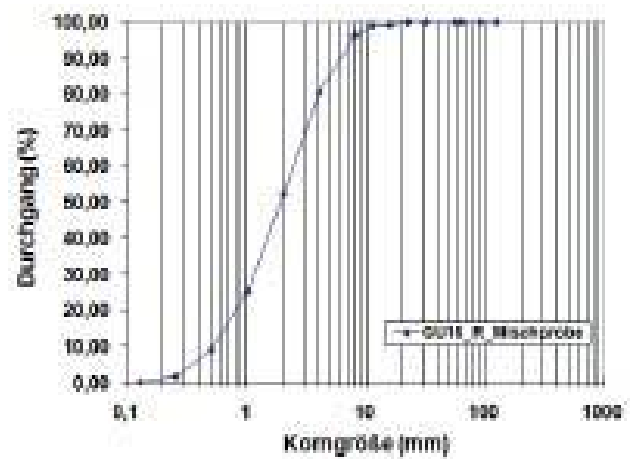


Abbildung 572: GU16 - Kornverteilungskurve rechts

5.18. GU16_I



Abbildung 573: GU16_I - Blickrichtung flussaufwärts



Abbildung 574: GU16_I - Profilsansicht



Abbildung 575: GU16_I - Entnahmestelle links



Abbildung 576: GU16_I - Entnahmestelle rechts

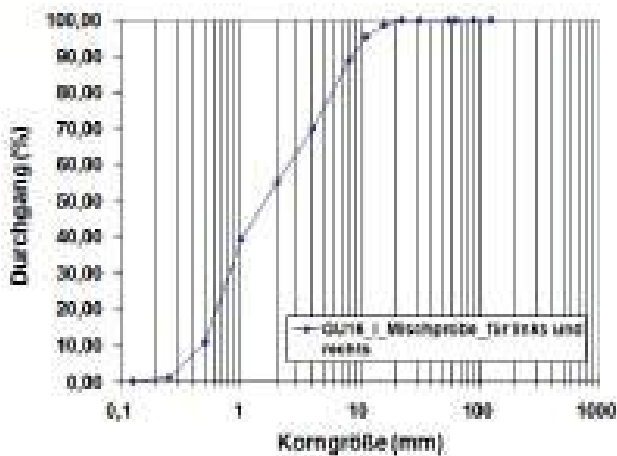


Abbildung 577: GU16_I - Kornverteilungskurve links u. rechts

Semiquantitative Analyse der Korn-eigenschaften (Bestimmung größerer Fraktionen mittels Schublehre; Abschätzung des Versandungsgrades)

Es wurden keine Sieblinien erstellt.

5.19. GU17



Abbildung 578: GU17 - Blickrichtung flussaufwärts



Abbildung 579: GU17 - Profilsansicht

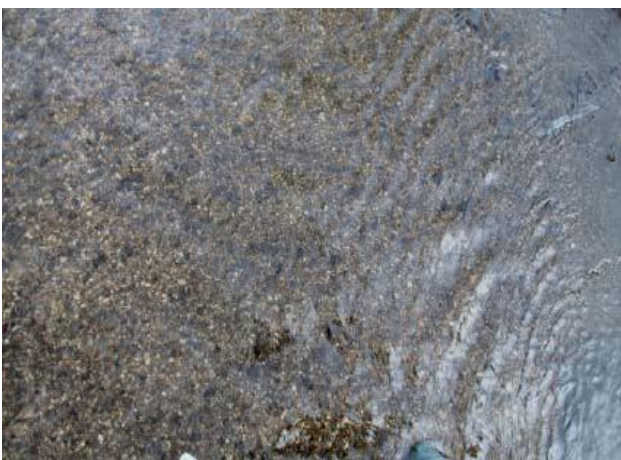


Abbildung 580: GU17 - Entnahmestelle links



Abbildung 581: GU17 - Entnahmestelle rechts

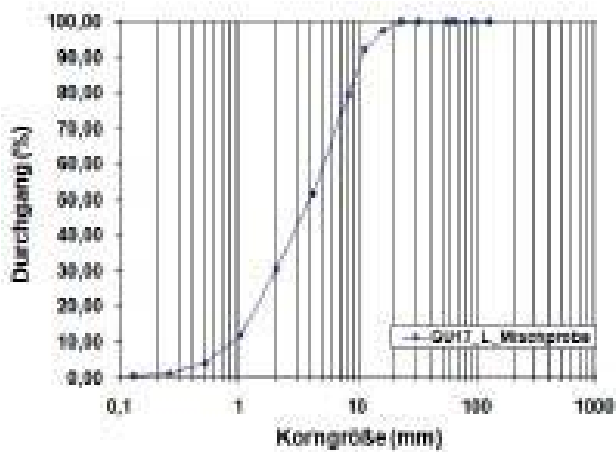


Abbildung 582: GU17 - Kornverteilungskurve links

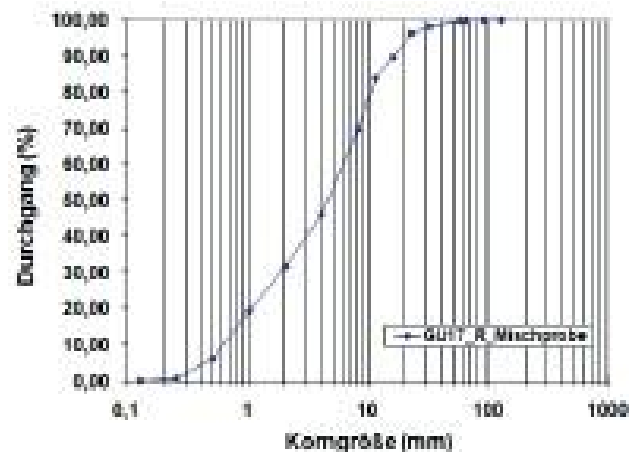


Abbildung 583: GU17 - Kornverteilungskurve rechts

5.20. GU18



Abbildung 584: GU18 - Blickrichtung flussaufwärts



Abbildung 585: GU18 - Profilsansicht



Abbildung 586: GU18 - Entnahmestelle links



Abbildung 587: GU18 - Entnahmestelle rechts

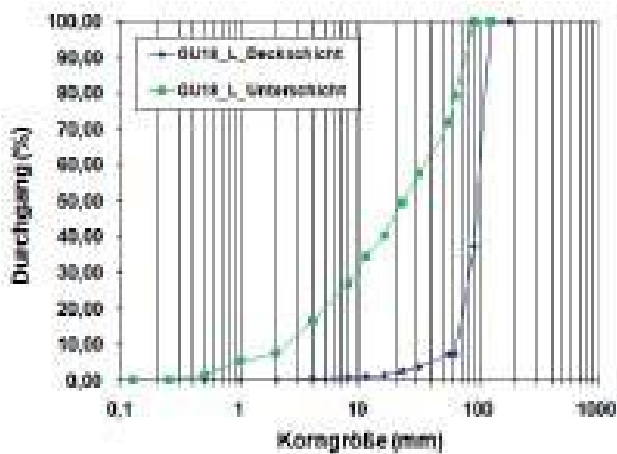


Abbildung 588: GU18 - Kornverteilungskurve links

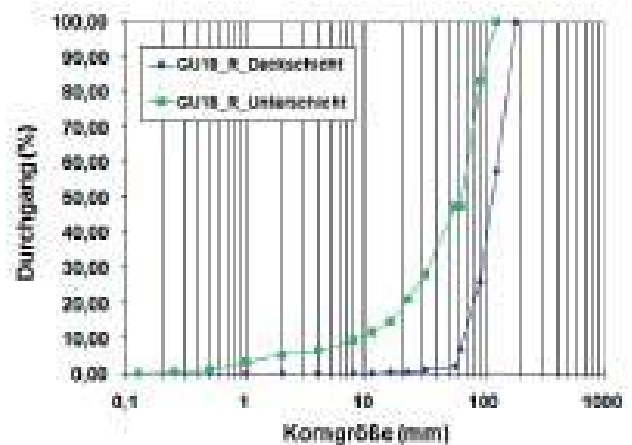


Abbildung 589: GU18 - Kornverteilungskurve rechts

5.21. GU19



Abbildung 590: GU19 - Blickrichtung flussaufwärts



Abbildung 591: GU19 - Profilsicht



Abbildung 592: GU19 - Entnahmestelle

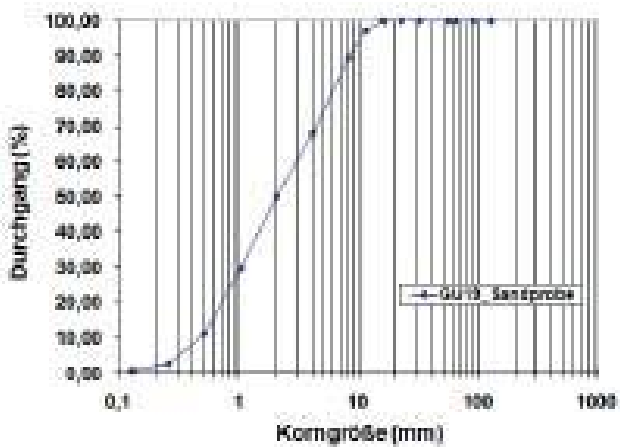


Abbildung 593: GU19 - Kornverteilungskurve

5.22. GU20



Abbildung 594: GU20 - Blickrichtung flussaufwärts



Abbildung 595: GU20 - Profilsicht



Abbildung 596: GU20 - Entnahmestelle

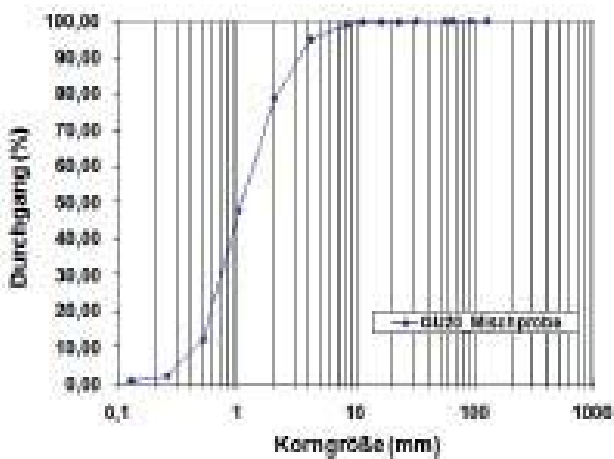


Abbildung 597: GU20 - Kornverteilungskurve

5.23. GU21



Abbildung 598: GU21 - Blickrichtung flussaufwärts



Abbildung 599: GU21 - Profilsicht



Abbildung 600: GU21 - Entnahmestelle

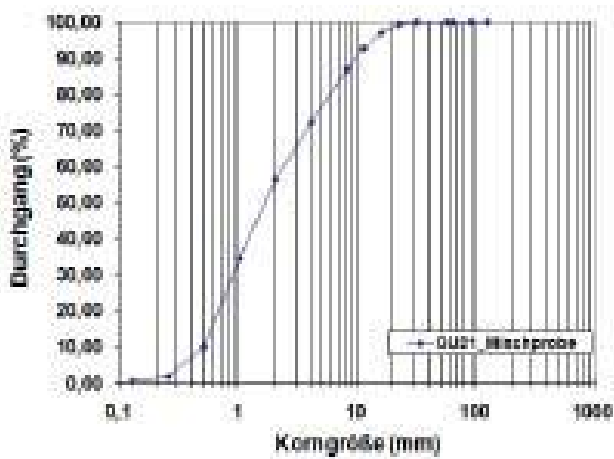


Abbildung 601: GU21 - Kornverteilungskurve

5.24. GU22



Abbildung 602: GU22 - Blickrichtung flussaufwärts



Abbildung 603: GU22 - Profilsansicht



Abbildung 604: GU22 - Entnahmestelle

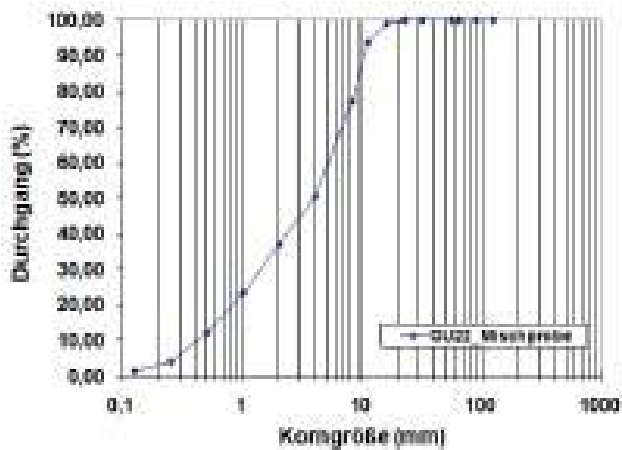


Abbildung 605: GU22 - Kornverteilungskurve

5.25. GU23



Abbildung 606: GU23 - Blickrichtung flussaufwärts



Abbildung 607: GU23 - Profilsansicht



Abbildung 608: GU23 - Entnahmestelle Furt



Abbildung 609: GU23 - Entnahmestelle Kolk

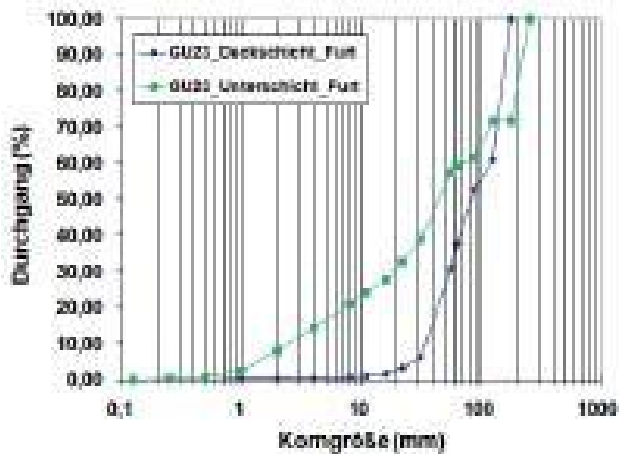


Abbildung 610: GU23 - Kornverteilungskurve Furt

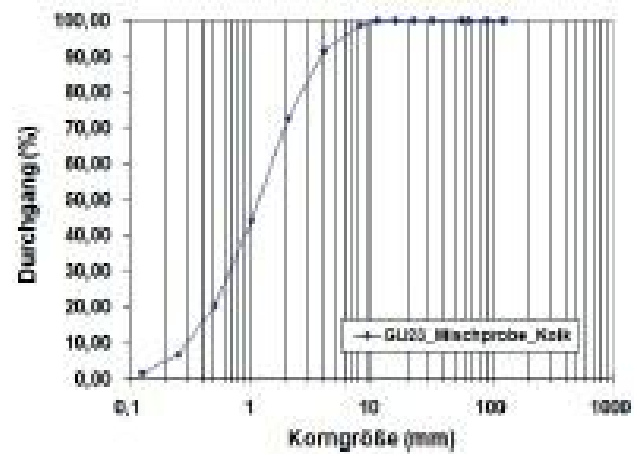


Abbildung 611: GU23 - Kornverteilungskurve Kolk

5.26. GU24



Abbildung 612: GU24 - Blickrichtung flussaufwärts



Abbildung 613: GU24 - Profilsicht

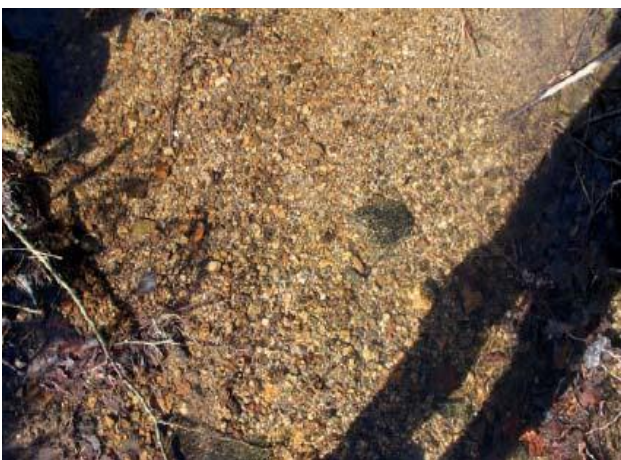


Abbildung 614: GU24 - Entnahmestelle Furt



Abbildung 615: GU24 - Entnahmestelle Kolk

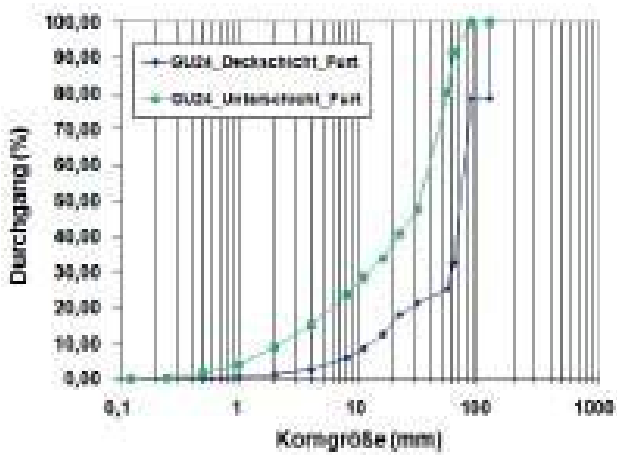


Abbildung 616: GU24 - Kornverteilungskurve links

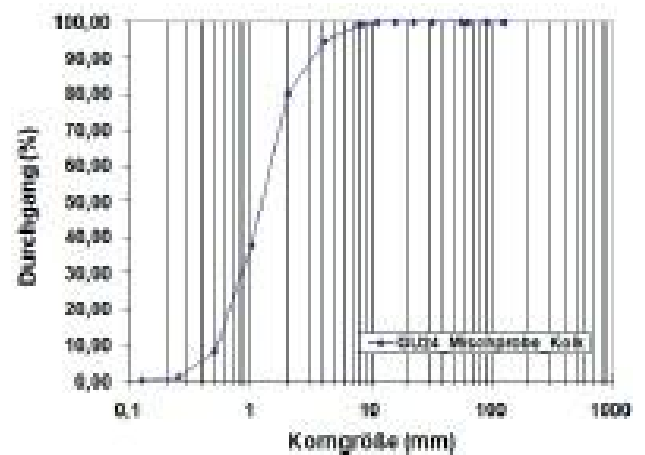


Abbildung 617: GU24 - Kornverteilungskurve rechts

5.27. GU25



Abbildung 618: GU25 - Blickrichtung flussaufwärts



Abbildung 619: GU25 - Profilsansicht



Abbildung 620: GU25 - Entnahmestelle

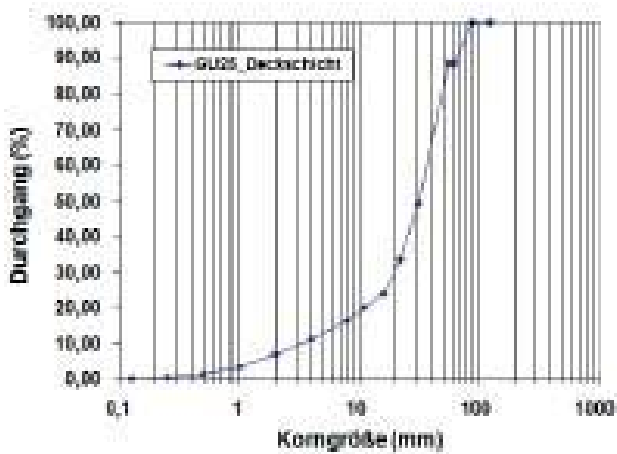


Abbildung 621: GU25 - Kornverteilungskurve

6. Aist

Dieses Kapitel umfasst die Ergebnisse der Probenentnahme an der Aist. Es wurden nach Möglichkeit bei jedem Entnahmepunkt (siehe folgende Abbildung) links und rechts eine Probe entnommen. In den folgenden Abbildungen werden die daraus resultierenden Kornverteilungskurven und die dazugehörigen Fotos dokumentiert.



Abbildung 622: Probenentnahmepunkte - AIST

6.1. A1



Abbildung 623: A1 - Blickrichtung flussaufwärts



Abbildung 624: A1 - Profilansicht



Abbildung 625: A1 - Entnahmestelle

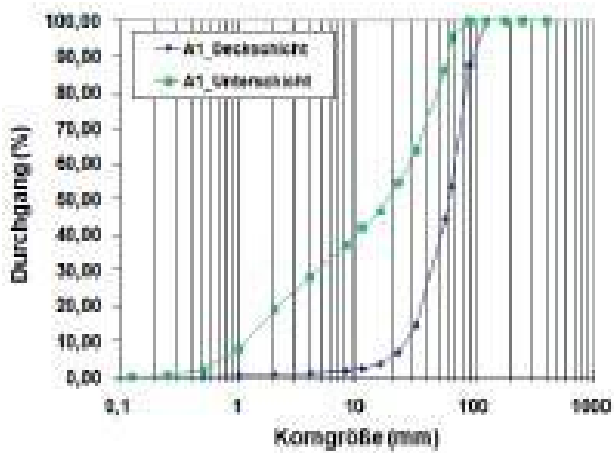


Abbildung 626: A1 - Kornverteilungskurve

6.2. A2



Abbildung 627: A2 - Blickrichtung flussaufwärts



Abbildung 628: A2 - Profilansicht



Abbildung 629: A2 - Entnahmestelle

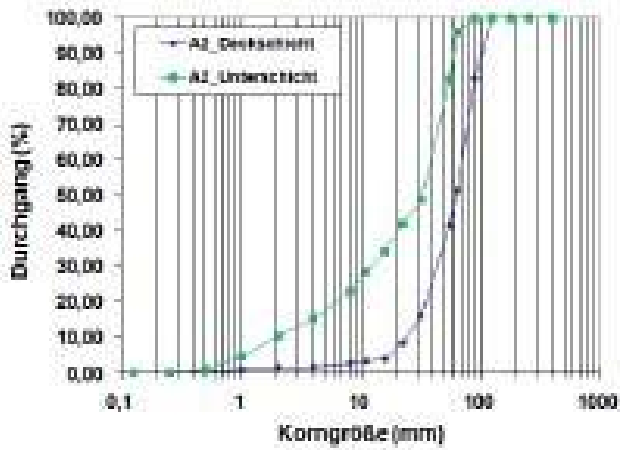


Abbildung 630: A2 - Kornverteilungskurve

6.3. A3



Abbildung 631: A3 - Blickrichtung flussaufwärts



Abbildung 632: A3 - Profilsicht

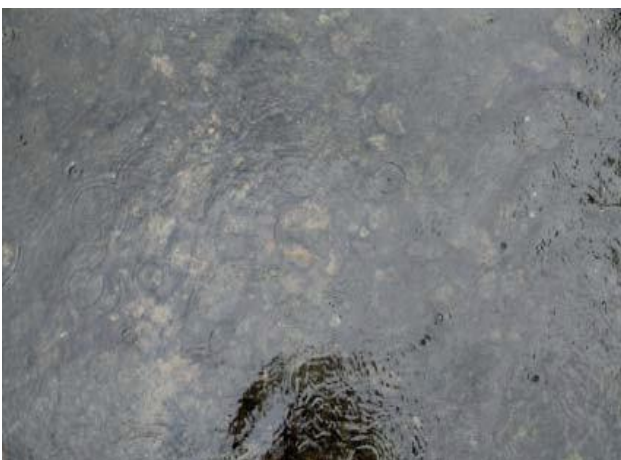


Abbildung 633: A3 - Entnahmestelle links



Abbildung 634: A3 - Entnahmestelle rechts

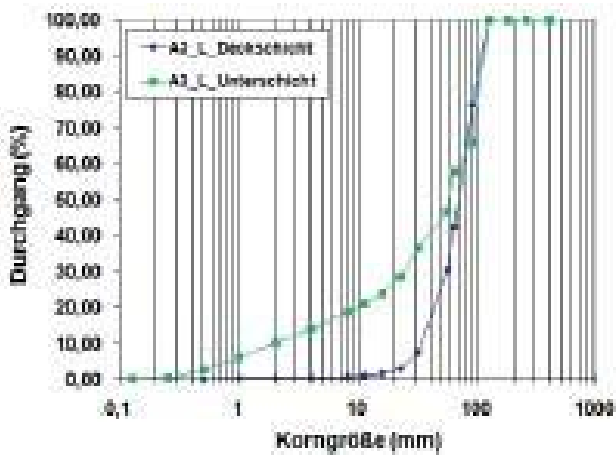


Abbildung 635: A3 - Kornverteilungskurve links

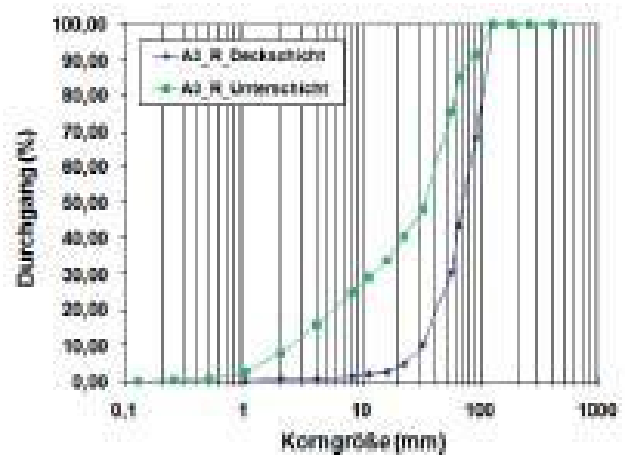


Abbildung 636: A3 - Kornverteilungskurve rechts

6.4. A4



Abbildung 637: A4 - Blickrichtung flussaufwärts



Abbildung 638: A4 - Profilansicht



Abbildung 639: A4 - Entnahmestelle

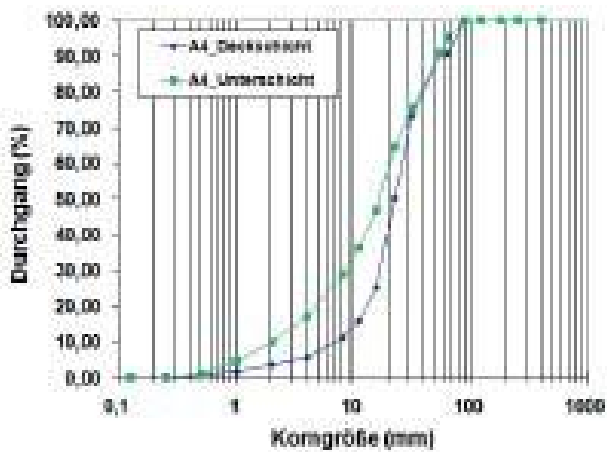


Abbildung 640: A4 - Kornverteilungskurve

6.5. A5



Abbildung 641: A5 - Blickrichtung flussaufwärts



Abbildung 642: A5 - Profilsansicht



Abbildung 643: A5 - Entnahmestelle links



Abbildung 644: A5 - Entnahmestelle rechts

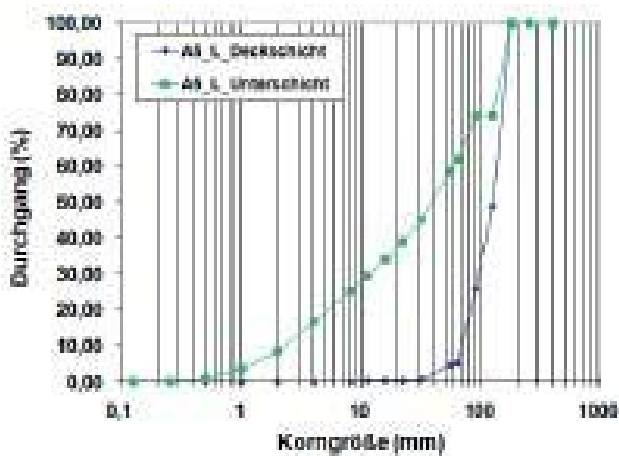


Abbildung 645: A5 - Kornverteilungskurve links

Semiquantitative Analyse der Korn-eigenschaften (Bestimmung größerer Fraktionen mittels Schublehre; Abschätzung des Versandungsgrades)

Es wurden keine Sieblinien erstellt.

6.6. A6



Abbildung 646: A6 - Blickrichtung flussaufwärts



Abbildung 647: A6 - Profilansicht

Die Gewässersohle ist an dieser Stelle gepflastert. Es war daher keine Probenentnahme möglich.

6.7. A7



Abbildung 648: A7 - Blickrichtung flussaufwärts



Abbildung 649: A7 - Profilansicht



Abbildung 650: A7 - Entnahmestelle Furt



Abbildung 651: A7 - Entnahmestelle Kolk

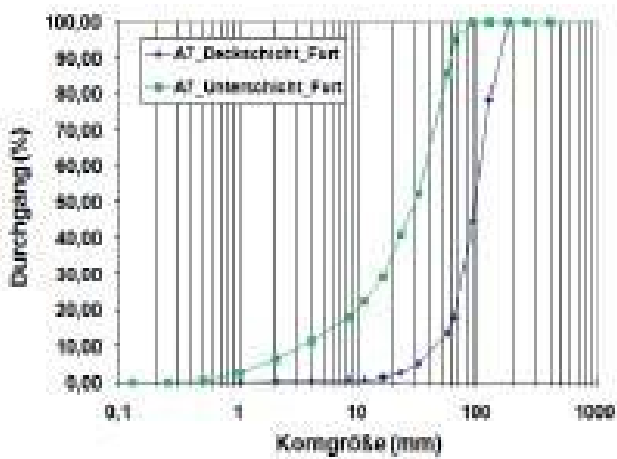


Abbildung 652: A7 - Kornverteilungskurve Furt

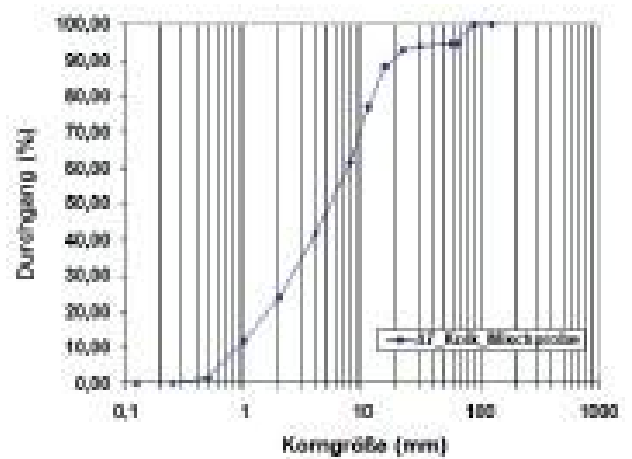


Abbildung 653: A7 - Kornverteilungskurve Kolk

6.8. A8



Abbildung 654: A8 - Blickrichtung flussaufwärts



Abbildung 655: A8 - Profilsicht

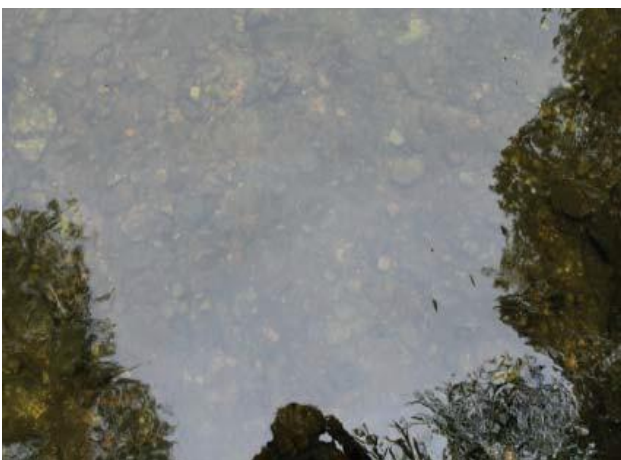


Abbildung 656: A8 - Entnahmestelle links



Abbildung 657: A8 - Entnahmestelle rechts

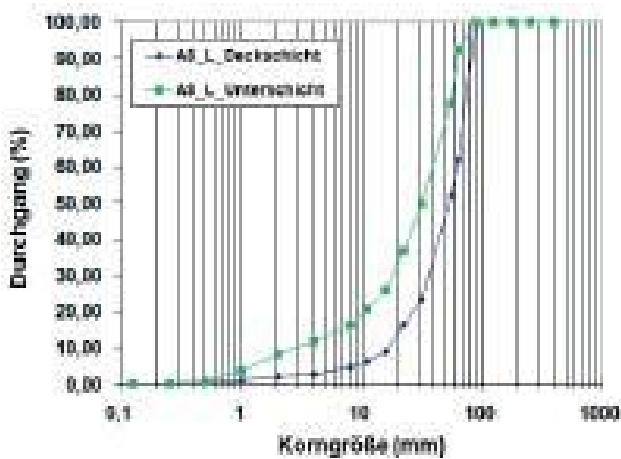


Abbildung 658: A8 - Kornverteilungskurve links

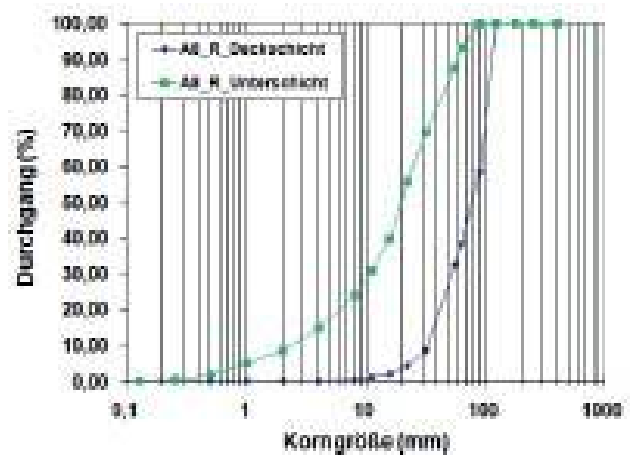


Abbildung 659: A8 - Kornverteilungskurve rechts

6.9. A9



Abbildung 660: A9 - Blickrichtung flussaufwärts



Abbildung 661: A9 - Profilsicht



Abbildung 662: A9 - Entnahmestelle links

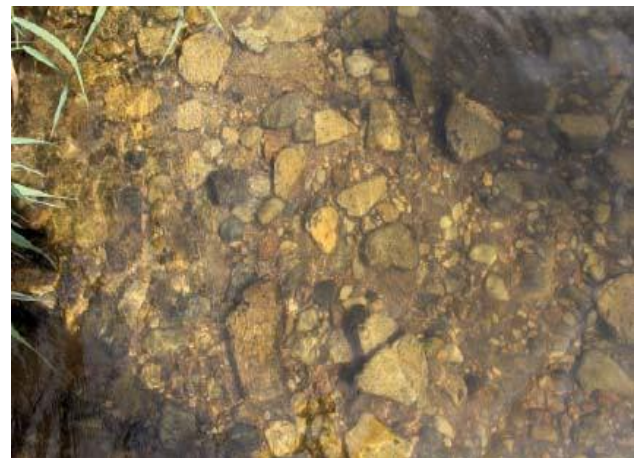


Abbildung 663: A9 - Entnahmestelle rechts

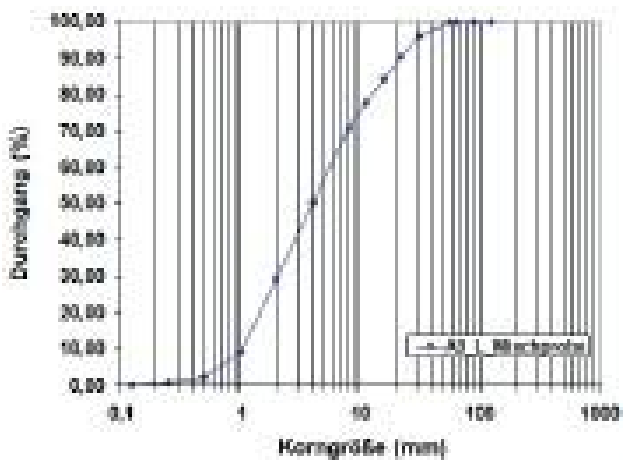


Abbildung 664: A9 - Kornverteilungskurve links

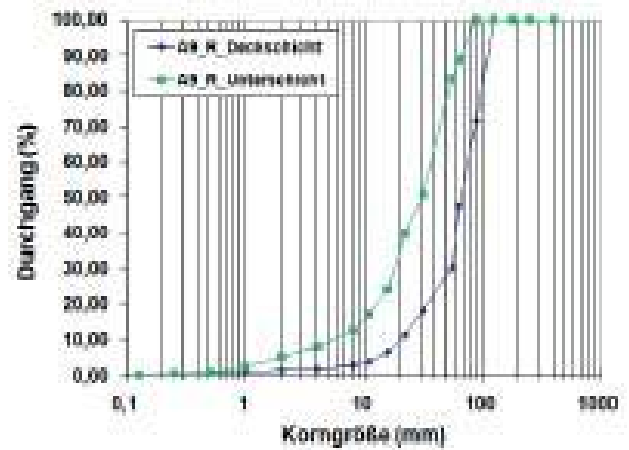


Abbildung 665: A9 - Kornverteilungskurve rechts

6.10. A10



Abbildung 666: A10 - Blickrichtung flussaufwärts



Abbildung 667: A10 - Profilansicht



Abbildung 668: A10 - Entnahmestelle links



Abbildung 669: A10 - Entnahmestelle rechts

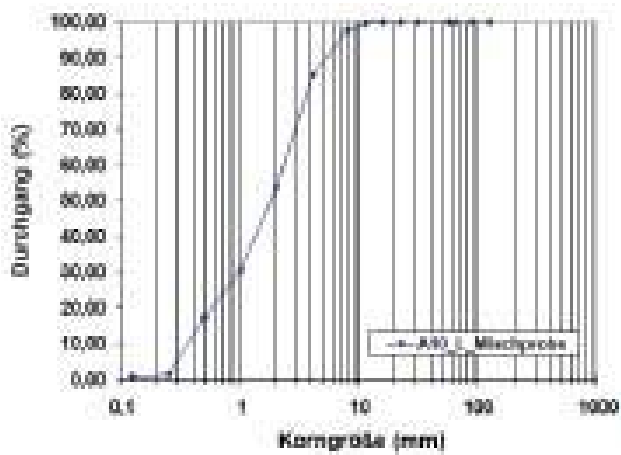


Abbildung 670: A10 - Kornverteilungskurve links

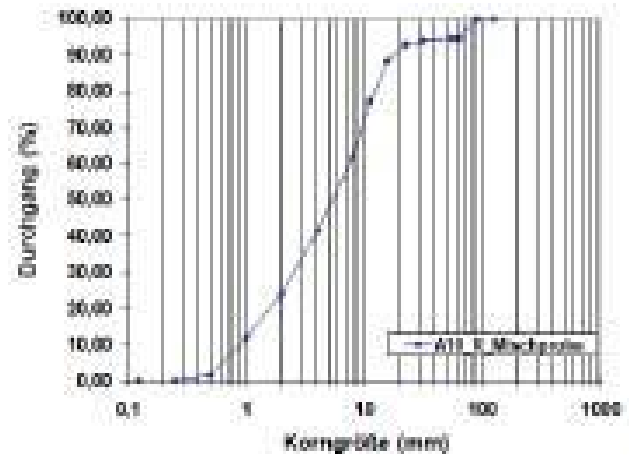


Abbildung 671: A10 - Kornverteilungskurve rechts

6.11. A11



Abbildung 672: A11 - Blickrichtung flussaufwärts



Abbildung 673: A11 - Profilsicht



Abbildung 674: A11 - Entnahmestelle links

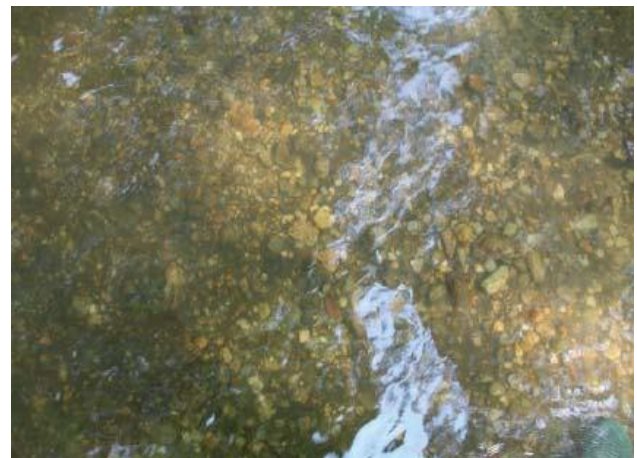


Abbildung 675: A11 - Entnahmestelle rechts

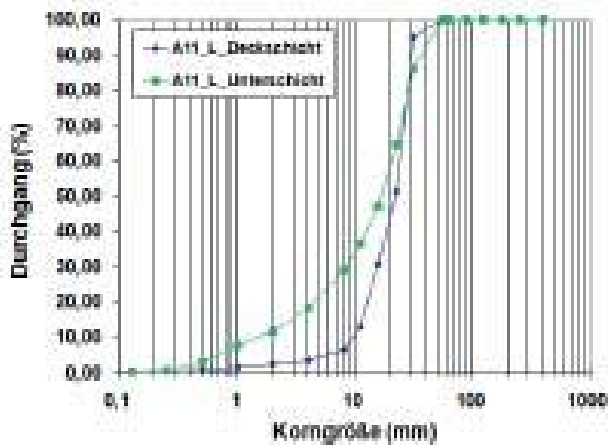


Abbildung 676: A11 - Kornverteilungskurve links

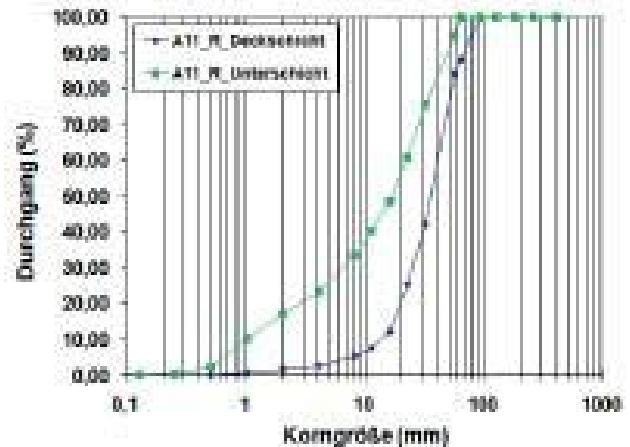


Abbildung 677: A11 - Kornverteilungskurve rechts

6.12. A12



Abbildung 678: A12 - Blickrichtung flussaufwärts



Abbildung 679: A12 - Profilsansicht

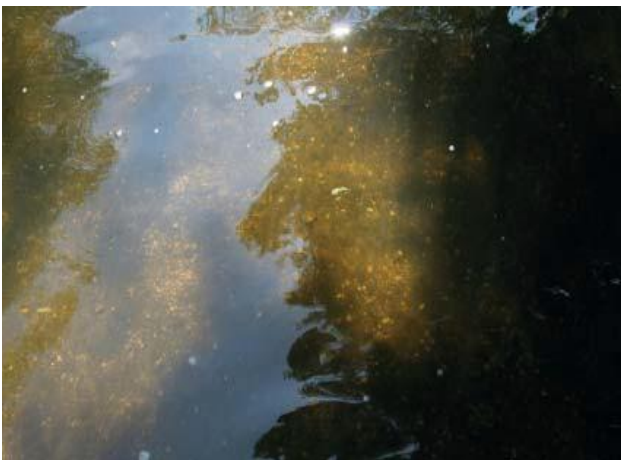


Abbildung 680: A12 - Entnahmestelle links



Abbildung 681: A12 - Entnahmestelle rechts

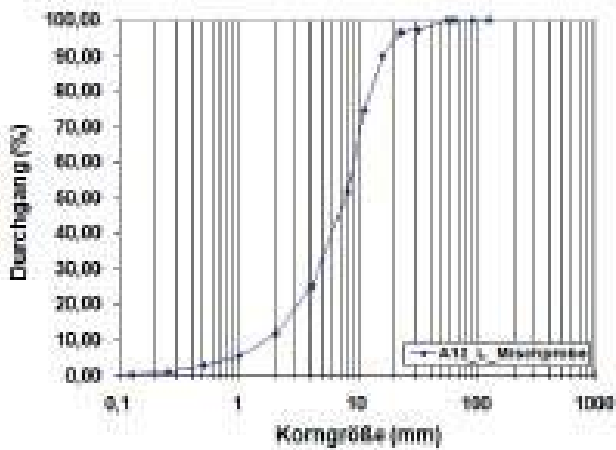


Abbildung 682: A12 - Kornverteilungskurve links

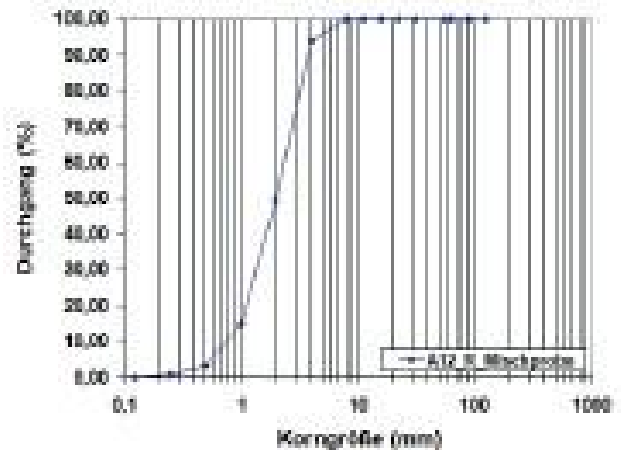


Abbildung 683: A12 - Kornverteilungskurve rechts



Abbildung 684: A12_Furt - Blickrichtung flussaufwärts



Abbildung 685: A12_Furt - Profilansicht

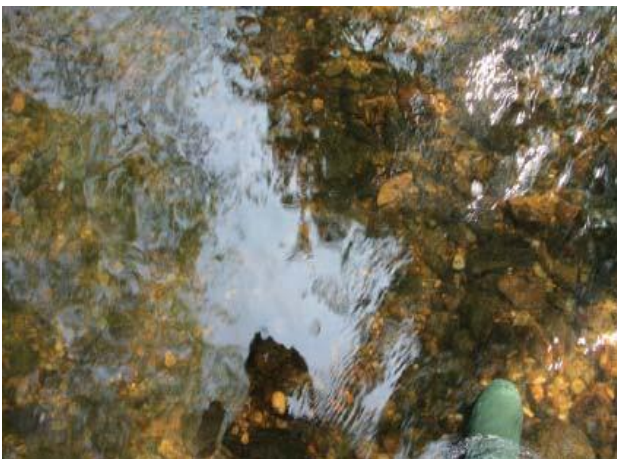


Abbildung 686: A12_Furt - Entnahmestelle

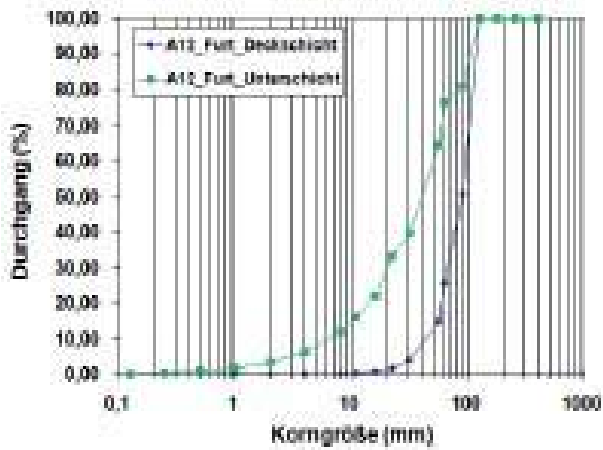


Abbildung 687: A12_Furt - Kornverteilungskurve

6.13. A13



Abbildung 688: A13 - Blickrichtung flussaufwärts



Abbildung 689: A13 - Profilsicht

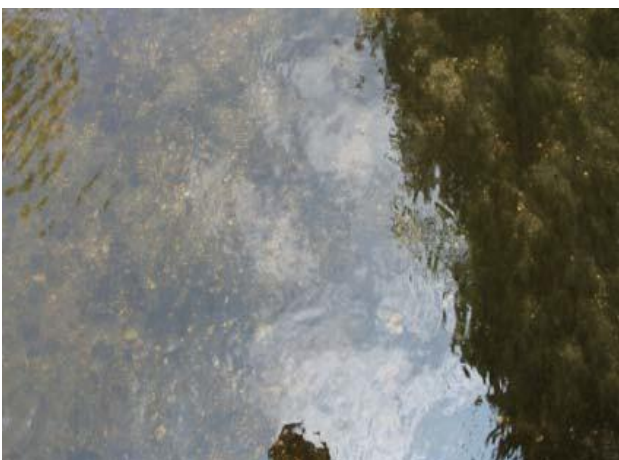


Abbildung 690: A13 - Entnahmestelle links

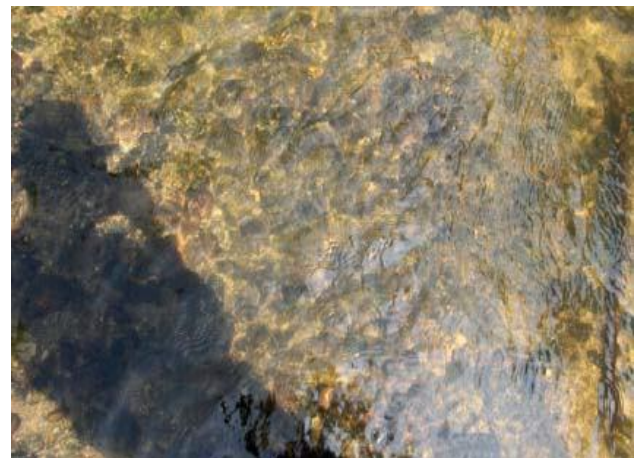


Abbildung 691: A13 - Entnahmestelle rechts

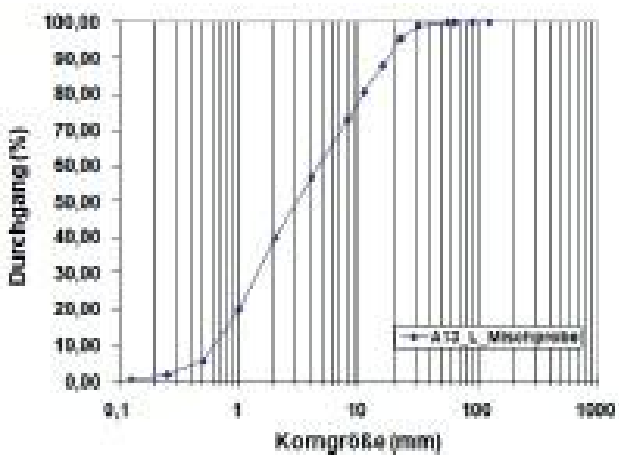


Abbildung 692: A13 - Kornverteilungskurve links

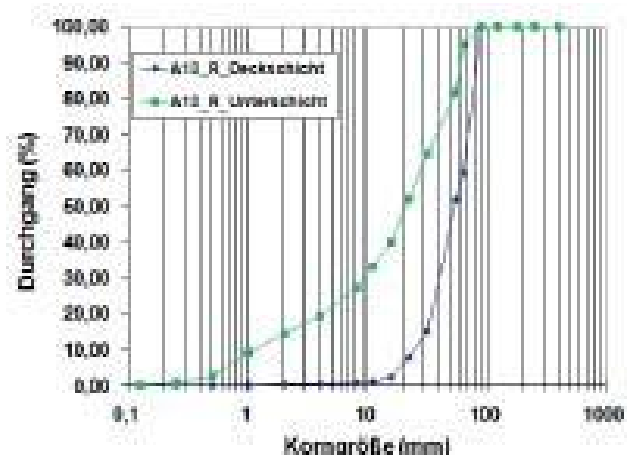


Abbildung 693: A13 - Kornverteilungskurve rechts

6.14. A14



Abbildung 694: A14 - Blickrichtung flussaufwärts



Abbildung 695: A14 - Profilsicht



Abbildung 696: A14 - Entnahmestelle links



Abbildung 697: A14 - Entnahmestelle rechts

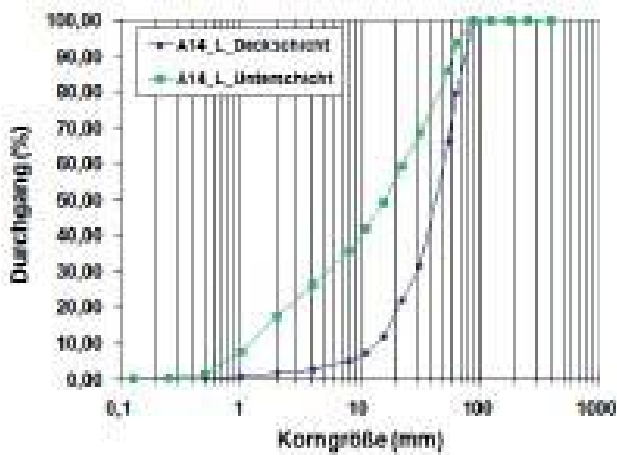


Abbildung 698: A14 - Kornverteilungskurve links

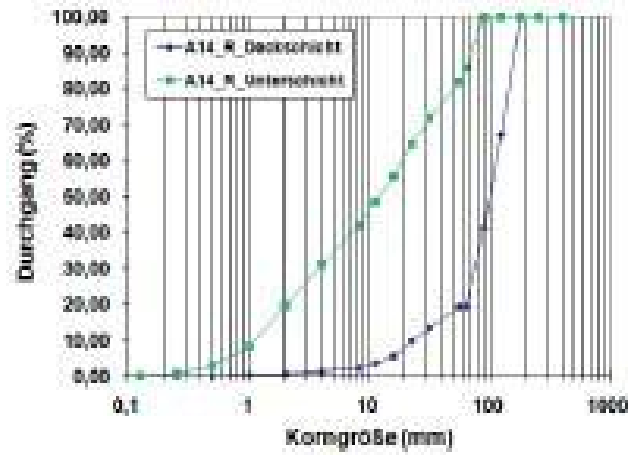


Abbildung 699: A14 - Kornverteilungskurve rechts

6.15. A15



Abbildung 700: A15 - Blickrichtung flussaufwärts



Abbildung 701: A15 - Profilsansicht



Abbildung 702: A15 - Entnahmestelle links



Abbildung 703: A15 - Entnahmestelle rechts

Semiquantitative Analyse der Korn-eigenschaften (Bestimmung gröberer Fraktionen mittels Schublehre; Abschätzung des Versandungsgrades)

Es wurden keine Sieblinien erstellt.

Semiquantitative Analyse der Korn-eigenschaften (Bestimmung gröberer Fraktionen mittels Schublehre; Abschätzung des Versandungsgrades)

Es wurden keine Sieblinien erstellt.

6.16. A16



Abbildung 704: A16 - Blickrichtung flussaufwärts



Abbildung 705: A16 - Profilsansicht



Abbildung 706: A16 - Entnahmestelle Furt



Abbildung 707: A16 - Entnahmestelle Kolk

Semiquantitative Analyse der Korn-eigenschaften (Bestimmung gröberer Fraktionen mittels Schublehre; Abschätzung des Versandungsgrades)

Es wurden keine Sieblinien erstellt.

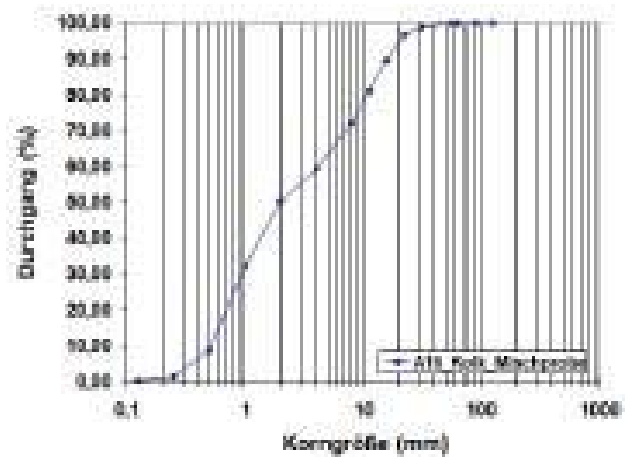


Abbildung 708: A16 - Kornverteilungskurve Kolk

6.17. A17



Abbildung 709: A17 - Blickrichtung flussaufwärts



Abbildung 710: A17 - Profilsansicht



Abbildung 711: A17 - Entnahmestelle Furt



Abbildung 712: A17 - Entnahmestelle Kolk

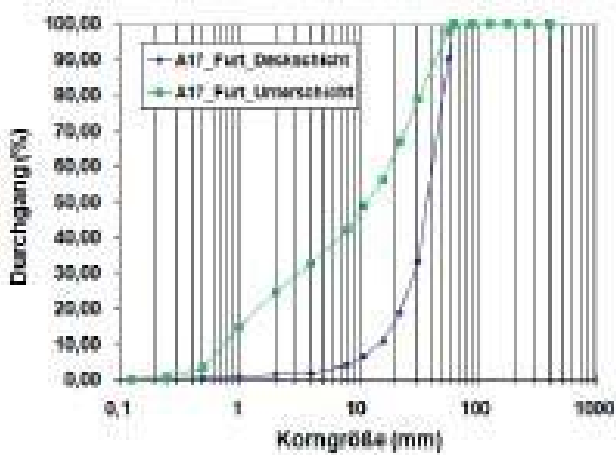


Abbildung 713: A17 - Kornverteilungskurve Furt

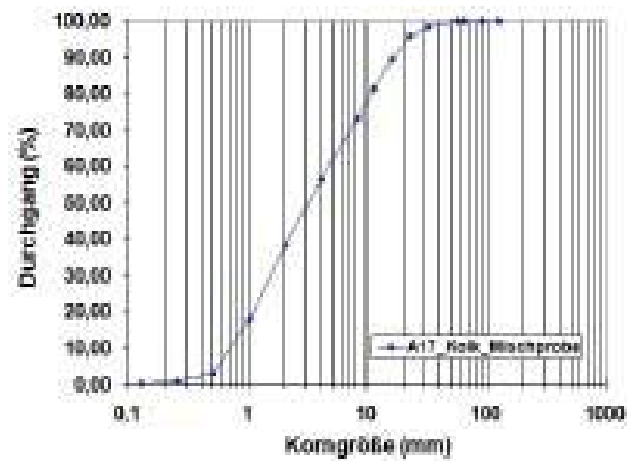


Abbildung 714: A17 - Kornverteilungskurve Kolk

6.18. A18



Abbildung 715: A18 - Blickrichtung flussaufwärts



Abbildung 716: A18 - Profilsicht

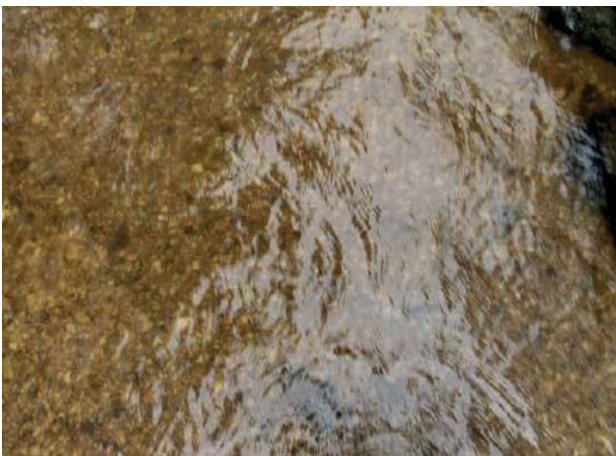


Abbildung 717: A18 - Entnahmestelle links



Abbildung 718: A18 - Entnahmestelle rechts

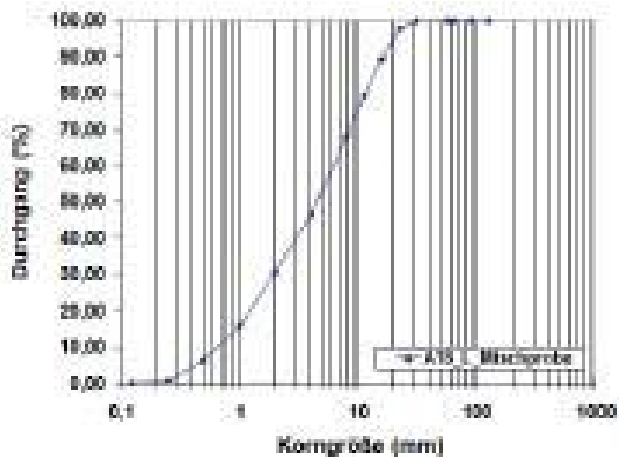


Abbildung 719: A18 - Kornverteilungskurve links

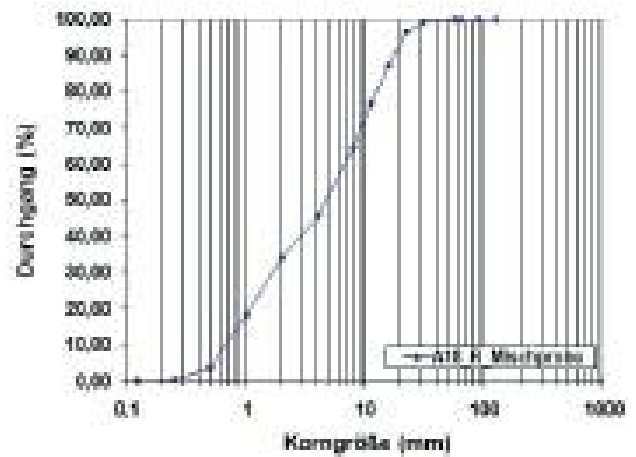


Abbildung 720: A18 - Kornverteilungskurve rechts

6.19. A19



Abbildung 721: A19 - Blickrichtung flussaufwärts



Abbildung 722: A19 - Profilansicht



Abbildung 723: A19 - Entnahmestelle links



Abbildung 724: A19 - Entnahmestelle rechts

Semiquantitative Analyse der Korn-eigenschaften (Bestimmung gröberer Fraktionen mittels Schublehre; Abschätzung des Versandungsgrades)
Es wurden keine Sieblinien erstellt.

Semiquantitative Analyse der Korn-eigenschaften (Bestimmung gröberer Fraktionen mittels Schublehre; Abschätzung des Versandungsgrades)
Es wurden keine Sieblinien erstellt.

6.20. A20



Abbildung 725: A20 - Blickrichtung flussaufwärts



Abbildung 726: A20 - Profilsicht



Abbildung 727: A20 - Entnahmestelle links



Abbildung 728: A20 - Entnahmestelle rechts

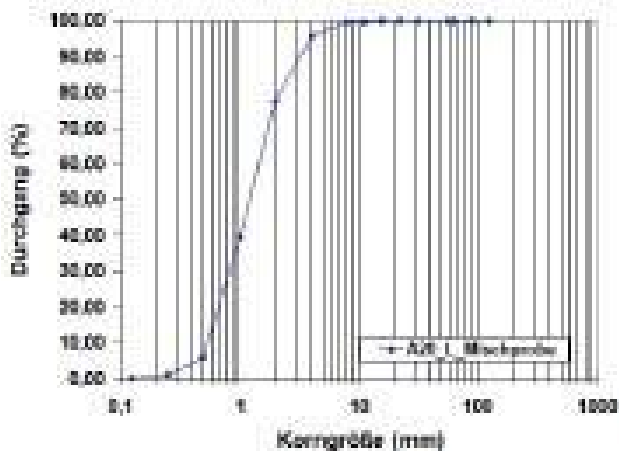


Abbildung 729: A20 - Kornverteilungskurve links

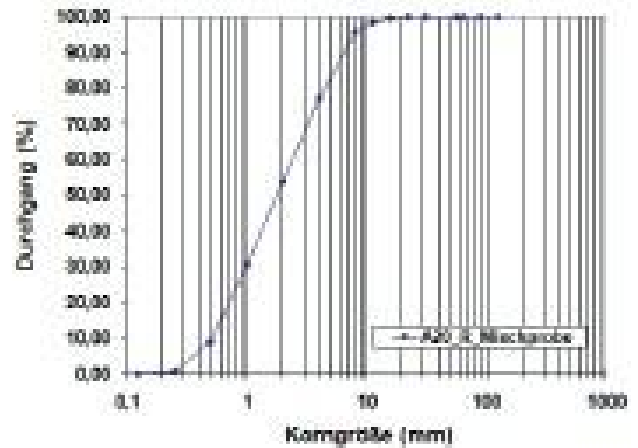


Abbildung 730: A20 - Kornverteilungskurve rechts

6.21. A21



Abbildung 731: A21 - Blickrichtung flussaufwärts



Abbildung 732: A21 - Blickrichtung flussabwärts

Die Entnahmestelle befindet sich in einem Staubereich. Es war daher keine Probenentnahme möglich.

6.22. A22



Abbildung 733: A22 - Blickrichtung flussaufwärts



Abbildung 734: A22 - Profilsicht



Abbildung 735: A22 - Entnahmestelle links



Abbildung 736: A22 - Entnahmestelle rechts

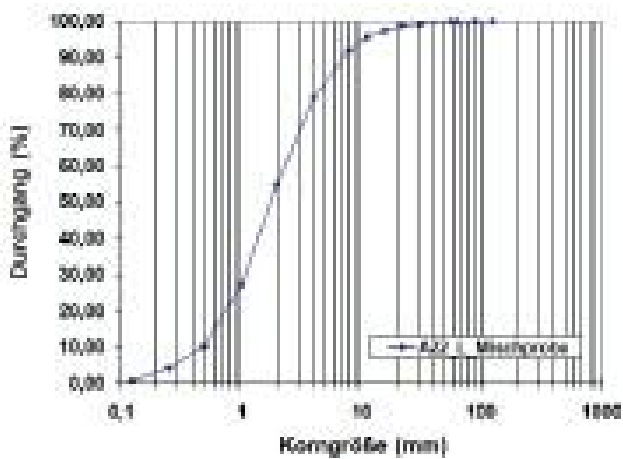


Abbildung 737: A22 - Kornverteilungskurve links

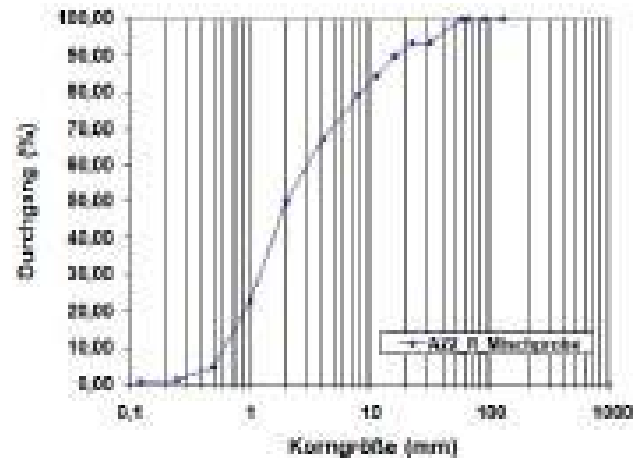


Abbildung 738: A22 - Kornverteilungskurve rechts

6.23. A23



Abbildung 739: A23 - Blickrichtung flussaufwärts



Abbildung 740: A23 - Profilsicht



Abbildung 741: A23 - Entnahmestelle links

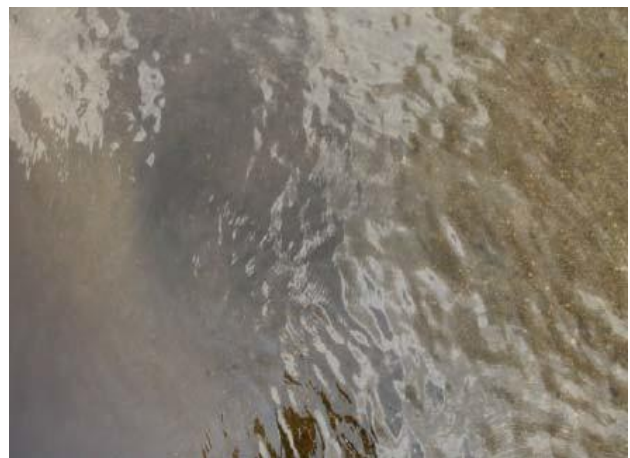


Abbildung 742: A23 - Entnahmestelle rechts

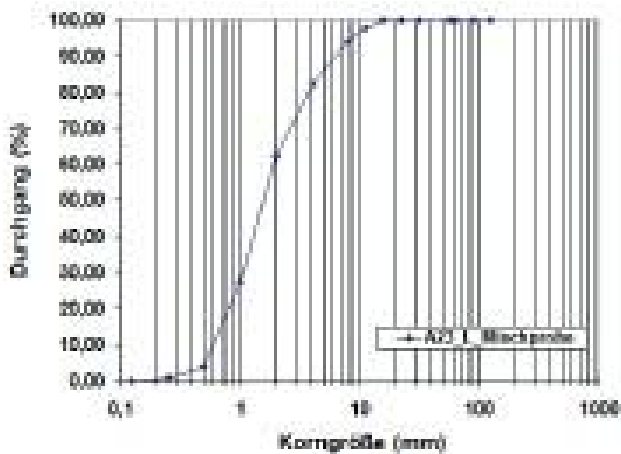


Abbildung 743: A23 - Kornverteilungskurve links

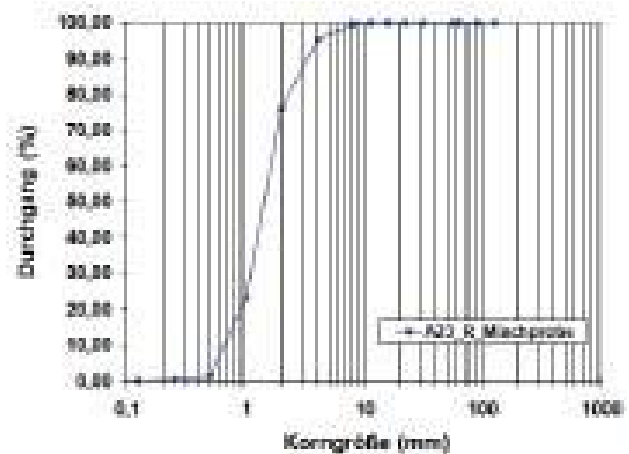


Abbildung 744: A23 - Kornverteilungskurve rechts

6.24. A24



Abbildung 745: A24 - Blickrichtung flussaufwärts



Abbildung 746: A24 - Blickrichtung flussabwärts

Zu große Wassertiefe auch bei Niederwasser. Es war daher keine Probenentnahme möglich.

6.25. WA1



Abbildung 747: WA1 - Blickrichtung flussaufwärts

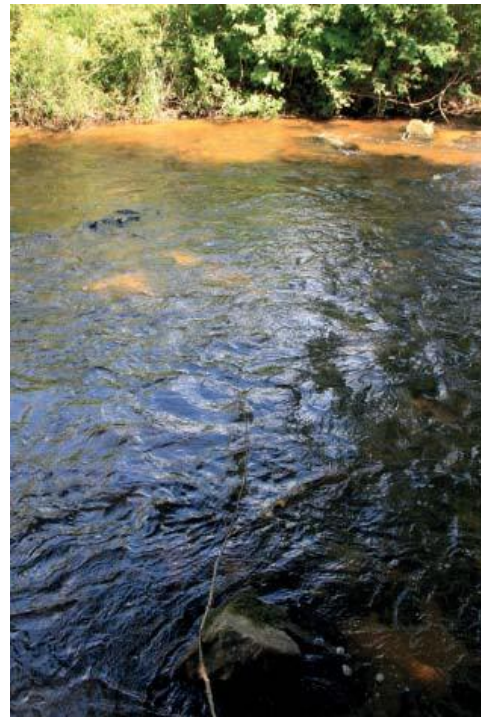


Abbildung 748: WA1 - Profilsicht



Abbildung 749: WA1 - Entnahmestelle links



Abbildung 750: WA1 - Entnahmestelle rechts

Semiquantitative Analyse der Korn-eigenschaften (Bestimmung gröberer Fraktionen mittels Schublehre; Abschätzung des Versandungsgrades)

Es wurden keine Sieblinien erstellt.

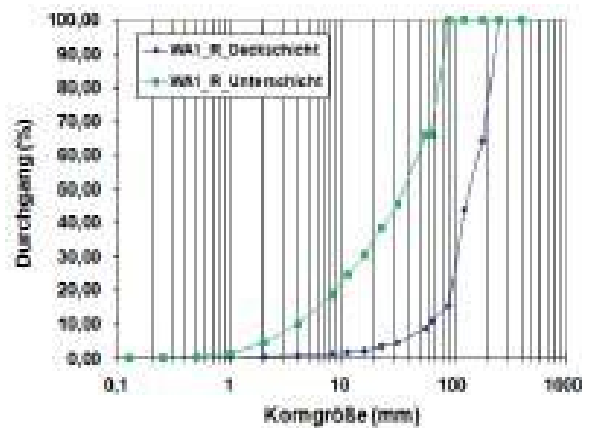


Abbildung 751: WA1 - Kornverteilungskurve rechts

6.26. WA2



Abbildung 752: WA2 - Blickrichtung flussaufwärts



Abbildung 753: WA2 - Profilansicht



Abbildung 754: WA2 - Entnahmestelle links



Abbildung 755: WA2 - Entnahmestelle rechts

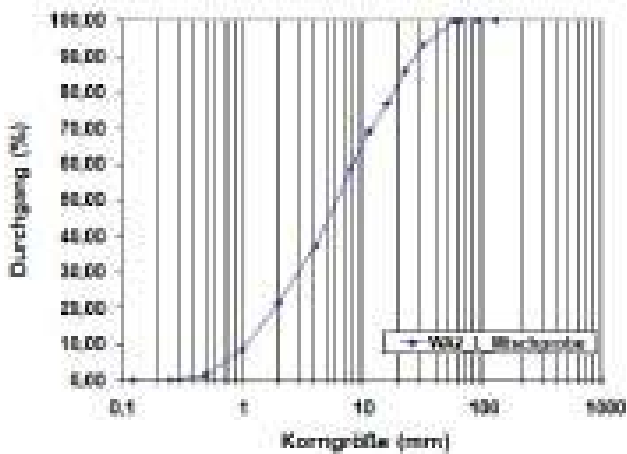


Abbildung 756: WA2 - Kornverteilungskurve links

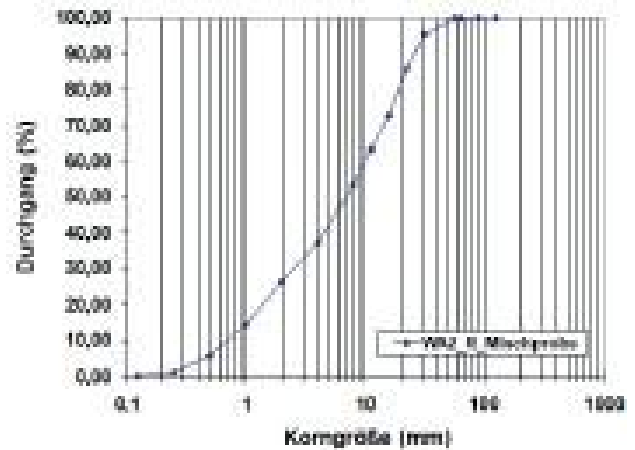


Abbildung 757: WA2 - Kornverteilungskurve rechts

6.27. WA3



Abbildung 758: WA3 - Blickrichtung flussaufwärts



Abbildung 759: WA3 - Profilsicht

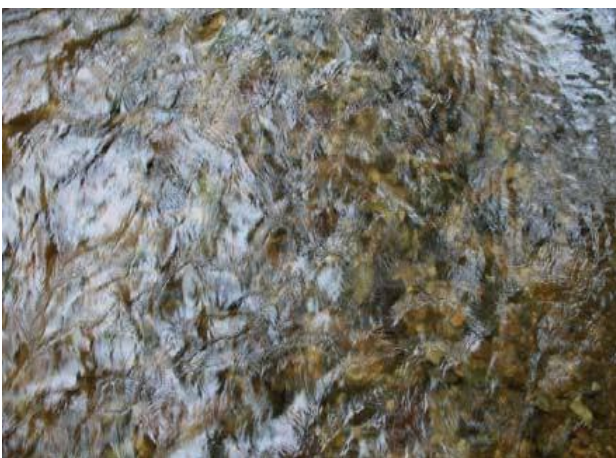


Abbildung 760: WA3 - Entnahmestelle links

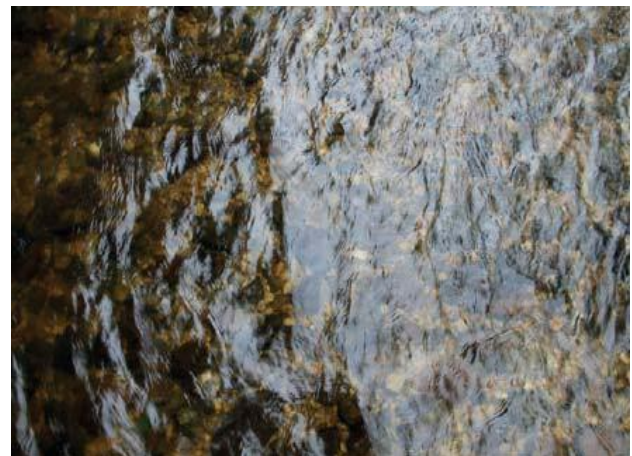


Abbildung 761: WA3 - Entnahmestelle rechts

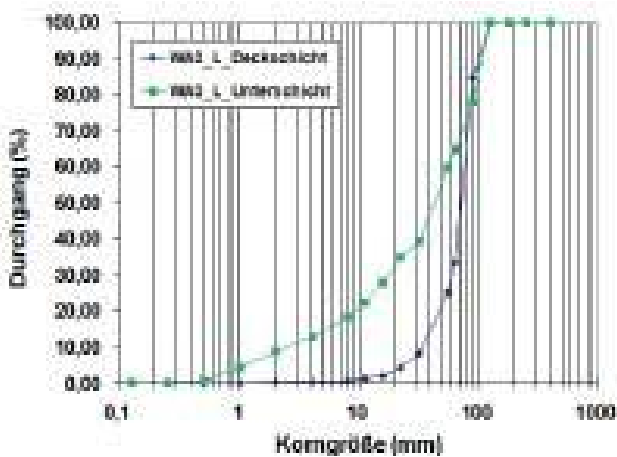


Abbildung 762: WA3 - Kornverteilungskurve links

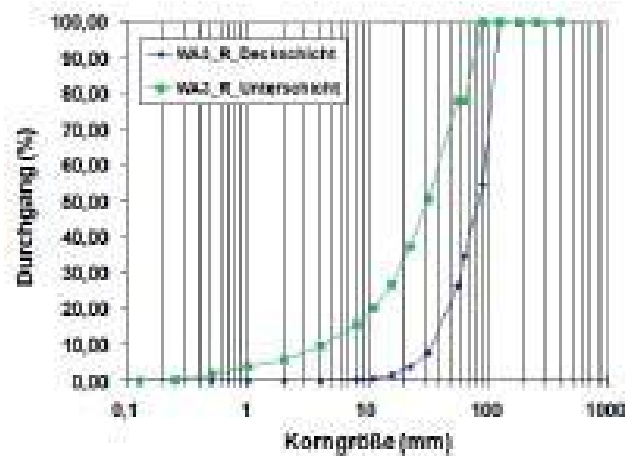


Abbildung 763: WA3 - Kornverteilungskurve rechts

6.28. WA4



Abbildung 764: WA4 - Blickrichtung flussaufwärts



Abbildung 765: WA4 - Profilsicht



Abbildung 766: WA4 - Entnahmestelle links



Abbildung 767: WA4 - Entnahmestelle rechts

Semiquantitative Analyse der Korn-eigenschaften (Bestimmung gröberer Fraktionen mittels Schublehre; Abschätzung des Versandungsgrades)

Es wurden keine Sieblinien erstellt.

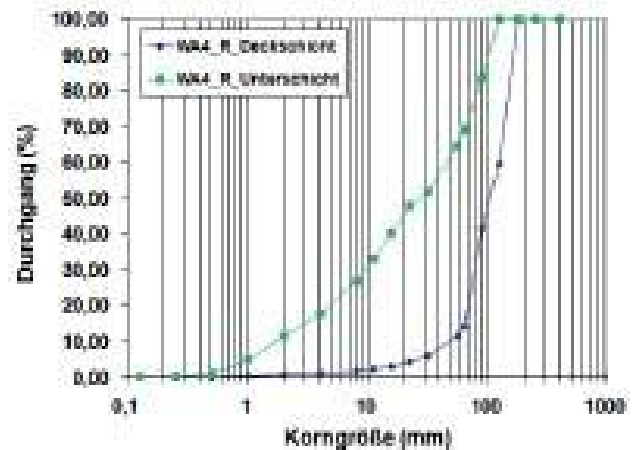


Abbildung 768: WA4 - Kornverteilungskurve rechts

6.29. WA5



Abbildung 769: WA5 - Blickrichtung flussaufwärts



Abbildung 770: WA5 - Profilansicht



Abbildung 771: WA5 - Entnahmestelle links

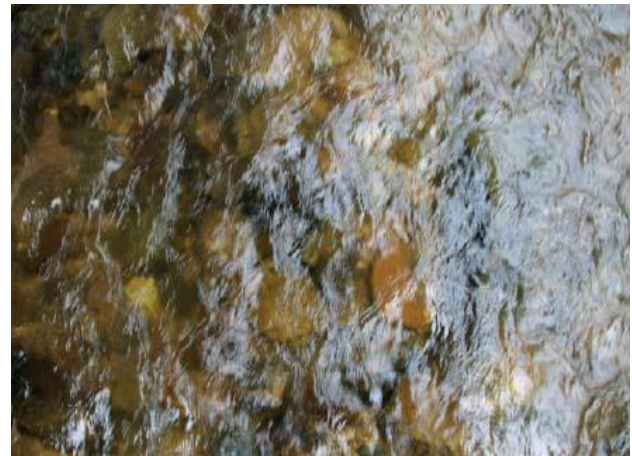


Abbildung 772: WA5 - Entnahmestelle rechts

Semiquantitative Analyse der Korn-eigenschaften (Bestimmung gröberer Fraktionen mittels Schublehre; Abschätzung des Versandungsgrades)

Es wurden keine Sieblinien erstellt.

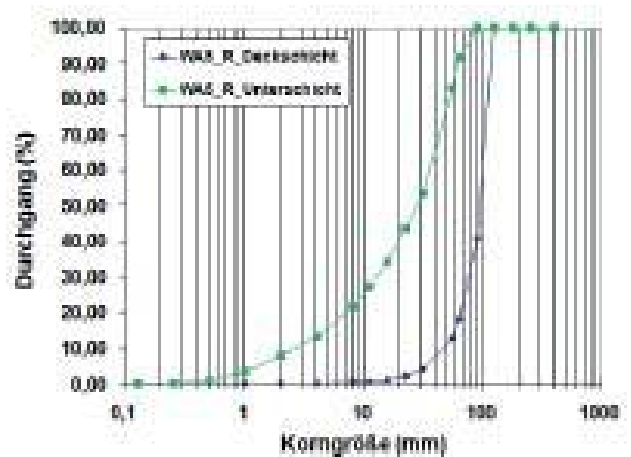


Abbildung 773: WA5 - Kornverteilungskurve

6.30. WA6



Abbildung 774: WA6 - Blickrichtung flussaufwärts



Abbildung 775: WA6 - Profilansicht



Abbildung 776: WA6 - Entnahmestelle links



Abbildung 777: WA6 - Entnahmestelle rechts

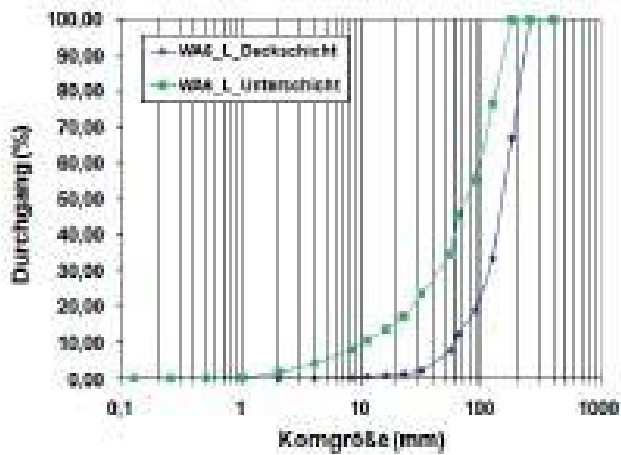


Abbildung 778: WA6 - Kornverteilungskurve links

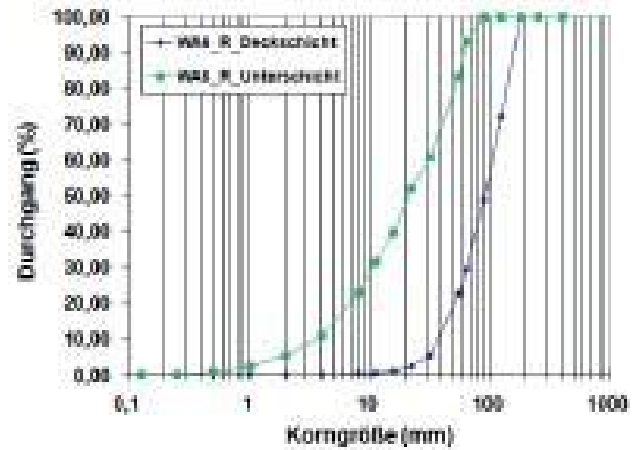


Abbildung 779: WA6 - Kornverteilungskurve rechts

6.31. WA7



Abbildung 780: WA7 - Blickrichtung flussaufwärts



Abbildung 781: WA7 - Profilansicht



Abbildung 782: WA7 - Entnahmestelle links



Abbildung 783: WA7 - Entnahmestelle rechts

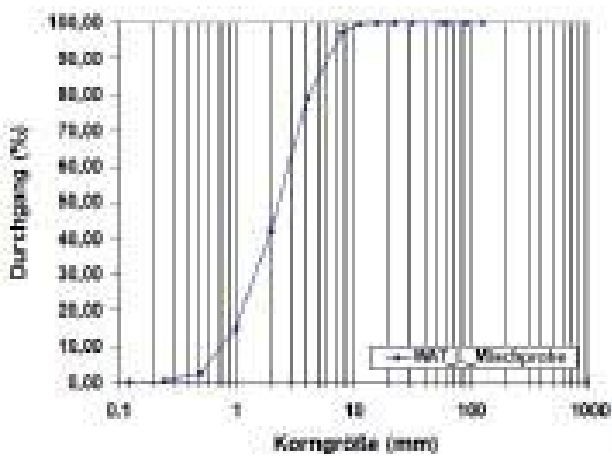


Abbildung 784: WA7 - Kornverteilungskurve links

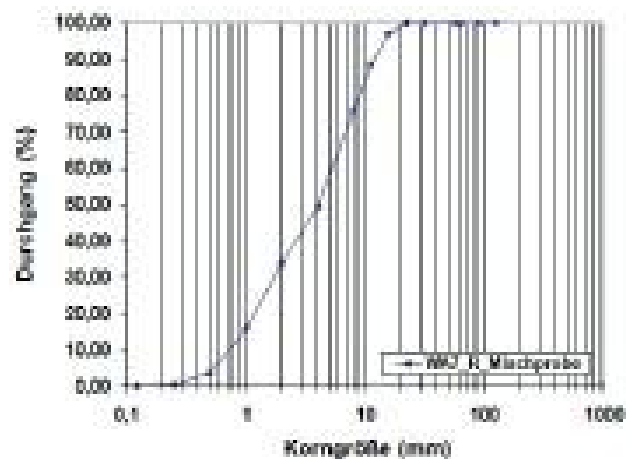


Abbildung 785: WA7 - Kornverteilungskurve rechts

6.32. WA8



Abbildung 786: WA8 - Blickrichtung flussaufwärts



Abbildung 787: WA8 - Profilansicht



Abbildung 788: WA8 - Entnahmestelle links



Abbildung 789: WA8 - Entnahmestelle rechts

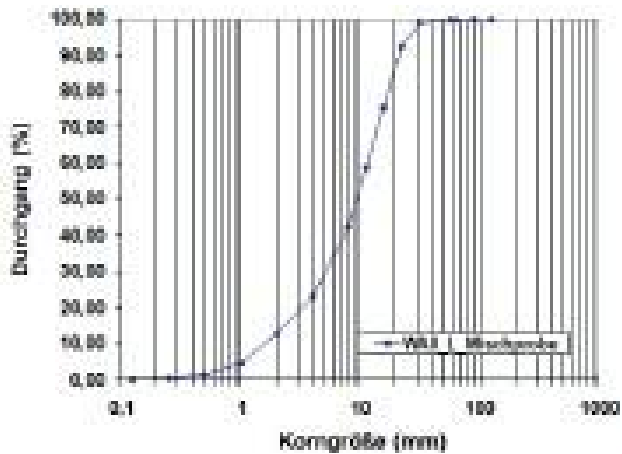


Abbildung 790: WA8 - Kornverteilungskurve links

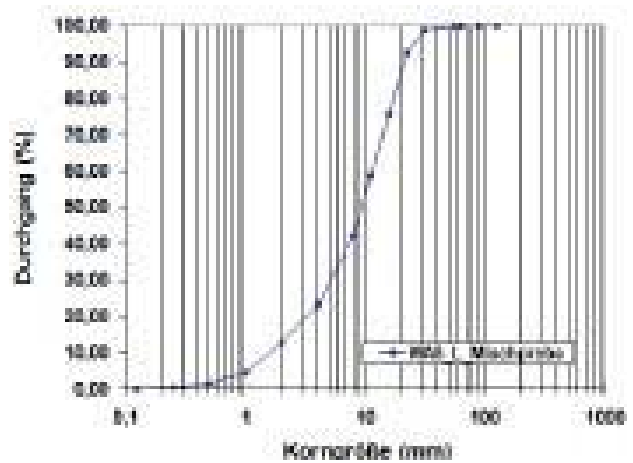


Abbildung 791: WA8 - Kornverteilungskurve rechts

6.33. WA9



Abbildung 792: WA9 - Blickrichtung flussaufwärts



Abbildung 793: WA9 - Profilansicht

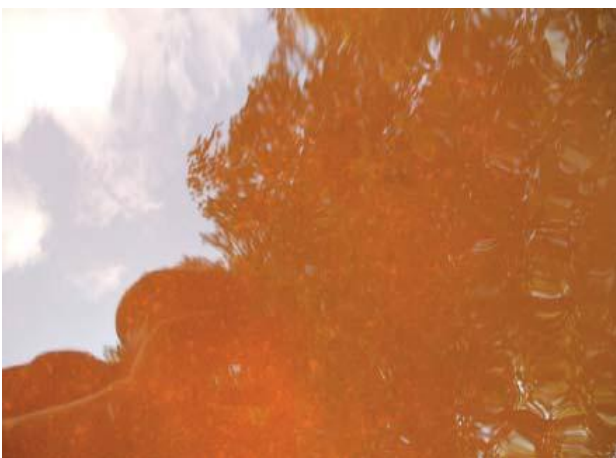


Abbildung 794: WA9 - Entnahmestelle links

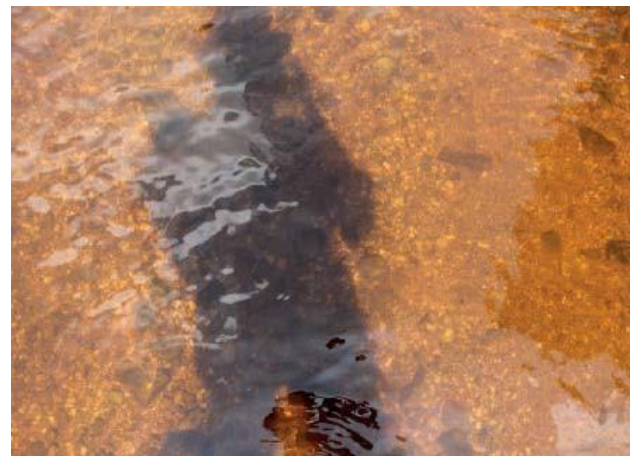


Abbildung 795: WA9 - Entnahmestelle rechts

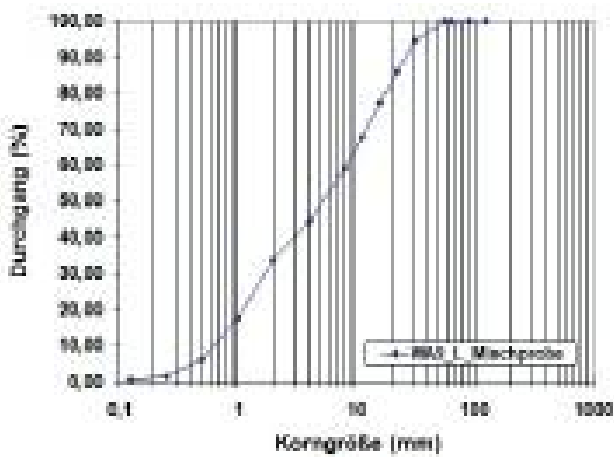


Abbildung 796: WA9 - Kornverteilungskurve links

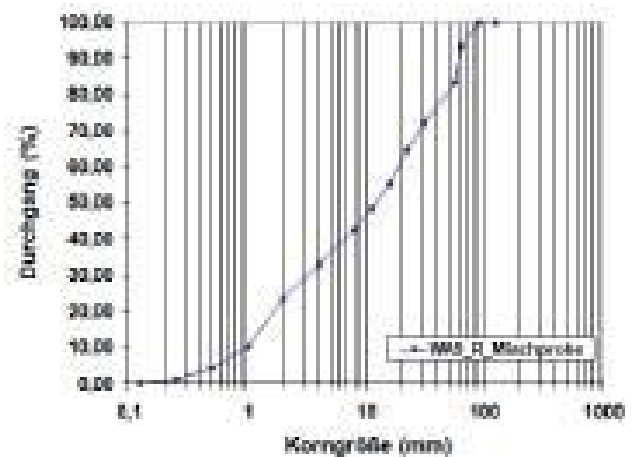


Abbildung 797: WA9 - Kornverteilungskurve rechts

6.34. WA10



Abbildung 798: WA10 - Blickrichtung flussaufwärts



Abbildung 799: WA10 - Profilsicht



Abbildung 800: WA10 - Entnahmestelle links



Abbildung 801: WA10 - Entnahmestelle rechts

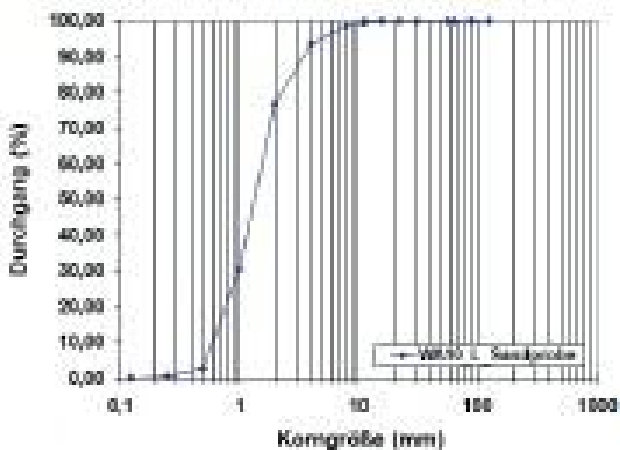


Abbildung 802: WA10 - Kornverteilungskurve

Semiquantitative Analyse der Korn-eigenschaften (Bestimmung gröberer Fraktionen mittels Schublehre; Abschätzung des Versandungsgrades)

Es wurden keine Sieblinien erstellt.

6.35. WA11



Abbildung 803: WA11 - Blickrichtung flussaufwärts



Abbildung 804: WA11 - Profilansicht



Abbildung 805: WA11 - Entnahmestelle links



Abbildung 806: WA11 - Entnahmestelle rechts

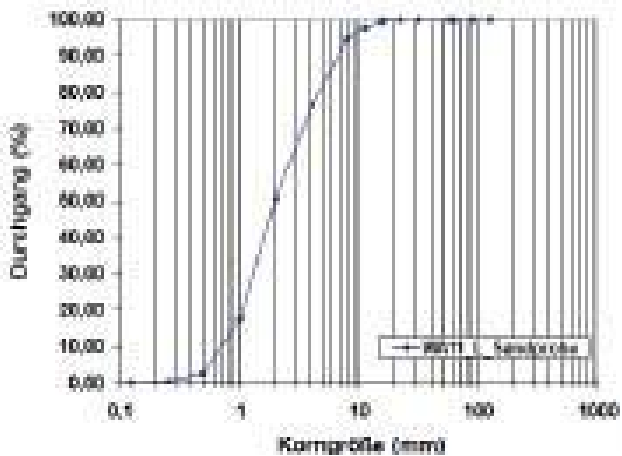


Abbildung 807: WA11 - Kornverteilungskurve

Semiquantitative Analyse der Korn-
eigenschaften (Bestimmung größerer
Fraktionen mittels Schublehre;
Abschätzung des Versandungsgrades)

Es wurden keine Sieblinien erstellt.

6.36. WA12



Abbildung 808: WA12 - Blickrichtung flussaufwärts

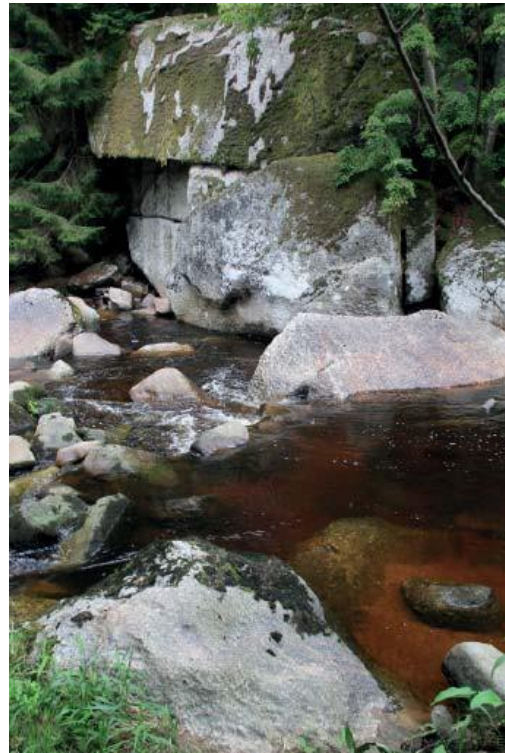


Abbildung 809: WA12 - Profilsicht

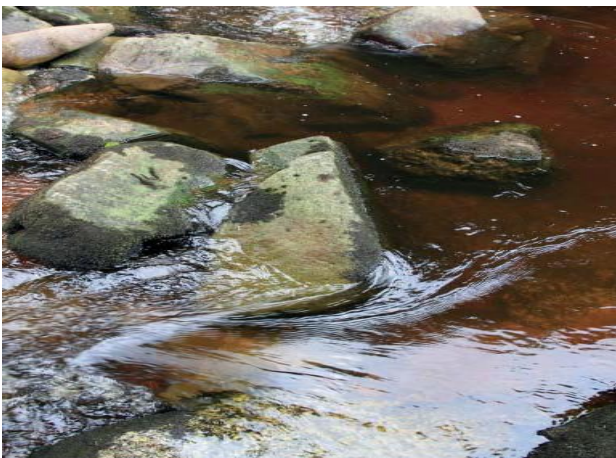


Abbildung 810: WA12 - Entnahmestelle links



Abbildung 811: WA12 - Entnahmestelle rechts

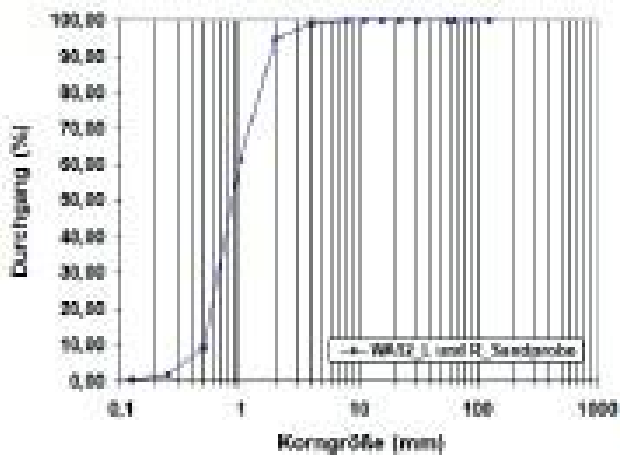


Abbildung 812: WA12 - Kornverteilungskurve links

Semiquantitative Analyse der Korn-eigenschaften (Bestimmung größerer Fraktionen mittels Schublehre; Abschätzung des Versandungsgrades)

Es wurden keine Sieblinien erstellt.

6.37. WA13



Abbildung 813: WA13 - Blickrichtung flussaufwärts



Abbildung 814: WA13 - Profilsicht



Abbildung 815: WA13 - Entnahmestelle links



Abbildung 816: WA13 - Entnahmestelle rechts

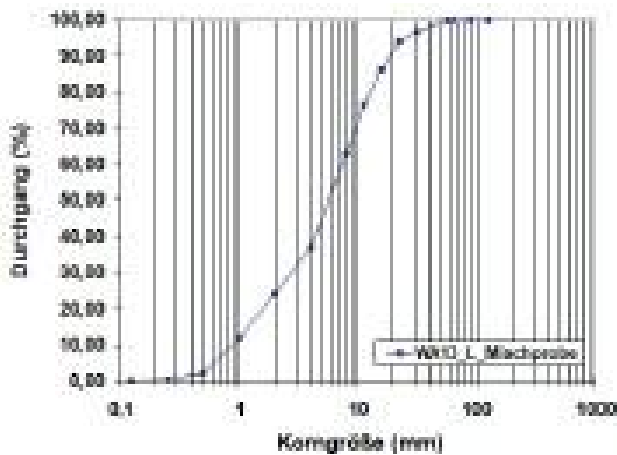


Abbildung 817: WA13 - Kornverteilungskurve links

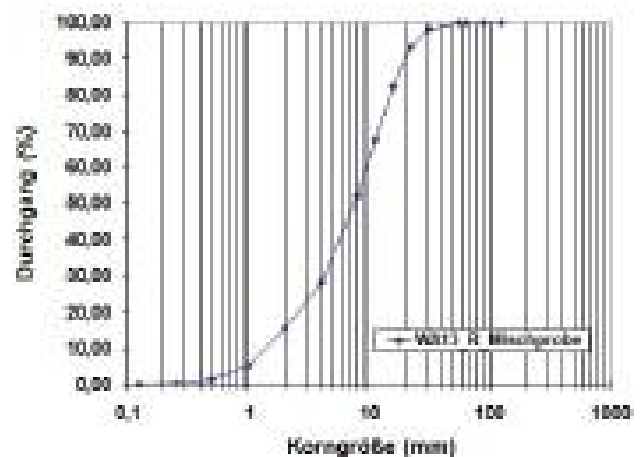


Abbildung 818: WA13 - Kornverteilungskurve rechts

6.38. WA14



Abbildung 819: WA14 - Blickrichtung flussaufwärts



Abbildung 820: WA14 - Profilsicht



Abbildung 821: WA14 - Entnahmestelle links



Abbildung 822: WA14 - Entnahmestelle rechts

Semiquantitative Analyse der Korn-eigenschaften (Bestimmung gröberer Fraktionen mittels Schublehre; Abschätzung des Versandungsgrades)

Es wurden keine Sieblinien erstellt.

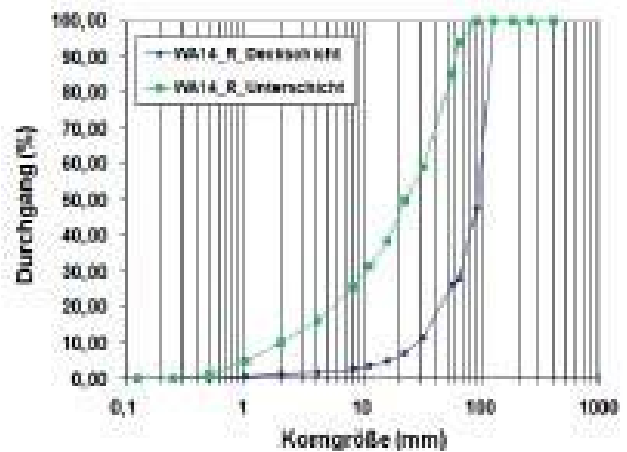


Abbildung 823: WA14 - Kornverteilungskurve rechts

6.39. WA16



Abbildung 824: WA16 - Blickrichtung flussaufwärts



Abbildung 825: WA16 - Profilsicht

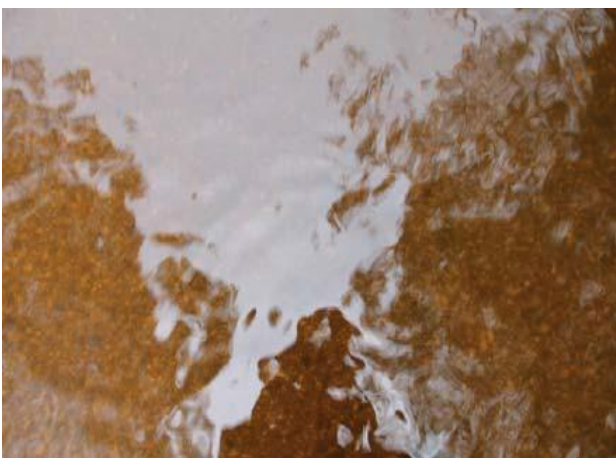


Abbildung 826: WA16 - Entnahmestelle links



Abbildung 827: WA16 - Entnahmestelle rechts

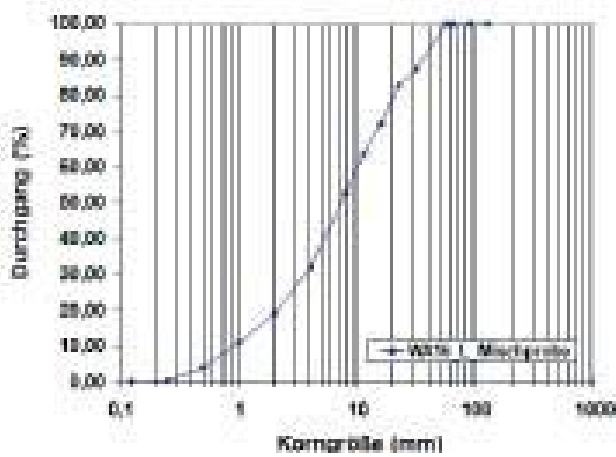


Abbildung 828: WA16 - Kornverteilungskurve links

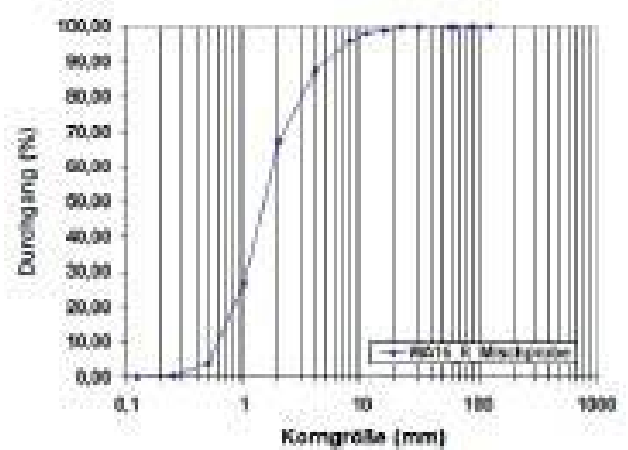


Abbildung 829: WA16 - Kornverteilungskurve rechts

6.40. WA17



Abbildung 830: WA17 - Blickrichtung flussaufwärts



Abbildung 831: WA17 - Profilsicht



Abbildung 832: WA17 - Entnahmestelle links



Abbildung 833: WA17 - Entnahmestelle rechts

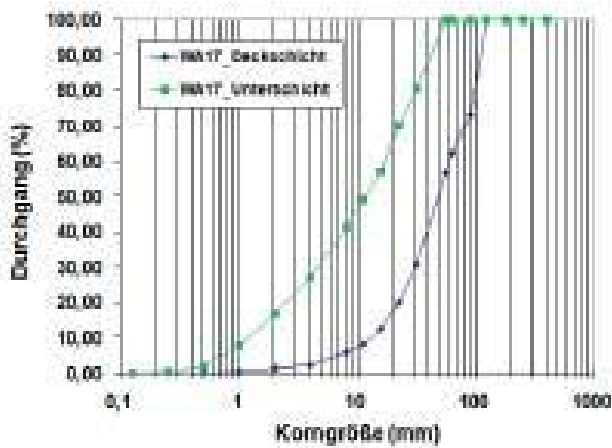


Abbildung 834: WA17 - Kornverteilungskurve links

Semiquantitative Analyse der Korn-eigenschaften (Bestimmung gröberer Fraktionen mittels Schublehre; Abschätzung des Versandungsgrades)

Es wurden keine Sieblinien erstellt.

6.41. WA18



Abbildung 835: WA18 - Blickrichtung flussaufwärts



Abbildung 836: WA18 - Profilansicht

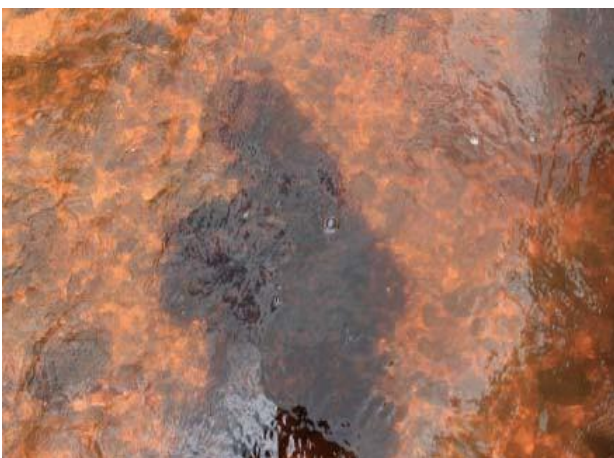


Abbildung 837: WA18 - Entnahmestelle links



Abbildung 838: WA18 - Entnahmestelle rechts

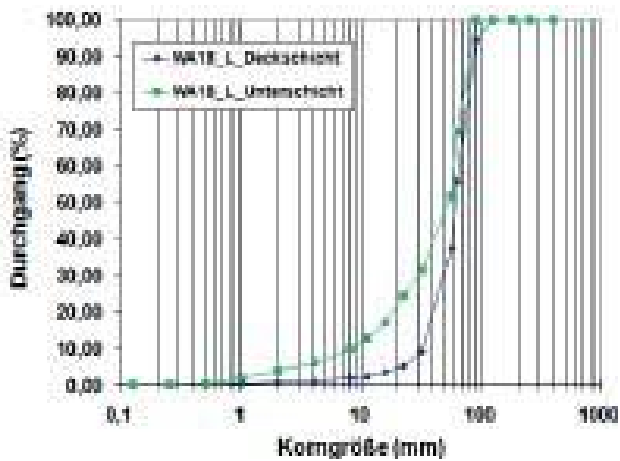


Abbildung 839: WA18 - Kornverteilungskurve links

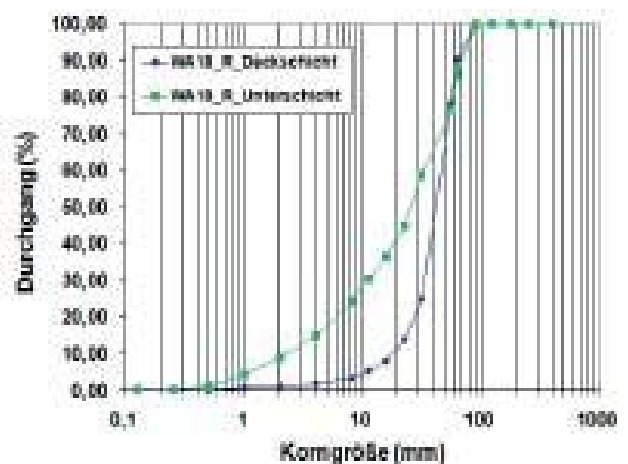


Abbildung 840: WA18 - Kornverteilungskurve rechts

6.42. WEA1



Abbildung 841: WEA1 - Blickrichtung flussaufwärts



Abbildung 842: WEA1 - Profilansicht



Abbildung 843: WEA1 - Entnahmestelle

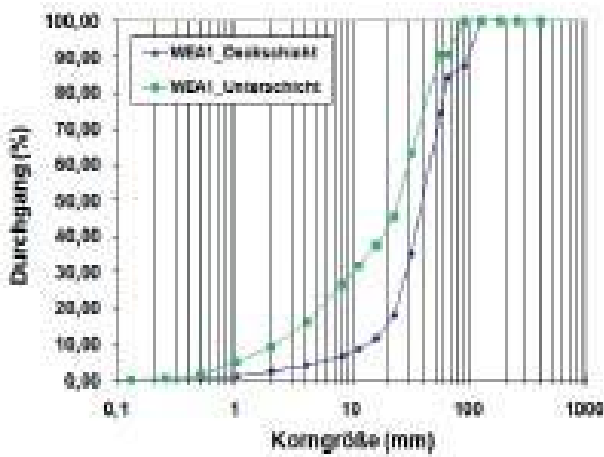


Abbildung 844: WEA1 - Kornverteilungskurve

6.43. WEA2



Abbildung 845: WA8 - Blickrichtung flussaufwärts



Abbildung 846: WA8 - Profilsicht



Abbildung 847: WA8 - Entnahmestelle Furt



Abbildung 848: WA8 - Entnahmestelle Kolk

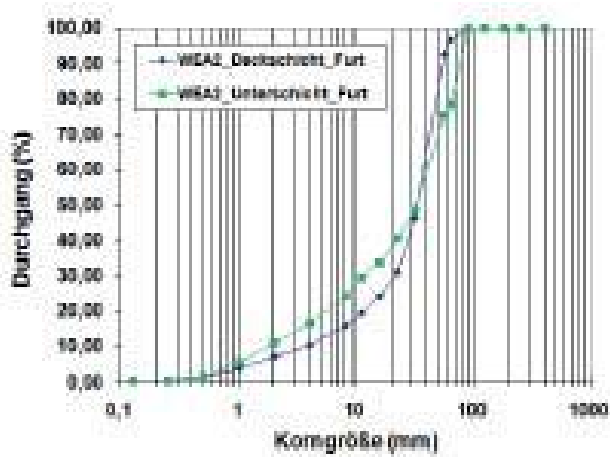


Abbildung 849: WA8 - Kornverteilungskurve Furt

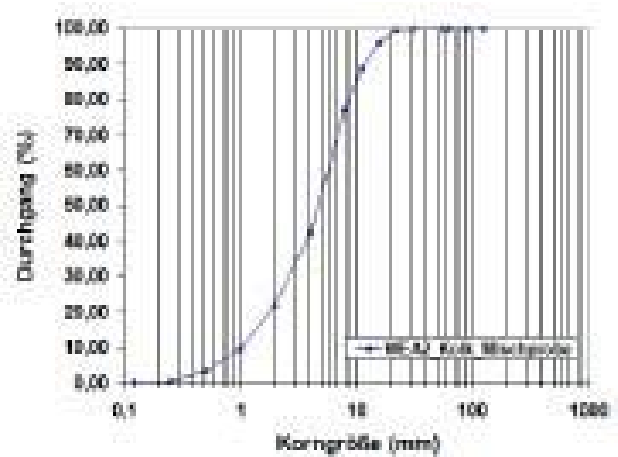


Abbildung 850: WA8 - Kornverteilungskurve Kolk

6.44. WEA3



Abbildung 851: WEA3 - Blickrichtung flussaufwärts



Abbildung 852: WEA3 - Profilsicht



Abbildung 853: WEA3 - Entnahmestelle Furt



Abbildung 854: WEA3 - Entnahmestelle Kolk

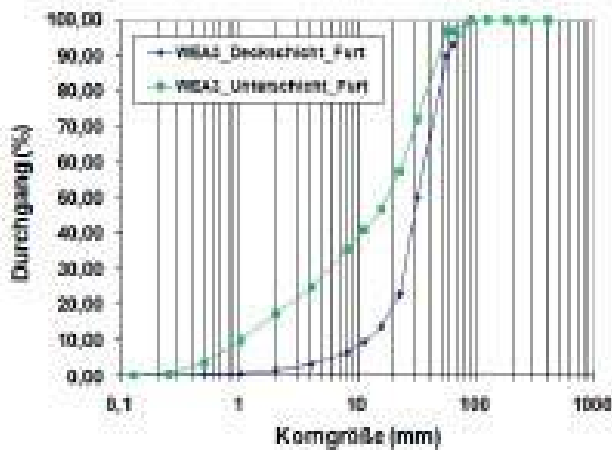


Abbildung 855: WEA3 - Kornverteilungskurve Furt

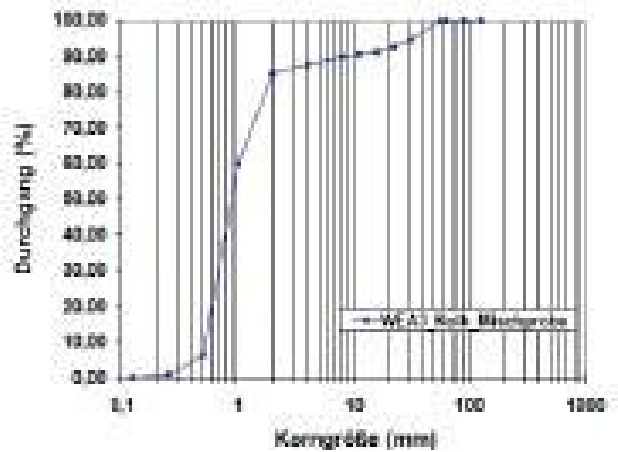


Abbildung 856: WEA3 - Kornverteilungskurve Kolk

6.45. MB1



Abbildung 857: MB1 - Blickrichtung flussaufwärts



Abbildung 858: MB1 - Profilansicht



Abbildung 859: MB1 - Entnahmestelle links

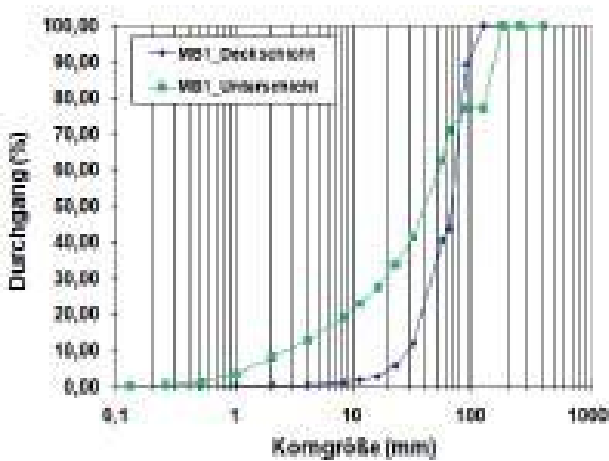


Abbildung 860: MB1 - Kornverteilungskurve links

6.46. MB2



Abbildung 861: MB2 - Blickrichtung flussaufwärts



Abbildung 862: MB2 - Profilansicht



Abbildung 863: MB2 - Entnahmestelle links

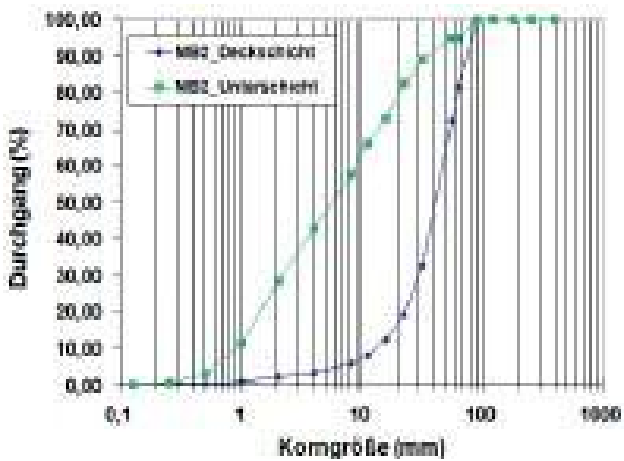


Abbildung 864: MB2 - Kornverteilungskurve links

7. Naarn

Dieses Kapitel umfasst die Ergebnisse der Probenentnahme an der Naarn. Es wurden nach Möglichkeit bei jedem Entnahmepunkt (siehe folgende Abbildung) links und rechts eine Probe entnommen. In den folgenden Abbildungen werden die daraus resultierenden Kornverteilungskurven und die dazugehörigen Fotos dokumentiert.



Abbildung 865: Probenentnahmepunkte - NAARN

7.1. N1



Abbildung 866: N1 - Blickrichtung flussaufwärts



Abbildung 867: N1 - Profilsicht

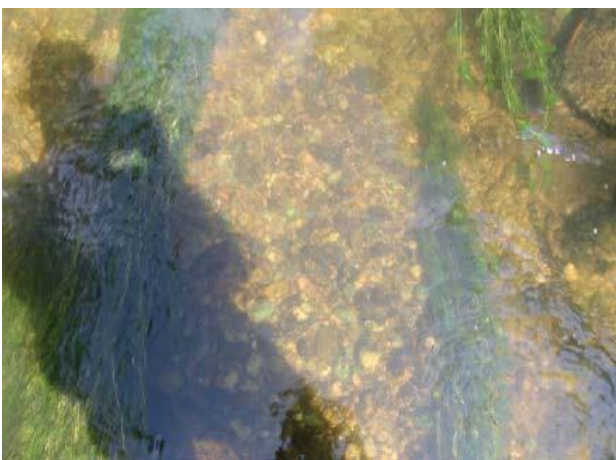


Abbildung 868: N1 - Entnahmestelle links



Abbildung 869: N1 - Entnahmestelle rechts

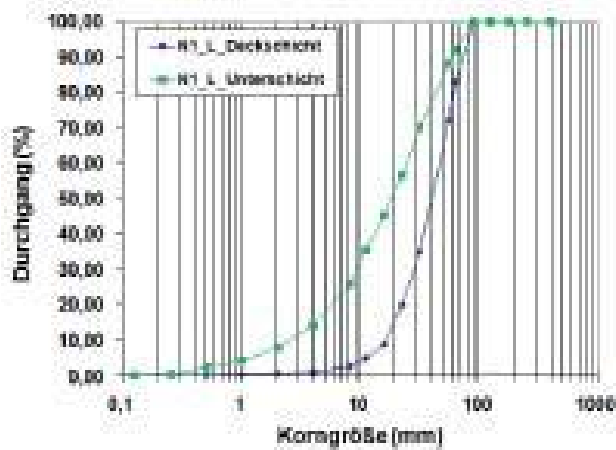


Abbildung 870 N1 - Kornverteilungskurve links

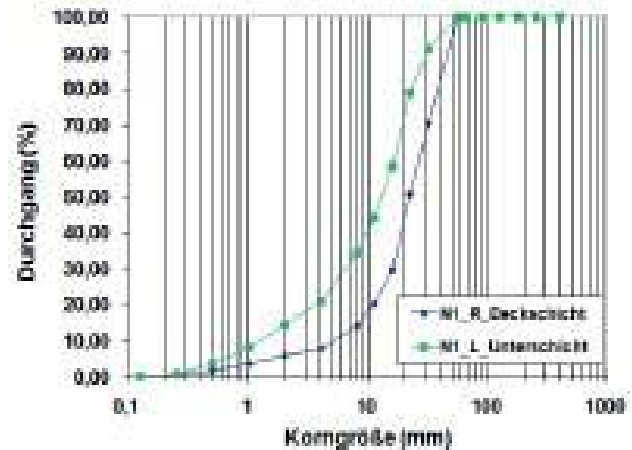


Abbildung 871: N1 - Kornverteilungskurve rechts

7.2. N2



Abbildung 872: N2 - Blickrichtung flussaufwärts



Abbildung 873: N2 - Profilansicht

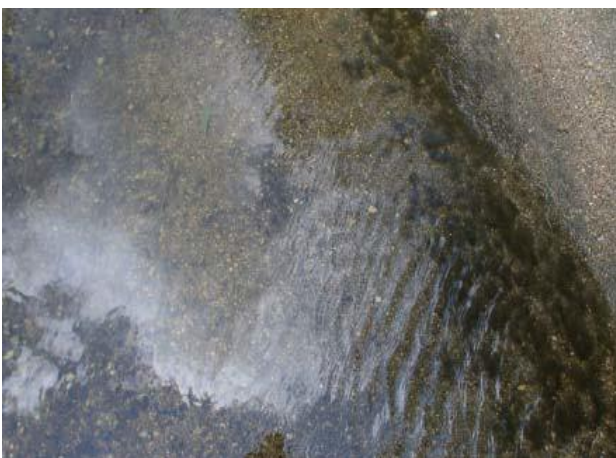


Abbildung 874: N2 - Entnahmestelle links



Abbildung 875: N2 - Entnahmestelle rechts

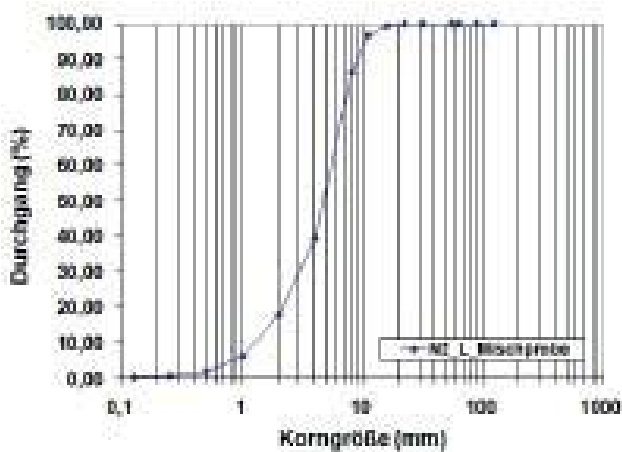


Abbildung 876: N2 - Kornverteilungskurve links

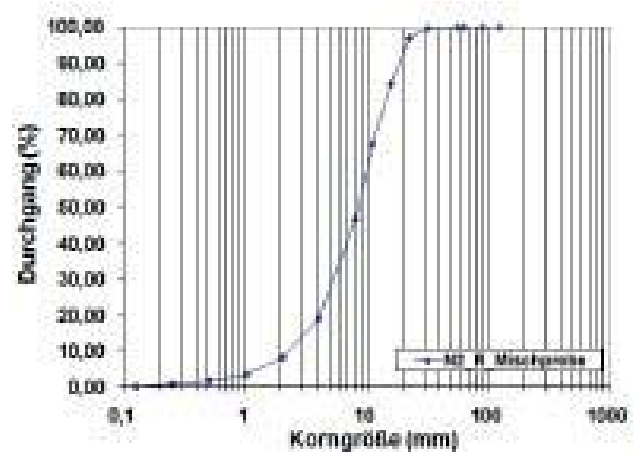


Abbildung 877: N2 - Kornverteilungskurve rechts

7.3. N3



Abbildung 878: N3 - Blickrichtung flussaufwärts

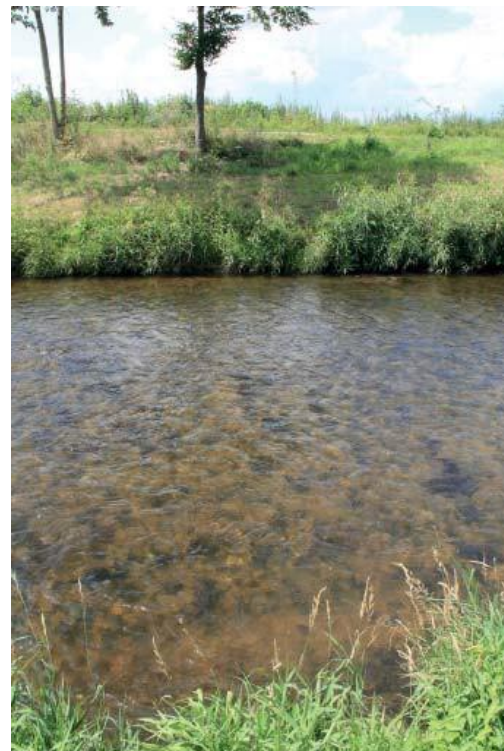


Abbildung 879: N3 - Profilsicht



Abbildung 880: N3 - Entnahmestelle links



Abbildung 881: N3 - Entnahmestelle rechts

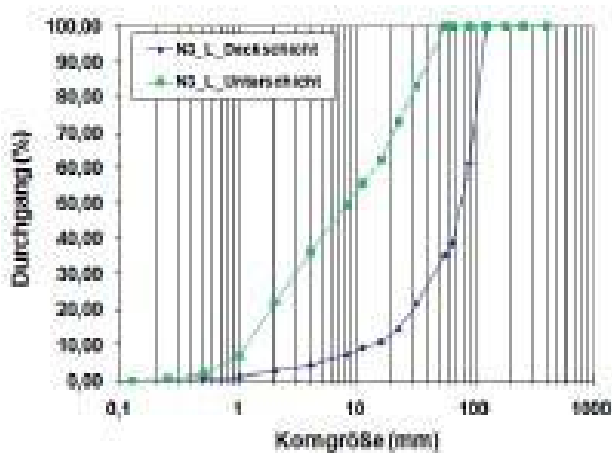


Abbildung 882: N3 - Kornverteilungskurve links

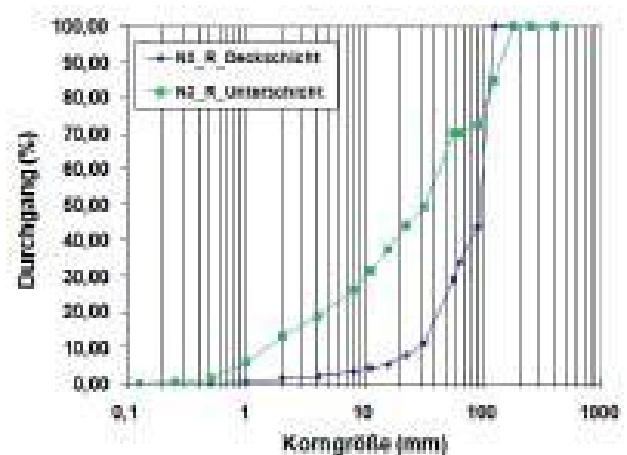


Abbildung 883: N3 - Kornverteilungskurve rechts

7.4. N4



Abbildung 884: N4 - Blickrichtung flussaufwärts



Abbildung 885: N4 - Profilsansicht



Abbildung 886: N4 - Entnahmestelle links



Abbildung 887: N4 - Entnahmestelle rechts

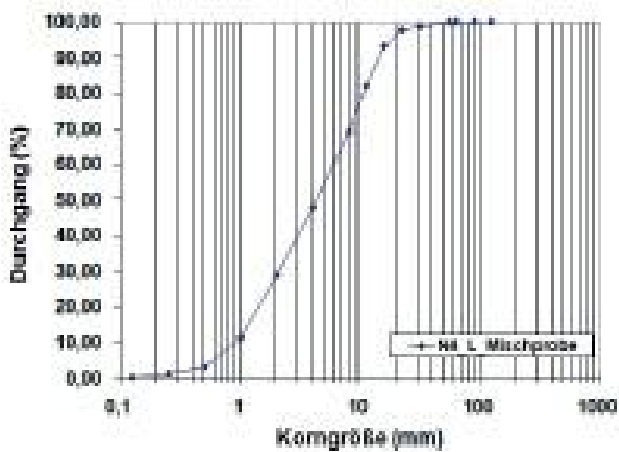


Abbildung 888: N4 - Kornverteilungskurve links

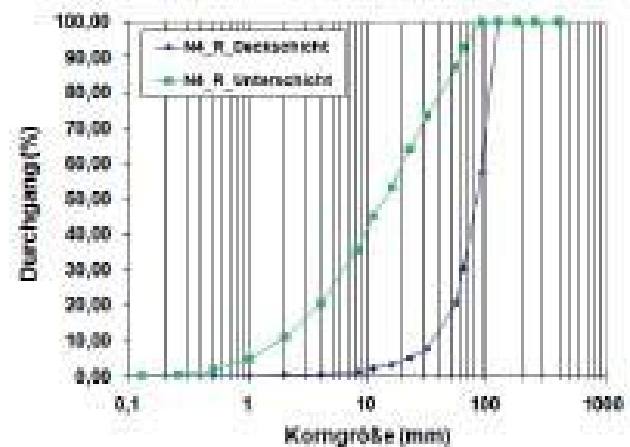


Abbildung 889: N4 - Kornverteilungskurve rechts

7.5. N5



Abbildung 890: N5 - Blickrichtung flussaufwärts



Abbildung 891: N5 - Profilansicht

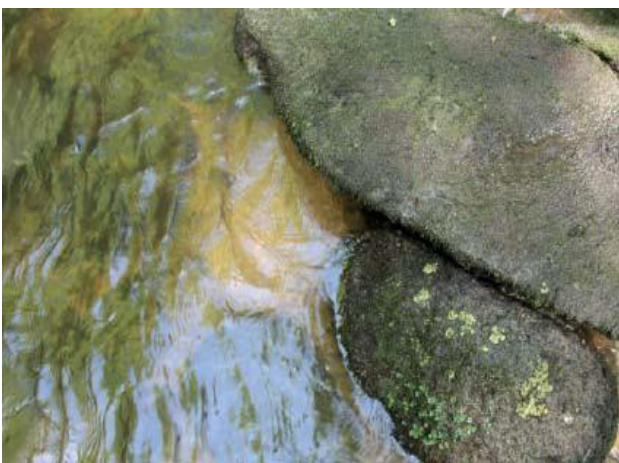


Abbildung 892: N5 - Entnahmestelle links

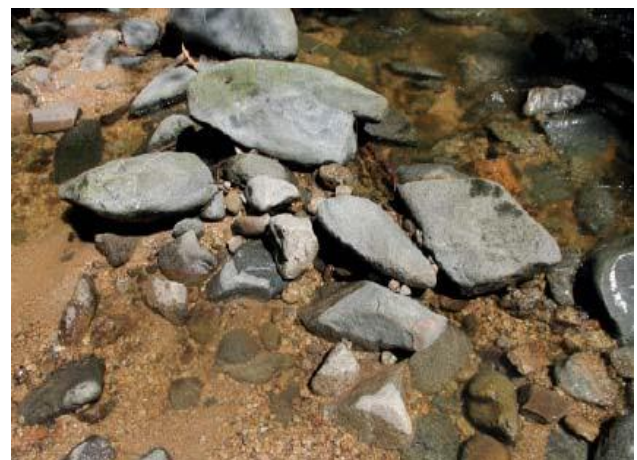


Abbildung 893: N5 - Entnahmestelle rechts

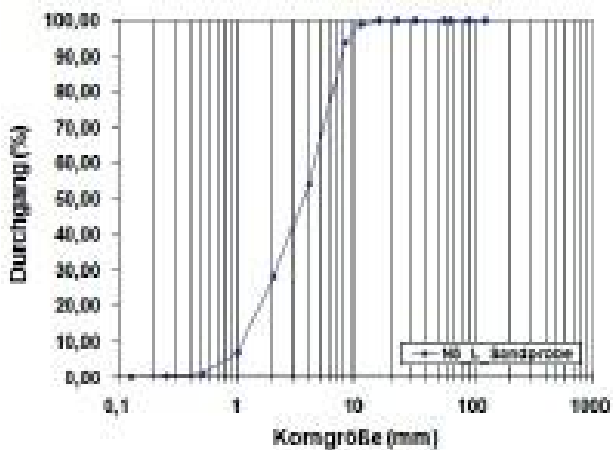


Abbildung 894: N5 - Kornverteilungskurve links

Semiquantitative Analyse der Korn-eigenschaften (Bestimmung gröberer Fraktionen mittels Schublehre; Abschätzung des Versandungsgrades)

Es wurden keine Sieblinien erstellt.

7.6. N6



Abbildung 895: N6 - Blickrichtung flussaufwärts



Abbildung 896: N6 - Profilsicht



Abbildung 897: N6 - Entnahmestelle links



Abbildung 898: N6 - Entnahmestelle rechts

Semiquantitative Analyse der Korn-eigenschaften (Bestimmung gröberer Fraktionen mittels Schublehre; Abschätzung des Versandungsgrades)

Es wurden keine Sieblinien erstellt.

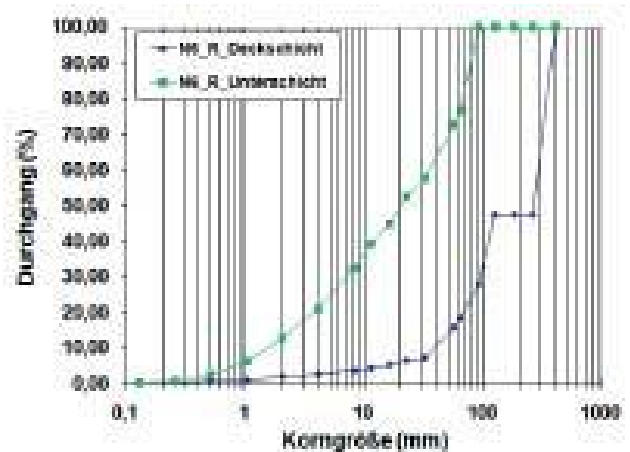


Abbildung 899: N6 - Kornverteilungskurve rechts

7.7. N7



Abbildung 900: N1 - Blickrichtung flussaufwärts



Abbildung 901: N1 - Profilansicht



Abbildung 902: N1 - Entnahmestelle links

Semiquantitative Analyse der Korn-eigenschaften (Bestimmung gröberer Fraktionen mittels Schublehre; Abschätzung des Versandungsgrades)

Es wurden keine Sieblinien erstellt.

7.8. N8



Abbildung 903: N8 - Blickrichtung flussaufwärts



Abbildung 904: N8 - Profilsicht



Abbildung 905: N8 - Entnahmestelle links



Abbildung 906: N8 - Entnahmestelle rechts

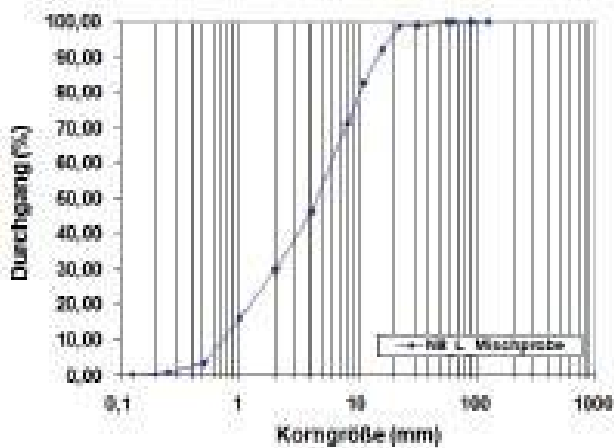


Abbildung 907: N8 - Kornverteilungskurve links

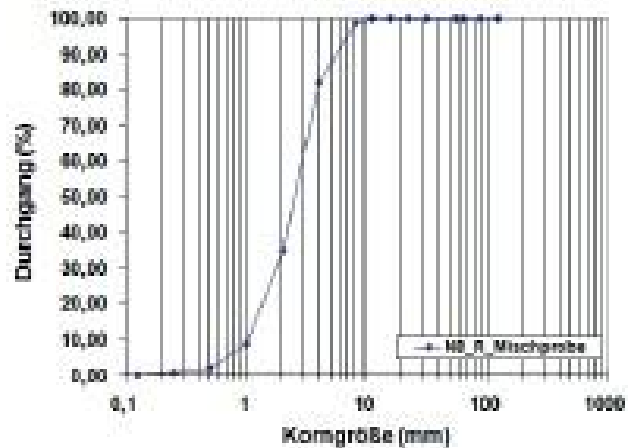


Abbildung 908: N8 - Kornverteilungskurve rechts

7.9. N9



Abbildung 909: N9 - Blickrichtung flussaufwärts



Abbildung 910: N9 - Profilansicht



Abbildung 911: N9 - Entnahmestelle links



Abbildung 912: N9 - Entnahmestelle rechts

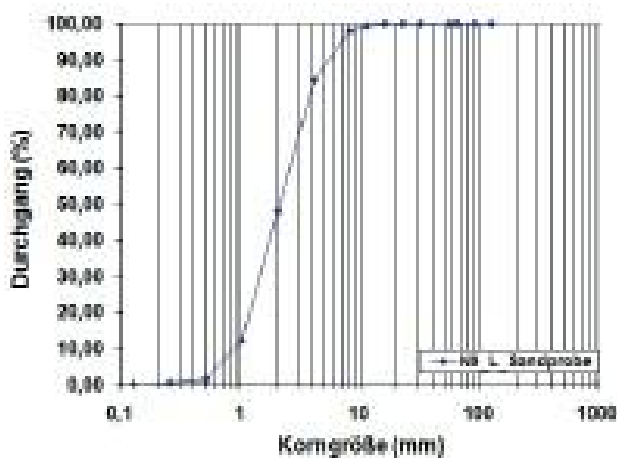


Abbildung 913: N9 - Kornverteilungskurve links

Semiquantitative Analyse der Korn-eigenschaften (Bestimmung gröberer Fraktionen mittels Schublehre; Abschätzung des Versandungsgrades)

Es wurden keine Sieblinien erstellt.

7.10. N10



Abbildung 914: N10 - Blickrichtung flussaufwärts



Abbildung 915: N10 - Profilansicht



Abbildung 916: N10 - Entnahmestelle links



Abbildung 917: N10 - Entnahmestelle rechts

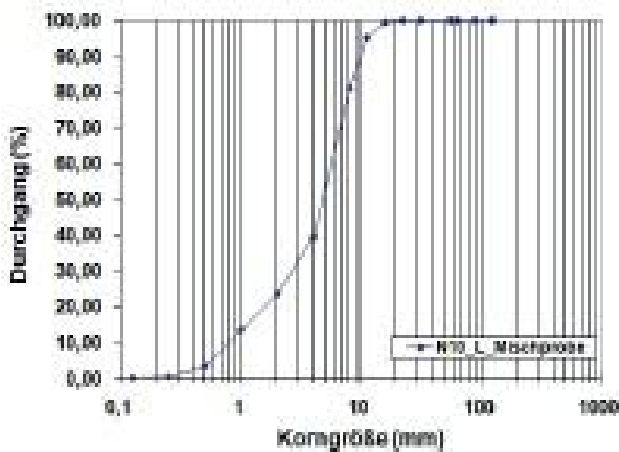


Abbildung 918: N10 - Kornverteilungskurve links

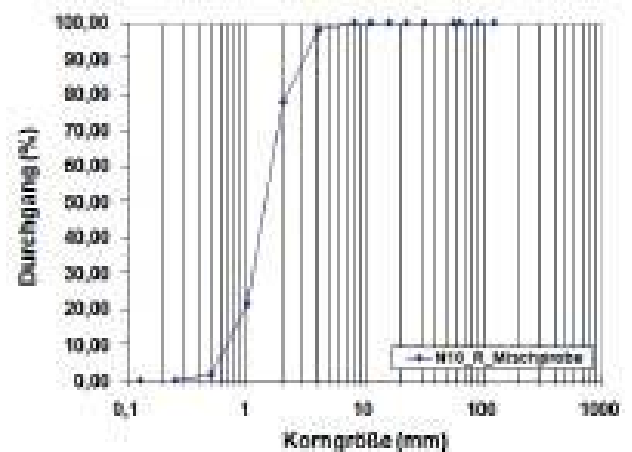


Abbildung 919: N10 - Kornverteilungskurve rechts

7.11. N11



Abbildung 920: N11 - Blickrichtung flussaufwärts



Abbildung 921: N11 - Profilansicht



Abbildung 922: N11 - Entnahmestelle links



Abbildung 923: N11 - Entnahmestelle rechts

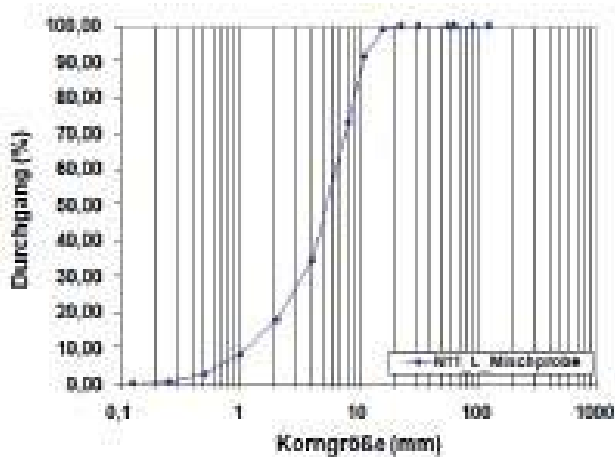


Abbildung 924: N11 - Kornverteilungskurve links

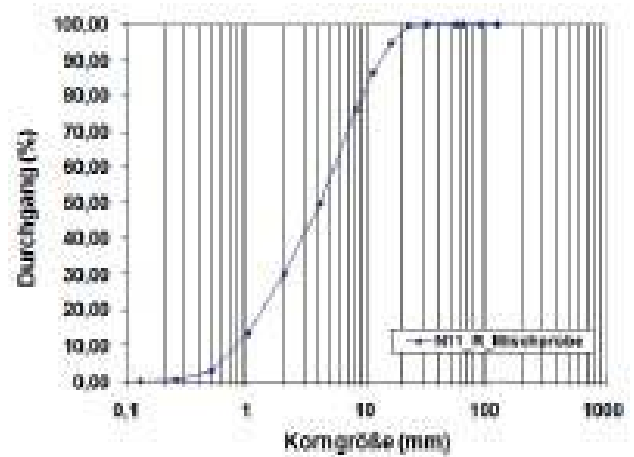


Abbildung 925: N11 - Kornverteilungskurve rechts

7.12. N12



Abbildung 926: N12 - Blickrichtung flussaufwärts



Abbildung 927: N12 - Profilansicht

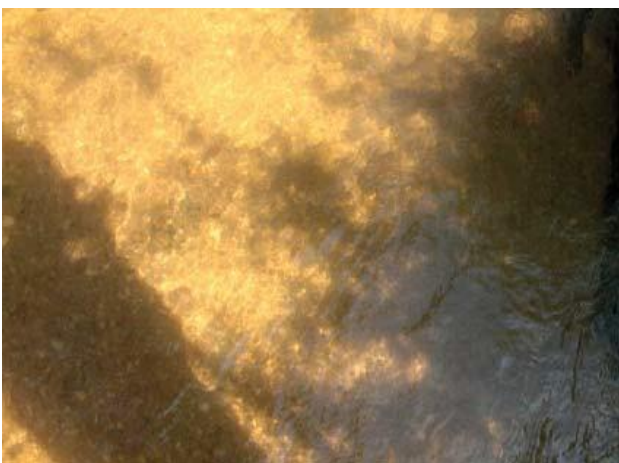


Abbildung 928: N12 - Entnahmestelle links



Abbildung 929: N12 - Entnahmestelle rechts

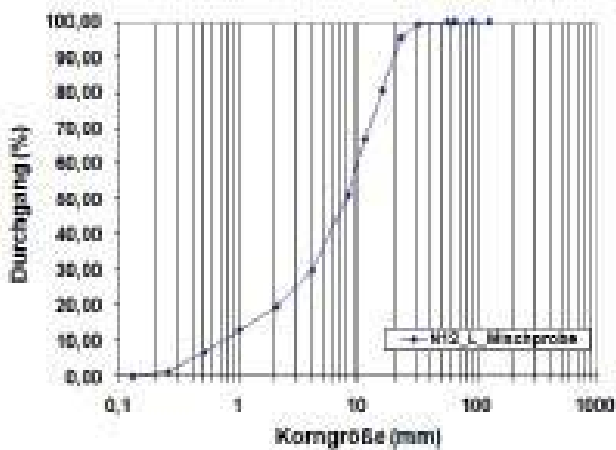


Abbildung 930: N12 - Kornverteilungskurve links

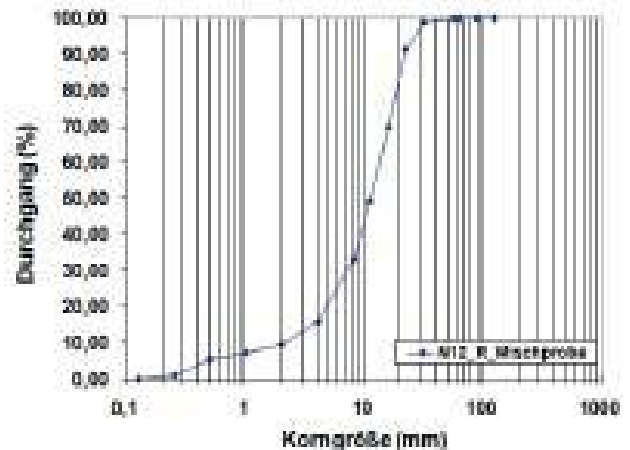


Abbildung 931: N12 - Kornverteilungskurve rechts

7.13. N13



Abbildung 932: N13 - Blickrichtung flussaufwärts



Abbildung 933: N13 - Profilansicht

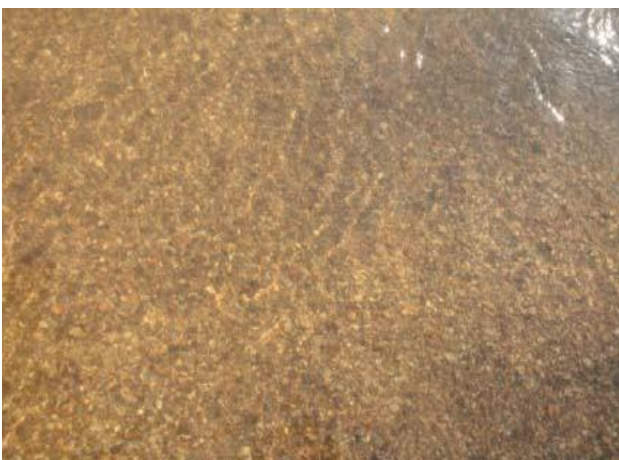


Abbildung 934: N13 - Entnahmestelle links



Abbildung 935: N13 - Entnahmestelle rechts

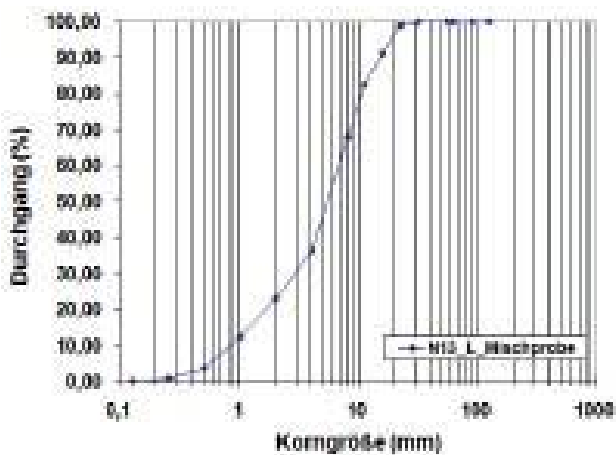


Abbildung 936: N13 - Kornverteilungskurve links

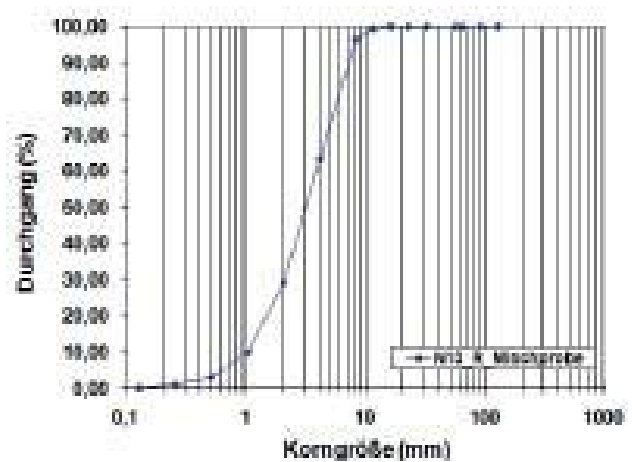


Abbildung 937: N13 - Kornverteilungskurve rechts

7.14. N14



Abbildung 938: N14 - Blickrichtung flussaufwärts



Abbildung 939: N14 - Profilansicht



Abbildung 940: N14 - Entnahmestelle links



Abbildung 941: N14 - Entnahmestelle rechts

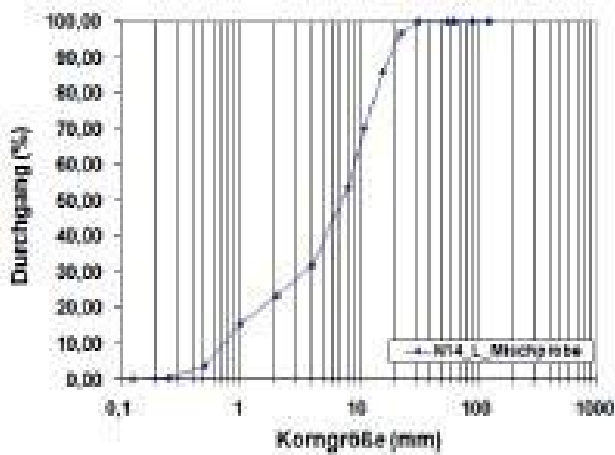


Abbildung 942: N14 - Kornverteilungskurve links

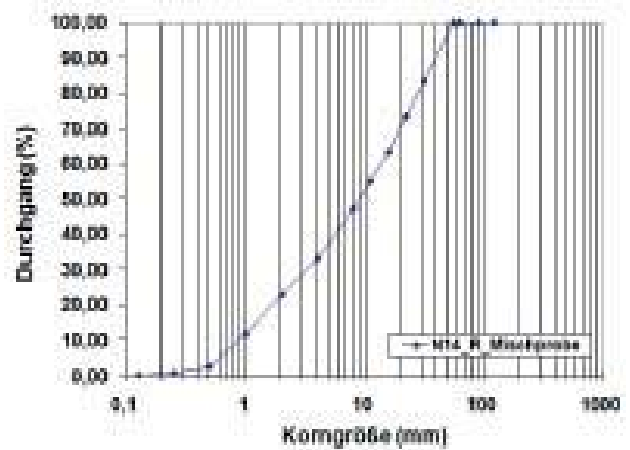


Abbildung 943: N14 - Kornverteilungskurve rechts

7.15. N15



Abbildung 944: N15 - Blickrichtung flussaufwärts



Abbildung 945: N15 - Profilansicht



Abbildung 946: N15 - Entnahmestelle links



Abbildung 947: N15 - Entnahmestelle rechts

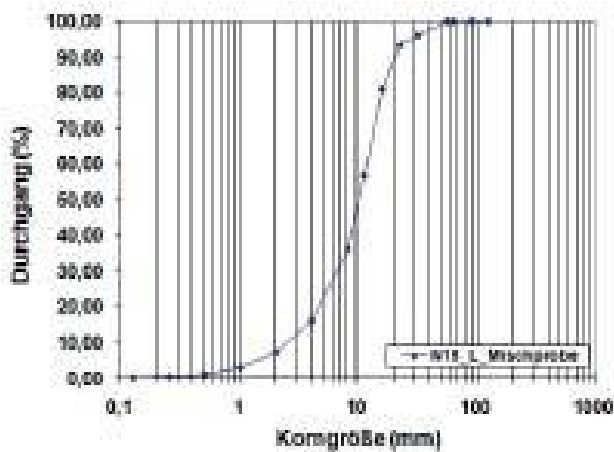


Abbildung 948: N15 - Kornverteilungskurve links

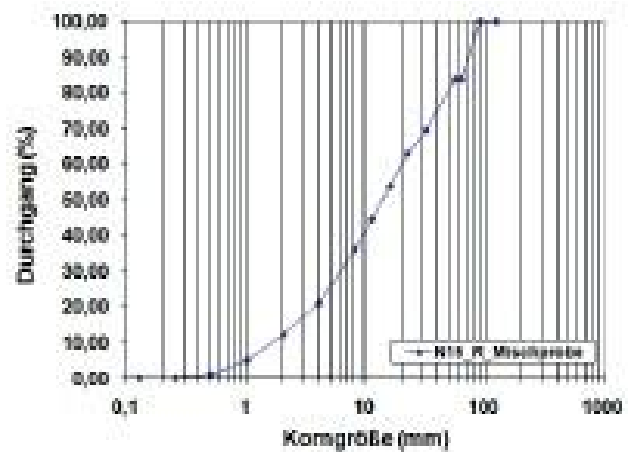


Abbildung 949: N15 - Kornverteilungskurve rechts

7.16. N16



Abbildung 950: N16 - Blickrichtung flussaufwärts



Abbildung 951: N16 - Profilsicht



Abbildung 952: N16 - Entnahmestelle

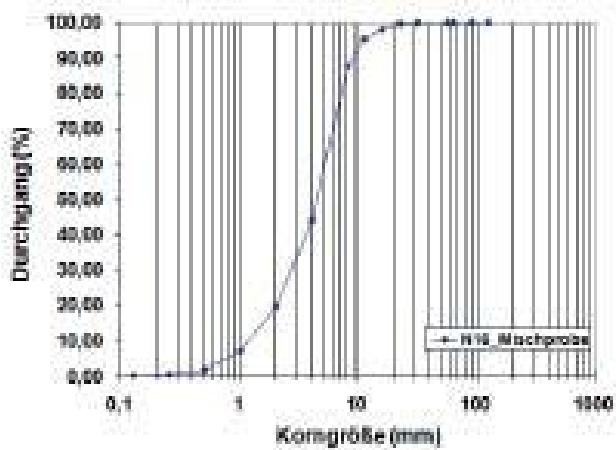


Abbildung 953: N16 - Kornverteilungskurve

7.17. N17



Abbildung 954: N17 - Blickrichtung flussaufwärts



Abbildung 955: N17 - Profilansicht



Abbildung 956: N17 - Entnahmestelle links



Abbildung 957: N17 - Entnahmestelle rechts

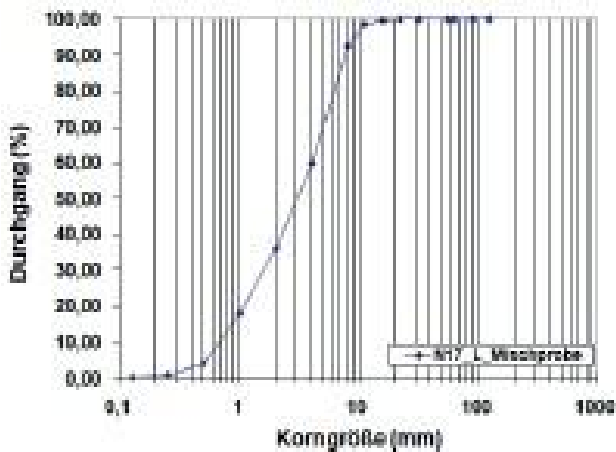


Abbildung 958: N17 - Kornverteilungskurve links

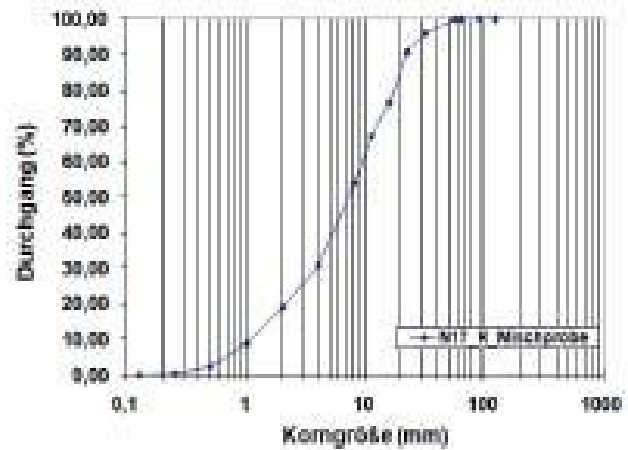


Abbildung 959: N17 - Kornverteilungskurve rechts

7.18. N18



Abbildung 960: N18 - Blickrichtung flussaufwärts



Abbildung 961: N18 - Profilsicht



Abbildung 962: N18 - Entnahmestelle

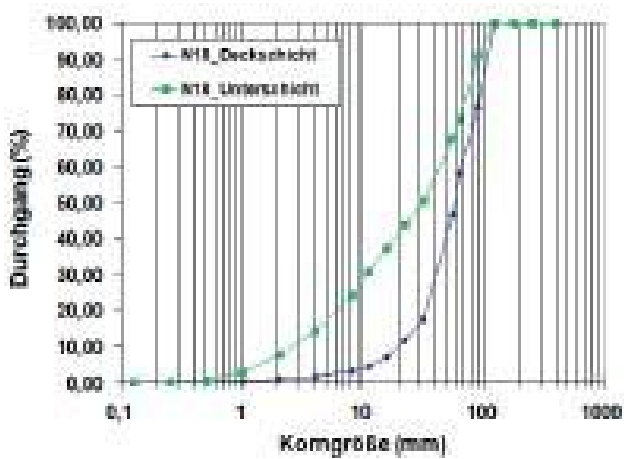


Abbildung 963: N18 - Kornverteilungskurve

7.19. N19



Abbildung 964: N19 - Blickrichtung flussaufwärts



Abbildung 965: N19 - Profilsicht

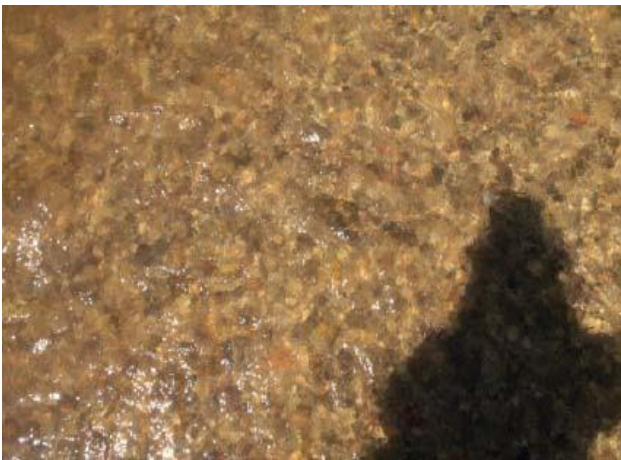


Abbildung 966: N19 - Entnahmestelle

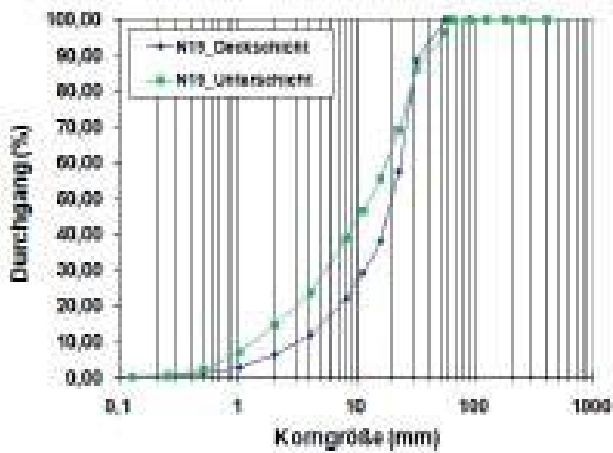


Abbildung 967: N19 - Kornverteilungskurve

7.20. N20



Abbildung 968: N20 - Blickrichtung flussaufwärts



Abbildung 969: N20 - Profilansicht

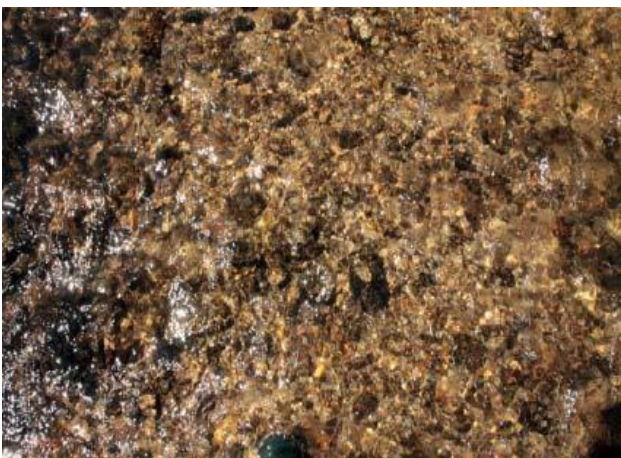


Abbildung 970: N20 - Entnahmestelle links

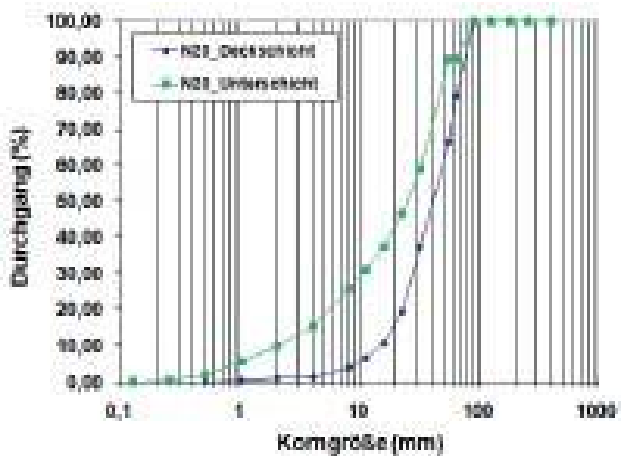


Abbildung 971: N20 - Kornverteilungskurve links

7.21. N21



Abbildung 972: N21 - Blickrichtung flussaufwärts



Abbildung 973: N21 - Profilansicht



Abbildung 974: N21 - Entnahmestelle Furt



Abbildung 975: N21 - Entnahmestelle Kolk

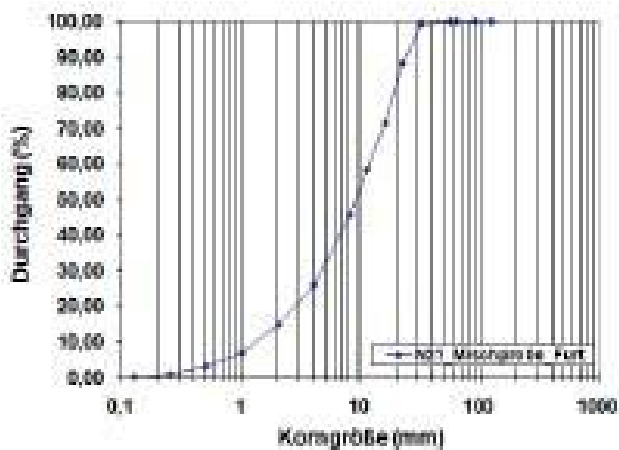


Abbildung 976: N21 - Kornverteilungskurve Furt

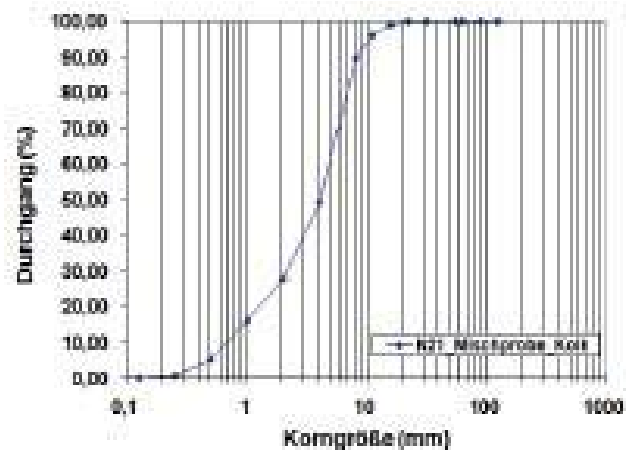


Abbildung 977: N21 - Kornverteilungskurve Kolk

8. Erlau

Dieses Kapitel umfasst die Ergebnisse der Probenentnahme an der Erlau. Es wurden nach Möglichkeit bei jedem Entnahmepunkt (siehe folgende Abbildung) links und rechts eine Probe entnommen. In den folgenden Abbildungen werden die daraus resultierenden Kornverteilungskurven und die dazugehörigen Fotos dokumentiert.



Abbildung 978: Probenentnahmepunkte - ERLAU

8.1. E1



Abbildung 979: E1 - Blickrichtung flussaufwärts



Abbildung 980: E1 - Profilansicht



Abbildung 981: E1 - Entnahmestelle

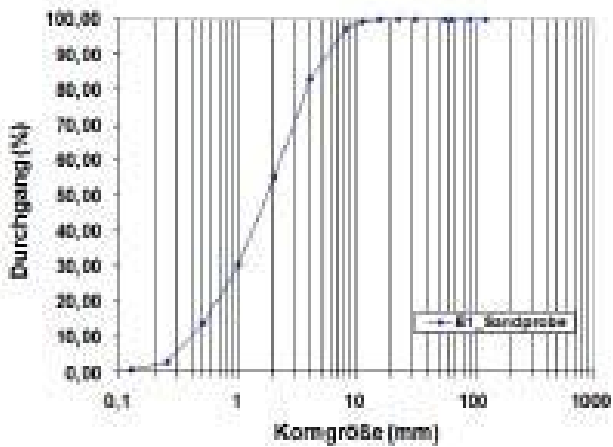


Abbildung 982: E1 - Kornverteilungskurve

8.2. E2



Abbildung 983: E2 - Blickrichtung flussaufwärts



Abbildung 984: E2 - Profilansicht



Abbildung 985: E2 - Entnahmestelle

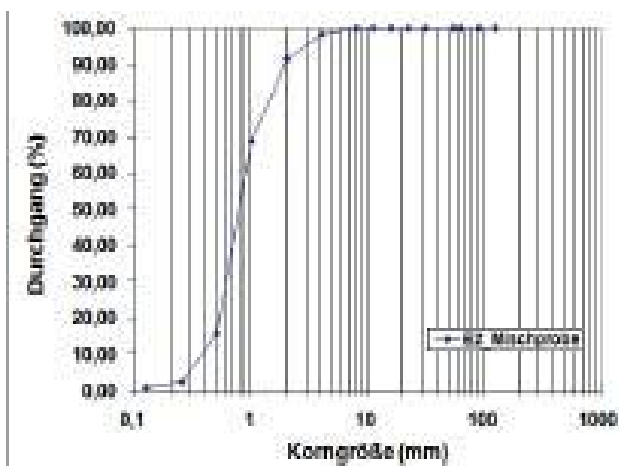


Abbildung 986: E2 - Kornverteilungskurve

8.3. E3



Abbildung 987: E3 - Blickrichtung flussaufwärts



Abbildung 988: E3 - Profilansicht



Abbildung 989: E3 - Entnahmestelle links

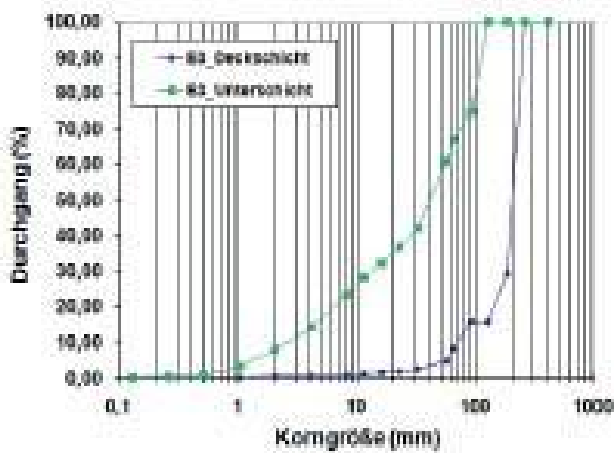


Abbildung 990: E3 - Kornverteilungskurve links

8.4. E4

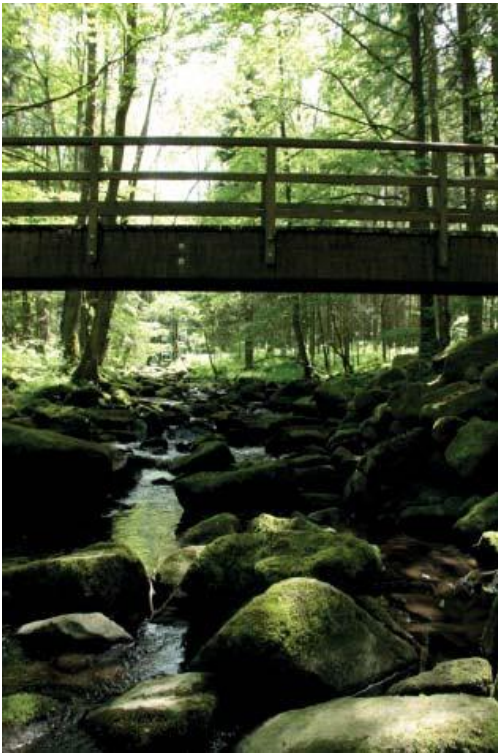


Abbildung 991: E4 - Blickrichtung flussaufwärts

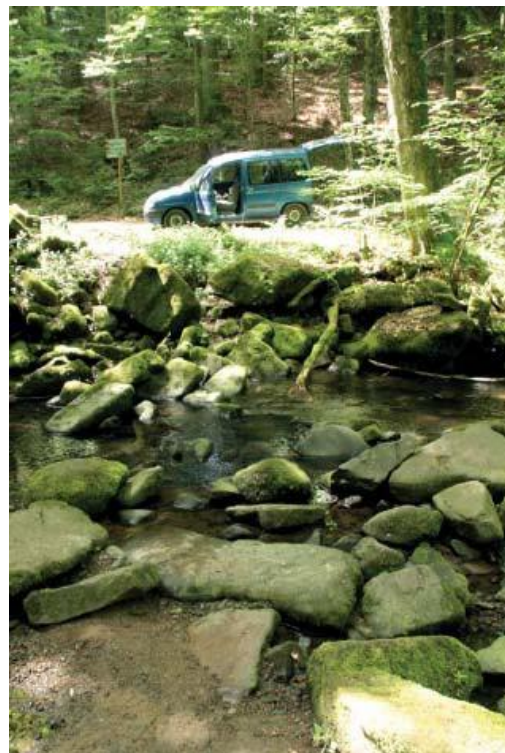


Abbildung 992: E4 - Profilansicht



Abbildung 993: E4 - Entnahmestelle links



Abbildung 994: E4 - Entnahmestelle rechts

Semiquantitative Analyse der Korn-eigenschaften (Bestimmung gröberer Fraktionen mittels Schublehre; Abschätzung des Versandungsgrades)

Es wurden keine Sieblinien erstellt.

Semiquantitative Analyse der Korn-eigenschaften (Bestimmung gröberer Fraktionen mittels Schublehre; Abschätzung des Versandungsgrades)

Es wurden keine Sieblinien erstellt.

8.5. E5



Abbildung 995: E5 - Blickrichtung flussaufwärts



Abbildung 996: E5 - Profilsicht



Abbildung 997: E5 - Entnahmestelle links



Abbildung 998: E5 - Entnahmestelle rechts

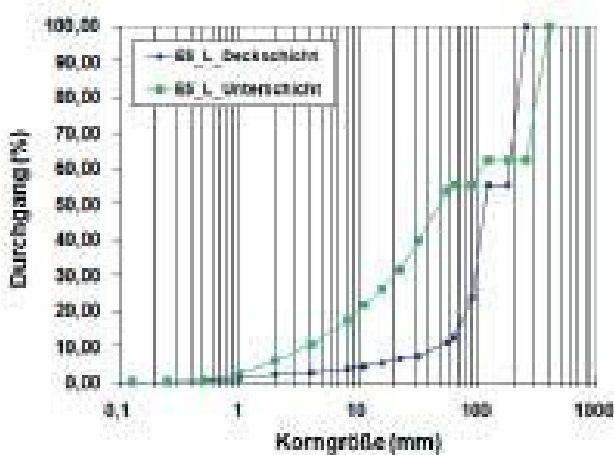


Abbildung 999: E5 - Kornverteilungskurve links

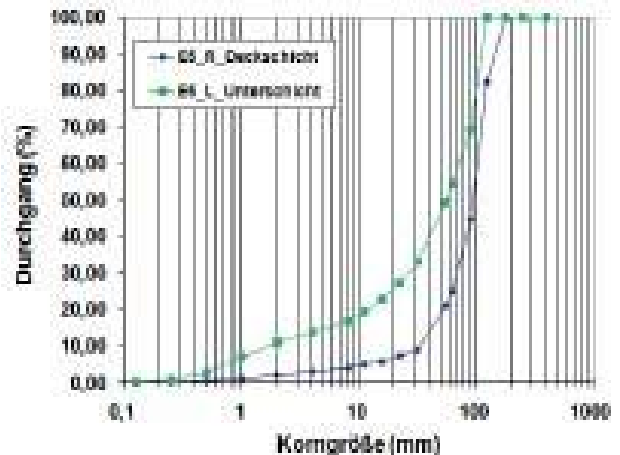


Abbildung 1001: E5 - Kornverteilungskurve rechts

8.6. E6



Abbildung 1002: E6 - Blickrichtung flussaufwärts

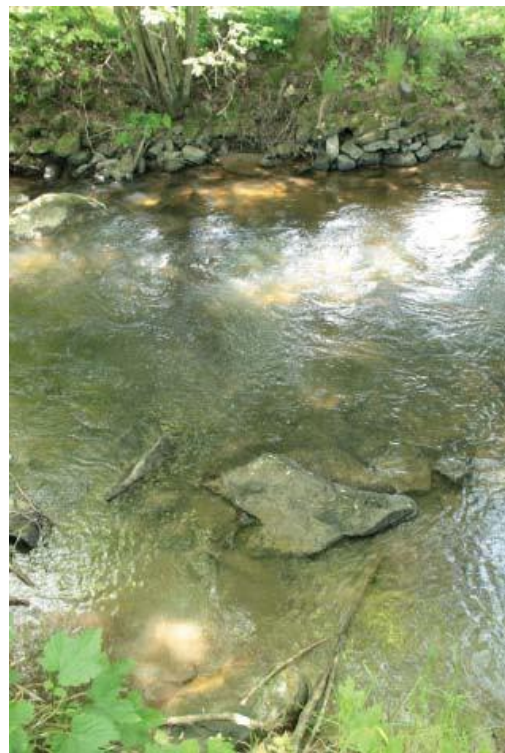


Abbildung 1003: E6 - Profilansicht

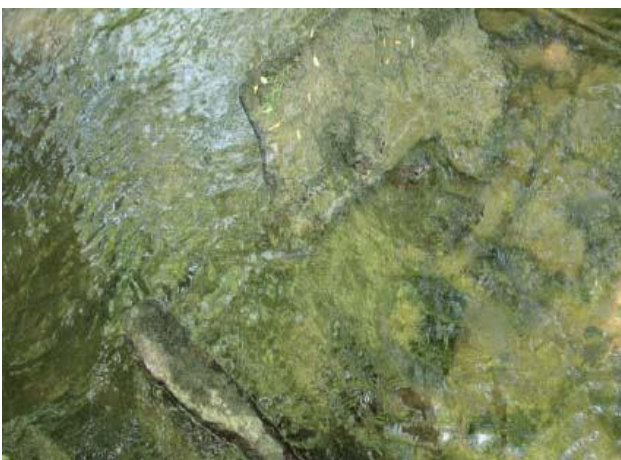


Abbildung 1004: E6 - Entnahmestelle links



Abbildung 1005: E6 - Entnahmestelle rechts

Semiquantitative Analyse der Korn-
eigenschaften (Bestimmung größerer
Fraktionen mittels Schublehre;
Abschätzung des Versandungsgrades)

Es wurden keine Sieblinien erstellt.

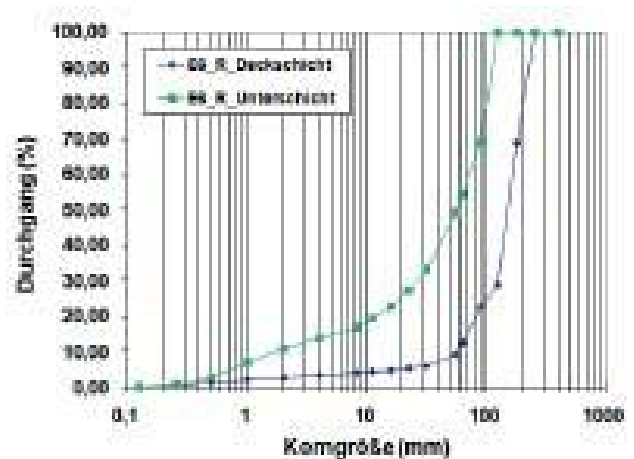


Abbildung 1006: E6 - Kornverteilungskurve rechts

8.7. E7



Abbildung 1007: E7 - Blickrichtung flussaufwärts



Abbildung 1008: E7 - Profilsicht



Abbildung 1009: E7 - Entnahmestelle links



Abbildung 1010: E7 - Entnahmestelle rechts

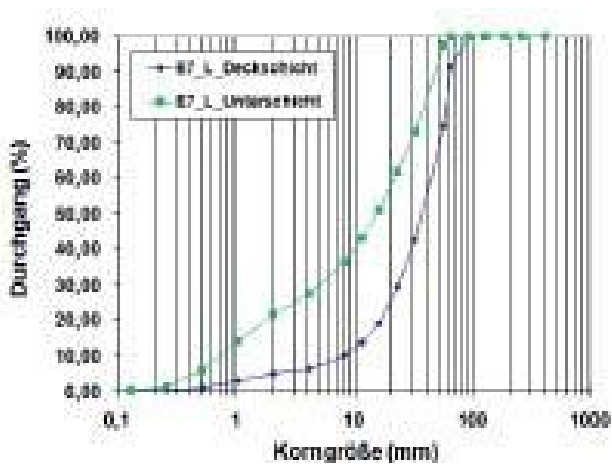


Abbildung 1011: E7 - Kornverteilungskurve links

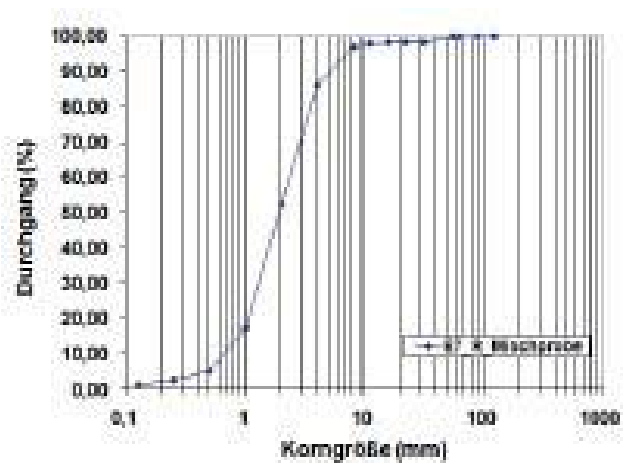


Abbildung 1012: E7 - Kornverteilungskurve rechts

8.8. E8



Abbildung 1013: E8 - Blickrichtung flussaufwärts



Abbildung 1014: E8 - Profilansicht

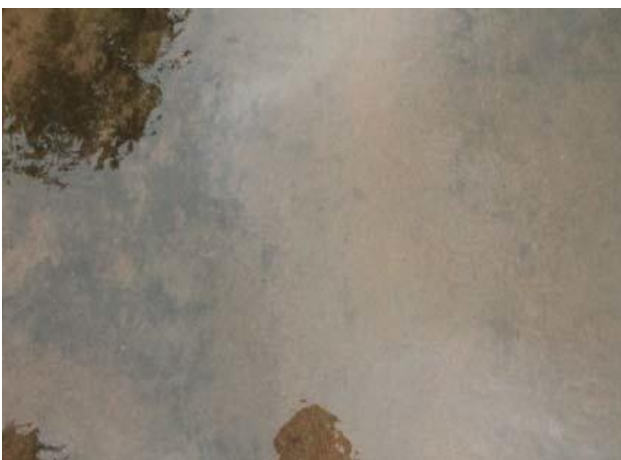


Abbildung 1015: E8 - Entnahmestelle links



Abbildung 1016: E8 - Entnahmestelle rechts

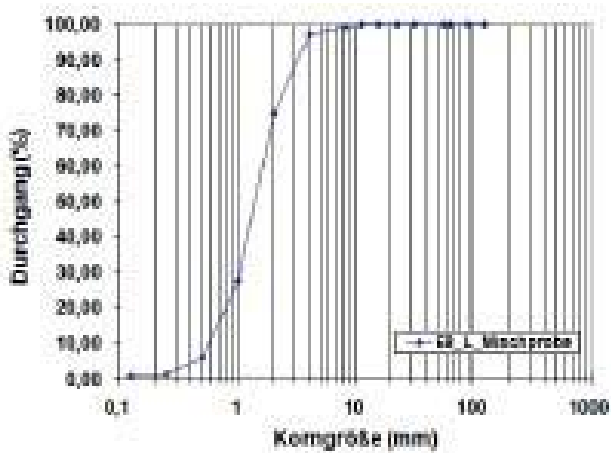


Abbildung 1017: E8 - Kornverteilungskurve links

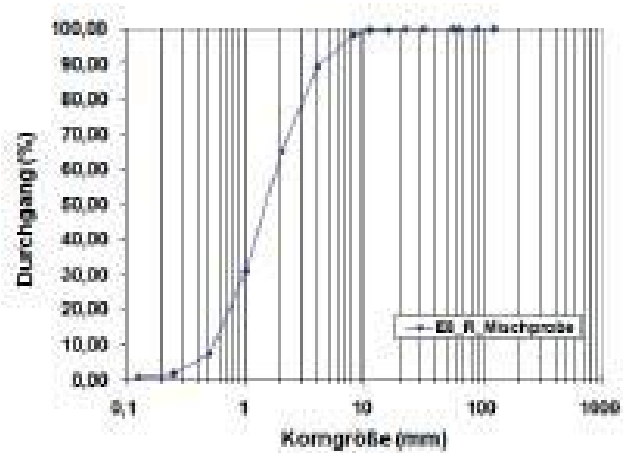


Abbildung 1018: E8 - Kornverteilungskurve rechts

8.9. E9



Abbildung 1019: E9 - Blickrichtung flussaufwärts



Abbildung 1020: E9 - Profilsicht



Abbildung 1021: E9 - Entnahmestelle links



Abbildung 1022: E9 - Entnahmestelle rechts

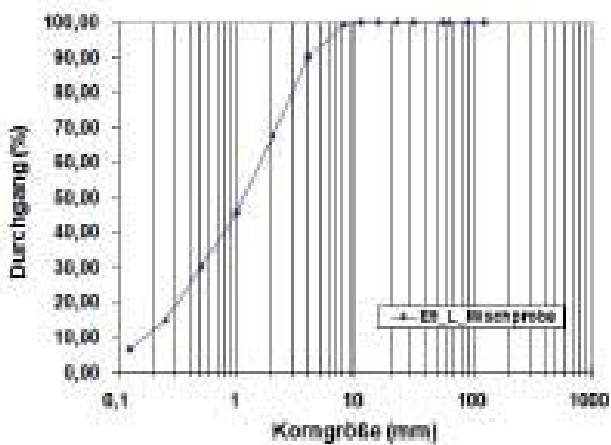


Abbildung 1023: E9 - Kornverteilungskurve links

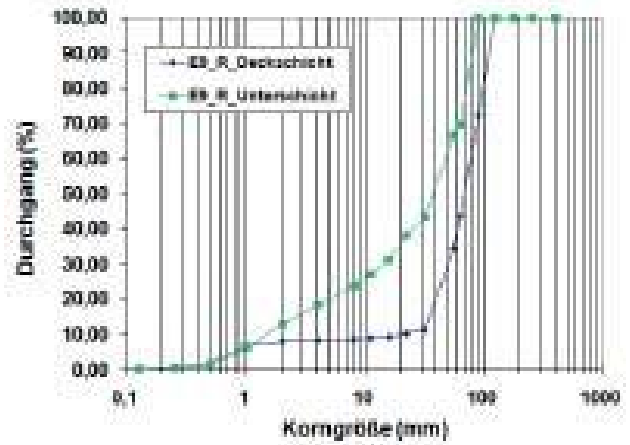


Abbildung 1024: E9 - Kornverteilungskurve rechts

8.10. E10



Abbildung 1025: E10 - Blickrichtung flussaufwärts



Abbildung 1026: E10 - Profilsansicht



Abbildung 1027: E10 - Entnahmestelle links



Abbildung 1028: E10 - Entnahmestelle rechts

Semiquantitative Analyse der Korn-
eigenschaften (Bestimmung größerer
Fraktionen mittels Schublehre;
Abschätzung des Versandungsgrades)

Es wurden keine Sieblinien erstellt.

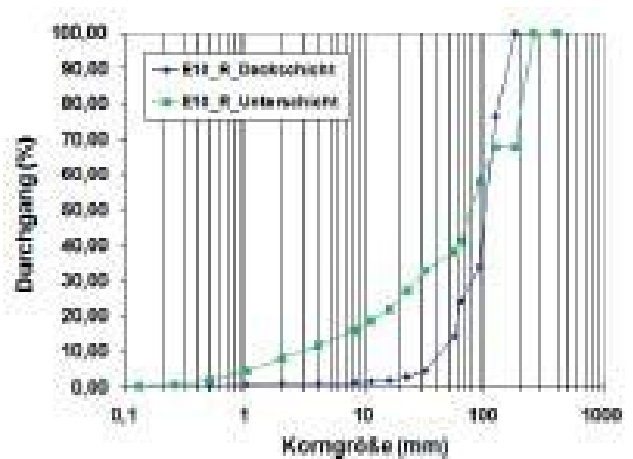


Abbildung 1029: E10 - Kornverteilungskurve rechts

8.11. E11



Abbildung 1030: E11 - Blickrichtung flussaufwärts



Abbildung 1031: E11 - Profilansicht



Abbildung 1032: E11 - Entnahmestelle links



Abbildung 1033: E11 - Entnahmestelle rechts

Semiquantitative Analyse der Korn-
eigenschaften (Bestimmung größerer
Fraktionen mittels Schublehre;
Abschätzung des Versandungsgrades)

Es wurden keine Sieblinien erstellt.

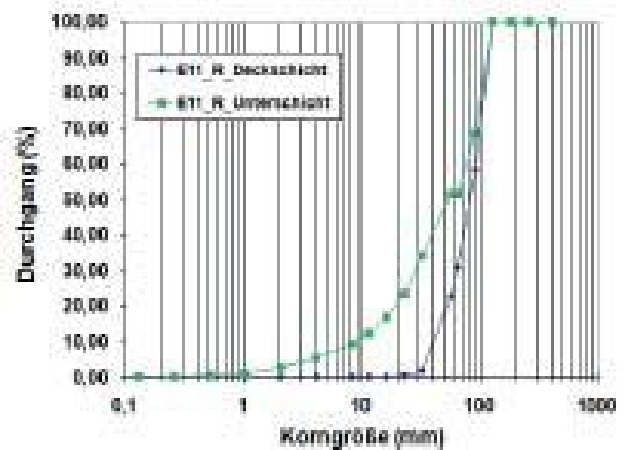


Abbildung 1034: E11 - Kornverteilungskurve rechts

8.12. E12



Abbildung 1035: E12 - Blickrichtung flussaufwärts



Abbildung 1036: E12 - Profilansicht



Abbildung 1037: E12 - Entnahmestelle links



Abbildung 1038: E12 - Entnahmestelle rechts

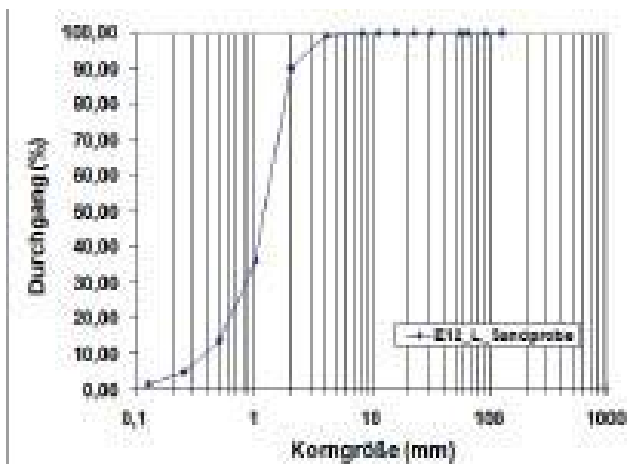


Abbildung 1039: E12 - Kornverteilungskurve links

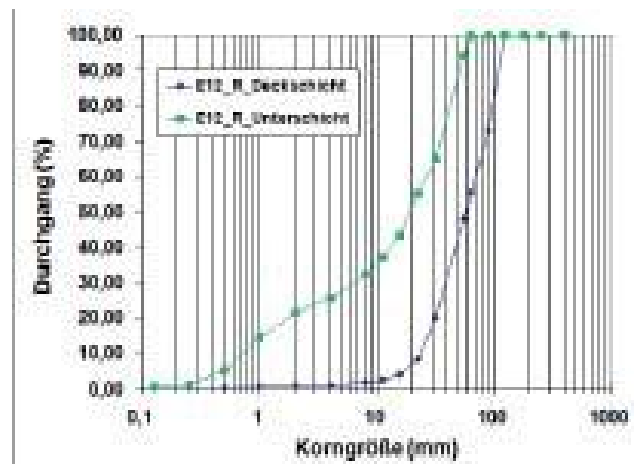


Abbildung 1040: E12 - Kornverteilungskurve rechts

8.13. E13



Abbildung 1041: E13 - Blickrichtung flussaufwärts



Abbildung 1042: E13 - Profilansicht



Abbildung 1043: E13 - Entnahmestelle links



Abbildung 1044: E13 - Entnahmestelle rechts

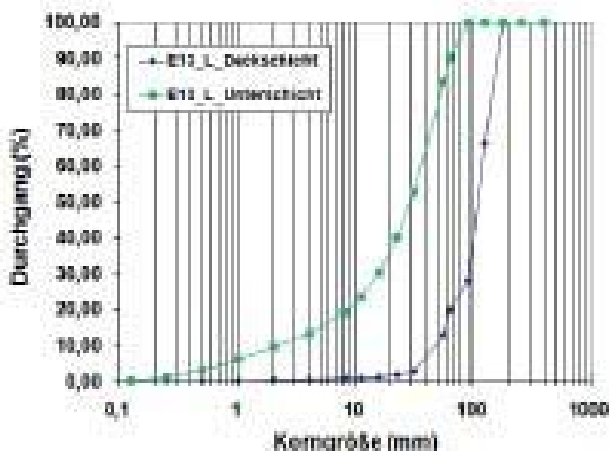


Abbildung 1045: E13 - Kornverteilungskurve links

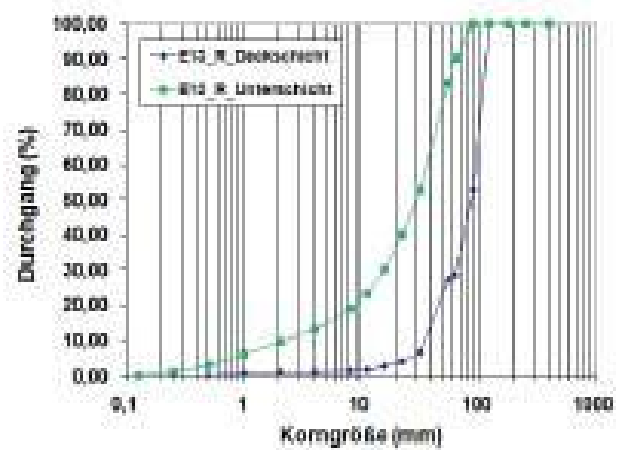


Abbildung 1046: E13 - Kornverteilungskurve rechts

8.14. E14



Abbildung 1047: E14 - Blickrichtung flussaufwärts



Abbildung 1048: E14 - Profilansicht



Abbildung 1049: E14 - Entnahmestelle links



Abbildung 1050: E14 - Entnahmestelle rechts

Semiquantitative Analyse der Korn-eigenschaften (Bestimmung gröberer Fraktionen mittels Schublehre; Abschätzung des Versandungsgrades)

Es wurden keine Sieblinien erstellt.

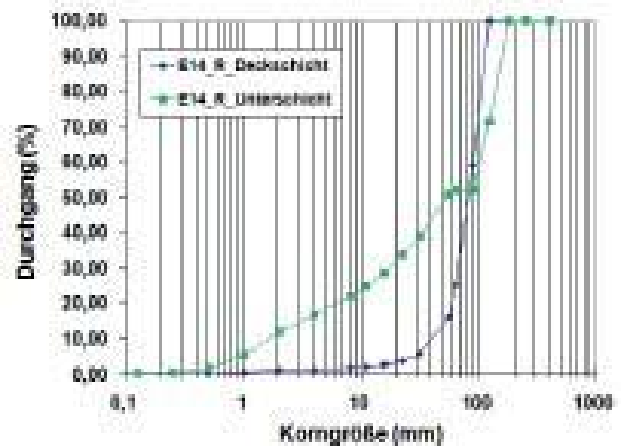


Abbildung 1051: E14 - Kornverteilungskurve rechts

8.15. E15



Abbildung 1052: E15 - Blickrichtung flussaufwärts



Abbildung 1053: E15 - Profilsicht



Abbildung 1054: E15 - Entnahmestelle links



Abbildung 1055: E15 - Entnahmestelle rechts

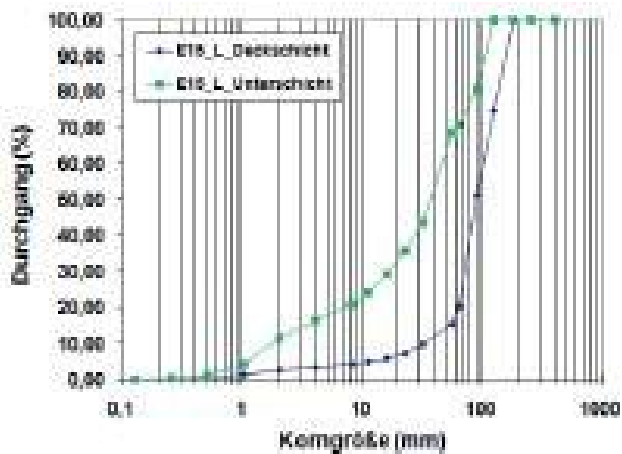


Abbildung 1056: E15 - Kornverteilungskurve links

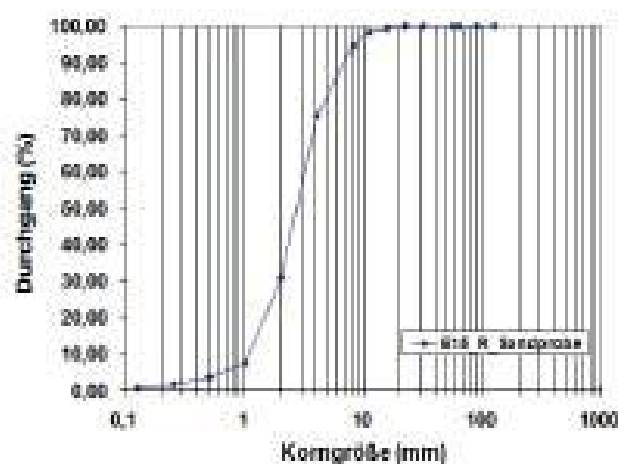


Abbildung 1057: E15 - Kornverteilungskurve rechts

8.16. E16



Abbildung 1058: E16 - Blickrichtung flussaufwärts



Abbildung 1059: E16 - Profilansicht

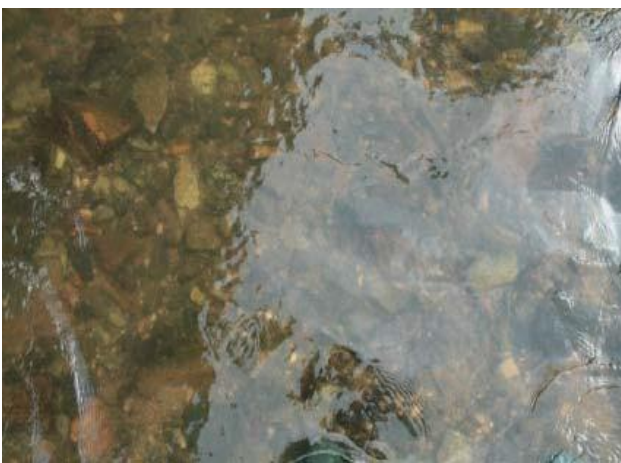


Abbildung 1060: E16 - Entnahmestelle links



Abbildung 1061: E16 - Entnahmestelle rechts

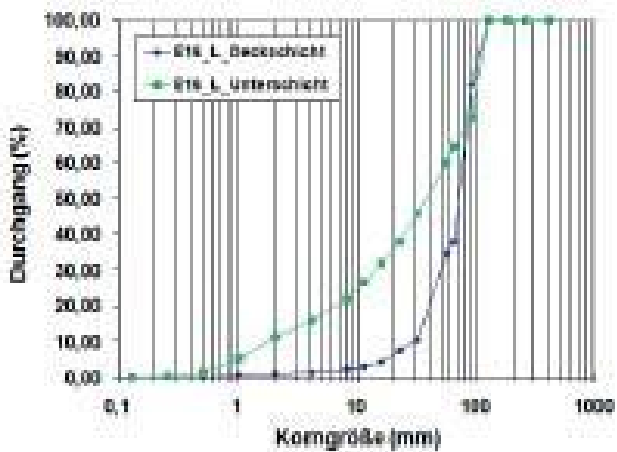


Abbildung 1062: E16 - Kornverteilungskurve links

Semiquantitative Analyse der Korn-
eigenschaften (Bestimmung größerer
Fraktionen mittels Schublehre;
Abschätzung des Versandungsgrades)

Es wurden keine Sieblinien erstellt.

8.17. E17



Abbildung 1063: E17 - Blickrichtung flussaufwärts



Abbildung 1064: E17 - Profilansicht



Abbildung 1065: E17 - Entnahmestelle links



Abbildung 1066: E17 - Entnahmestelle rechts

Semiquantitative Analyse der Korn-
eigenschaften (Bestimmung größerer
Fraktionen mittels Schublehre;
Abschätzung des Versandungsgrades)

Es wurden keine Sieblinien erstellt.

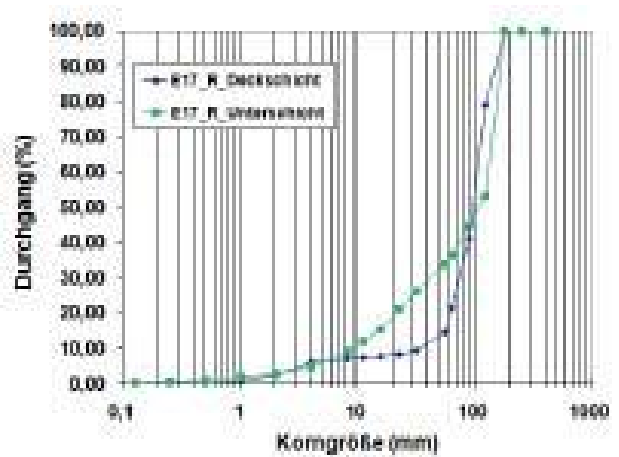


Abbildung 1067: E17 - Kornverteilungskurve rechts

8.18. E18



Abbildung 1068: E18 - Blickrichtung flussaufwärts



Abbildung 1069: E18 - Profilansicht



Abbildung 1070: E18 - Entnahmestelle

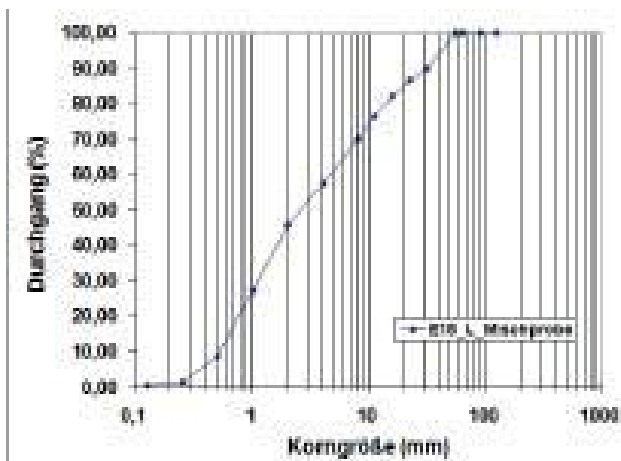


Abbildung 1071: E18 - Kornverteilungskurve

8.19. E19



Abbildung 1072: E19 - Blickrichtung flussaufwärts



Abbildung 1073: E19 - Profilsicht



Abbildung 1074: E19 - Entnahmestelle links



Abbildung 1075: E19 – Entnahmestelle rechts

Semiquantitative Analyse der Korn-eigenschaften (Bestimmung gröberer Fraktionen mittels Schublehre; Abschätzung des Versandungsgrades)
Es wurden keine Sieblinien erstellt.

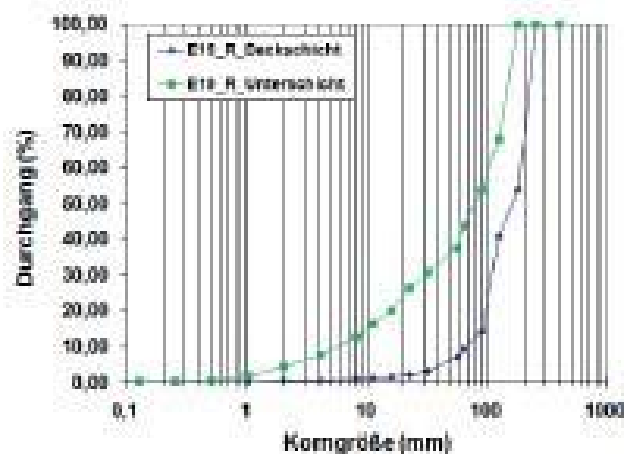


Abbildung 1076: E19 – Kornverteilungskurve rechts

8.20. E20



Abbildung 1077: E20 - Blickrichtung flussaufwärts



Abbildung 1078: E20 – Profilsicht



Abbildung 1079: E20 - Entnahmestelle links



Abbildung 1080: E20 - Entnahmestelle rechts

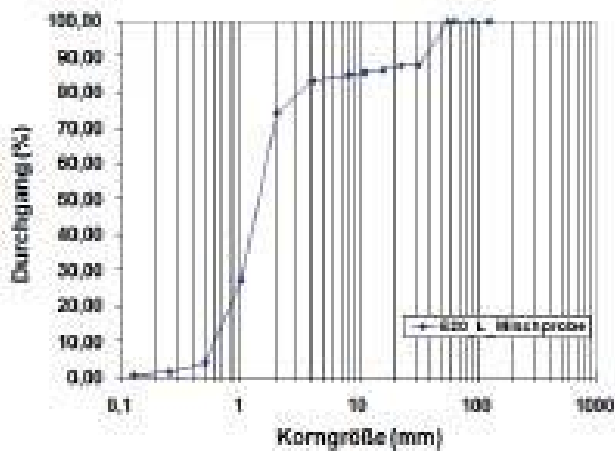


Abbildung 1081: E20 – Kornverteilungskurve links

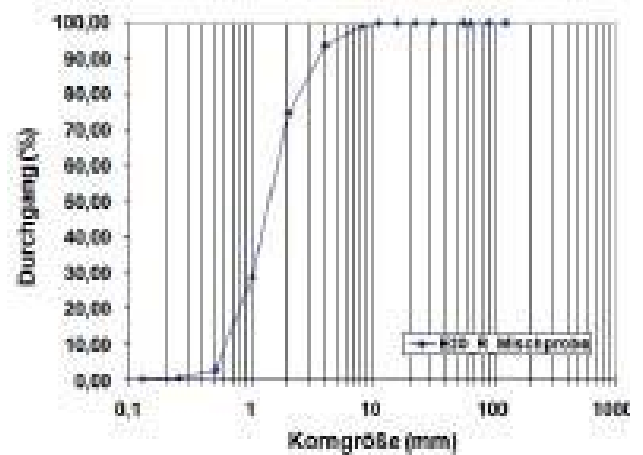


Abbildung 1082: E20 - Kornverteilungskurve rechts

ANHANG

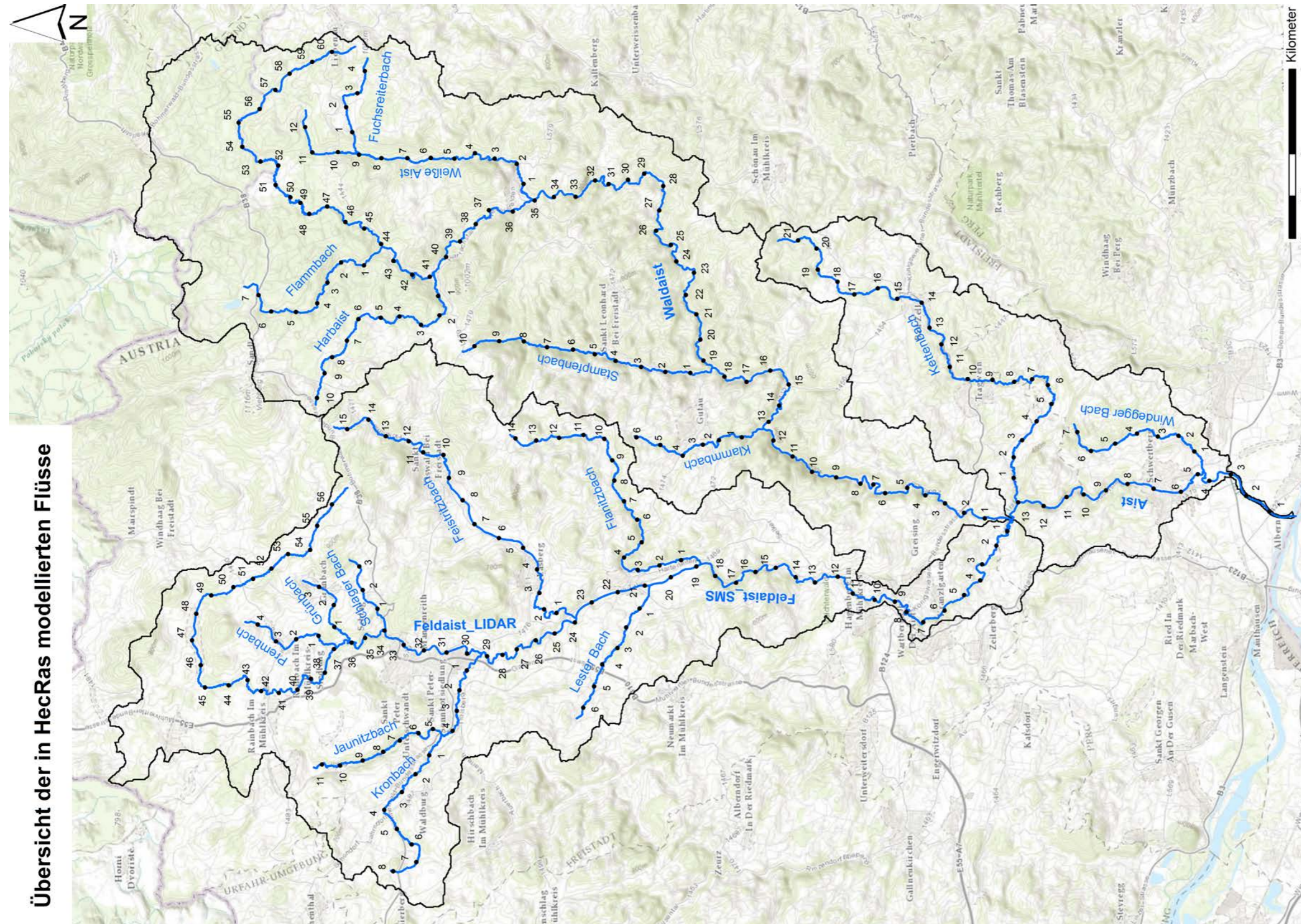
Teil 2 – Tabellen, Grafiken und Pläne zur Auswertung der 1D- Abflussmodellierung

1. Übersichten, Tabellen und Erläuterungen	2
1.1. Übersicht der modellierten Flüsse in HecRas	2
1.2. Übersicht der modellierten Flüsse in HecRas mit topografischer Karte	3
1.3. Mittleres Gefälle	4
1.4. Erläuterungen zu den Grafiken und Plänen	5
2. Grafiken Zubringer – Längenschnitte Flussole und Q-Grenz	6
2.1. Haupteinzugsgebiet Feldaist	6
2.1.1. Flanitzbach	6
2.1.2. Lester Bach	7
2.1.3. Feistritzbach	8
2.1.4. Jaunitzbach	9
2.1.5. Kronbach – Zubringer Jaunitzbach	10
2.1.6. Schlager Bach	11
2.1.7. Grünbach	12
2.1.8. Prembach	13
2.2. Haupteinzugsgebiet Waldaist	14
2.2.1. Klamm Bach	14
2.2.2. Stampfenbach	15
2.2.3. Weiße Aist	16
2.2.4. Fuchsreiterbach	17
2.2.5. Harbaist	18
2.2.6. Flamm Bach	19
2.3. Haupteinzugsgebiet Aist	20
2.3.1. Windegger Bach	20
2.3.2. Kettenbach	21

Teil 2

Tabellen, Grafiken und Pläne zur Auswertung der 1D-Abflussmodellierung in HecRas

1.2. Übersicht der modellierten Flüsse in HecRas mit topografischer Karte



Übersicht der in HecRas modellierten Flüsse

Abbildung 2: Übersicht der modellierten Flüsse in HecRas mit topografischer Karte.

1.3. Mittleres Gefälle

Tabelle 1: Feldaist.

Feldaist

	<i>Station Anfang</i>	<i>Station Ende</i>	<i>Höhe Anfang</i>	<i>Höhe Ende</i>	<i>Höhendiff.</i>	<i>Gefälle [%]</i>
Feldaist_LIDAR	25144	56847	473.10	882.03	408.93	1.29
Feldaist_SMS	1	25144	302.99	477.79	174.80	0.70
Flanitzbach	34	14216	457.14	797.45	340.31	2.40
Lester Bach	50	6523	462.53	602.48	139.95	2.16
Feistritzbach	45	15526	472.25	903.27	431.02	2.78
Jaunitzbach	25	11374	530.68	609.32	78.64	0.69
Kronbach	25	8087	557.48	689.04	131.56	1.63
Schlager Bach	16	3393	569.17	767.72	198.55	5.88
Grünbach	25	3651	605.07	765.40	160.33	4.42
Prembach	24	4449	610.89	719.43	108.54	2.45

Tabelle 2: Waldaist.

Waldaist

	<i>Station Anfang</i>	<i>Station Ende</i>	<i>Höhe Anfang</i>	<i>Höhe Ende</i>	<i>Höhendiff.</i>	<i>Gefälle [%]</i>
Waldaist	25	60989	304.82	998.85	694.03	1.14
Klambach	22	6064	416.53	676.10	259.57	4.30
Stampfenbach	21	10527	454.68	828.62	373.94	3.56
Weißer Aist	25	12667	677.80	891.84	214.04	1.69
Fuchsreiterbach	14	4500	812.51	1000.69	188.18	4.19
Harbaist	25	10241	732.84	924.47	191.63	1.88
Flambach	25	7877	771.68	935.09	163.41	2.08

Tabelle 3: Aist.

Aist

	<i>Station Anfang</i>	<i>Station Ende</i>	<i>Höhe Anfang</i>	<i>Höhe Ende</i>	<i>Höhendiff.</i>	<i>Gefälle [%]</i>
Aist	224	13824	238.89	302.99	64.10	0.47
Windegger Bach	44	7300	245.46	390.12	144.66	1.99
Kettenbach	17	21769	303.68	677.77	374.09	1.72

1.4. Erläuterungen zu den Grafiken und Plänen

Eine graphische Aufbereitung des Grenzdurchflusses je Profil und eine Darstellung des Talweges als Längenschnitt erfolgt für alle modellierten Gewässer. Für die drei Hauptflüsse Feldaist, Waldaist und Aist wurden dazu in AutoCad Pläne erstellt und für die Zubringer wurden Datenblätter mit den Grafiken aus Excel erstellt.

Wie mehrmals im Bericht erwähnt, können die Sohlfehler im Gewässerbett aus den Laserscandatenbereich zu einer Überschätzung des ermittelten Grenzdurchflusses führen. Bei einer zu großen Überschreitung der Banks (seitliche Begrenzung des Gerinnes in HecRas) würde durch eine meist flacher werdende Böschung und der somit niedrigeren Wasserhöhe, die sich im Vergleich bei gleichem Durchfluss ohne Sohlfehler einstellen würde, die Unsicherheit noch größer werden.

Grenzdurchflüsse größer als $0,1 \text{ m}^3/\text{s}$, die zu einer größeren Überschreitung der Banks führen und somit noch einen zusätzlichen Unsicherheitsfaktor besitzen sind in den grafischen Auswertungen mit einem roten Punkt markiert.

2. Grafiken Zubringer – Längenschnitte Flussole und Q-Grenz

2.1. Haupteinzugsgebiet Feldaist

2.1.1. Flanitzbach

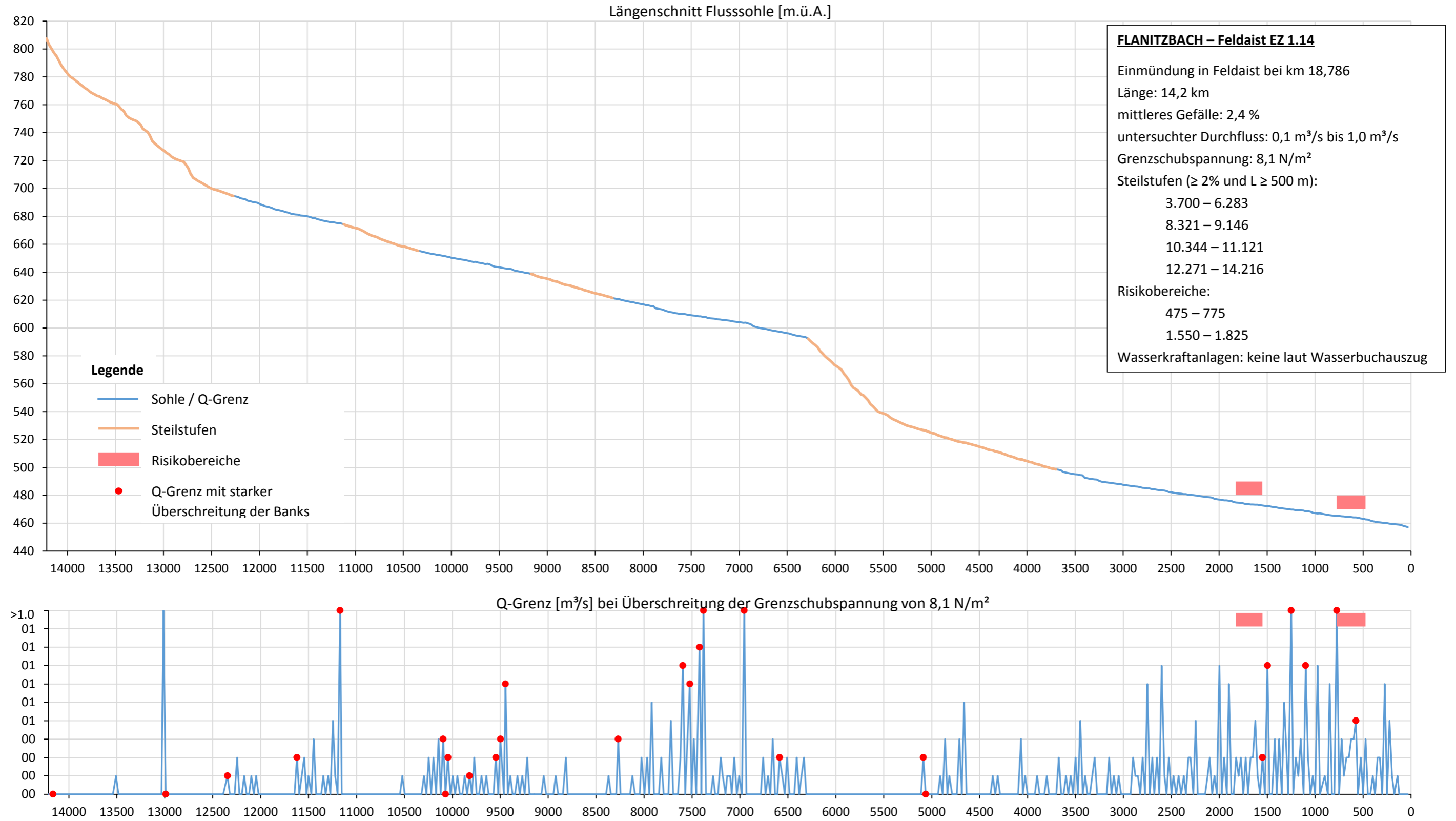
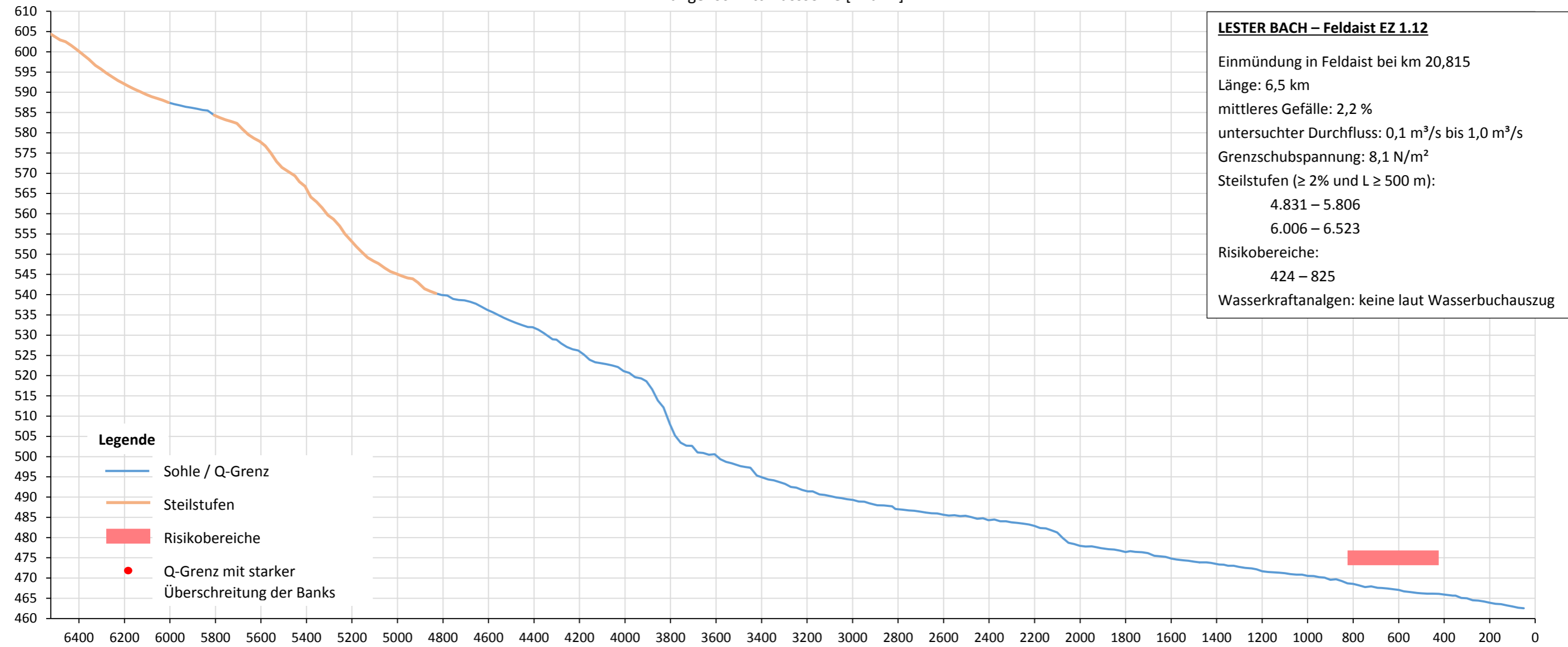


Abbildung 3: Flanitzbach.

2.1.2. Lester Bach

Längenschnitt Flusssohle [m.ü.A.]



Q-Grenz [m³/s] bei Überschreitung der Grenzschubspannung von 8,1 N/m²

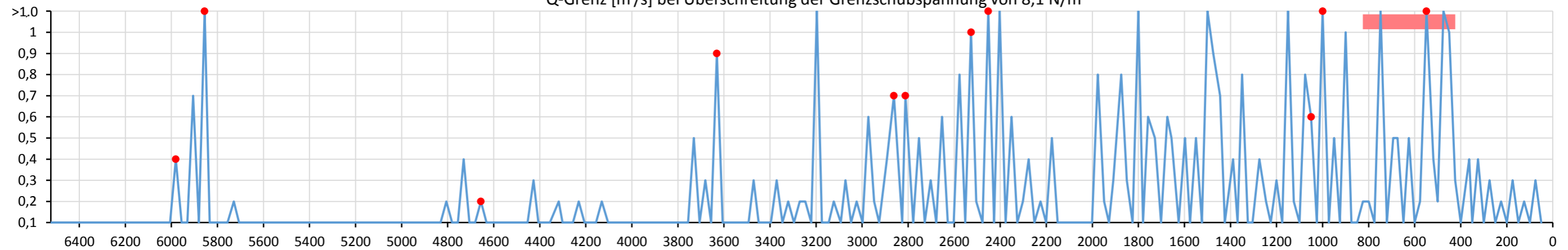
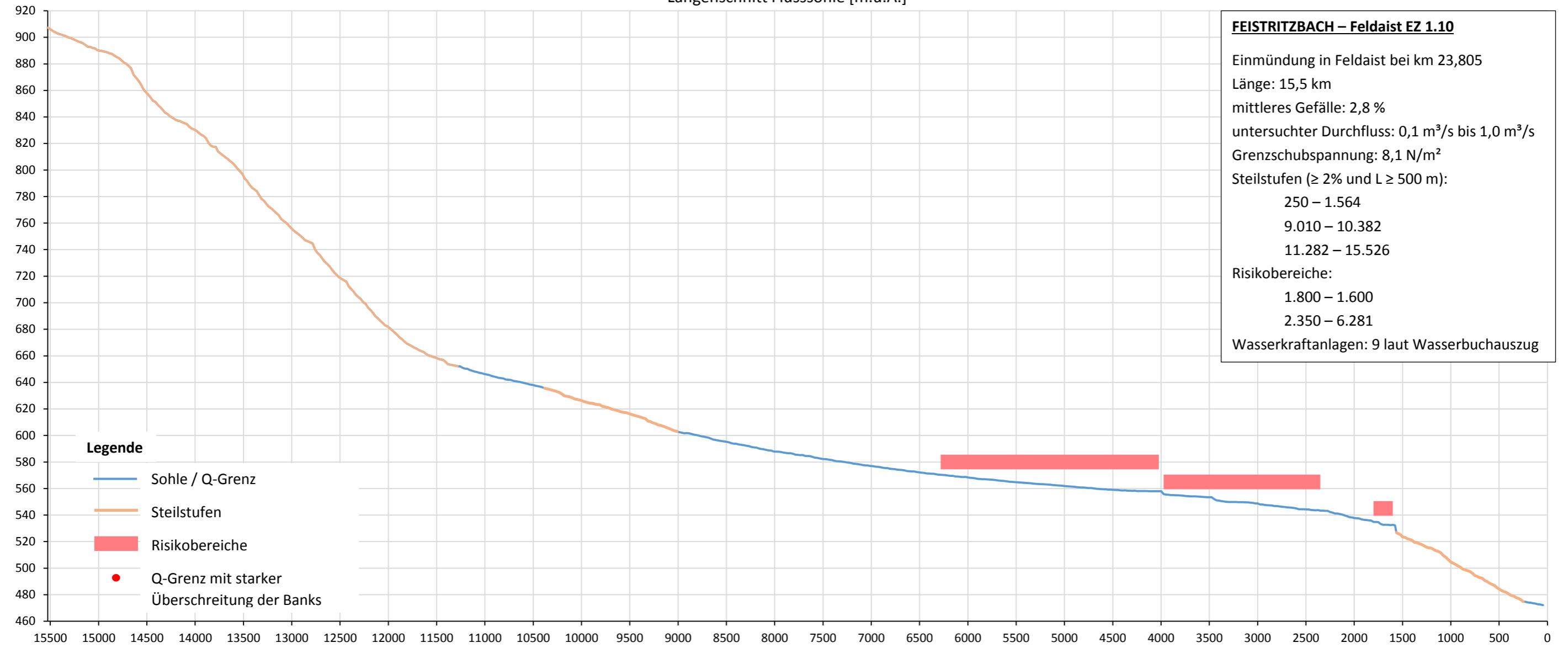


Abbildung 4: Lester Bach.

2.1.3. Feistritzbach

Längenschnitt Flusssohle [m.ü.A.]



Q-Grenz [m³/s] bei Überschreitung der Grenzscherbspannung von 8,1 N/m²

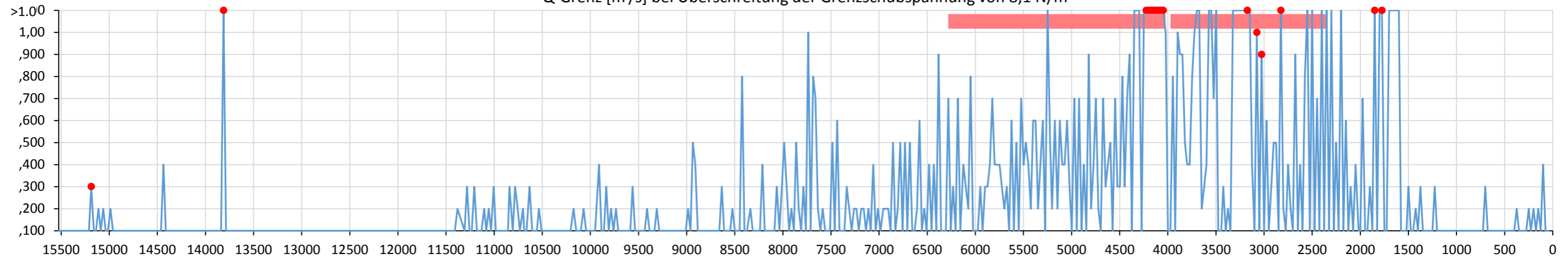


Abbildung 5: Feistritzbach.

2.1.4. Jaunitzbach

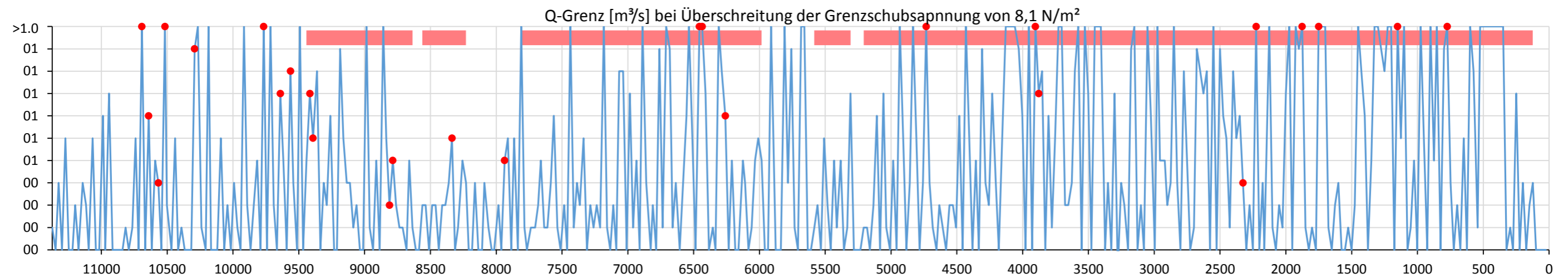
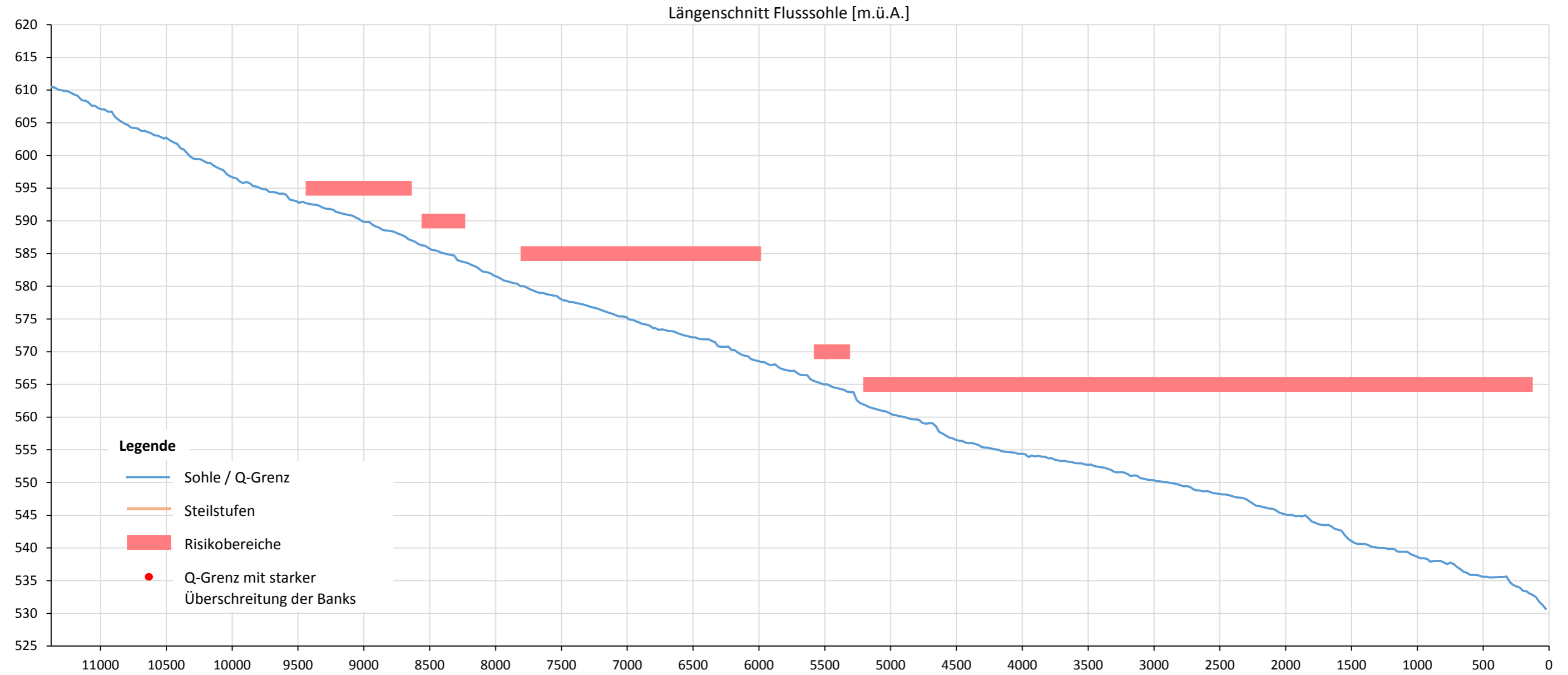


Abbildung 6: Jaunitzbach.

2.1.5. Kronbach – Zubringer Jaunitzbach

Längenschnitt Flusssohle [m.ü.A.]

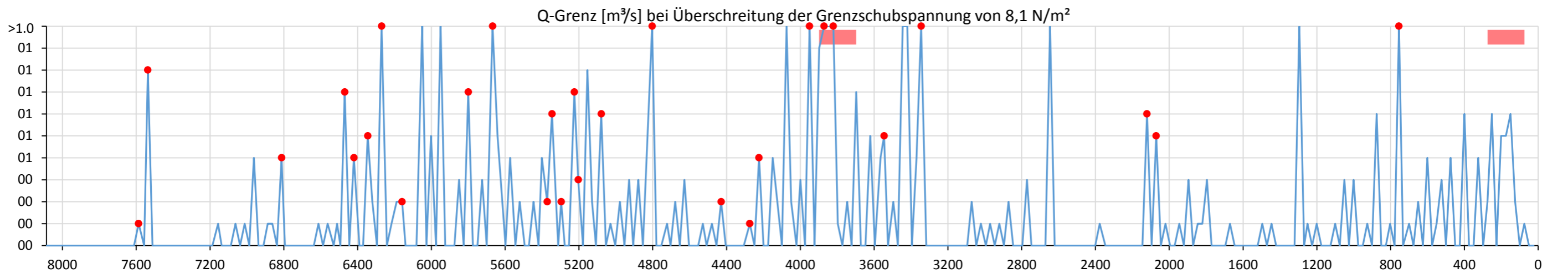
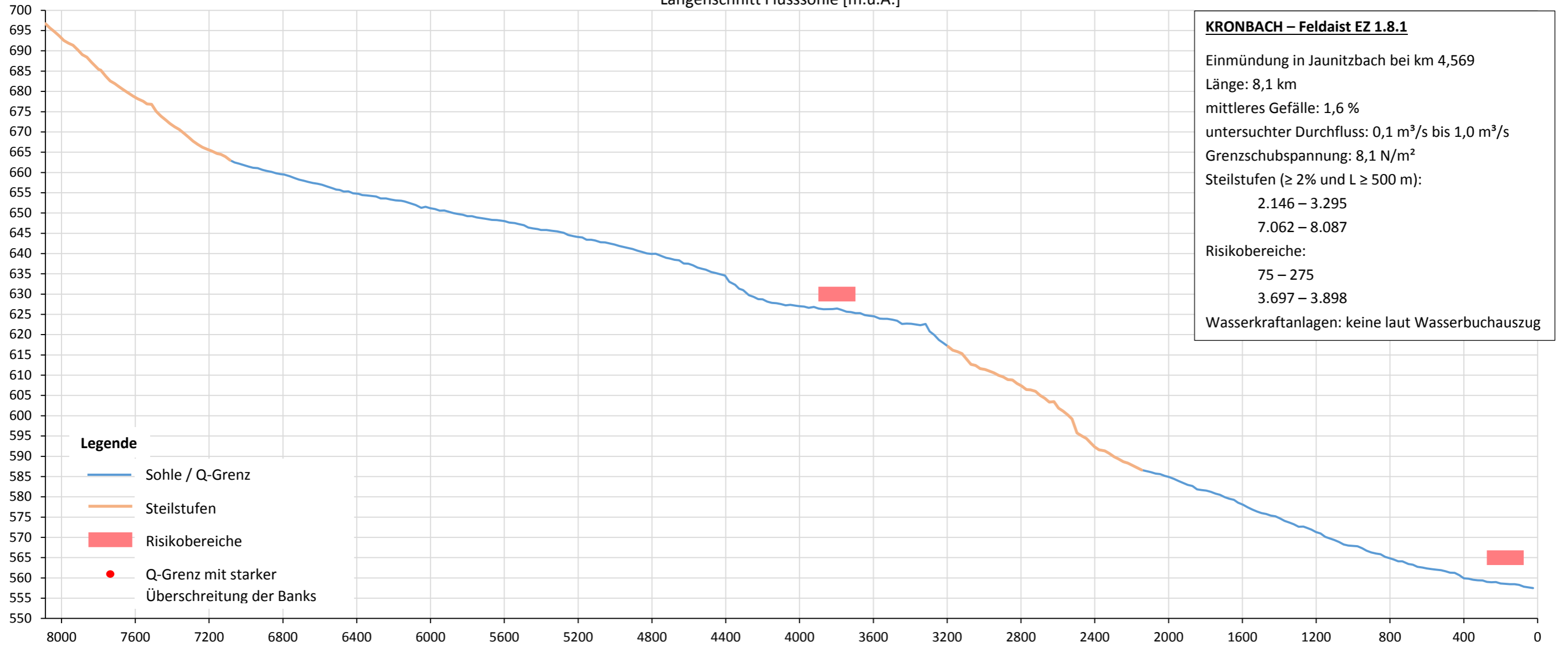
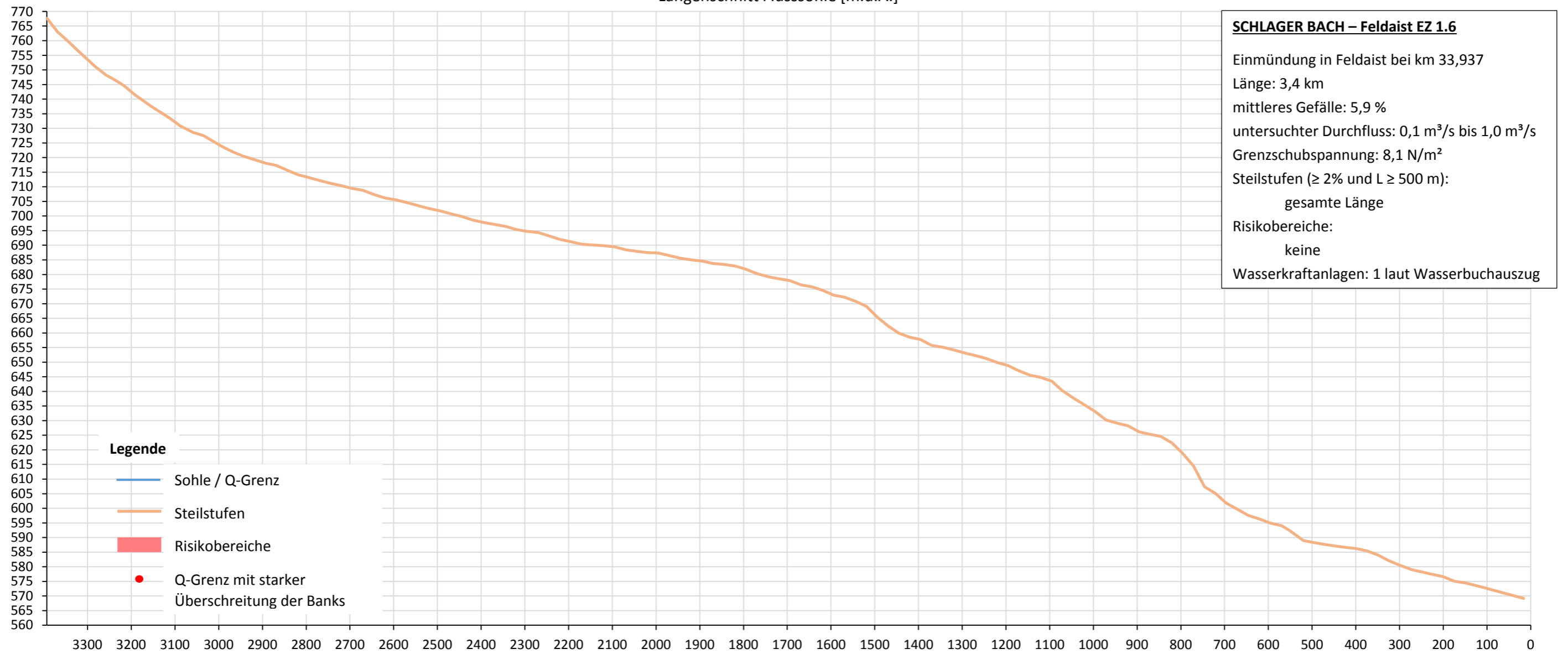


Abbildung 7: Kronbach.

2.1.6. Schlager Bach

Längenschnitt Flusssohle [m.ü.A.]



Q-Grenz [m³/s] bei Überschreitung der Grenzschubspannung von 8,1 N/m²

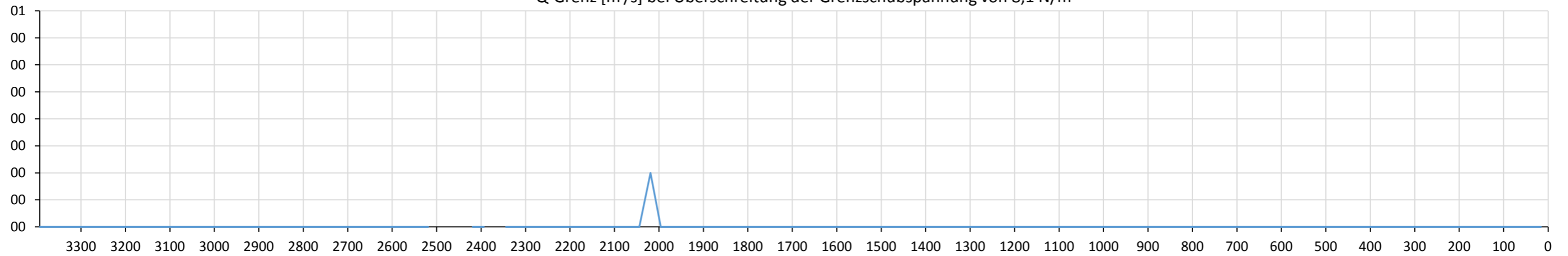
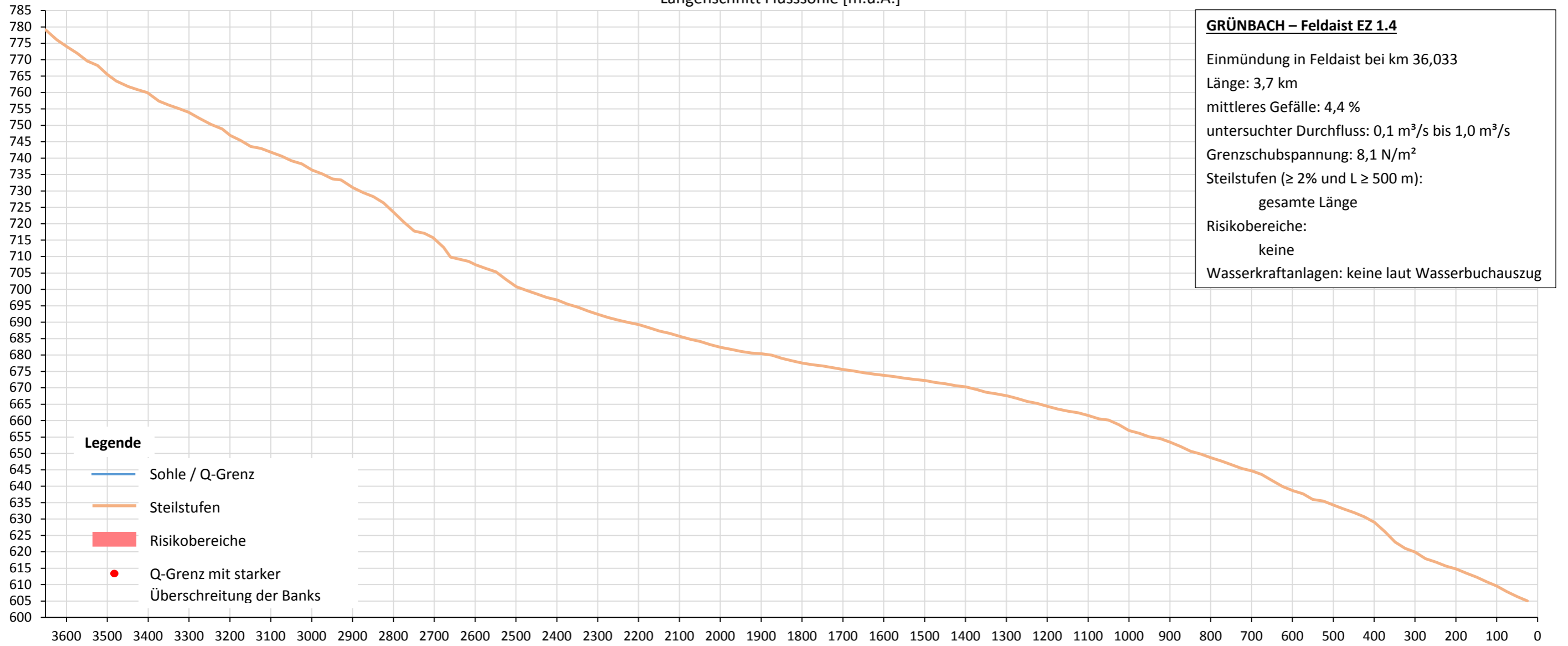


Abbildung 8: Schlager Bach.

2.1.7. Grünbach

Längenschnitt Flusssohle [m.ü.A.]



Q-Grenz [m³/s] bei Überschreitung der Grenzschubspannung von 8,1 N/m²

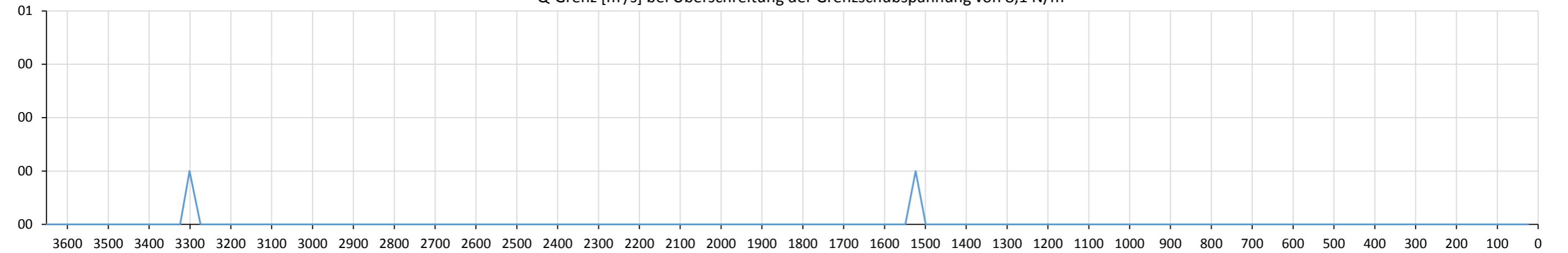


Abbildung 9: Grünbach.

2.1.8. Prembach

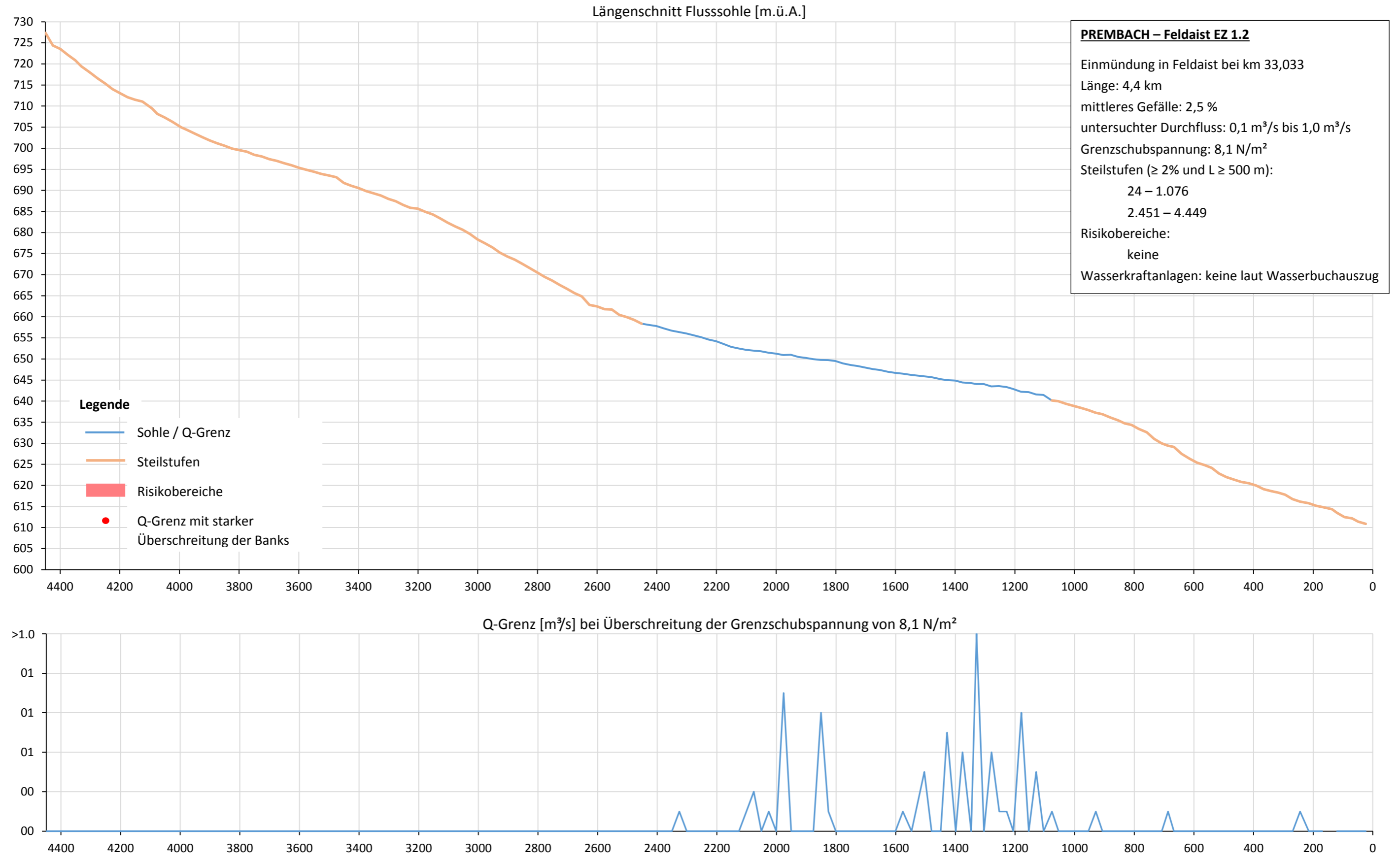


Abbildung 10: Prembach.

2.2. Haupteinzugsgebiet Waldaist

2.2.1. Klammbach

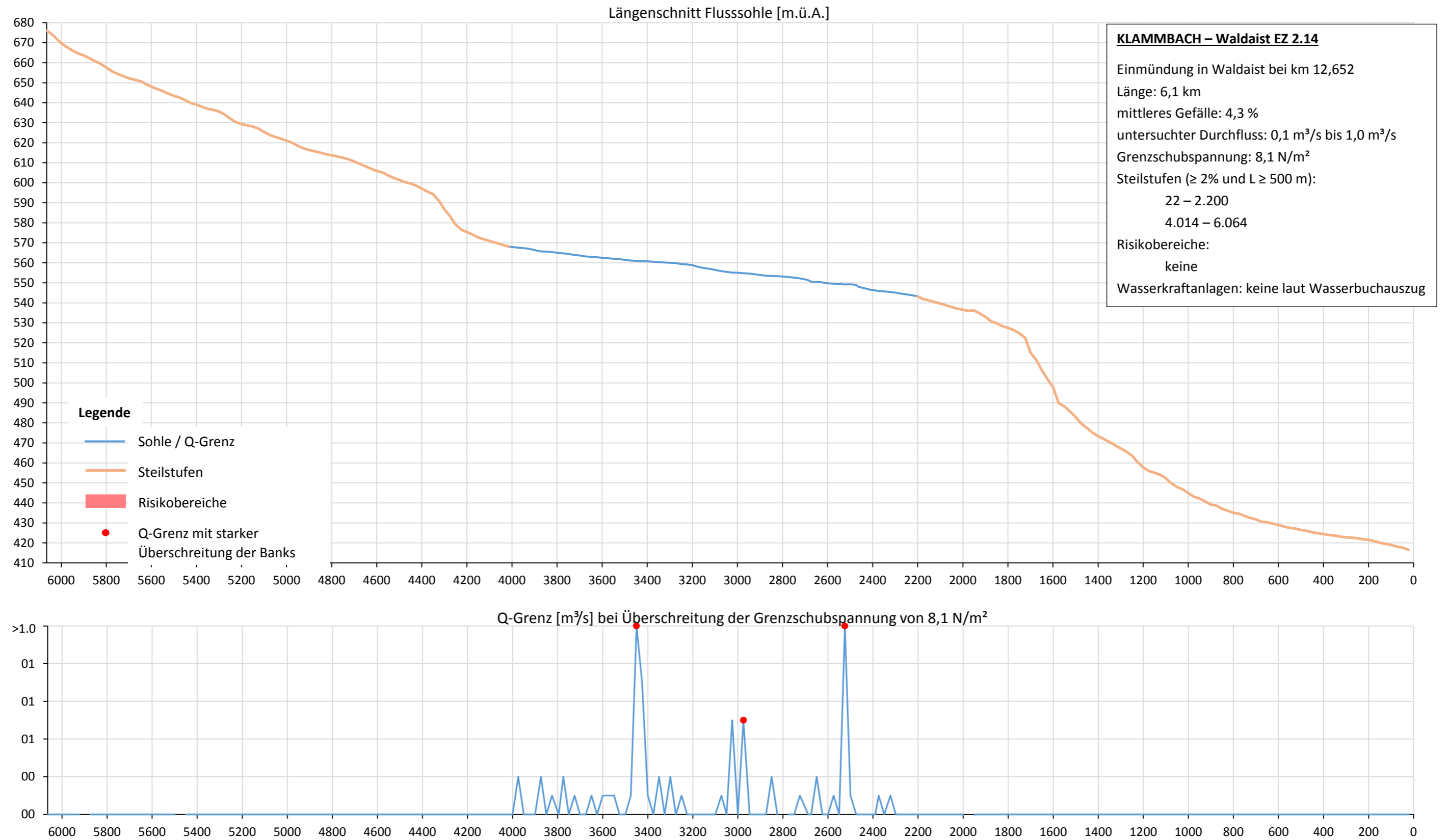
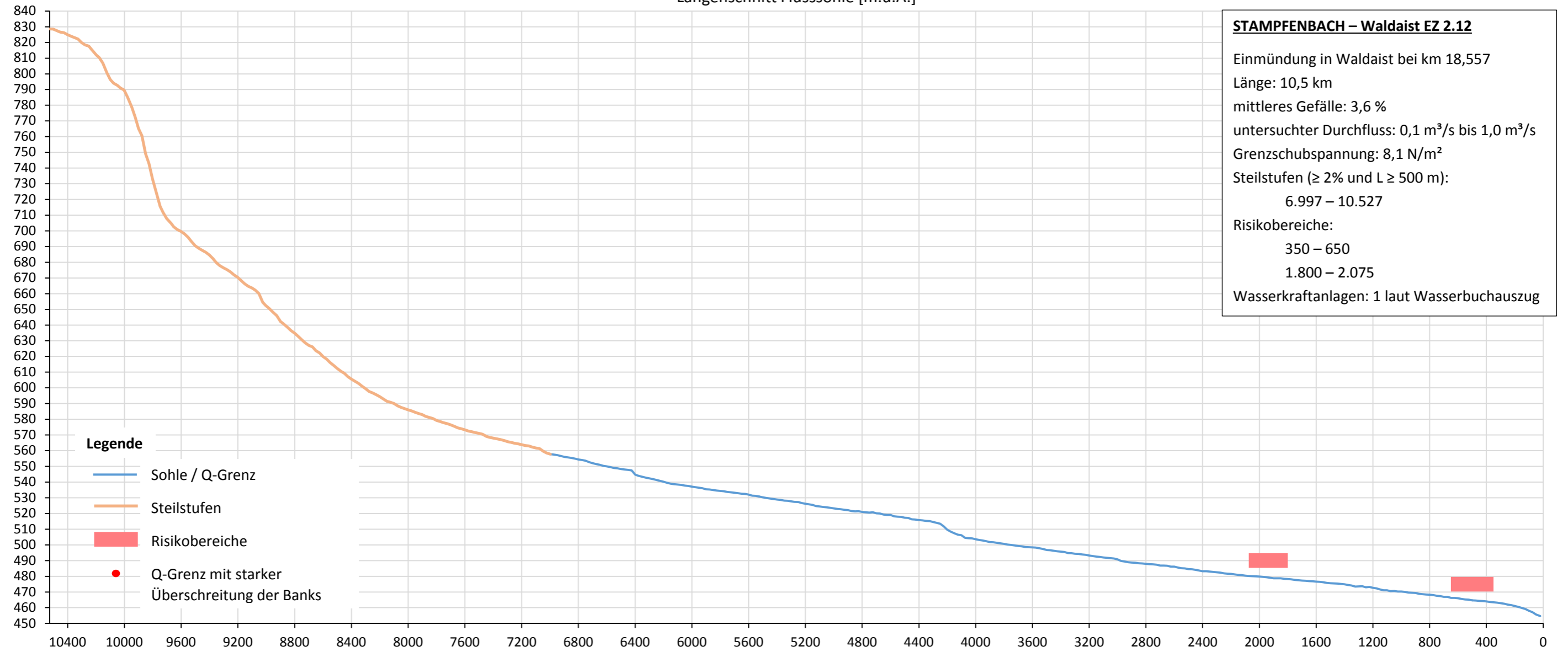


Abbildung 11: Klammbach.

2.2.2. Stampfenbach

Längenschnitt Flusssohle [m.ü.A.]



STAMPFENBACH – Waldaist EZ 2.12

Einmündung in Waldaist bei km 18,557
 Länge: 10,5 km
 mittleres Gefälle: 3,6 %
 untersuchter Durchfluss: 0,1 m³/s bis 1,0 m³/s
 Grenzscherubspannung: 8,1 N/m²
 Steilstufen (≥ 2% und L ≥ 500 m):
 6.997 – 10.527
 Risikobereiche:
 350 – 650
 1.800 – 2.075
 Wasserkraftanlagen: 1 laut Wasserbuchauszug

Q-Grenz [m³/s] bei Überschreitung der Grenzscherubspannung von 8,1 N/m²

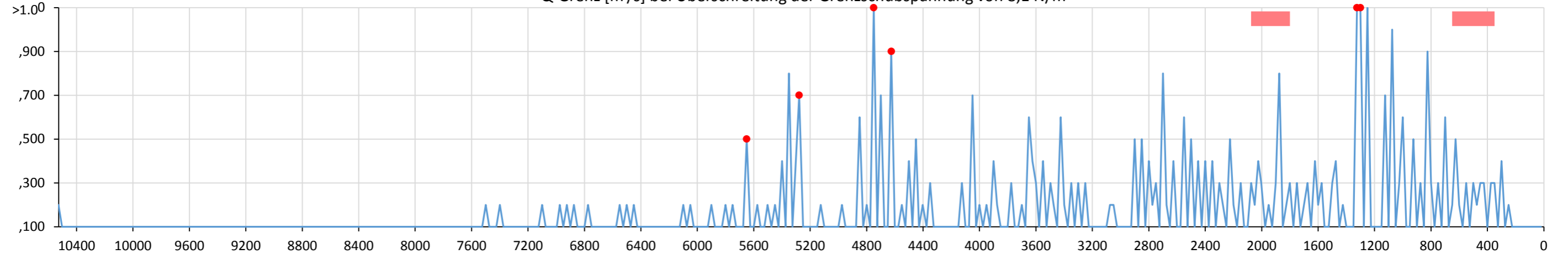


Abbildung 12: Stampfenbach.

2.2.3. Weiße Aist

Längenschnitt Flusssohle [m.ü.A.]

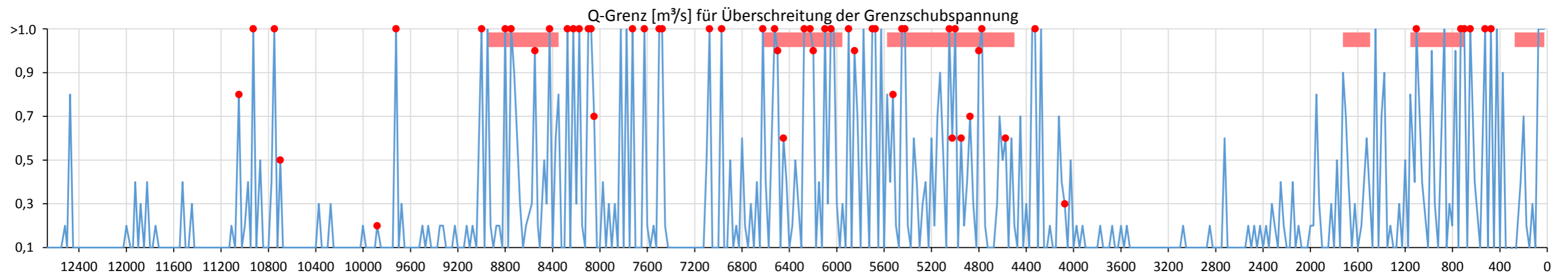
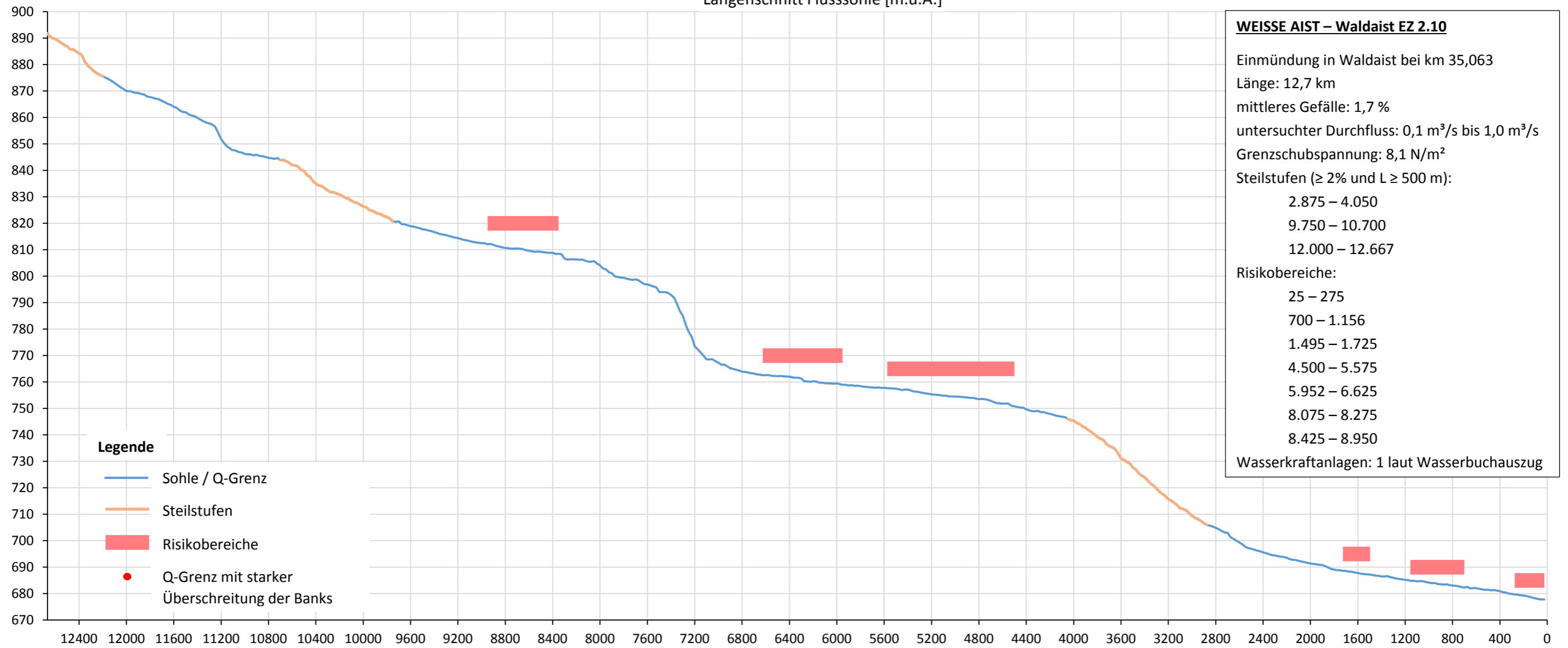
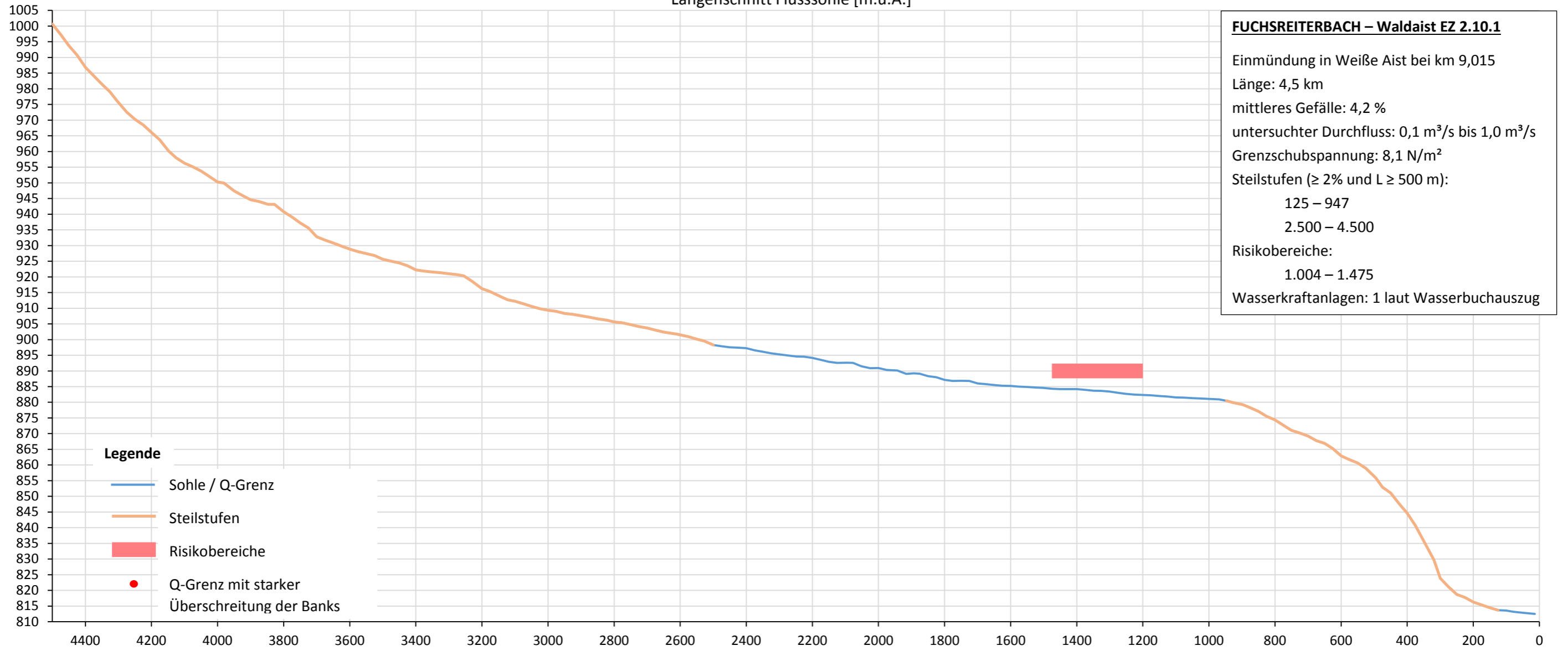


Abbildung 13: Weiße Aist.

2.2.4. Fuchsreiterbach

Längenschnitt Flusssohle [m.ü.A.]



Q-Grenz [m³/s] bei Überschreitung der Grenzscherbspannung von 8,1 N/m²

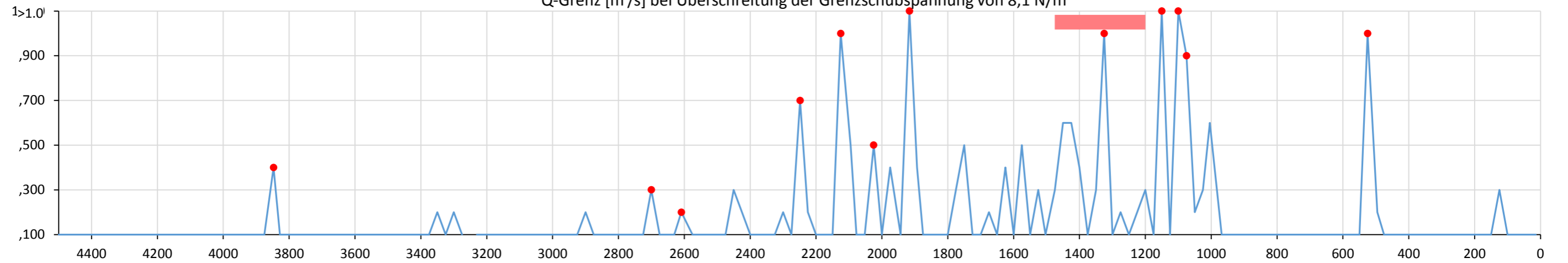


Abbildung 14: Fuchsreiterbach.

2.2.5. Harbaist

Längenschnitt Flusssohle [m.ü.A.]

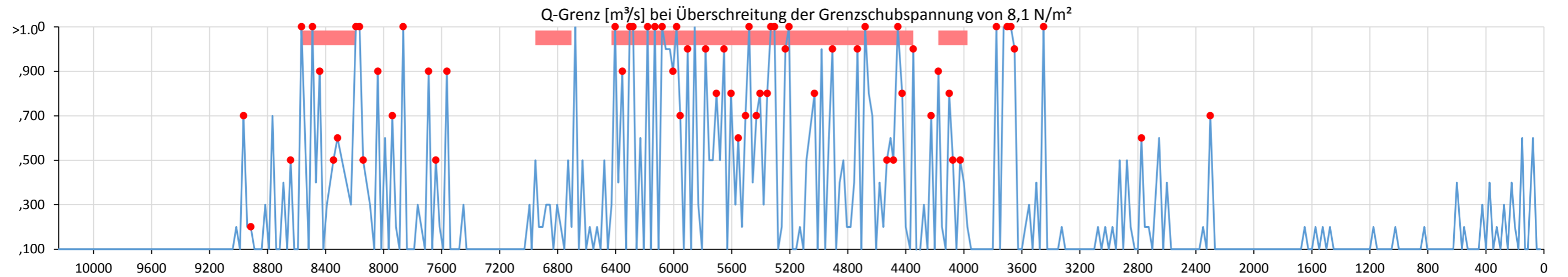
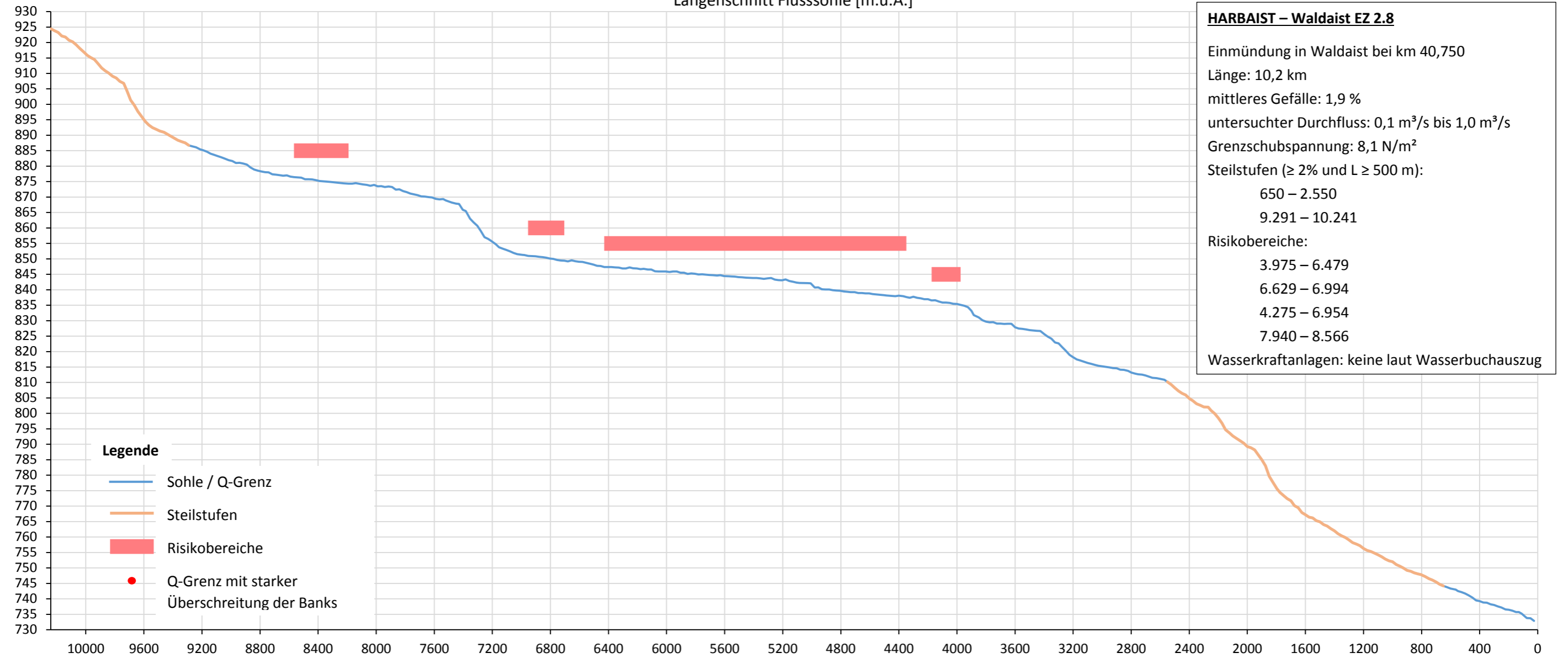


Abbildung 15: Harbaist.

2.2.6. Flambbach

Längenschnitt Flusssohle [m.ü.A.]

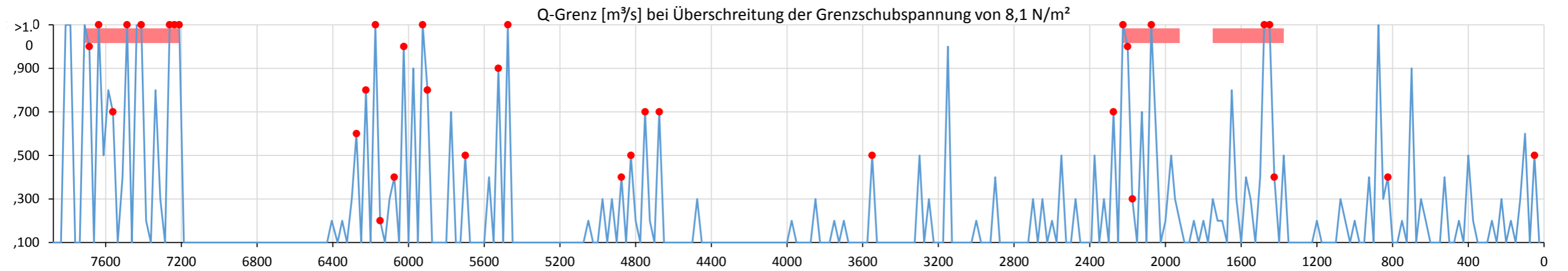
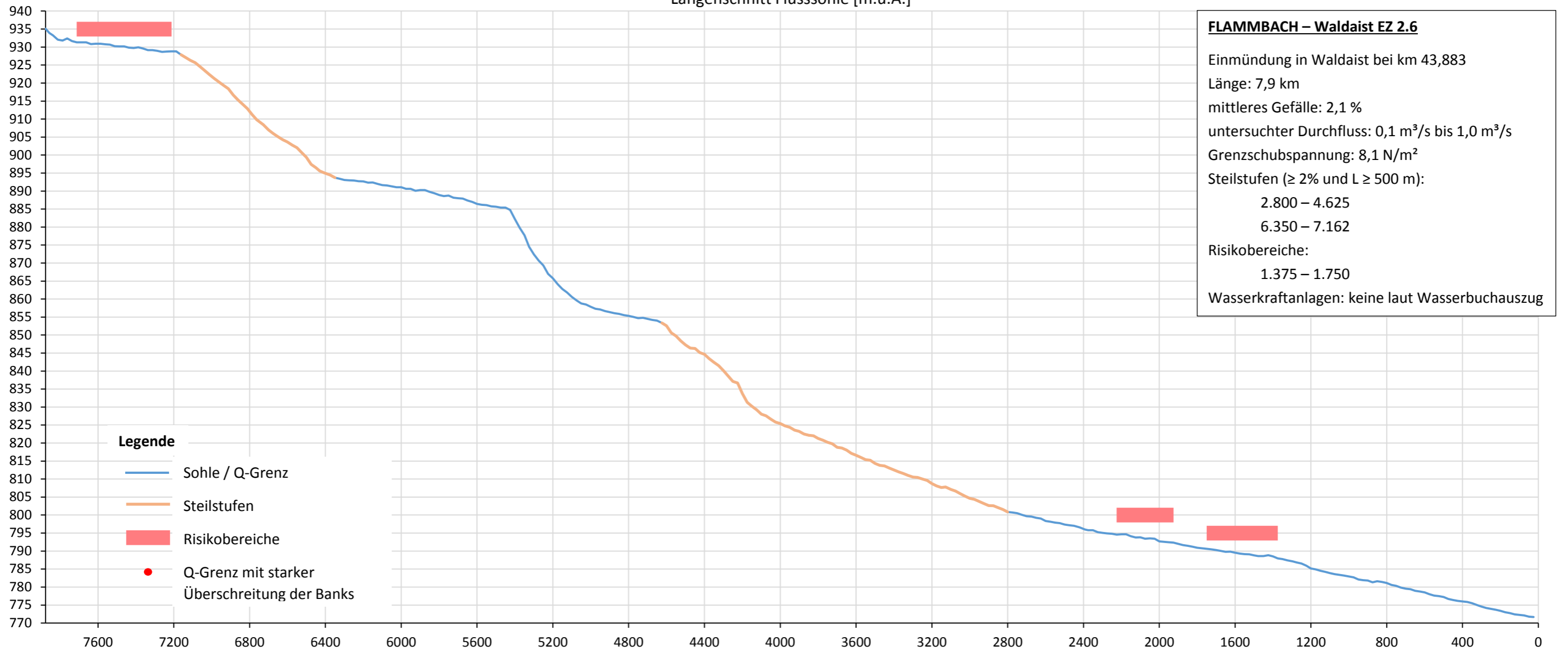


Abbildung 16: Flambbach.

2.3. Haupteinzugsgebiet Aist

2.3.1. Windegger Bach

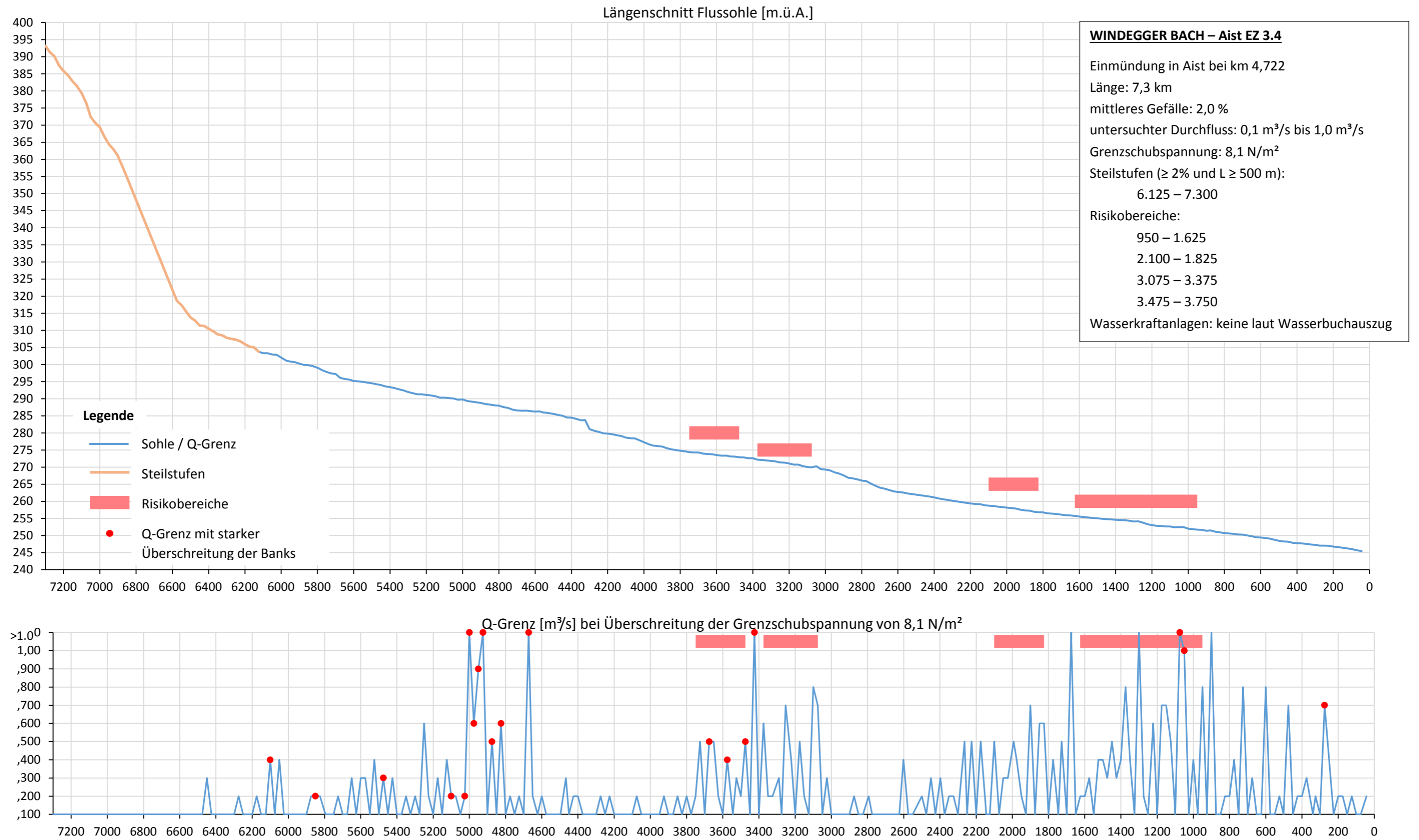


Abbildung 17: Windegger Bach.

2.3.2. Kettenbach

Längenschnitt Flusssohle [m.ü.A.]

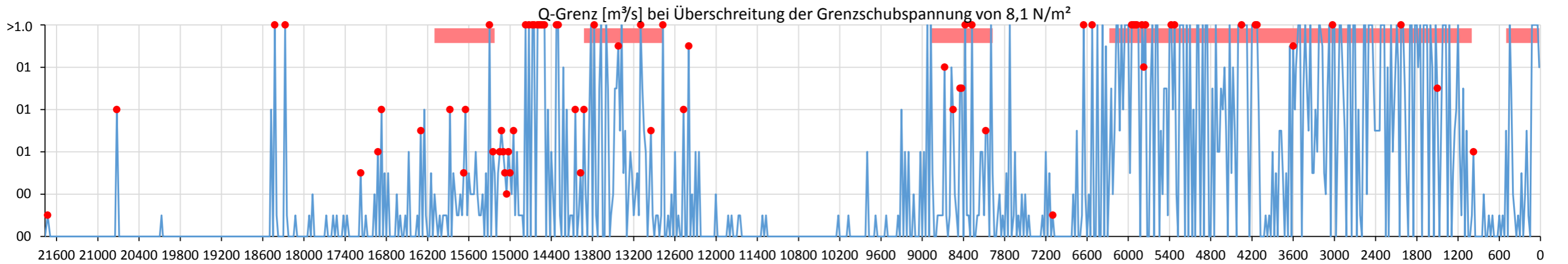
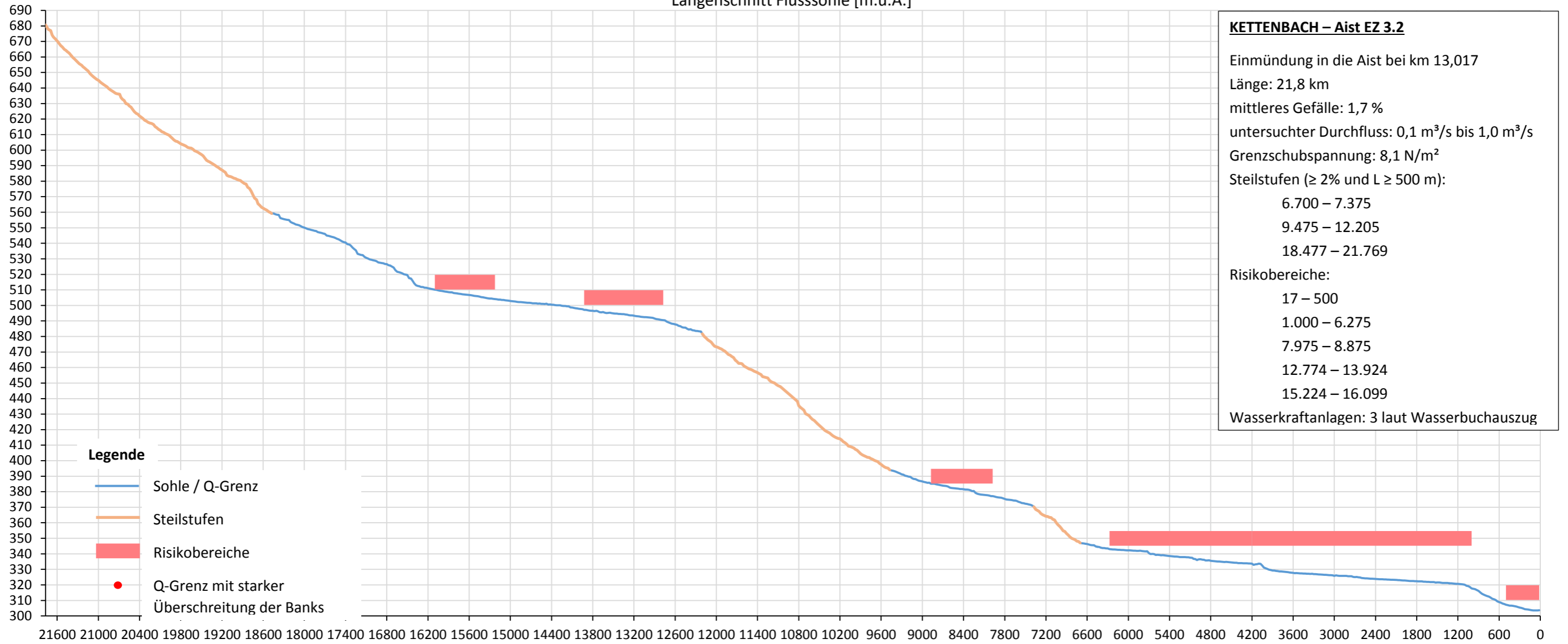


Abbildung 18: Kettenbach.

ANHANG

Teil 3 – Tabellen und Grafiken zu den Auswertungen der Einzugsgebietsanalysen

1.	Endergebnisse Einzugsgebietsanalysen.....	2
1.1.	Feldaist.....	2
1.2.	Waldaist.....	5
1.3.	Aist.....	8
2.	Detailergebnisse Endauswertung der EZG Analysen.....	11
2.1.	Feldaist.....	11
2.2.	Waldaist.....	31
2.3.	Aist.....	55
3.	Grafische Auswertung der Klassifizierungen je Einzugsgebiet.....	60
3.1.	Übersicht der Einzugsgebiete.....	60
3.2.	Feldaist.....	62
3.3.	Waldaist.....	94
3.4.	Aist.....	122

Teil 3

Tabellen und Grafiken zu den Auswertungen der Einzugsgebietsanalysen

1. Endergebnisse Einzugsgebietsanalysen

1.1. Felddaist

Tabelle 1: Felddaist – Relative Beurteilung der Einzugsgebiete.

Rang Geologie	Rang Nadelwald	EZ	Abschnitt	Länge aller Klassen je EZ [m]	Summe Länge für Klasse Gefälle 4+5 auf Klasse Geologie 2 [m]	Anteil Länge Klasse Gefälle 4+5 auf Klasse Geologie 2 zur Gesamtlänge [%]	Summe Länge für Klasse Gefälle 4+5 auf Klasse z.T. oberfl. vergrüst [m]	Anteil Länge Klasse Gefälle 4+5 auf Klasse z.T. oberfl. Vergrüst zur Gesamtlänge [%]	Summe Länge für Klasse Gefälle 4+5 auf Klasse Geologie 2 für Nadelwald [m]	Anteil Länge Klasse Gefälle 4+5 auf Klasse Geologie 2 für Nadelwald zur Gesamtlänge [%]
1	1	1.14	Flanitzbach	37725	30969	5.9	30968.9	5.9	13030.0	2.5
2	2	1.10	Feistritzbach	137219	26868	5.1	26868.1	5.1	11595.0	2.2
3	3	1.15	Felddaist - Flanitzbach bis Waldalst	80897	26474	5.0	26474.2	5.0	5053.9	1.0
4	4	1.8	Jaunitzbach	48604	11260	2.1	11000.3	2.1	2697.6	0.5
5	4	1.8.1	Jaunitzbach - Zubringer Kronbach	24660	9627	1.8	3655.1	0.7	2650.4	0.5
6	6	1.13	Felddaist - Lester Bach bis Flanitzbach	17615	7505	1.4	7279.8	1.4	914.8	0.2
7	6	1.12	Lester Bach	22217	6269	1.2	6170.7	1.2	786.3	0.2
8	6	1.9	Felddaist - Jaunitzbach bis Feistritzbach	29973	4394	0.8	4135.5	0.8	987.9	0.2
8	5	1.11	Felddaist - Feistritzbach bis Lester Bach	10760	4380	0.8	4379.8	0.8	1858.8	0.4
9	7	1.1	Felddaist - Quelle bis Prembach	66129	1040	0.2	965.5	0.2	549.4	0.1
10	8	1.2	Prembach	15811	268	0.1	267.7	0.1	0.0	0.0
11	8	1.3	Felddaist - Prembach bis Grünbach	444	0	0.0	0.0	0.0	0.0	0.0
11	8	1.4	Grünbach	2723	0	0.0	0.0	0.0	0.0	0.0
11	8	1.5	Felddaist - Grünbach bis Schlagerbach	1311	0	0.0	0.0	0.0	0.0	0.0
11	8	1.6	Schlager Bach	18397	0	0.0	0.0	0.0	0.0	0.0
11	8	1.7	Felddaist - Schläge Bach bis Jaunitzbach	10763	0	0.0	0.0	0.0	0.0	0.0
				GESAMTLÄNGE	525247	24.6	122166	23.3	40124	7.6

FELDAIST - EZG Analyse - Ranking Geologie

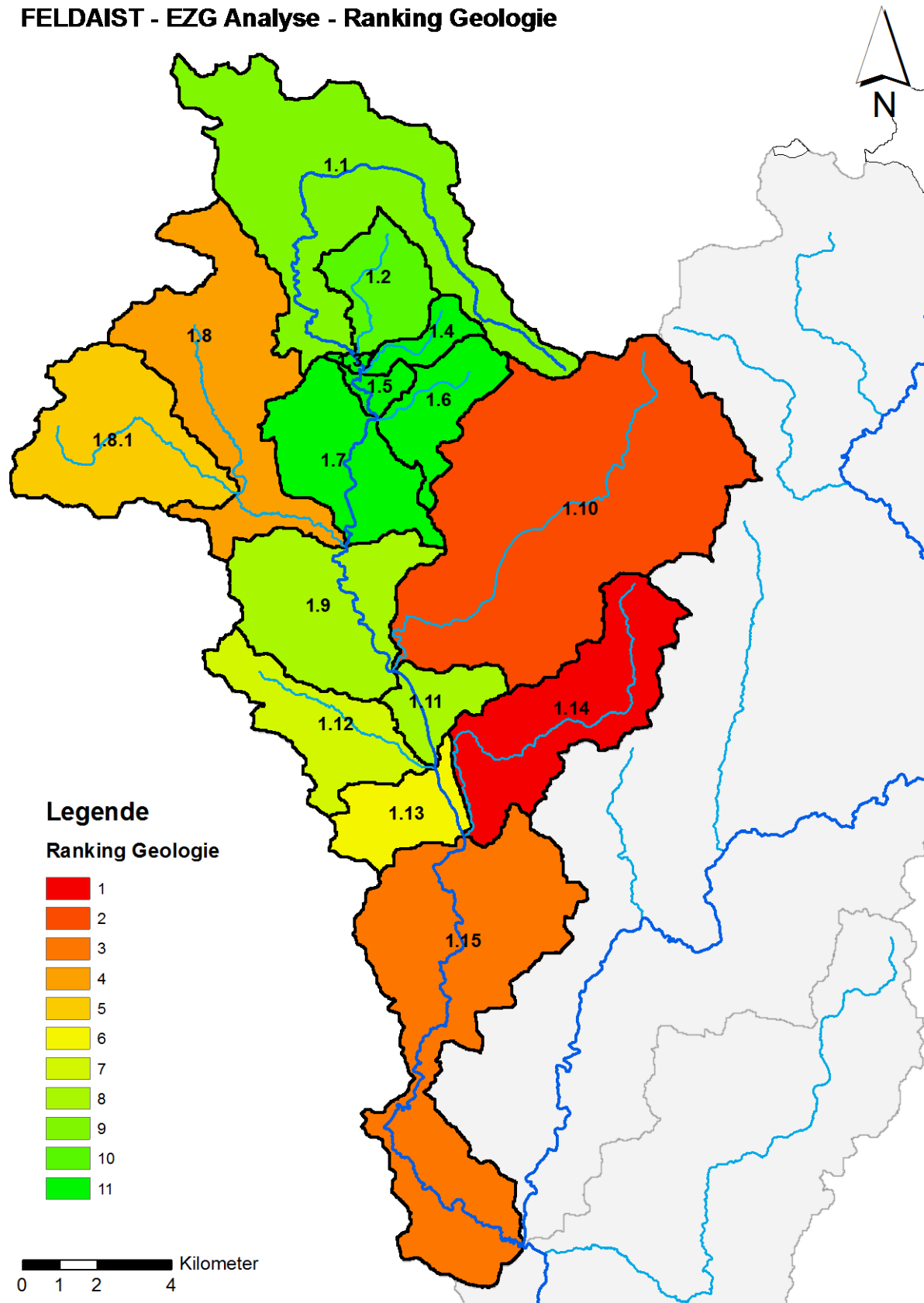


Abbildung 1: Feldaist – Ranking Geologie.

FELDAIST - EZG Analyse - Ranking Nadelwald

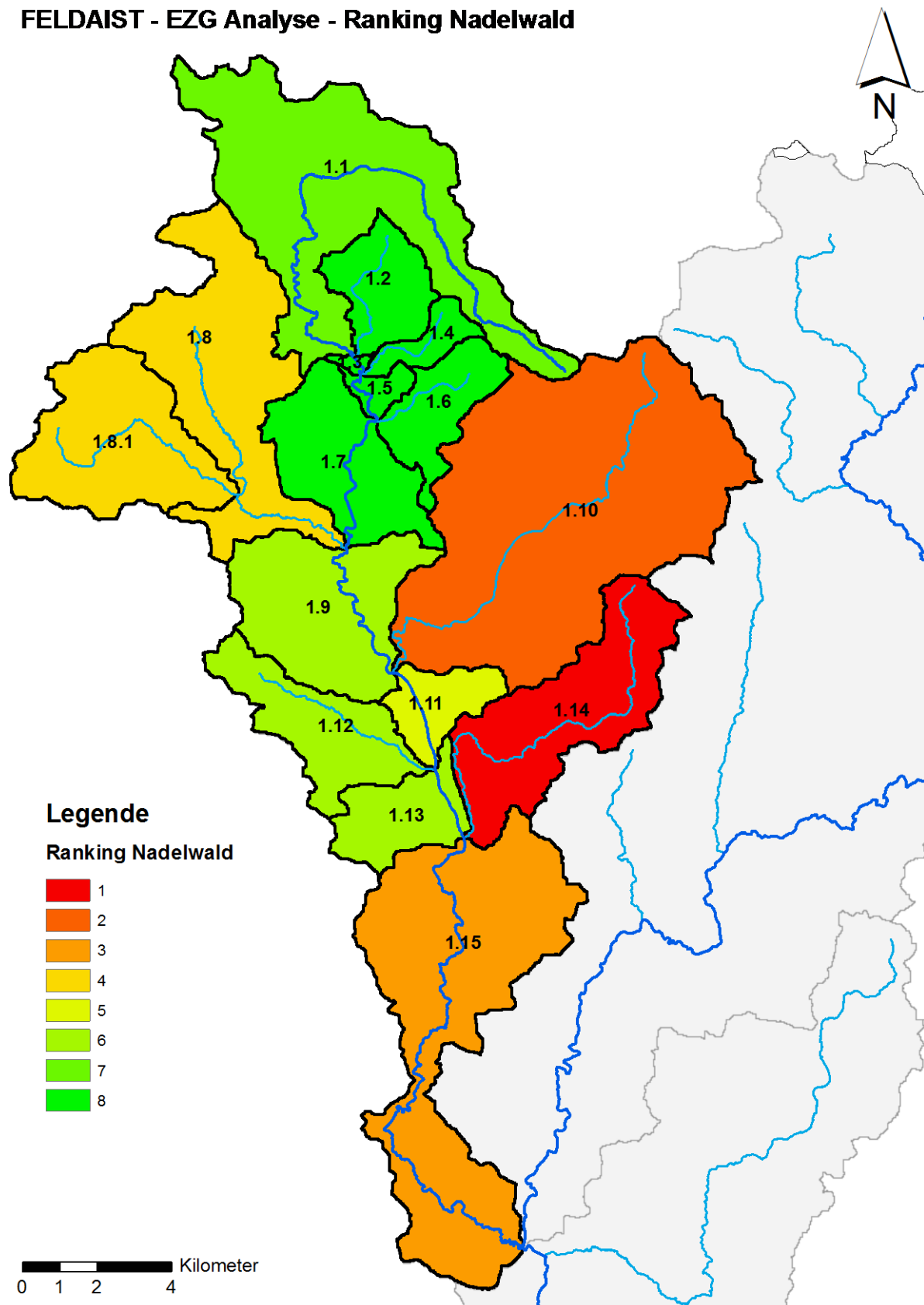


Abbildung 2: Feldaist – Ranking Nadelwald.

1.2. Waldaist

Tabelle 2: Waldaist – Relative Beurteilung der Einzugsgebiete.

Rang Geologie	Rang Nadelwald	EZ	Abschnitt	Länge aller Klassen je EZ im Land OÖ [m]	Summe Länge für Klasse Gefälle 4+5 auf Klasse Geologie 2 [m]	Anteil Länge Klasse Gefälle 4+5 auf Klasse Geologie 2 zur Gesamtlänge [%]	Summe Länge für Klasse Gefälle 4+5 auf Klasse z.T. oberfl. vergrust oberfl. vergrust [m]	Anteil Länge Klasse Gefälle 4+5 auf Klasse z.T. oberfl. Vergrust zur Gesamtlänge [%]	Summe Länge für Klasse Gefälle 4+5 auf Klasse Geologie 2 für Nadelwald [m]	Anteil Länge Klasse Gefälle 4+5 auf Klasse Geologie 2 für Nadelwald zur Gesamtlänge [%]
1	1	2.12	Stampfenbach	81874	60589	11.5	60589	11.5	19926	3.8
2	2	2.11	Waldaist - Weiße Aist bis Stampfenbach	83016	50130	9.5	50130	9.5	10461	2.0
3	3	2.15	Waldaist - Klammbach bis Aist	71555	37375	7.1	37375	7.1	9987	1.9
4	5	2.13	Waldaist - Stampfenbach bis Klammbach	50789	24486	4.6	24486	4.6	4321	0.8
5	5	2.9	Waldaist - Harbaist bis Weiße Aist	24223	15784	3.0	15623	3.0	4421	0.8
6	4	2.10	Weiße Aist	51562	15658	3.0	11285	2.1	7490	1.4
7	6	2.14	Klammbach	29826	14925	2.8	14925	2.8	1394	0.3
8	7	2.5	Waldaist - Kolmbach bis Flammbach	38815	4836	0.9	876	0.2	1231	0.2
9	6	2.8	Harbaist	30072	3678	0.7	3678	0.7	1646	0.3
10	8	2.1	Waldaist - Quelle bis Muckenbach	15479	949	0.2	908	0.2	265	0.1
10	9	2.7	Waldaist - Flammbach bis Harbaist	7081	803	0.2	803	0.2	0	0.0
10	8	2.10.1	Weiße Aist - Zubringer Fuchsreiterbach	13673	1225	0.2	1225	0.2	306	0.1
11	9	2.3	Waldaist - Muckenbach bis Kolmbach	226	0	0.0	0	0.0	0	0.0
11	9	2.6	Flammbach	28947	0	0.0	0	0.0	0	0.0
		2.2	Muckenbach							
		2.4	Kolmbach							
			GESAMTLÄNGE	527137	230437	43.7	221902	42.1	61448	11.7

WALDAIST - EZG Analyse - Ranking Geologie

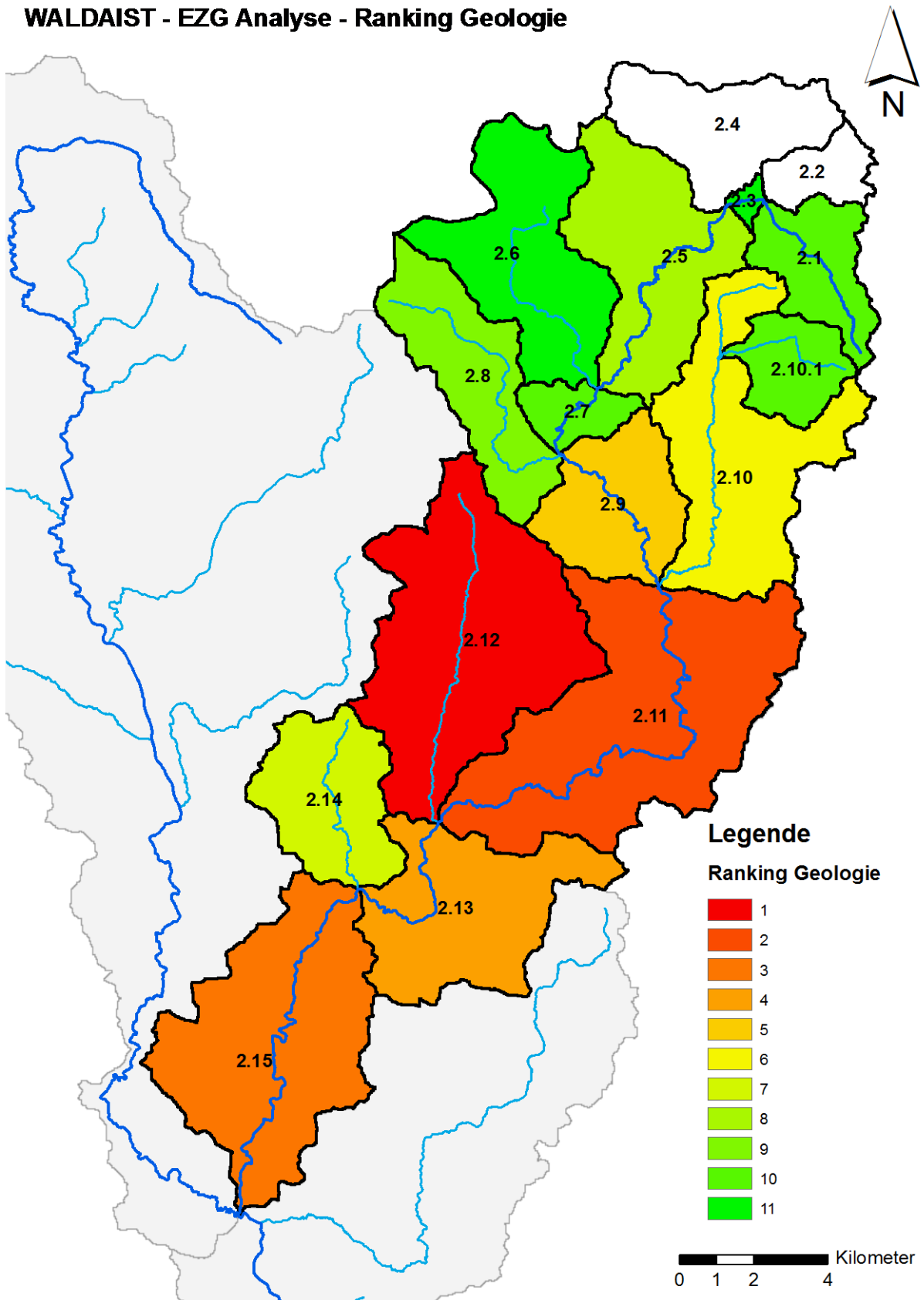


Abbildung 3: Waldaist – Ranking Geologie.

WALDAIST - EZG Analyse - Ranking Nadelwald

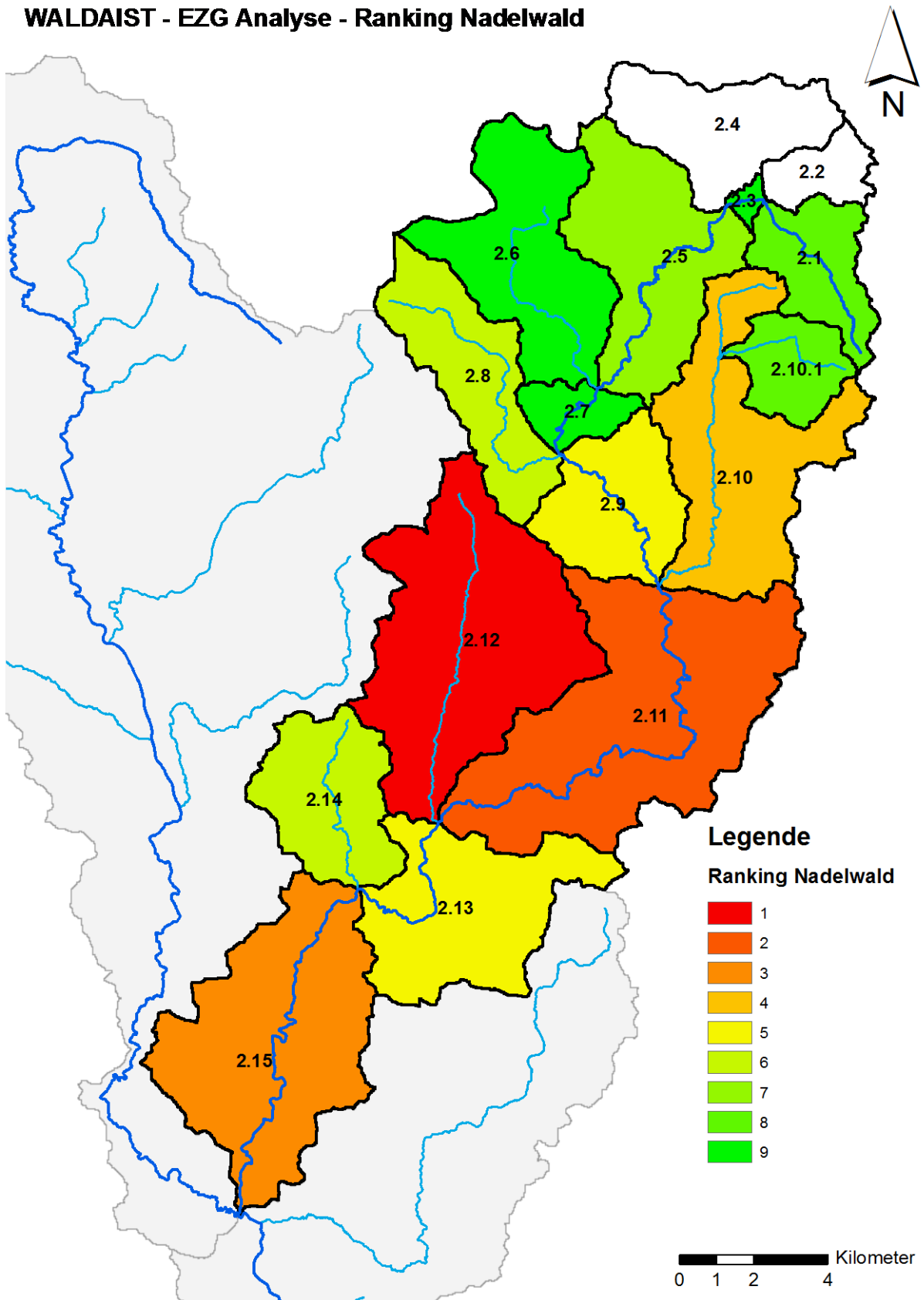


Abbildung 4: Waldaist – Ranking Nadelwald.

1.3. Aist

Tabelle 3: Aist – Relative Beurteilung der Einzugsgebiete.

Rang Geologie	Rang Nadelwald	EZ	Abschnitt	Länge aller Klassen je EZ [m]	Summe Länge für Klasse Gefälle 4+5 auf Klasse Geologie 2 [m]	Anteil Länge Klasse Gefälle 4+5 auf Klasse Geologie 2 zur Gesamtlänge [%]	Summe Länge für Klasse Gefälle 4+5 auf oberfl. vergrust Klasse z.T. oberfl. vergrust [m]	Anteil Länge Klasse Gefälle 4+5 auf Klasse z.T. oberfl. Vergrust zur Gesamtlänge [%]	Summe Länge für Klasse Gefälle 4+5 auf Klasse Geologie 2 für Nadelwald [m]	Anteil Länge Klasse Gefälle 4+5 auf Klasse Geologie 2 für Nadelwald zur Gesamtlänge [%]
1	1	3.2	Kettenbach	132830	9488	4.7	9488	4.7	1563	0.8
2	2	3.4	Windegger Bach	31427	7190	3.6	7190	3.6	0	0.0
3	2	3.3	Aist - Kettenbach bis Windegger Bach	36295	274	0.1	274	0.1	0	0.0
3	2	3.1	Aist - Waldaist bis Kettenbach	426	240	0.1	240	0.1	0	0.0
4	2	3.5	Aist - Windeggerbach bis Donau	0	0	0.0	0	0.0	0	0.0
			GESAMTLÄNGE	200977	17191	8.6	17191	8.6	1563	0.8

AIST - EZG Analyse - Ranking Geologie

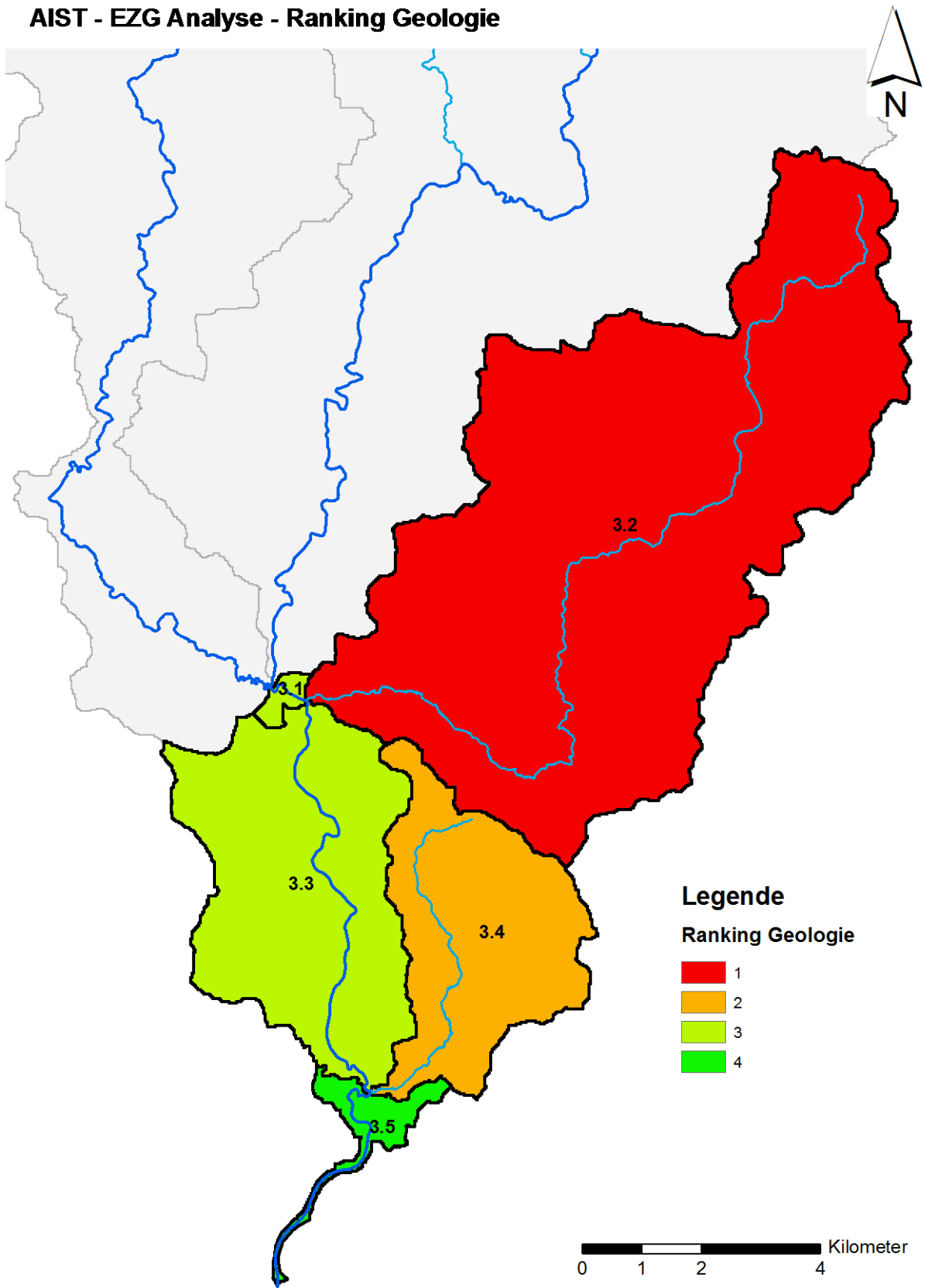


Abbildung 5: Aist – Ranking Geologie.

WALDAIST - EZG Analyse - Ranking Nadelwald

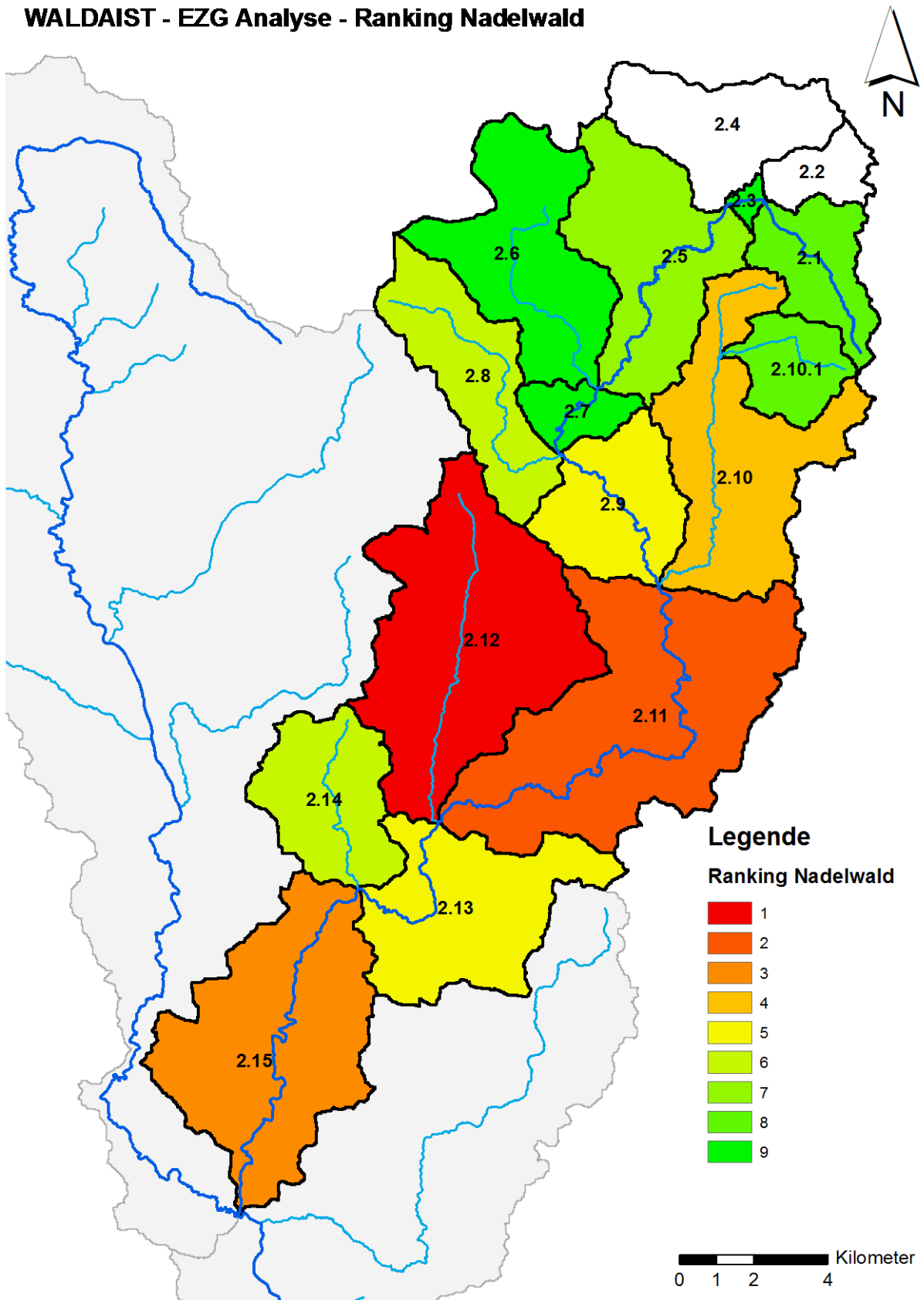


Abbildung 6: Aist – Ranking Nadelwald.

2. Detailergebnisse Endauswertung der EZG Analysen

2.1. Feldaist

Tabelle 4: Feldaist – Rückhalt.

<i>EZ</i>	<i>Abschnitt</i>	<i>Rückhalt [m]</i>
1.1	Feldaist - Quelle bis Prembach	6828
1.2	Prembach	462
1.3	Feldaist - Prembach bis Grünbach	0
1.4	Grünbach	0
1.5	Feldaist - Grünbach bis Schlagerbach	1170
1.6	Schlager Bach	655
1.7	Feldaist - Schlage Bach bis Jaunitzbach	973
1.8	Jaunitzbach	2032
1.8.1	Jaunitzbach - Zubringer Kronbach	12943
1.9	Feldaist - Jaunitzbach bis Feistritzbach	14585
1.10	Feistritzbach	6061
1.11	Feldaist - Feistritzbach bis Lester Bach	1079
1.12	Lester Bach	3424
1.13	Feldaist - Lester Bach bis Flanitzbach	1764
1.14	Flanitzbach	4364
1.15	Feldaist - Flanitzbach bis Waldaist	8493

Tabelle 5: Feldaist – Klassifizierung Gefälle.

EZ	Abschnitt	Klasse Gefälle	Wert Gefälle	Länge [m]	Summe [m]	Summe Klasse 4+5 [m]
1.1	Feldaist - Quelle bis Prembach	1	<= 1 %	7114	66129	19553
		2	> 1 % - <= 2 %	10759		
		3	> 2 % - <= 5 %	28703		
		4	> 5 % - <= 10 %	14699		
		5	> 10 %	4854		
1.2	Prembach	1	<= 1 %	46	15811	8923
		2	> 1 % - <= 2 %	0		
		3	> 2 % - <= 5 %	6842		
		4	> 5 % - <= 10 %	5303		
		5	> 10 %	3620		
1.3	Feldaist - Prembach bis Grünbach	1	<= 1 %	0	444	444
		2	> 1 % - <= 2 %	0		
		3	> 2 % - <= 5 %	0		
		4	> 5 % - <= 10 %	444		
		5	> 10 %	0		
1.4	Grünbach	1	<= 1 %	3	2723	2060
		2	> 1 % - <= 2 %	0		
		3	> 2 % - <= 5 %	659		
		4	> 5 % - <= 10 %	742		
		5	> 10 %	1318		
1.5	Feldaist - Grünbach bis Schlagerbach	1	<= 1 %	0	1311	1311
		2	> 1 % - <= 2 %	0		
		3	> 2 % - <= 5 %	0		
		4	> 5 % - <= 10 %	0		
		5	> 10 %	1311		
1.6	Schlager Bach	1	<= 1 %	0	18397	10274
		2	> 1 % - <= 2 %	1577		
		3	> 2 % - <= 5 %	6545		
		4	> 5 % - <= 10 %	5012		
		5	> 10 %	5263		
1.7	Feldaist - Schlage Bach bis Jaunitzbach	1	<= 1 %	13	10763	8082
		2	> 1 % - <= 2 %	310		
		3	> 2 % - <= 5 %	2358		
		4	> 5 % - <= 10 %	5769		
		5	> 10 %	2313		
1.8	Jaunitzbach	1	<= 1 %	5877	48604	21555
		2	> 1 % - <= 2 %	8601		
		3	> 2 % - <= 5 %	12571		
		4	> 5 % - <= 10 %	13242		
		5	> 10 %	8313		
1.8.1	Jaunitzbach - Zubringer Kronbach	1	<= 1 %	634	24660	10295
		2	> 1 % - <= 2 %	2313		
		3	> 2 % - <= 5 %	11417		
		4	> 5 % - <= 10 %	4834		
		5	> 10 %	5462		

EZ	Abschnitt	Klasse Gefälle	Wert Gefälle	Länge [m]	Summe [m]	Summe Klasse 4+5 [m]
1.9	Feldaist - Jaunitzbach bis Feistritzbach	1	<= 1 %	844	29973	14601
		2	> 1 % - <= 2 %	5777		
		3	> 2 % - <= 5 %	8752		
		4	> 5 % - <= 10 %	10916		
		5	> 10 %	3685		
1.10	Feistritzbach	1	<= 1 %	3027	137219	93877
		2	> 1 % - <= 2 %	6944		
		3	> 2 % - <= 5 %	33370		
		4	> 5 % - <= 10 %	52870		
		5	> 10 %	41007		
1.11	Feldaist - Feistritzbach bis Lester Bach	1	<= 1 %	725	10760	9016
		2	> 1 % - <= 2 %	82		
		3	> 2 % - <= 5 %	936		
		4	> 5 % - <= 10 %	4304		
		5	> 10 %	4712		
1.12	Lester Bach	1	<= 1 %	65	22217	10114
		2	> 1 % - <= 2 %	922		
		3	> 2 % - <= 5 %	11116		
		4	> 5 % - <= 10 %	7315		
		5	> 10 %	2800		
1.13	Feldaist - Lester Bach bis Flanitzbach	1	<= 1 %	928	17615	8864
		2	> 1 % - <= 2 %	2988		
		3	> 2 % - <= 5 %	4835		
		4	> 5 % - <= 10 %	7354		
		5	> 10 %	1509		
1.14	Flanitzbach	1	<= 1 %	72	37725	32731
		2	> 1 % - <= 2 %	136		
		3	> 2 % - <= 5 %	4786		
		4	> 5 % - <= 10 %	17409		
		5	> 10 %	15321		
1.15	Feldaist - Flanitzbach bis Waldaist	1	<= 1 %	2714	80897	47733
		2	> 1 % - <= 2 %	7562		
		3	> 2 % - <= 5 %	22889		
		4	> 5 % - <= 10 %	25695		
		5	> 10 %	22037		

Tabelle 6: Feldaist – Klassifizierung Geologie.

EZ	Abschnitt	Klasse Geologie	Name Geologie	Klasse Gefälle	Wert Gefälle	Länge [m]	Länge Klasse Geologie 2 und Klasse Gefälle 4+5 [m]
1.1	Feldaist - Quelle bis Prembach	0	ka	1	<= 1 %	780	1040
				2	> 1 % - <= 2 %	537	
				3	> 2 % - <= 5 %	1073	
		1	Feinkorngranit	1	<= 1 %	42	
				2	> 1 % - <= 2 %	1957	
				3	> 2 % - <= 5 %	5288	
				4	> 5 % - <= 10 %	711	
		2	Grobkorn Granit und Gneis	1	<= 1 %	166	
				2	> 1 % - <= 2 %	428	
				3	> 2 % - <= 5 %	3120	
				4	> 5 % - <= 10 %	713	
				5	> 10 %	327	
		3	sonstige Magmatite	1	<= 1 %	4069	
				2	> 1 % - <= 2 %	7143	
				3	> 2 % - <= 5 %	17455	
				4	> 5 % - <= 10 %	12267	
				5	> 10 %	4252	
		4	Metamorphite	2	> 1 % - <= 2 %	22	
				3	> 2 % - <= 5 %	147	
				4	> 5 % - <= 10 %	369	
				5	> 10 %	37	
		5	Sedimentite	1	<= 1 %	2057	
				2	> 1 % - <= 2 %	671	
				3	> 2 % - <= 5 %	1619	
				4	> 5 % - <= 10 %	639	
5	> 10 %			238			
1.2	Prembach	0	ka	3	> 2 % - <= 5 %	285	268
		2	Grobkorn Granit und Gneis	4	> 5 % - <= 10 %	268	
		3	sonstige Magmatite	1	<= 1 %	46	
				3	> 2 % - <= 5 %	6556	
				4	> 5 % - <= 10 %	5035	
		5	> 10 %	2981			
4	Metamorphite	5	> 10 %	639			
1.3	Feldaist - Prembach bis Grünbach	3	sonstige Magmatite	4	> 5 % - <= 10 %	444	0
1.4	Grünbach	0	ka	3	> 2 % - <= 5 %	313	0
		3	sonstige Magmatite	3	> 2 % - <= 5 %	246	
				5	> 10 %	494	
		4	Metamorphite	1	<= 1 %	3	
				3	> 2 % - <= 5 %	100	
4	> 5 % - <= 10 %	742					

EZ	Abschnitt	Klasse Geologie	Name Geologie	Klasse Gefälle	Wert Gefälle	Länge [m]	Länge Klasse Geologie 2 und Klasse Gefälle 4+5 [m]
				5	> 10 %	824	
1.5	Feldaist - Grünbach bis Schlagerbach	3	sonstige Magmatite	5	> 10 %	1311	0
1.6	Schlager Bach	0	ka	2	> 1 % - <= 2 %	158	0
				2	> 1 % - <= 2 %	1419	
		3	sonstige Magmatite	3	> 2 % - <= 5 %	6259	
				4	> 5 % - <= 10 %	2967	
				5	> 10 %	2201	
		4	Metamorphite	3	> 2 % - <= 5 %	286	
				4	> 5 % - <= 10 %	2045	
5	> 10 %			3062			
1.7	Feldaist - Schlage Bach bis Jaunitzbach	0	ka	4	> 5 % - <= 10 %	22	0
				3	sonstige Magmatite	1	
		2	> 1 % - <= 2 %			310	
		3	> 2 % - <= 5 %			1885	
		4	> 5 % - <= 10 %			5669	
		5	> 10 %			2313	
		5	Sedimentite	3	> 2 % - <= 5 %	473	
				4	> 5 % - <= 10 %	78	
1.8	Jaunitzbach	0	ka	1	<= 1 %	535	11260
				2	> 1 % - <= 2 %	1201	
				3	> 2 % - <= 5 %	1039	
				4	> 5 % - <= 10 %	189	
		1	Feinkorngranit	1	<= 1 %	486	
				2	> 1 % - <= 2 %	256	
				3	> 2 % - <= 5 %	2876	
				4	> 5 % - <= 10 %	872	
				5	> 10 %	718	
		2	Grobkorn Granit und Gneis	1	<= 1 %	221	
				2	> 1 % - <= 2 %	2647	
				3	> 2 % - <= 5 %	5637	
				4	> 5 % - <= 10 %	5873	
				5	> 10 %	5386	
		3	sonstige Magmatite	1	<= 1 %	521	
				2	> 1 % - <= 2 %	864	
				3	> 2 % - <= 5 %	1178	
				4	> 5 % - <= 10 %	2453	
				5	> 10 %	126	
		4	Metamorphite	2	> 1 % - <= 2 %	321	
				3	> 2 % - <= 5 %	168	
				4	> 5 % - <= 10 %	203	
5	Sedimentite	1	<= 1 %	4114			
		2	> 1 % - <= 2 %	3312			

EZ	Abschnitt	Klasse Geologie	Name Geologie	Klasse Gefälle	Wert Gefälle	Länge [m]	Länge Klasse Geologie 2 und Klasse Gefälle 4+5 [m]		
				3	> 2 % - <= 5 %	1673			
				4	> 5 % - <= 10 %	3651			
				5	> 10 %	2083			
1.8.1	Jaunitzbach - Zubringer Kronbach	1	Feinkorngranit	3	> 2 % - <= 5 %	35			
		2	Grobkorn Granit und Gneis	2	> 1 % - <= 2 %	2113			
				3	> 2 % - <= 5 %	10578			
				4	> 5 % - <= 10 %	4515	9627		
				5	> 10 %	5112			
		5	Sedimentite	1	<= 1 %	634			
				2	> 1 % - <= 2 %	200			
				3	> 2 % - <= 5 %	617			
				4	> 5 % - <= 10 %	318			
				5	> 10 %	350			
1.9	Feldaist - Jaunitzbach bis Feistritzbach	2	Grobkorn Granit und Gneis	3	> 2 % - <= 5 %	291			
				4	> 5 % - <= 10 %	3846	4394		
				5	> 10 %	548			
		3	sonstige Magmatite	1	<= 1 %	132			
				2	> 1 % - <= 2 %	1097			
				3	> 2 % - <= 5 %	4032			
				4	> 5 % - <= 10 %	4694			
				5	> 10 %	2666			
		5	Sedimentite	1	<= 1 %	712			
				2	> 1 % - <= 2 %	4679			
				3	> 2 % - <= 5 %	4429			
				4	> 5 % - <= 10 %	2377			
				5	> 10 %	471			
		1.10	Feistritzbach	0	ka	2	> 1 % - <= 2 %	277	
						3	> 2 % - <= 5 %	1113	
4	> 5 % - <= 10 %					678			
5	> 10 %					17			
1	Feinkorngranit			2	> 1 % - <= 2 %	21			
				3	> 2 % - <= 5 %	1450			
				4	> 5 % - <= 10 %	3960			
				5	> 10 %	2993			
2	Grobkorn Granit und Gneis			1	<= 1 %	9			
				2	> 1 % - <= 2 %	933			
				3	> 2 % - <= 5 %	6174			
				4	> 5 % - <= 10 %	13131	26868		
				5	> 10 %	13737			
3	sonstige Magmatite			1	<= 1 %	35			
				2	> 1 % - <= 2 %	1641			
				3	> 2 % - <= 5 %	14059			

EZ	Abschnitt	Klasse Geologie	Name Geologie	Klasse Gefälle	Wert Gefälle	Länge [m]	Länge Klasse Geologie 2 und Klasse Gefälle 4+5 [m]					
		4	Metamorphite	4	> 5 % - <= 10 %	15926						
				5	> 10 %	9979						
				1	<= 1 %	101						
				2	> 1 % - <= 2 %	1472						
				3	> 2 % - <= 5 %	6057						
				4	> 5 % - <= 10 %	15771						
				5	> 10 %	13937						
		5	Sedimentite	1	<= 1 %	2882						
				2	> 1 % - <= 2 %	2601						
				3	> 2 % - <= 5 %	4517						
				4	> 5 % - <= 10 %	3403						
				5	> 10 %	345						
				1.11	Feldaist - Feistritzbach bis Lester Bach	2		Grobkorn Granit und Gneis	1	<= 1 %	1	4380
									4	> 5 % - <= 10 %	1892	
5	> 10 %	2488										
3	sonstige Magmatite	3	> 2 % - <= 5 %			196						
		4	> 5 % - <= 10 %			1955						
		5	> 10 %			1863						
5	Sedimentite	1	<= 1 %			725						
		2	> 1 % - <= 2 %			82						
		3	> 2 % - <= 5 %			740						
		4	> 5 % - <= 10 %			457						
		5	> 10 %			362						
1.12	Lester Bach	1	Feinkorngranit	3	> 2 % - <= 5 %	87						
		2	Grobkorn Granit und Gneis	2	> 1 % - <= 2 %	410						
				3	> 2 % - <= 5 %	4228						
				4	> 5 % - <= 10 %	4023						
				5	> 10 %	2245						
				6269								
		3	sonstige Magmatite	2	> 1 % - <= 2 %	195						
				3	> 2 % - <= 5 %	3207						
				4	> 5 % - <= 10 %	2494						
		5	Sedimentite	1	<= 1 %	65						
				2	> 1 % - <= 2 %	317						
				3	> 2 % - <= 5 %	3593						
				4	> 5 % - <= 10 %	797						
5	> 10 %			554								
1.13	Feldaist - Lester Bach bis Flanitzbach	2	Grobkorn Granit und Gneis	2	> 1 % - <= 2 %	8	7505					
				3	> 2 % - <= 5 %	1863						
				4	> 5 % - <= 10 %	6259						
				5	> 10 %	1245						
		5	Sedimentite	1	<= 1 %	928						
				2	> 1 % - <= 2 %	2980						

EZ	Abschnitt	Klasse Geologie	Name Geologie	Klasse Gefälle	Wert Gefälle	Länge [m]	Länge Klasse Geologie 2 und Klasse Gefälle 4+5 [m]
				3	> 2 % - <= 5 %	2972	
				4	> 5 % - <= 10 %	1095	
				5	> 10 %	264	
1.14	Flanitzbach	0	ka	3	> 2 % - <= 5 %	62	
				4	> 5 % - <= 10 %	39	
				5	> 10 %	84	
		2	Grobkorn Granit und Gneis	2	> 1 % - <= 2 %	42	
				3	> 2 % - <= 5 %	4399	
				4	> 5 % - <= 10 %	16919	30969
		5	> 10 %	14050			
		3	sonstige Magmatite	5	> 10 %	113	
		4	Metamorphite	4	> 5 % - <= 10 %	134	
				5	> 10 %	373	
		5	Sedimentite	1	<= 1 %	72	
				2	> 1 % - <= 2 %	94	
				3	> 2 % - <= 5 %	315	
				4	> 5 % - <= 10 %	318	
				5	> 10 %	684	
1.15	Feldaist - Flanitzbach bis Waldaist	0	ka	1	<= 1 %	14	
				3	> 2 % - <= 5 %	48	
				4	> 5 % - <= 10 %	25	
		1	Feinkorngranit	3	> 2 % - <= 5 %	190	
				4	> 5 % - <= 10 %	1026	
		2	Grobkorn Granit und Gneis	1	<= 1 %	870	
				2	> 1 % - <= 2 %	700	
				3	> 2 % - <= 5 %	5985	
				4	> 5 % - <= 10 %	11503	26474
				5	> 10 %	14971	
		3	sonstige Magmatite	1	<= 1 %	115	
				2	> 1 % - <= 2 %	1215	
				3	> 2 % - <= 5 %	4601	
				4	> 5 % - <= 10 %	2372	
				5	> 10 %	3634	
		4	Metamorphite	2	> 1 % - <= 2 %	342	
				3	> 2 % - <= 5 %	1916	
				4	> 5 % - <= 10 %	3998	
				5	> 10 %	1693	
		5	Sedimentite	1	<= 1 %	1715	
				2	> 1 % - <= 2 %	5304	
3	> 2 % - <= 5 %			10149			
4	> 5 % - <= 10 %			6771			
5	> 10 %			1739			

Tabelle 7: Feldaist – Klassifizierung Geologie – oberflächlich z.T. vergrust.

EZ	Abschnitt	Klasse Geologie	Name Geologie	Klasse Gefälle	Wert Gefälle	Grus	Länge [m]	Länge Summe Grus [m]	Länge Grus Klasse Geologie 2 und Klasse Gefälle 4+5 [m]
1.1	Feldaist - Quelle bis Prembach	1	Feinkorngranit	1	<= 1 %	oberflächlich zT vergrust	52876	13253	
				2	> 1 % - <= 2 %		42		
				3	> 2 % - <= 5 %		1957		
				4	> 5 % - <= 10 %		5288		
				1	<= 1 %		711		
				2	> 1 % - <= 2 %		166		
				3	> 2 % - <= 5 %		428		
				4	> 5 % - <= 10 %		3120		
		2	Grobkorn Granit und Gneis	1	<= 1 %		652		
				2	> 1 % - <= 2 %		313		
				3	> 2 % - <= 5 %		965		
				4	> 5 % - <= 10 %				
		4	Metamorphite	2	> 1 % - <= 2 %		22		
				3	> 2 % - <= 5 %		147		
				4	> 5 % - <= 10 %		369		
				5	> 10 %		37		
1.2	Prembach	2	Grobkorn Granit und Gneis	4	> 5 % - <= 10 %	k.a.	14904	906	268
						oberflächlich zT vergrust	268		
						4	Metamorphite		
1.3	Feldaist - Prembach bis Grünbach					k.a.	444	0	0
1.4	Grünbach	4	Metamorphite	1	<= 1 %	k.a.	1053	1669	0
				3	> 2 % - <= 5 %	3			
				4	> 5 % - <= 10 %	100			
				5	> 10 %	742			
				oberflächlich zT vergrust	824				
1.5	Feldaist - Grünbach bis Schlagerbach					k.a.	1311	0	0
1.6	Schlager Bach	4	Metamorphite	3	> 2 % - <= 5 %	oberflächlich zT vergrust	13004	5393	0
				4	> 5 % - <= 10 %		286		
				5	> 10 %		2045		
							3062		

1.7	Feldaist - Schlage Bach bis Jaunitzbach					k.a.	10763	0		0
-----	---	--	--	--	--	------	-------	---	--	---

EZ	Abschnitt	Klasse Geologie	Name Geologie	Klasse Gefälle	Wert Gefälle	Grus	Länge [m]	Länge Summe Grus [m]	Länge Grus Klasse Geologie 2 und Klasse Gefälle 4+5 [m]
1.8	Jaunitzbach	1	Feinkorngranit	1	<= 1 %	oberflächlich zT vergrust	24203	24401	
				2	> 1 % - <= 2 %		486		
				3	> 2 % - <= 5 %		256		
				4	> 5 % - <= 10 %		2876		
				5	> 10 %		872		
		2	Grobkorn Granit und Gneis	1	<= 1 %		718		
				2	> 1 % - <= 2 %		221		
				3	> 2 % - <= 5 %		2497		
				4	> 5 % - <= 10 %		5474		
				5	> 10 %		5614		
							5386		
1.8.1	Jaunitzbach - Zubringer Kronbach	1	Feinkorngranit	3	> 2 % - <= 5 %	oberflächlich zT vergrust	9367	15105	
				2	> 1 % - <= 2 %		35		
		2	Grobkorn Granit und Gneis	3	> 2 % - <= 5 %		1914		
				4	> 5 % - <= 10 %		9689		
				5	> 10 %		2102		
							1366		
1.9	Feldaist - Jaunitzbach bis Feistritzbach	2	Grobkorn Granit und Gneis	3	> 2 % - <= 5 %	oberflächlich zT vergrust	25547	4426	4135
				4	> 5 % - <= 10 %		291		
				5	> 10 %		3587		
							548		
1.10	Feistritzbach	1	Feinkorngranit	3	> 2 % - <= 5 %	oberflächlich zT vergrust	77799	59420	
				1	<= 1 %		191		
		2	Grobkorn Granit und Gneis	2	> 1 % - <= 2 %		9		
				3	> 2 % - <= 5 %		933		
				4	> 5 % - <= 10 %		6174		
				5	> 10 %		13131		
							13737		
		4	Metamorphite	1	<= 1 %		6		

				2	> 1 % - <= 2 %		1472	
				3	> 2 % - <= 5 %		3951	
				4	> 5 % - <= 10 %		12380	
				5	> 10 %		7436	

EZ	Abschnitt	Klasse Geologie	Name Geologie	Klasse Gefälle	Wert Gefälle	Grus	Länge [m]	Länge Summe Grus [m]	Länge Grus Klasse Geologie 2 und Klasse Gefälle 4+5 [m]		
1.11	Feldaist - Feistritzbach bis Lester Bach	2	Grobkorn Granit und Gneis	1	<= 1 %	oberflächlich zT vergrust	6380	4380	4380		
				4	> 5 % - <= 10 %		1892				
				5	> 10 %		2488				
				k.a.	1						
1.12	Lester Bach	2	Grobkorn Granit und Gneis	2	> 1 % - <= 2 %	oberflächlich zT vergrust	11543	10673	6171		
				3	> 2 % - <= 5 %		87				
				4	> 5 % - <= 10 %		410				
				5	> 10 %		4006				
				k.a.	4003						
				1	Feinkorngranit		3			> 2 % - <= 5 %	2167
1.13	Feldaist - Lester Bach bis Flanitzbach	2	Grobkorn Granit und Gneis	2	> 1 % - <= 2 %	oberflächlich zT vergrust	8478	9138	7280		
				3	> 2 % - <= 5 %		8				
				4	> 5 % - <= 10 %		1850				
				5	> 10 %		6071				
				k.a.	1208						
1.14	Flanitzbach	2	Grobkorn Granit und Gneis	2	> 1 % - <= 2 %	oberflächlich zT vergrust	2288	35410	30969		
				3	> 2 % - <= 5 %		42				
				4	> 5 % - <= 10 %		4399				
				5	> 10 %		16919				
				k.a.	14050						
1.15	Feldaist - Flanitzbach bis Waldaist	2	Grobkorn Granit und Gneis	1	<= 1 %	oberflächlich zT vergrust	46015	34883			
				2	> 1 % - <= 2 %		190				
				3	> 2 % - <= 5 %		663				
				1	Feinkorngranit		3			> 2 % - <= 5 %	870
				2	> 1 % - <= 2 %		700				
				4	> 5 % - <= 10 %		5985				

				4	> 5 % - <= 10 %		11503	
				5	> 10 %		14971	26474

Tabelle 8: Feldaist – Klassifizierung Nadelwald.

<i>EZ</i>	<i>Abschnitt</i>	<i>Name Geologie</i>	<i>Name Untergruppe Landschaft</i>	<i>Klasse Gefälle</i>	<i>Wert Gefälle</i>	<i>Länge [m]</i>	<i>Gesamtlänge Nadelwald auf Klasse Geologie 2 [m]</i>	<i>Länge Klasse Geologie, Klasse Nadelwald, Klasse Gefälle 4+5 [m]</i>
1.1	Feldaist - Quelle bis Prembach	Grobkorn Granit und Gneis	Nadelwald	1	<= 1 %	55	923	
				2	> 1 % - <= 2 %	40		
				3	> 2 % - <= 5 %	4		
						8		
						13		
						15		
						239		
				4	> 5 % - <= 10 %	3		
						19		
						24		
42								
438								
5	> 10 %	24	549					
1.2	Prembach	Grobkorn Granit und Gneis	Nadelwald			0	0	0
1.3	Feldaist - Prembach bis Grünbach	Grobkorn Granit und Gneis	Nadelwald			0	0	0
1.4	Grünbach	Grobkorn Granit und Gneis	Nadelwald			0	0	0
1.5	Feldaist - Grünbach bis Schlagerbach	Grobkorn Granit und Gneis	Nadelwald			0	0	0
1.6	Schlager Bach	Grobkorn Granit und Gneis	Nadelwald			0	0	0
1.7	Feldaist - Schlage Bach bis Jaunitzbach	Grobkorn Granit und Gneis	Nadelwald			0	0	0
1.8	Jaunitzbach	Grobkorn Granit und Gneis	Nadelwald	2	> 1 % - <= 2 %	4	4029	
						6		
						23		
						107		
						2		
				3	> 2 % - <= 5 %	23		
						33		
						48		
						77		
						104		
106								

<i>EZ</i>	<i>Abschnitt</i>	<i>Name Geologie</i>	<i>Name Untergruppe Landschaft</i>	<i>Klasse Gefälle</i>	<i>Wert Gefälle</i>	<i>Länge</i> [m]	<i>Gesamtlänge Nadelwald auf Klasse Geologie 2</i> [m]	<i>Länge Klasse Geologie, Klasse Nadelwald, Klasse Gefälle 4+5</i> [m]		
						799				
				4	> 5 % - <= 10 %	3		2698		
									11	
									13	
									17	
									25	
									27	
									30	
									52	
									57	
									65	
									96	
									154	
									199	
									530	
			5	> 10 %	5					
									17	
									65	
									77	
									95	
									118	
									156	
									194	
									264	
					428					
1.8.1	Jaunitzbach - Zubringer Kronbach	Grobkorn Granit und Gneis	Nadelwald	2	> 1 % - <= 2 %	13			5217	
						44				
						95				
						163				
						206				
				3	> 2 % - <= 5 %	3				
						9				
						9				
						20				
						30				
						34				
						43				
						53				
						55				
						75				
						90				
						92				
						93				
						128				
						195				
236										
281										
597										

<i>EZ</i>	<i>Abschnitt</i>	<i>Name Geologie</i>	<i>Name Untergruppe Landschaft</i>	<i>Klasse Gefälle</i>	<i>Wert Gefälle</i>	<i>Länge</i> [m]	<i>Gesamtlänge Nadelwald auf Klasse Geologie 2</i> [m]	<i>Länge Klasse Geologie, Klasse Nadelwald, Klasse Gefälle 4+5</i> [m]	
				4	> 5 % - <= 10 %	16 35 85 94 103 370 466		2650	
				5	> 10 %	15 24 43 68 107 115 191 215 225 235 241			
1.9	Feldaist - Jaunitzbach bis Feistritzbach	Grobkorn Granit und Gneis	Nadelwald	4	> 5 % - <= 10 %	0 18 25 37 37 48 65 81 95 108 138 287	988		988
				5	> 10 %	4 12 32			
1.10	Feistritzbach	Grobkorn Granit und Gneis	Nadelwald	1	<= 1 %	9			14628
				2	> 1 % - <= 2 %	395			
				3	> 2 % - <= 5 %	4 17 18 29 43 44 78 84 131 163 351 366			

EZ	Abschnitt	Name Geologie	Name Untergruppe Landschaft	Klasse Gefälle	Wert Gefälle	Länge	Gesamtlänge Nadelwald auf Klasse Geologie 2	Länge Klasse Geologie, Klasse Nadelwald, Klasse Gefälle 4+5
						[m]		
						493		
						807		
				4	> 5 % - <= 10 %	1		11595
						6		
						6		
						7		
						8		
						10		
						31		
						33		
						37		
						40		
						44		
						44		
						47		
						47		
						50		
						68		
						70		
						79		
						108		
						121		
						125		
						125		
						133		
						159		
						161		
						173		
				191				
				219				
				245				
				282				
				391				
				393				
				422				
				476				
				487				
				568				
				5	> 10 %	1		
						2		
						3		
						4		
						6		
						7		
						9		
						12		
				15				
				19				

EZ	Abschnitt	Name Geologie	Name Untergruppe Landschaft	Klasse Gefälle	Wert Gefälle	Länge	Gesamtlänge Nadelwald auf Klasse Geologie 2	Länge Klasse Geologie, Klasse Nadelwald, Klasse Gefälle 4+5
						[m]		
						26		
						27		
						27		
						28		
						33		
						35		
						35		
						36		
						37		
						45		
						47		
						60		
						60		
						60		
						67		
						68		
						90		
						93		
						99		
						108		
						114		
						114		
						117		
						120		
						131		
						153		
						155		
						156		
						160		
						163		
						178		
						180		
						188		
						189		
						194		
						202		
						208		
						223		
						247		
						265		
						268		
						393		
						435		
						480		
1.11	Feldaist - Feistritzbach bis Lester Bach	Grobkorn Granit und Gneis	Nadelwald	4	> 5 % - <= 10 %	0	1859	1859
						27		
						153		
						331		

EZ	Abschnitt	Name Geologie	Name Untergruppe Landschaft	Klasse Gefälle	Wert Gefälle	Länge	Gesamtlänge Nadelwald auf Klasse Geologie 2	Länge Klasse Geologie, Klasse Nadelwald, Klasse Gefälle 4+5
						[m]		
				5	> 10 %	13		
						82		
						155		
						183		
						210		
						324		
						382		
1.12	Lester Bach	Grobkorn Granit und Gneis	Nadelwald	3	> 2 % - <= 5 %	11	869	786
						71		
				4	> 5 % - <= 10 %	15		
						21		
						26		
						193		
				5	> 10 %	32		
						33		
						190		
						276		
1.13	Feldaist - Lester Bach bis Flanitzbach	Grobkorn Granit und Gneis	Nadelwald	3	> 2 % - <= 5 %	1	920	915
						1		
						3		
				4	> 5 % - <= 10 %	7		
						15		
						25		
						27		
						29		
						31		
						96		
						134		
						188		
				5	> 10 %	1		
						77		
						96		
						189		
1.14	Flanitzbach	Grobkorn Granit und Gneis	Nadelwald	3	> 2 % - <= 5 %	2	14017	13030
						68		
						77		
						167		
						218		
						457		
				4	> 5 % - <= 10 %	1		
						2		
						4		
						5		
						9		
						11		
						15		
						40		
						44		

EZ	Abschnitt	Name Geologie	Name Untergruppe Landschaft	Klasse Gefälle	Wert Gefälle	Länge	Gesamtlänge Nadelwald auf Klasse Geologie 2	Länge Klasse Geologie, Klasse Nadelwald, Klasse Gefälle 4+5
						[m]		
						54		
						58		
						59		
						76		
						105		
						117		
						118		
						145		
						154		
						178		
						196		
						213		
						220		
						241		
						274		
						292		
						320		
						328		
						328		
						331		
						344		
						345		
						443		
						479		
						503		
						548		
						3		
						5		
						12		
						14		
						14		
						18		
						19		
						23		
						28		
						37		
				5	> 10 %	39		
						51		
						57		
						75		
						79		
						80		
						81		
						87		
						104		
						107		
						112		
						120		

<i>EZ</i>	<i>Abschnitt</i>	<i>Name Geologie</i>	<i>Name Untergruppe Landschaft</i>	<i>Klasse Gefälle</i>	<i>Wert Gefälle</i>	<i>Länge</i> [m]	<i>Gesamtlänge Nadelwald auf Klasse Geologie 2</i> [m]	<i>Länge Klasse Geologie, Klasse Nadelwald, Klasse Gefälle 4+5</i> [m]
						19		
						25		
						26		
						31		
						31		
						38		
						41		
						44		
						45		
						51		
						55		
						62		
						62		
						63		
						66		
						76		
						90		
						92		
						93		
						112		
						115		
						142		
						150		
						183		
						187		
						205		
						221		
						250		
						324		
						377		

2.2. Waldaist

Tabelle 9: Waldaist – Rückhalt.

<i>EZ</i>	<i>Abschnitt</i>	<i>Rückhalt [m]</i>
2.1	Waldaist - Quelle bis Muckenbach	0
2.2	Muckenbach	-
2.3	Waldaist - Muckenbach bis Kolmbach	0
2.4	Kolmbach	-
2.5	Waldaist - Kolmbach bis Flambbach	253
2.6	Flambbach	14850
2.7	Waldaist - Flambbach bis Harbaist	0
2.8	Harbaist	1928
2.9	Waldaist - Harbaist bis Weiße Aist	384
2.10	Weiße Aist	1671
2.10.1	Weiße Aist - Zubringer Fuchsreiterbach	168
2.11	Waldaist - Weiße Aist bis Stampfenbach	8768
2.12	Stampfenbach	947
2.13	Waldaist - Stampfenbach bis Klambach	1352
2.14	Klambach	1812
2.15	Waldaist - Klambach bis Aist	6290

Tabelle 10: Waldaist – Klassifizierung Gefälle.

EZ	Abschnitt	Klasse Gefälle	Wert Gefälle	Länge [m]	Summe [m]	Summe Klasse 4 u. 5 [m]
2.1	Waldaist - Quelle bis Muckenbach	1	<= 1 %	1059	17328	3091
		2	> 1 % - <= 2 %	5514		
		3	> 2 % - <= 5 %	7665		
		4	> 5 % - <= 10 %	2637		
		5	> 10 %	454		
2.1 nur Land OÖ	Waldaist - Quelle bis Muckenbach	1	<= 1 %	1045	15479	3091
		2	> 1 % - <= 2 %	4426		
		3	> 2 % - <= 5 %	6917		
		4	> 5 % - <= 10 %	2637		
		5	> 10 %	454		
2.2	Muckenbach					
2.3	Waldaist - Muckenbach bis Kolmbach	1	<= 1 %	1	448	169
		2	> 1 % - <= 2 %	0		
		3	> 2 % - <= 5 %	278		
		4	> 5 % - <= 10 %	169		
		5	> 10 %	0		
2.3 nur Land OÖ	Waldaist - Muckenbach bis Kolmbach	1	<= 1 %	1	226	169
		2	> 1 % - <= 2 %	0		
		3	> 2 % - <= 5 %	55		
		4	> 5 % - <= 10 %	169		
		5	> 10 %	0		
2.4	Kolmbach					
2.5	Waldaist - Kolmbach bis Flambach	1	<= 1 %	995	42024	15974
		2	> 1 % - <= 2 %	6420		
		3	> 2 % - <= 5 %	18635		
		4	> 5 % - <= 10 %	12334		
		5	> 10 %	3640		
2.5 nur Land OÖ	Waldaist - Kolmbach bis Flambach	1	<= 1 %	459	38815	15703
		2	> 1 % - <= 2 %	5115		
		3	> 2 % - <= 5 %	17537		
		4	> 5 % - <= 10 %	12068		
		5	> 10 %	3635		
2.6	Flambach	1	<= 1 %	804	28947	12782
		2	> 1 % - <= 2 %	2395		
		3	> 2 % - <= 5 %	12965		
		4	> 5 % - <= 10 %	8977		
		5	> 10 %	3806		
2.7	Waldaist - Flambach bis Harbaist	1	<= 1 %	248	7081	4650
		2	> 1 % - <= 2 %	375		
		3	> 2 % - <= 5 %	1807		
		4	> 5 % - <= 10 %	3581		
		5	> 10 %	1069		
2.8	Harbaist	1	<= 1 %	1601	30072	9759
		2	> 1 % - <= 2 %	4013		
		3	> 2 % - <= 5 %	14700		
		4	> 5 % - <= 10 %	5848		
		5	> 10 %	3911		

EZ	Abschnitt	Klasse Gefälle	Wert Gefälle	Länge [m]	Summe [m]	Summe Klasse 4 u. 5 [m]
2.9	Waldaist - Harbaist bis Weiße Aist	1	<= 1 %	0	24223	19275
		2	> 1 % - <= 2 %	24		
		3	> 2 % - <= 5 %	4924		
		4	> 5 % - <= 10 %	7832		
		5	> 10 %	11443		
2.10	Weiße Aist	1	<= 1 %	60	51562	39026
		2	> 1 % - <= 2 %	2278		
		3	> 2 % - <= 5 %	10198		
		4	> 5 % - <= 10 %	19677		
		5	> 10 %	19349		
2.10.1	Weiße Aist - Zubringer Fuchsreiterbach	1	<= 1 %	974	13673	5107
		2	> 1 % - <= 2 %	2287		
		3	> 2 % - <= 5 %	5305		
		4	> 5 % - <= 10 %	5068		
		5	> 10 %	40		
2.11	Waldaist - Weiße Aist bis Stampfenbach	1	<= 1 %	181	83016	71454
		2	> 1 % - <= 2 %	1030		
		3	> 2 % - <= 5 %	10351		
		4	> 5 % - <= 10 %	26992		
		5	> 10 %	44462		
2.12	Stampfenbach	1	<= 1 %	0	81874	67087
		2	> 1 % - <= 2 %	2671		
		3	> 2 % - <= 5 %	12116		
		4	> 5 % - <= 10 %	18506		
		5	> 10 %	48580		
2.13	Waldaist - Stampfenbach bis Klamm bach	1	<= 1 %	679	50789	40382
		2	> 1 % - <= 2 %	1126		
		3	> 2 % - <= 5 %	8603		
		4	> 5 % - <= 10 %	18499		
		5	> 10 %	21883		
2.14	Klamm bach	1	<= 1 %	2	29826	20531
		2	> 1 % - <= 2 %	1310		
		3	> 2 % - <= 5 %	7983		
		4	> 5 % - <= 10 %	13440		
		5	> 10 %	7091		
2.15	Waldaist - Klamm bach bis Aist	1	<= 1 %	338	71555	49219
		2	> 1 % - <= 2 %	3810		
		3	> 2 % - <= 5 %	18187		
		4	> 5 % - <= 10 %	21797		
		5	> 10 %	27422		

Tabelle 11: Waldaist – Klassifizierung Geologie.

EZ	Abschnitt	Klasse Geologie	Name Geologie	Klasse Gefälle	Wert Gefälle	Länge [m]	Länge Klasse Geologie 2 und Klasse Gefälle 4+5 [m]	
2.1	Waldaist - Quelle bis Muckenbach	0	ka	1	<= 1 %	262		
				2	> 1 % - <= 2 %	341		
				3	> 2 % - <= 5 %	324		
		1	Feinkorngranit	1	<= 1 %	396		
				2	> 1 % - <= 2 %	1675		
				3	> 2 % - <= 5 %	4254		
				4	> 5 % - <= 10 %	1444		
				5	> 10 %	354		
		2	Grobkorn Granit und Gneis	3	> 2 % - <= 5 %	989		
				4	> 5 % - <= 10 %	949		949
		5	Sedimentite	1	<= 1 %	401		
				2	> 1 % - <= 2 %	2218		
				3	> 2 % - <= 5 %	1397		
				4	> 5 % - <= 10 %	244		
				5	> 10 %	100		
2.2	Muckenbach							
2.3	Waldaist - Muckenbach bis Kolmbach	1	Feinkorngranit	1	<= 1 %	1	0	
				3	> 2 % - <= 5 %	25		
				4	> 5 % - <= 10 %	117		
		5	Sedimentite	3	> 2 % - <= 5 %	59		
				4	> 5 % - <= 10 %	48		
2.4	Kolmbach							
2.5	Waldaist - Kolmbach bis Flambach	0	ka	1	<= 1 %	1		
				3	> 2 % - <= 5 %	1796		
				4	> 5 % - <= 10 %	515		
		1	Feinkorngranit	1	<= 1 %	67		
				2	> 1 % - <= 2 %	4539		
				3	> 2 % - <= 5 %	12237		
				4	> 5 % - <= 10 %	8812		
				5	> 10 %	1489		
		2	Grobkorn Granit und Gneis	3	> 2 % - <= 5 %	1691		
				4	> 5 % - <= 10 %	2685		4836
				5	> 10 %	2151		
		5	Sedimentite	1	<= 1 %	650		
				2	> 1 % - <= 2 %	1090		
3	> 2 % - <= 5 %			2227				
4	> 5 % - <= 10 %			131				
2.6	Flambach	0	ka	2	> 1 % - <= 2 %	168	0	
			ka	3	> 2 % - <= 5 %	154		

EZ	Abschnitt	Klasse Geologie	Name Geologie	Klasse Gefälle	Wert Gefälle	Länge [m]	Länge Klasse Geologie 2 und Klasse Gefälle 4+5 [m]
		1	Feinkorngranit	1	<= 1 %	665	
				2	> 1 % - <= 2 %	1079	
				3	> 2 % - <= 5 %	11968	
				4	> 5 % - <= 10 %	8977	
				5	> 10 %	3806	
		5	Sedimentite	1	<= 1 %	138	
				2	> 1 % - <= 2 %	1148	
				3	> 2 % - <= 5 %	843	
2.7	Waldaist - Flammbach bis Harbaist	1	Feinkorngranit	1	<= 1 %	91	803
				3	> 2 % - <= 5 %	1771	
				4	> 5 % - <= 10 %	2908	
				5	> 10 %	508	
		2	Grobkorn Granit und Gneis	4	> 5 % - <= 10 %	442	
				5	> 10 %	361	
		4	Metamorphite	4	> 5 % - <= 10 %	54	
				5	> 10 %	200	
		5	Sedimentite	1	<= 1 %	157	
				2	> 1 % - <= 2 %	375	
				3	> 2 % - <= 5 %	36	
				4	> 5 % - <= 10 %	177	
		2.8	Harbaist	0	ka	1	
2	> 1 % - <= 2 %					644	
3	> 2 % - <= 5 %					398	
4	> 5 % - <= 10 %					425	
1	Feinkorngranit			1	<= 1 %	993	
				2	> 1 % - <= 2 %	2657	
				3	> 2 % - <= 5 %	9367	
				4	> 5 % - <= 10 %	3862	
				5	> 10 %	971	
2	Grobkorn Granit und Gneis			1	<= 1 %	103	
				2	> 1 % - <= 2 %	180	
				3	> 2 % - <= 5 %	3536	
				4	> 5 % - <= 10 %	1373	
				5	> 10 %	2305	
4	Metamorphite			3	> 2 % - <= 5 %	170	
				4	> 5 % - <= 10 %	88	
				5	> 10 %	388	
5	Sedimentite			1	<= 1 %	468	
				2	> 1 % - <= 2 %	532	
				3	> 2 % - <= 5 %	1229	
		4	> 5 % - <= 10 %	100			

EZ	Abschnitt	Klasse Geologie	Name Geologie	Klasse Gefälle	Wert Gefälle	Länge [m]	Länge Klasse Geologie 2 und Klasse Gefälle 4+5 [m]
				5	> 10 %	247	
2.9	Waldaist - Harbaist bis Weiße Aist	1	Feinkorngranit	3	> 2 % - <= 5 %	333	15784
				4	> 5 % - <= 10 %	1407	
				5	> 10 %	1737	
				5	> 10 %	1737	
		2	Grobkorn Granit und Gneis	3	> 2 % - <= 5 %	3352	
				4	> 5 % - <= 10 %	6248	
				5	> 10 %	9536	
		4	Metamorphite	5	> 10 %	47	
		5	Sedimentite	2	> 1 % - <= 2 %	24	
				3	> 2 % - <= 5 %	1239	
4	> 5 % - <= 10 %			177			
5	> 10 %			123			
2.10	Weiße Aist	0	ka	2	> 1 % - <= 2 %	52	15658
				3	> 2 % - <= 5 %	100	
		1	Feinkorngranit	1	<= 1 %	60	
				2	> 1 % - <= 2 %	239	
				3	> 2 % - <= 5 %	5087	
				4	> 5 % - <= 10 %	8460	
				5	> 10 %	12762	
		2	Grobkorn Granit und Gneis	2	> 1 % - <= 2 %	1227	
				3	> 2 % - <= 5 %	3021	
				4	> 5 % - <= 10 %	9760	
				5	> 10 %	5898	
		4	Metamorphite	3	> 2 % - <= 5 %	243	
				4	> 5 % - <= 10 %	855	
				5	> 10 %	460	
		5	Sedimentite	2	> 1 % - <= 2 %	759	
				3	> 2 % - <= 5 %	1747	
				4	> 5 % - <= 10 %	602	
5	> 10 %			229			
2.10.1	Weiße Aist - Zubringer Fuchsreiterbach	1	Feinkorngranit	1	<= 1 %	801	1225
				2	> 1 % - <= 2 %	1347	
				3	> 2 % - <= 5 %	3306	
				4	> 5 % - <= 10 %	3653	
				5	> 10 %	11	
		2	Grobkorn Granit und Gneis	2	> 1 % - <= 2 %	427	
				3	> 2 % - <= 5 %	1776	
				4	> 5 % - <= 10 %	1196	
				5	> 10 %	28	
		5	Sedimentite	1	<= 1 %	173	
				2	> 1 % - <= 2 %	513	

EZ	Abschnitt	Klasse Geologie	Name Geologie	Klasse Gefälle	Wert Gefälle	Länge [m]	Länge Klasse Geologie 2 und Klasse Gefälle 4+5 [m]
				3	> 2 % - <= 5 %	224	
				4	> 5 % - <= 10 %	218	
2.11	Waldaist - Weiße Aist bis Stampfenbach	1	Feinkorngranit	3	> 2 % - <= 5 %	691	
				4	> 5 % - <= 10 %	2257	
				5	> 10 %	1225	
		2	Grobkorn Granit und Gneis	1	<= 1 %	174	50130
				2	> 1 % - <= 2 %	774	
				3	> 2 % - <= 5 %	7385	
				4	> 5 % - <= 10 %	17927	
				5	> 10 %	32203	
		3	sonstige Magmatite	3	> 2 % - <= 5 %	196	
				4	> 5 % - <= 10 %	1243	
				5	> 10 %	4178	
		4	Metamorphite	3	> 2 % - <= 5 %	1274	
				4	> 5 % - <= 10 %	5060	
				5	> 10 %	6716	
		5	Sedimentite	1	<= 1 %	7	
				2	> 1 % - <= 2 %	255	
				3	> 2 % - <= 5 %	807	
				4	> 5 % - <= 10 %	504	
				5	> 10 %	140	
		2.12	Stampfenbach	0	ka	2	> 1 % - <= 2 %
3	> 2 % - <= 5 %					1022	
4	> 5 % - <= 10 %					57	
1	Feinkorngranit			2	> 1 % - <= 2 %	571	
				3	> 2 % - <= 5 %	355	
				4	> 5 % - <= 10 %	1115	
				5	> 10 %	797	
				3	> 2 % - <= 5 %	10023	
2	Grobkorn Granit und Gneis			4	> 5 % - <= 10 %	16053	60589
				5	> 10 %	44536	
				3	> 2 % - <= 5 %	116	
3	sonstige Magmatite			3	> 2 % - <= 5 %	264	
				4	> 5 % - <= 10 %	1188	
				5	> 10 %	1795	
				2	> 1 % - <= 2 %	848	
4	Metamorphite			3	> 2 % - <= 5 %	453	
				4	> 5 % - <= 10 %	93	
		5	> 10 %	1451			
		2	> 1 % - <= 2 %	1027			
1	Feinkorngranit	3	> 2 % - <= 5 %	3964			

EZ	Abschnitt	Klasse Geologie	Name Geologie	Klasse Gefälle	Wert Gefälle	Länge [m]	Länge Klasse Geologie 2 und Klasse Gefälle 4+5 [m]		
				4	> 5 % - <= 10 %	4767			
				5	> 10 %	4024			
		2	Grobkorn Granit und Gneis	1	<= 1 %	9			
				2	> 1 % - <= 2 %	98			
				3	> 2 % - <= 5 %	3416			
				4	> 5 % - <= 10 %	10723			
				5	> 10 %	13763			
		4	Metamorphite	3	> 2 % - <= 5 %	1153			
				4	> 5 % - <= 10 %	2933			
				5	> 10 %	3923			
		5	Sedimentite	1	<= 1 %	670			
				3	> 2 % - <= 5 %	70			
				4	> 5 % - <= 10 %	76			
				5	> 10 %	174			
		2.14	Klammbach	0	ka	2	> 1 % - <= 2 %	604	
						3	> 2 % - <= 5 %	244	
						4	> 5 % - <= 10 %	484	
5	> 10 %					19			
1	Feinkorngranit			3	> 2 % - <= 5 %	216			
				4	> 5 % - <= 10 %	500			
				5	> 10 %	2137			
2	Grobkorn Granit und Gneis			1	<= 1 %	2			
				2	> 1 % - <= 2 %	706			
				3	> 2 % - <= 5 %	6189			
				4	> 5 % - <= 10 %	10892			
				5	> 10 %	4033			
4	Metamorphite			3	> 2 % - <= 5 %	1220			
				4	> 5 % - <= 10 %	1565			
				5	> 10 %	797			
5	Sedimentite			3	> 2 % - <= 5 %	114			
				5	> 10 %	105			
2.15	Waldaist - Klammbach bis Aist			0	ka	2	> 1 % - <= 2 %	33	
						3	> 2 % - <= 5 %	31	
						5	> 10 %	9	
				1	Feinkorngranit	1	<= 1 %	48	
						2	> 1 % - <= 2 %	108	
						3	> 2 % - <= 5 %	662	
						4	> 5 % - <= 10 %	758	
		5	> 10 %			305			
		2	Grobkorn Granit und Gneis	2	> 1 % - <= 2 %	415			
				3	> 2 % - <= 5 %	10022			

<i>EZ</i>	<i>Abschnitt</i>	<i>Klasse Geologie</i>	<i>Name Geologie</i>	<i>Klasse Gefälle</i>	<i>Wert Gefälle</i>	<i>Länge [m]</i>	<i>Länge Klasse Geologie 2 und Klasse Gefälle 4+5 [m]</i>
				4	> 5 % - <= 10 %	13709	37375
				5	> 10 %	23666	
		4	Metamorphite	2	> 1 % - <= 2 %	81	
				3	> 2 % - <= 5 %	3783	
				4	> 5 % - <= 10 %	4630	
				5	> 10 %	2962	
		5	Sedimentite	1	<= 1 %	291	
				2	> 1 % - <= 2 %	3173	
				3	> 2 % - <= 5 %	3690	
				4	> 5 % - <= 10 %	2700	
				5	> 10 %	480	

Tabelle 12: Waldaist – Klassifizierung Geologie – oberflächlich z.T. vergrust.

EZ	Abschnitt	Klasse Geologie	Name Geologie	Klasse Gefälle	Wert Gefälle	Grus	Länge	Länge Summe Grus	Länge Grus Klasse Geologie 2 und Klasse Gefälle 4+5			
							[m]	[m]	[m]			
2.1	Waldaist - Quelle bis Muckenbach	2	Grobkorn Granit und Gneis	3	> 2 % - <= 5 %	k.a.	13500	13500				
					> 5 % - <= 10 %		940	1848				
					oberflächlich zT vergrust		908		908			
2.2	Muckenbach											
2.3	Waldaist - Muckenbach bis Kolmbach					k.a.	251	0	0			
2.4	Kolmbach											
2.5	Waldaist - Kolmbach bis Flambbach	2	Grobkorn Granit und Gneis	3	> 2 % - <= 5 %	k.a.	39044					
					> 5 % - <= 10 %		163	1039				
					oberflächlich zT vergrust		240		876			
							636					
2.6	Flambbach					k.a.	28946	0	0			
2.7	Waldaist - Flambbach bis Harbaist	2	Grobkorn Granit und Gneis	4	> 5 % - <= 10 %	k.a.	6278					
					> 10 %		442	803	803			
					oberflächlich zT vergrust		361					
2.8	Harbaist	1	Feinkorngranit	4	> 5 % - <= 10 %	k.a.	21731					
					> 10 %		919					
					2		Grobkorn Granit und Gneis	2	> 1 % - <= 2 %	23		
									> 2 % - <= 5 %	180	8341	
									> 5 % - <= 10 %	3372		3678
									> 10 %	1373		
					4		Metamorphite	3	> 2 % - <= 5 %	2305		
									> 10 %	170		
2.9	Waldaist - Harbaist bis Weiße Aist	1	Feinkorngranit	3	> 2 % - <= 5 %	k.a.	2075					
					> 5 % - <= 10 %		333					
					> 10 %		1207					
					2		Grobkorn Granit und Gneis	3	> 2 % - <= 5 %	1633		
									> 5 % - <= 10 %	3352	22148	
									> 10 %	6087		15623
				9536								

EZ	Abschnitt	Klasse Geologie	Name Geologie	Klasse Gefälle	Wert Gefälle	Grus	Länge	Länge Summe Grus [m]	Länge Grus Klasse Geologie 2 und Klasse Gefälle 4+5 [m]
							[m]		
2.10	Weiße Aist	1	Feinkorngranit	1	<= 1 %	k.a.	23679	27883	
				2	> 1 % - <= 2 %		58		
				3	> 2 % - <= 5 %		31		
				4	> 5 % - <= 10 %		2391		
				5	> 10 %		3222		
		2	Grobkorn Granit und Gneis	2	> 1 % - <= 2 %		6704		
				3	> 2 % - <= 5 %		1227		
				4	> 5 % - <= 10 %		2964		
				5	> 10 %		8055		
							3230		
2.10.1	Weiße Aist - Zubringer Fuchsreiterbach	2	Grobkorn Granit und Gneis	2	> 1 % - <= 2 %	k.a.	10246	3427	11285
				3	> 2 % - <= 5 %	427			
				4	> 5 % - <= 10 %	1776			
				5	> 10 %	1196			
						28			
2.11	Waldaist - Weiße Aist bis Stampfenbach	1	Feinkorngranit	3	> 2 % - <= 5 %	k.a.	20380	62636	50130
				4	> 5 % - <= 10 %		691		
				5	> 10 %		2257		
		2	Grobkorn Granit und Gneis	1	<= 1 %		1225		
				2	> 1 % - <= 2 %		174		
				3	> 2 % - <= 5 %		774		
				4	> 5 % - <= 10 %		7385		
				5	> 10 %		17927		
							32203		
2.12	Stampfenbach	1	Feinkorngranit	2	> 1 % - <= 2 %	k.a.	8446	73428	60589
				3	> 2 % - <= 5 %		369		
				4	> 5 % - <= 10 %		335		
				5	> 10 %		1115		
		2	Grobkorn Granit und Gneis	3	> 2 % - <= 5 %		797		
				4	> 5 % - <= 10 %		10023		
							16053		

				5	> 10 %		44536		
		4	Metamorphite	2	> 1 % - <= 2 %		199		

EZ	Abschnitt	Klasse Geologie	Name Geologie	Klasse Gefälle	Wert Gefälle	Grus	Länge [m]	Länge Summe Grus [m]	Länge Grus Klasse Geologie 2 und Klasse Gefälle 4+5 [m]	
2.13	Waldaist - Stampfenbach bis Klammbach	1	Feinkorngranit	2	> 1 % - <= 2 %	oberflächlich zT vergrust	1027	41792		
				3	> 2 % - <= 5 %		3964			
				4	> 5 % - <= 10 %		4767			
				5	> 10 %		4024			
		2	Grobkorn Granit und Gneis	1	<= 1 %		9			
				2	> 1 % - <= 2 %		98			
				3	> 2 % - <= 5 %		3416			
				4	> 5 % - <= 10 %		10723			
				5	> 10 %		13763			
2.14	Klammbach	1	Feinkorngranit	3	> 2 % - <= 5 %	oberflächlich zT vergrust	216	24675		
				4	> 5 % - <= 10 %		500			
				5	> 10 %		2137			
		2	Grobkorn Granit und Gneis	1	<= 1 %		2			
				2	> 1 % - <= 2 %		706			
				3	> 2 % - <= 5 %		6189			
				4	> 5 % - <= 10 %		10892			
				5	> 10 %		4033			
										14925
2.15	Waldaist - Klammbach bis Aist	1	Feinkorngranit	2	> 1 % - <= 2 %	oberflächlich zT vergrust	108	48935		
				3	> 2 % - <= 5 %		385			
				4	> 5 % - <= 10 %		564			
				5	> 10 %		68			
		2	Grobkorn Granit und Gneis	2	> 1 % - <= 2 %		415			
				3	> 2 % - <= 5 %		10022			
				4	> 5 % - <= 10 %		13709			
				5	> 10 %		23666			
										37375

Tabelle 13: Waldaist – Klassifizierung Nadelwald.

EZ	Abschnitt	Name Geologie	Name Untergruppe Landschaft	Klasse Gefälle	Wert Gefälle	Länge [m]	Gesamtlänge Nadelwald auf Klasse Geologie 2 [m]	Länge Klasse Geologie, Klasse Nadelwald, Klasse Gefälle 4+5 [m]
2.1	Waldaist - Quelle bis Muckenbach	Grobkorn Granit und Gneis	Nadelwald	3	> 2 % - <= 5 %	49	1092	265
						238		
						540		
				4	> 5 % - <= 10 %	15		
						15		
						235		
2.2	Muckenbach							
2.3	Waldaist - Muckenbach bis Kolmbach	Grobkorn Granit und Gneis	Nadelwald			0	0	
2.4	Kolmbach							
2.5	Waldaist - Kolmbach bis Flambach	Grobkorn Granit und Gneis	Nadelwald	3	> 2 % - <= 5 %	32	1462	1231
						64		
						135		
				4	> 5 % - <= 10 %	324		
						462		
						9		
				5	> 10 %	119		
						126		
						191		
2.6	Flambach	Grobkorn Granit und Gneis	Nadelwald			0	0	
2.7	Waldaist - Flambach bis Harbaist	Grobkorn Granit und Gneis	Nadelwald	5	> 10 %	25	0	0
2.8	Harbaist	Grobkorn Granit und Gneis	Nadelwald	3	> 2 % - <= 5 %	1	2170	1646
						13		
						162		
						349		
				4	> 5 % - <= 10 %	13		
						33		
						48		
						333		
						407		
				5	> 10 %	5		
						11		
						65		
						98		
						140		
						147		
346								
2.9	Waldaist - Harbaist bis Weiße Aist	Grobkorn Granit und Gneis	Nadelwald	3	> 2 % - <= 5 %	1	5132	
						14		
						99		
						122		

EZ	Abschnitt	Name Geologie	Name Untergruppe Landschaft	Klasse Gefälle	Wert Gefälle	Länge	Gesamtlänge Nadelwald auf Klasse Geologie 2	Länge Klasse Geologie, Klasse Nadelwald, Klasse Gefälle 4+5	
						[m]			[m]
				4	> 5 % - <= 10 %	475		4421	
						13			
						32			
						35			
						54			
						68			
						72			
						79			
						99			
						174			
						180			
						325			
						575			
				5	> 10 %	0			
						7			
						7			
						13			
						17			
						27			
						90			
						110			
						118			
						148			
						166			
						186			
						295			
						305			
338									
340									
547									
2.10	Weiße Aist	Grobkorn Granit und Gneis	Nadelwald	2	> 1 % - <= 2 %	7	8534	7490	
						7			
				3	> 2 % - <= 5 %	81			
						117			
						124			
						171			
						245			
						293			
				4	> 5 % - <= 10 %	9			
						14			
						32			
						40			
						44			
						82			
						114			
						164			
				199					

EZ	Abschnitt	Name Geologie	Name Untergruppe Landschaft	Klasse Gefälle	Wert Gefälle	Länge	Gesamtlänge Nadelwald auf Klasse Geologie 2	Länge Klasse Geologie, Klasse Nadelwald, Klasse Gefälle 4+5	
						[m]			[m]
						224			
						230			
						299			
						301			
						325			
						356			
						365			
						449			
						633			
				5	> 10 %	7			
						9			
						13			
						20			
						28			
						34			
						40			
						82			
						82			
						86			
						96			
						117			
						122			
						137			
						163			
						214			
						233			
						263			
						347			
						450			
						494			
						572			
2.10.1	Weiße Aist - Zubringer Fuchsreiterbach	Grobkorn Granit und Gneis	Nadelwald	2	> 1 % - <= 2 %	57	962		
				3	> 2 % - <= 5 %	270			
				4	> 5 % - <= 10 %	89		306	
				5	> 10 %	188			
2.11	Waldaist - Weiße Aist bis Stampfenbach	Grobkorn Granit und Gneis	Nadelwald	1	<= 1 %	3	11503		
				3	> 2 % - <= 5 %	2			
						39			
						51			
						75			
						91			
						781			
				4	> 5 % - <= 10 %	2			
						3			10461
						3			

EZ	Abschnitt	Name Geologie	Name Untergruppe Landschaft	Klasse Gefälle	Wert Gefälle	Länge	Gesamtlänge Nadelwald auf Klasse Geologie 2	Länge Klasse Geologie, Klasse Nadelwald, Klasse Gefälle 4+5
						[m]		
						12		
						25		
						30		
						33		
						33		
						39		
						45		
						56		
						59		
						59		
						60		
						79		
						85		
						95		
						112		
						154		
						160		
						176		
						176		
						177		
						189		
						193		
						201		
						483		
						532		
						549		
				5	> 10 %	3		
				5	> 10 %	3		
				5	> 10 %	3		
				5	> 10 %	5		
				5	> 10 %	6		
				5	> 10 %	10		
				5	> 10 %	13		
				5	> 10 %	21		
				5	> 10 %	22		
				5	> 10 %	25		
				5	> 10 %	29		
				5	> 10 %	30		
				5	> 10 %	30		
				5	> 10 %	34		
				5	> 10 %	35		
				5	> 10 %	35		
				5	> 10 %	43		
				5	> 10 %	47		
				5	> 10 %	55		
				5	> 10 %	56		
				5	> 10 %	57		
				5	> 10 %	58		

EZ	Abschnitt	Name Geologie	Name Untergruppe Landschaft	Klasse Gefälle	Wert Gefälle	Länge	Gesamtlänge Nadelwald auf Klasse Geologie 2	Länge Klasse Geologie, Klasse Nadelwald, Klasse Gefälle 4+5
						[m]		
						61		
						64		
						66		
						67		
						72		
						81		
						82		
						110		
						124		
						127		
						139		
						148		
						175		
						181		
						196		
						204		
						204		
						207		
						212		
						230		
						233		
						242		
						253		
						269		
						276		
						296		
						296		
						401		
						409		
						597		
2.12	Stampfenbach	Grobkorn Granit und Gneis	Nadelwald	3	> 2 % - <= 5 %	1	20624	
						1		
						3		
						4		
						17		
						36		
						57		
						59		
						64		
						70		
						94		
						291		
						4		
				2				
				7				
				12				
				12				
				12				
				12				

EZ	Abschnitt	Name Geologie	Name Untergruppe Landschaft	Klasse Gefälle	Wert Gefälle	Länge	Gesamtlänge Nadelwald auf Klasse Geologie 2	Länge Klasse Geologie, Klasse Nadelwald, Klasse Gefälle 4+5
						[m]		
						15		
						21		
						24		
						29		
						34		
						51		
						51		
						55		
						63		
						63		
						87		
						89		
						91		
						113		
						121		
						129		
						136		
						165		
						166		
						171		
						184		
						216		
						272		
						310		
						583		
						583		
						1		
						1		
						1		
						1		
						2		
						2		
						2		
						2		
						3		
						3		
				5	> 10 %	4		
						5		
						5		
						6		
						6		
						8		
						10		
						12		
						14		
						14		
						16		
						19		

EZ	Abschnitt	Name Geologie	Name Untergruppe Landschaft	Klasse Gefälle	Wert Gefälle	Länge [m]	Gesamtlänge Nadelwald auf Klasse Geologie 2 [m]	Länge Klasse Geologie, Klasse Nadelwald, Klasse Gefälle 4+5 [m]
						20		
						21		
						21		
						24		
						24		
						26		
						28		
						32		
						32		
						34		
						35		
						36		
						42		
						46		
						47		
						52		
						56		
						56		
						58		
						60		
						62		
						62		
						63		
						64		
						66		
						68		
						68		
						70		
						70		
						71		
						72		
						74		
						77		
						82		
						86		
						86		
						92		
						93		
						94		
						95		
						96		
						97		
						105		
						109		
						114		
						116		
						119		
						120		

EZ	Abschnitt	Name Geologie	Name Untergruppe Landschaft	Klasse Gefälle	Wert Gefälle	Länge	Gesamtlänge Nadelwald auf Klasse Geologie 2	Länge Klasse Geologie, Klasse Nadelwald, Klasse Gefälle 4+5
						[m]		
						123		
						127		
						130		
						134		
						141		
						142		
						156		
						170		
						172		
						175		
						175		
						182		
						186		
						188		
						193		
						220		
						232		
						232		
						249		
						255		
						267		
						274		
						276		
						276		
						303		
						315		
						343		
						359		
						376		
						381		
						392		
						398		
						411		
						428		
						435		
						476		
						493		
						509		
						576		
						578		
						580		
						755		
2.13	Waldaist - Stampfenbach bis Klammbach	Grobkorn Granit und Gneis	Nadelwald	3	> 2 % - <= 5 %	1	5317	
						12		
						36		
						39		
						93		
94								

EZ	Abschnitt	Name Geologie	Name Untergruppe Landschaft	Klasse Gefälle	Wert Gefälle	Länge	Gesamtlänge Nadelwald auf Klasse Geologie 2	Länge Klasse Geologie, Klasse Nadelwald, Klasse Gefälle 4+5
						[m]		
				4	> 5 % - <= 10 %	110	4321	
						128		
						178		
						305		
						0		
						2		
						5		
						6		
						7		
						9		
						27		
						30		
						44		
						73		
						109		
				5	> 10 %	126		
						146		
						200		
						223		
						321		
						354		
						413		
						0		
						1		
						6		
						6		
						33		
						42		
						42		
						43		
						48		
						56		
						63		
80								
82								
84								
95								
102								
102								
140								
144								
146								
152								
197								
233								
329								
2.14	Klammbach	Grobkorn Granit und	Nadelwald	3	> 2 % - <= 5 %	26	1936	
						45		

EZ	Abschnitt	Name Geologie	Name Untergruppe Landschaft	Klasse Gefälle	Wert Gefälle	Länge [m]	Gesamtlänge Nadelwald auf Klasse Geologie 2 [m]	Länge Klasse Geologie, Klasse Nadelwald, Klasse Gefälle 4+5 [m]
						83		
						91		
						114		
						137		
						172		
						179		
						205		
						214		
						220		
						221		
						224		
						240		
						247		
						310		
						439		
						542		
						832		
				5	> 10 %	1		
				5	> 10 %	1		
				5	> 10 %	1		
				5	> 10 %	7		
				5	> 10 %	13		
				5	> 10 %	16		
				5	> 10 %	17		
				5	> 10 %	31		
				5	> 10 %	34		
				5	> 10 %	36		
				5	> 10 %	44		
				5	> 10 %	45		
				5	> 10 %	59		
				5	> 10 %	64		
				5	> 10 %	64		
				5	> 10 %	67		
				5	> 10 %	87		
				5	> 10 %	111		
				5	> 10 %	133		
				5	> 10 %	196		
				5	> 10 %	200		
				5	> 10 %	225		
				5	> 10 %	249		
				5	> 10 %	255		
				5	> 10 %	265		
				5	> 10 %	331		
				5	> 10 %	365		
				5	> 10 %	373		
				5	> 10 %	382		
				5	> 10 %	394		
				5	> 10 %	412		

<i>EZ</i>	<i>Abschnitt</i>	<i>Name Geologie</i>	<i>Name Untergruppe Landschaft</i>	<i>Klasse Gefälle</i>	<i>Wert Gefälle</i>	<i>Länge</i> [m]	<i>Gesamtlänge Nadelwald auf Klasse Geologie 2</i> [m]	<i>Länge Klasse Geologie, Klasse Nadelwald, Klasse Gefälle 4+5</i> [m]
						878		

2.3. Aist

Tabelle 14: Aist – Rückhalt.

EZ	Abschnitt	Rückhalt [m]
3.1	Aist - Waldaist bis Kettenbach	0
3.2	Kettenbach	11532
3.3	Aist - Kettenbach bis Windegger Bach	701
3.4	Windegger Bach	0
3.5	Aist - Windeggerbach bis Donau	0

Tabelle 15: Aist – Klassifizierung Gefälle.

EZ	Abschnitt	Klasse Gefälle	Wert Gefälle	Länge [m]	Summe [m]	Summe Klasse 4 u. 5 [m]
3.1	Aist - Waldaist bis Kettenbach	1	<= 1 %	0	426	426
		2	> 1 % - <= 2 %	0		
		3	> 2 % - <= 5 %	0		
		4	> 5 % - <= 10 %	0		
		5	> 10 %	426		
3.2	Kettenbach	1	<= 1 %	4458	132830	70963
		2	> 1 % - <= 2 %	12556		
		3	> 2 % - <= 5 %	44852		
		4	> 5 % - <= 10 %	52442		
		5	> 10 %	18522		
3.3	Aist - Kettenbach bis Windegger Bach	1	<= 1 %	2180	36295	22633
		2	> 1 % - <= 2 %	2457		
		3	> 2 % - <= 5 %	9025		
		4	> 5 % - <= 10 %	13382		
		5	> 10 %	9251		
3.4	Windegger Bach	1	<= 1 %	1	31427	22471
		2	> 1 % - <= 2 %	1092		
		3	> 2 % - <= 5 %	7863		
		4	> 5 % - <= 10 %	14052		
		5	> 10 %	8419		
3.5	Aist - Windeggerbach bis Donau	1	<= 1 %	0	0	0
		2	> 1 % - <= 2 %	0		
		3	> 2 % - <= 5 %	0		
		4	> 5 % - <= 10 %	0		
		5	> 10 %	0		

Tabelle 16: Aist – Klassifizierung Geologie.

EZ	Abschnitt	Klasse Geologie	Name Geologie	Klasse Gefälle	Wert Gefälle	Länge [m]	Länge Klasse Geologie 2 und Klasse Gefälle 4+5 [m]
3.1	Aist - Waldaist bis Kettenbach	1	Feinkorngranit	5	> 10 %	138	
		2	Grobkorn Granit und Gneis	5	> 10 %	240	240
		5	Sedimentite	5	> 10 %	48	
3.2	Kettenbach	0	ka	3	> 2 % - <= 5 %	250	
				4	> 5 % - <= 10 %	70	
		1	Feinkorngranit	1	<= 1 %	3599	
				2	> 1 % - <= 2 %	9506	
				3	> 2 % - <= 5 %	31330	
				4	> 5 % - <= 10 %	42276	
				5	> 10 %	12164	
		2	Grobkorn Granit und Gneis	3	> 2 % - <= 5 %	3330	
				4	> 5 % - <= 10 %	4734	9488
				5	> 10 %	4753	
		4	Metamorphite	2	> 1 % - <= 2 %	1177	
				3	> 2 % - <= 5 %	3853	
				4	> 5 % - <= 10 %	3929	
				5	> 10 %	1343	
		5	Sedimentite	1	<= 1 %	859	
				2	> 1 % - <= 2 %	1874	
				3	> 2 % - <= 5 %	6089	
				4	> 5 % - <= 10 %	1433	
				5	> 10 %	261	
		3.3	Aist - Kettenbach bis Windegger Bach	1	Feinkorngranit	1	<= 1 %
2	> 1 % - <= 2 %					1444	
3	> 2 % - <= 5 %					4078	
4	> 5 % - <= 10 %					7841	
5	> 10 %					7848	
2	Grobkorn Granit und Gneis			2	> 1 % - <= 2 %	193	
				3	> 2 % - <= 5 %	6	
				4	> 5 % - <= 10 %	274	274
3	sonstige Magmatite			4	> 5 % - <= 10 %	175	
4	Metamorphite			3	> 2 % - <= 5 %	124	
				4	> 5 % - <= 10 %	402	
5	Sedimentite			1	<= 1 %	2010	
				2	> 1 % - <= 2 %	820	
				3	> 2 % - <= 5 %	4817	
		4	> 5 % - <= 10 %	4689			
5	> 10 %	1403					

EZ	Abschnitt	Klasse Geologie	Name Geologie	Klasse Gefälle	Wert Gefälle	Länge [m]	Länge Klasse Geologie 2 und Klasse Gefälle 4+5 [m]
3.4	Windegger Bach	1	Feinkorngranit	2	> 1 % - <= 2 %	1	7190
				3	> 2 % - <= 5 %	4434	
				4	> 5 % - <= 10 %	8124	
				5	> 10 %	3529	
		2	Grobkorn Granit und Gneis	3	> 2 % - <= 5 %	1675	
				4	> 5 % - <= 10 %	3112	
				5	> 10 %	4078	
		5	Sedimentite	2	> 1 % - <= 2 %	1091	
				3	> 2 % - <= 5 %	1754	
				4	> 5 % - <= 10 %	2816	
5	> 10 %			812			
3.5	Aist - Windeggerbach bis Donau					0	0

Tabelle 17: Aist – Klassifizierung Geologie – oberflächlich z.T. vergrüst.

EZ	Abschnitt	Klasse Geologie	Name Geologie	Klasse Gefälle	Wert Gefälle	Grus	Länge [m]	Länge Summe Grus [m]	Länge Grus Klasse Geologie 2 und Klasse Gefälle 4+5 [m]
3.1	Aist - Waldaist bis Kettenbach					k.a.	48		
		1	Feinkorngranit	5	> 10 %	oberflächlich zT vergrüst	138	378	240
		2	Grobkorn Granit und Gneis	5	> 10 %		240		
3.2	Kettenbach					k.a.	21137		
		1	Feinkorngranit	1	<= 1 %	oberflächlich zT vergrüst	3599	111693	
				2	> 1 % - <= 2 %		9506		
				3	> 2 % - <= 5 %		31330		
				4	> 5 % - <= 10 %		42276		
				5	> 10 %		12164		
		2	Grobkorn Granit und Gneis	3	> 2 % - <= 5 %	3330			
				4	> 5 % - <= 10 %	4734			
				5	> 10 %	4753			
							9488		
3.3	Aist - Kettenbach bis Windegger Bach					k.a.	14440		
		1	Feinkorngranit	1	<= 1 %	oberflächlich zT vergrüst	171	21855	
				2	> 1 % - <= 2 %		1444		
				3	> 2 % - <= 5 %		4078		
				4	> 5 % - <= 10 %		7841		
				5	> 10 %		7848		
		2	Grobkorn Granit und Gneis	2	> 1 % - <= 2 %	193			
				3	> 2 % - <= 5 %	6			
				4	> 5 % - <= 10 %	274			
							274		
3.4	Windegger Bach					k.a.	6473		
		1	Feinkorngranit	2	> 1 % - <= 2 %	oberflächlich zT vergrüst	1	24953	
				3	> 2 % - <= 5 %		4434		
				4	> 5 % - <= 10 %		8124		
				5	> 10 %		3529		
		2	Grobkorn Granit und Gneis	3	> 2 % - <= 5 %	1675			
				4	> 5 % - <= 10 %	3112			
				5	> 10 %	4078			
							7190		

3.5	Aist - Windeggerbach bis Donau						0	0	0
-----	--------------------------------------	--	--	--	--	--	---	---	---

Tabelle 18: Aist – Klassifizierung Nadelwald.

EZ	Abschnitt	Name Geologie	Name Untergruppe Landschaft	Klasse Gefälle	Wert Gefälle	Länge	Gesamtlänge Nadelwald auf Klasse Geologie 2	Länge Klasse Geologie, Klasse Nadelwald, Klasse Gefälle 4+5
						[m]		
3.1	Aist - Waldaist bis Kettenbach	Grobkorn Granit und Gneis	Nadelwald			0	0	0
3.2	Kettenbach	Grobkorn Granit und Gneis	Nadelwald	3	> 2 % - <= 5 %	6	1827	1563
						42		
						71		
						146		
				4	> 5 % - <= 10 %	20		
						30		
						67		
						68		
						100		
				5	> 10 %	174		
						0		
						2		
						6		
						23		
						31		
						33		
						64		
66								
70								
84								
113								
262								
351								
3.3	Aist - Kettenbach bis Windegger Bach	Grobkorn Granit und Gneis	Nadelwald	3	> 2 % - <= 5 %	6	6	0
3.4	Windegger Bach	Grobkorn Granit und Gneis	Nadelwald			0	0	0
3.5	Aist - Windeggerbach bis Donau					0	0	0

3. Grafische Auswertung der Klassifizierungen je Einzugsgebiet

3.1. Übersicht der Einzugsgebiete

Übersicht Einzugsgebiete für EZG Analysen

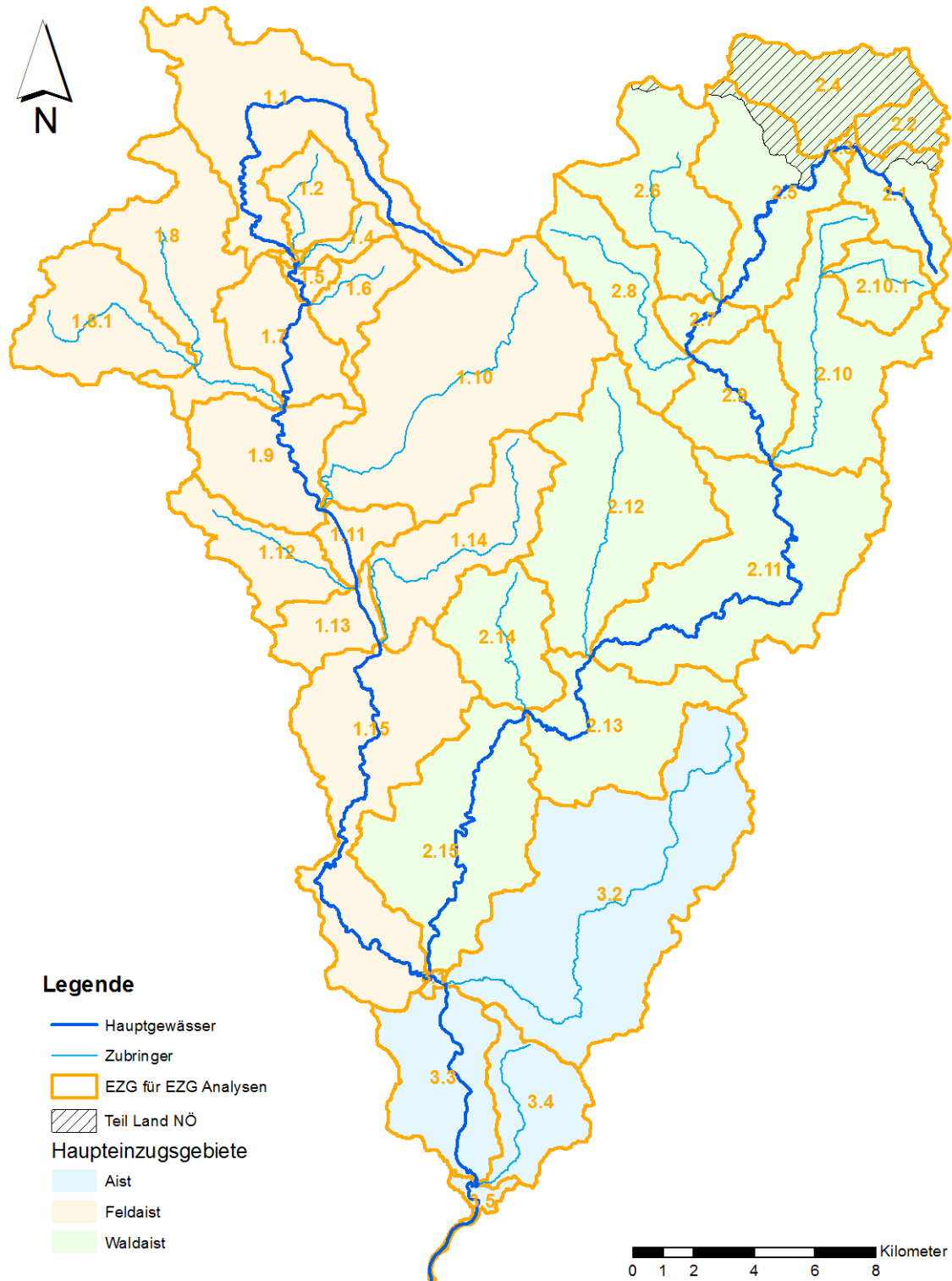


Abbildung 7: Übersicht Einzugsgebiete.

Tabelle 19: Übersicht Einzugsgebiete.

<i>Haupt EZ</i>	<i>EZ</i>	<i>Name</i>
Feldaist	1.1	Feldaist - Quelle bis Prembach
	1.2	Prembach
	1.3	Feldaist - Prembach bis Grünbach
	1.4	Grünbach
	1.5	Feldaist - Grünbach bis Schlagerbach
	1.6	Schlager Bach
	1.7	Feldaist - Schlage Bach bis Jaunitzbach
	1.8	Jaunitzbach
	1.8.1	Jaunitzbach - Zubringer Kronbach
	1.9	Feldaist - Jaunitzbach bis Feistritzbach
	1.10	Feistritzbach
	1.11	Feldaist - Feistritzbach bis Lester Bach
	1.12	Lester Bach
	1.13	Feldaist - Lester Bach bis Flanitzbach
	1.14	Flanitzbach
1.15	Feldaist - Flanitzbach bis Waldaist	
Waldaist	2.1	Waldaist - Quelle bis Muckenbach
	2.2	Muckenbach
	2.3	Waldaist - Muckenbach bis Kolmbach
	2.4	Kolmbach
	2.5	Waldaist - Kolmbach bis Flambach
	2.6	Flambach
	2.7	Waldaist - Flambach bis Harbaist
	2.8	Harbaist
	2.9	Waldaist - Harbaist bis Weiße Aist
	2.10	Weiße Aist
	2.10.1	Weiße Aist - Zubringer Fuchsreiterbach
	2.11	Waldaist - Weiße Aist bis Stampfenbach
	2.12	Stampfenbach
	2.13	Waldaist - Stampfenbach bis Klambach
	2.14	Klambach
2.15	Waldaist - Klambach bis Aist	
Aist	3.1	Aist - Waldaist bis Kettenbach
	3.2	Kettenbach
	3.3	Aist - Kettenbach bis Windegger Bach
	3.4	Windegger Bach
	3.5	Aist - Windeggerbach bis Donau

3.2. Feldaist

FELDAIST - EZ 1.1 - Klassen Gefälle und Geologie

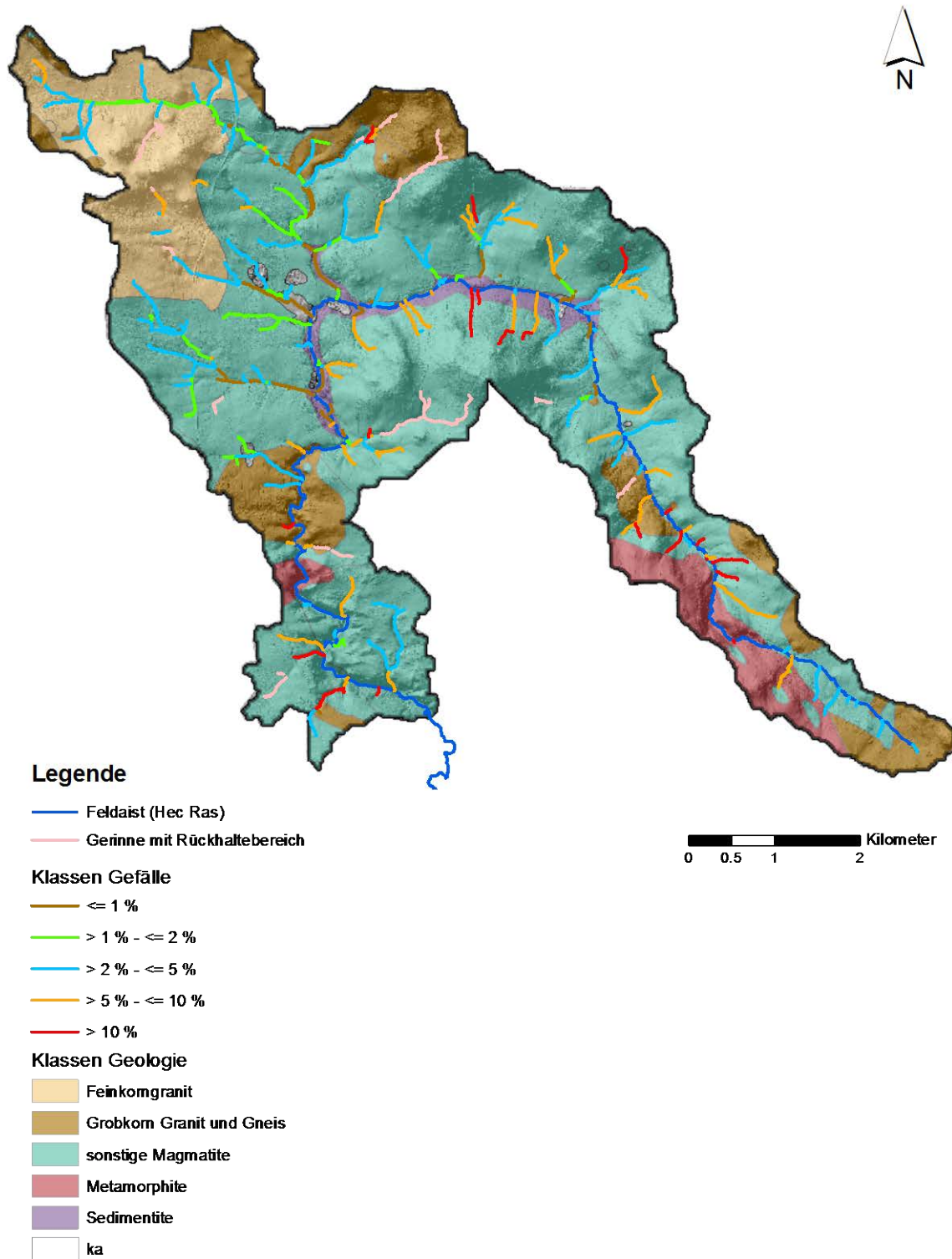


Abbildung 8: Feldaist – EZ 1.1 – Klassen Gefälle und Geologie.

FELDAIST - EZ 1.1 - Klassen Gefälle und Landschaftserhebung

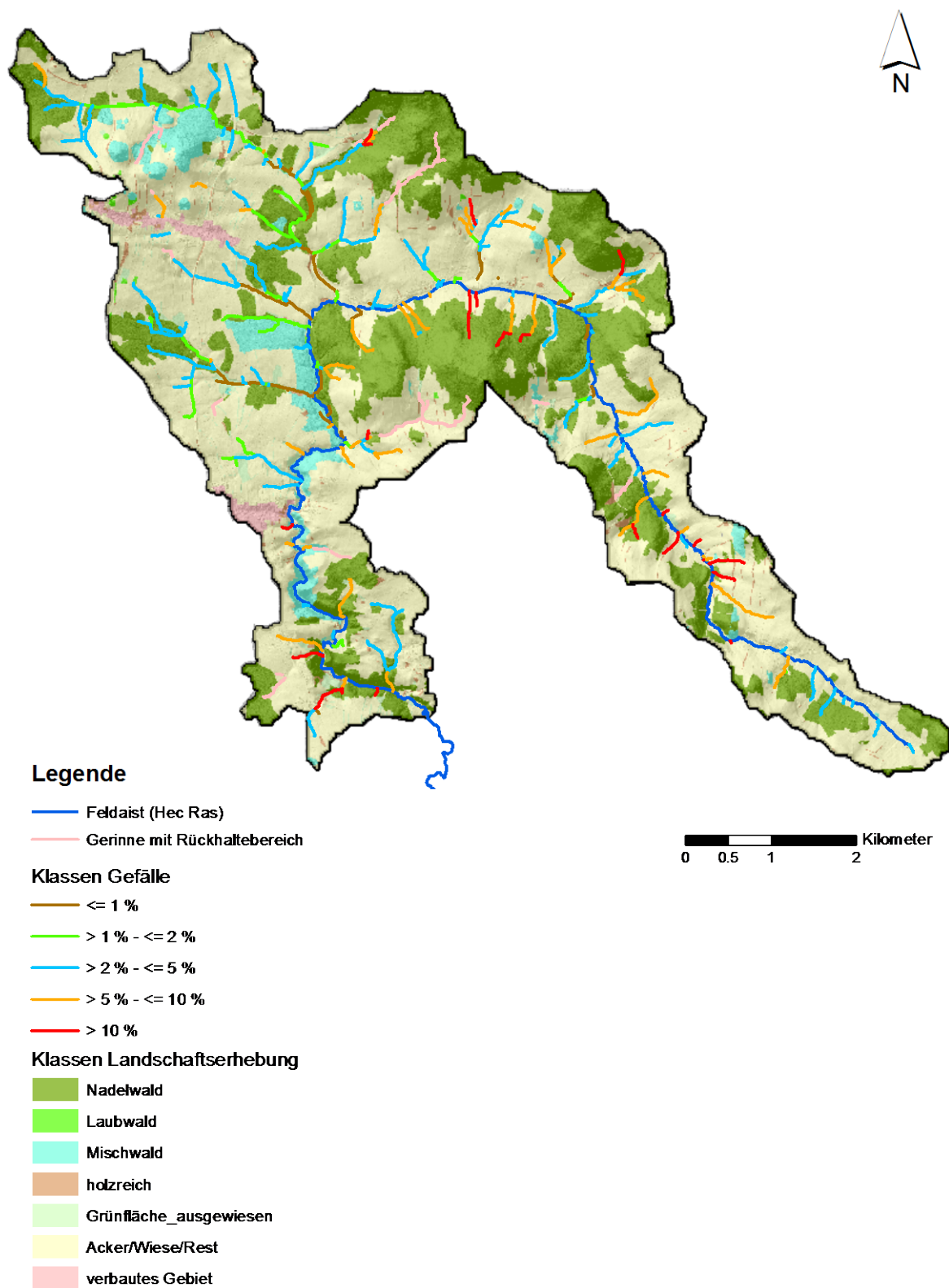


Abbildung 9: Felddaist – EZ 1.1 – Klassen Gefälle und Nadelwald.

FELDAIST - EZ 1.2 - Klassen Gefälle und Geologie

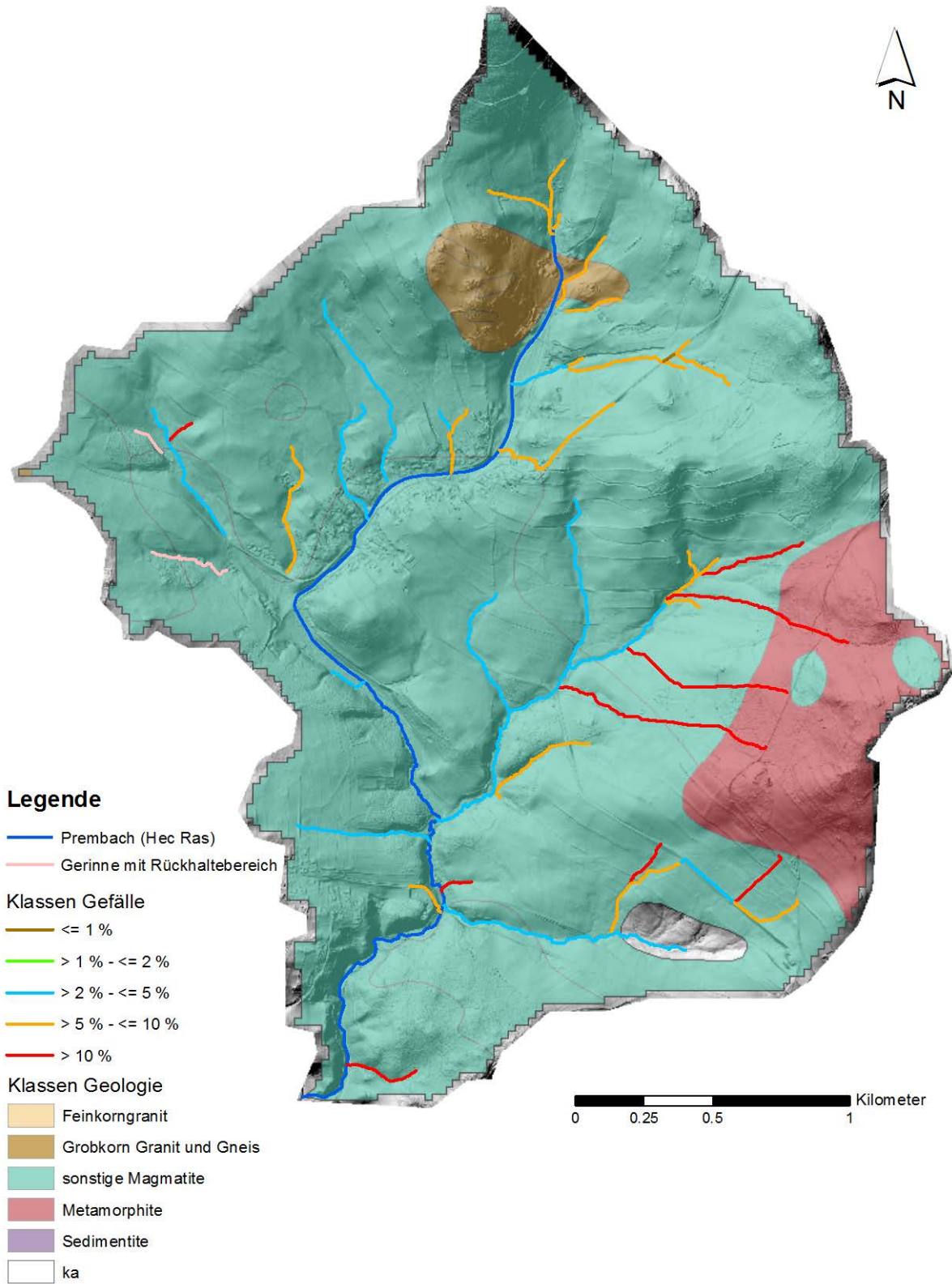


Abbildung 10: Feldaist – EZ 1.2 – Klassen Gefälle und Geologie.

FELDAIST - EZ 1.2 - Klassen Gefälle und Landschaftserhebung

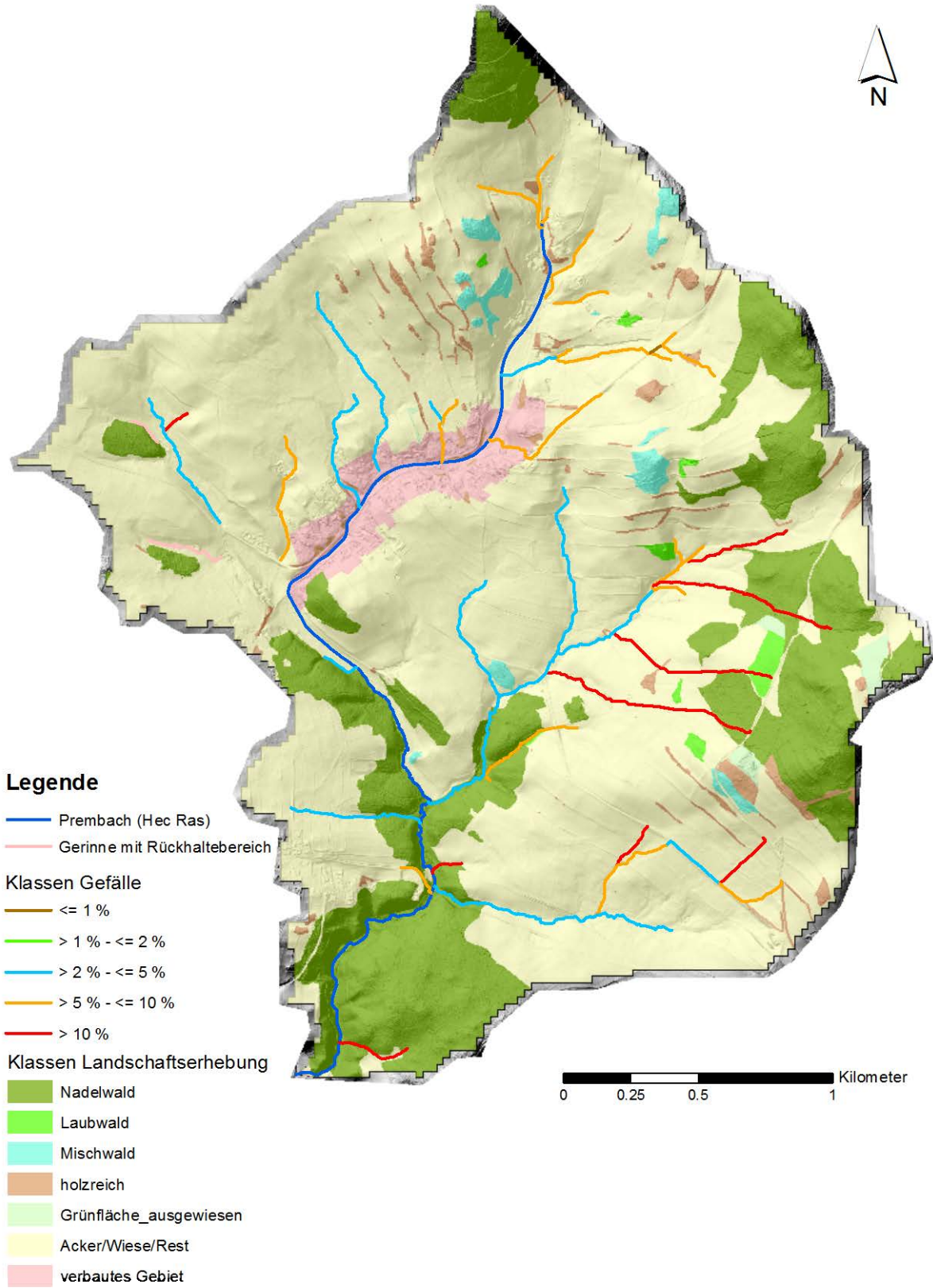


Abbildung 11: Feldaist – EZ 1.2 – Klassen Gefälle und Nadelwald.

FELDAIST - EZ 1.3 - Klassen Gefälle und Geologie

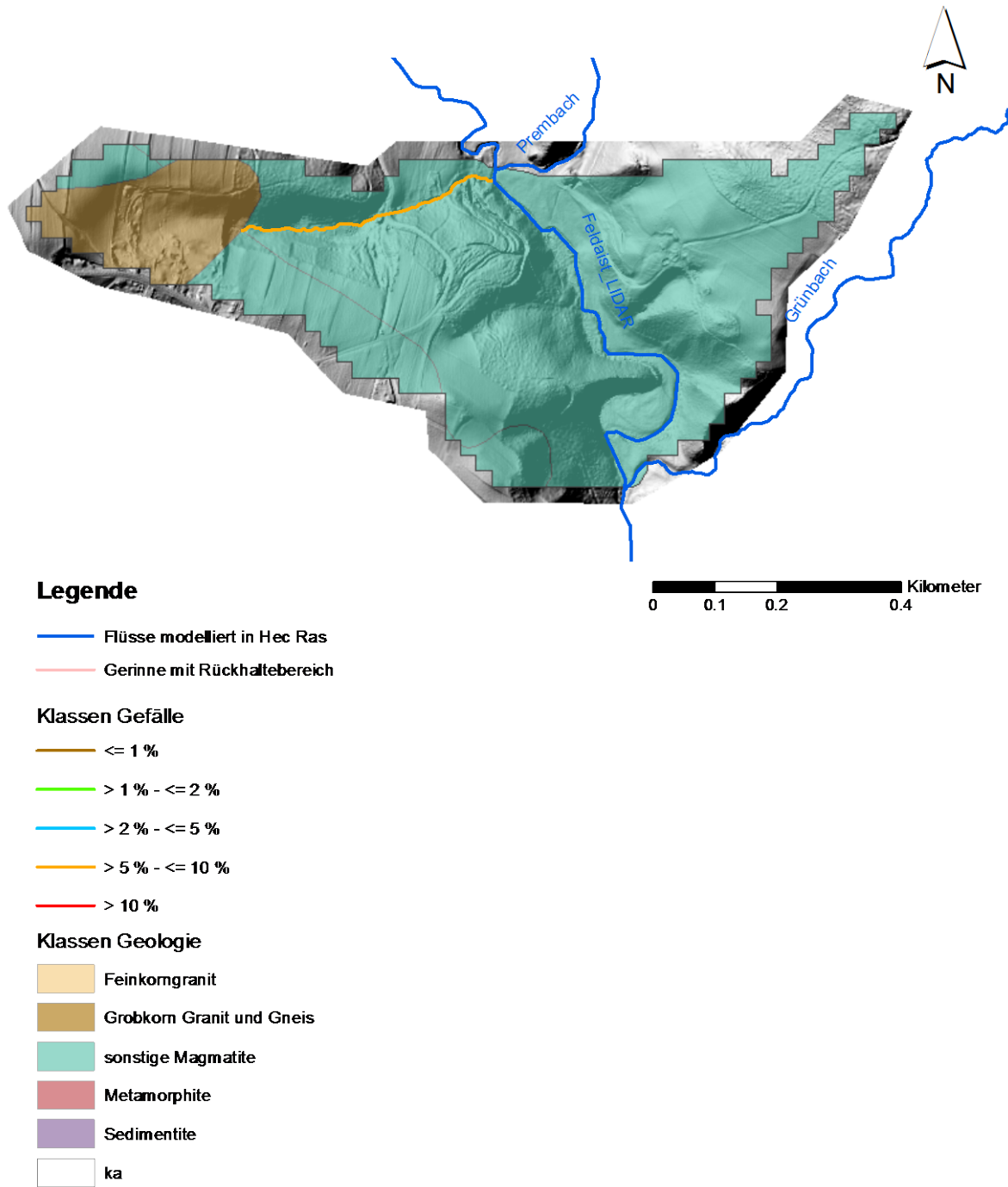


Abbildung 12: Feldaist – EZ 1.3 – Klassen Gefälle und Geologie.

FELDAIST - EZ 1.3 - Klassen Gefälle und Landschaftserhebung

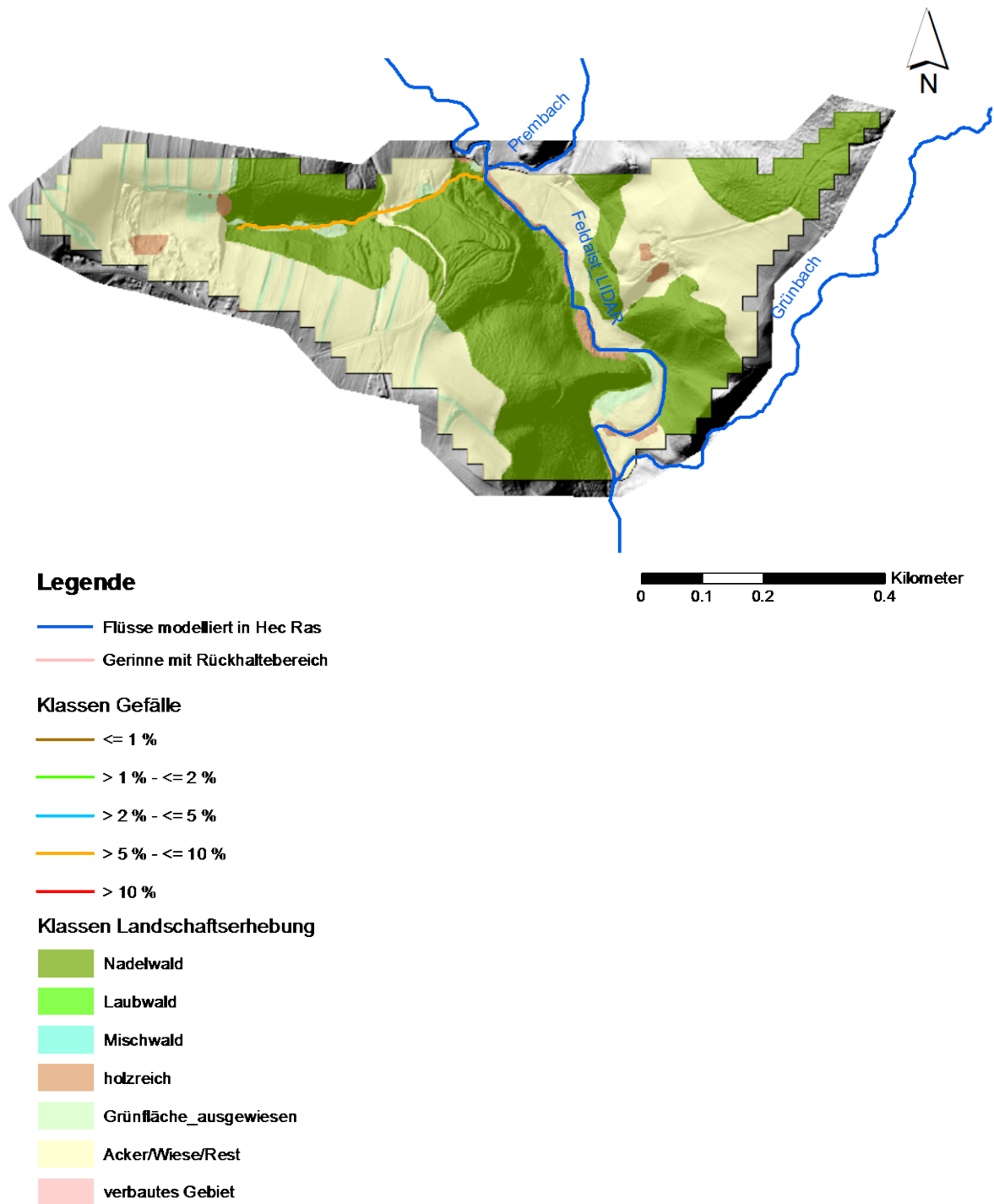
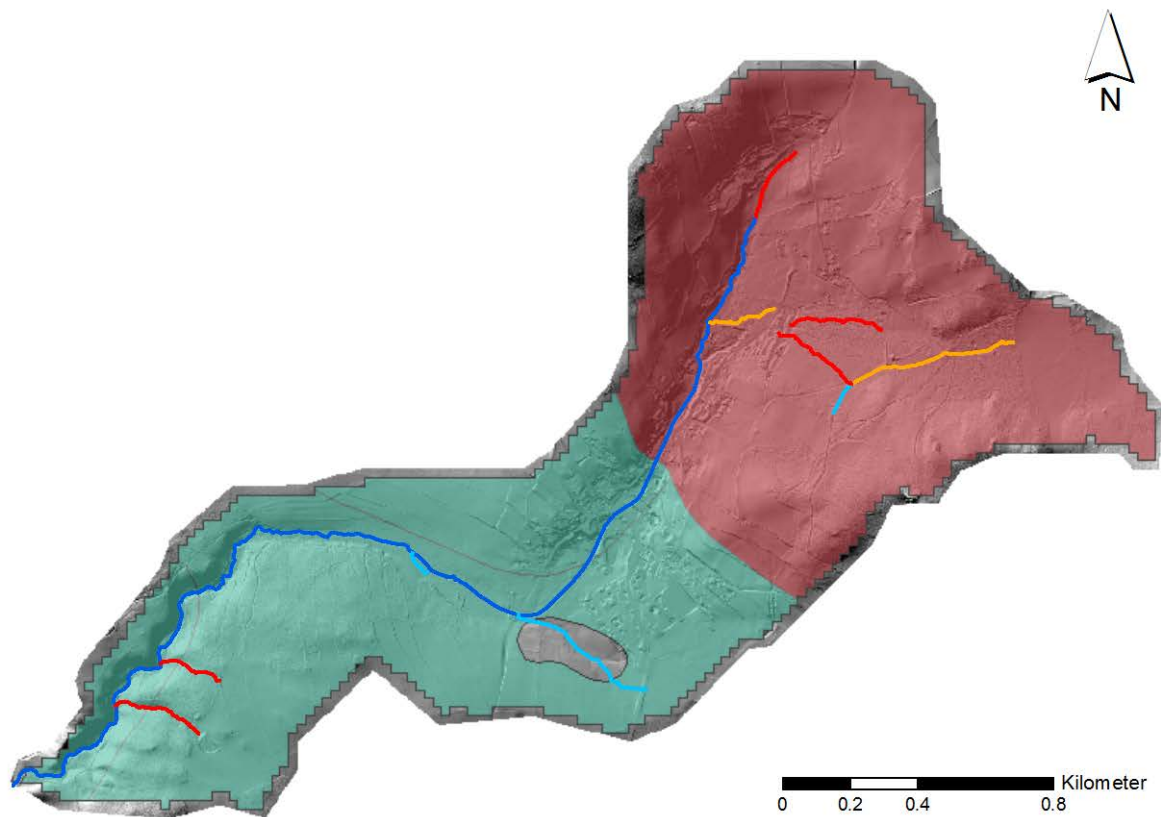


Abbildung 13: Feldeist – EZ 1.3 – Klassen Gefälle und Nadelwald.

FELDAIST - EZ 1.4 - Klassen Gefälle und Geologie



Legende

- Grünbach (Hec Ras)
- Gerinne mit Rückhaltebereich

Klassen Gefälle

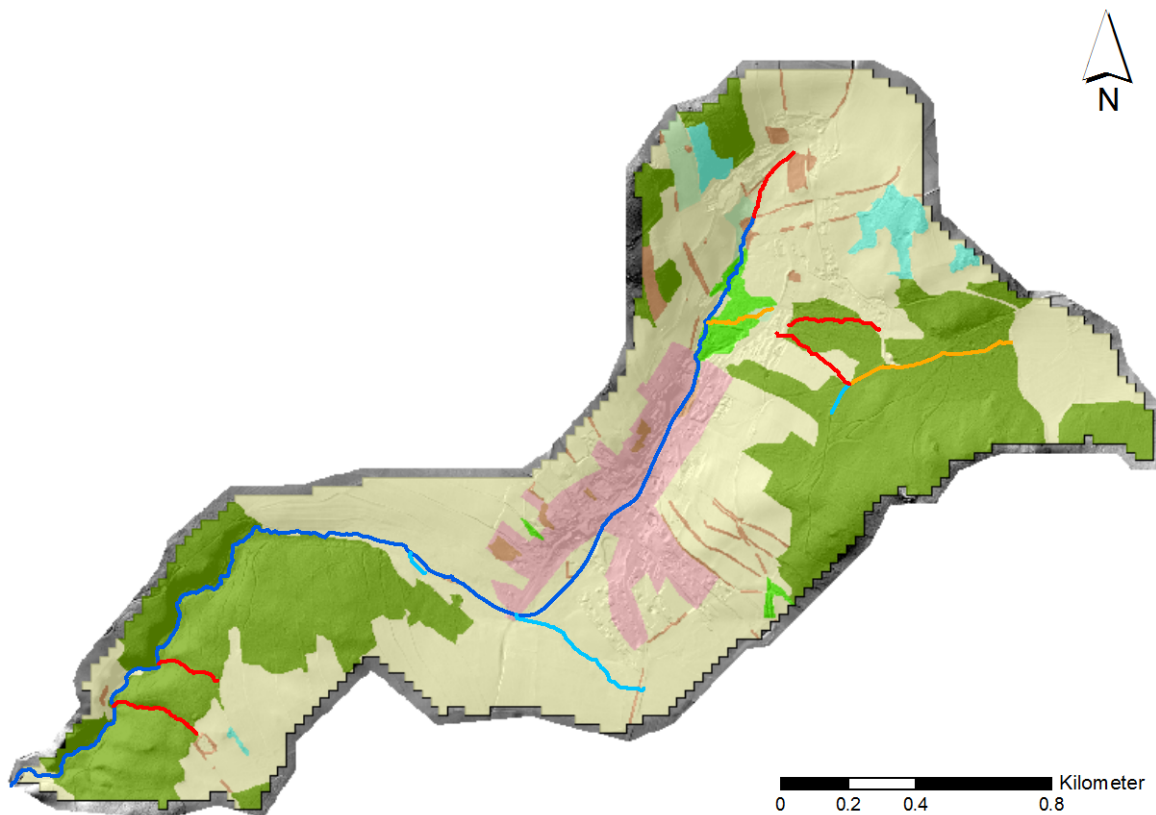
- $\leq 1 \%$
- $> 1 \%$ - $\leq 2 \%$
- $> 2 \%$ - $\leq 5 \%$
- $> 5 \%$ - $\leq 10 \%$
- $> 10 \%$

Klassen Geologie

- Feinkomgranit
- Grobkorn Granit und Gneis
- sonstige Magmatite
- Metamorphite
- Sedimentite
- ka

Abbildung 14: Feldaist – EZ 1.4 – Klassen Gefälle und Geologie.

FELDAIST - EZ 1.4 - Klassen Gefälle und Landschaftserhebung



Legende

- Grünbach (Hec Ras)
- Gerinne mit Rückhaltebereich

Klassen Gefälle

- $\leq 1 \%$
- $> 1 \%$ - $\leq 2 \%$
- $> 2 \%$ - $\leq 5 \%$
- $> 5 \%$ - $\leq 10 \%$
- $> 10 \%$

Klassen Landschaftserhebung

- Nadelwald
- Laubwald
- Mischwald
- holzreich
- Grünfläche_ausgewiesen
- Acker/Wiese/Rest
- verbautes Gebiet

Abbildung 15: Feldaist – EZ 1.4 – Klassen Gefälle und Nadelwald.

FELDAIST - EZ 1.5 - Klassen Gefälle und Geologie

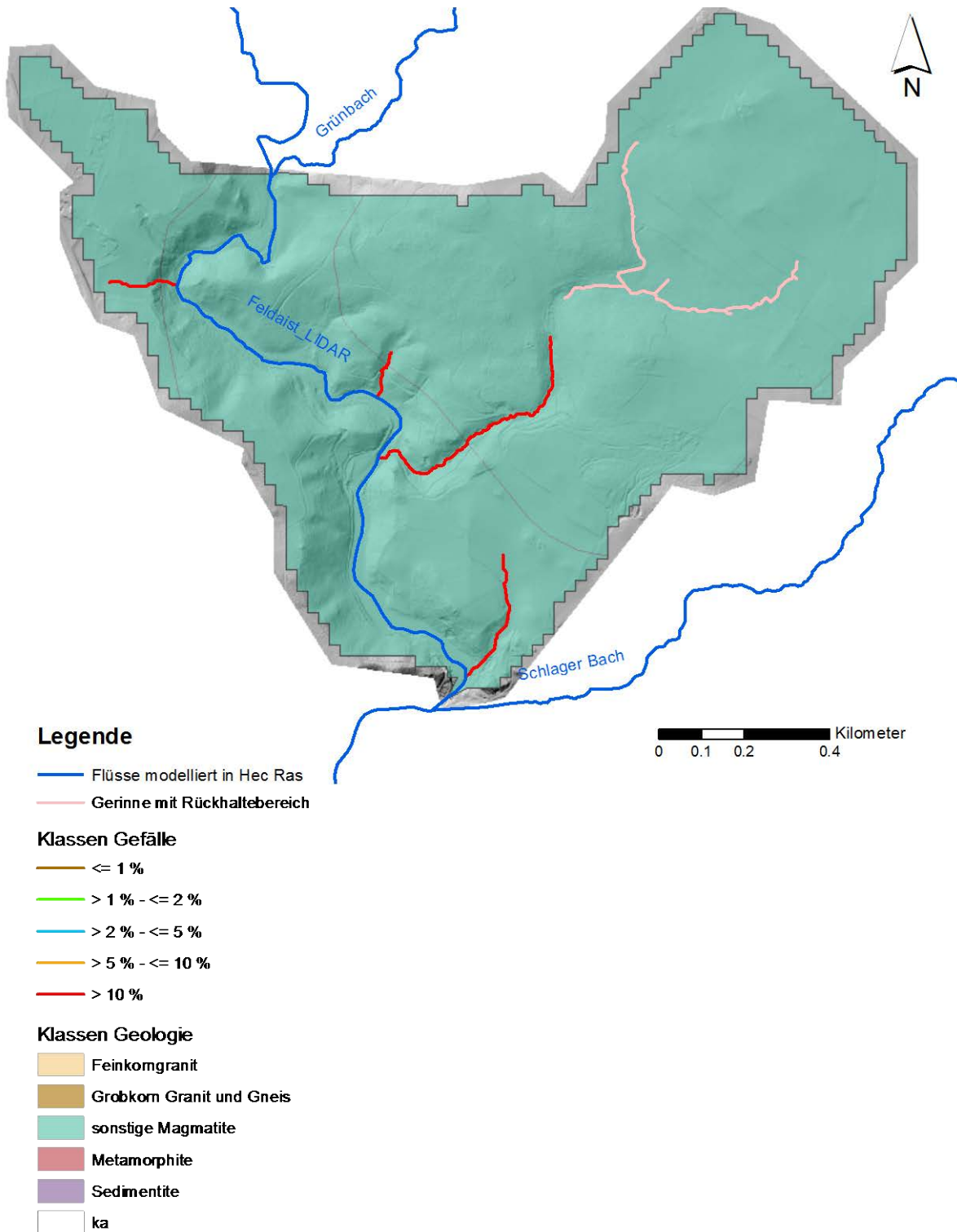


Abbildung 16: Feldaist – EZ 1.5 – Klassen Gefälle und Geologie.

FELDAIST - EZ 1.5 - Klassen Gefälle und Landschaftserhebung

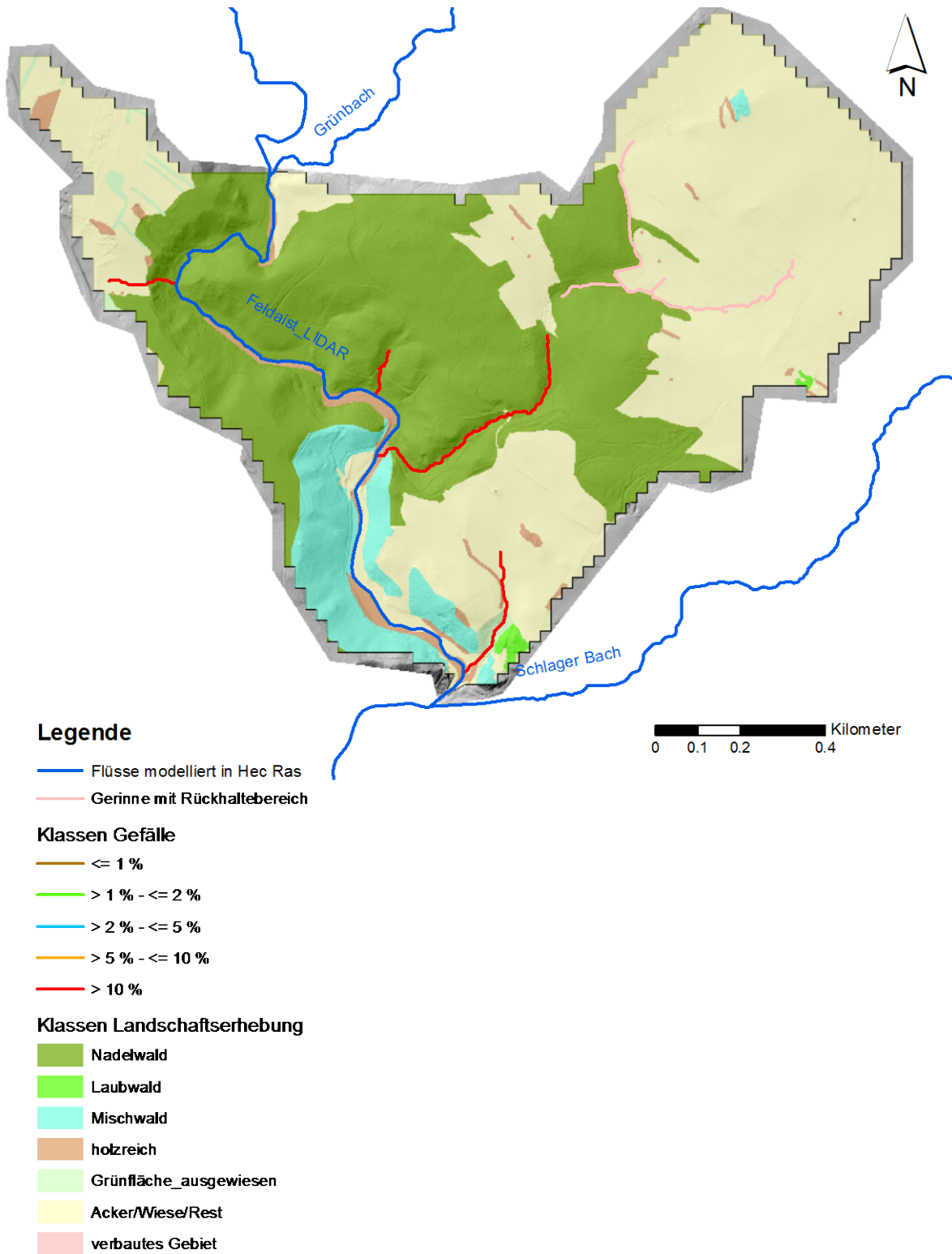


Abbildung 17: Feldaist – EZ 1.5 – Klassen Gefälle und Nadelwald.

FELDAIST - EZ 1.6 - Klassen Gefälle und Geologie

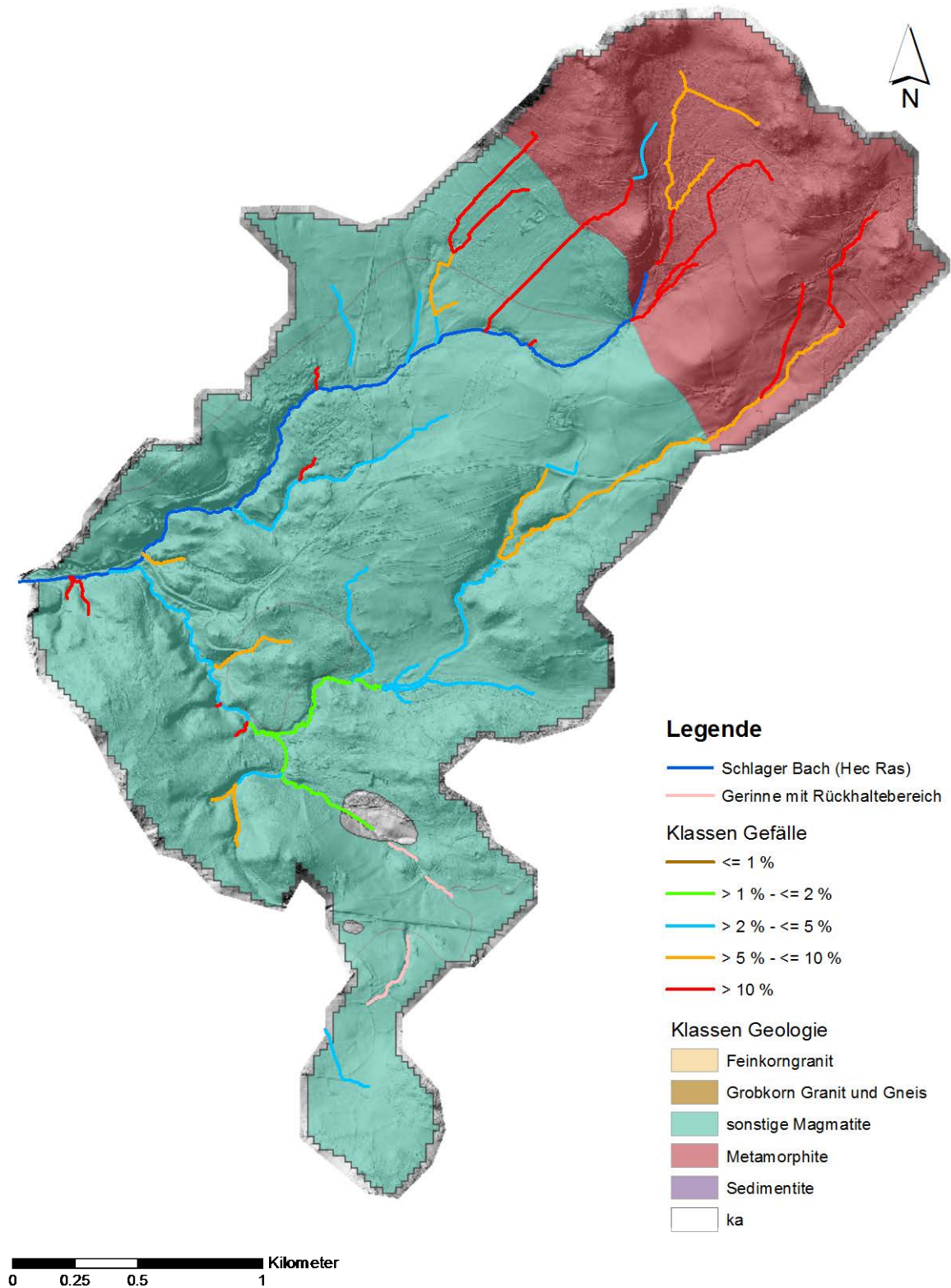


Abbildung 18: Feldaist – EZ 1.6 – Klassen Gefälle und Geologie.

FELDAIST - EZ 1.6 - Klassen Gefälle und Landschaftserhebung

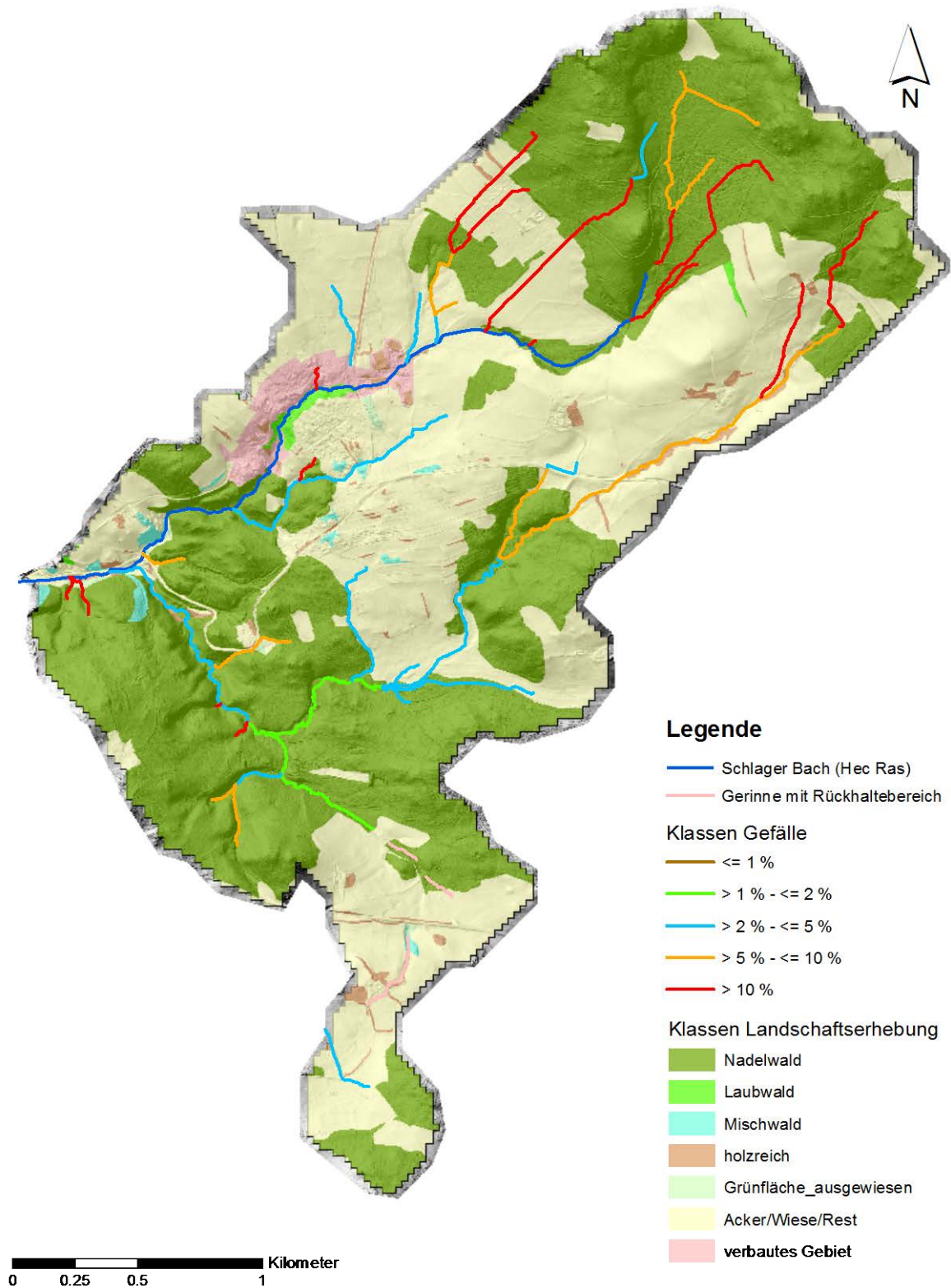


Abbildung 19: Feldaist – EZ 1.6 – Klassen Gefälle und Nadelwald.

FELDAIST - EZ 1.7 - Klassen Gefälle und Geologie

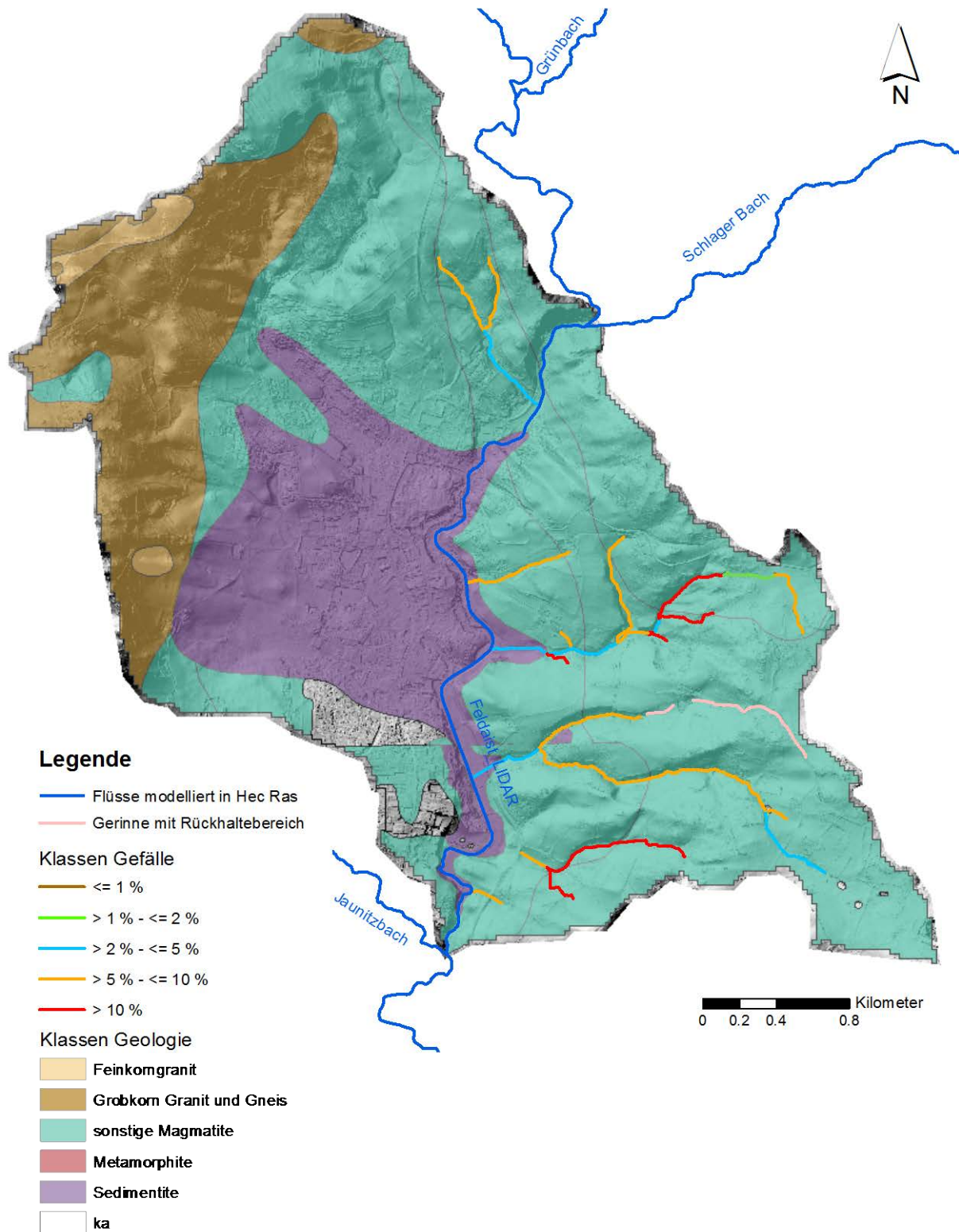


Abbildung 20: Feldaist – EZ 1.7 – Klassen Gefälle und Geologie.

FELDAIST - EZ 1.7 - Klassen Gefälle und Landschaftserhebung

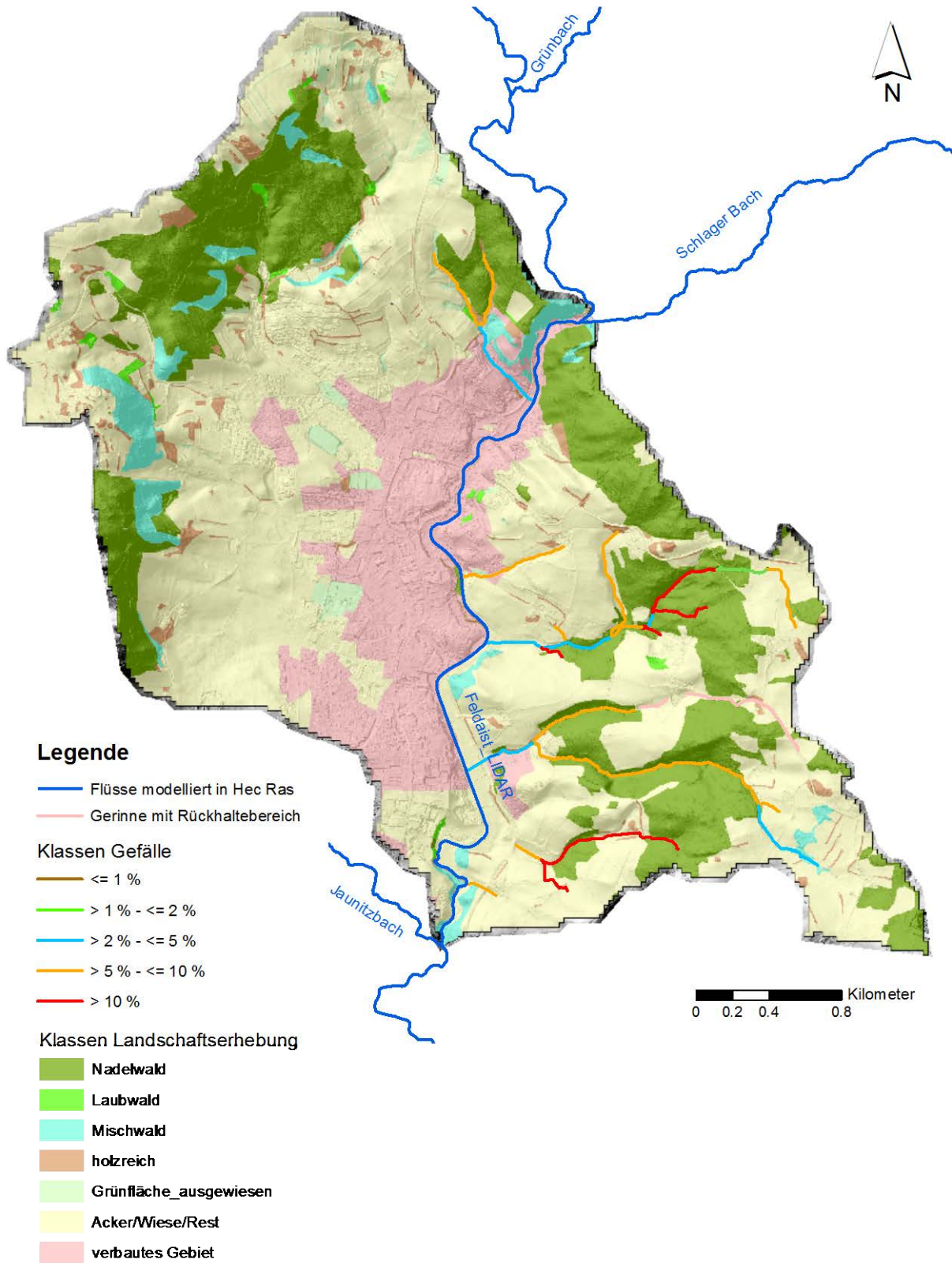


Abbildung 21: Feldaist – EZ 1.7 – Klassen Gefälle und Nadelwald.

FELDAIST - EZ 1.8 - Klassen Gefälle und Geologie

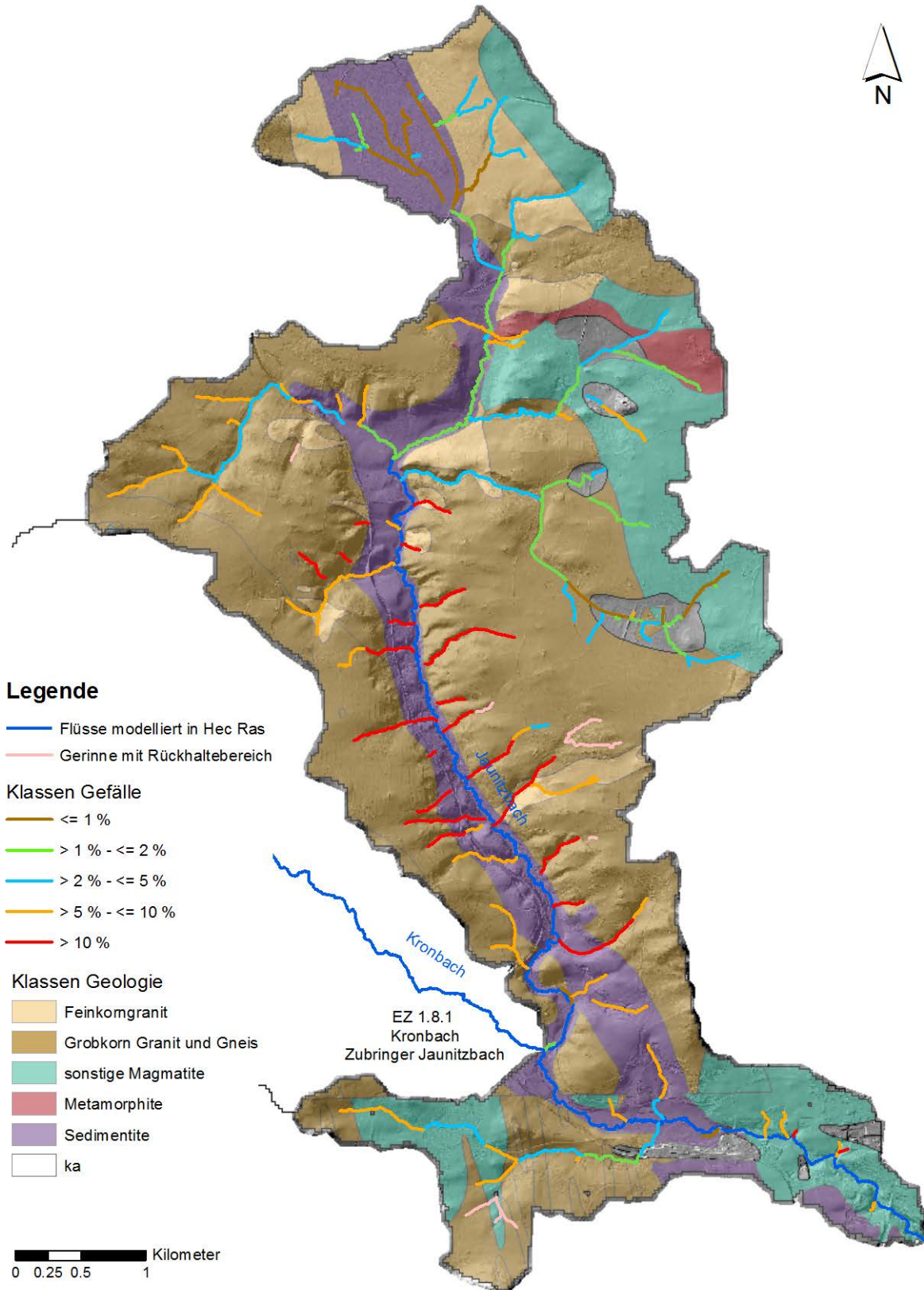


Abbildung 22: Felldaist – EZ 1.8 – Klassen Gefälle und Geologie.

FELDAIST - EZ 1.8 - Klassen Gefälle und Landschaftserhebung

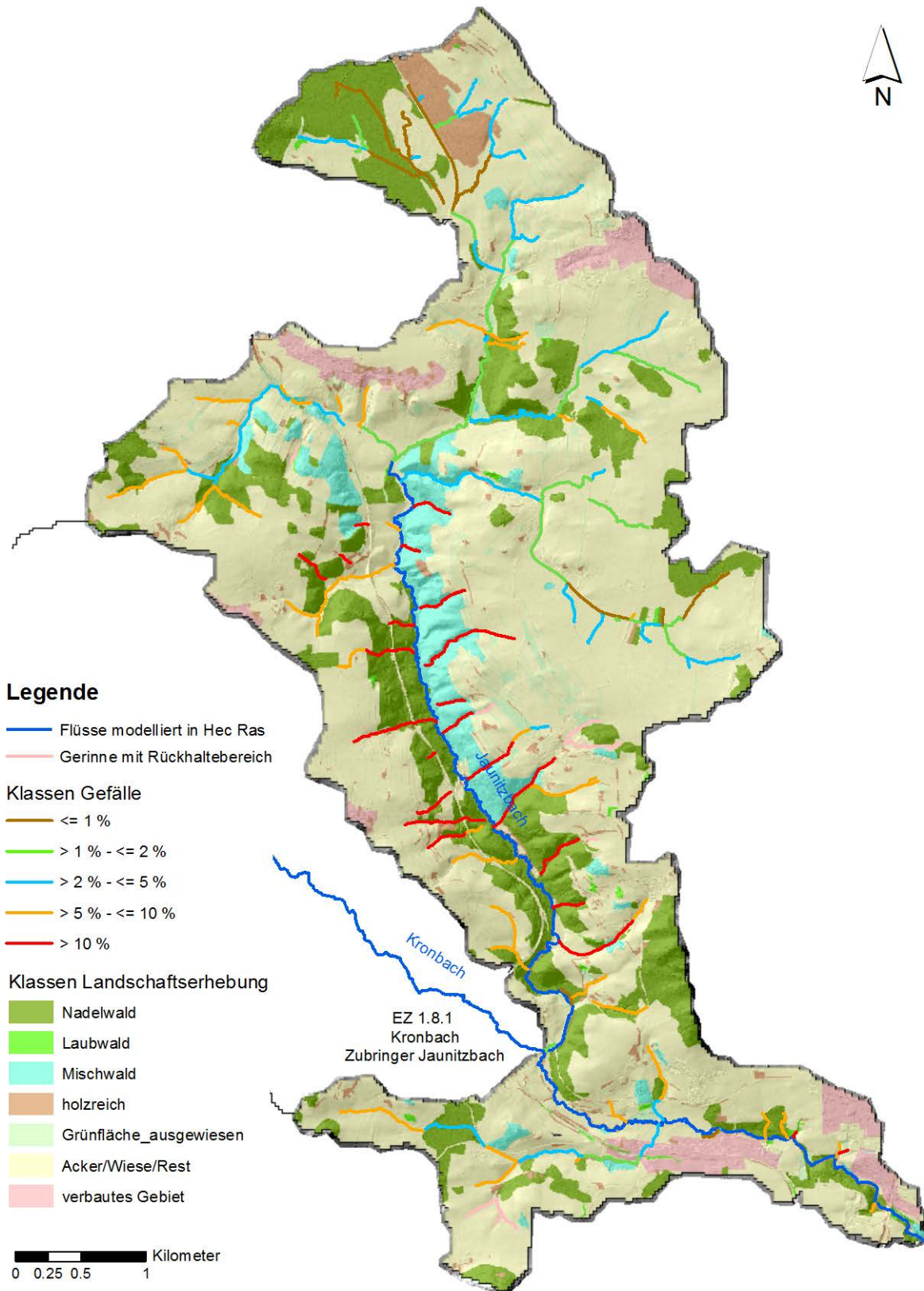


Abbildung 23: Feldaist – EZ 1.8 – Klassen Gefälle und Nadelwald.

FELDAIST - EZ 1.8.1 - Klassen Gefälle und Geologie

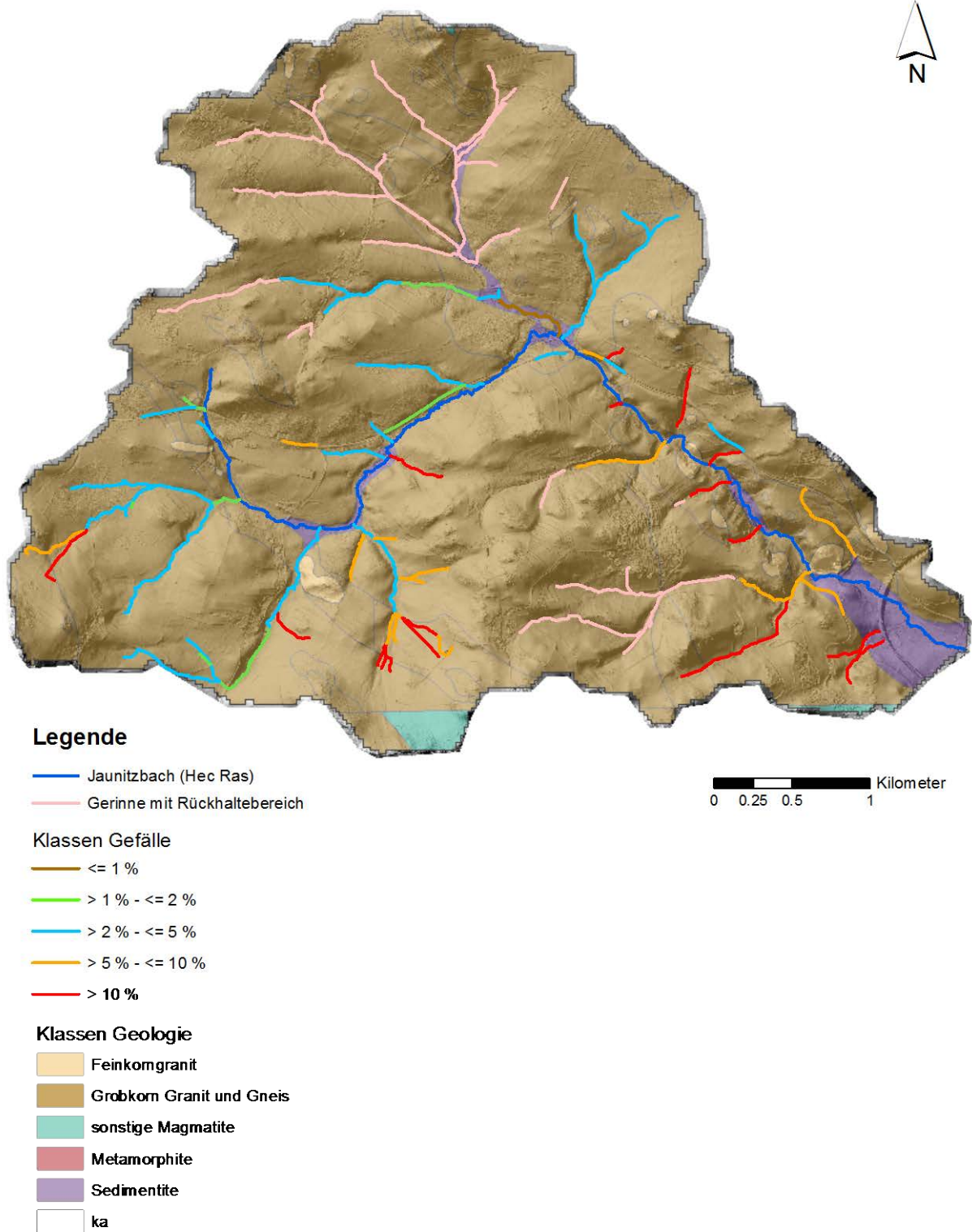


Abbildung 24: Feldaist – EZ 1.8.1 – Klassen Gefälle und Geologie.

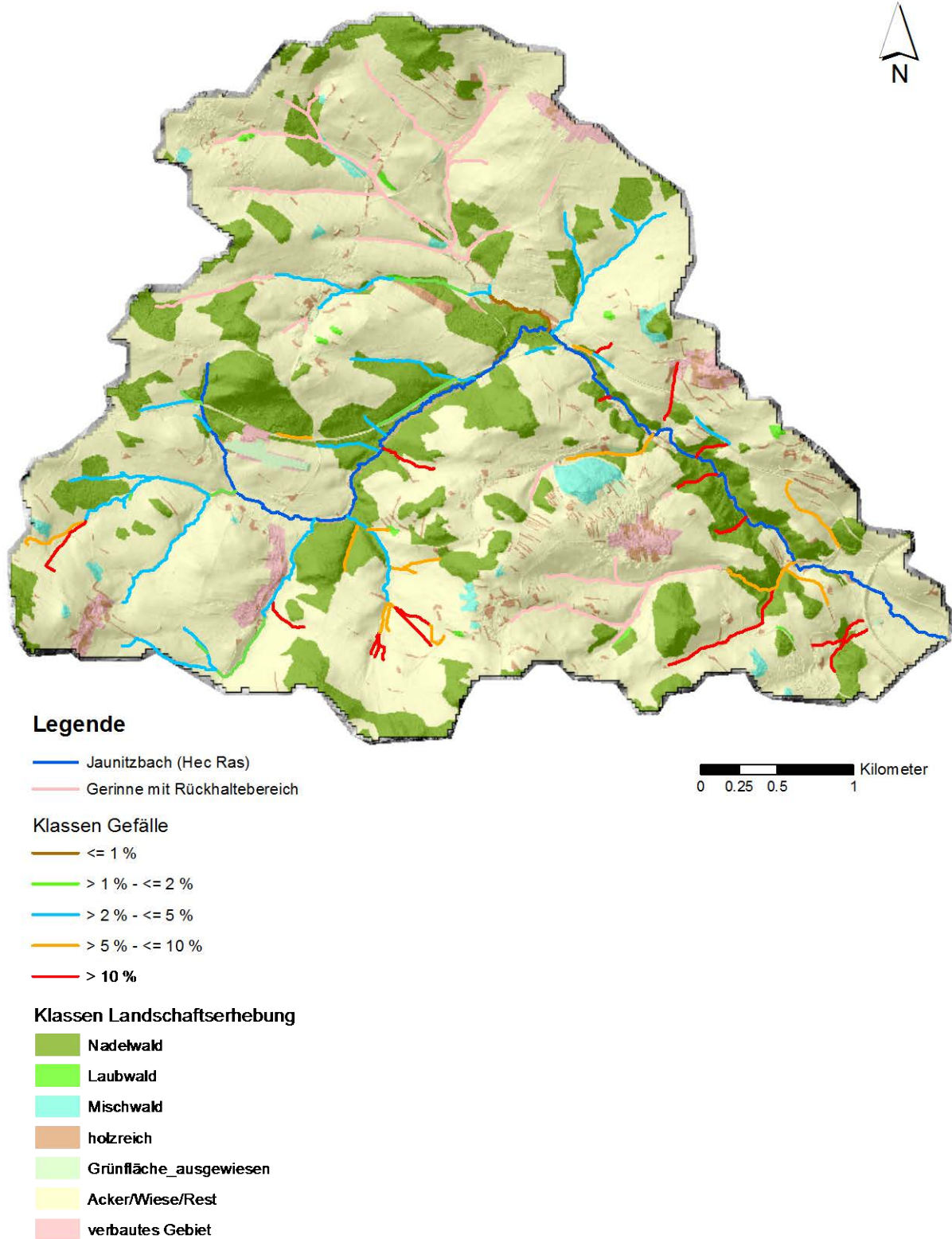
FELDAIST - EZ 1.8.1 - Klassen Gefälle und Landschaftserhebung

Abbildung 25: Feldaist – EZ 1.8.1 – Klassen Gefälle und Nadelwald.

FELDAIST - EZ 1.9 - Klassen Gefälle und Geologie

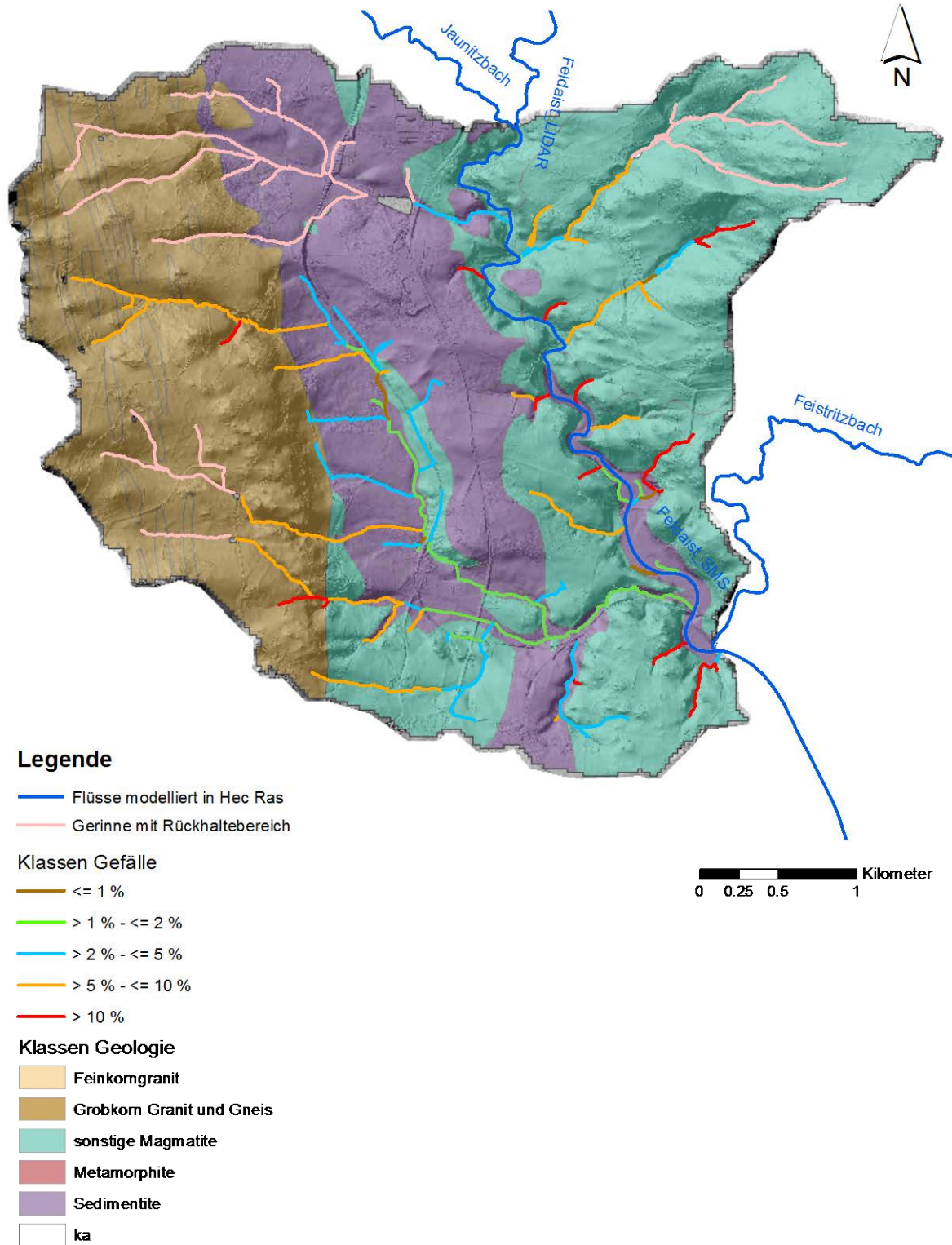


Abbildung 26: Feldaist – EZ 1.9 – Klassen Gefälle und Geologie.

FELDAIST - EZ 1.9 - Klassen Gefälle und Landschaftserhebung

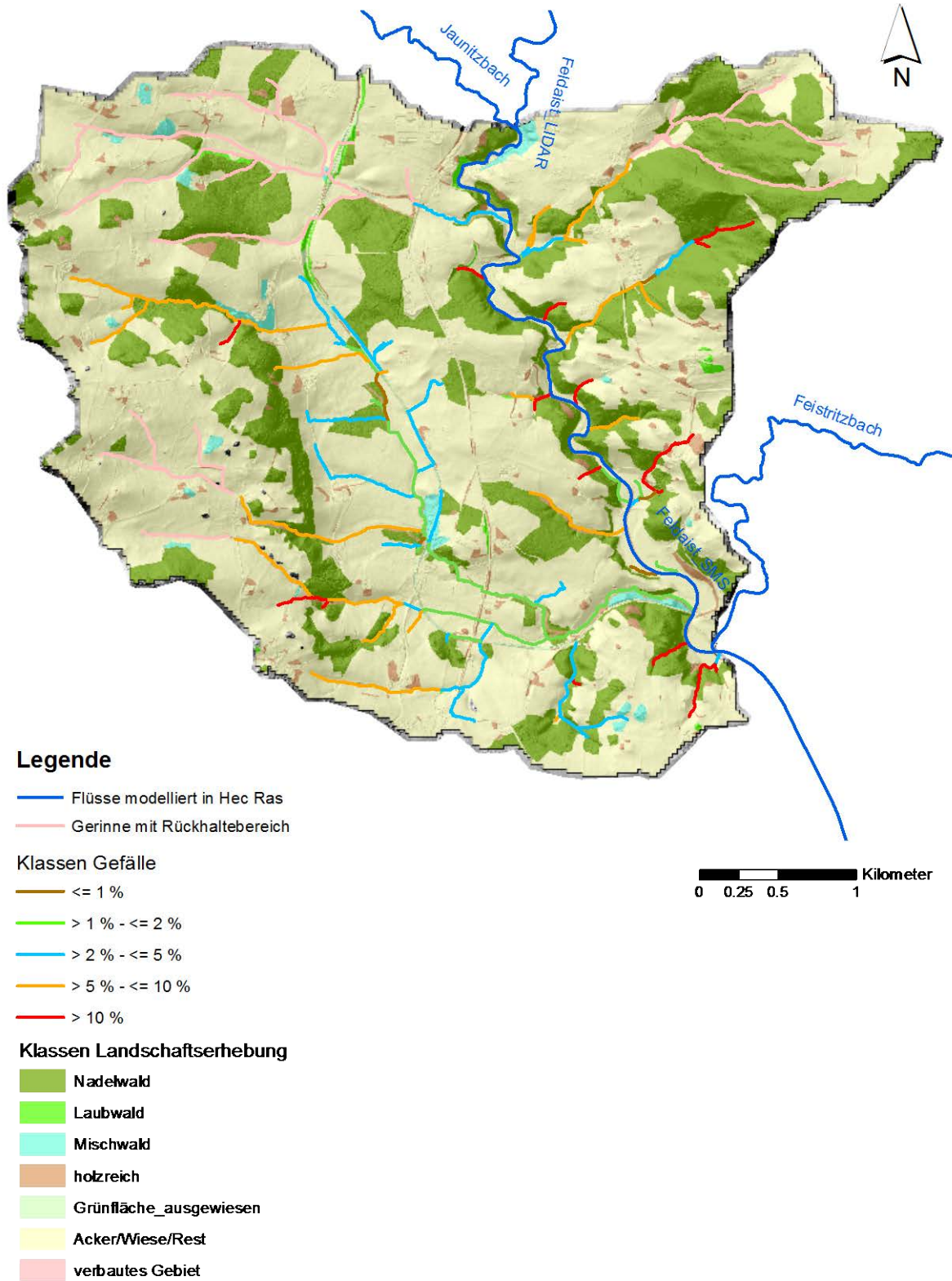


Abbildung 27: Feldaist – EZ 1.9 – Klassen Gefälle und Nadelwald.

FELDAIST - EZ 1.10 - Klassen Gefälle und Geologie

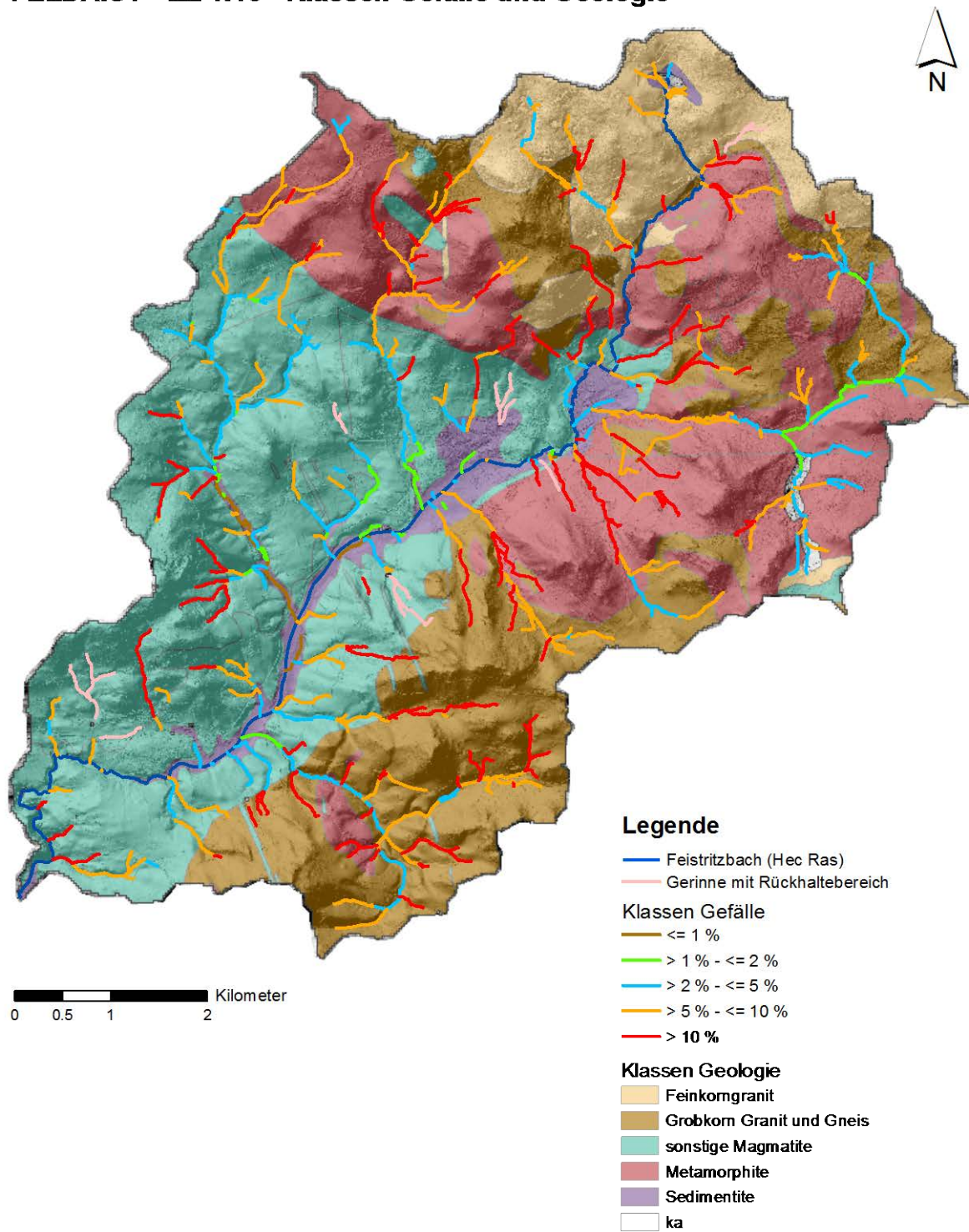


Abbildung 28: Feldaist – EZ 1.10 – Klassen Gefälle und Geologie.

FELDAIST - EZ 1.10 - Klassen Gefälle und Landschaftserhebung

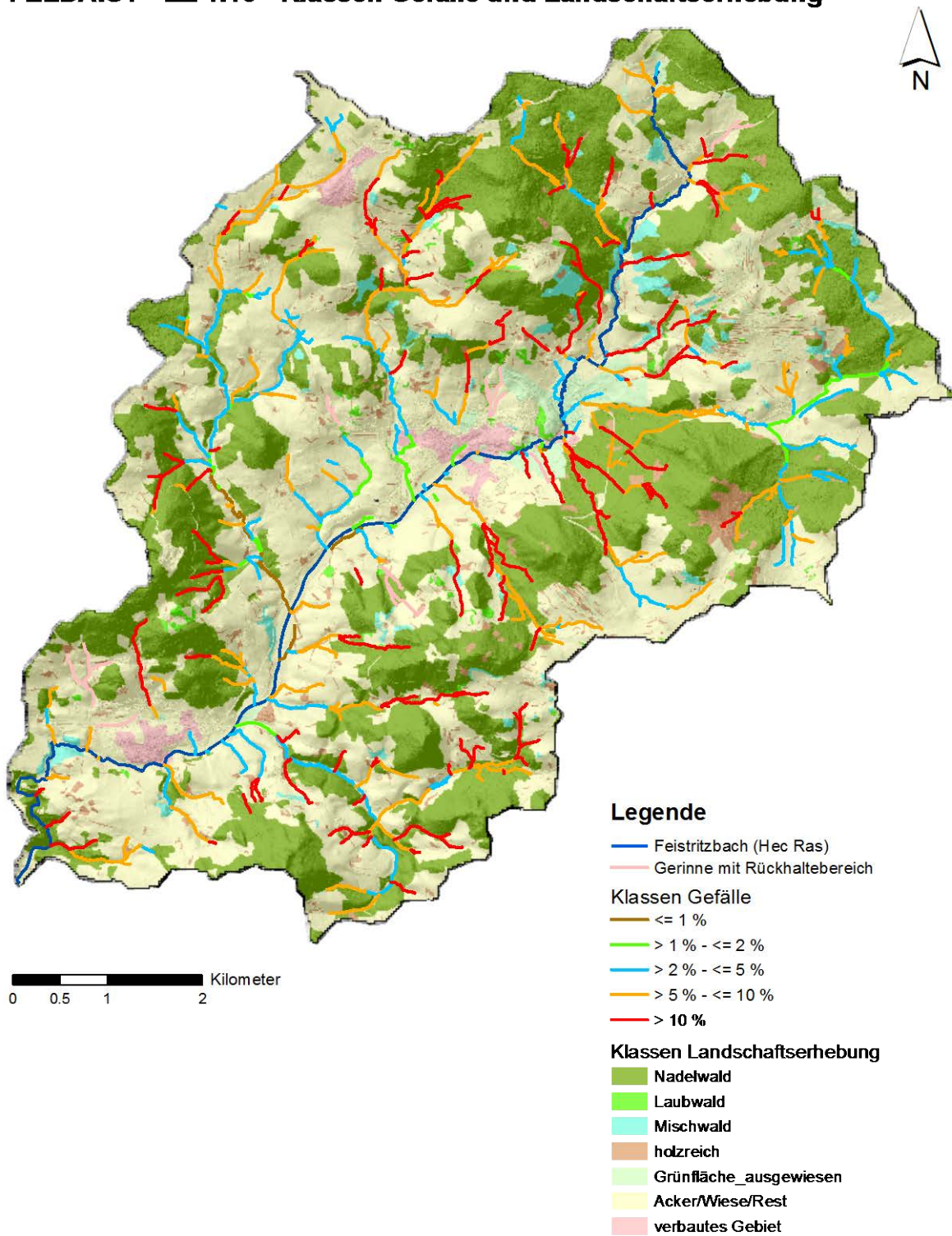


Abbildung 29: Feldaist – EZ 1.10 – Klassen Gefälle und Nadelwald.

FELDAIST - EZ 1.11 - Klassen Gefälle und Geologie

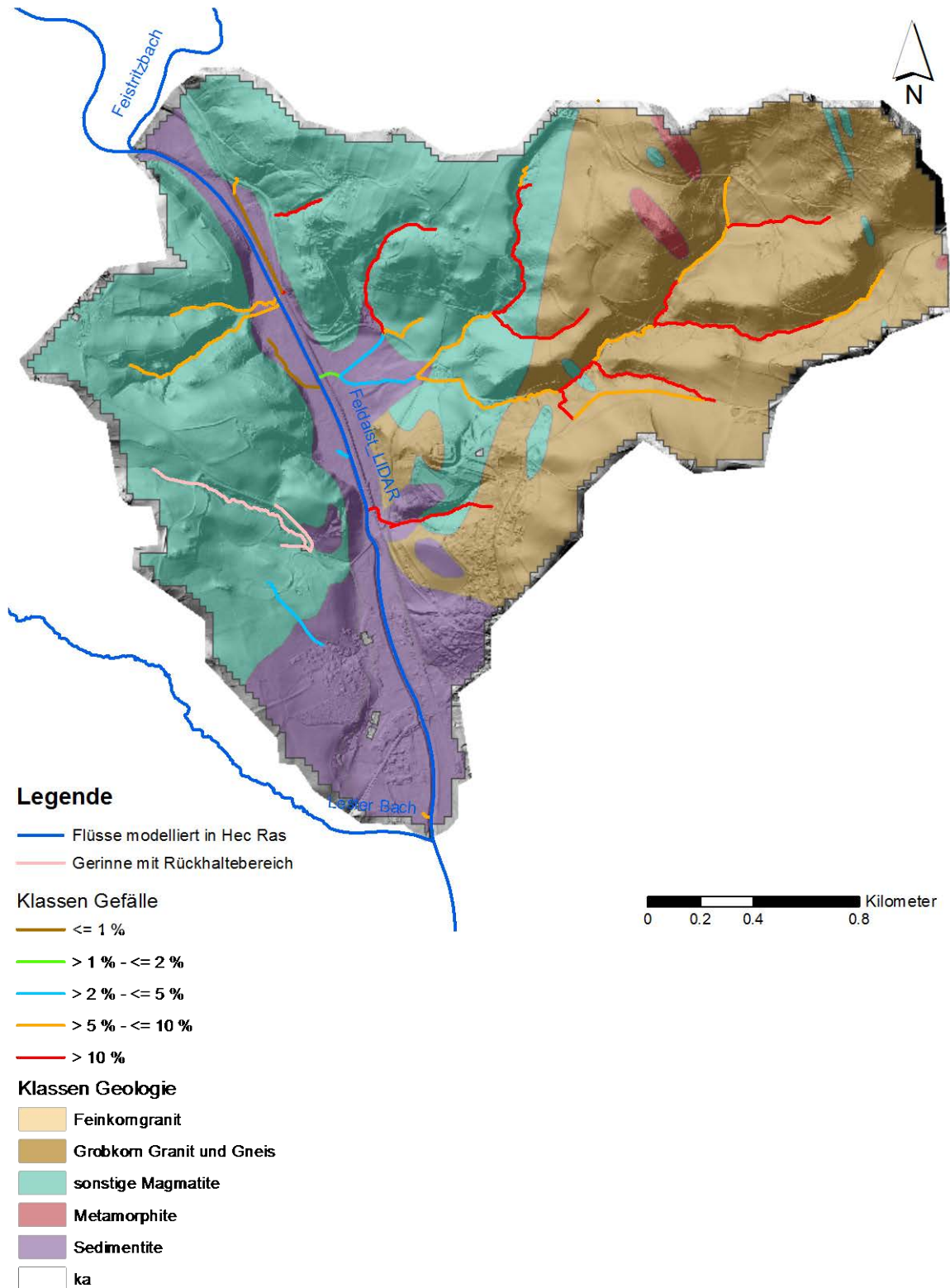


Abbildung 30: Feldaist – EZ 1.11 – Klassen Gefälle und Geologie.

FELDAIST - EZ 1.11 - Klassen Gefälle und Landschaftserhebung

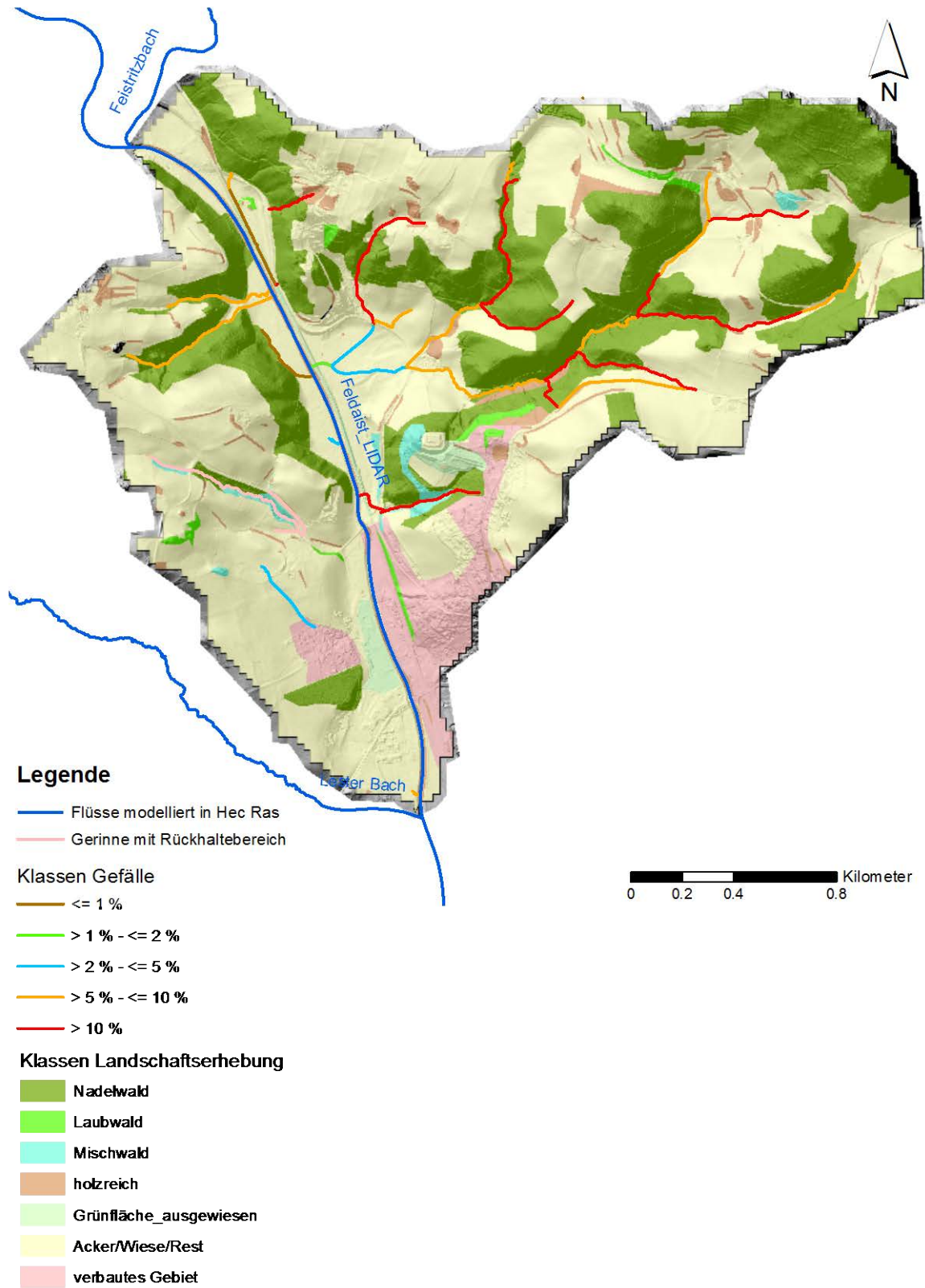


Abbildung 31: Feldaist – EZ 1.11 – Klassen Gefälle und Nadelwald.

FELDAIST - EZ 1.12 - Klassen Gefälle und Landschaftserhebung

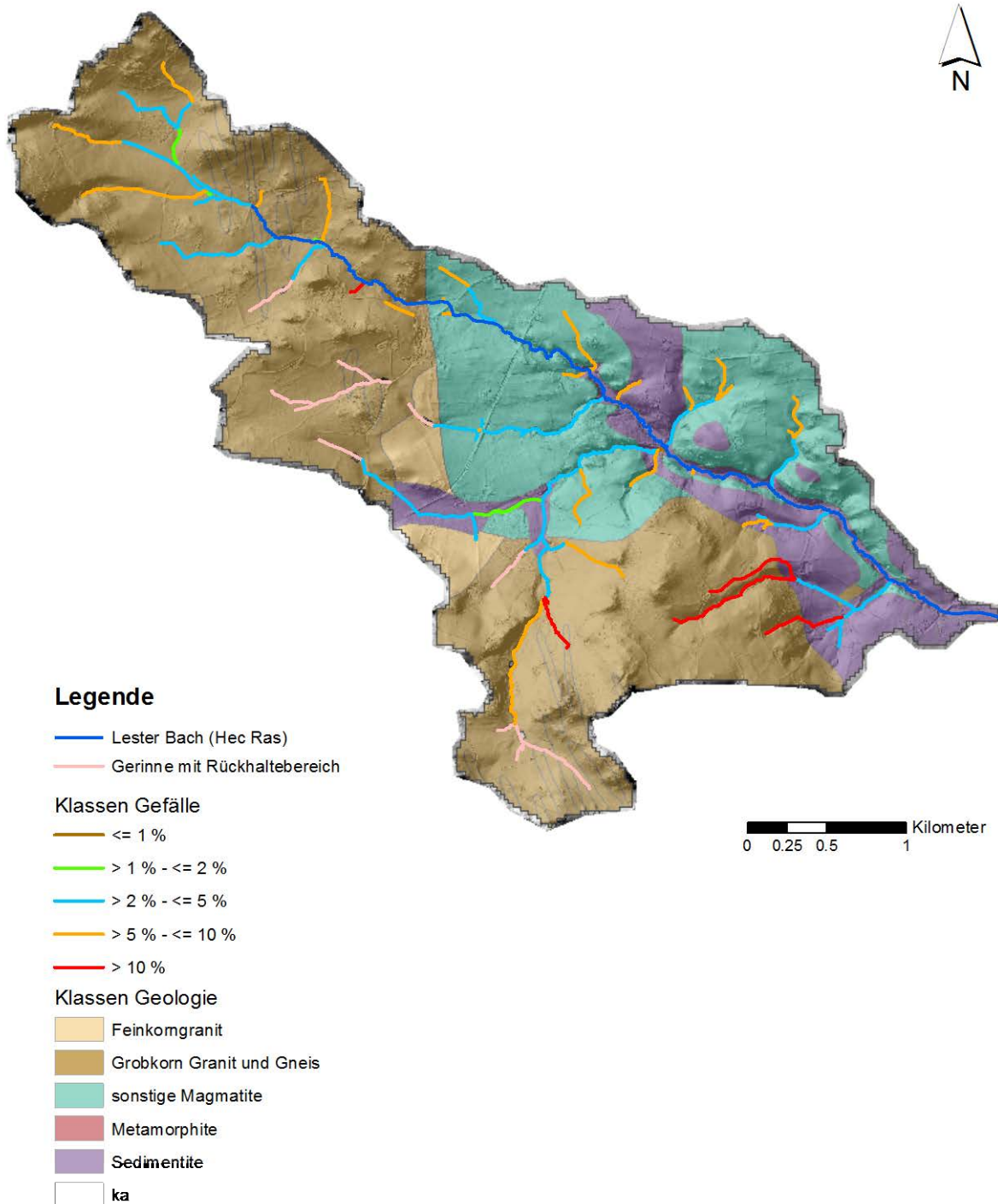


Abbildung 32: Feldaist – EZ 1.12 – Klassen Gefälle und Geologie.

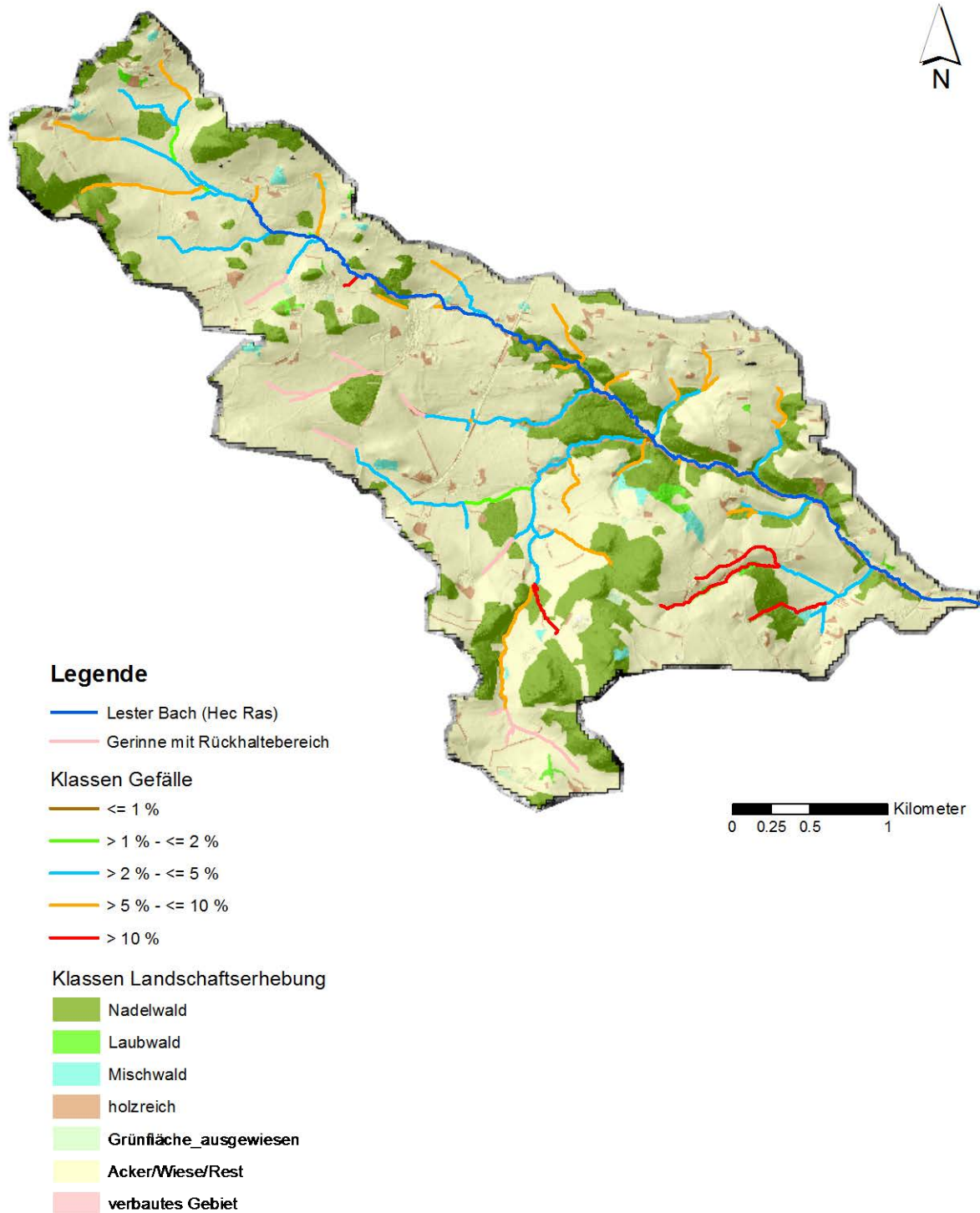
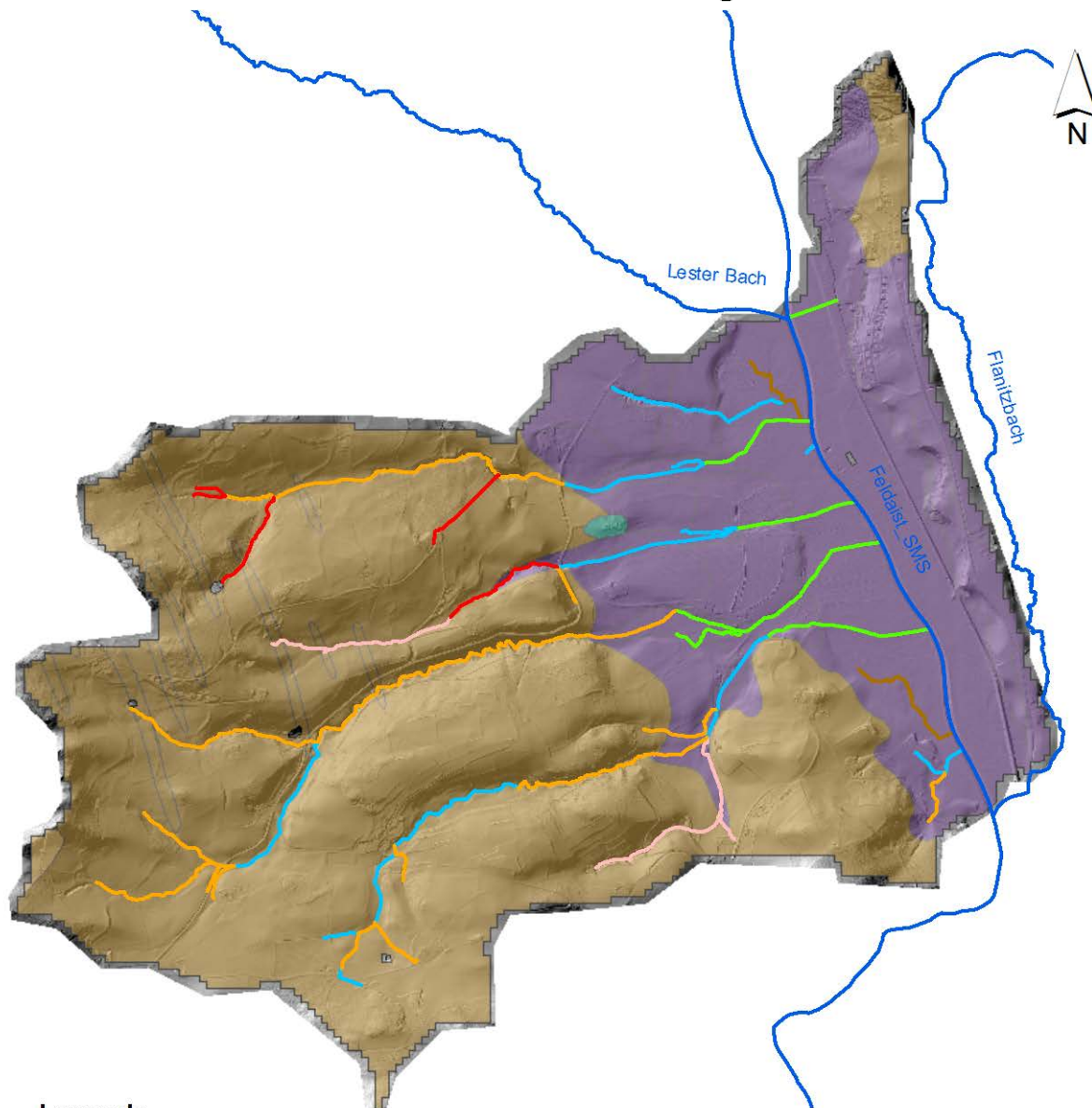
FELDAIST - EZ 1.12 - Klassen Gefälle und Landschaftserhebung

Abbildung 33: Feldaist – EZ 1.12 – Klassen Gefälle und Nadelwald.

FELDAIST - EZ 1.13 - Klassen Gefälle und Geologie



Legende

- Flüsse modelliert in Hec Ras
- Gerinne mit Rückhaltebereich

Klassen Gefälle

- <= 1 %
- > 1 % - <= 2 %
- > 2 % - <= 5 %
- > 5 % - <= 10 %
- > 10 %

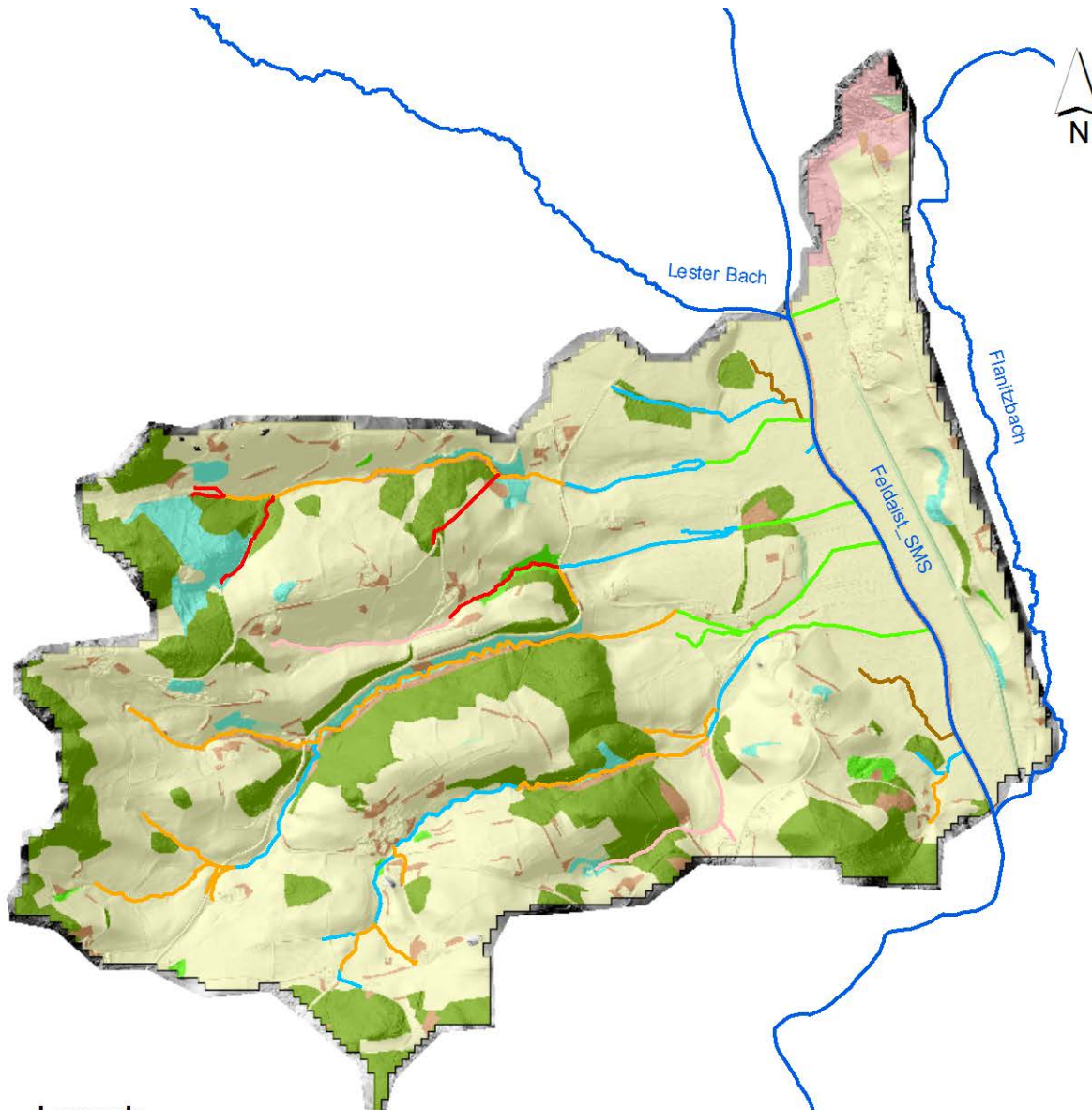
Klassen Geologie

- Feinkomgranit
- Grobkorn Granit und Gneis
- sonstige Magmatite
- Metamorphite
- Sedimentite
- ka

0 0.2 0.4 0.8 Kilometer

Abbildung 34: Feldaist – EZ 1.13 – Klassen Gefälle und Geologie.

FELDAIST - EZ 1.13 - Klassen Gefälle und Landschaftserhebung



Legende

- Flüsse modelliert in Hec Ras
- Gerinne mit Rückhaltebereich

Klassen Gefälle

- <= 1 %
- > 1 % - <= 2 %
- > 2 % - <= 5 %
- > 5 % - <= 10 %
- > 10 %

Klassen Landschaftserhebung

- Nadelwald
- Laubwald
- Mischwald
- holzreich
- Grünfläche_ausgewiesen
- Acker/Wiese/Rest
- verbautes Gebiet



Abbildung 35: Feldaist – EZ 1.13 – Klassen Gefälle und Nadelwald.

FELDAIST - EZ 1.14 - Klassen Gefälle und Geologie

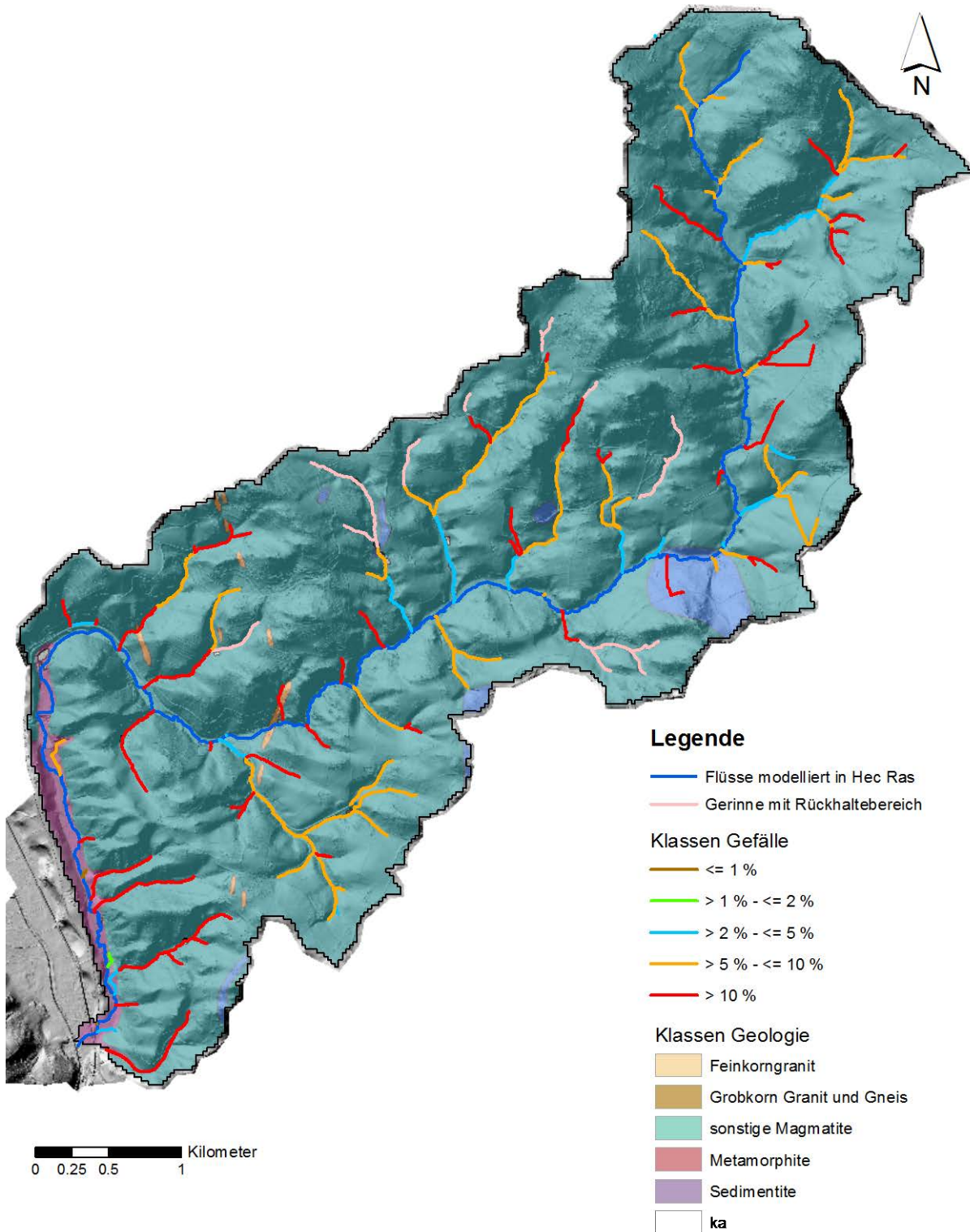


Abbildung 36: Feldaist – EZ 1.14 – Klassen Gefälle und Geologie.

FELDAIST - EZ 1.14 - Klassen Gefälle und Landschaftserhebung

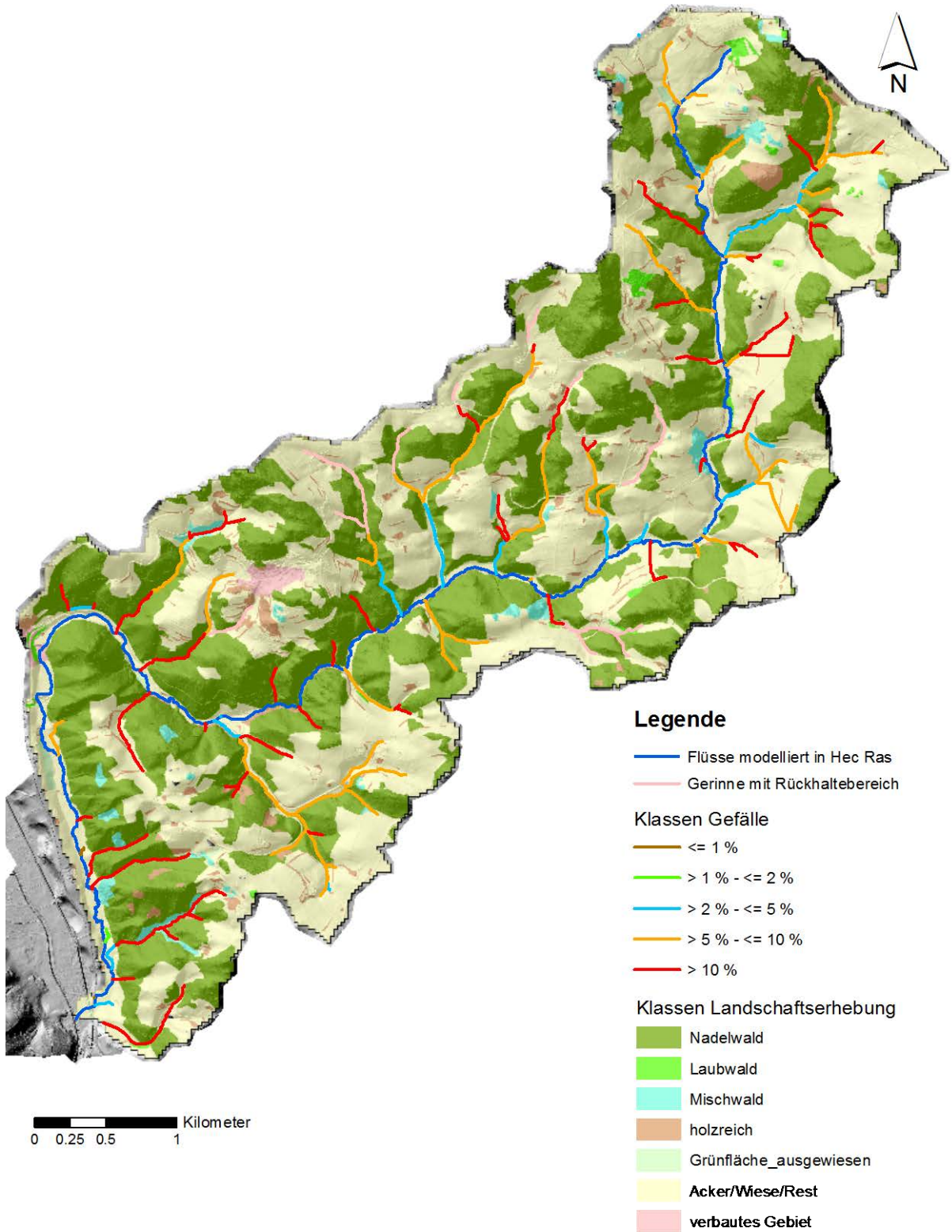


Abbildung 37: Feldaist – EZ 1.14 – Klassen Gefälle und Nadelwald.

FELDAIST - EZ 1.15 - Klassen Gefälle und Geologie

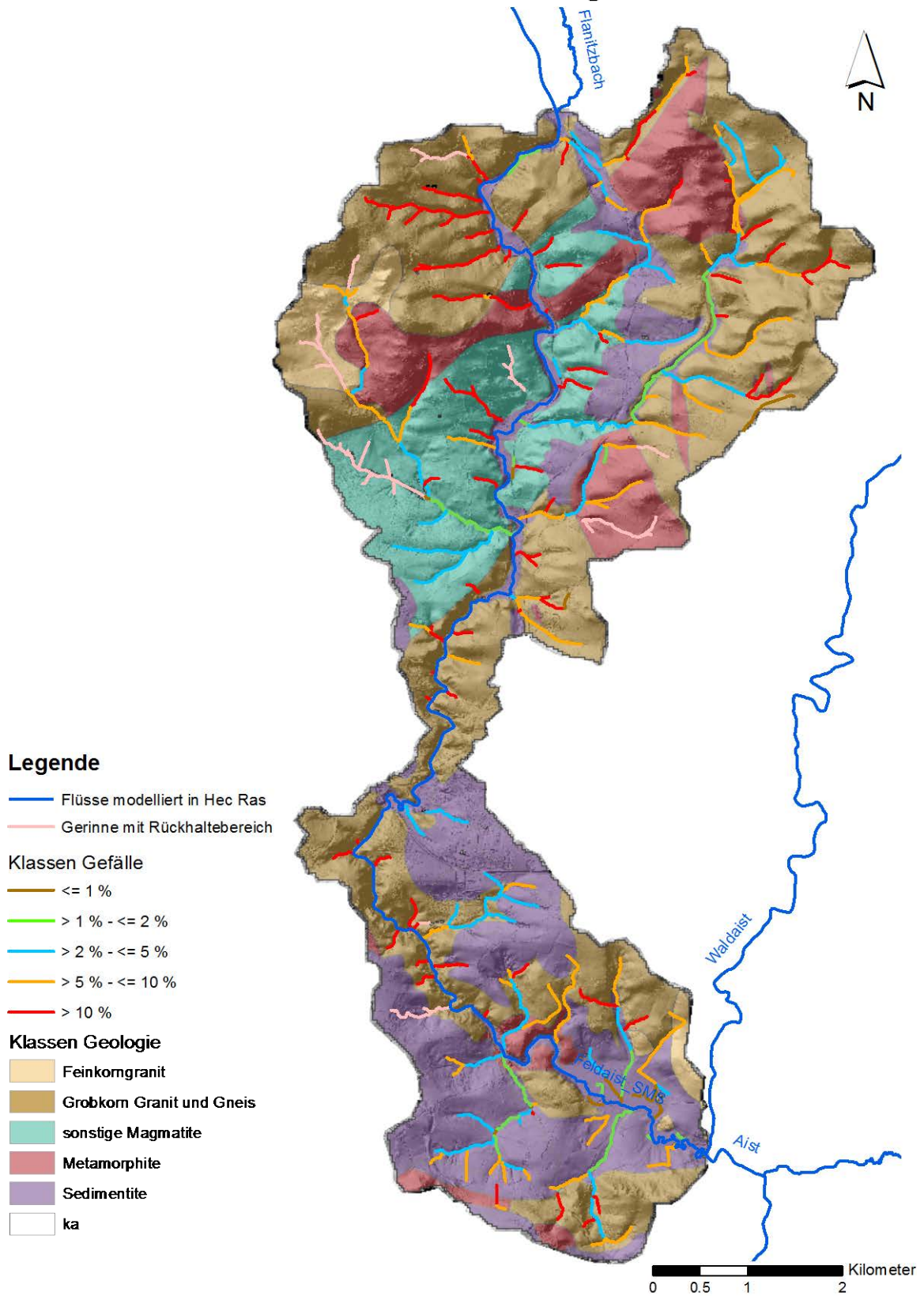


Abbildung 38: Feldaist – EZ 1.15 – Klassen Gefälle und Geologie.

FELDAIST - EZ 1.15 - Klassen Gefälle und Landschaftserhebung

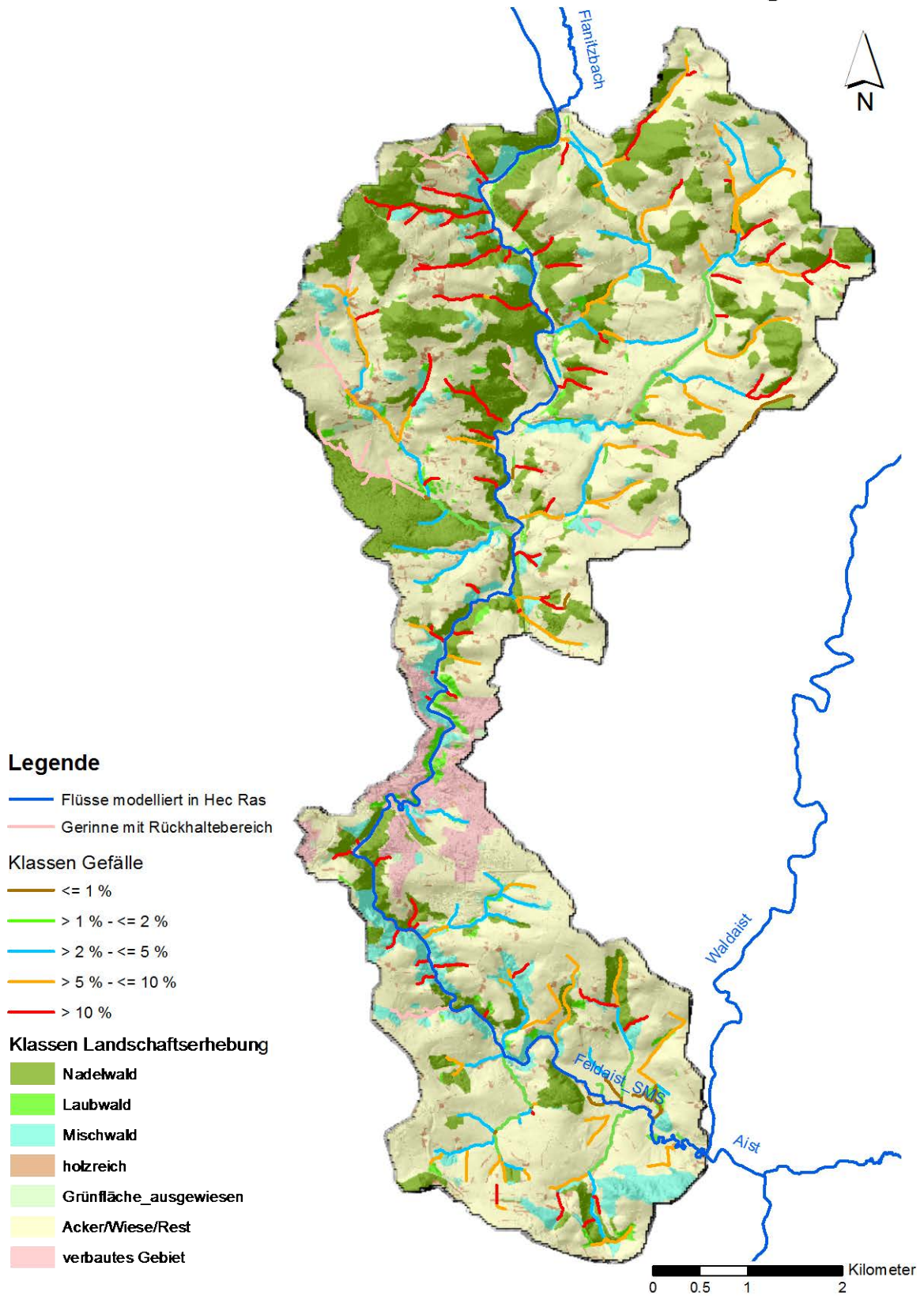


Abbildung 39: Feldaist – EZ 1.15 – Klassen Gefälle und Nadelwald.

3.3. Waldaist

WALDAIST - EZ 2.1 - Klassen Gefälle und Geologie

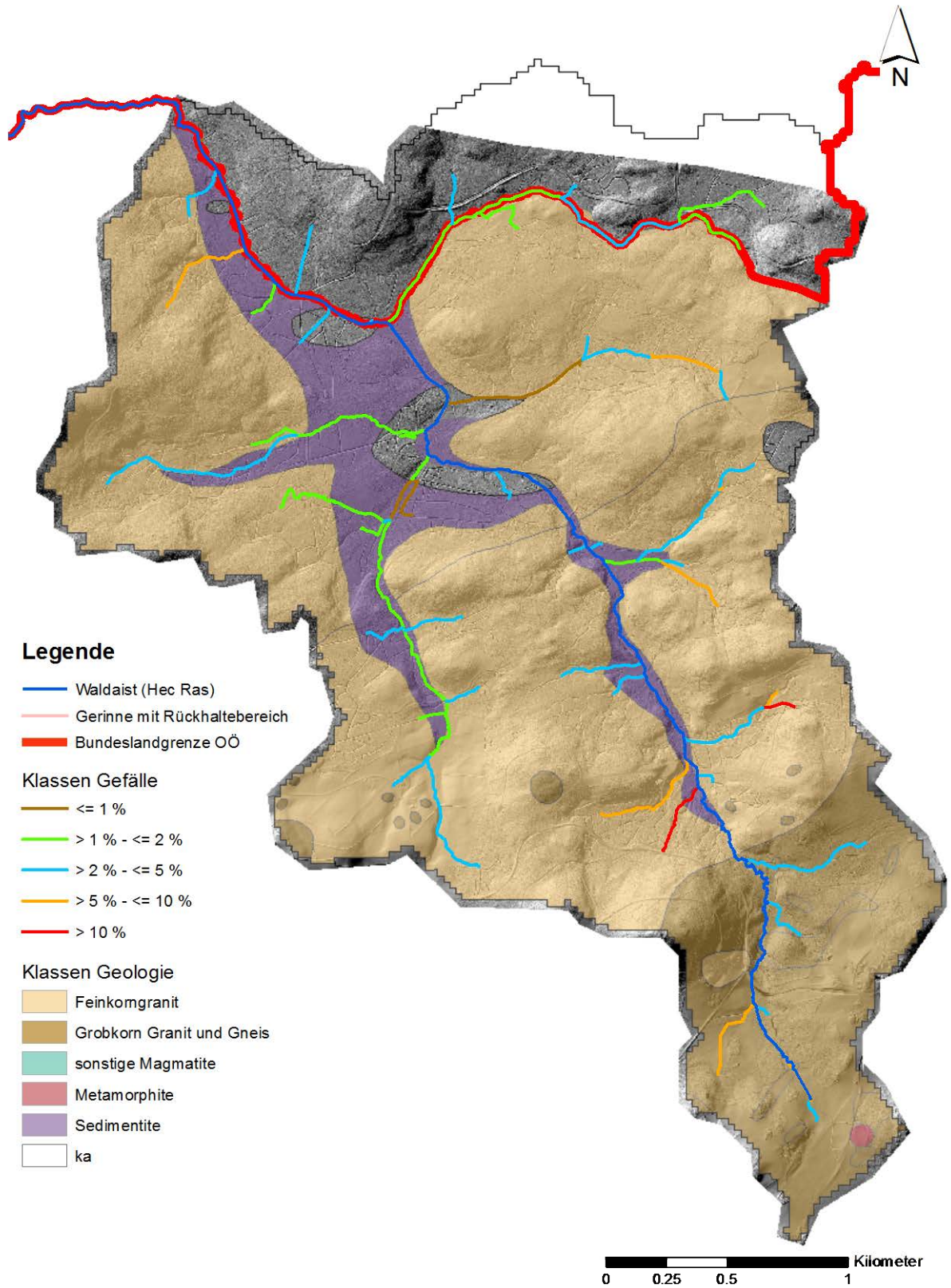


Abbildung 40: Waldaist – EZ 2.1 – Klassen Gefälle und Geologie.

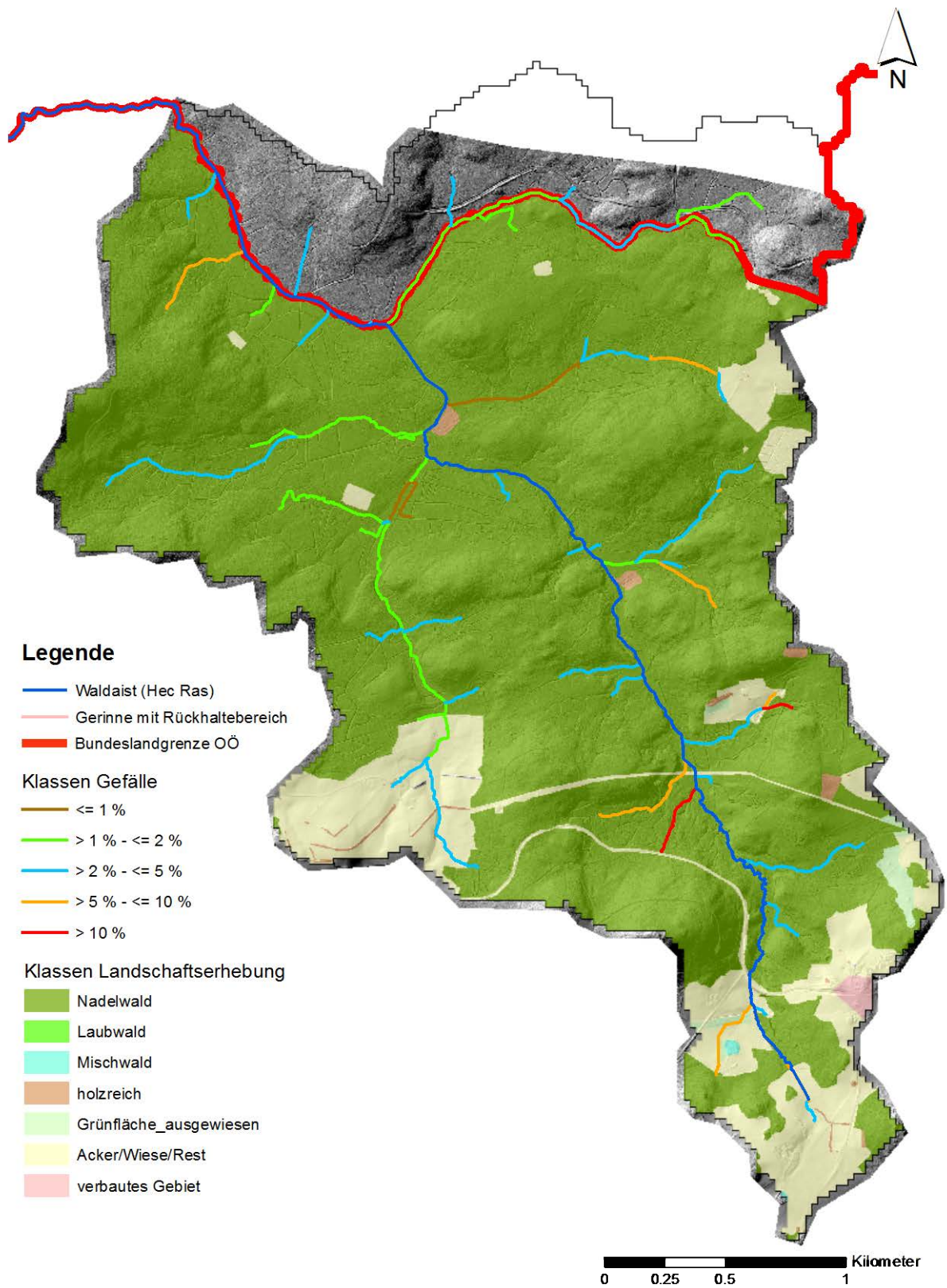
WALDAIST - EZ 2.1 - Klassen Gefälle und Landschaftserhebung

Abbildung 41: Waldaist – EZ 2.1 – Klassen Gefälle und Nadelwald.

WALDAIST - EZ 2.3 - Klassen Gefälle und Geologie

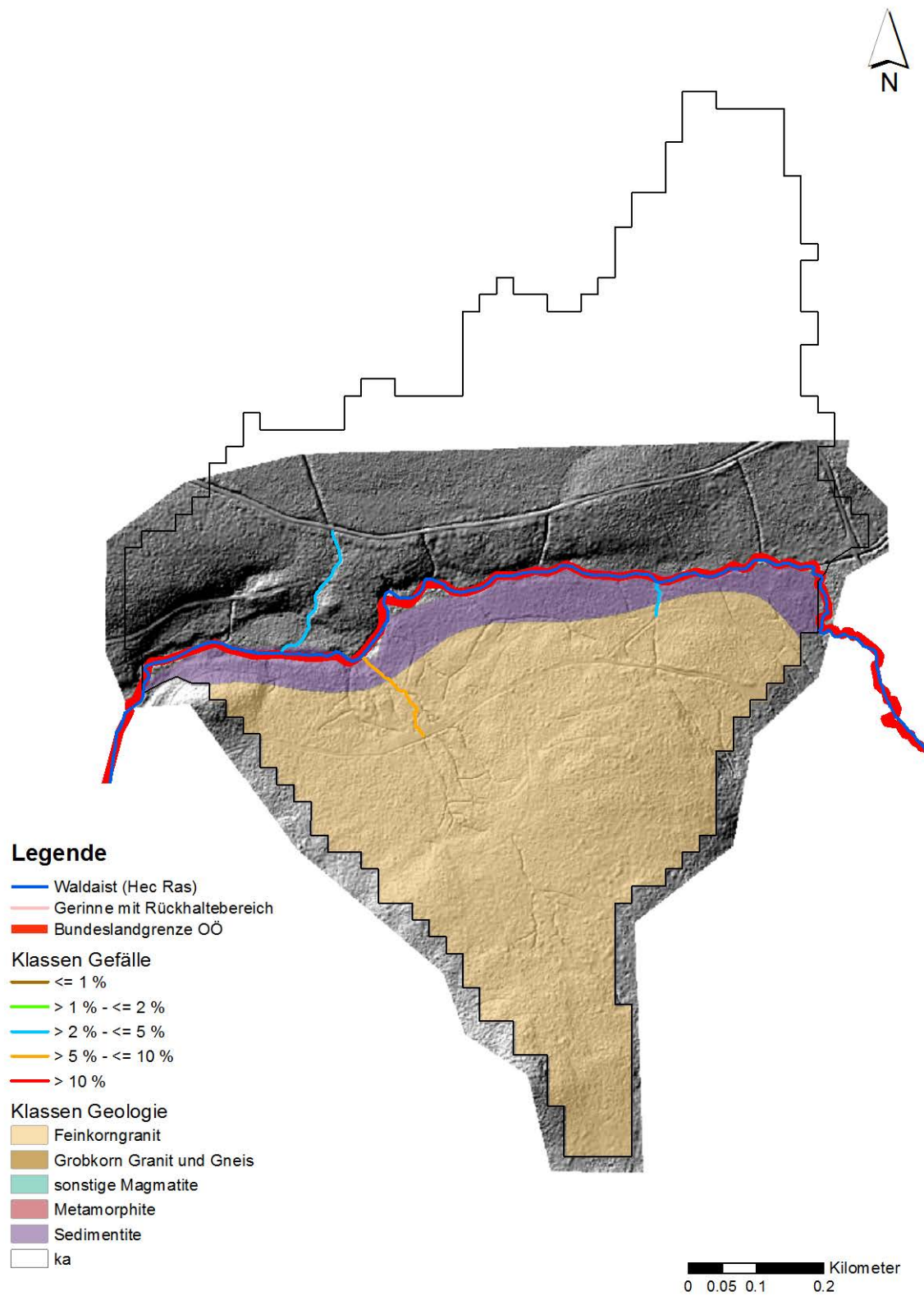


Abbildung 42: Waldaist – EZ 2.3 – Klassen Gefälle und Geologie.

WALDAIST - EZ 2.3 - Klassen Gefälle und Landschaftserhebung

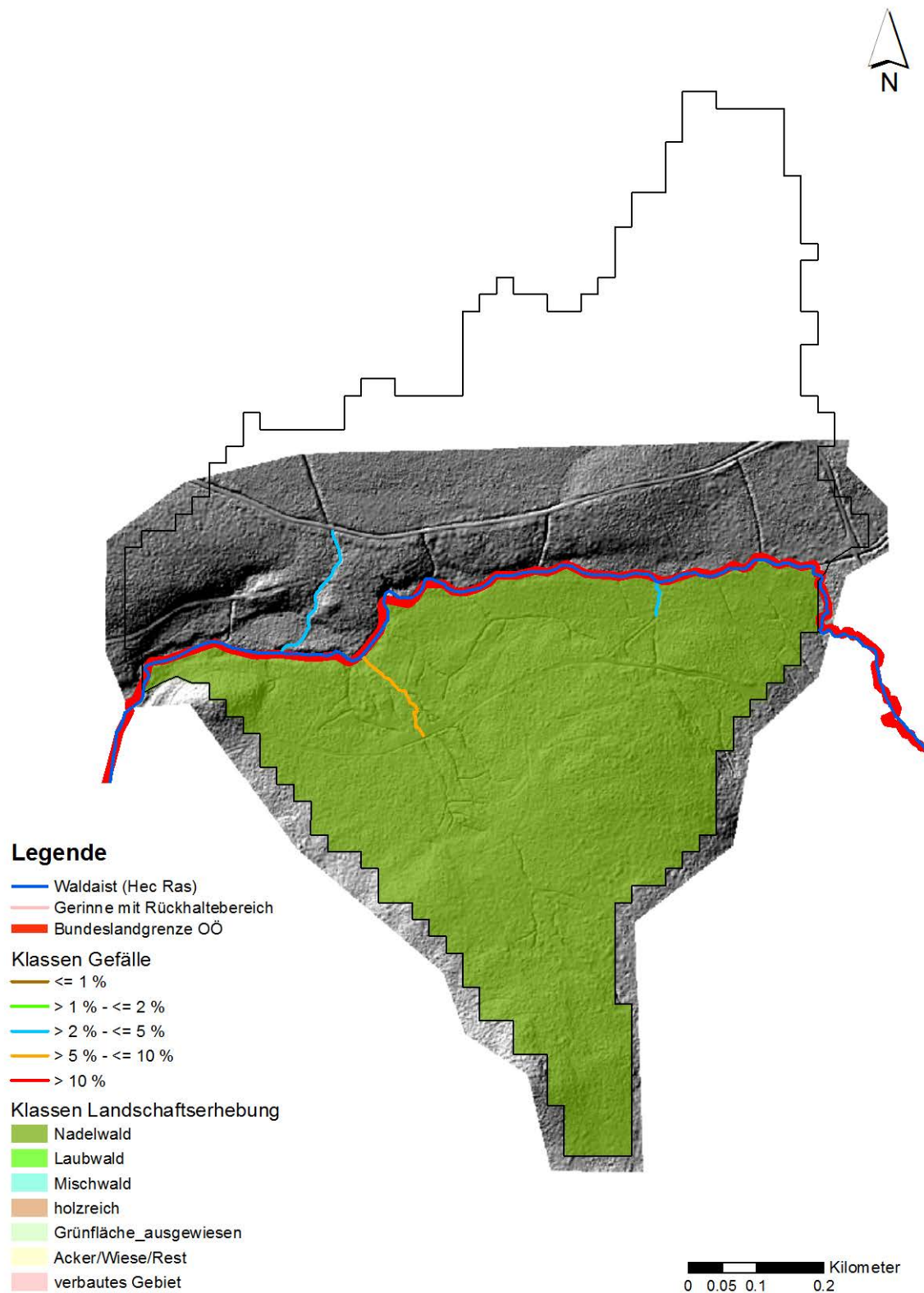


Abbildung 43: Waldaist – EZ 2.3 – Klassen Gefälle und Nadelwald.

WALDAIST - EZ 2.5 - Klassen Gefälle und Geologie

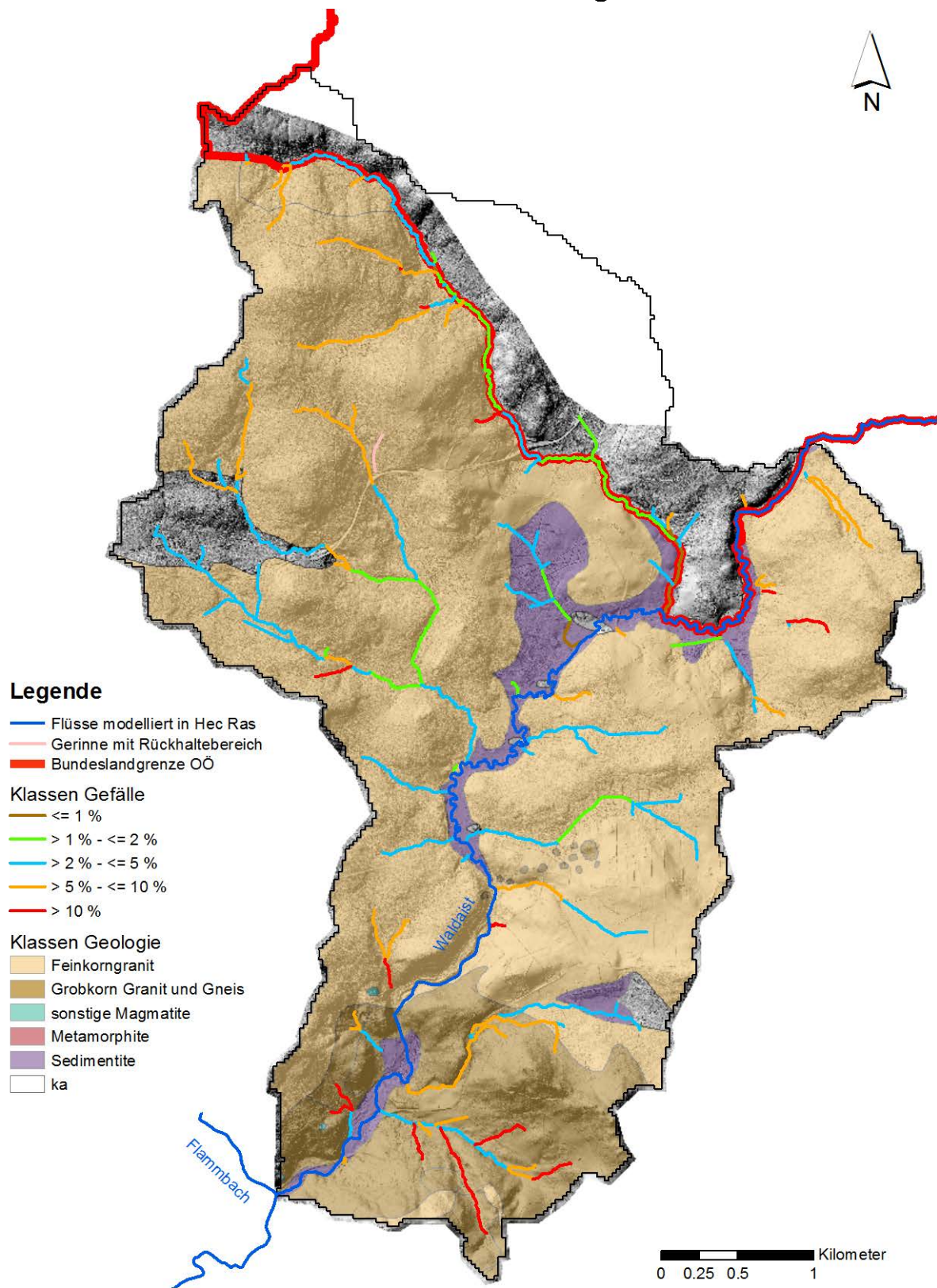


Abbildung 44: Waldaist – EZ 2.5 – Klassen Gefälle und Geologie.

WALDAIST - EZ 2.5 - Klassen Gefälle und Landschaftserhebung

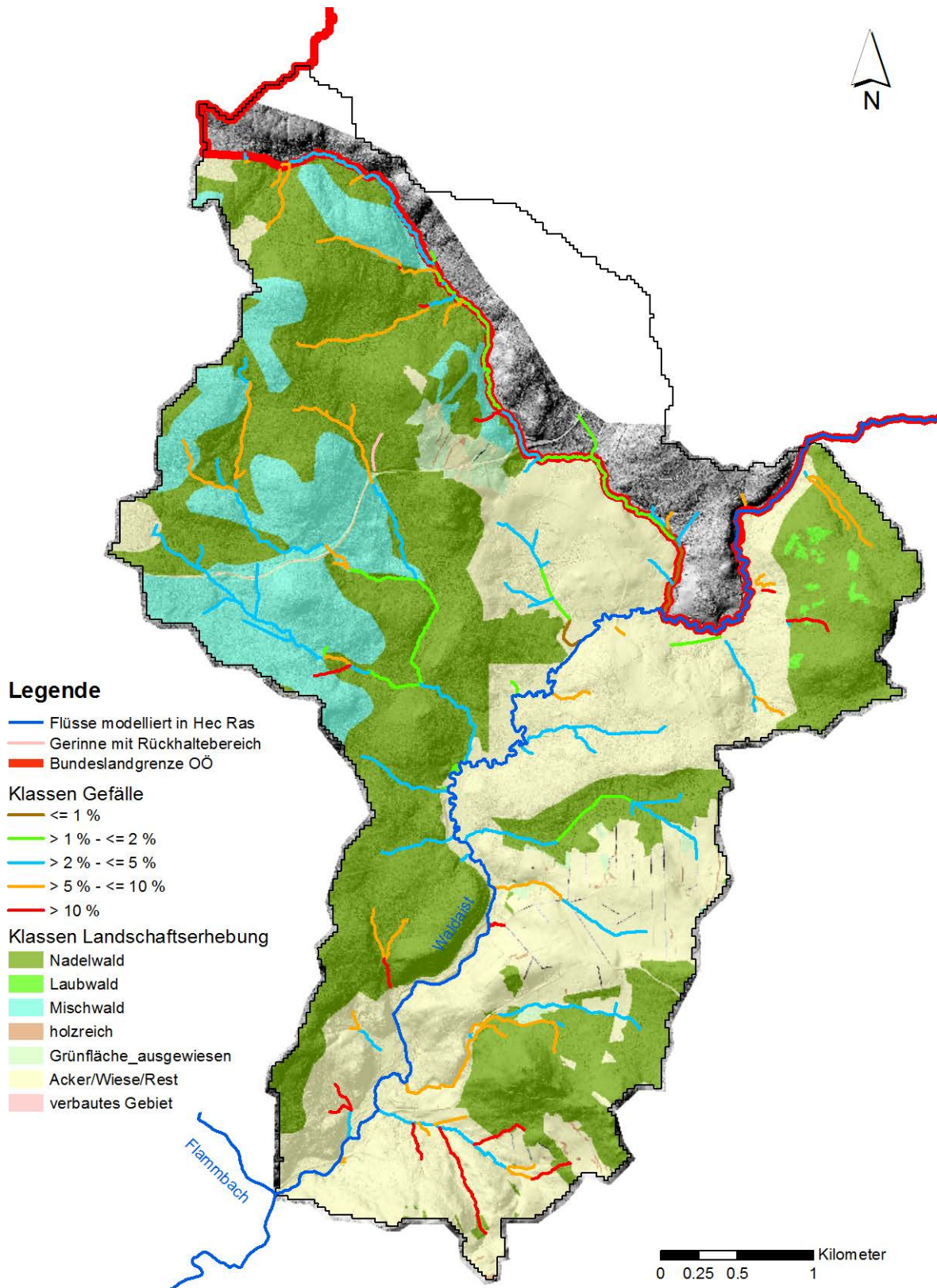


Abbildung 45: Waldaist – EZ 2.5 – Klassen Gefälle und Nadelwald.

WALDAIST - EZ 2.6 - Klassen Gefälle und Geologie

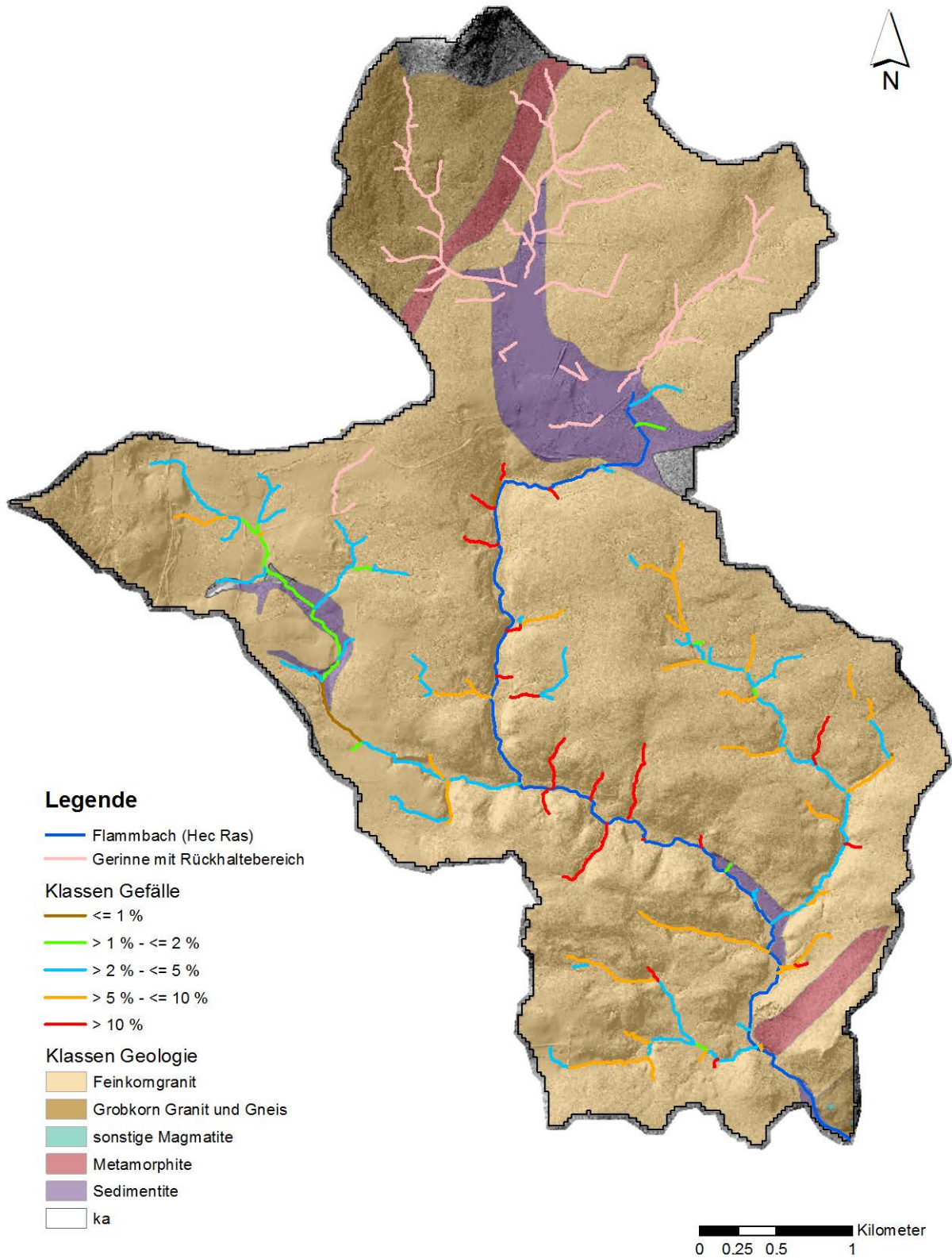


Abbildung 46: Waldaist – EZ 2.6 – Klassen Gefälle und Geologie.

WALDAIST - EZ 2.6 - Klassen Gefälle und Landschaftserhebung

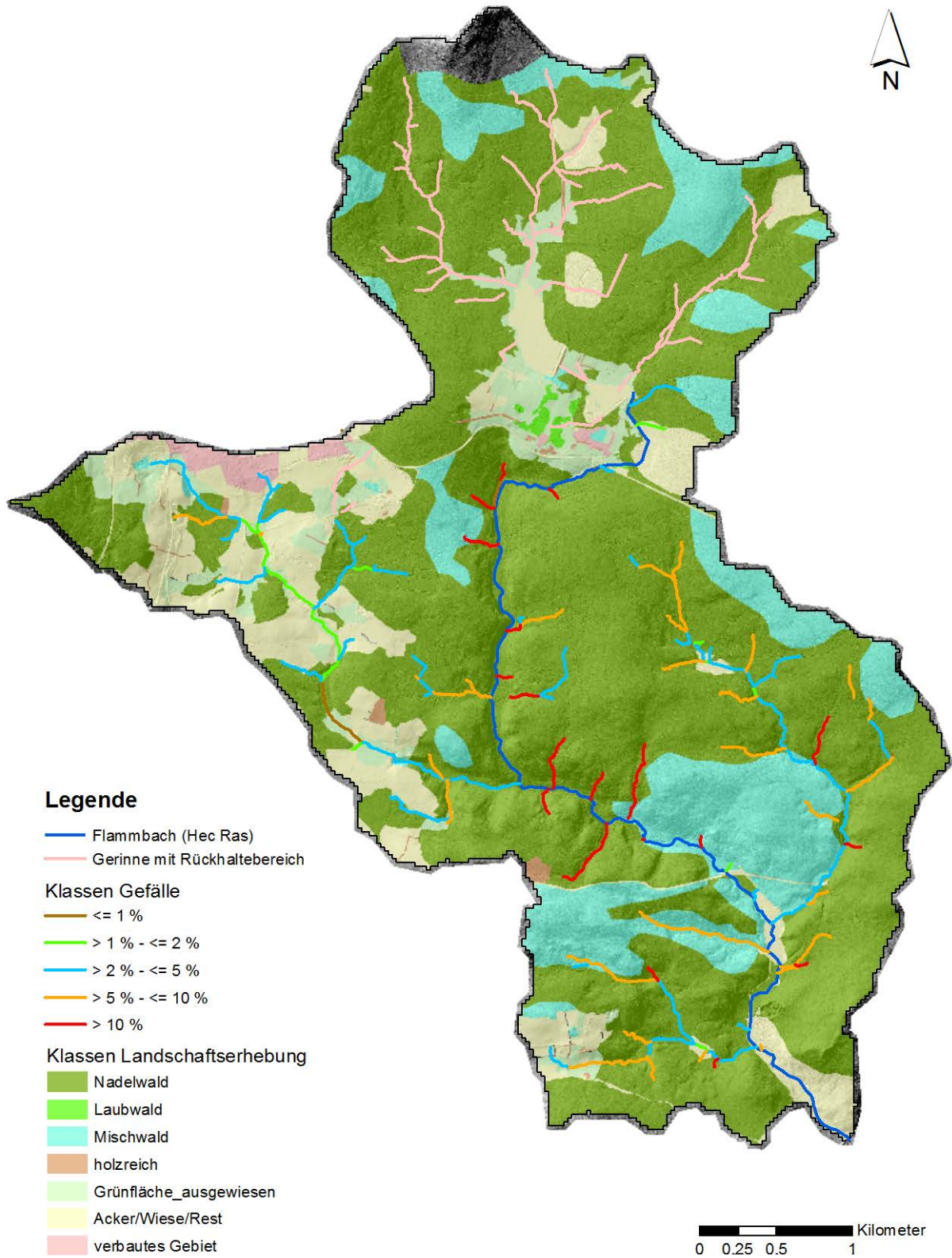


Abbildung 47: Waldaist – EZ 2.6 – Klassen Gefälle und Nadelwald.

WALDAIST - EZ 2.7 - Klassen Gefälle und Geologie

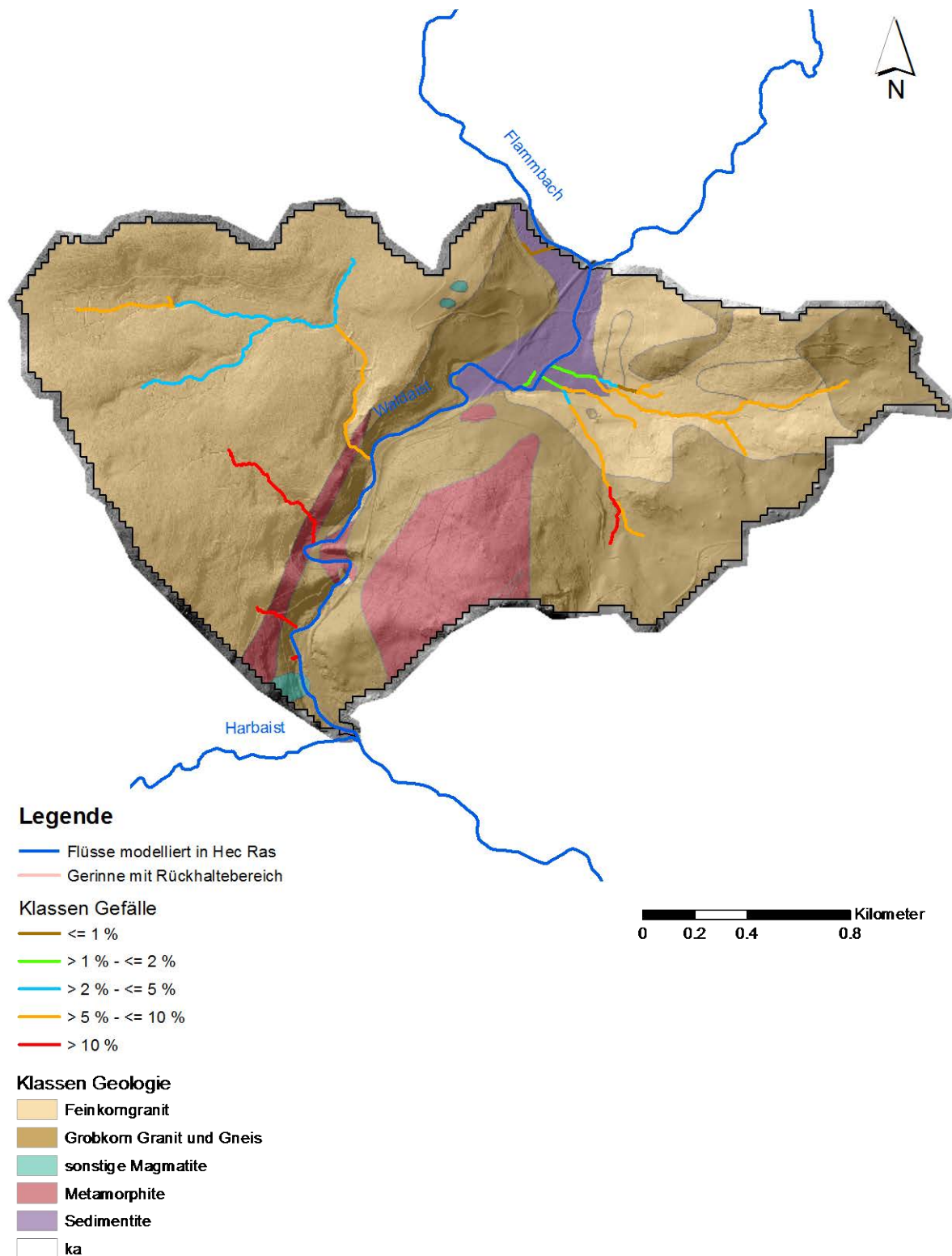


Abbildung 48: Waldaist – EZ 2.7 – Klassen Gefälle und Geologie.

WALDAIST - EZ 2.7 - Klassen Gefälle und Landschaftserhebung

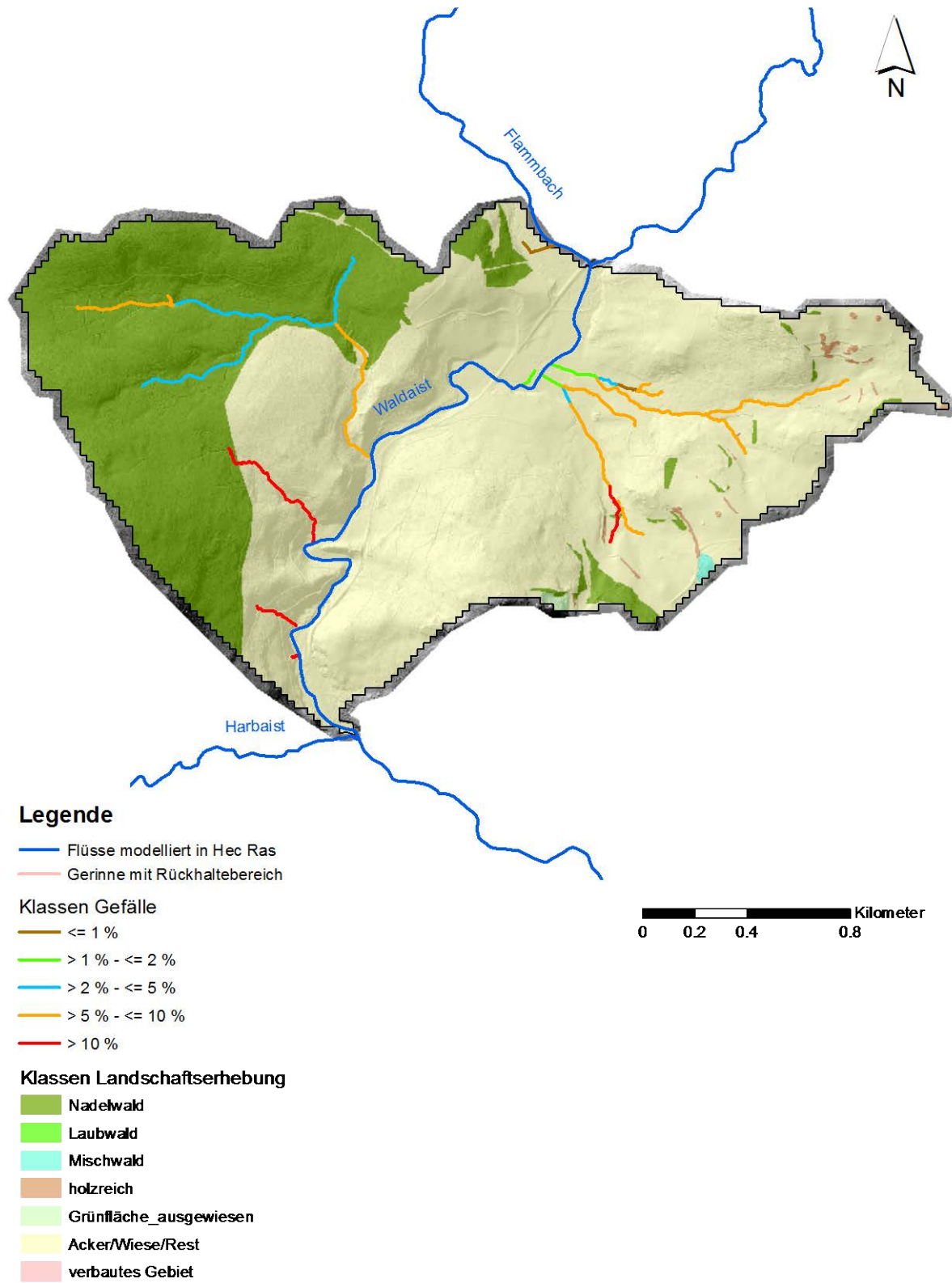


Abbildung 49: Waldaist – EZ 2.7 – Klassen Gefälle und Nadelwald.

WALDAIST - EZ 2.8 - Klassen Gefälle und Geologie

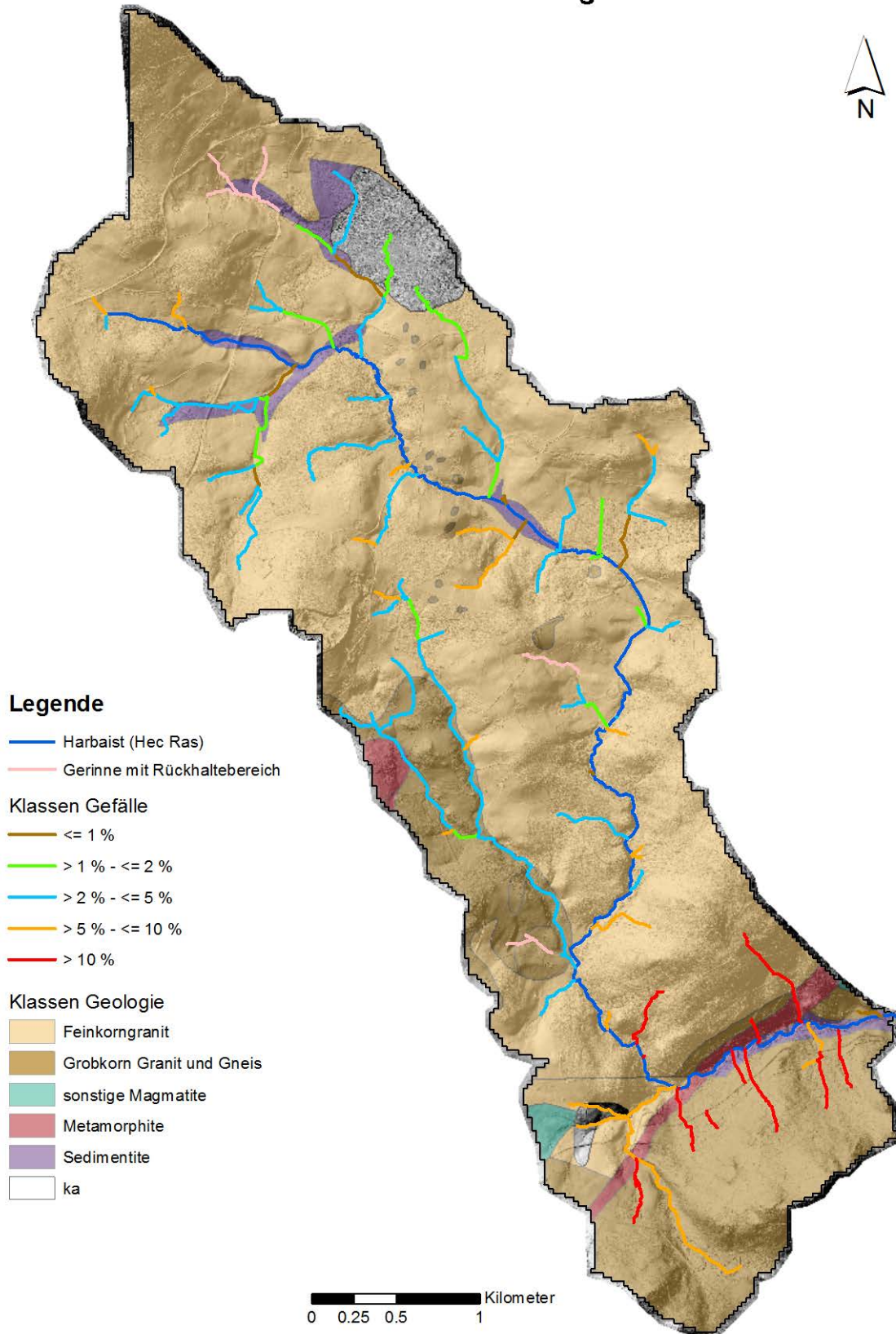


Abbildung 50: Waldaist – EZ 2.8 – Klassen Gefälle und Geologie.

WALDAIST - EZ 2.8 - Klassen Gefälle und Landschaftserhebung

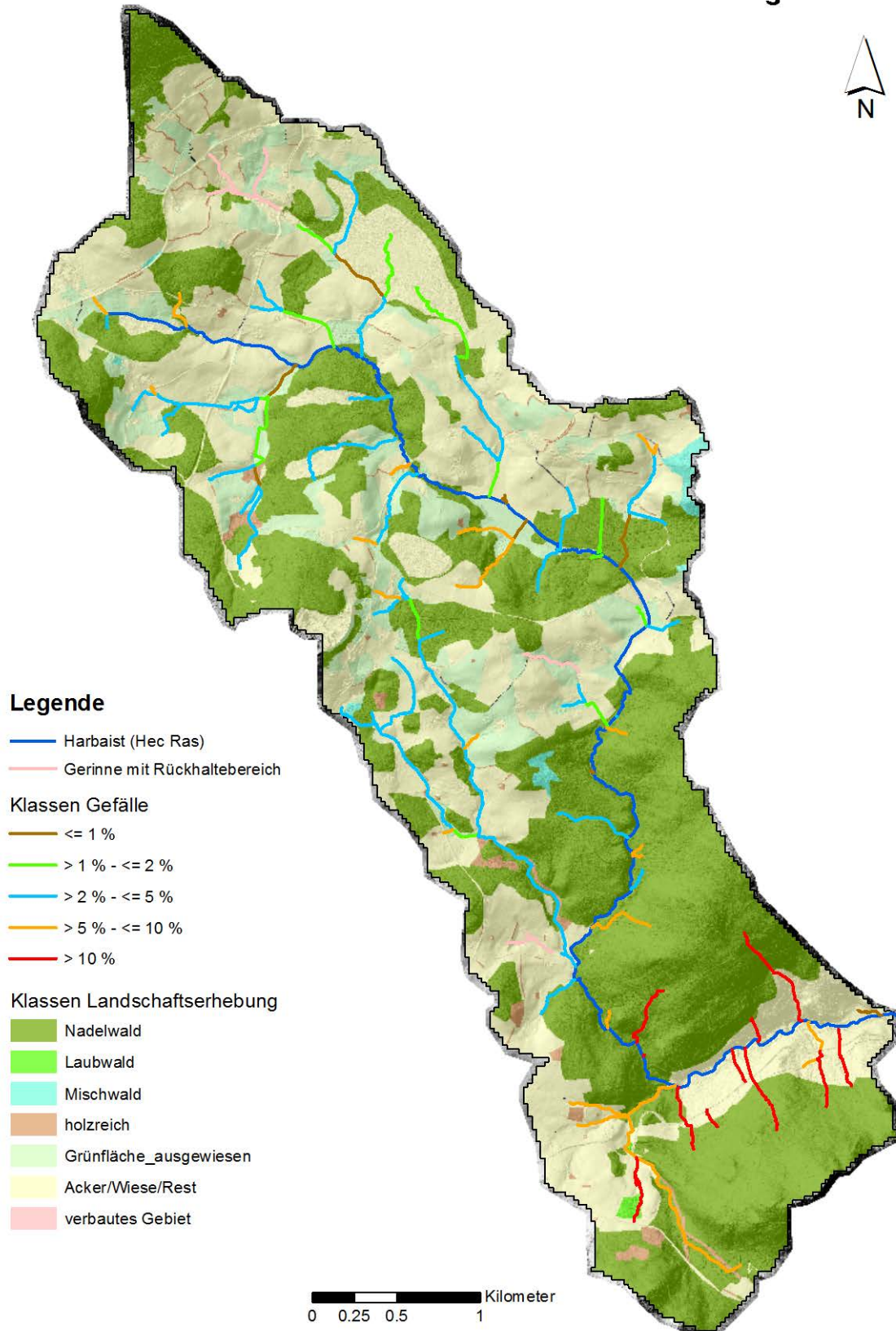


Abbildung 51: Waldaist – EZ 2.8 – Klassen Gefälle und Nadelwald.

WALDAIST - EZ 2.9 - Klassen Gefälle und Geologie

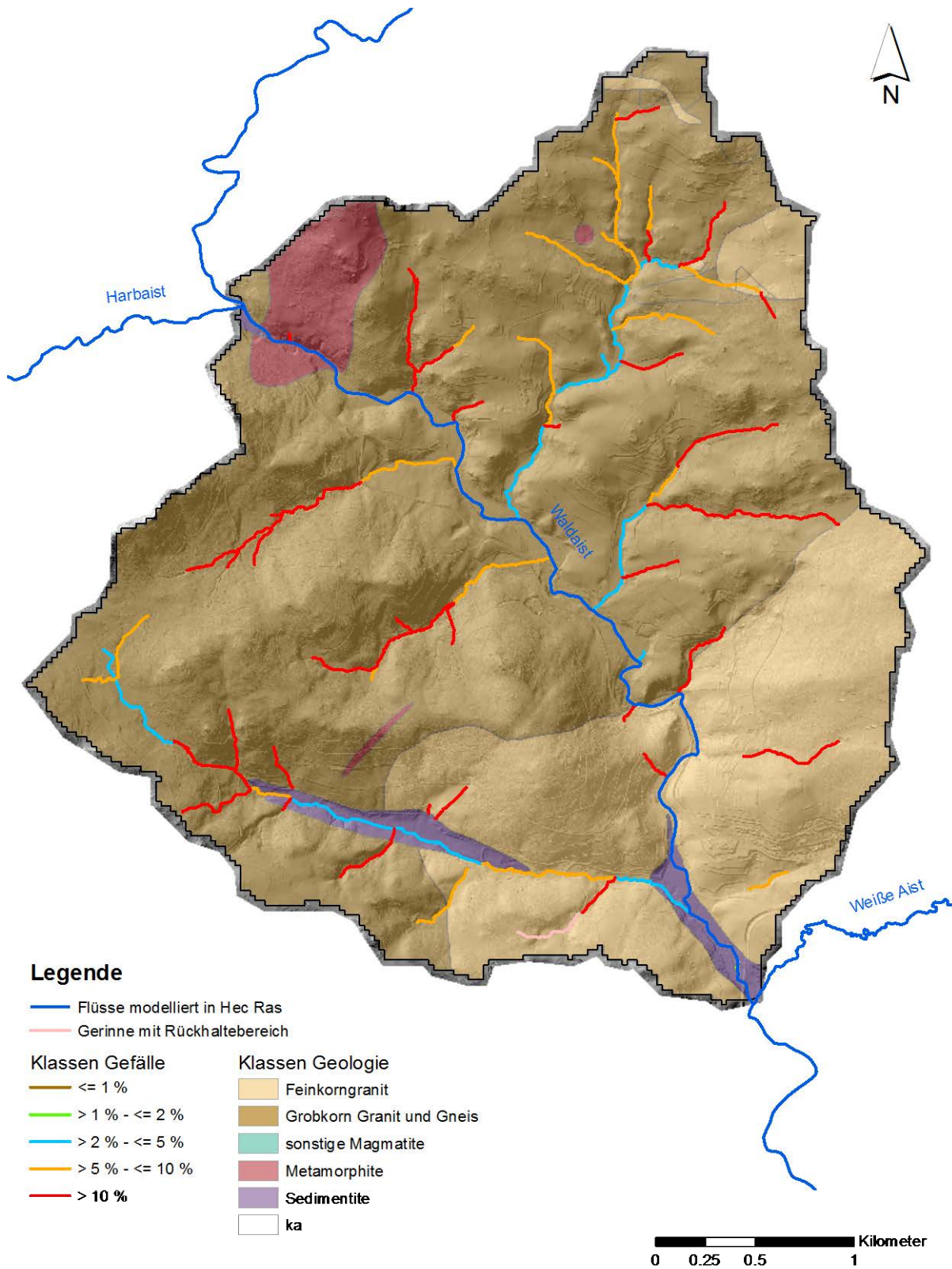


Abbildung 52: Waldaist – EZ 2.9 – Klassen Gefälle und Geologie.

WALDAIST - EZ 2.9 - Klassen Gefälle und Landschaftserhebung

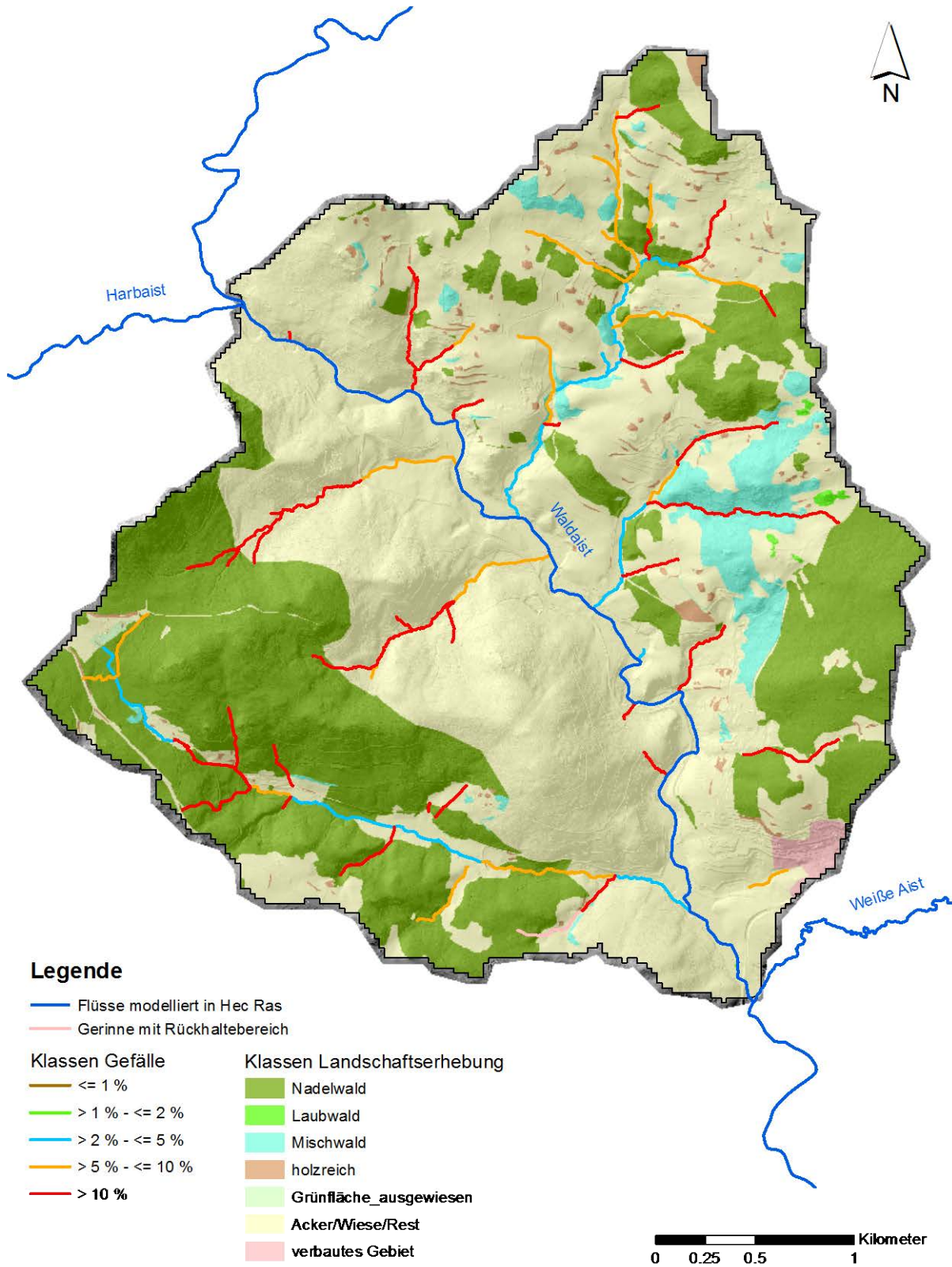


Abbildung 53: Waldaist – EZ 2.9 – Klassen Gefälle und Nadelwald.

WALDAIST - EZ 2.10 - Klassen Gefälle und Geologie

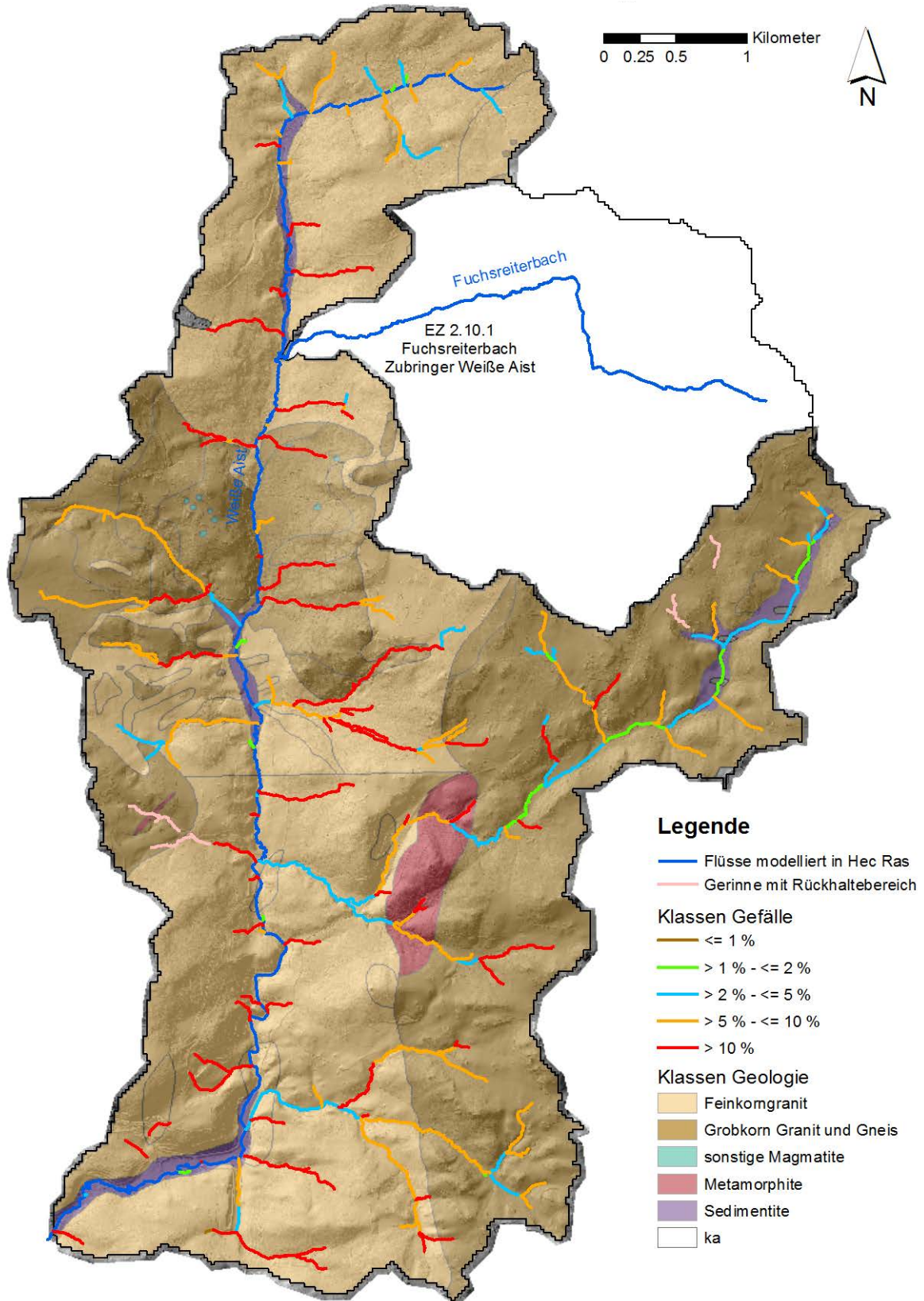


Abbildung 54: Waldaist – EZ 2.10 – Klassen Gefälle und Geologie.

WALDAIST - EZ 2.10 - Klassen Gefälle und Landschaftserhebung

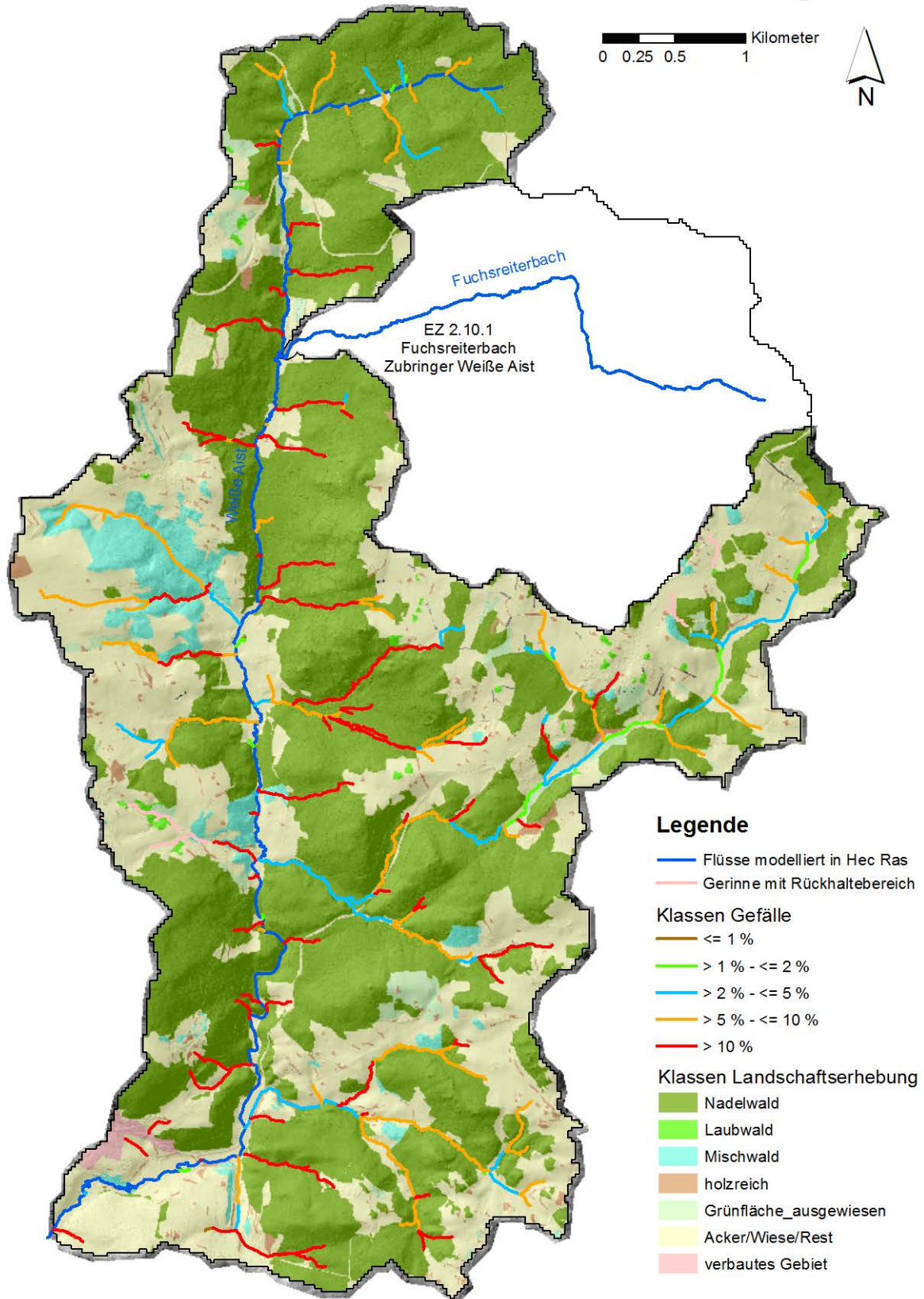


Abbildung 55: Waldaist – EZ 2.10 – Klassen Gefälle und Nadelwald.

WALDAIST - EZ 2.10.1 - Klassen Gefälle und Geologie

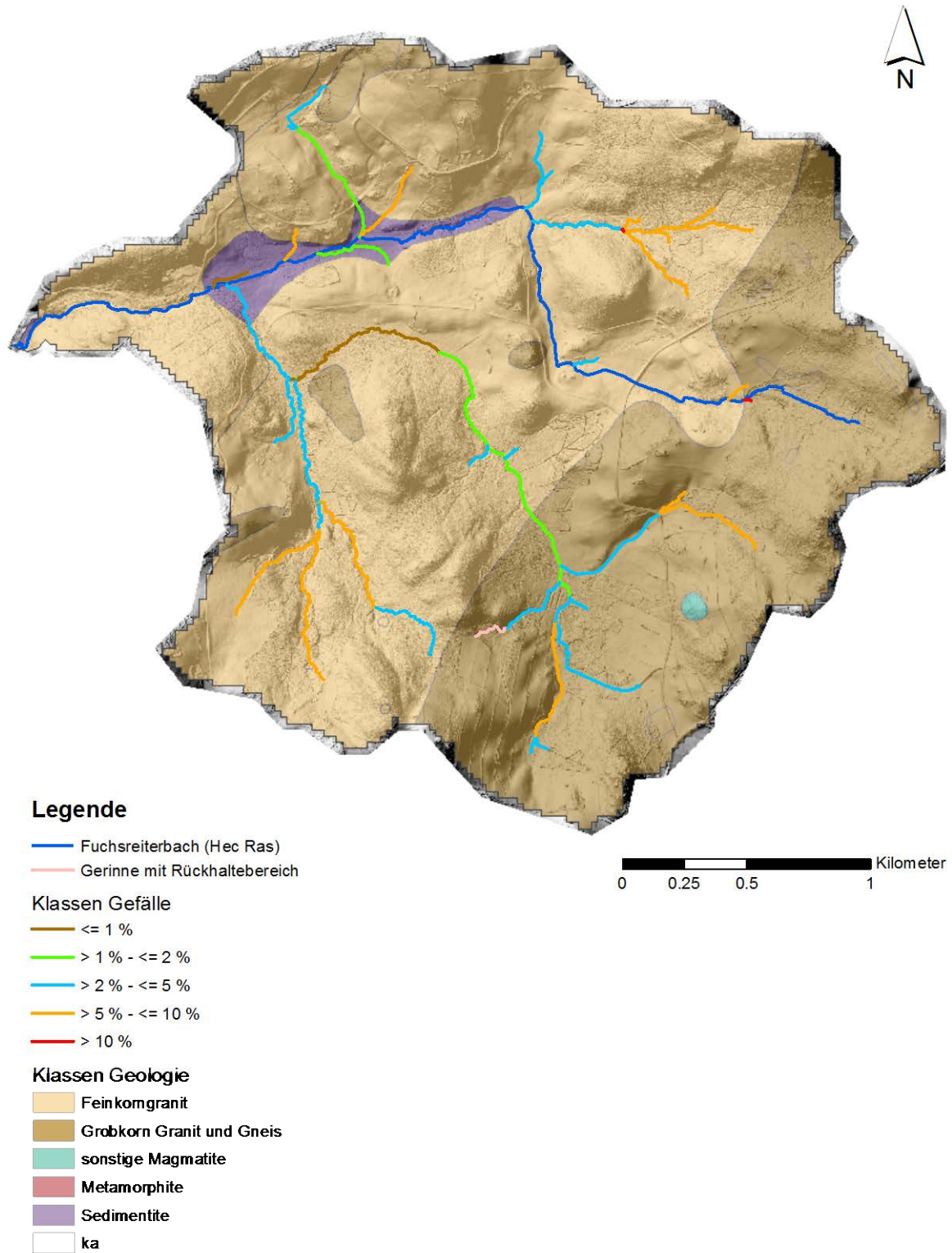


Abbildung 56: Waldaist – EZ 2.10.1 – Klassen Gefälle und Geologie.

WALDAIST - EZ 2.10.1 - Klassen Gefälle und Landschaftserhebung

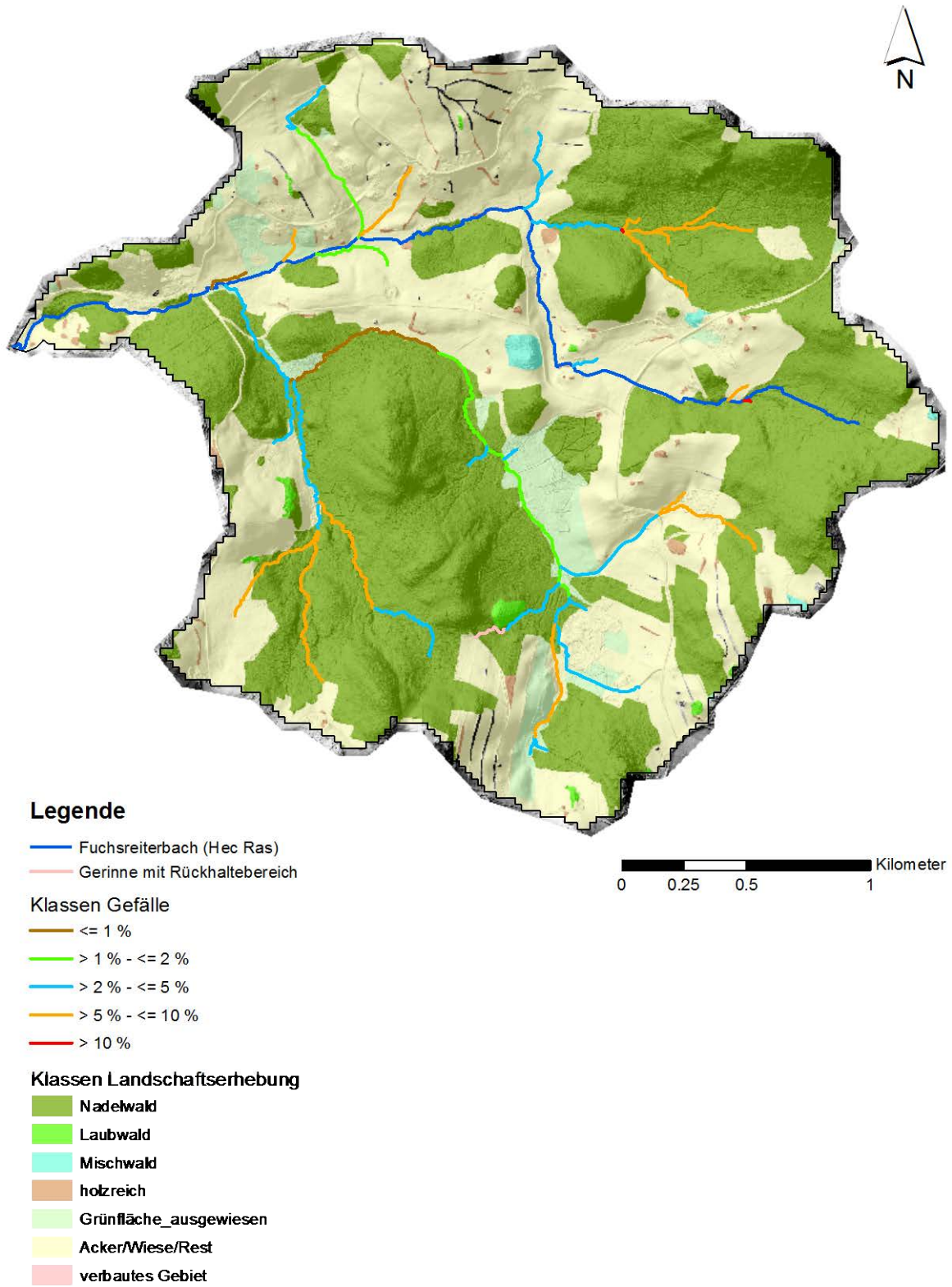


Abbildung 57: Waldaist – EZ 2.10.1 – Klassen Gefälle und Nadelwald.

WALDAIST - EZ 2.11 - Klassen Gefälle und Geologie

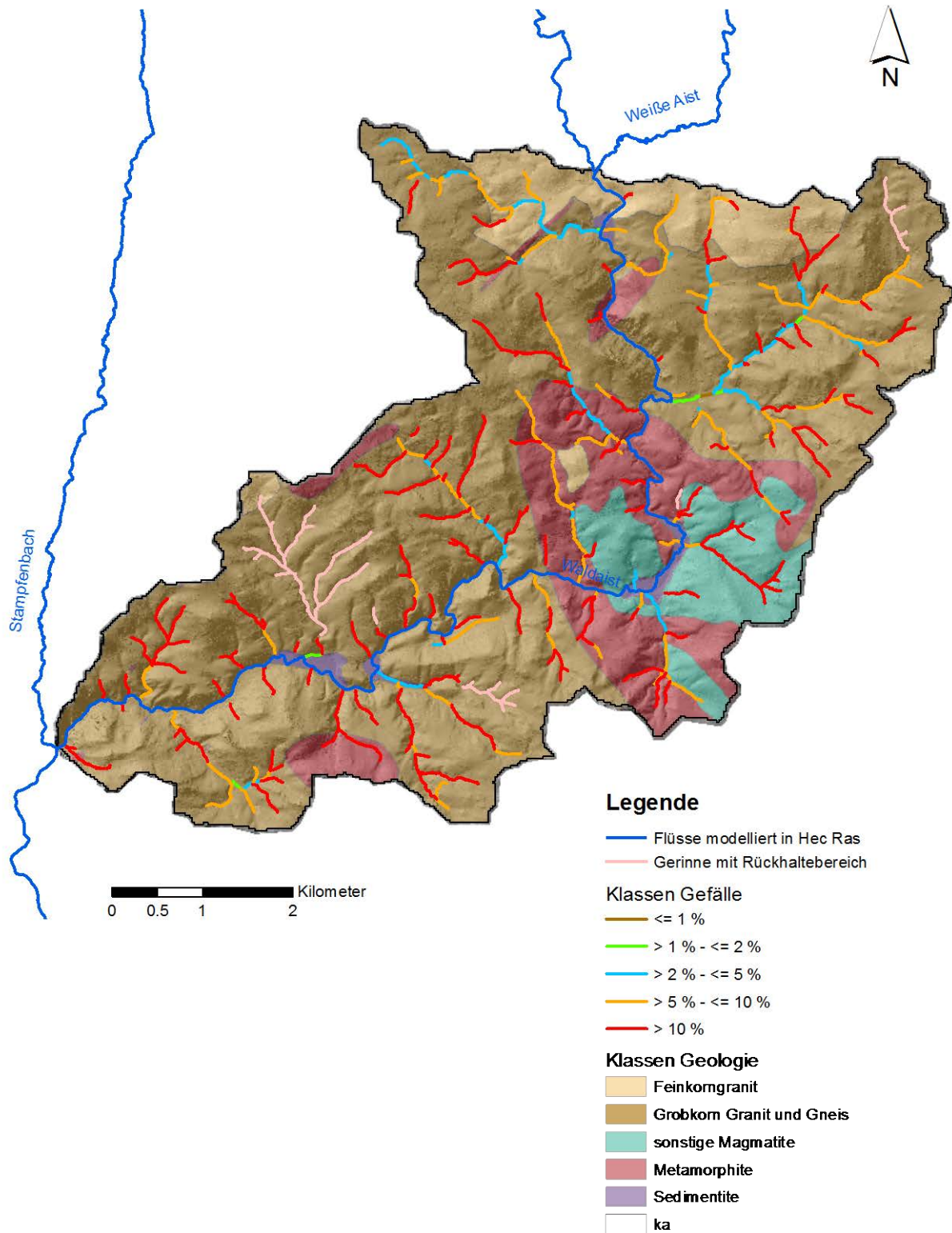


Abbildung 58: Waldaist – EZ 2.11 – Klassen Gefälle und Geologie.

WALDAIST - EZ 2.11 - Klassen Gefälle und Landschaftserhebung

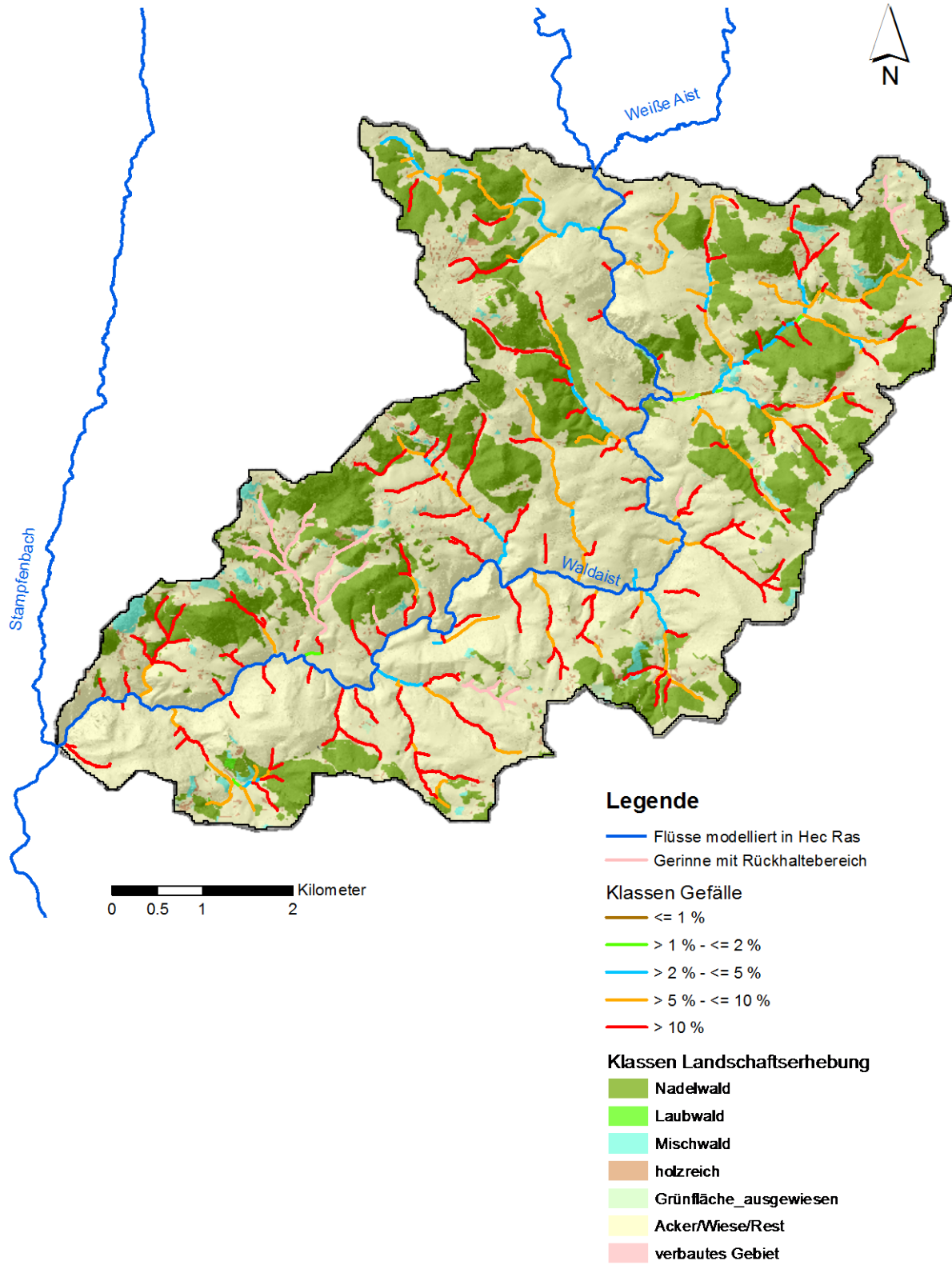


Abbildung 59: Waldaist – EZ 2.11 – Klassen Gefälle und Nadelwald.

WALDAIST - EZ 2.12 - Klassen Gefälle und Geologie

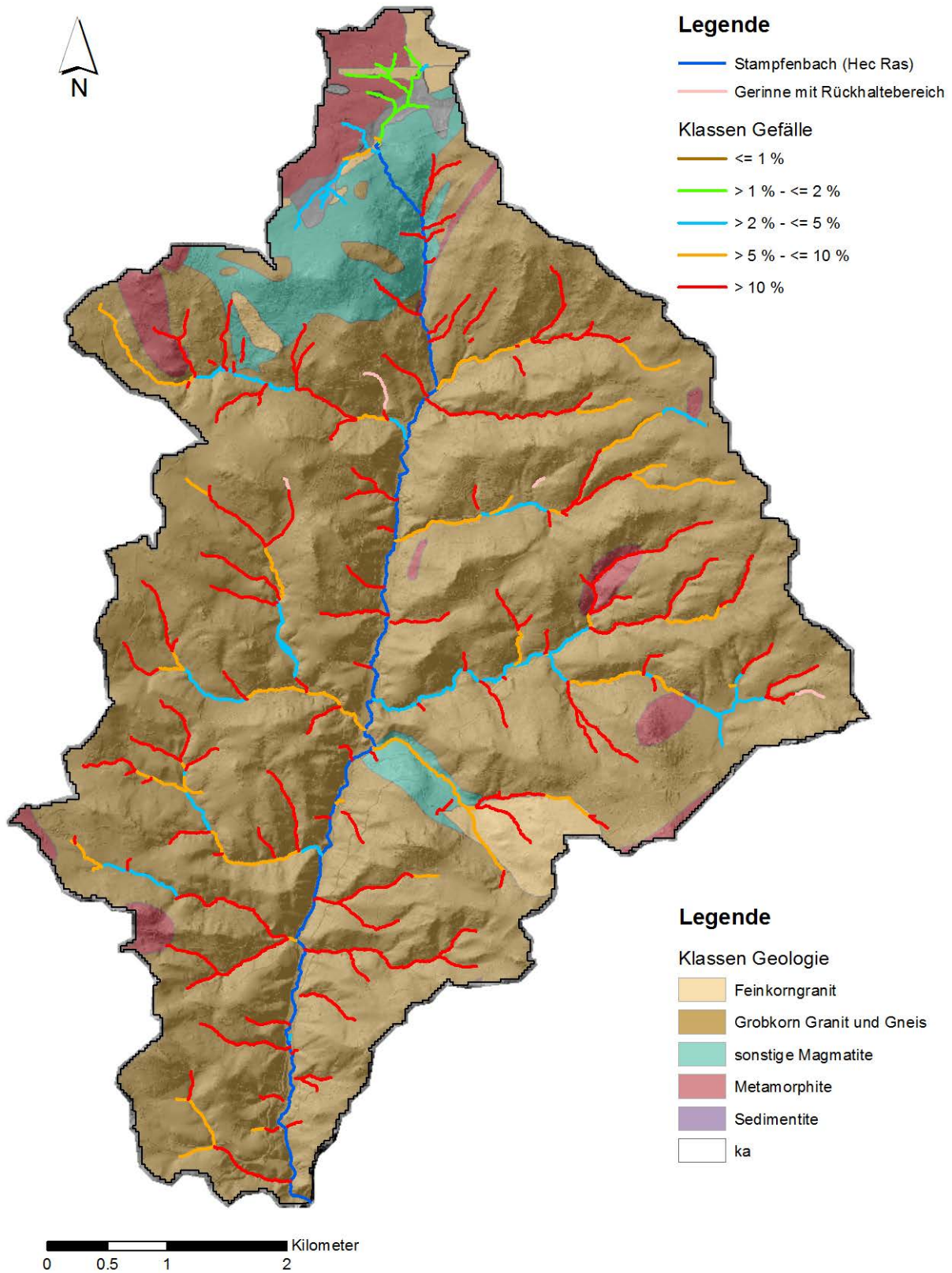


Abbildung 60: Waldaist – EZ 2.12 – Klassen Gefälle und Geologie.

WALDAIST - EZ 2.12 - Klassen Gefälle und Landschaftserhebung

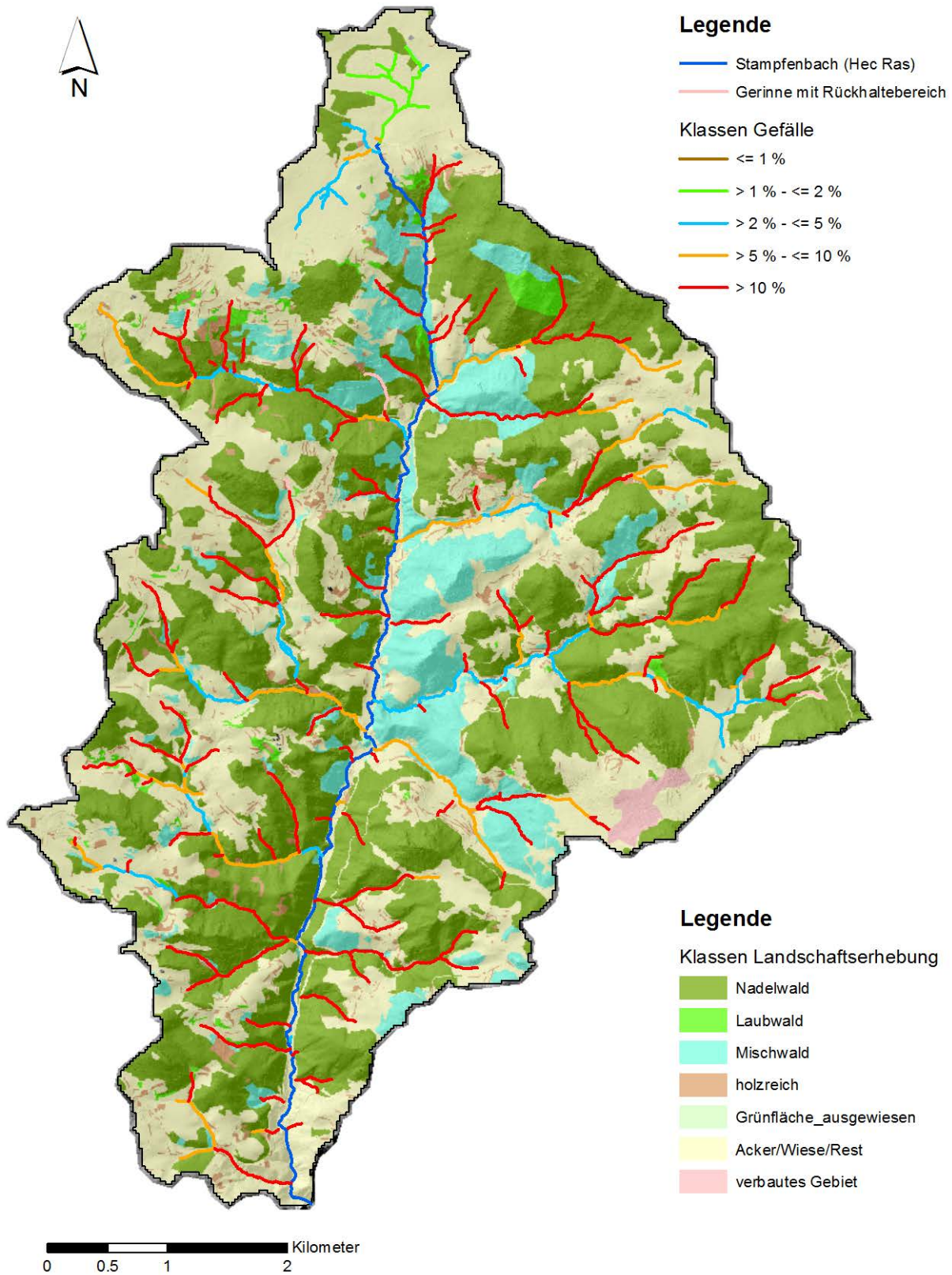


Abbildung 61: Waldaist – EZ 2.12 – Klassen Gefälle und Nadelwald.

WALDAIST - EZ 2.13 - Klassen Gefälle und Geologie

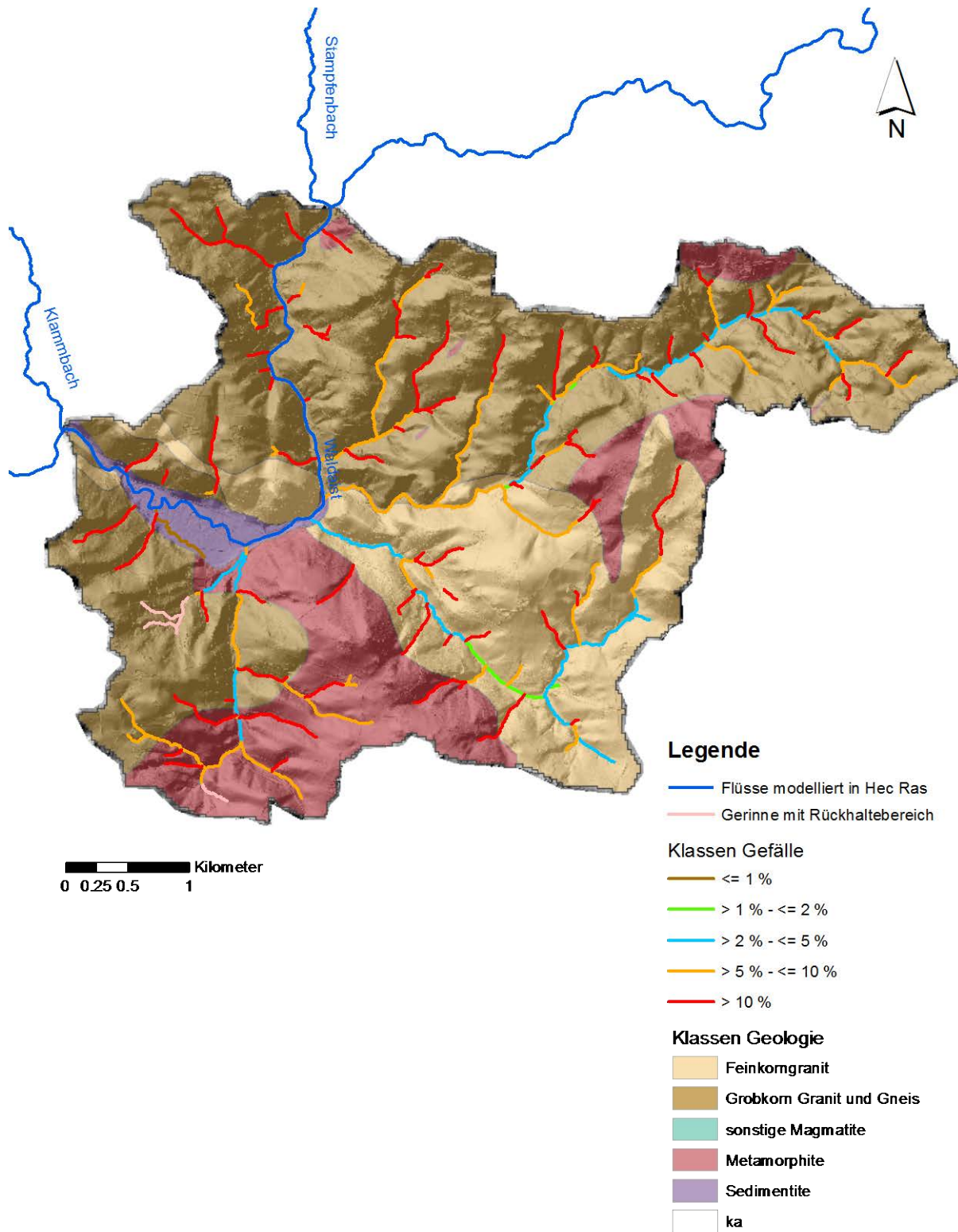


Abbildung 62: Waldaist – EZ 2.13 – Klassen Gefälle und Geologie.

WALDAIST - EZ 2.13 - Klassen Gefälle und Landschaftserhebung

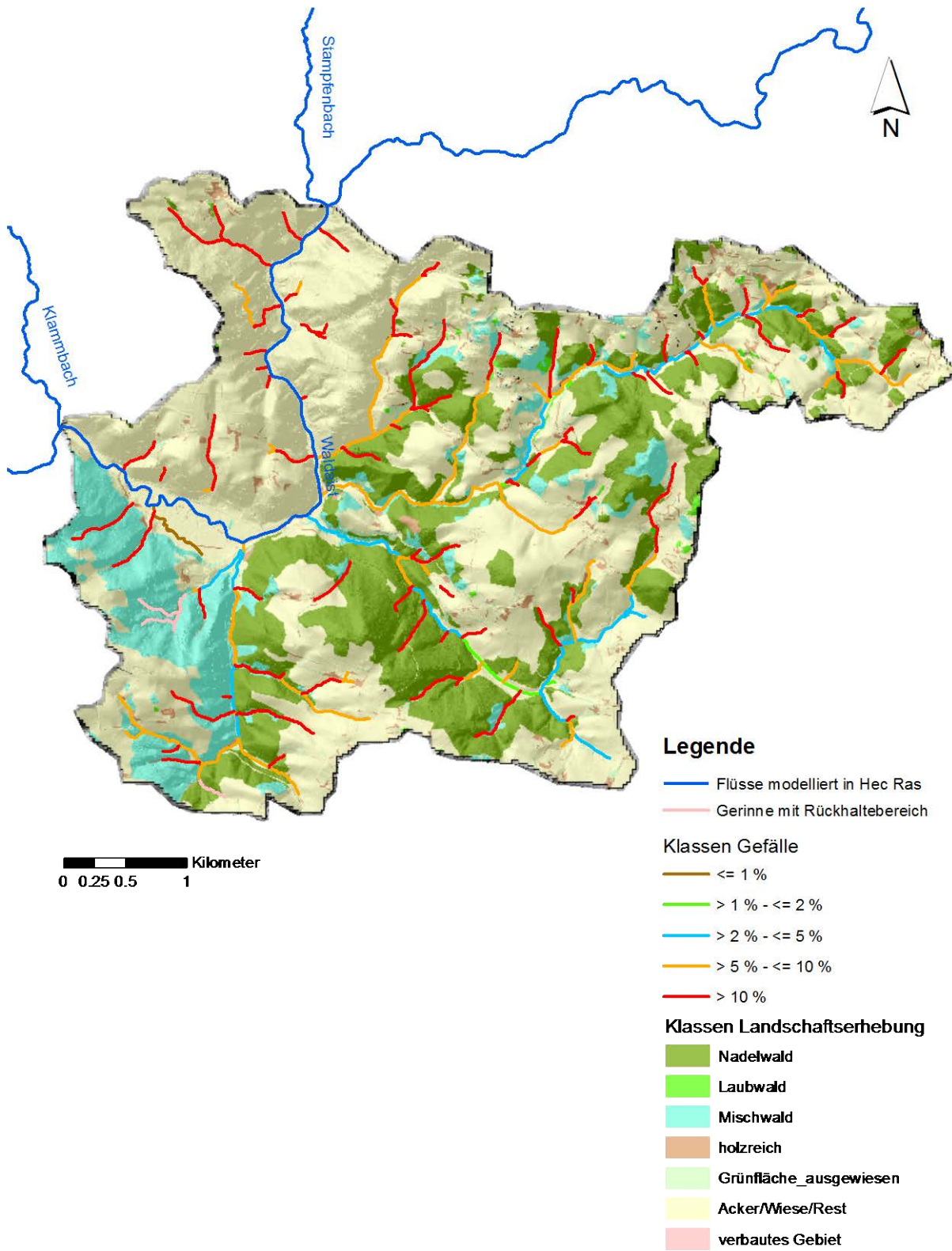


Abbildung 63: Waldaist – EZ 2.13 – Klassen Gefälle und Nadelwald.

WALDAIST - EZ 2.14 - Klassen Gefälle und Geologie

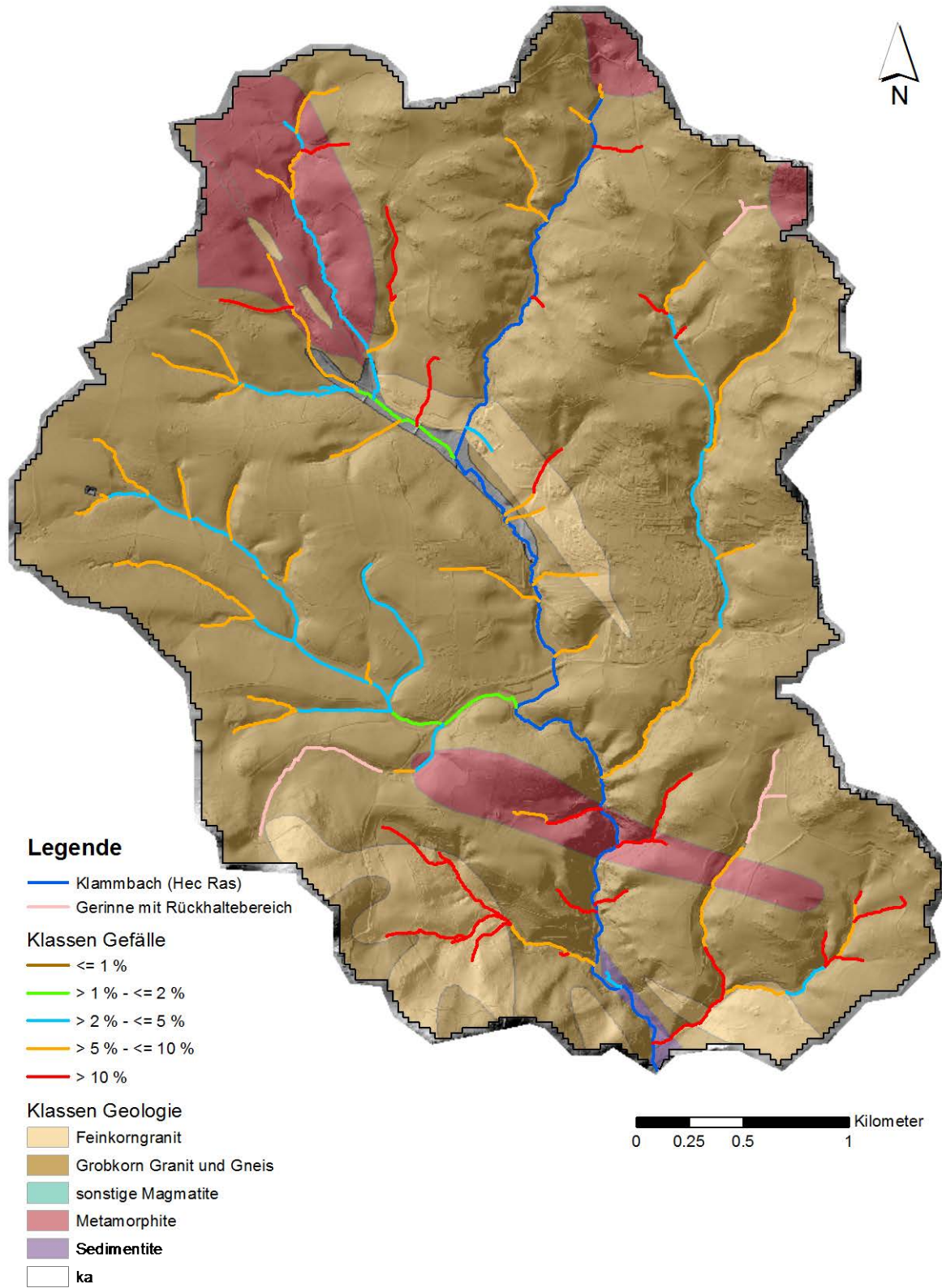


Abbildung 64: Waldaist – EZ 2.14 – Klassen Gefälle und Geologie.

WALDAIST - EZ 2.14 - Klassen Gefälle und Landschaftserhebung

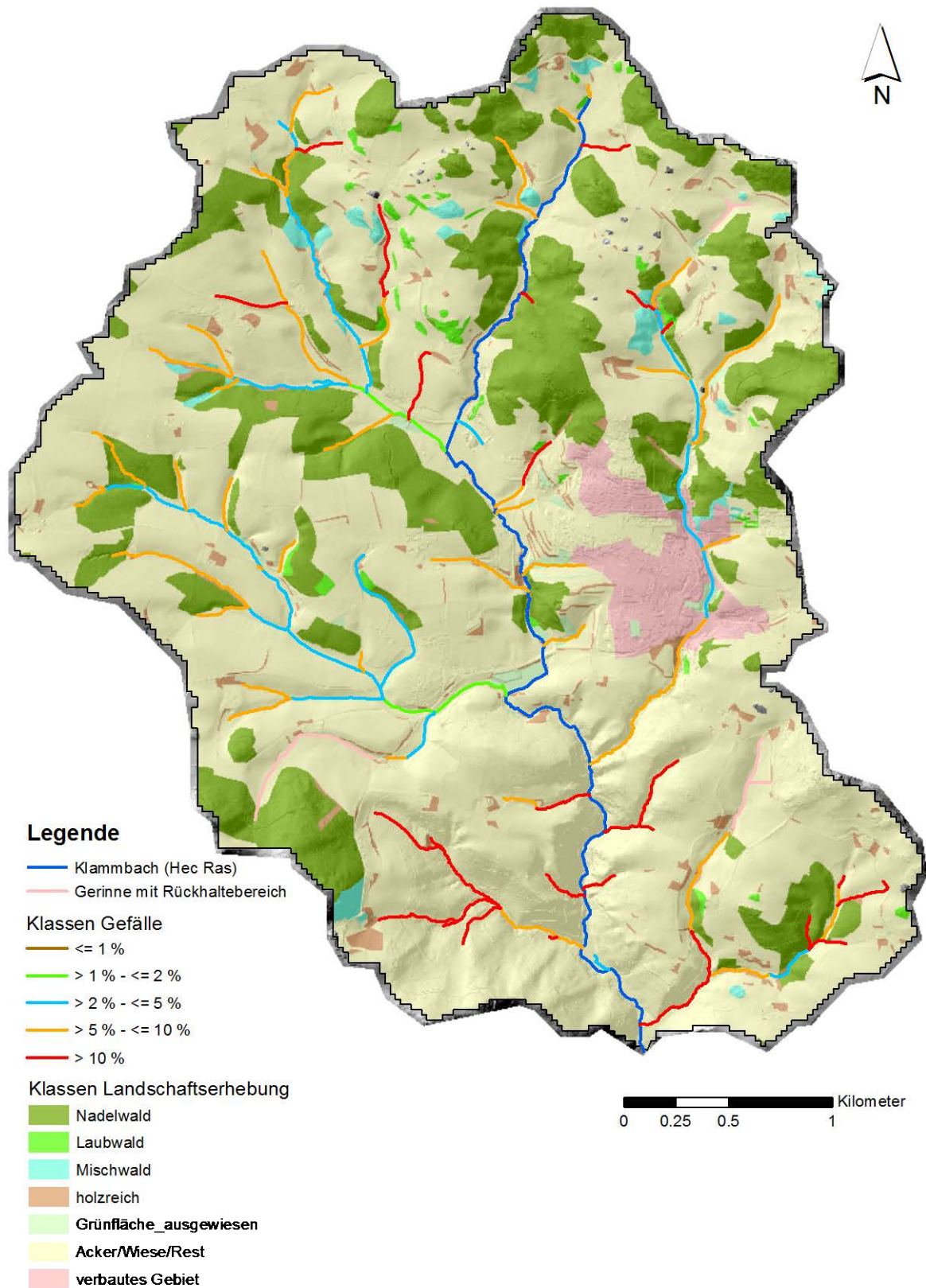


Abbildung 65: Waldaist – EZ 2.14 – Klassen Gefälle und Nadelwald.

WALDAIST - EZ 2.15 - Klassen Gefälle und Geologie

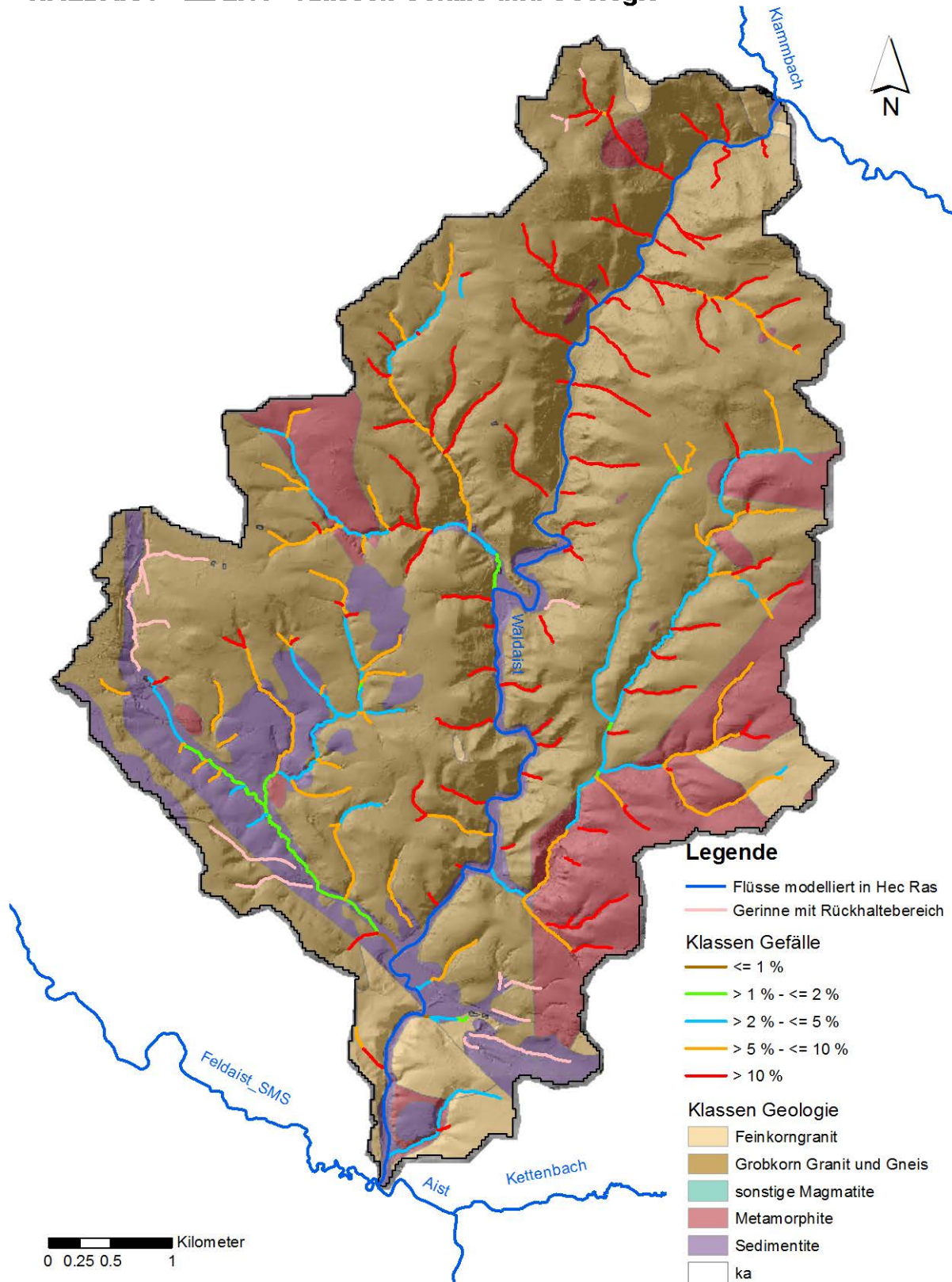


Abbildung 66: Waldaist – EZ 2.15 – Klassen Gefälle und Geologie.

WALDAIST - EZ 2.15 - Klassen Gefälle und Landschaftserhebung

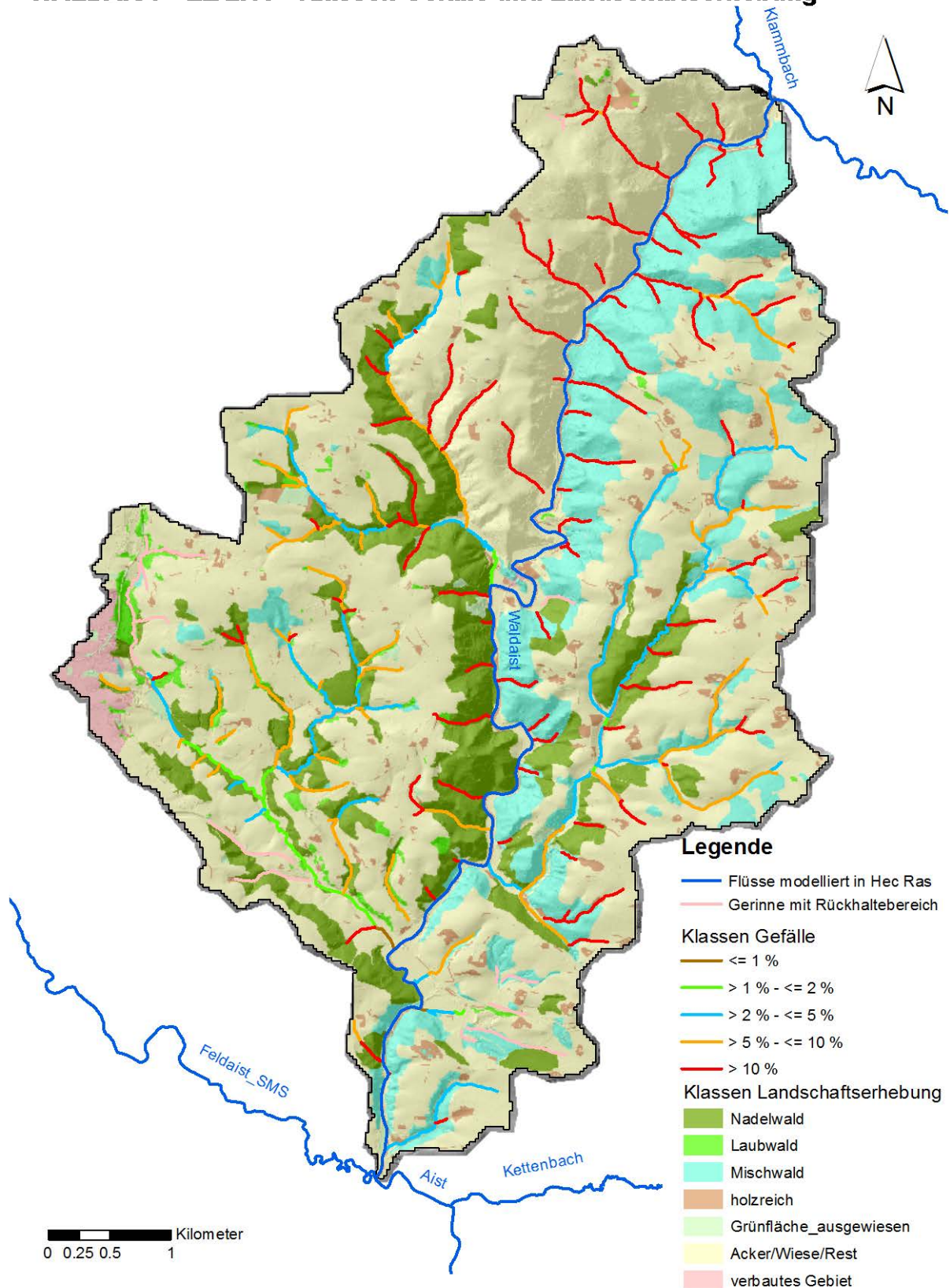
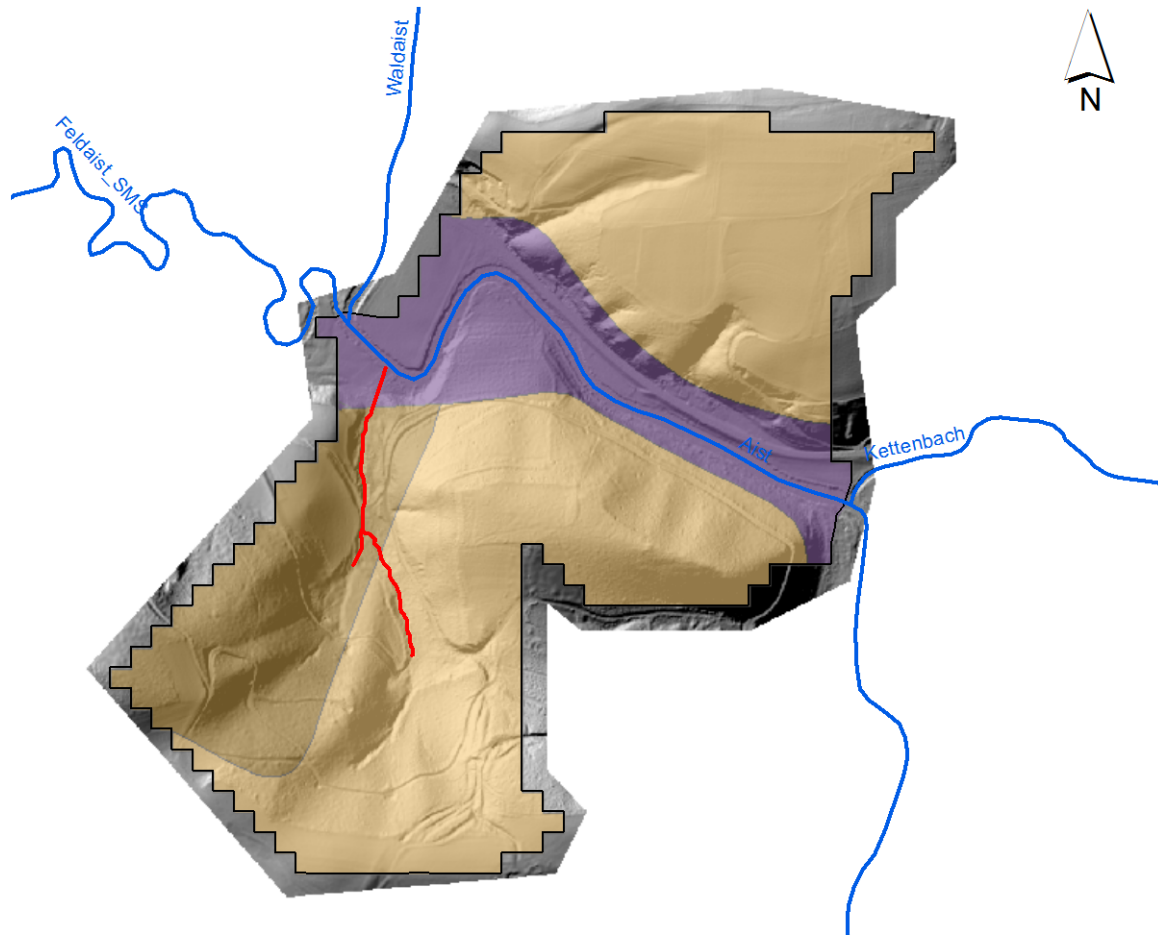


Abbildung 67: Waldaist – EZ 2.15 – Klassen Gefälle und Nadelwald.

3.4. Aist

AIST - EZ 3.1 - Klassen Gefälle und Geologie



Legende

- Flüsse modelliert in Hec Ras
- Gerinne mit Rückhaltebereich

Klassen Gefälle

- $\leq 1\%$
- $> 1\% - \leq 2\%$
- $> 2\% - \leq 5\%$
- $> 5\% - \leq 10\%$
- $> 10\%$

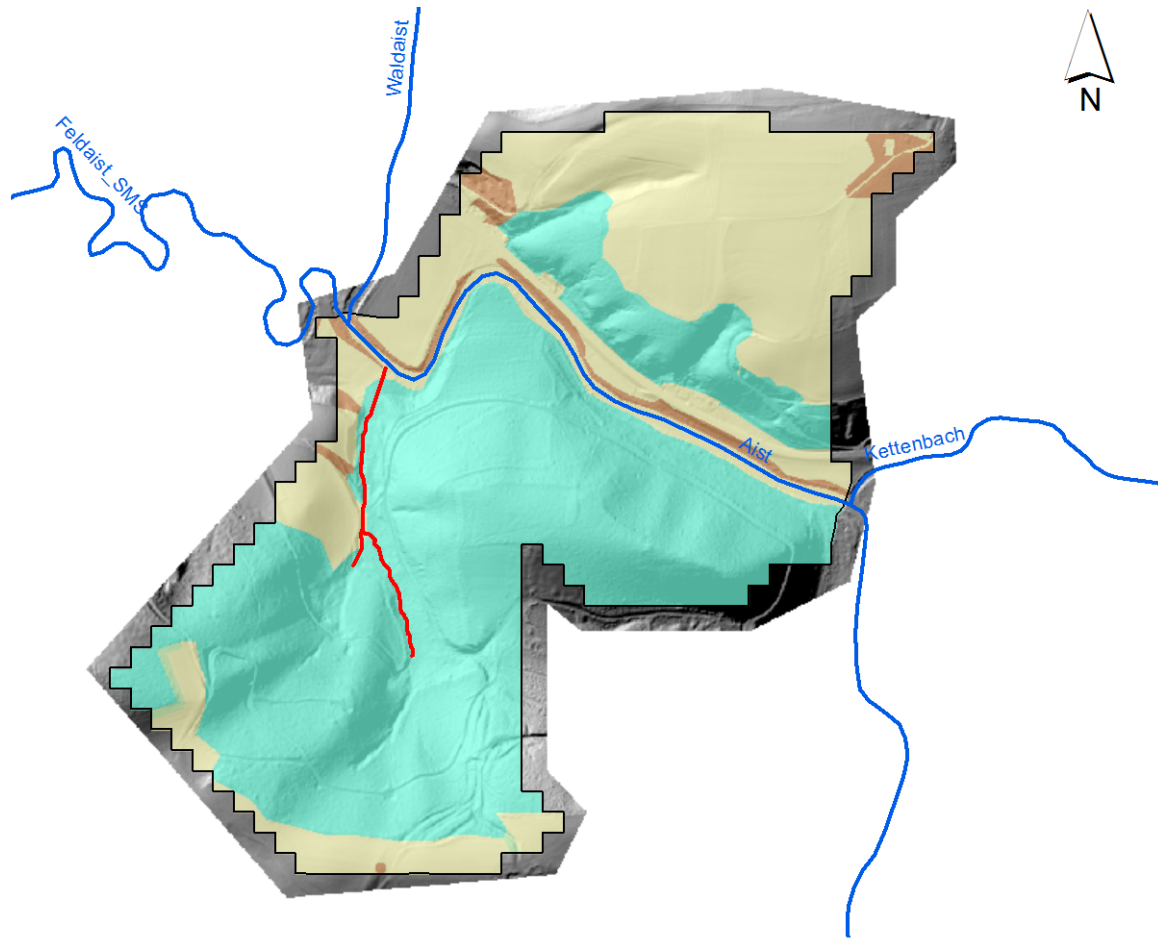
Klassen Geologie

- Feinkomgranit
- Grobkom Granit und Gneis
- sonstige Magmatite
- Metamorphite
- Sedimentite
- ka



Abbildung 68: Aist – EZ 3.1 – Klassen Gefälle und Geologie.

AIST - EZ 3.1 - Klassen Gefälle und Landschaftserhebung



Legende

- Flüsse modelliert in Hec Ras
- Gerinne mit Rückhaltebereich

Klassen Gefälle

- <= 1 %
- > 1 % - <= 2 %
- > 2 % - <= 5 %
- > 5 % - <= 10 %
- > 10 %

Klassen Landschaftserhebung

- Nadelwald
- Laubwald
- Mischwald
- holzreich
- Grünfläche_ausgewiesen
- Acker/Wiese/Rest
- verbautes Gebiet



Abbildung 69: Aist – EZ 3.1 – Klassen Gefälle und Nadelwald.

AIST - EZ 3.2 - Klassen Gefälle und Geologie



Abbildung 70: Aist – EZ 3.2 – Klassen Gefälle und Geologie.

AIST - EZ 3.2 - Klassen Gefälle und Landschaftserhebung



Abbildung 71: Aist – EZ 3.2 – Klassen Gefälle und Nadelwald.

AIST - EZ 3.3 - Klassen Gefälle und Geologie

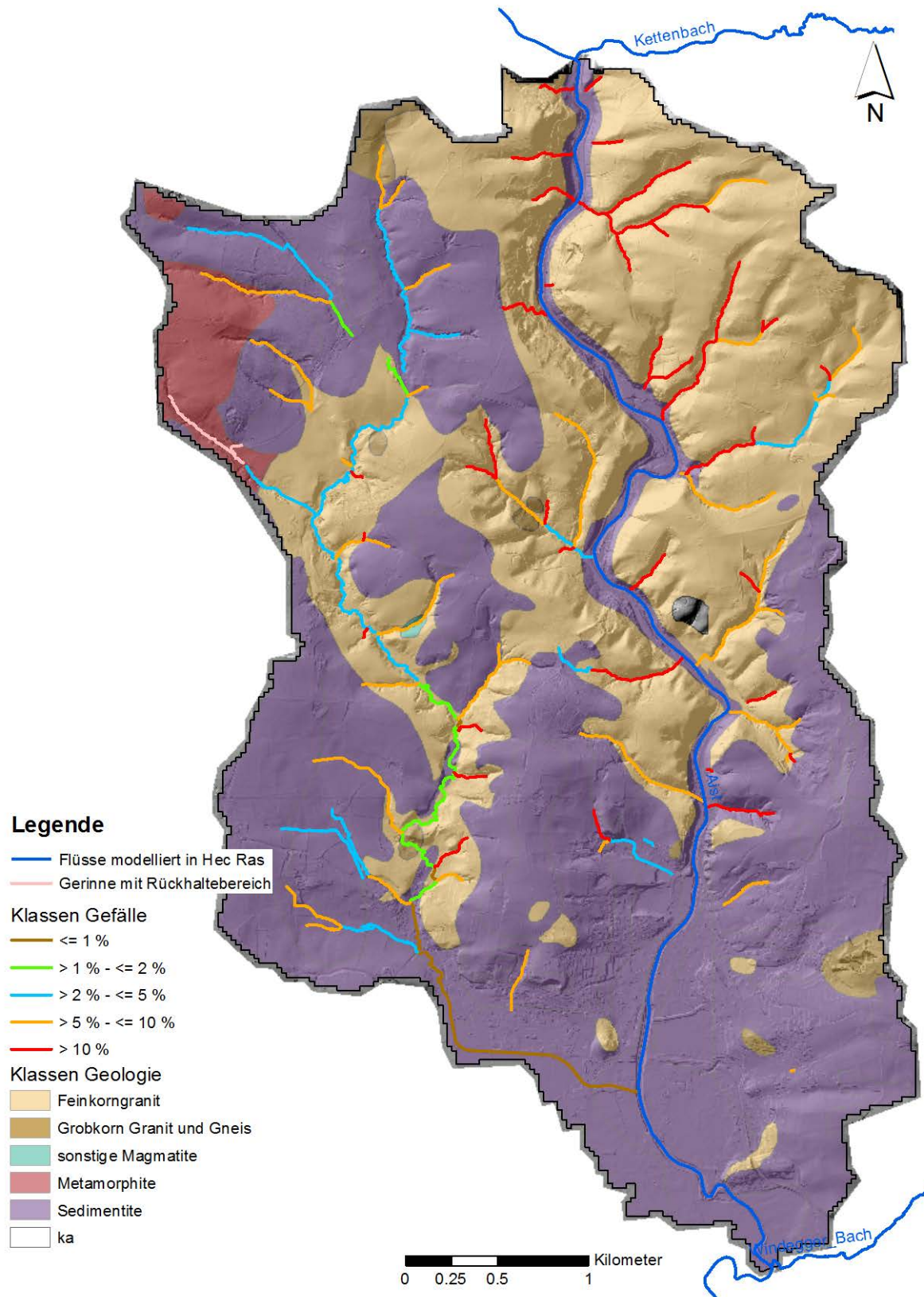


Abbildung 72: Aist – EZ 3.3 – Klassen Gefälle und Geologie.

AIST - EZ 3.3 - Klassen Gefälle und Landschaftserhebung

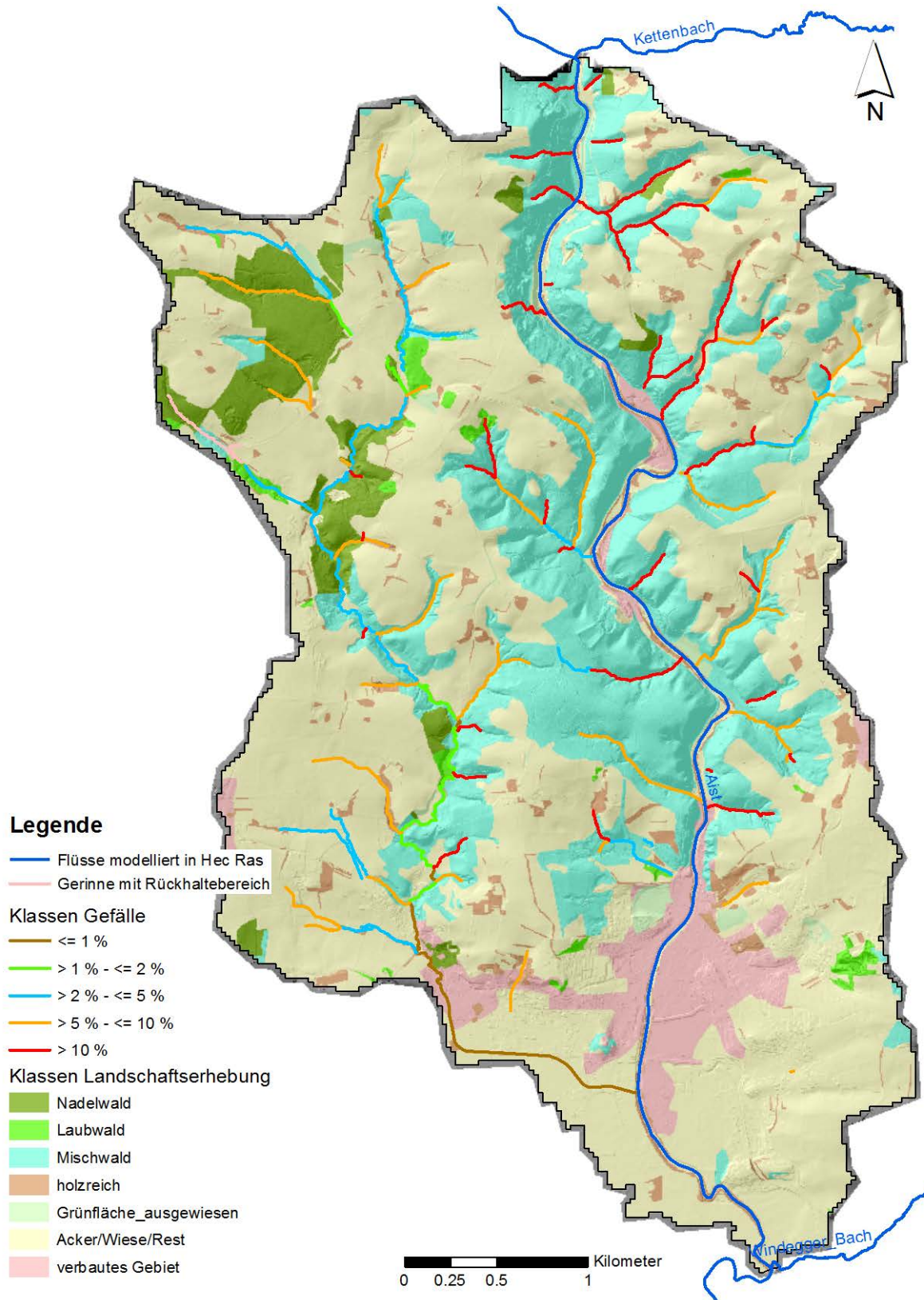


Abbildung 73: Aist – EZ 3.3 – Klassen Gefälle und Nadelwald.

AIST - EZ 3.4 - Klassen Gefälle und Geologie

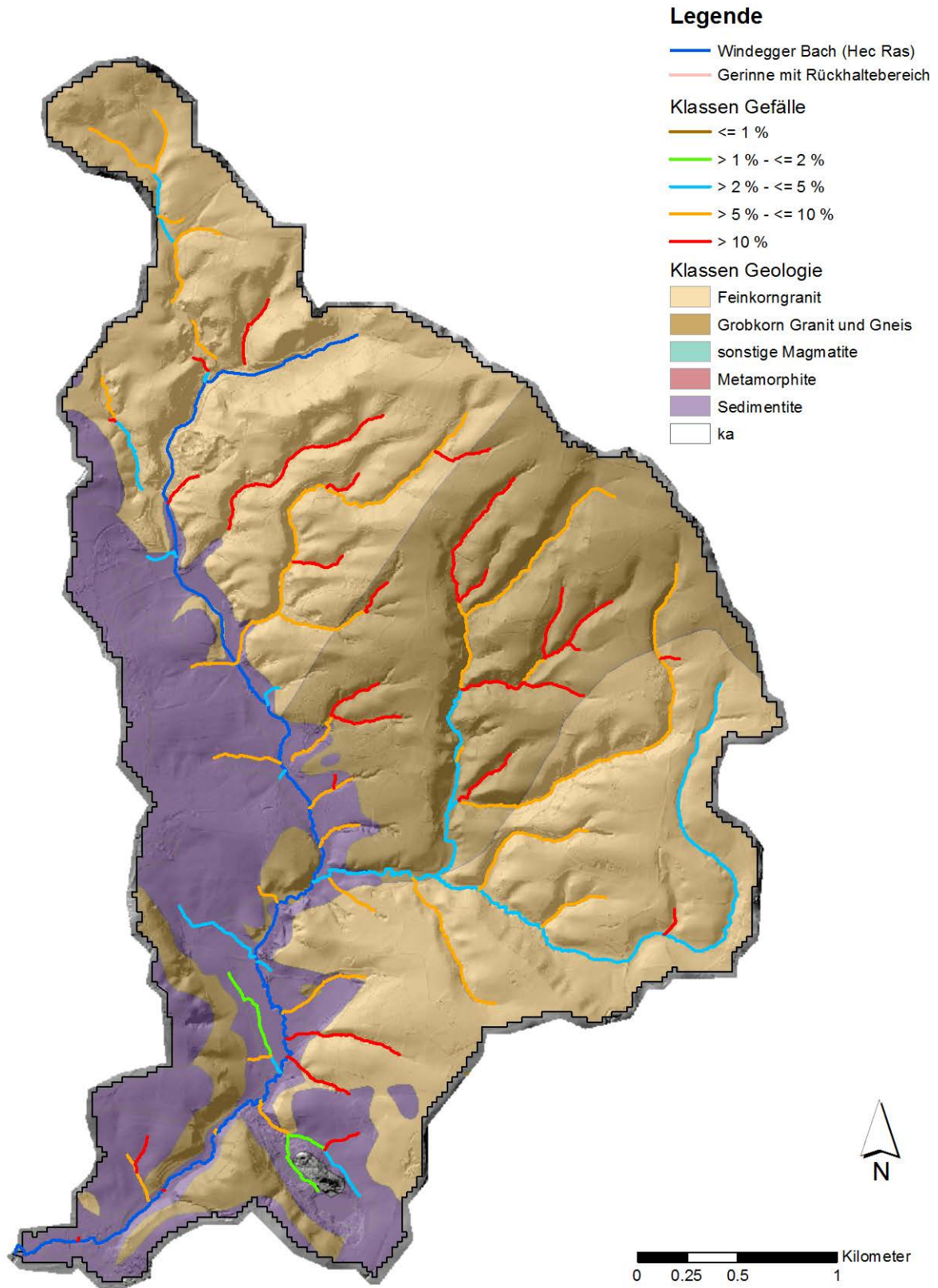


Abbildung 74: Aist – EZ 3.4 – Klassen Gefälle und Geologie.

AIST - EZ 3.4 - Klassen Gefälle und Landschaftserhebung

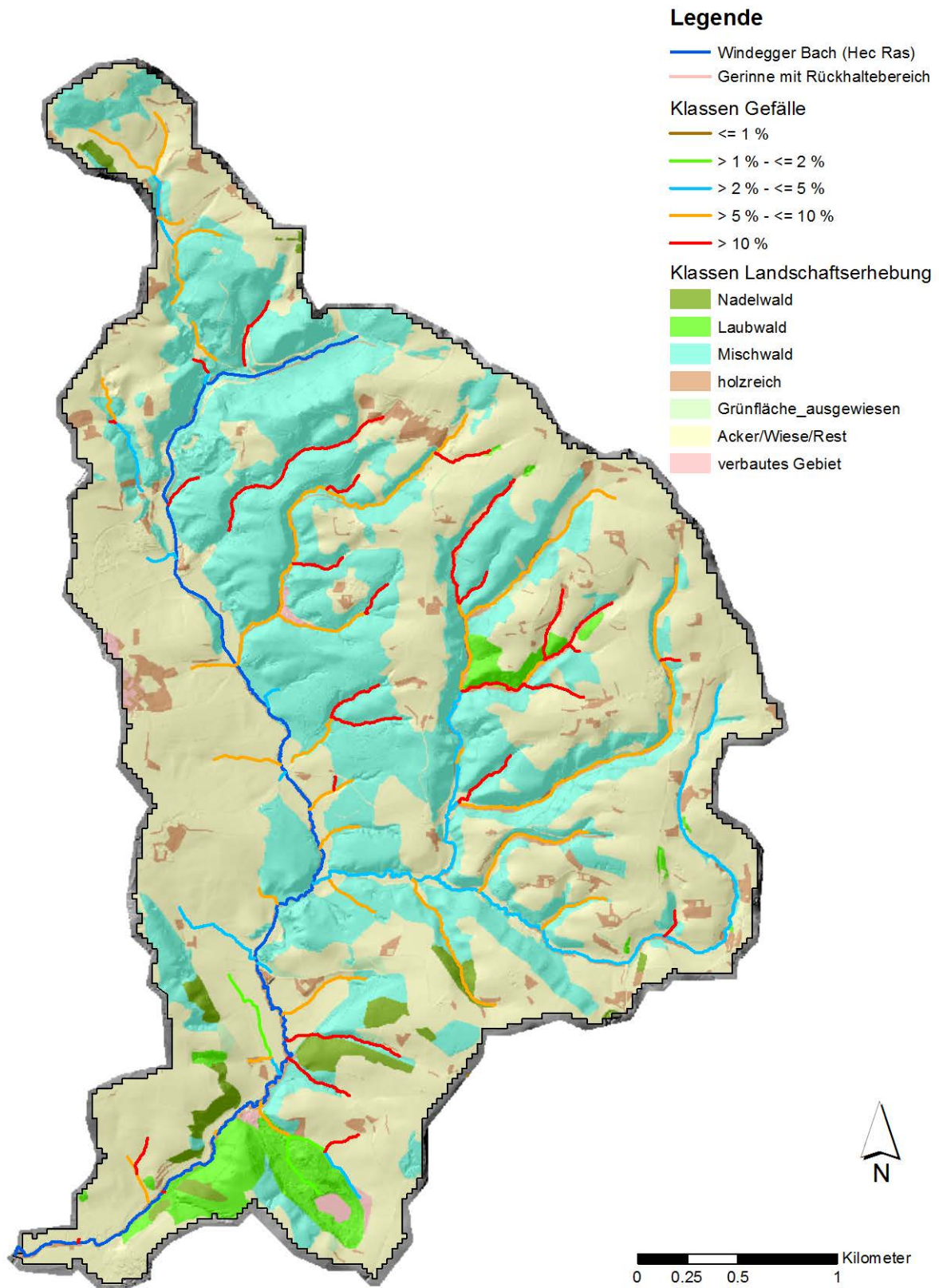


Abbildung 75: Aist – EZ 3.4 – Klassen Gefälle und Nadelwald.

AIST - EZ 3.5 - Klassen Gefälle und Geologie

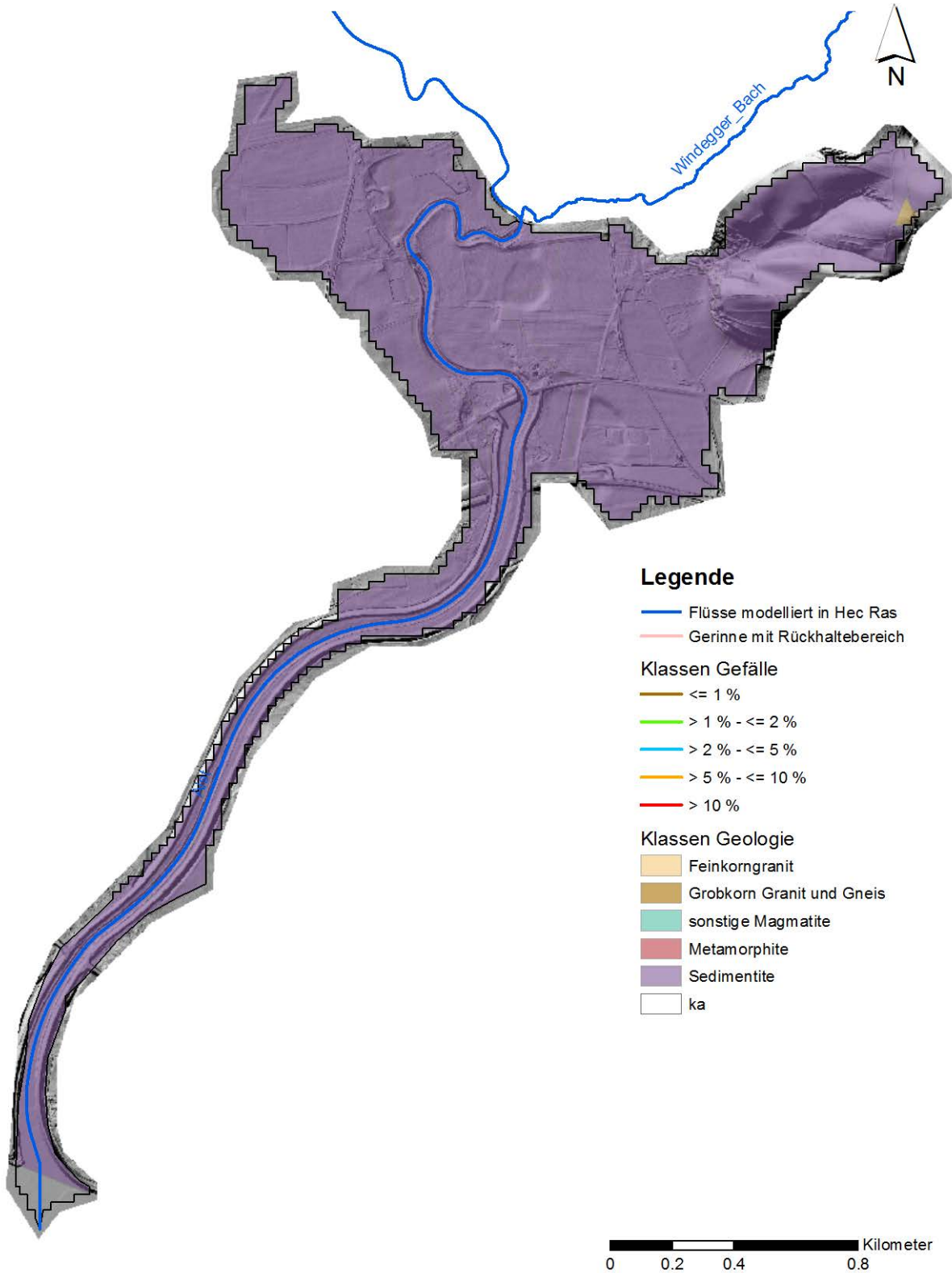


Abbildung 76: Aist – EZ 3.5 – Klassen Gefälle und Geologie.

AIST - EZ 3.5 - Klassen Gefälle und Landschaftserhebung

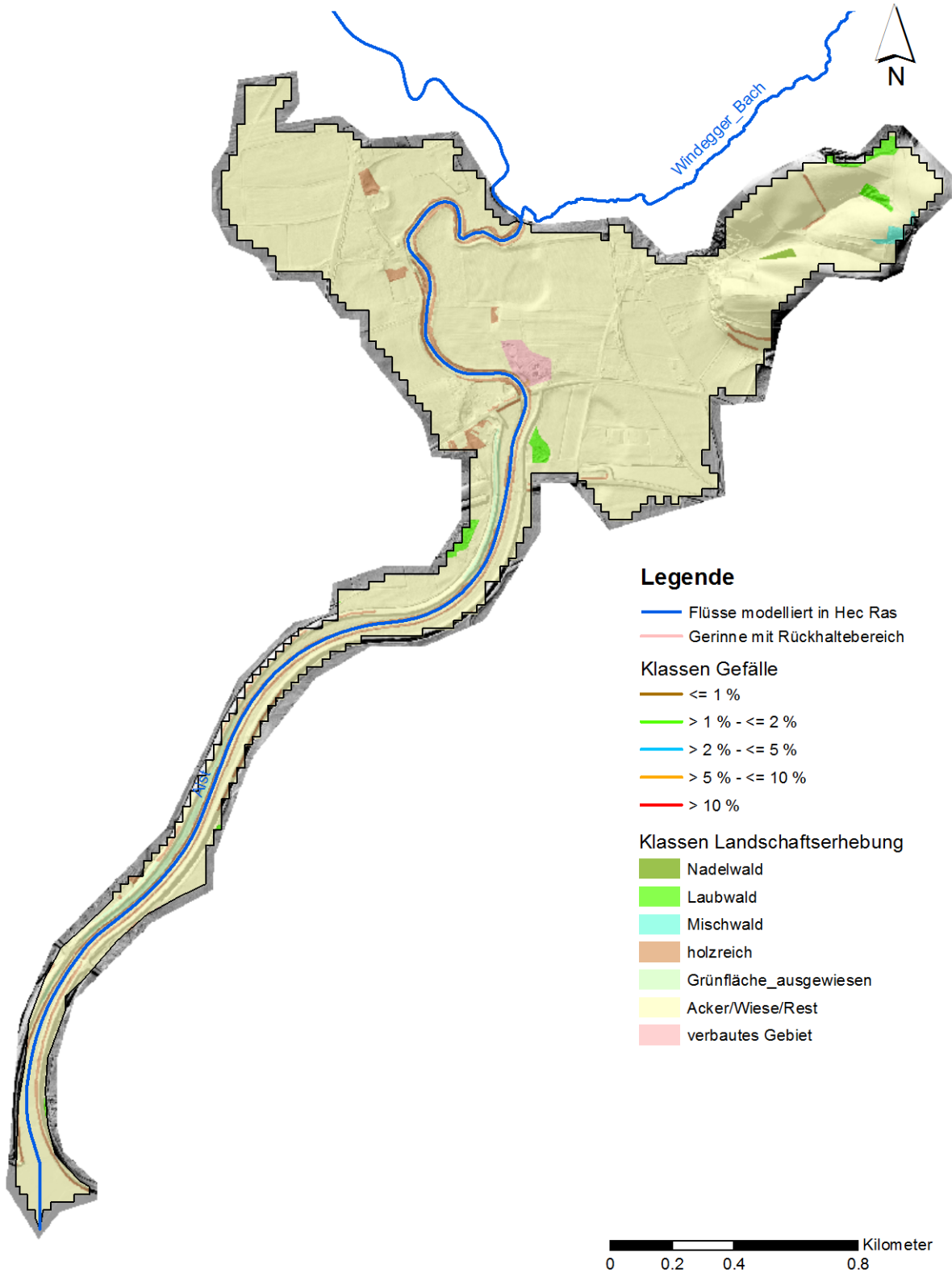


Abbildung 77: Aist – EZ 3.5 – Klassen Gefälle und Nadelwald.

ANHANG

Teil 4 – Auswirkungen Klimawandel auf den Jahresgang

1. Erläuterungen.....	2
2. Feldaist	2
3. Aist.....	4
4. Waldaist.....	5
5. Große Mühl	6
6. Große Rodl.....	8
7. Große Gusen.....	10
8. Kleine Gusen.....	11
9. Großer Haselbach.....	11
10. Kleine Mühl.....	12
11. Große Naarn	13
12. Kleine Naarn	13
13. Naarn	14
14. Klambach.....	14
15. Ranna.....	15

Teil 4

Auswirkungen Klimawandel auf den Jahresgang

1. Erläuterungen

Im folgenden Abschnitt finden sich Abflussganglinien (MJNQT, MQ) unterschiedlicher Zeitreihen der Fließgewässer Feldaist, Aist, Waldaist, Große Mühl, Große Rodl, Große Gusen, Kleine Gusen, Großer Haselbach, Kleine Mühl, Große Naarn, Kleine Naarn, Naarn, Klambach und Ranna im Projektgebiet.

2. Feldaist

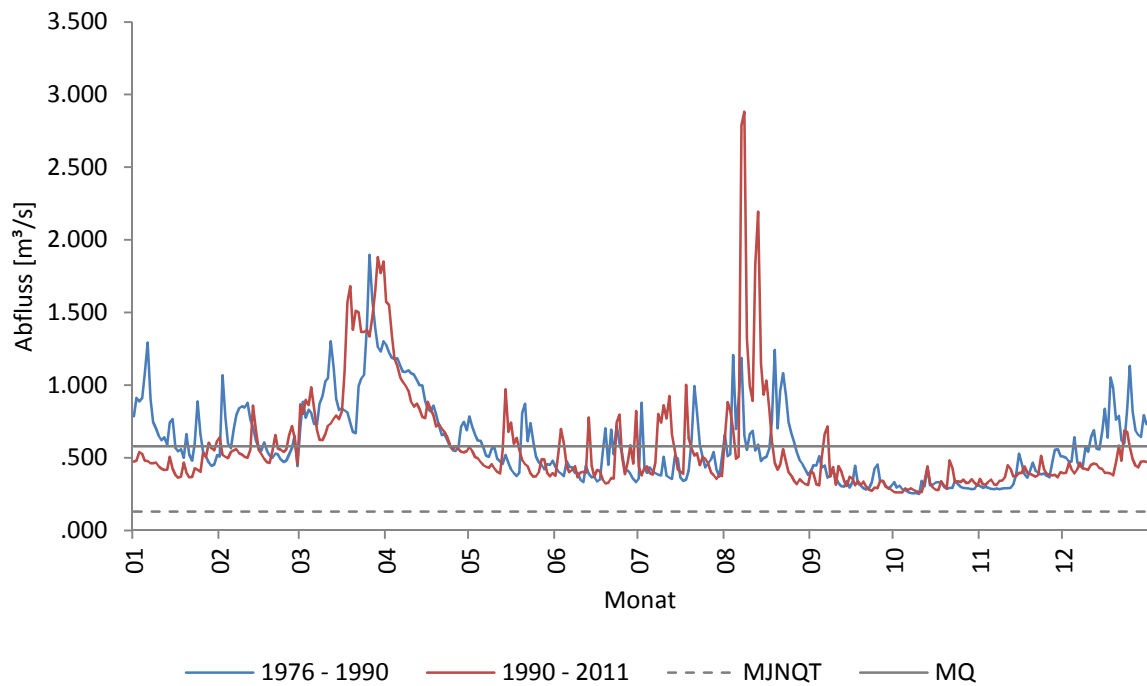


Abbildung 1: Pegel 205948 Freistadt (Hafnerzeile), Feldaist.

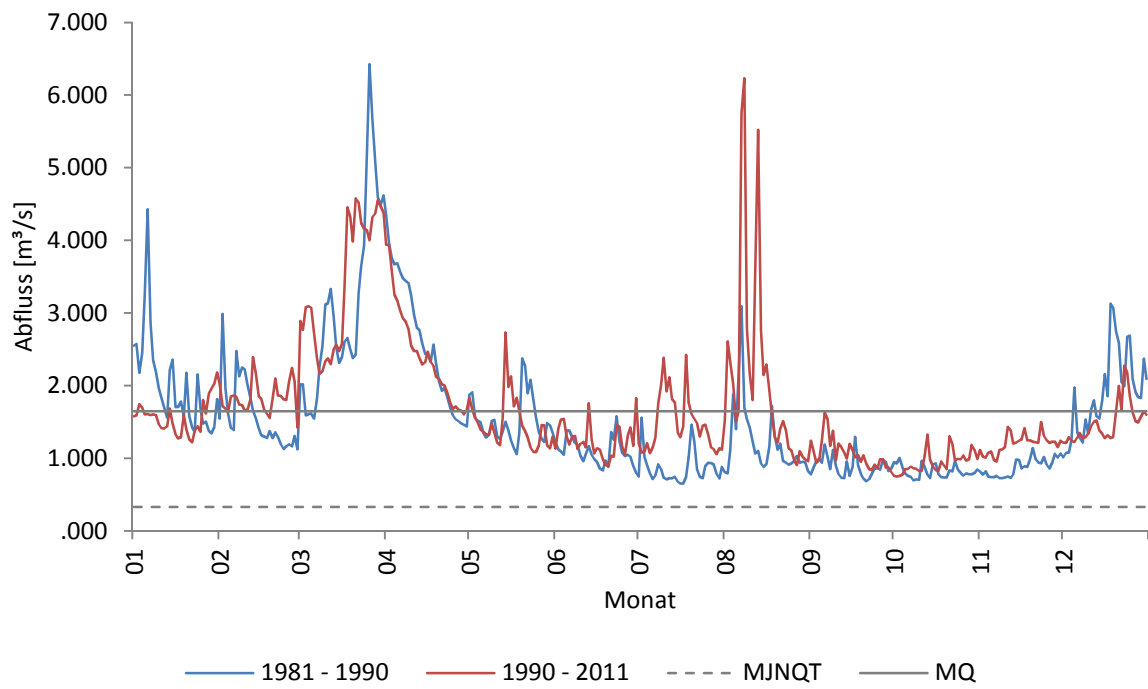


Abbildung 2: Pegel 206581 Kefermarkt, Feldaist.

3. Aist

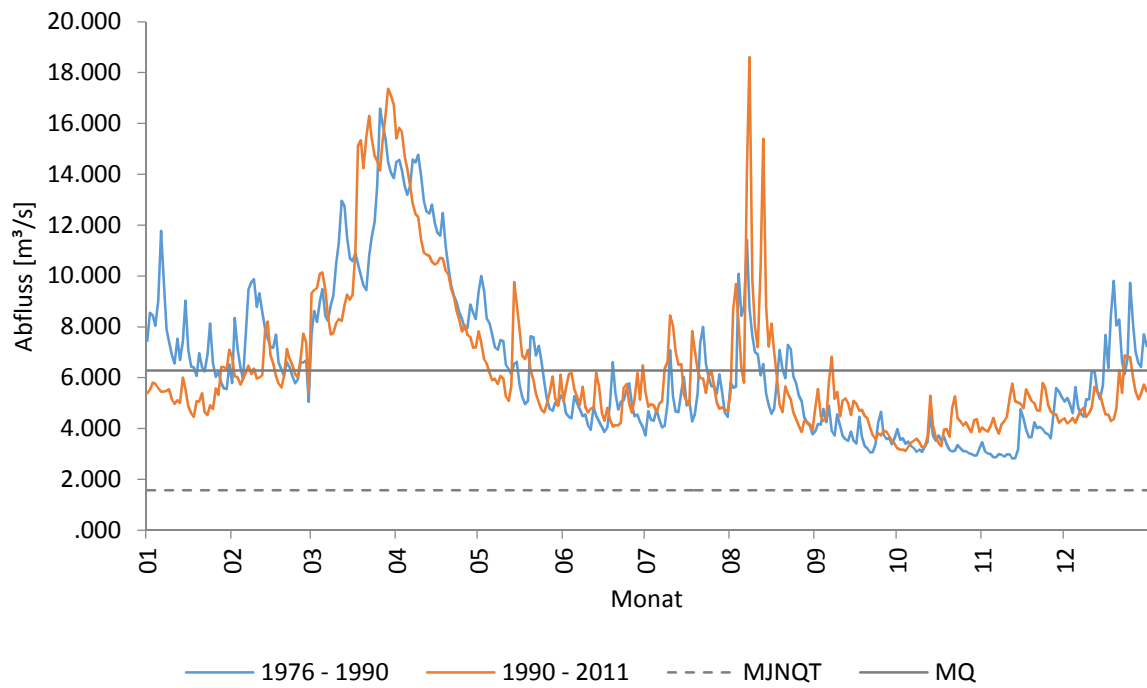


Abbildung 3: Pegel 205989 Schwertberg (Kaolinwerk), Aist.

4. Waldaist

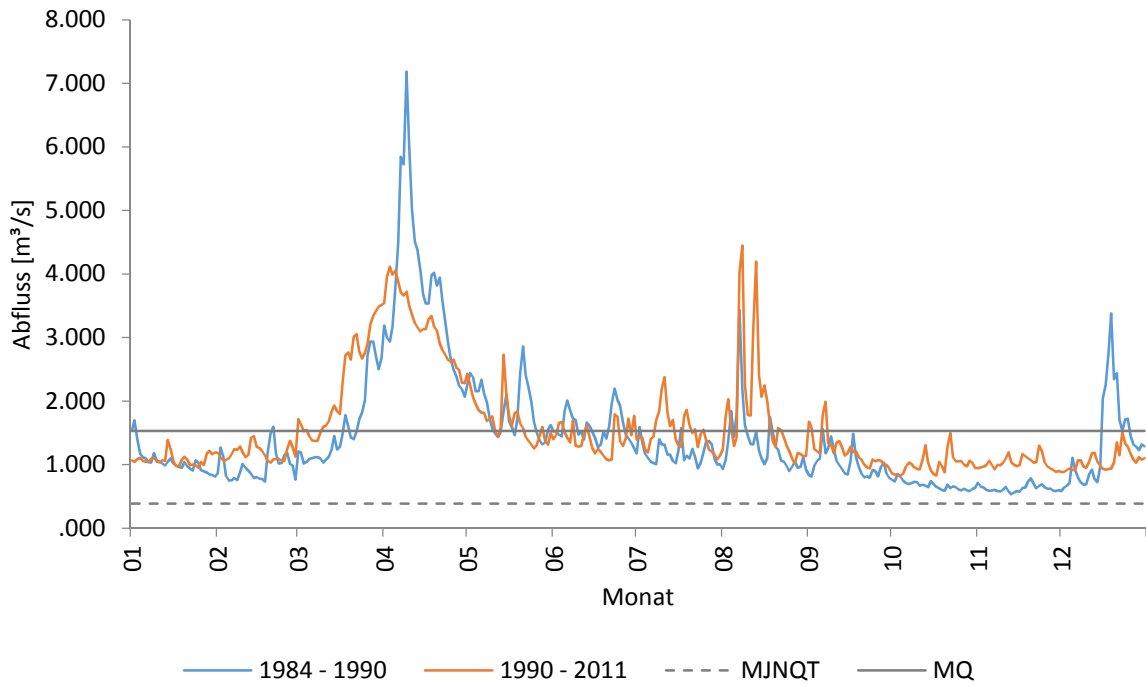


Abbildung 4: Pegel 206680 Weitersfelden, Waldaist.

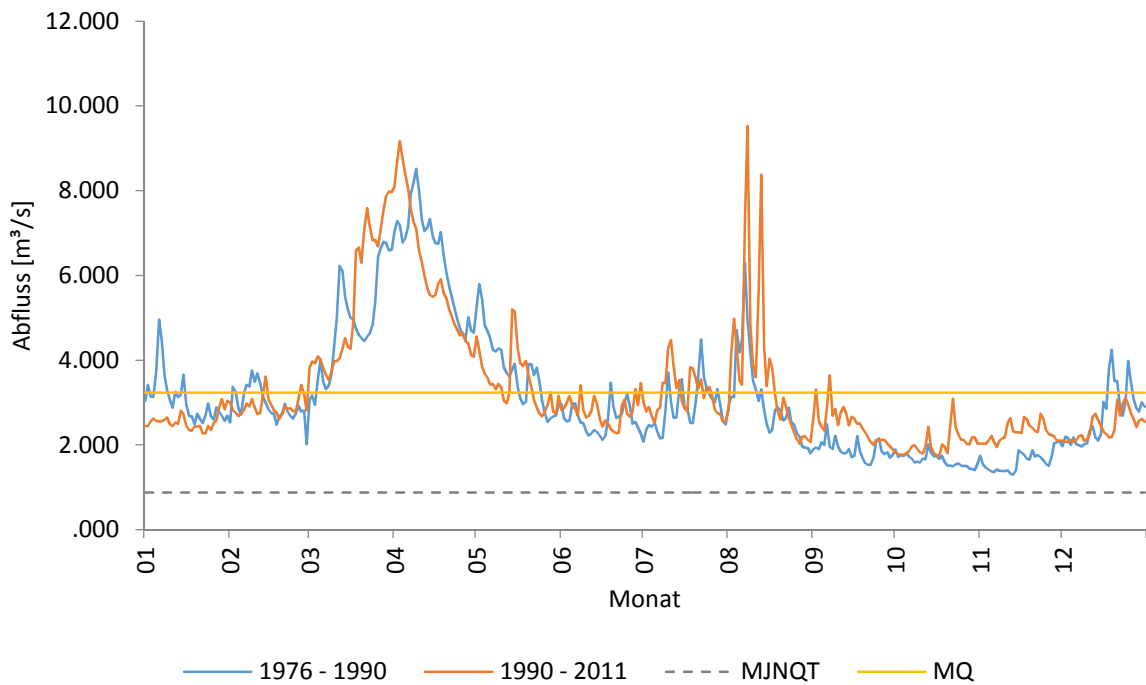


Abbildung 5: Pegel 205971 Pfahlmühle, Waldaist.

5. Große Mühl

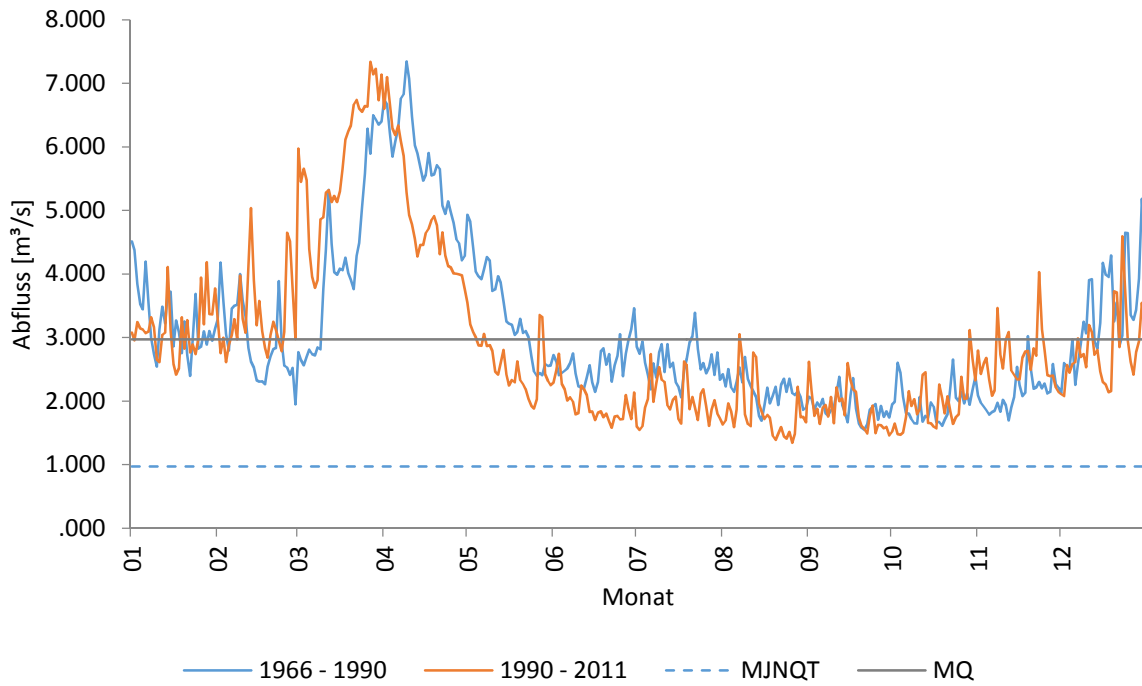


Abbildung 6: Pegel 204891 Vorderanger, Gr.Mühl.

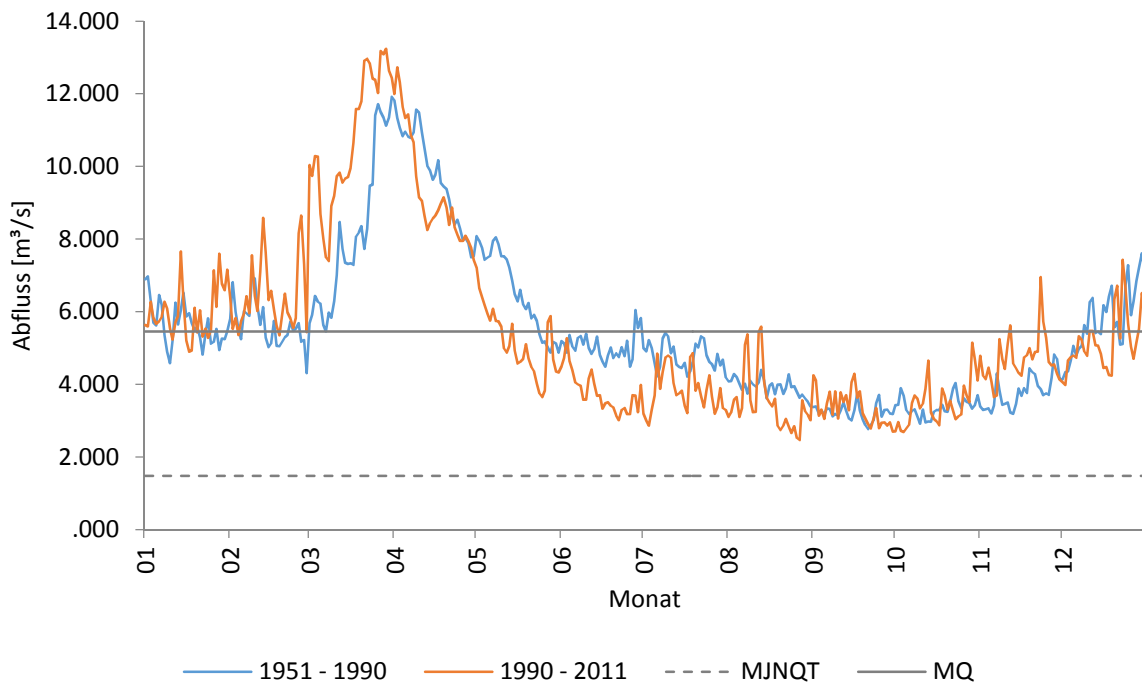


Abbildung 7: Pegel 204917 Furtmühle , Gr.Mühl.

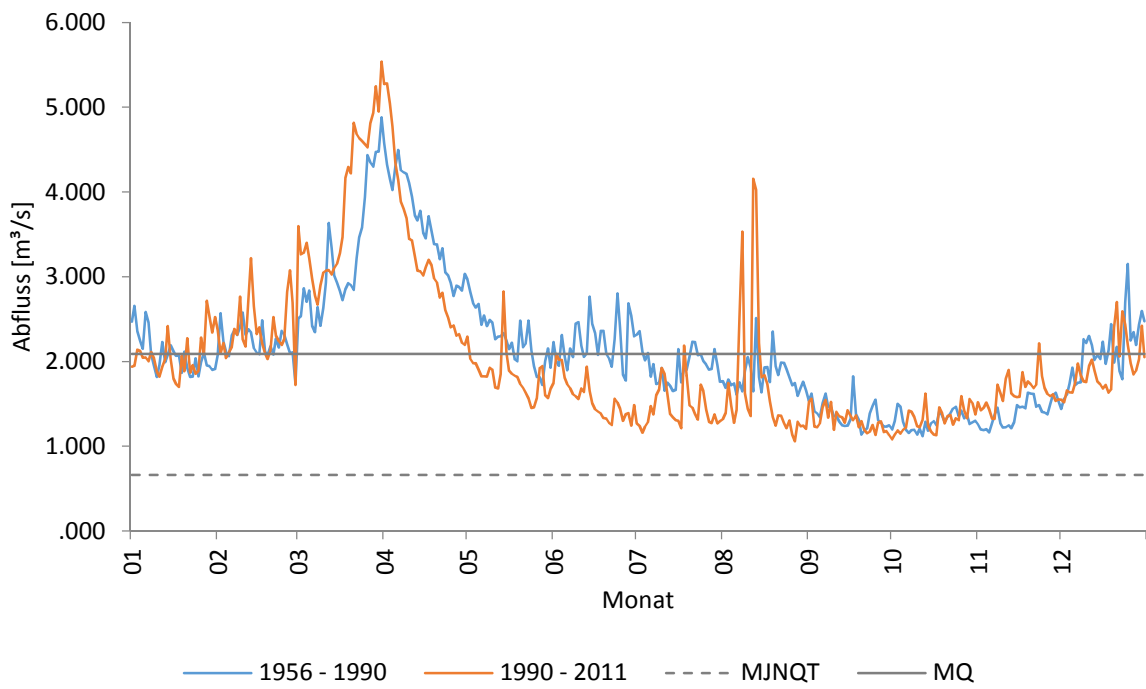


Abbildung 8: Pegel 204925 Hartmannsdorf, Gr.Mühl.

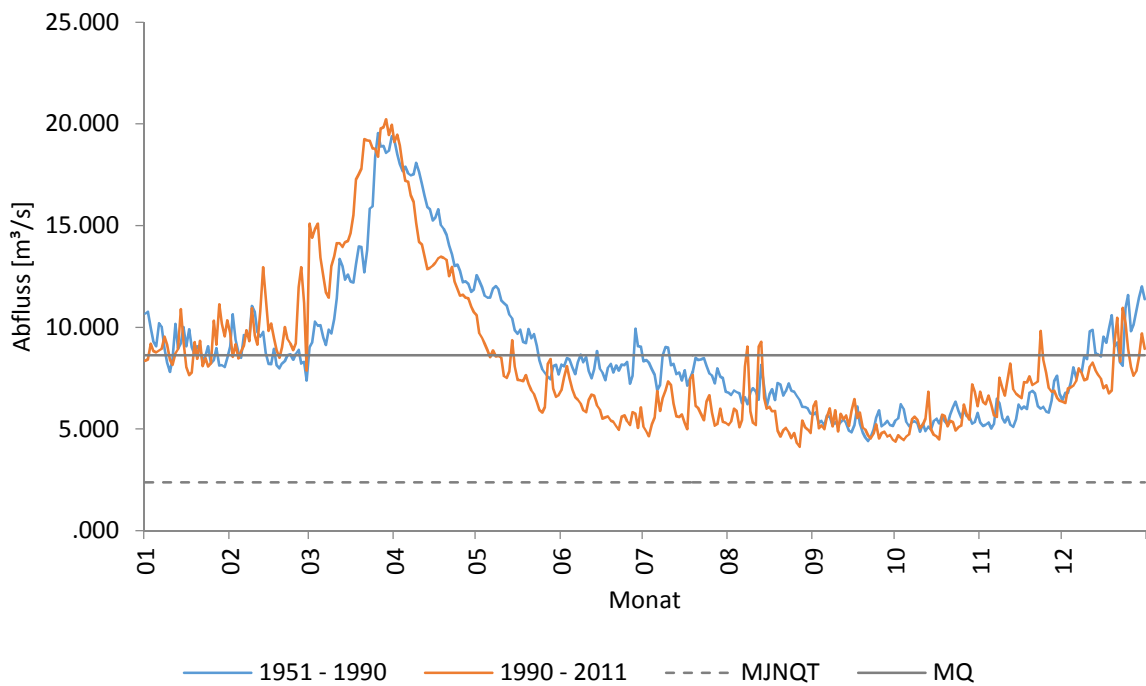


Abbildung 9: Pegel 204933 Teufelmühle, Gr.Mühl.

6. Große Rodl

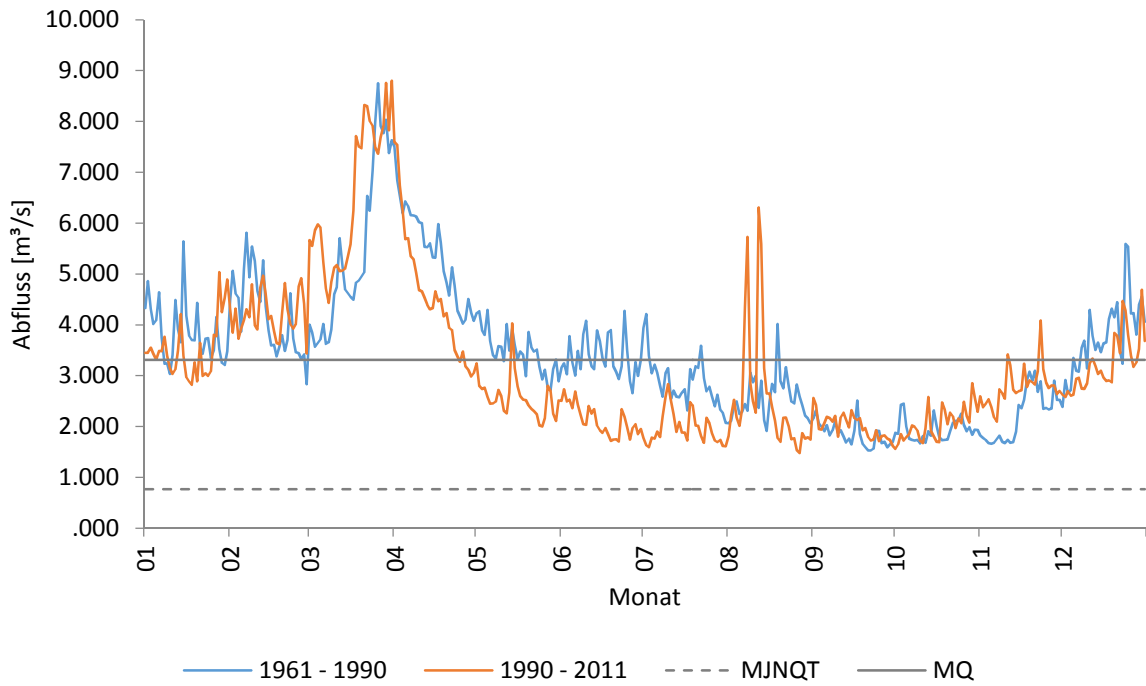


Abbildung 10: Pegel 205088 Rottenegg , Gr.Rodl.

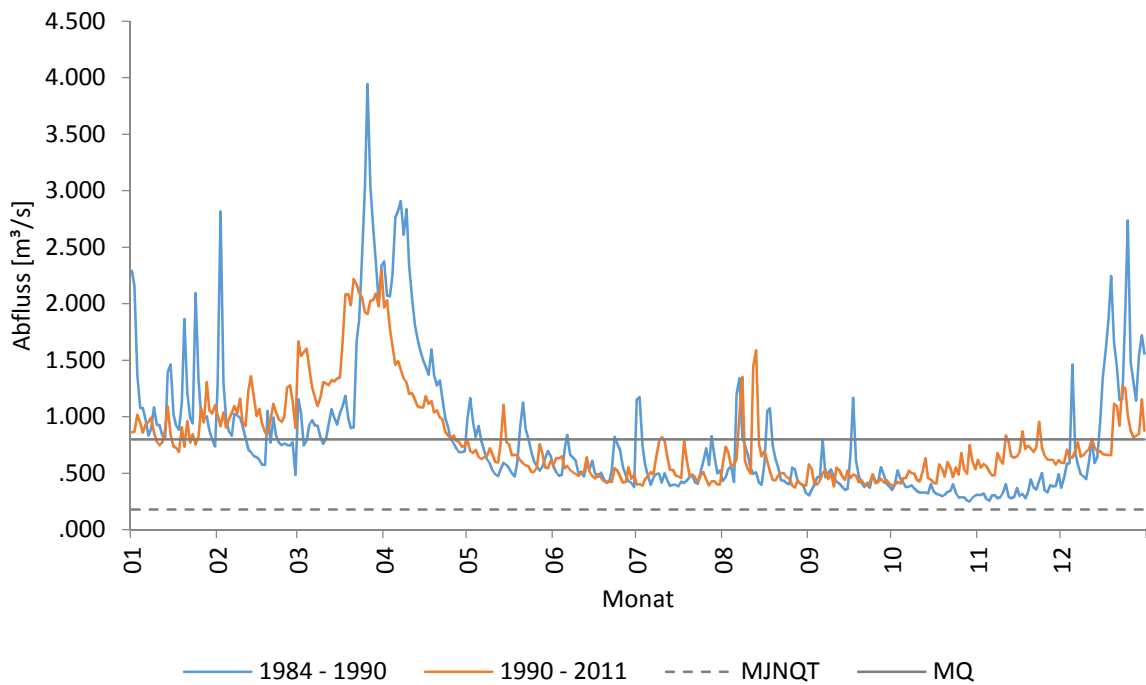


Abbildung 11: Pegel 206656 Zwettl an der Rodl , Gr.Rodl.

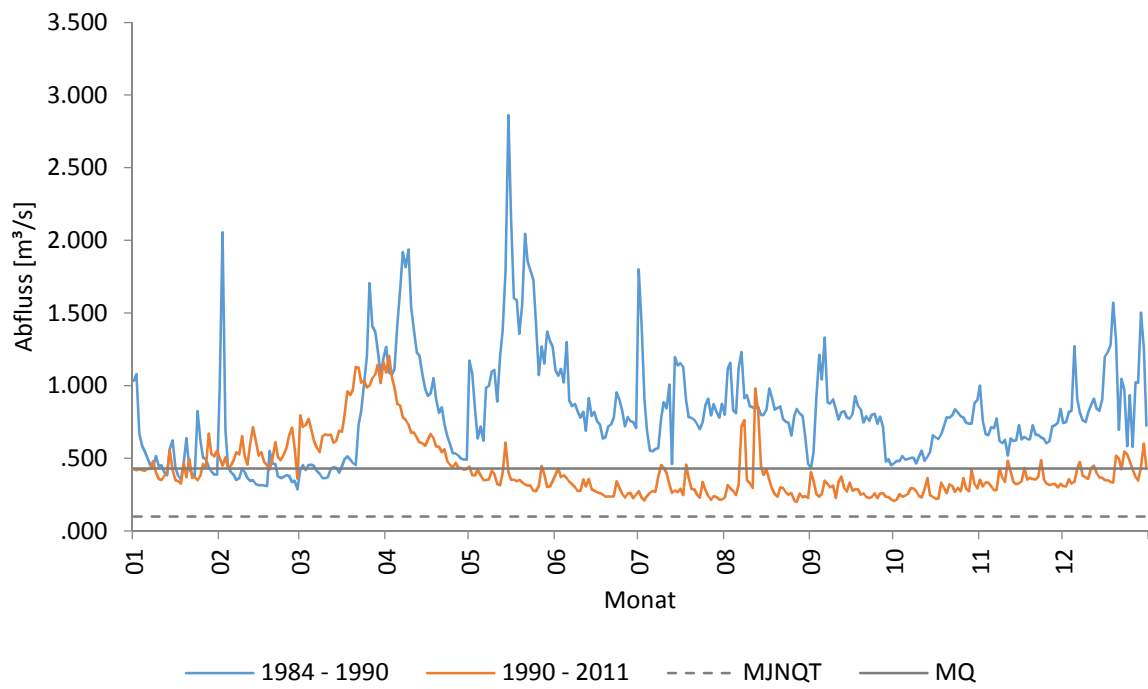


Abbildung 12: Pegel 206664 Zwettl an der Rodl (Gemeindeamt) , Gr.Rodl.

7. Große Gusen

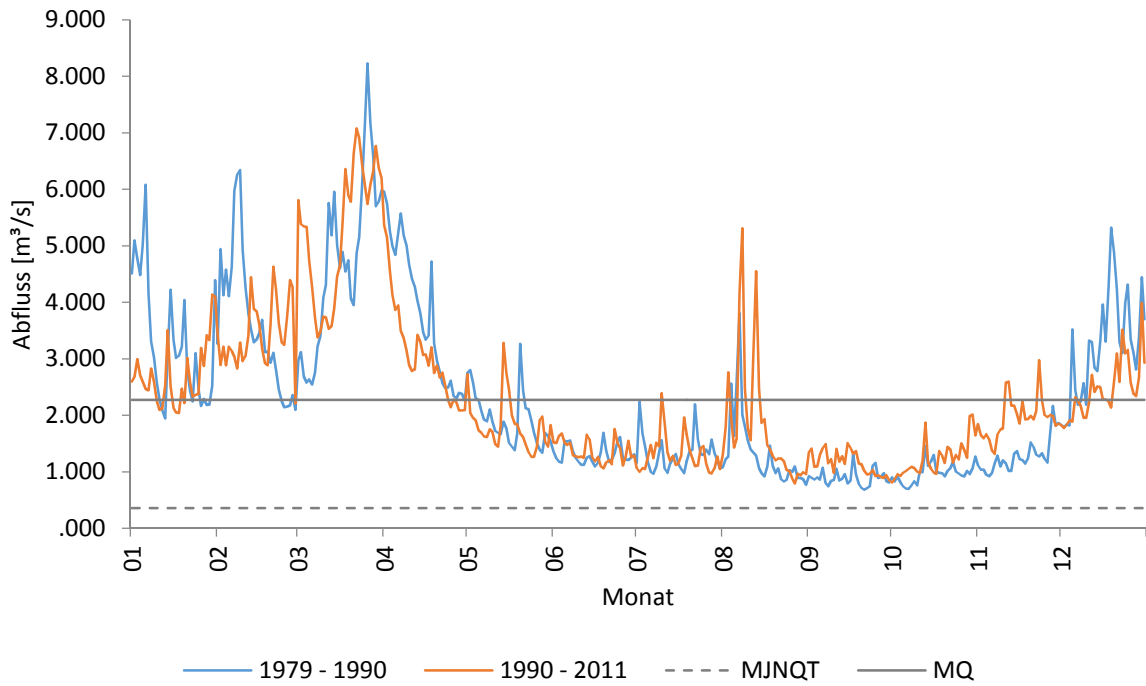


Abbildung 13: Pegel 206375 St. Georgen an der Gusen (Bad) , Gr. Gusen.

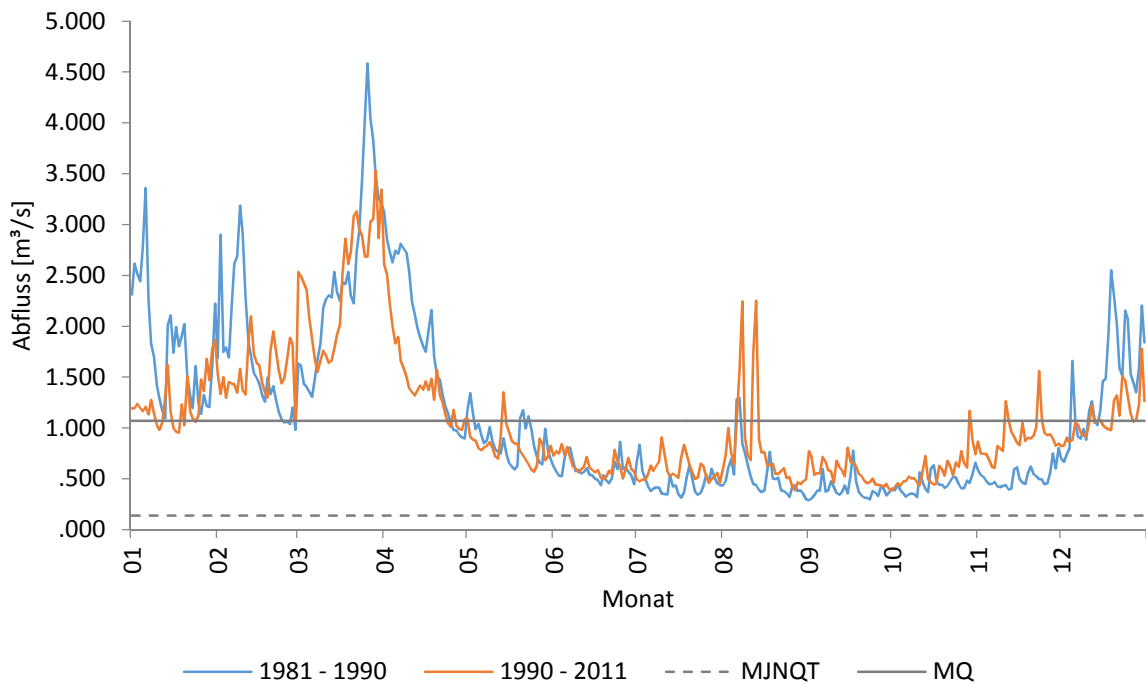


Abbildung 14: Pegel 206573 Engerwitzdorf, Gr. Gusen.

8. Kleine Gusen

Pegel 206854 Unterweikersdorf, Kl. Gusen:

Aufzeichnung beginnt 1993

9. Großer Haselbach

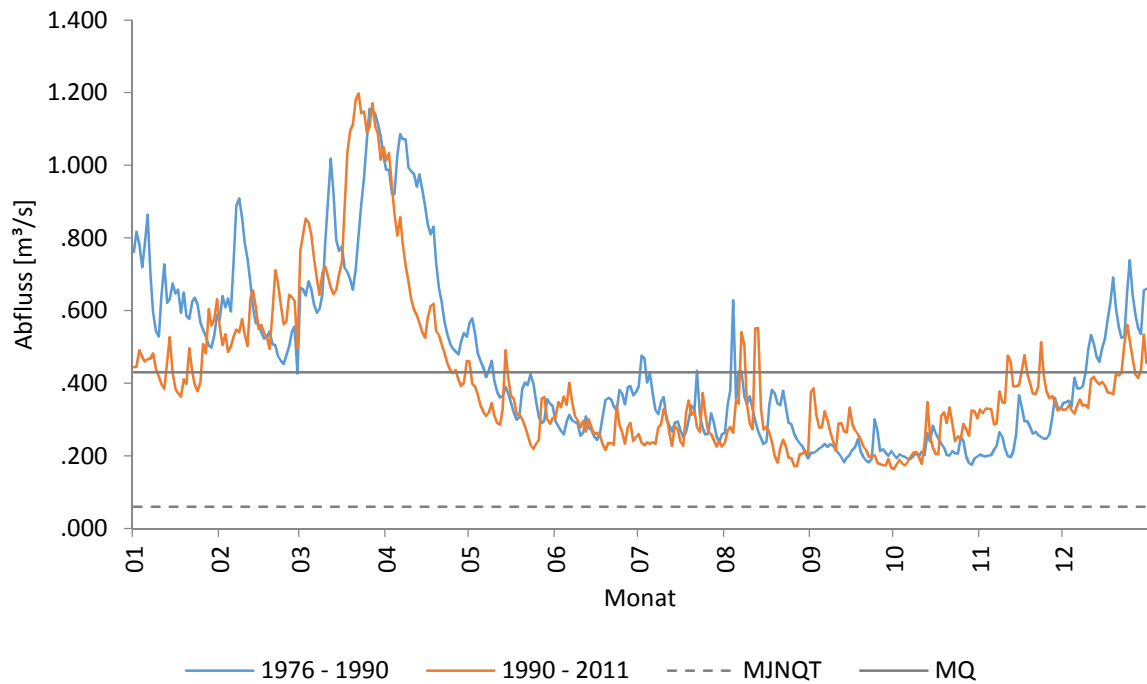


Abbildung 15: Pegel 205096 Asberg , Gr. Haselbach.

10. Kleine Mühl

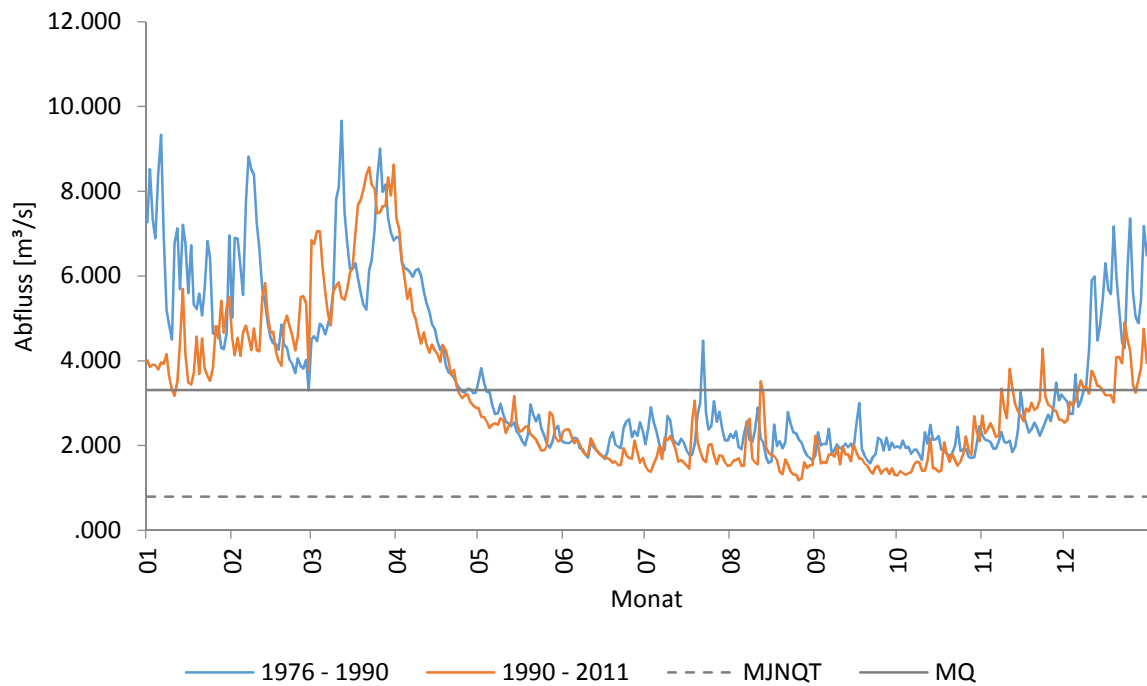


Abbildung 16: Pegel 204883 Obermühl, Kl.Mühl.

Pegel 206771 Koblmühle, Kl.Mühl:

Aufzeichnungsbeginn 1988

11. Große Naarn

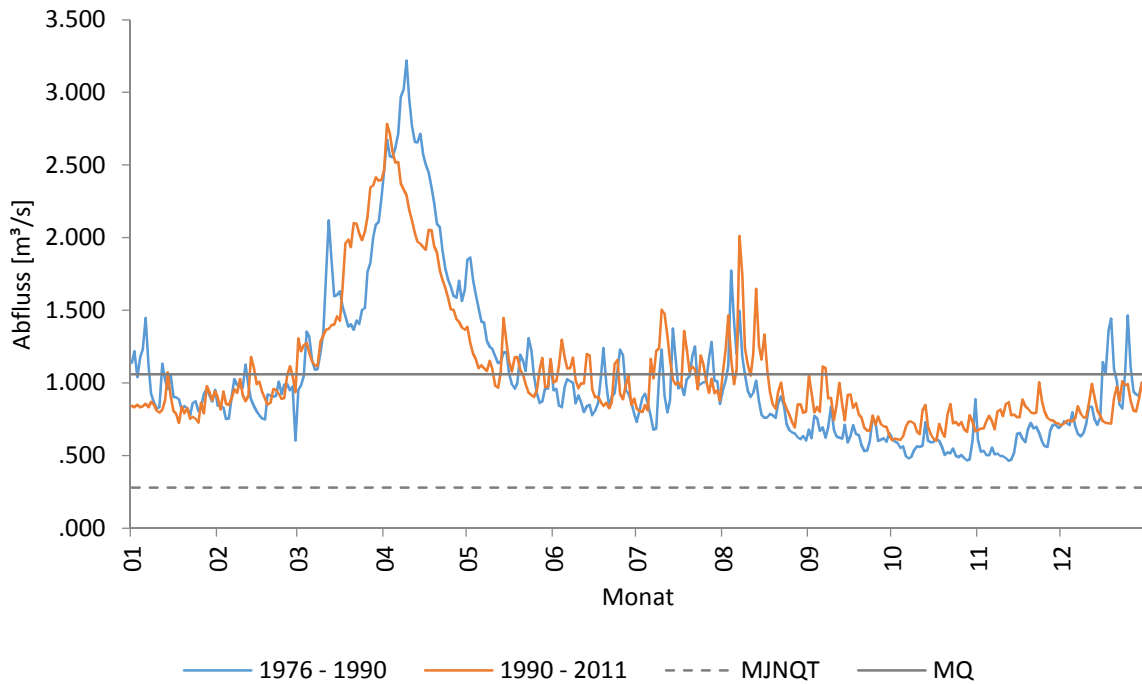


Abbildung 17: Pegel 205997 Königswiesen (Ort), Gr. Naarn.

12. Kleine Naarn

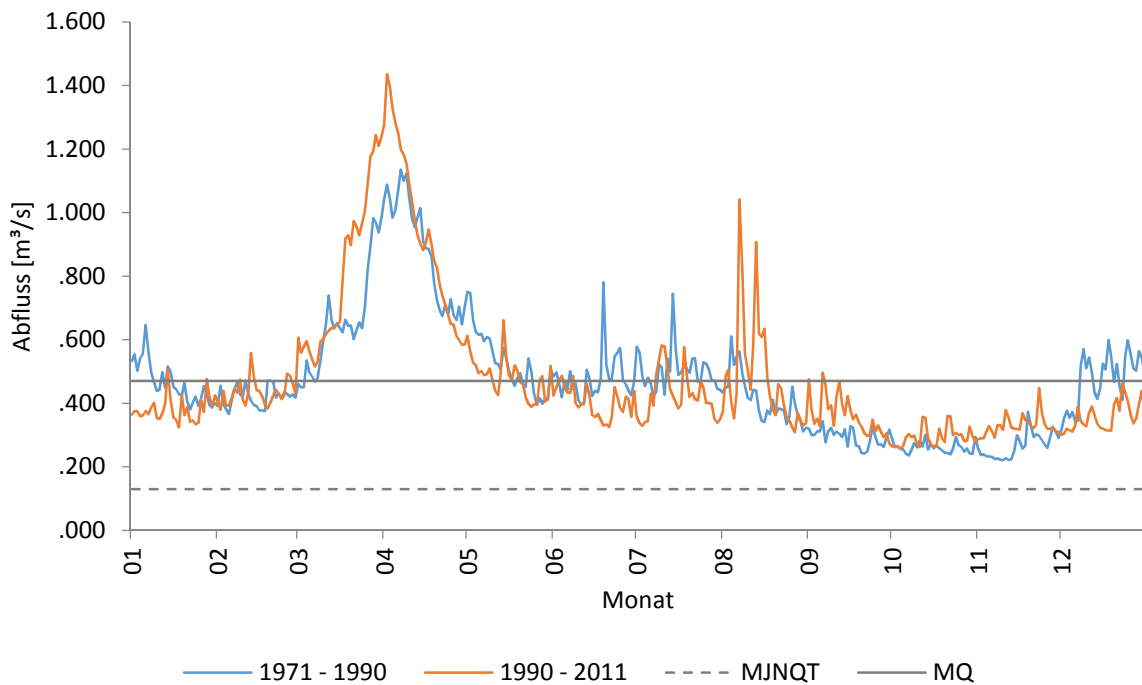


Abbildung 18: Pegel 206003 Unterweißenbach, Kl. Naarn.

13. Naarn

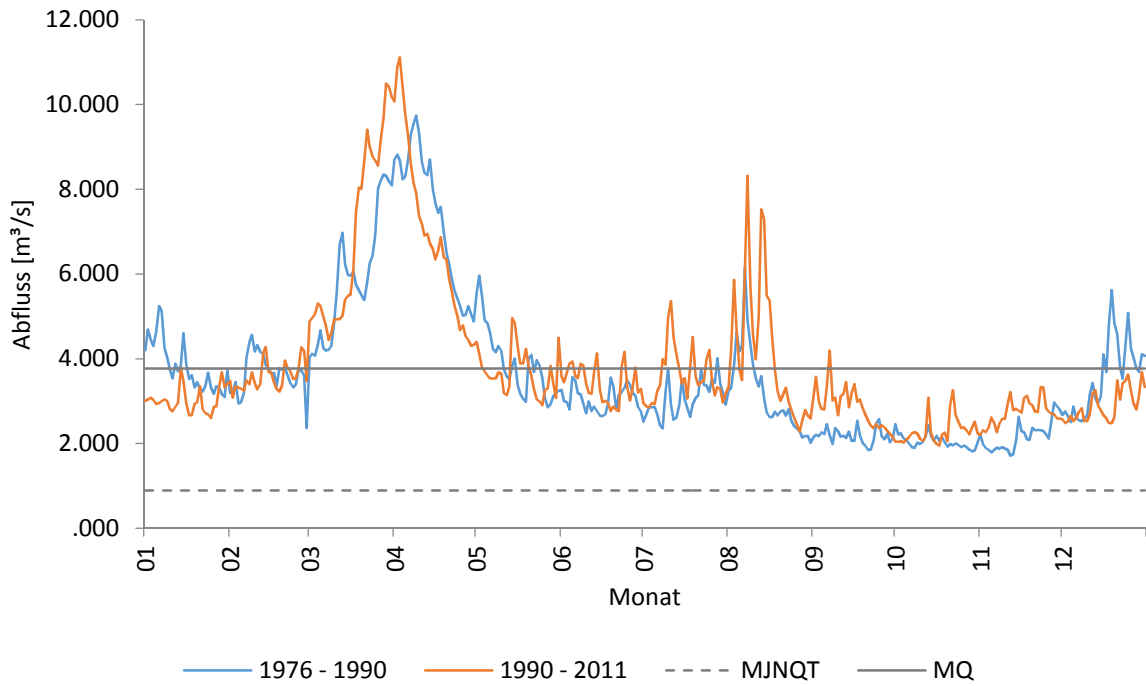


Abbildung 19: Pegel 206029 Haid, Naarn.

14. Klambach

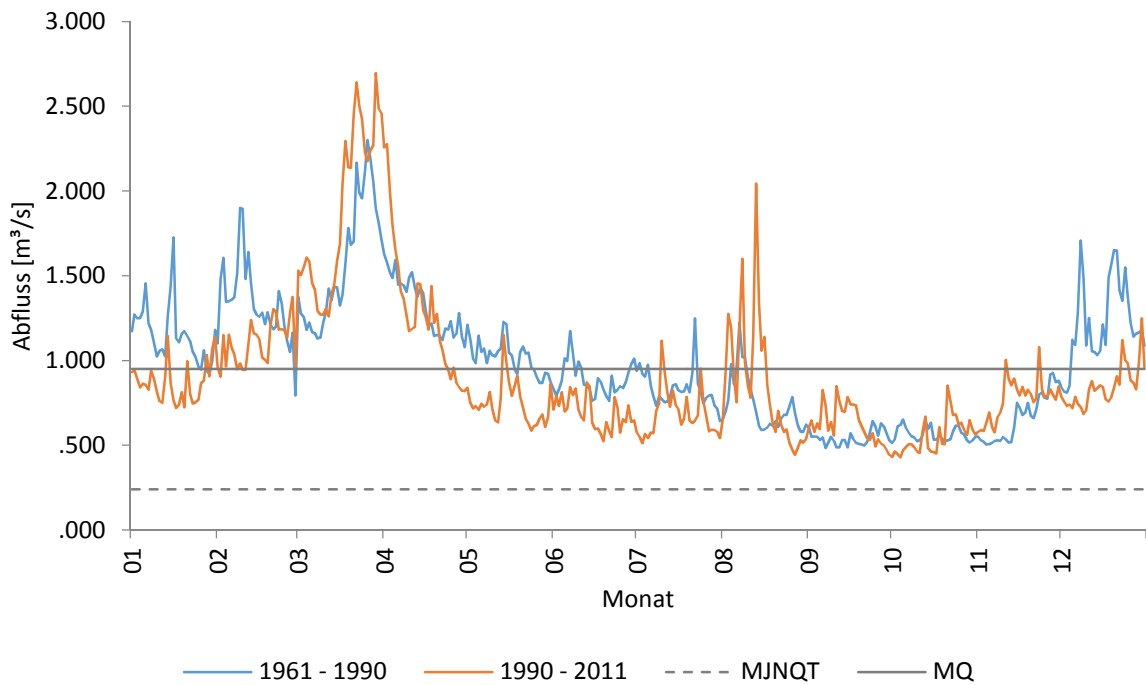


Abbildung 20: Pegel 206037 Sturmmühle, Klambach.

15. Ranna

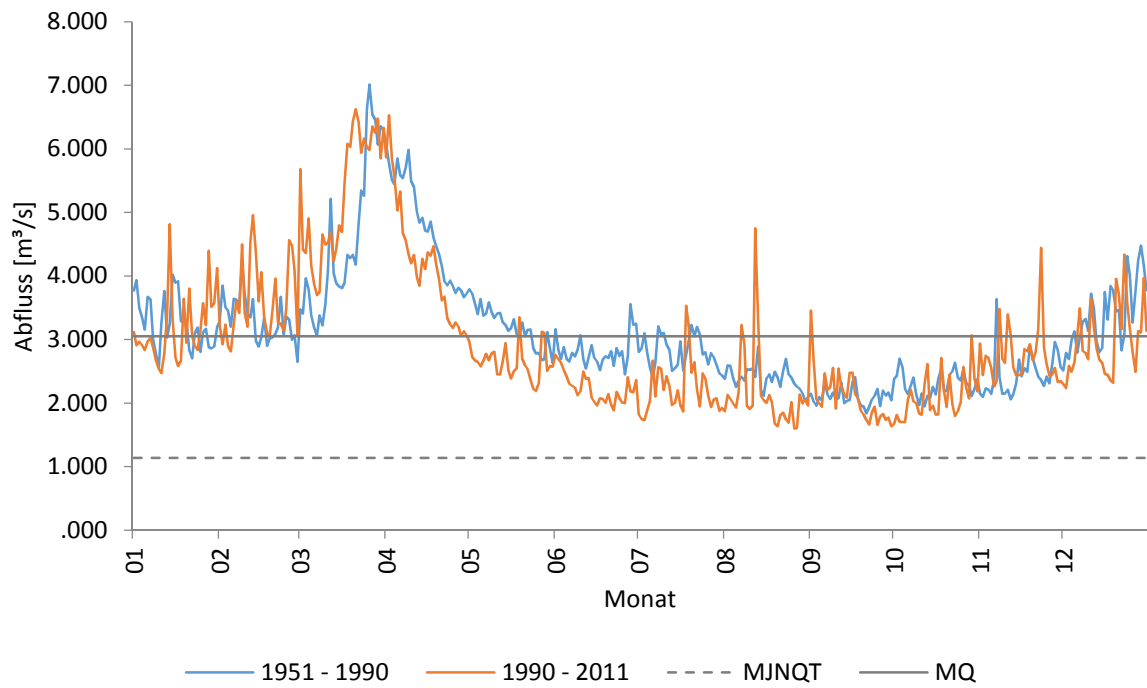


Abbildung 21: Pegel 204875 Oberkappel, Ranna.

ANHANG

Teil 5 – Kornverteilung der Flusssedimente

1. Erläuterungen.....	2
2. Feldaist	2
3. Waldaist.....	3
4. Erlau.....	4
5. Große Gusen.....	5
6. Kleine Gusen.....	6
7. Große Mühl	7
8. Kleine Mühl.....	8
9. Osterbach	9
10. Rodl.....	10
11. Naarn	11

Teil 5

Kornverteilung der Flusssedimente

1. Erläuterungen

Im folgenden Abschnitt finden sich Summenlinien und Kornverteilungsdiagramme von Flusssediment aus den Fließgewässern Feldaist, Waldaist, Erlau, Große Gusen, Kleine Gusen, Große Mühl, Kleine Mühl, Osterbach, Rodl und Naarn.

2. Feldaist

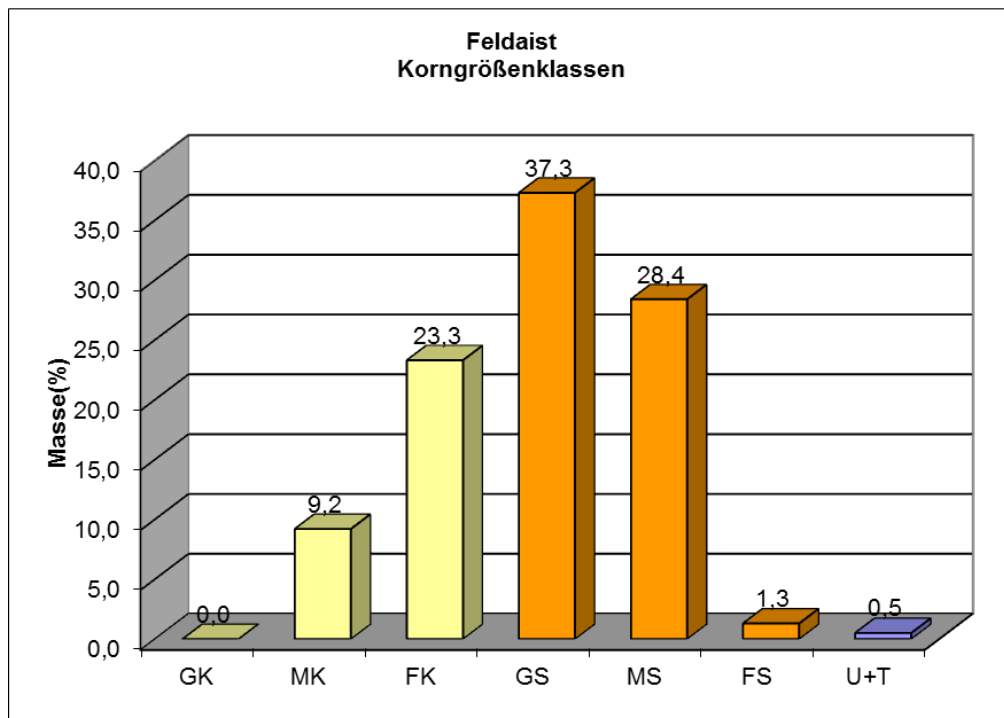
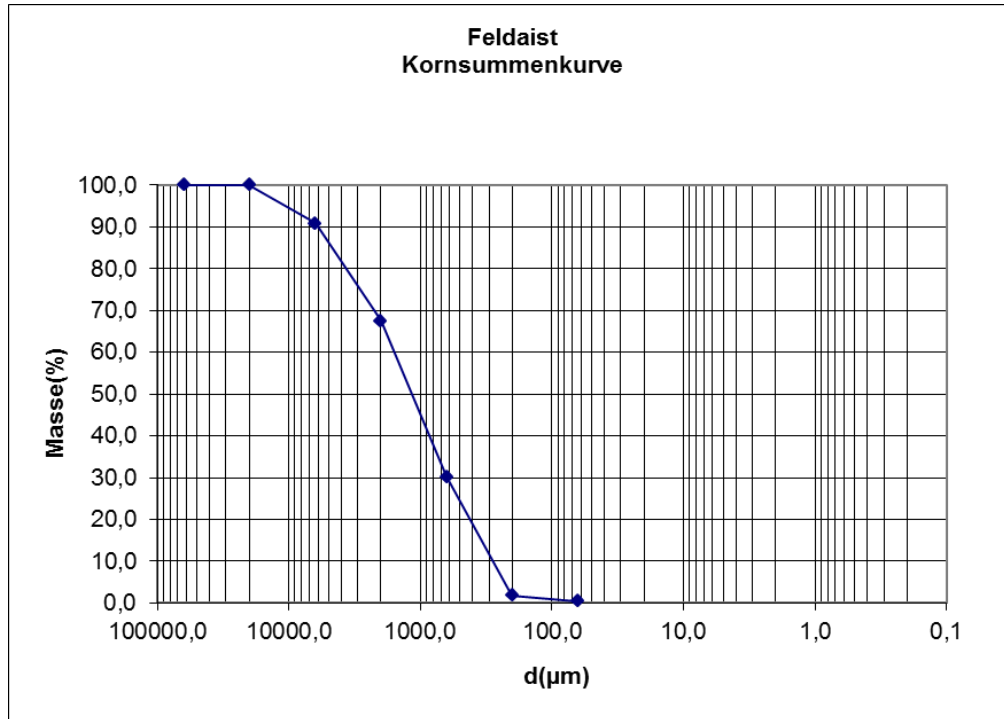


Abbildung 1: Summenkurve und Korngrößenverteilung vom Flusssediment aus der Feldaist.

3. Waldaist

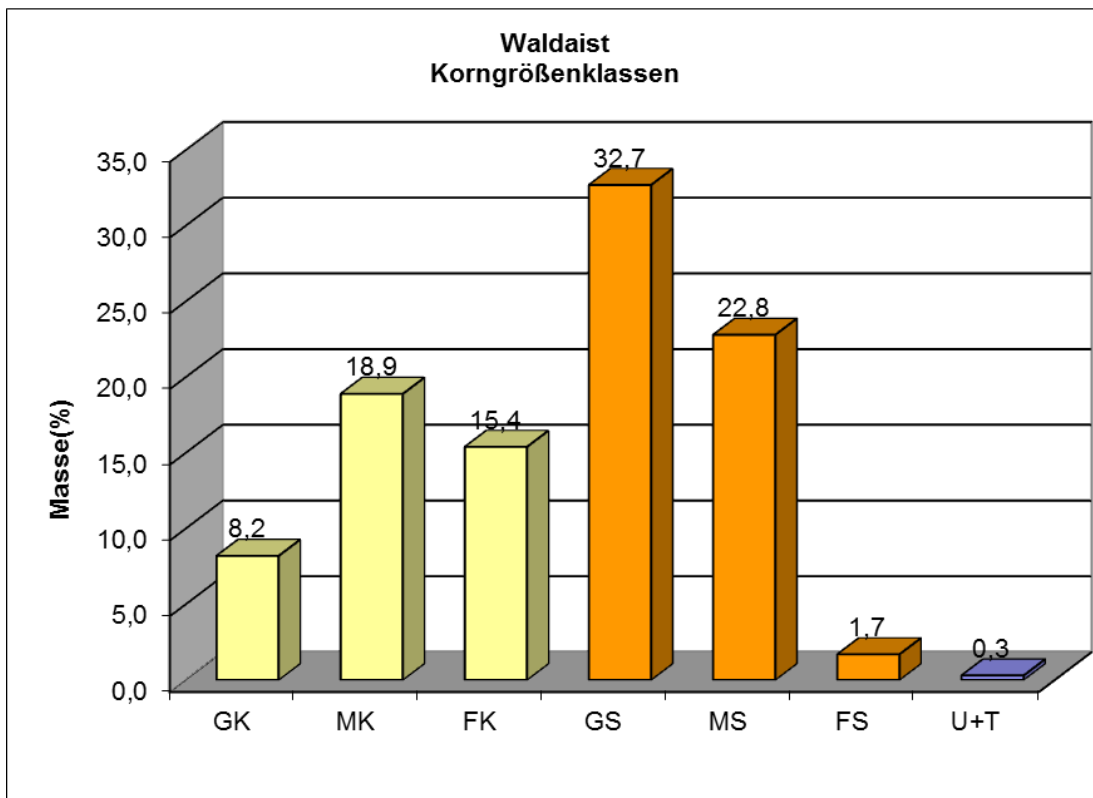
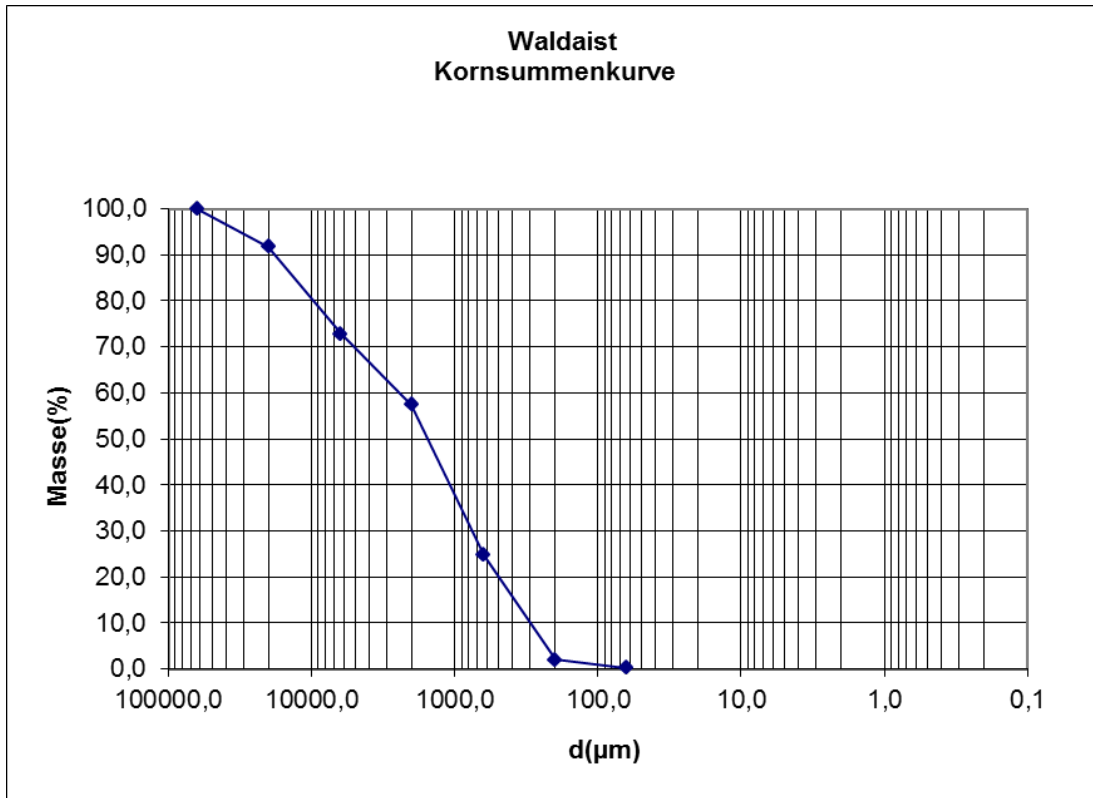


Abbildung 2: Summenkurve und Korngrößenverteilung vom Flusssediment aus der Waldaist.

4. Erlau

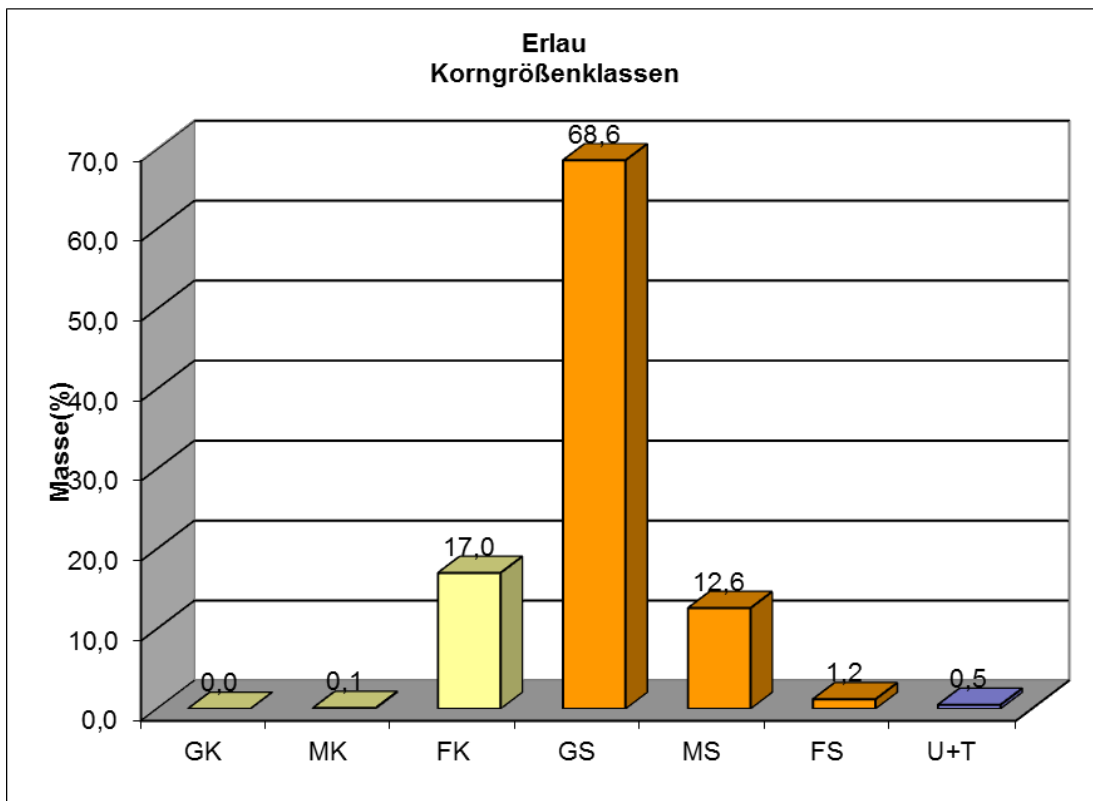
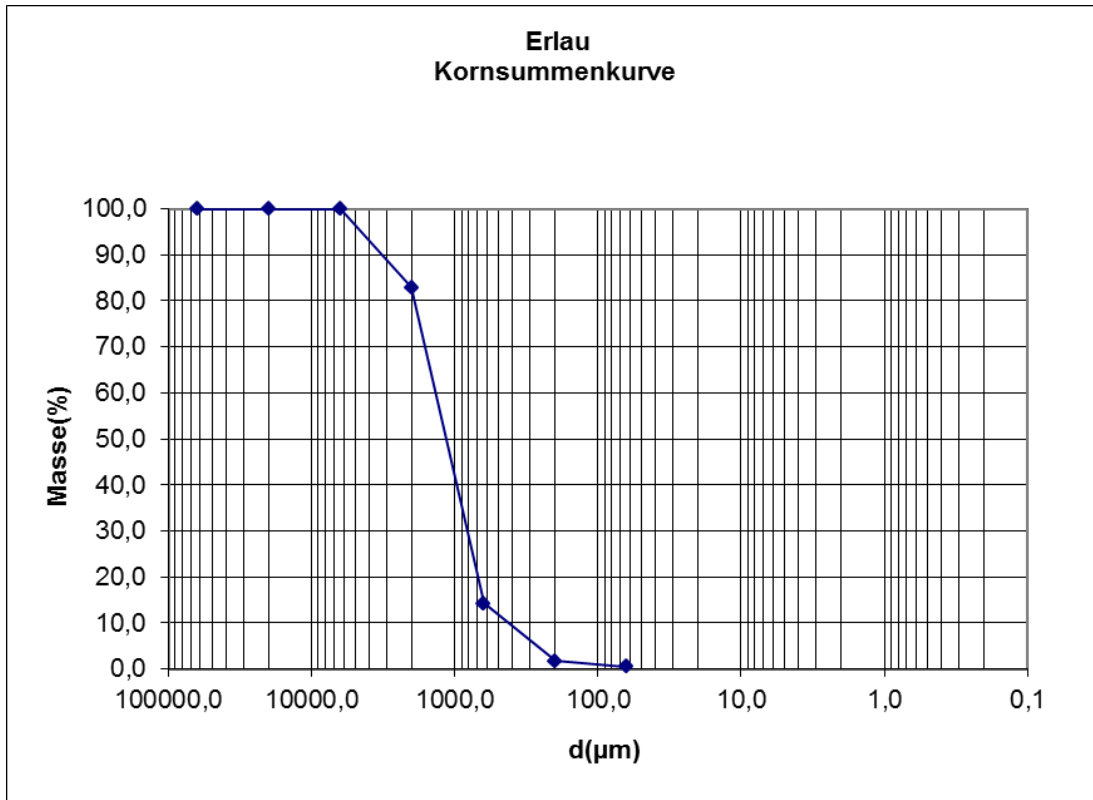


Abbildung 3: Summenkurve und Korngrößenverteilung vom Flusssediment aus der Erlau.

5. Große Gusen

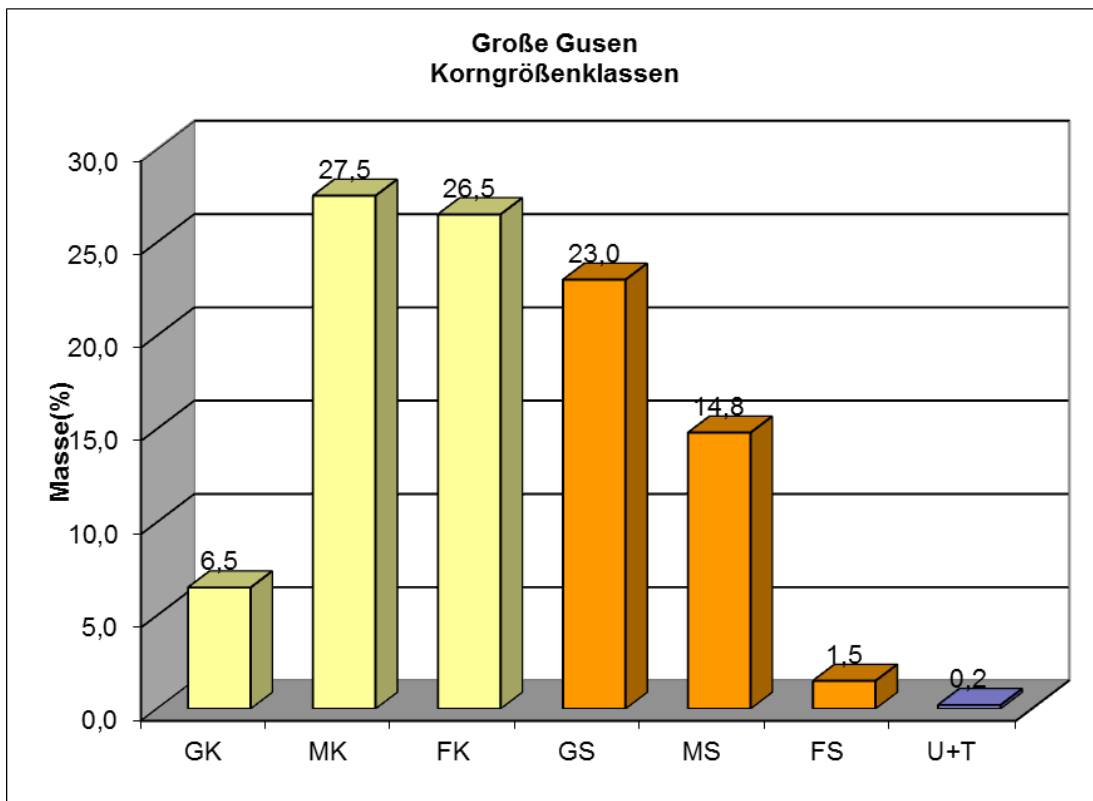
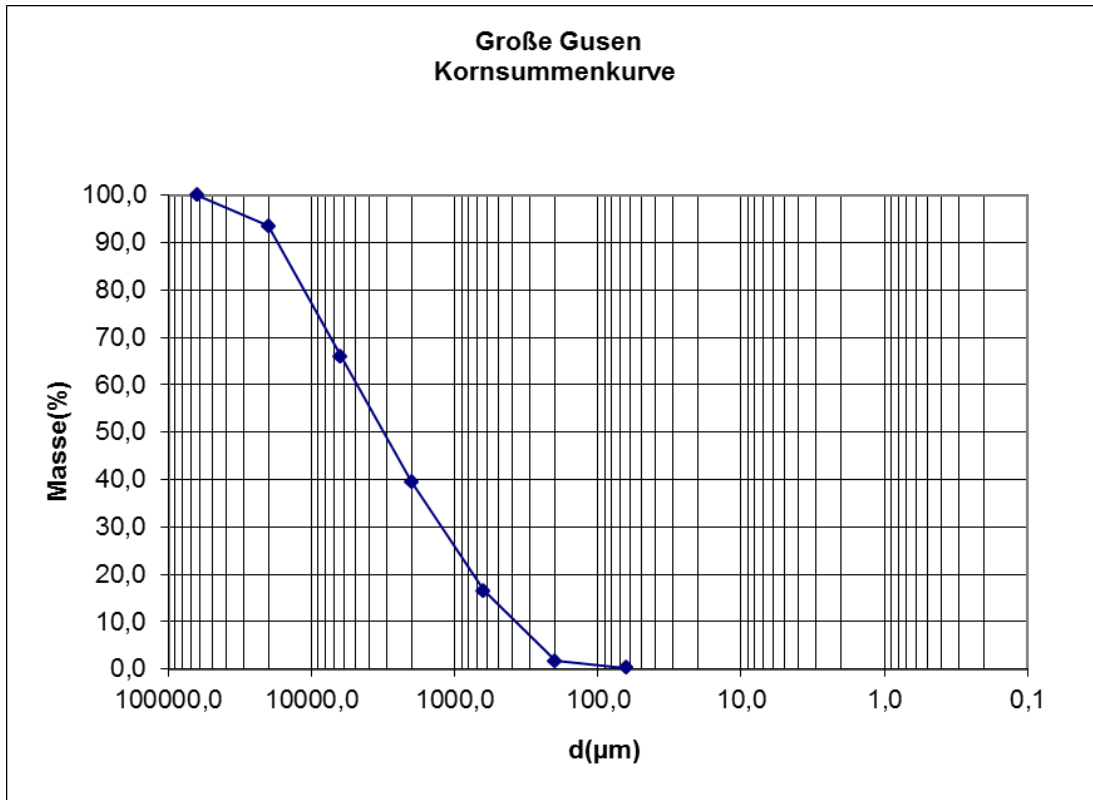


Abbildung 4: Summenkurve und Korngrößenverteilung vom Flusssediment aus der Großen Gusen.

6. Kleine Gusen

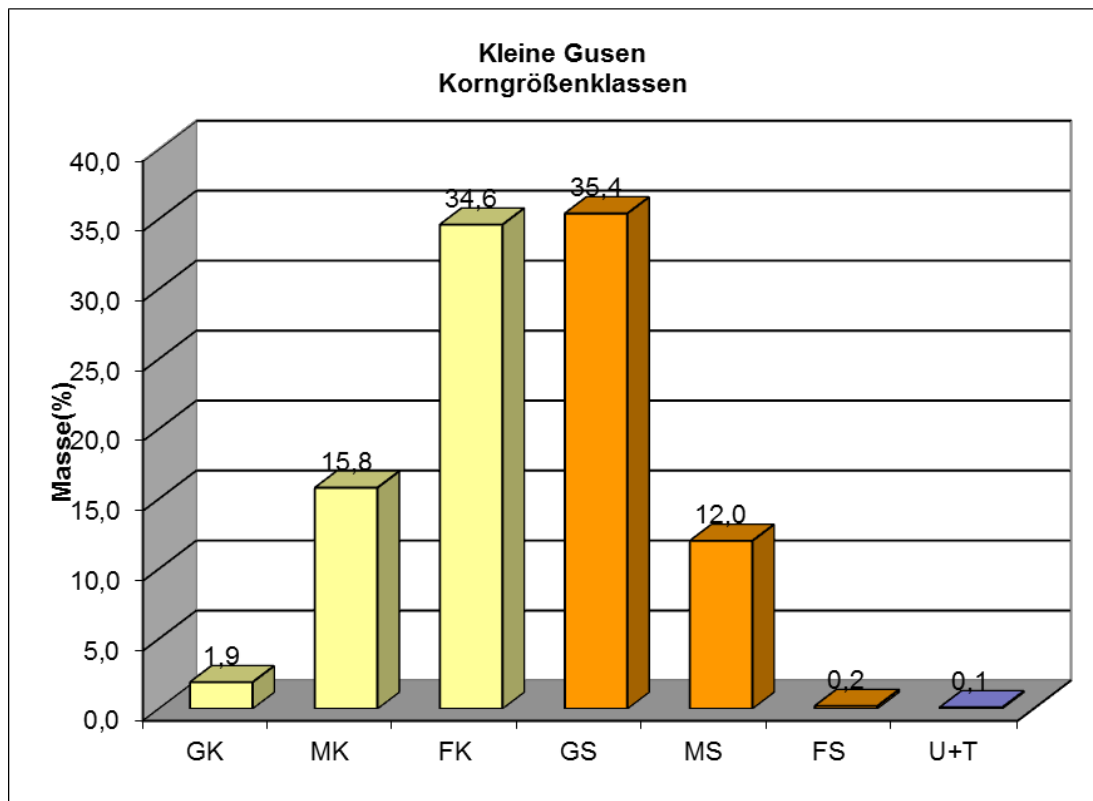
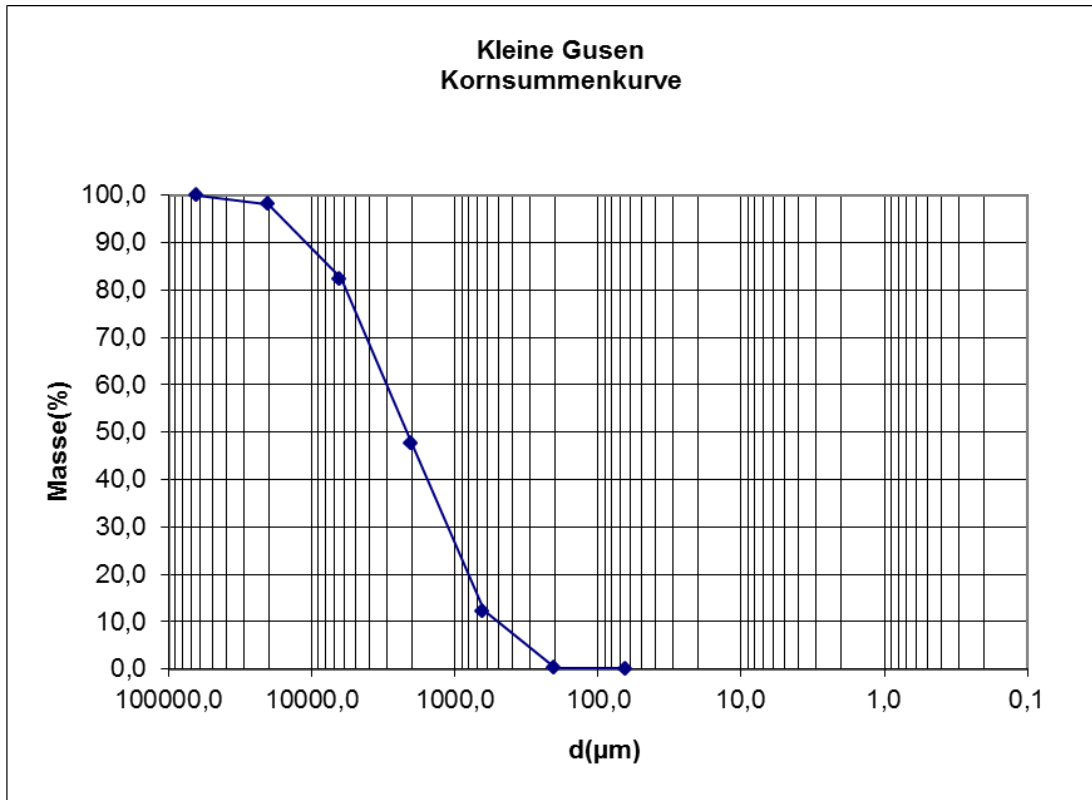


Abbildung 5: Summenkurve und Korngrößenverteilung vom Flusssediment aus der Kleinen Gusen.

7. Große Mühle

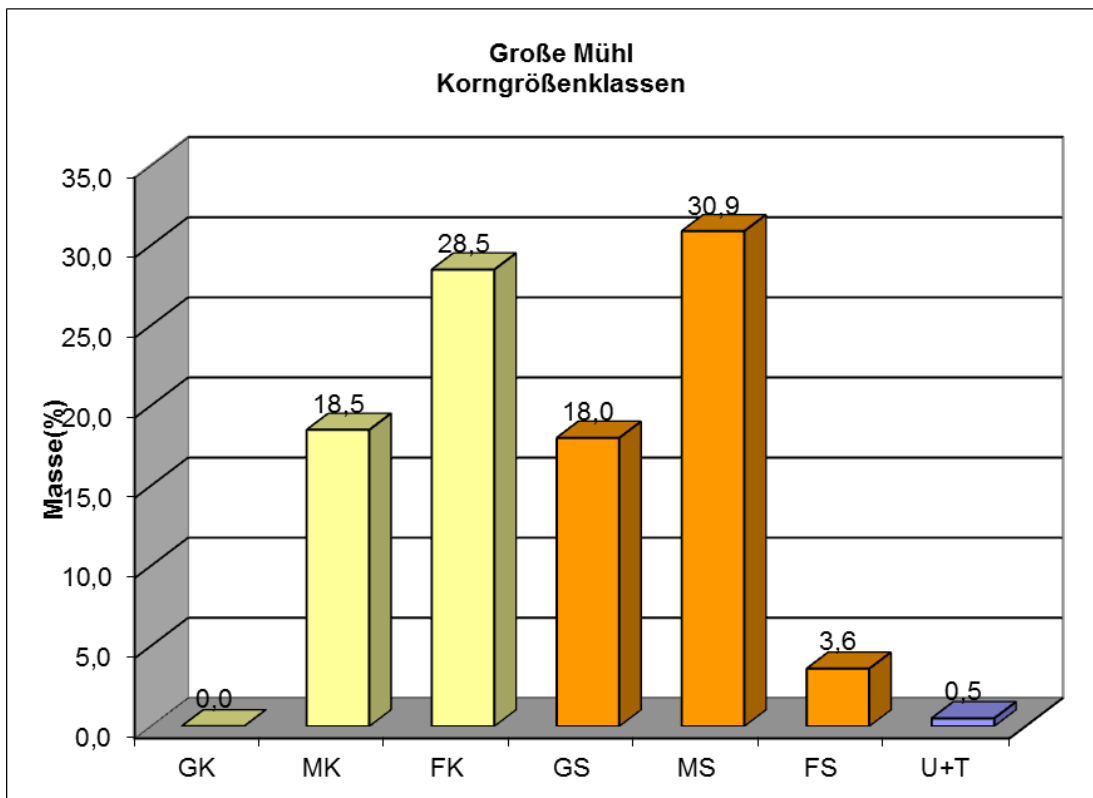
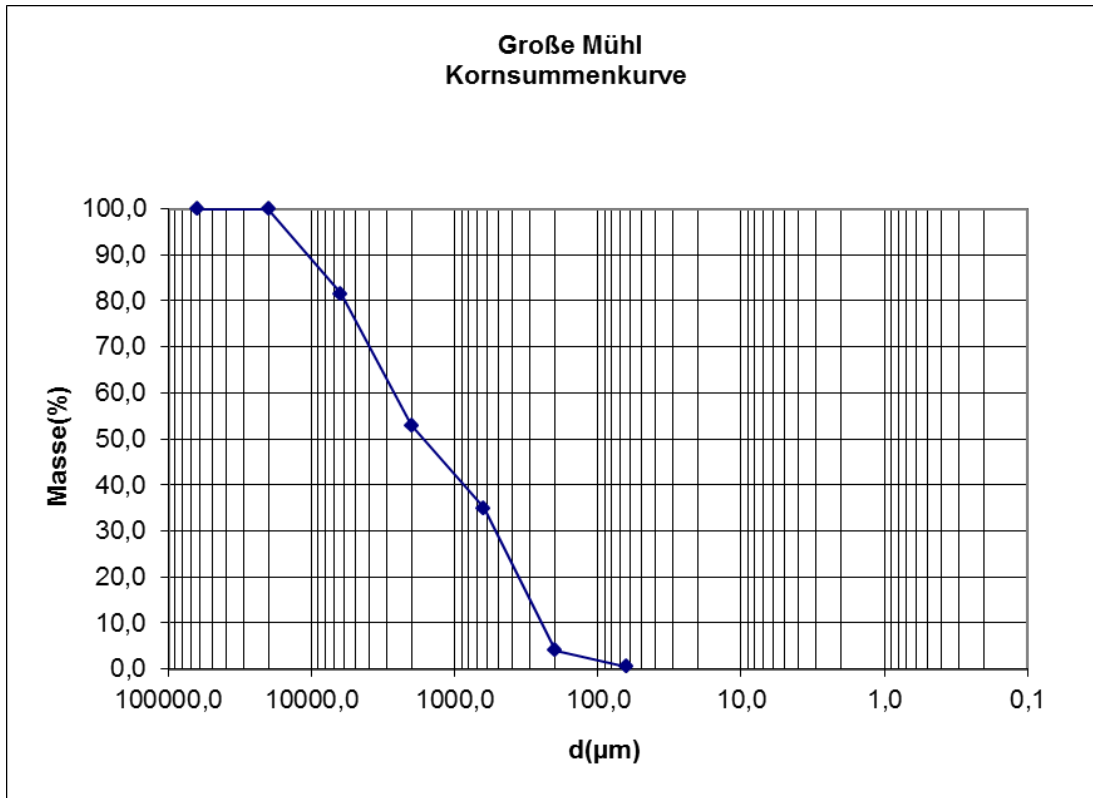


Abbildung 6: Summenkurve und Korngrößenverteilung vom Flusssediment aus der Großen Mühle.

8. Kleine Mühl

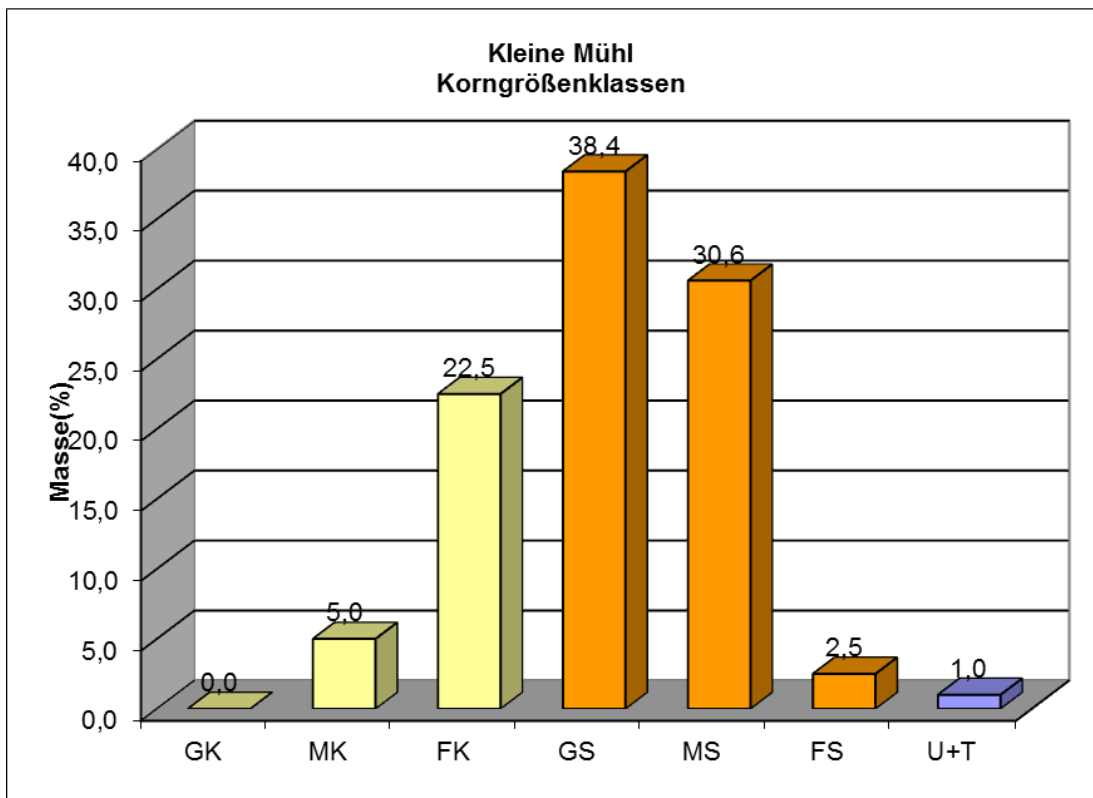
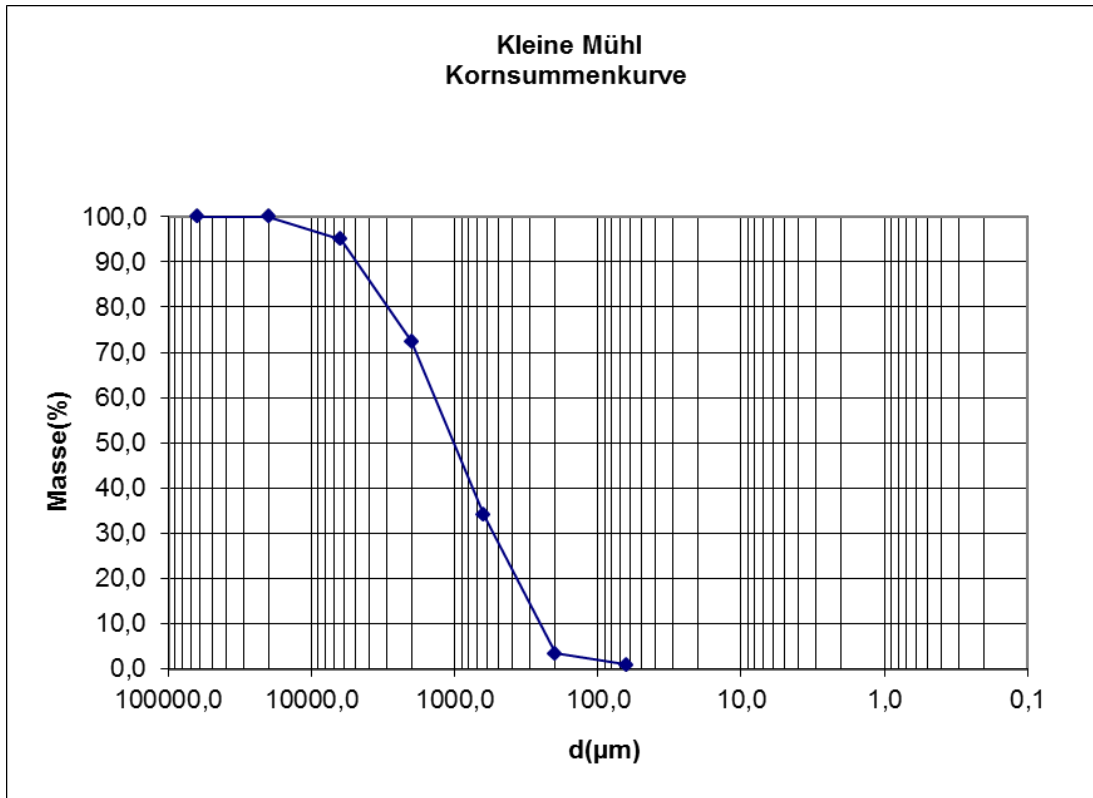


Abbildung 7: Summenkurve und Korngrößenverteilung vom Flusssediment aus der Kleinen Mühl.

9. Osterbach

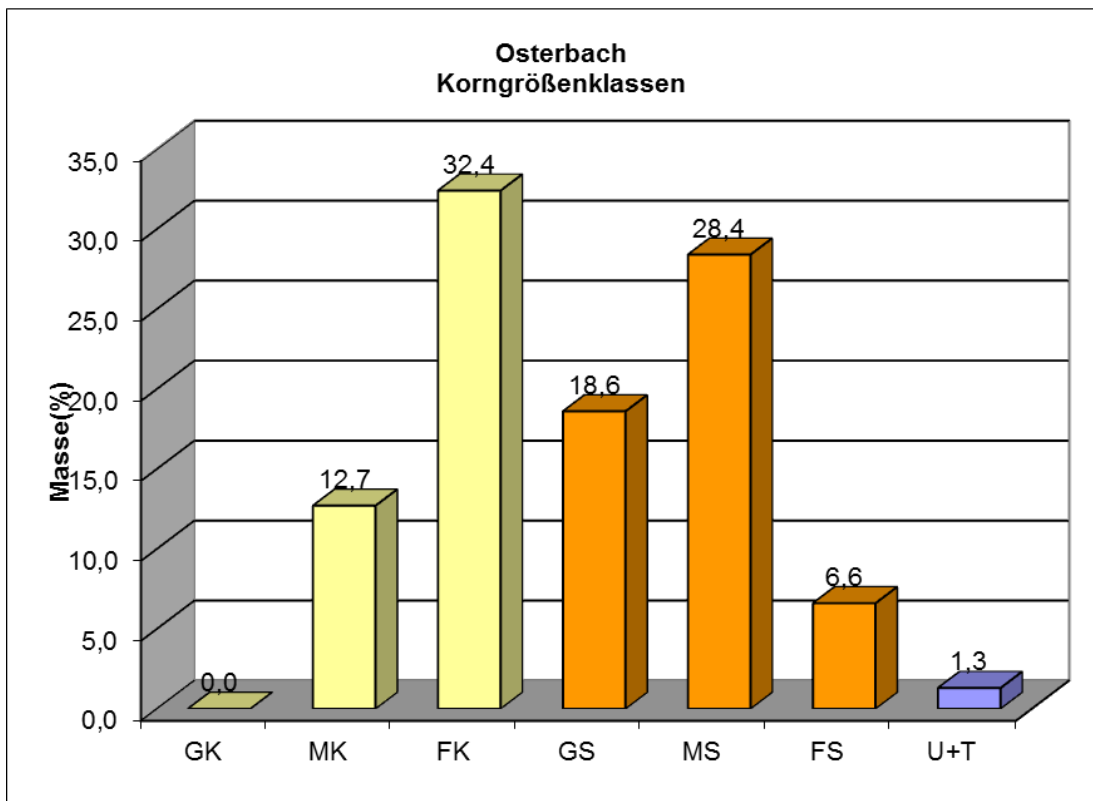
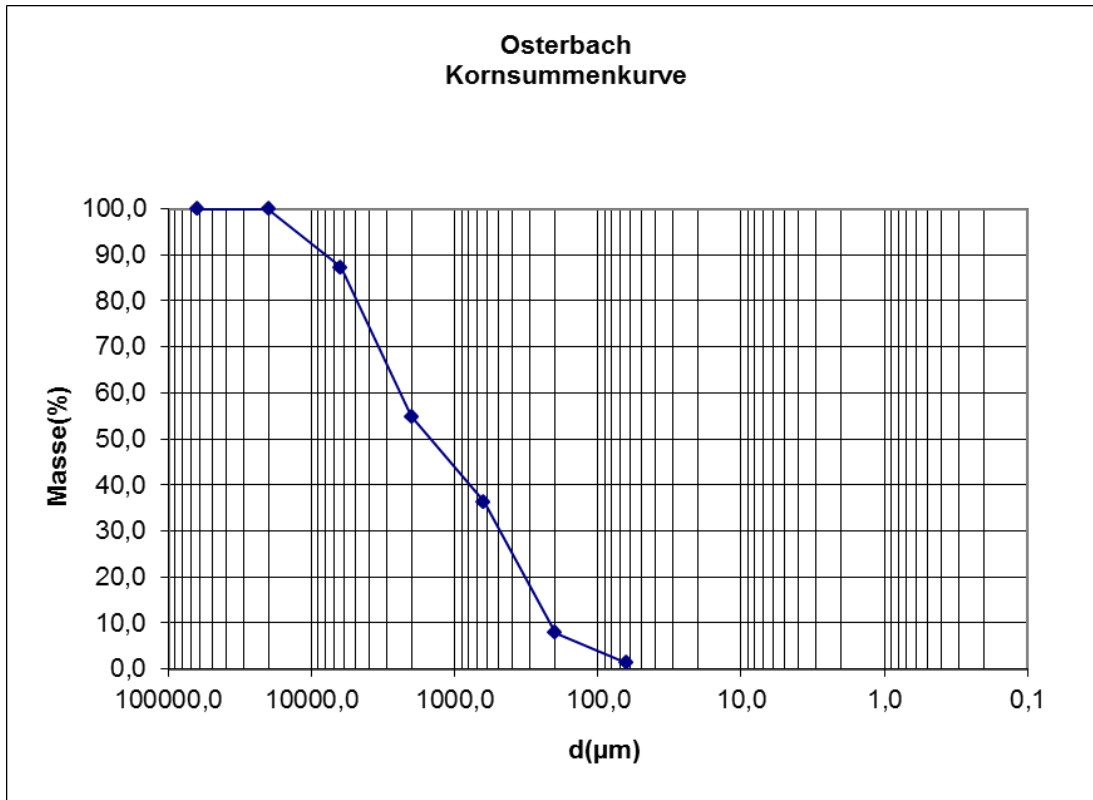


Abbildung 8: Summenkurve und Korngrößenverteilung vom Flusssediment aus dem Osterbach.

10. Rodl

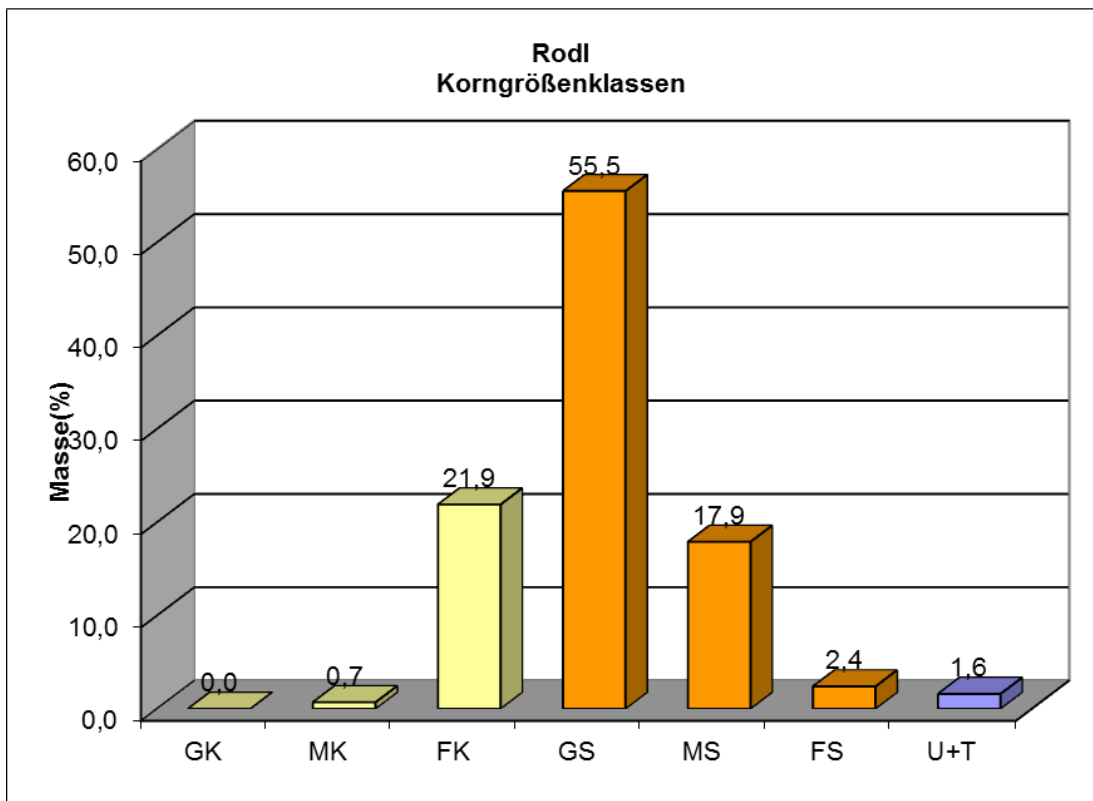
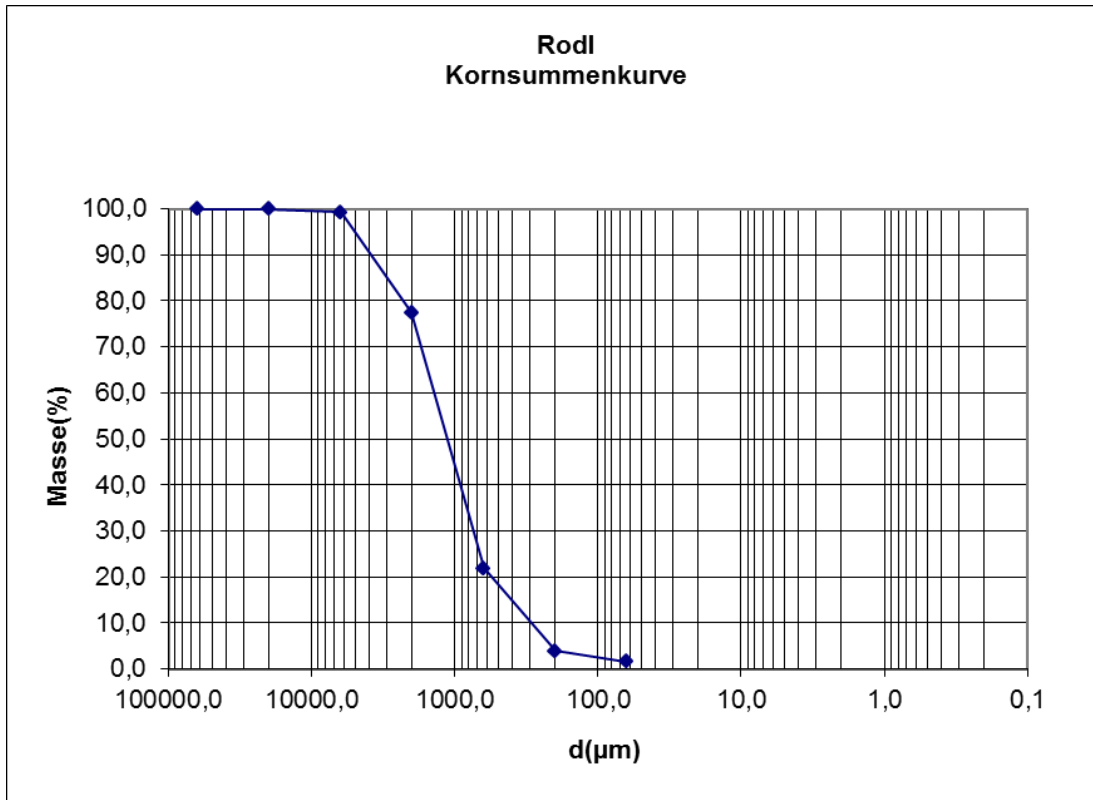


Abbildung 9: Summenkurve und Korngrößenverteilung vom Flusssediment aus der Rodl.

11. Naarn

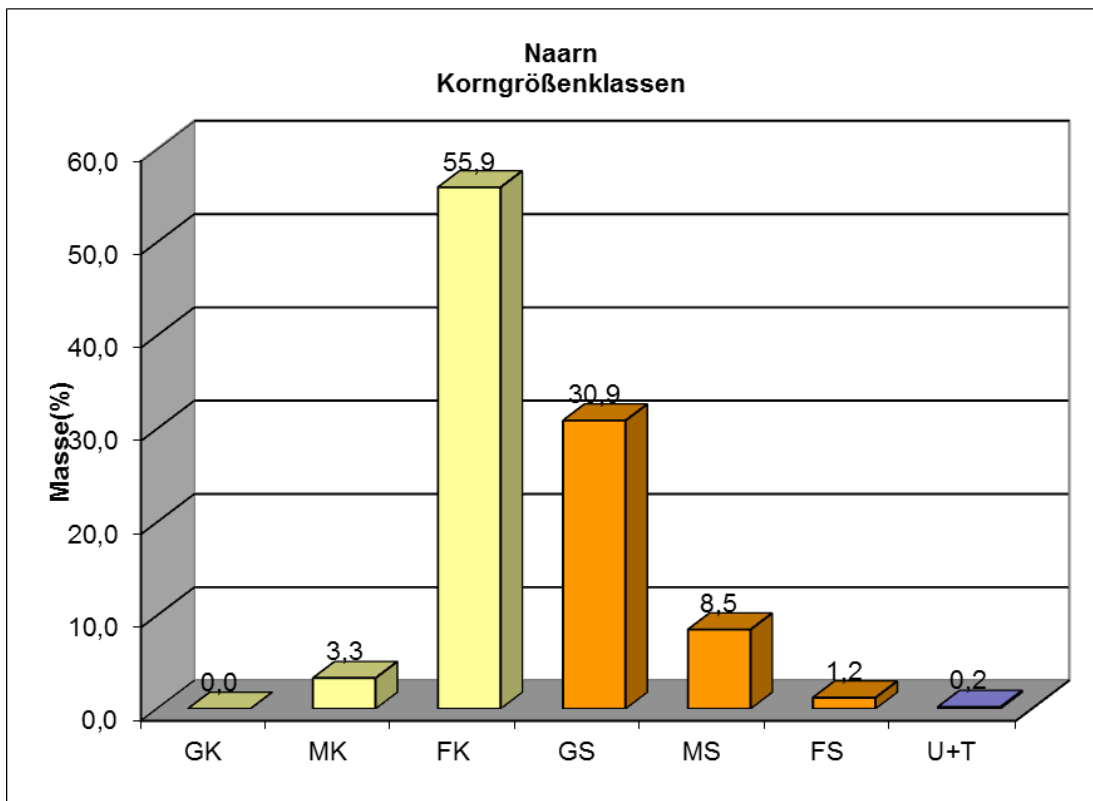
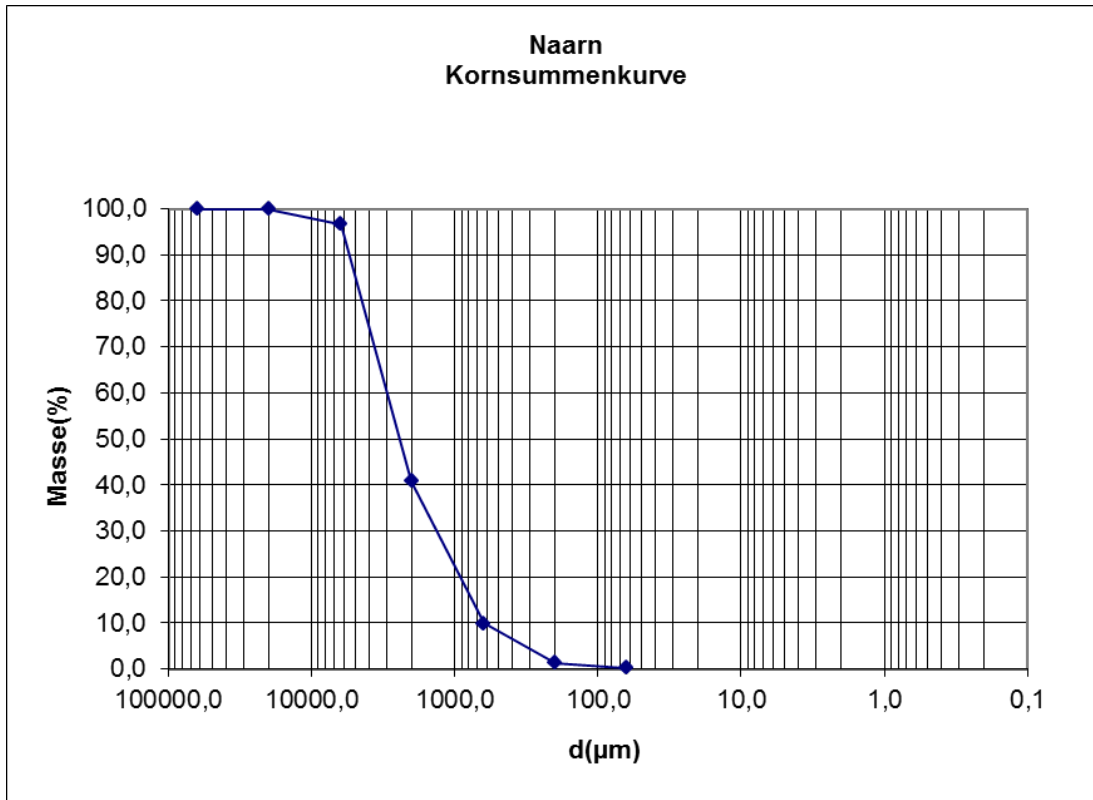


Abbildung 10: Summenkurve und Korngrößenverteilung vom Flusssediment aus der Naarn.

ANHANG

Teil 6 – Makrozoobenthos

1. Erläuterungen.....	2
2. Gesamttaxaliste (detaillierte MZB-Methode)	2
3. Taxalisten Einzelproben.....	5
4. Gesamttaxaliste mit Beschreiber (MHS-Methode)	11

Teil 6

Makrozoobenthos

		Gewässer		Große Mühl				Gusen		Kleine Mühl		Osterbach		Große Rodl	
		Typ		Referenz		versandet		Referenz	versandet	versandet		Referenz	versandet	Referenz	versandet
		Code		GRM(FK)	GRM(PB)	GRM(3+3+)	GRM(2+3)	GUR	GU(3+)	KMW(2)	KMW(3)	OR	OS(3)	GRR	GRV(2)
Großgruppe	Familie	Gattung	Art	mittlere Individuendichte [Ind/m ²]											
COLEOPTERA	GYRINIDAE	Orectochilus	villosus	0	0,8	0	6,4	10,4	0	1,6	0	6,4	0,8	6,4	13,6
COLEOPTERA	HYDRAENIDAE	Hydraena	gracilis	0	0	0	0	6,4	0	0	0	44,8	6,4	6,4	0
COLEOPTERA	HYDRAENIDAE	Hydraena	saga	38,4	6,4	0	0	0	0	6,4	0	0	0	0	0
COLEOPTERA	HYDRAENIDAE	Hydraena	sp.	0	6,4	0	0	0	0	0	0	0	0	0	0
COLEOPTERA	HYDRAENIDAE	Hydraena	sp. Ad.	121,6	0	0,8	0	6,4	14,4	32	0	128	12	12,8	0
COLEOPTERA	SCIRTIDAE	Scirtidae	Gen. sp.	0	0	0	0	6,4	0	0	0	0	0	0	0
TRICHOPTERA	RHYACOPHILIDAE	Rhyacophila	s. str. sp.	3,2	100	0	16,8	4	0	2,4	0	4	0	23,2	24
TRICHOPTERA	RHYACOPHILIDAE	Rhyacophila	tristis	0	0	0	0	0	0	0	0	0	0	0	0,8
TRICHOPTERA	GLOSSOSOMATIDAE	Agapetus	ochripes	0	33,6	0	0	0	0	0	0	0	0	0,8	0
TRICHOPTERA	GLOSSOSOMATIDAE	Agapetus	sp.	70,4	0	0	6,4	0	0	89,6	0	6,4	0	166,4	89,6
TRICHOPTERA	GLOSSOSOMATIDAE	Glossosoma	sp.	0,8	0	0	0	0	0	0,8	0	0	0	0	0
TRICHOPTERA	HYDROPTILIDAE	Hydroptila	sp.	0	0	0	0	44,8	6,4	0	0	0	0	0	0
TRICHOPTERA	PHILOPOTAMIDAE	Philopotamus	montanus	0	0	0	0	0	0	0	0	0	0	1,6	0
TRICHOPTERA	HYDROPSYCHIDAE	Cheumatopsyche	lepida	0	0	0	0	51,2	0	0	0	0	0	0	6,4
TRICHOPTERA	HYDROPSYCHIDAE	Hydropsyche	bulbifera	0	0	0	0	59,2	0,8	0	0	0	0	0	0
TRICHOPTERA	HYDROPSYCHIDAE	Hydropsyche	incognita	0	6,4	0	0	0	0	0	0	0	0	0,8	4,8
TRICHOPTERA	HYDROPSYCHIDAE	Hydropsyche	pellucidula	61,6	0	1,6	0	2,4	1,6	4	8	62,4	5,6	9,6	0
TRICHOPTERA	HYDROPSYCHIDAE	Hydropsyche	siltalai	1,6	83,2	0	3,2	6,4	0,8	8,8	0	91,2	0	0,8	0
TRICHOPTERA	HYDROPSYCHIDAE	Hydropsyche	sp.	236,8	128	0	15,2	24	7,2	63,2	41,6	83,2	18,4	115,2	20
TRICHOPTERA	POLYCENTROPIDAE	Polycentropus	flavomaculatus	6,4	0	0	7,2	0	0	0	0	0	0	21,6	20,8
TRICHOPTERA	PSYCHOMYIIDAE	Psychomyia	pusilla	0	102,4	0	11,2	57,6	0	0	0	33,6	0	32,8	44,8
TRICHOPTERA	BRACHYCENTRIDAE	Brachycentrus	sp.	0	0	0	0	80	29,6	7878,4	3,2	0	0	12,8	0
TRICHOPTERA	BRACHYCENTRIDAE	Micrasema	longulum	32	0	0	0	0	0	0	0	0	0	0	0
TRICHOPTERA	BRACHYCENTRIDAE	Micrasema	minimum	0	0	0	0	0	6,4	0	0	6,4	0	8,8	0
TRICHOPTERA	LIMNephilidae	Allogamus	auricollis	0	0	29,6	0	0	0	0	0	49,6	0	0	0
TRICHOPTERA	LIMNephilidae	Anabolia	sp.	0	0	0	0	0	0,8	0	0	0	0	0	0
TRICHOPTERA	LIMNephilidae	Anomalopterygella	chauviniana	38,4	187,2	17,6	53,6	0	0	40,8	53,6	50,4	57,6	0,8	0
TRICHOPTERA	LIMNephilidae	Chaetopteryx	sp.	0	0	0	0	0	0	0	0	0	0	4	0
TRICHOPTERA	LIMNephilidae	Eccisopteryx	dalecarlica	59,2	11,2	0	1,6	0	0	0,8	0	8	0	12	0
TRICHOPTERA	LIMNephilidae	Halesus	sp.	0	4	0	0,8	9,6	0	0	0	0	0	8	6,4
TRICHOPTERA	LIMNephilidae	Limnephilinae	Gen. sp.	12,8	25,6	435,2	24	0	0	0	1,6	13,6	0	0	1,6
TRICHOPTERA	LIMNephilidae	Potamophylax	sp.	4,8	12	0	0	0	0	0,8	0	10,4	0	0	0
TRICHOPTERA	GOERIDAE	Goera	pilosa	0	0	0	0	0	0	0,8	0	0	0	0	0,8
TRICHOPTERA	GOERIDAE	Silo	nigricornis	0	0	0	0	0	0	0	0	1,6	0	0	0
TRICHOPTERA	GOERIDAE	Silo	pallipes	0	0	0	0	0	0	6,4	0,8	0	0	0	0
TRICHOPTERA	GOERIDAE	Silo	piceus	0	0	0	0	0	0	9,6	1,6	0	0	1,6	2,4
TRICHOPTERA	GOERIDAE	Silo	sp.	12,8	0	0	0	0	0	44,8	0,8	12,8	12,8	6,4	0
TRICHOPTERA	LEPIDOSTOMATIDAE	Lasiocephala	basalis	0	0	0	0	6,4	0	0	12,8	0	0	2,4	0
TRICHOPTERA	LEPTOCERIDAE	Athripsodes	sp.	0	0	0	0	25,6	32	0	0	0	0	122,4	115,2
TRICHOPTERA	LEPTOCERIDAE	Oecetis	testacea	0	0	0	0	0	0	0	0	0	0	0	6,4
TRICHOPTERA	SERICOSTOMATIDAE	Notidobia	ciliaris	0	0	0	0	0	0	0	12,8	0	0	0	0
TRICHOPTERA	SERICOSTOMATIDAE	Sericostoma	sp.	58,4	142,4	1,6	0	1,6	0	16	1,6	41,6	19,2	47,2	8
TRICHOPTERA	BERAEIDAE	Beraeodes	minuta	0	0	0	0	0	6,4	0	0	0	0	0	0
TRICHOPTERA	ODONTOCERIDAE	Odontocerum	albicorne	28	4	2,4	3,2	0	0	0,8	0	3,2	8	0	0
DIPTERA	PEDICIIDAE	Dicranota	sp.	108,8	60,8	44,8	29,6	8	10,4	20	9,6	180	38,4	13,6	0
DIPTERA	CHIRONOMIDAE	Ablabesmyia (A.)	longistyla	0	0	0	0	0	0	0	0	0	0	0	51,2
DIPTERA	CHIRONOMIDAE	Apsectrotanytus	trifascipennis	0	0	32	0	0	0	0	0,8	0,8	0	0	6,4
DIPTERA	CHIRONOMIDAE	Brillia	bifida	0	6,4	0	0	51,2	0	0	0	6,4	0	0	0
DIPTERA	CHIRONOMIDAE	Brillia	flavifrons	0	0	0	0	0,8	0	0	0	0	0	0	0
DIPTERA	CHIRONOMIDAE	Chaetocladius	sp.	0	0	0	0	102,4	0	0	0	0	0	6,4	0
DIPTERA	CHIRONOMIDAE	Chironominae	Gen. sp.	0	0	0	0	0	51,2	102,4	0	0	0	0	51,2
DIPTERA	CHIRONOMIDAE	Claodotanytarsus	vanderwulpi	0	0	0	153,6	4147,2	0	6,4	172,8	0	0	12,8	0
DIPTERA	CHIRONOMIDAE	Claodotanytarsus	vanderwulpi-Gr.	0	0	51,2	0	0	1152	435,2	0	51,2	19,2	0	768
DIPTERA	CHIRONOMIDAE	Conchapelopia	melanops	0	153,6	0	2,4	0	0	0	0	0	0	0	76,8
DIPTERA	CHIRONOMIDAE	Conchapelopia	sp.	0	138,4	25,6	134,4	0	6,4	0	0	185,6	0,8	47,2	148,8
DIPTERA	CHIRONOMIDAE	Cricotopus (Cricotopus)	bicinctus	0	51,2	0	0	102,4	51,2	0	108,8	0	0	0	0
DIPTERA	CHIRONOMIDAE	Cricotopus (Cricotopus)	sp.	0	102,4	0	0	102,4	204,8	0	83,2	0	0	0	0
DIPTERA	CHIRONOMIDAE	Cricotopus (Cricotopus)	tremulus	0	668	0	153,6	0	0	32	0	205,6	0	0	0
DIPTERA	CHIRONOMIDAE	Cricotopus (Cricotopus)	triannulatus	0	0	0	0	307,2	25,6	0	0	0	0	6,4	0
DIPTERA	CHIRONOMIDAE	Cryptochironomus	rostratus	0	0	0	0	0	0	0	0	0	0	0	32
DIPTERA	CHIRONOMIDAE	Demicryptochironomus	sp.	6,4	6,4	0	102,4	0	0	0	0	0	0	6,4	6,4
DIPTERA	CHIRONOMIDAE	Diamesa	cinerella-Gr.	0	0	0	0	102,4	38,4	6,4	0	0,8	0	0	0
DIPTERA	CHIRONOMIDAE	Diamesa	hamaticornis	0	6,4	0	0	0	51,2	44,8	6,4	0	0	0	0
DIPTERA	CHIRONOMIDAE	Diamesa	insignipes	0	201,6	0	78,4	1112	57,6	211,2	6,4	1031,2	7,2	16	21,6
DIPTERA	CHIRONOMIDAE	Diamesa	sp.	0	0	6,4	0	0	0	0	0	0	0	0	0
DIPTERA	CHIRONOMIDAE	Eukiefferiella	clypeata	25,6	0	0	0	102,4	0	0	0	371,2	0	25,6	0
DIPTERA	CHIRONOMIDAE	Eukiefferiella	coerulescens	0	0	0	0	0	0	0	0	51,2	0	0	0
DIPTERA	CHIRONOMIDAE	Eukiefferiella	devonica	0	0	0	0	0	0	0	0	102,4	0	0	0
DIPTERA	CHIRONOMIDAE	Eukiefferiella	devonica/ilkeyensis	25,6	51,2	0	0	103,2	0	0	0	51,2	0	0	0
DIPTERA	CHIRONOMIDAE	Eukiefferiella	fittkai	0	0	0	0	0	0	0	0	12,8	0	0	0
DIPTERA	CHIRONOMIDAE	Eukiefferiella	lobifera	0	0	0	0	204,8	0	0	0	0	0	0	0
DIPTERA	CHIRONOMIDAE	Eukiefferiella	minor	0	0	0	0	409,6	0	0	0	6,4	0	0	0
DIPTERA	CHIRONOMIDAE	Eukiefferiella	similis	51,2	102,4	0	51,2	0	0	6,4	0	204,8	0	0	0
DIPTERA	CHIRONOMIDAE	Heleniella	ornaticollis	0	0	0	0	0	0	0	0	0	0	44,8	0
DIPTERA	CHIRONOMIDAE	Heleniella	sp.	0	51,2	0	0	0	0	0	0	0	0	0	0
DIPTERA	CHIRONOMIDAE	Heterotrissocladius	marcidus	0	0	19,2	51,2	0	0	0	6,4	0	0	0	25,6
DIPTERA	CHIRONOMIDAE	Macropelopia	nebulosa	0	0	0	0	0	0	0	0	0	0	0	32,8
DIPTERA	CHIRONOMIDAE	Micropectra	atrofasciata	0	168	0	20	0	0	0	0	7,2	0	0	0
DIPTERA	CHIRONOMIDAE	Micropectra	atrofasciata-Agg.	6,4	319,2	12,8	167,2	0	0	0	57,6	168	0	0	57,6
DIPTERA	CHIRONOMIDAE	Microtendipes	britteni	0	0	0	0	0	0	6,4	0	0	0	0	12,8
DIPTERA	CHIRONOMIDAE	Microtendipes	pedellus	0	0	0	0	0	0	0	0	0	0	0	0,8
DIPTERA	CHIRONOMIDAE	Microtendipes	pedellus-Gr.	0	0	0	51,2	0	0	0	79,2	51,2	0	0	32
DIPTERA	CHIRONOMIDAE	Microtendipes	rydalensis	0	0	0	0	0	0	0	0	102,4	0	96,8	57,6
DIPTERA	CHIRONOMIDAE	Nanocladius	rectinervis	0	0	0	0	0	0	0	0	51,2	0	0	0
DIPTERA	CHIRONOMIDAE	Natarsia	punctata	0	0	0	0	0	0	0	0	0	0	0,8	0
DIPTERA	CHIRONOMIDAE	Nilotanytus	dubius	0	0	0	0	153,6	0	0	0	0	0	6,4	115,2

			Gewässer	Große Mühl				Gusen		Kleine Mühl		Osterbach		Große Rodl		
			Typ	Referenz	versandet			Referenz	versandet	versandet		Referenz	versandet	Referenz	versandet	
			Code	GRM(FK)	GRM(PB)	GRM(3+3+)	GRM(2+3)	GUR	GU(3+)	KMW(2)	KMW(3)	OR	OS(3)	GRR	GRV(2)	
Großgruppe	Familie	Gattung	Art	mittlere Individuendichte (Ind/m ²)												
DIPTERA	CHIRONOMIDAE	Odontomesa	fulva	0	0	51,2	0	0	0	0	0	0	2,4	6,4	0	
DIPTERA	CHIRONOMIDAE	Orthocladinae	Gen. sp.	6,4	12,8	6,4	153,6	0	0	6,4	51,2	6,4	6,4	0	0	
DIPTERA	CHIRONOMIDAE	Orthocladini	COP	0	51,2	0	256	768	281,6	32	134,4	313,6	0	0	0	
DIPTERA	CHIRONOMIDAE	Orthocladus	sp.	0	0	6,4	6,4	3388	1635,2	358,4	487,2	1086,4	0	0	0	
DIPTERA	CHIRONOMIDAE	Orthocladus (E.)	ashei	0	326,4	0	0	922,4	0	38,4	0	51,2	0	0	0	
DIPTERA	CHIRONOMIDAE	Orthocladus (E.)	frigidus	0	0	0	0	0	0	0	0	51,2	0	0	0	
DIPTERA	CHIRONOMIDAE	Orthocladus (E.)	rivicola	0	70,4	0	0	0	25,6	0	0	0	0	0	0	
DIPTERA	CHIRONOMIDAE	Orthocladus (E.)	rivulorum	0	0	0	0	51,2	0	6,4	0	64,8	0	0	0	
DIPTERA	CHIRONOMIDAE	Orthocladus (O.)	oblidens	0	0	0	0	0	25,6	134,4	0	0,8	0	0	0	
DIPTERA	CHIRONOMIDAE	Orthocladus (O.)	obumbratus	0	0	0	6,4	51,2	0	0	0	19,2	0	0	0	
DIPTERA	CHIRONOMIDAE	Orthocladus (O.)	rubicundus	6,4	332,8	6,4	512	307,2	230,4	185,6	108,8	5000,8	0	0	0	
DIPTERA	CHIRONOMIDAE	Orthocladus (O.)	sp.	0	115,2	6,4	12,8	155,2	76,8	0	0	0	0	0	0	
DIPTERA	CHIRONOMIDAE	Orthocladus (S.)	lignicola	0	0	0	0	0	0	0	0	6,4	0	0	0	
DIPTERA	CHIRONOMIDAE	Paracladius	conversus	0	0	0	0	0	570,4	0	0	0	0	0	0	
DIPTERA	CHIRONOMIDAE	Paracladopelma	campolabis	0	0	0	0	0	0	0	0	0	0	0,8	0	
DIPTERA	CHIRONOMIDAE	Paracladopelma	campolabis-Gr.	0	0	25,6	0	0	0	0	0	0	0	0,8	0	
DIPTERA	CHIRONOMIDAE	Paracladopelma	mikiana	0	0	0	0	0	0	0	0	51,2	0	0	0	
DIPTERA	CHIRONOMIDAE	Paracladopelma	sp.	0	0	19,2	0	0	0	0	0	0	1,6	12,8	0	
DIPTERA	CHIRONOMIDAE	Paracricotopus	niger	0	0	0	0	0	0	0	0	70,4	0	0	0	
DIPTERA	CHIRONOMIDAE	Parakiefferiella	triquetra	0	0	0	0	0	0	0	6,4	51,2	6,4	0	0	
DIPTERA	CHIRONOMIDAE	Parametrioecmus	stylatus	6,4	410,4	12,8	512	153,6	0	76,8	0	12,8	0	25,6	0	
DIPTERA	CHIRONOMIDAE	Paratendipes	albimanus	0	0	0	0	0	103,2	0	0	0	0	0	313,6	
DIPTERA	CHIRONOMIDAE	Paratrichocladus	rufiventris	0	0	0	51,2	358,4	102,4	0	0	307,2	0	0	0	
DIPTERA	CHIRONOMIDAE	Paratrichocladus	skirwithensis/veronicae	0	0	0	0	460,8	0	0	0	0	0	0	0	
DIPTERA	CHIRONOMIDAE	Paratrisociadius	excerptus	0	6,4	51,2	204,8	0	0	0	12,8	102,4	0	32,8	262,4	
DIPTERA	CHIRONOMIDAE	Pentaneurini	Gen. sp.	25,6	12,8	6,4	153,6	0	0	6,4	0	51,2	0	0	0	
DIPTERA	CHIRONOMIDAE	Polypedium (P.)	albicorne	6,4	0	25,6	0	51,2	1,6	0	25,6	0	0	7,2	0	
DIPTERA	CHIRONOMIDAE	Polypedium (P.)	laetum	0	0	0	0	104	61,6	0	0	0	0	258,4	377,6	
DIPTERA	CHIRONOMIDAE	Polypedium (P.)	pedestre	0	0,8	0	0	0	0	0	0	0	0	0	0	
DIPTERA	CHIRONOMIDAE	Polypedium (P.)	sp.	0	0	0	0	51,2	103,2	0	0	0	0	0	0	
DIPTERA	CHIRONOMIDAE	Polypedium (T.)	acifer	0	0	0	0	768	409,6	0	0	0	0	0	0	
DIPTERA	CHIRONOMIDAE	Polypedium (T.)	aegyptium	0	0	0	0	204,8	0	25,6	0	0	0	0	0	
DIPTERA	CHIRONOMIDAE	Polypedium (T.)	scalaenum-Gr.	0	0	0	0	0	0	0	0	0	0	19,2	0	
DIPTERA	CHIRONOMIDAE	Polypedium (U.)	convictum	236,8	1165,6	6,4	409,6	308	0	140,8	211,2	893,6	25,6	102,4	6,4	
DIPTERA	CHIRONOMIDAE	Pothastia	gaedii	0	0	0	2611,2	0	6,4	0	0	1126,4	0	0	0	
DIPTERA	CHIRONOMIDAE	Pothastia	gaedii-Gr.	0	174,4	0	74,4	102,4	121,6	108,8	6,4	7,2	0	0	6,4	
DIPTERA	CHIRONOMIDAE	Pothastia	longimana	6,4	0	0	0	0	0	0	0	0	0	0	0	
DIPTERA	CHIRONOMIDAE	Pothastia	longimana-Gr.	0	0	0	0	0	0	0	0	108,8	0	12,8	0	
DIPTERA	CHIRONOMIDAE	Procladius (H.)	choreus	0	0	0	0	0	0	0	0	0	0	0	6,4	
DIPTERA	CHIRONOMIDAE	Prodiamesa	olivacea	0	0	0	0	0	0,8	0	9,6	0	0	10,4	0	
DIPTERA	CHIRONOMIDAE	Rheocricotopus (R.)	fuscipes	6,4	0,8	0	108,8	0	0	0	0	102,4	0	0	0	
DIPTERA	CHIRONOMIDAE	Rheopelopia	ornata	0	0	0	0	0	0	0	0	0	0	0	25,6	
DIPTERA	CHIRONOMIDAE	Rheosmittia	spiniicornis	0	0	25,6	0	256	102,4	0	0	77,6	0	0	0	
DIPTERA	CHIRONOMIDAE	Rheotanytarsus	photophilus	0	358,4	0	0	0	0	25,6	0	25,6	0	0	0	
DIPTERA	CHIRONOMIDAE	Rheotanytarsus	rhenanus	0	0	0	0	51,2	0	0	0	0	0	0	0	
DIPTERA	CHIRONOMIDAE	Rheotanytarsus	sp.	256	2496,8	51,2	569,6	51,2	25,6	32	12,8	4251,2	0,8	19,2	0	
DIPTERA	CHIRONOMIDAE	Robackia	demejerei	0	0	0	0	0	6,4	0	0	0	0	0	0	
DIPTERA	CHIRONOMIDAE	Saetheria	reissi	0	0	0	0	616	3326,4	0	0	0	0	0,8	0	
DIPTERA	CHIRONOMIDAE	Stempellinella	brevis	0	204,8	57,6	307,2	0	0	0	0	0	0	6,4	25,6	
DIPTERA	CHIRONOMIDAE	Synorthocladus	semivirens	0	486,4	0	166,4	51,2	25,6	0	51,2	876,8	0	0	160	
DIPTERA	CHIRONOMIDAE	Tanytarsini	Gen. sp.	12,8	204,8	416	307,2	0	0	185,6	876,8	204,8	32	12,8	1049,6	
DIPTERA	CHIRONOMIDAE	Tanytarsus	brundini	0	0	0	7,2	0	0	0	25,6	0	0	0	192	
DIPTERA	CHIRONOMIDAE	Tanytarsus	brundini/curticornis	0	692,8	0	780,8	0	0	0	1529,6	12,8	0	6,4	0	
DIPTERA	CHIRONOMIDAE	Tanytarsus	debilis	0	0	0	0,8	0	0	0	0	0	0	0	0	
DIPTERA	CHIRONOMIDAE	Tanytarsus	ejuncidus	0	0	25,6	0	51,2	0	51,2	0	0	6,4	44,8	0	
DIPTERA	CHIRONOMIDAE	Tanytarsus	eminulus	0	307,2	0	1824	0	89,6	0	51,2	108,8	0	6,4	320	
DIPTERA	CHIRONOMIDAE	Tanytarsus	pallidicornis	0	0	0	0	0	0	0	6,4	0	0	0	6,4	
DIPTERA	CHIRONOMIDAE	Tanytarsus	sp.	0	153,6	211,2	3072,8	2356	563,2	38,4	160	768	6,4	6,4	2016	
DIPTERA	CHIRONOMIDAE	Thienemannia	sp.	0	0	0	0	0	6,4	0	0,8	0	0	0	0	
DIPTERA	CHIRONOMIDAE	Thienemanniella	sp.	0	51,2	0	0	0	0	0	51,2	0	0	6,4	0	
DIPTERA	CHIRONOMIDAE	Thienemannimyia	carnea	0	0	0	0	0	0	0	25,6	0	0	0	256	
DIPTERA	CHIRONOMIDAE	Thienemannimyia	Gr., Gen. indet.	0	51,2	0	364,8	0	0	0	52	57,6	0	25,6	0	
DIPTERA	CHIRONOMIDAE	Thienemannimyia	sp.	0	51,2	0	57,6	0	6,4	0	0	0	0	16,8	262,4	
DIPTERA	CHIRONOMIDAE	Tvetenia	calvescens	57,6	320	0	51,2	0	0	25,6	57,6	940,8	0	12,8	0	
DIPTERA	CHIRONOMIDAE	Tvetenia	verralli	51,2	300,8	0	0	51,2	0	6,4	0	7,2	0	26,4	0	
DIPTERA	CHIRONOMIDAE	Zavrelimyia	sp.	0	0	0	0	0	0	0	0	0,8	0	0	0	
DIPTERA	SIMULIIDAE	Prosimulium	sp.	0	12,8	0	0	0	0	0	0	0	0	0	0	
DIPTERA	SIMULIIDAE	Prosimulium	tomosvaryi	0	6,4	0	0	0	0	32	0	0	0	6,4	0	
DIPTERA	SIMULIIDAE	Simuliidae	Gen. sp.	76,8	179,2	0	0,8	102,4	0	25,6	0	0	0	0	0	
DIPTERA	SIMULIIDAE	Simulium	sp.	57,6	115,2	0	0	32	0	0	1,6	0	0	6,4	0	
DIPTERA	SIMULIIDAE	Simulium (Nevermannia)	vernum	0	6,4	0	0	0	6,4	0	0,8	0	0,8	0	0,8	
DIPTERA	SIMULIIDAE	Simulium (Simulium)	reptans	128	480	0	0	320	44,8	121,6	0	0	0	0	0	
DIPTERA	ATHERICIDAE	Ibisia	marginata	23,2	4	0	0	0	0	0	0	22,4	6,4	20	15,2	
DIPTERA	CERATOPOGONIDAE	Bezia-Gr.	sp.	6,4	0	7,2	38,4	44,8	6,4	0	45,6	32	32	0	64	
DIPTERA	CERATOPOGONIDAE	Ceratopogonidae	Gen. sp.	0	32,8	0	0	0	0	0	0	0	0	0	0	
DIPTERA	EMPIDIDAE	Empididae	Gen. sp.	57,6	14,4	0	26,4	66,4	13,6	32,8	0	25,6	0	19,2	6,4	
DIPTERA	LIMONIIDAE	Antocha	sp.	0	33,6	0	15,2	52,8	0	19,2	0	134,4	0	0	39,2	
DIPTERA	LIMONIIDAE	Hexatoma	sp.	35,2	16,8	60	35,2	150,4	174,4	69,6	7,2	96,8	172,8	27,2	16	
DIPTERA	PSYCHODIDAE	Psychodidae	Gen. sp.	52	201,6	0	51,2	0	0	0	0	7,2	0	6,4	0,8	
DIPTERA	TIPULIDAE	Tipulidae	Gen. sp.	0	0	0	0	0,8	2,4	0,8	0	0	1,6	0	0	
Summe				4792,8	15516,8	2221,6	14624,8	25685,6	12027,2	13100,8	5522,4	32955,2	1603,2	4353,6	9017,6	
Gesamtzahl				251	77	109	52	87	109	79	78	72	111	53	107	95
Gesamtzahl (exkl. "sp.")				179	43	67	29	57	71	52	46	50	78	30	70	68

3. Taxalisten Einzelproben

Tabelle 2: Taxaliste Einzelproben.

			Gewässer	Große Mühl															
			Typ	Referenz															
			Substrat	Akal	Akal	Akal	Akal	Akal	Mikrolithal	Mikrolithal	Mikrolithal	Mikrolithal	Xylal	Makro- /Mesolithal	Makro- /Mesolithal	Makro- /Mesolithal	Makro- /Mesolithal	Makro- /Mesolithal	Ufergras
			Code	GRM_FKR_Ak1	GRM_FKR_Ak2	GRM_FKR_Ak3	GRM_FKR_Ak4	GRM_FKR_Mi1	GRM_FKR_Mi2	GRM_FKR_Mi3	GRM_FKR_Mi4	GRM_FKR_Xylal	GRM_PBR_MaMe1	GRM_PBR_MaMe2	GRM_PBR_MaMe3	GRM_PBR_MaMe4	GRM_PBR_Ufergras+Ps		
Großgruppe	Familie	Gattung	Art	Individuendichte pro Einzelprobe (0,0625 m ²)															
GASTROPODA	ANCYLIDAE	Ancylus	fluviatilis	0	0	0	0	2	0	0	2	0	0	0	0	1	0		
GASTROPODA	LYMNAEIDAE	Radix	sp.	0	0	0	0	0	0	0	0	0,25	0	0	0	0			
BIVALVIA	PISIDIIDAE	Pisidium	sp.	1	0	2	1	0	0	0	0	0	0	0	0	0	0,25		
HIRUDINEA	ERPOBDELLIDAE	Dina	punctata	0	0	0	0	0	0	0	0	0	1	0	0	2	0		
AMPHIPODA	GAMMARIIDAE	Gammarus	fossarum	0	0	0	0	0	0	0	0	0	0	0	0	0			
HYDRACHNIDIA	HYDRACHNIDIA	Hydrachnidia	Gen. Sp.	0	0	0	0	0	1	0	2	0	0	0	0	0			
EPHEMEROPTERA	BAETIDAE	Baetis	sp.	0	1	1	1	5	11	4	2	0,5	60	71	55	31	6,5		
EPHEMEROPTERA	HEPTAGENIIDAE	Epeorus	assimilis	0	0	0	0	0	0	0	0	0	0	1	2	0			
EPHEMEROPTERA	HEPTAGENIIDAE	Ecdyonurus	sp.	0	0	1	0	0	0	0	0	0,5	1	4	4	2	0		
EPHEMEROPTERA	HEPTAGENIIDAE	Heptagenia	sulphurea	0	0	0	0	0	0	0	0	0	0	0	1	0			
EPHEMEROPTERA	HEPTAGENIIDAE	Rhithrogena	sp.	2	0	0	0	29	52	29	24	0	9	7	8	7	0		
EPHEMEROPTERA	LEPTOPHLEBIDAE	Habroleptoides	confusa	0	0	0	0	0	0	0	0	0	1	5	8	7	0,25		
EPHEMEROPTERA	LEPTOPHLEBIDAE	Habrophlebia	lauta	0	0	1	0	0	0	0	0	0	0	0	0	0			
EPHEMEROPTERA	EPHEMERELLIDAE	Ephemerella	major	0	0	0	1	0	1	0	0	0	0	0	0	0			
EPHEMEROPTERA	EPHEMERELLIDAE	Ephemerella	mucronata	0	0	0	1	0	0	0	0	0	4	9	15	21	0,25		
EPHEMEROPTERA	EPHEMERELLIDAE	Ephemerella	notata	0	0	0	0	0	0	0	0	0	0	0	0	0			
EPHEMEROPTERA	EPHEMERIDAE	Ephemerella	danica	0	0	0	0	0	0	0	0	0	0	0	0	0			
PLECOPTERA	PERLIDAE	Dinocras	sp.	0	0	0	0	0	0	0	0	0,25	0	0	0	0			
PLECOPTERA	PERLIDAE	Perla	sp.	0	0	0	0	0	0	0	0	0	0	0	1	0			
PLECOPTERA	PERLODIDAE	Perlodes	sp.	0	0	0	0	0	0	0	0	0,25	1	1	1	1	0		
PLECOPTERA	PERLODIDAE	Isoperla	sp.	0	0	0	0	0	5	0	2	0,25	1	1	2	0			
PLECOPTERA	CHLOROPERLIDAE	Chloroperlidae	Gen. Sp.	0	0	0	0	1	0	0	0	0	0	0	2	1	0		
PLECOPTERA	TAENIOPTERYGIDAE	Brachyptera	sp.	0	0	0	0	0	0	0	0	0	0	0	0	0			
PLECOPTERA	NEMOURIDAE	Nemoura/Nemurella	sp.	0	0	0	0	0	0	0	0	0	0	0	0	0			
PLECOPTERA	NEMOURIDAE	Protonemura	sp.	0	0	0	0	0	1	0	0	0	0	1	0	0			
PLECOPTERA	NEMOURIDAE	Amphinemura	sp.	0	0	0	0	0	0	0	0	0	1	2	3	5	0		
PLECOPTERA	LEUCTRIDAE/CAPNIIDAE	Leuctra/Capnia	sp.	0	0	0	1	0	1	1	0	6	2	10	3	0			
TRICHOPTERA	RHYACOPHILIDAE	Rhyacophila	tristis	1	0	0	0	0	0	0	0	0	0	1	1	1	0		
TRICHOPTERA	RHYACOPHILIDAE	Rhyacophila	s. str.	0	0	0	0	0	1	0	2	0	4	7	5	10	0		
TRICHOPTERA	PSYCHOMIIDAE	Psychomyia	pusilla	0	0	0	0	0	0	0	0	0,5	0	1	0	0			
TRICHOPTERA	POLYCENTROPIDIDAE	Polycentropus	sp.	0	0	0	0	0	0	0	0	0,25	0	0	0	0			
TRICHOPTERA	HYDROPSYCHIDAE	Cheumatopsyche	lepida	0	0	0	0	0	0	0	0	0	0	0	0	0			
TRICHOPTERA	HYDROPSYCHIDAE	Hydropsyche	sp.	0	2	0	3	7	13	12	4	0	11	25	33	21	0		
TRICHOPTERA	PHILOPOTAMIDAE	Philopotamidae	Gen.sp.	0	0	0	0	0	0	0	0	0	0	1	0	0			
TRICHOPTERA	LEPIDOSTOMATIDAE	Lepidostomatidae	Gen.sp.	0	0	0	0	0	0	0	0	4,25	0	0	0	1	0,25		
TRICHOPTERA	GLOSSOSOMATIDAE	Agapetus	sp.	0	0	0	0	0	2	0	0	0	0	0	0	0			
TRICHOPTERA	GLOSSOSOMATIDAE	Silo	sp.	0	0	0	0	1	0	0	0	0	0	0	0	0			
TRICHOPTERA	LIMNephilidae	Anomalopterygella	chauviniana	0	0	0	0	1	11	4	8	0	0	1	5	0			
TRICHOPTERA	LIMNephilidae	Ecclisopteryx	dalecarlica	0	0	0	0	9	5	3	5	0	0	2	2	1	0		
TRICHOPTERA	LIMNephilidae	Ecclisopteryx	madida	0	0	0	0	0	0	0	0	0	0	0	0	0			
TRICHOPTERA	LIMNephilidae	Halesus	sp.	0	0	0	0	0	0	0	0	2,25	1	0	0	3,25			
TRICHOPTERA	LIMNephilidae	Potamophylax	sp.	0	0	0	0	0	0	0	0	0	0	0	1	0	2,25		
TRICHOPTERA	LIMNephilidae	Potamophylax	rotundipennis	0	0	0	0	0	1	0	0	0	0	0	0	0			
TRICHOPTERA	LIMNephilidae	Allogamus	auricollis	0	0	0	0	0	0	0	0	5,25	0	2	0	0,25			
TRICHOPTERA	LIMNephilidae	Anabolia	sp.	0	0	0	0	0	0	0	0	0	0	0	0	0			
TRICHOPTERA	LIMNephilidae	Limnephilinae	Gen.sp.	0	0	5	0	0	0	0	0	0	0	0	0	12,25			
TRICHOPTERA	SERICOSTOMATIDAE	Sericostoma	sp.	0	0	1	0	1	2	1	0	0	2	1	9	5	0		
TRICHOPTERA	ODONTOCERIDAE	Odontocerum	albicorne	0	0	0	0	1	1	1	0	0	0	0	6	2	0		
TRICHOPTERA	BRACHYCENTRIDAE	Micrasema	longulum	0	0	0	0	0	1	0	0	0	0	0	0	0			
TRICHOPTERA	BRACHYCENTRIDAE	Brachycentrus	maculatus	4	0	0	0	0	0	0	0	0	0	0	0	0			
DIPTERA	SIMULIIDAE	Simuliidae	Gen. sp.	0	0	0	1	4	9	4	4	0	7	25	24	10	0		
DIPTERA	LIMONIIDAE	Antocha	sp.	0	0	0	0	0	0	0	0	0	2	1	1	1	0		
DIPTERA	LIMONIIDAE	Dicranota	sp.	3	4	4	7	3	7	7	9	0	6	3	5	10	0		
DIPTERA	LIMONIIDAE	Hexatoma	sp.	1	4	1	9	4	5	7	0	0	4	0	8	0	0		
DIPTERA	TIPULIDAE	Tipulidae	Gen. sp.	0	1	0	0	0	0	0	0	0	0	0	0	0			
DIPTERA	PSYCHODIDAE	Psychodidae	Gen. Sp.	0	0	0	0	2	1	0	2	0	8	6	12	6	0		
DIPTERA	ATHERICIDAE	Ibsisia	marginata	0	0	0	1	0	0	1	0	0	0	0	3	0			
DIPTERA	EMPIDIDAE	Empididae	Gen. Sp.	0	0	0	0	0	1	2	0	0	1	0	0	0			
DIPTERA	CHIRONOMIDAE	Chironomidae	Gen. Sp.	2	0	0	3	9	9	6	4	2	100	258	328	298	6		
COLEOPTERA	ELMIDAE	Elmis	sp.	0	2	2	0	19	7	4	5	0,5	0	0	0	2	0		
COLEOPTERA	ELMIDAE	Esolus	sp.	1	0	0	0	8	3	0	3	0	0	0	0	0			
COLEOPTERA	ELMIDAE	Limnius	sp.	2	10	3	10	9	7	7	19	0	4	2	2	2	0		
COLEOPTERA	ELMIDAE	Oulimnius	tuberculatus	0	0	0	0	0	0	0	0	0	0	0	0	0			
COLEOPTERA	HYDRAENIDAE	Hydraena	sp.	0	0	0	1	0	8	11	13	0	4	2	1	3	0		
COLEOPTERA	DYTISSCIDAE	Oreodytes	sanmarkii	0	0	0	0	0	0	0	0	0	0	0	0	0	0,25		
COLEOPTERA	GYRINIDAE	Orectochylus	villosus	0	0	0	0	0	0	0	0	0	0	0	0	1	0,25		
ODONATA	GOMPHIDAE	Ophiogomphus	cecilia	0	0	0	0	0	0	0	0	0	0	0	0	0			
OLIGOCHAETA	OLIGOCHAETA	Oligochaeta	Gen. sp.	11	15	0	9	8	2	0	0	0	7	0	1	0	0		
NEMATODA	NEMATODA	Nematoda	Gen. sp.	1	0	0	0	1	0	0	17	0	0	2	1	5	0		
Summe				29	39	21	49	124	168	104	127	17	246	444	560	460	32		
Gesamttaxazahl				11	8	10	14	20	27	17	18	13	24	28	32	28	12		

			Gewässer	Große Mühl															
			Typ	versandet															
			Substrat	Makro-/Mesolithal	Makro-/Mesolithal	Makro-/Mesolithal	Makro-/Mesolithal	Makro-/Mesolithal	Alkal	Alkal	Alkal	Alkal	Xylal	Mikrolithal	Mikrolithal	Mikrolithal	Alkal/Psammal	Alkal/Psammal	Alkal/Psammal
			Code	GRM_PBV2-3_MaMe1	GRM_PBV2-3_MaMe2	GRM_PBV2-3_MaMe3	GRM_PBV2-3_MaMe4	GRM_FKV3-3_Ak1	GRM_FKV3-3_Ak2	GRM_FKV3-3_Ak3	GRM_FKV3-3_Ak4	GRM_FKV3-3_Xylal	GRM_FKV3-3_Mikro1	GRM_FKV3-3_Mikro2	GRM_FKV3-3_Mikro4	GRM_FKV3-3_API	GRM_FKV3-3_AP2	GRM_FKV3-3_AP4	
Großgruppe	Familie	Gattung	Art	Individuendichte pro Einzelprobe (0,0625 m ²)															
GASTROPODA	ANCYLIDAE	Ancylus	fluviatilis	0	0	0	3	0	0	0	0	0	0	3	0	0	0	0	
GASTROPODA	LYMNAEIDAE	Radix	sp.	0	0	0	0	0	0	0	0	1	3	1	0	1	0		
BIVALVIA	PISIDIIDAE	Pisidium	sp.	0	0	0	0	0	0	2	0	0	0	1	0	0	0		
HIRUDINEA	ERPOBDELLIDAE	Dina	punctata	0	0	0	0	0	0	0	0	0	0	0	0	0	0		
AMPHIPODA	GAMMARIDAE	Gammarus	fossarum	1	0	0	0	0	0	2	0	1,25	0	7	3	6	7	2	
HYDRACHNIDIA	HYDRACHNIDIA	Hydrachnidia	Gen. Sp.	6	0	0	0	0	1	0	1	0	0	4	1	3	0	0	
EPHEMEROPTERA	BAETIDAE	Baetis	sp.	20	16	1	1	0	0	0	0	11,25	5	5	2	2	3	0	
EPHEMEROPTERA	HEPTAGENIDAE	Epeorus	assimilis	0	0	0	1	0	0	0	0	0	0	1	0	0	0	0	
EPHEMEROPTERA	HEPTAGENIDAE	Ecdyonurus	sp.	6	0	0	0	0	0	0	0	0	0	0	1	0	0	0	
EPHEMEROPTERA	HEPTAGENIDAE	Heptagenia	sulphurea	0	0	0	0	0	0	0	0	0	0	0	0	0	0	0	
EPHEMEROPTERA	HEPTAGENIDAE	Rhithrogena	sp.	0	0	0	1	0	0	0	0	0	2	10	11	0	0	0	
EPHEMEROPTERA	LEPTOPHEBIIDAE	Habroleptoides	confusa	7	2	1	10	0	0	0	0	0,5	0	0	0	0	0	0	
EPHEMEROPTERA	LEPTOPHEBIIDAE	Habrophlebia	laeta	0	1	0	0	1	0	0	0	0	0	0	0	0	0	0	
EPHEMEROPTERA	EPHEMERELLIDAE	Ephemerella	major	2	1	1	2	0	0	0	2	0	1	2	1	0	0	1	
EPHEMEROPTERA	EPHEMERELLIDAE	Ephemerella	mucronata	4	3	3	1	2	0	0	2	0,25	0	0	0	0	1	0	
EPHEMEROPTERA	EPHEMERELLIDAE	Ephemerella	notata	0	0	0	0	0	0	0	1	0	0	0	0	0	0	0	
EPHEMEROPTERA	EPHEMERIDAE	Ephemerella	danica	0	0	0	0	0	0	0	0	0	0	0	0	1	2	0	
PLECOPTERA	PERLIDAE	Dinocras	sp.	0	0	0	0	0	0	0	0	0	0	0	0	0	0	0	
PLECOPTERA	PERLIDAE	Perla	sp.	0	0	0	0	0	0	0	0	0	0	0	0	0	0	0	
PLECOPTERA	PERLODIDAE	Perlodes	sp.	4	1	0	0	1	0	0	0	0	0	0	0	0	0	0	
PLECOPTERA	PERLODIDAE	Isoperla	sp.	0	0	0	0	0	0	0	0	0,25	0	0	0	0	0	0	
PLECOPTERA	CHLOROPERLIDAE	Chloroperlidae	Gen. Sp.	1	1	0	1	0	2	2	7	0,5	12	1	18	2	1	4	
PLECOPTERA	TAENIOPTERYGIDAE	Brachyptera	sp.	0	1	0	0	0	0	0	0	0	0	0	0	0	0	0	
PLECOPTERA	NEMOURIDAE	Nemoura/Nemurella	sp.	0	0	0	0	0	0	0	0	0	0	0	0	0	0	0	
PLECOPTERA	NEMOURIDAE	Protonemura	sp.	0	0	0	0	0	0	0	0	0	0	0	0	0	0	0	
PLECOPTERA	NEMOURIDAE	Amphinemura	sp.	1	1	0	0	0	0	0	1	0	0	0	0	0	0	0	
PLECOPTERA	LEUCTRIDAE/CAPNIIDAE	Leuctra/Capnia	sp.	5	0	2	1	0	0	0	0	0	0	11	0	1	0	0	
TRICHOPTERA	RHYACOPHILIDAE	Rhyacophila	tristis	1	0	0	0	0	0	0	0	0	0	0	0	0	0	0	
TRICHOPTERA	RHYACOPHILIDAE	Rhyacophila	s. str.	4	4	2	1	0	0	0	0	0	0	0	1	0	0	0	
TRICHOPTERA	PSYCHOMIIDAE	Psychomyia	pusilla	0	1	0	0	0	0	0	0	0	0	1	0	0	0	0	
TRICHOPTERA	POLYCENTROPODIDAE	Polycentropus	sp.	0	0	0	2	0	0	0	0	0,25	0	0	0	0	0	0	
TRICHOPTERA	HYDROPSYCHIDAE	Cheumatopsyche	lepida	0	0	0	0	0	0	0	0	0	0	0	0	0	0	0	
TRICHOPTERA	HYDROPSYCHIDAE	Hydropsyche	sp.	6	30	1	1	2	4	0	3	0,75	2	0	0	0	0	0	
TRICHOPTERA	PHILOPOTAMIDAE	Philopotamidae	Gen.sp.	0	0	0	0	0	0	0	0	0	0	0	0	0	0	0	
TRICHOPTERA	LEPIDOSTOMATIDAE	Lepidostomatidae	Gen.sp.	0	0	0	0	0	0	0	0	0	0	0	0	0	0	0	
TRICHOPTERA	GLOSSOSOMATIDAE	Agapetus	sp.	0	0	0	0	0	0	0	0	1,5	0	0	0	0	0	0	
TRICHOPTERA	GLOSSOSOMATIDAE	Silo	sp.	0	0	0	0	0	0	0	1	0	0	0	0	0	0	0	
TRICHOPTERA	LIMNephilidae	Anomalopterygella	chauviniana	9	8	5	4	11	1	3	0	0	3	3	1	2	0	0	
TRICHOPTERA	LIMNephilidae	Ecclisopteryx	dalecarlica	0	0	1	0	0	0	0	0	0	1	1	2	0	0	0	
TRICHOPTERA	LIMNephilidae	Ecclisopteryx	madida	0	0	0	0	0	0	0	0	0	0	0	0	0	0	0	
TRICHOPTERA	LIMNephilidae	Halesus	sp.	0	0	0	0	0	1	0	1	0	0	0	0	0	0	0	
TRICHOPTERA	LIMNephilidae	Potamophylax	sp.	4	6	0	0	0	0	0	0	0	0	0	0	0	0	0	
TRICHOPTERA	LIMNephilidae	Potamophylax	rotundipennis	0	0	0	0	1	2	0	0	0	0	0	1	0	0	0	
TRICHOPTERA	LIMNephilidae	Allogamus	auricollis	0	0	0	0	5	14	0	0	0,5	0	0	0	1	3	3	
TRICHOPTERA	LIMNephilidae	Anabolia	sp.	0	0	0	0	0	2	0	0	0	0	0	0	0	0	0	
TRICHOPTERA	LIMNephilidae	Limnephilina	Gen.sp.	0	0	0	0	4	0	3	4	0,5	0	1	0	0	0	0	
TRICHOPTERA	SERICOSTOMATIDAE	Sericostoma	sp.	4	0	2	0	0	0	1	0	0	0	0	0	0	0	0	
TRICHOPTERA	ODONTOCERIDAE	Odontocerum	albicorne	0	0	0	0	1	0	0	0	0	0	0	0	0	0	1	
TRICHOPTERA	BRACHYCENTRIDAE	Micrasema	longulum	0	0	0	0	0	0	0	0	0	0	0	0	0	0	0	
TRICHOPTERA	BRACHYCENTRIDAE	Brachycentrus	maculatus	0	0	0	0	0	0	0	0	0	0	0	0	0	0	0	
DIPTERA	SIMULIIDAE	Simuliidae	Gen.sp.	0	1	1	0	0	0	0	1	1,5	0	0	0	0	0	0	
DIPTERA	LIMONIIDAE	Antocha	sp.	2	0	1	3	0	0	0	0	0	0	1	0	0	0	0	
DIPTERA	LIMONIIDAE	Dicranota	sp.	5	4	4	3	4	3	0	3	0,5	0	15	2	1	2	1	
DIPTERA	LIMONIIDAE	Hexatoma	sp.	6	3	1	3	1	6	10	7	0	2	6	10	2	2	3	
DIPTERA	TIPULIDAE	Tipulidae	Gen.sp.	0	0	0	0	0	0	0	0	0	0	0	0	0	0	0	
DIPTERA	PSYCHODIDAE	Psychodidae	Gen. Sp.	1	2	6	2	0	0	0	0	0,25	0	0	0	0	0	0	
DIPTERA	ATHERICIDAE	Ibisia	marginata	0	1	0	0	0	0	0	0	0	0	0	0	0	0	0	
DIPTERA	EMPIDIDAE	Empididae	Gen. Sp.	0	0	0	0	0	0	0	0	0,25	0	0	0	1	0	0	
DIPTERA	CHIRONOMIDAE	Chironomidae	Gen. Sp.	717	496	93	110	38	21	15	13	15	3	5	0	10	1	2	
COLEOPTERA	ELMIDAE	Elmis	sp.	0	0	0	0	0	0	0	0	1,5	0	1	4	0	0	0	
COLEOPTERA	ELMIDAE	Esolus	sp.	1	0	0	0	0	0	0	0	0	1	0	2	0	0	1	
COLEOPTERA	ELMIDAE	Limnius	sp.	3	2	2	3	0	0	0	0	0	0	5	4	1	1	0	
COLEOPTERA	ELMIDAE	Oulimnius	tuberculatus	0	0	0	0	0	0	0	0	0	2	0	0	0	0	0	
COLEOPTERA	HYDRAENIDAE	Hydraena	sp.	2	1	0	0	0	0	0	0	0,25	3	0	8	0	1	0	
COLEOPTERA	DYTISCIDAE	Oreodytes	sanmarkii	0	0	0	1	0	0	2	2	1,25	1	0	0	1	0	0	
COLEOPTERA	GYRINIDAE	Orectochylus	vilosus	1	1	0	5	0	0	0	1	0	0	0	0	0	0	0	
ODONATA	GOMPHIDAE	Ophiogomphus	cecilia	0	0	0	0	0	0	0	0	0	0	0	0	0	0	0	
Oligochaeta	Oligochaeta	Oligochaeta	Gen. sp.	0	0	0	0	1	0	0	5	0	0	1	0	6	4	4	
NEMATODA	Nematoda	Nematoda	Gen. sp.	0	0	0	0	0	0	0	0	0	0	0	0	0	0	0	
Summe				823	587	127	155	63	66	41	57	39	36	88	75	39	31	22	
Gesamttaxazahl				26	23	17	20	11	11	11	17	20	13	22	18	15	14	10	

			Gewässer		Große Rodl										
			Typ		Referenz					versandet					
			Substrat	Code	Mesolithal	Mesolithal	Mesolithal	Wurzelbäume	Mesolithal	Mesolithal	Mesolithal	Alkal	Alkal	Alkal	Xylal
					ROR_Me1	ROR_Me2	ROR_Me4	ROR_Roots	ROV_Me1	ROV_Me2	ROV_Me3	ROV_Ak1	ROV_Ak2	ROV_Ak3	ROV_Xylal
Großgruppe	Familie	Gattung	Art	Individuendichte pro Einzelprobe (0,0625 m ²)											
GASTROPODA	ANCYLIDAE	Ancylus	fluviatilis	1	0	0	0	10	2	22	0	3	1	4,75	
GASTROPODA	LYMNAEIDAE	Radix	sp.	0	0	0	0	0	0	0	0	4	0	0	
BIVALVIA	PISIDIIDAE	Pisidium	sp.	0	0	0	0	0	0	0	1	0	0	0	
HIRUDINEA	ERPOBDELLIDAE	Dina	punctata	0	0	0	0	0	0	0	0	0	0	0	
AMPHIPODA	GAMMARIDAE	Gammarus	fossarus	14	3	1	3	0	0	0	0	0	0	0	
HYDRACHNIDIA	HYDRACHNIDIA	Hydrachnidia	Gen. Sp.	0	0	0	0	0	0	1	0	0	0	0	
EPHEMEROPTERA	BAETIDAE	Baetis	sp.	11	24	29	8,5	16	35	11	2	0	15	3,75	
EPHEMEROPTERA	HEPTAGENIIDAE	Epeorus	assimilis	3	9	3	0,25	0	0	1	0	0	0	0,25	
EPHEMEROPTERA	HEPTAGENIIDAE	Ecdyonurus	sp.	7	4	4	0,25	2	2	2	0	0	0	0,25	
EPHEMEROPTERA	HEPTAGENIIDAE	Heptagenia	sulphurea	0	0	0	0	0	0	0	0	0	0	0	
EPHEMEROPTERA	HEPTAGENIIDAE	Rhithrogena	sp.	7	6	24	0	9	0	4	0	0	0	0	
EPHEMEROPTERA	LEPTOPHELIBIDAE	Habroleptoides	confusa	0	0	0	0	0	1	4	0	2	0	2	
EPHEMEROPTERA	LEPTOPHELIBIDAE	Habrophlebia	lauta	0	0	0	0	0	1	0	0	0	0	0	
EPHEMEROPTERA	EPHEMERELLIDAE	Ephemerella	major	8	4	0	0	32	18	34	0	0	11	0,25	
EPHEMEROPTERA	EPHEMERELLIDAE	Ephemerella	mucronata	0	0	1	0	8	4	9	2	0	3	0	
EPHEMEROPTERA	EPHEMERELLIDAE	Ephemerella	notata	0	0	0	0,5	0	0	0	0	0	0	0	
EPHEMEROPTERA	EPHEMERIDAE	Ephemera	danica	3	2	0	0	5	5	2	11	3	1	0	
PLECOPTERA	PERLIDAE	Dinocras	sp.	0	0	0	0	0	0	0	0	0	0	0	
PLECOPTERA	PERLIDAE	Perla	sp.	0	0	2	0	3	1	0	0	0	0	0	
PLECOPTERA	PERLODIDAE	Perlodes	sp.	0	0	0	0	1	0	1	0	0	0	0	
PLECOPTERA	PERLODIDAE	Isoperla	sp.	1	0	4	3	0	1	0	0	0	0	0	
PLECOPTERA	CHLOROPERLIDAE	Chloroperlidae	Gen. Sp.	0	0	0	1,5	0	0	0	0	0	0	0	
PLECOPTERA	TAENIOPTERYGIDAE	Brachyptera	sp.	1	0	0	1,5	0	0	0	0	0	0	0	
PLECOPTERA	NEMOURIDAE	Nemoura/Nemurella	sp.	0	0	0	3,5	0	0	0	0	0	0	0	
PLECOPTERA	NEMOURIDAE	Protonemura	sp.	3	3	6	30,25	0	0	0	0	0	0	0	
PLECOPTERA	NEMOURIDAE	Amphinemura	sp.	0	0	0	0	1	0	1	0	0	0	0	
PLECOPTERA	LEUCTRIDAE/CAPNIIDAE	Leuctra/Capnia	sp.	4	0	0	0,5	0	0	0	0	0	1	0	
TRICHOPTERA	RHYACOPHILIDAE	Rhyacophila	tristis	0	0	0	0	0	1	0	0	0	0	0	
TRICHOPTERA	RHYACOPHILIDAE	Rhyacophila	s. str.	1	0	1	0	2	0	4	0	0	0	0	
TRICHOPTERA	PSYCHOMIIDAE	Psychomyia	pusilla	0	0	0	0	0	0	0	0	0	0	0	
TRICHOPTERA	POLYCENTROPODIDAE	Polycentropus	sp.	1	4	0	0	0	5	2	0	1	0	2,75	
TRICHOPTERA	HYDROPSYCHIDAE	Cheumatopsyche	lepida	0	0	0	0	0	0	1	0	0	0	0	
TRICHOPTERA	HYDROPSYCHIDAE	Hydropsyche	sp.	0	1	5	2,25	10	5	3	0	0	0	0	
TRICHOPTERA	PHILOPOTAMIDAE	Philopotamidae	Gen.sp.	0	0	2	0	0	0	0	0	0	0	0	
TRICHOPTERA	LEPIDOSTOMATIDAE	Lepidostomatidae	Gen.sp.	0	0	0	2,25	0	0	0	0	0	0	0	
TRICHOPTERA	GLOSSOSOMATIDAE	Agapetus	sp.	23	14	40	0	3	5	19	0	0	0	0,5	
TRICHOPTERA	GLOSSOSOMATIDAE	Silo	sp.	0	0	0	0	1	0	11	0	0	1	0	
TRICHOPTERA	LIMNephilidae	Anomalopterygella	chauviniana	0	0	0	0	0	0	0	0	0	0	0	
TRICHOPTERA	LIMNephilidae	Ecclisopteryx	dalecarlica	0	1	0	0	0	0	0	0	0	0	0	
TRICHOPTERA	LIMNephilidae	Ecclisopteryx	madida	0	0	0	0	0	0	0	0	0	0	0	
TRICHOPTERA	LIMNephilidae	Halesus	sp.	1	1	0	6,75	0	0	0	0	0	0	0	
TRICHOPTERA	LIMNephilidae	Potamophylax	sp.	0	2	0	0	0	0	2	2	0	0	0,5	
TRICHOPTERA	LIMNephilidae	Potamophylax	rotundipennis	0	0	0	0	0	0	0	0	0	0	0,5	
TRICHOPTERA	LIMNephilidae	Allogamus	auricollis	0	0	0	0	0	0	0	0	0	0	0	
TRICHOPTERA	LIMNephilidae	Anabolia	sp.	0	0	0	0	0	0	0	1	0	0	0	
TRICHOPTERA	LIMNephilidae	Limnephiline	Gen.sp.	0	2	0	1,75	0	0	0	0	0	0	0	
TRICHOPTERA	SERICOSTOMATIDAE	Sericostoma	sp.	2	1	3	0	0	0	4	0	1	1	0	
TRICHOPTERA	ODONTOCERIDAE	Odontocerum	albicomae	0	0	0	0	0	0	1	0	0	1	0	
TRICHOPTERA	BRACHYCENTRIDAE	Micrasema	longulum	0	0	0	0	0	0	0	0	0	0	0	
TRICHOPTERA	BRACHYCENTRIDAE	Brachycentrus	maculatus	0	0	0	0	0	1	0	0	0	0	0	
DIPTERA	SIMULIIDAE	Simuliidae	Gen.sp.	0	1	1	0	0	0	0	0	0	0	0	
DIPTERA	LIMONIIDAE	Antocha	sp.	0	0	0	0	1	4	11	0	0	0	0,25	
DIPTERA	LIMONIIDAE	Dicranota	sp.	1	0	1	0	2	0	1	0	1	0	0	
DIPTERA	LIMONIIDAE	Hexatoma	sp.	7	0	5	0	2	2	1	2	1	4	0	
DIPTERA	TIPULIDAE	Tipulidae	Gen.sp.	0	0	0	0	0	1	0	0	0	0	0	
DIPTERA	PSYCHODIDAE	Psychodidae	Gen. Sp.	0	0	0	0	0	0	0	0	0	0	0	
DIPTERA	ATHERICIDAE	Ibsia	marginata	6	2	0	0	0	0	2	0	0	0	0	
DIPTERA	EMPIDIDAE	Empididae	Gen. Sp.	0	0	0	0	0	0	0	0	0	0	0	
DIPTERA	CHIRONOMIDAE	Chironomidae	Gen. Sp.	26	20	26	3,75	108	47	141	70	53	99	6,75	
COLEOPTERA	ELMIDAE	Elmis	sp.	3	6	5	19,5	46	15	34	0	0	0	0	
COLEOPTERA	ELMIDAE	Esolus	sp.	2	0	3	1,5	2	14	8	0	0	0	0	
COLEOPTERA	ELMIDAE	Limnius	sp.	5	3	3	0	4	3	6	1	1	4	0	
COLEOPTERA	ELMIDAE	Oulimnius	tuberculatus	0	7	0	0	0	0	0	0	0	0	0	
COLEOPTERA	HYDRAENIDAE	Hydraena	sp.	0	1	2	0,75	0	0	0	0	0	0	0	
COLEOPTERA	DYTISCIDAE	Oreodytes	sanmarkii	0	0	0	0	0	0	0	0	0	0	0	
COLEOPTERA	GYRINIDAE	Orectocheilus	villosus	0	0	0	0	1	0	0	0	0	0	0	
ODONATA	GOMPHIDAE	Ophiogomphus	cecilia	0	0	0	0	0	0	0	0	0	0	0	
OLIGOCHAETA	OLIGOCHAETA	Oligochaeta	Gen. sp.	2	0	0	0	1	0	0	0	1	0	0	
NEMATODA	NEMATODA	Nematoda	Gen. sp.	3	2	3	0	0	0	0	0	0	0	0	
Summe				146	123	174	91,25	270	173	342	91	74	142	22,5	
Gesamttaxazahl				26	24	23	19	23	21	29	8	13	12	12	

			Gewässer		Gusen						
			Typ		versandet						
			Substrat	Akal	Akal	Akal	Mikrolithal	Mikrolithal	Mikrolithal	Xylal	
			Code	GUV_AK1	GUV_AK2	GUV_AK4	GUV_MI1	GUV_MI3	GUV_MI4	GUV_Xylal	
Großgruppe	Familie	Gattung	Art	Individuendichte pro Einzelprobe (0,0625 m ²)							
GASTROPODA	ANCYLIDAE	Ancylus	fluviatilis	0	0	0	0	0	0	0,5	
GASTROPODA	LYMNAEIDAE	Radix	sp.	0	0	0	0	0	0	0	
BIVALVIA	PISIDIIDAE	Pisidium	sp.	0	0	0	0	0	0	0	
HIRUDINEA	ERPOBDELLIDAE	Dina	punctata	0	0	0	0	0	0	0	
AMPHIPODA	GAMMARIDAE	Gammarus	fossarum	0	1	0	0	0	0	0	
HYDRACHNIDIA	HYDRACHNIDIA	Hydrachnidia	Gen. Sp.	0	0	0	0	0	0	0	
EPHEMEROPTERA	BAETIDAE	Baetis	sp.	2	2	2	7	12	21	4,25	
EPHEMEROPTERA	HEPTAGENIIDAE	Epeorus	assimilis	0	0	0	0	0	0	0	
EPHEMEROPTERA	HEPTAGENIIDAE	Ecdyonurus	sp.	0	0	0	0	0	0	1,25	
EPHEMEROPTERA	HEPTAGENIIDAE	Heptagenia	sulphurea	0	0	0	0	0	0	0	
EPHEMEROPTERA	HEPTAGENIIDAE	Rhithrogena	sp.	0	1	0	6	9	2	0	
EPHEMEROPTERA	LEPTOPHLEBIDAE	Habroleptoides	confusa	0	0	0	0	0	0	0,5	
EPHEMEROPTERA	LEPTOPHLEBIDAE	Habrophlebia	lauta	0	0	0	0	0	0	0	
EPHEMEROPTERA	EPHEMERELLIDAE	Ephemerella	major	2	0	1	3	0	4	0,75	
EPHEMEROPTERA	EPHEMERELLIDAE	Ephemerella	mucronata	0	0	0	0	0	0	0	
EPHEMEROPTERA	EPHEMERELLIDAE	Ephemerella	notata	2	0	1	8	1	6	10	
EPHEMEROPTERA	EPHEMERIDAE	Ephemera	danica	1	0	0	0	0	0	0	
PLECOPTERA	PERLIDAE	Dinocras	sp.	0	0	0	0	0	0	0	
PLECOPTERA	PERLIDAE	Perla	sp.	0	0	0	0	0	0	0	
PLECOPTERA	PERLIDIDAE	Perlodes	sp.	0	0	0	0	0	0	0	
PLECOPTERA	PERLIDIDAE	Isoperla	sp.	0	0	0	0	0	0	1,25	
PLECOPTERA	CHLOROPERLIDAE	Chloroperlidae	Gen. Sp.	1	0	1	3	2	1	3,75	
PLECOPTERA	TAENIOPTERYGIDAE	Brachyptera	sp.	0	0	0	0	0	0	0	
PLECOPTERA	NEMOURIDAE	Nemoura/Nemurella	sp.	0	0	0	0	0	0	0	
PLECOPTERA	NEMOURIDAE	Protonemura	sp.	0	0	0	0	0	0	0,5	
PLECOPTERA	NEMOURIDAE	Amphinemura	sp.	0	0	0	0	0	0	0	
PLECOPTERA	LEUCTRIDAE/CAPNIIDAE	Leuctra/Capnia	sp.	0	0	0	0	0	0	0	
TRICHOPTERA	RHYACOPHILIDAE	Rhyacophila	tristis	0	0	0	0	0	0	0	
TRICHOPTERA	RHYACOPHILIDAE	Rhyacophila	s. str.	0	0	0	1	1	1	0	
TRICHOPTERA	PSYCHOMIIDAE	Psychomyia	pusilla	0	0	0	0	0	2	0	
TRICHOPTERA	POLYCENTROPODIDAE	Polycentropus	sp.	0	0	0	0	0	0	0,25	
TRICHOPTERA	HYDROPSYCHIDAE	Cheumatopsyche	lepida	0	0	0	0	0	0	0	
TRICHOPTERA	HYDROPSYCHIDAE	Hydropsyche	sp.	1	0	0	11	3	7	3,75	
TRICHOPTERA	PHILOPOTAMIDAE	Philopotamidae	Gen.sp.	0	0	0	0	0	0	0	
TRICHOPTERA	LEPIDOSTOMATIDAE	Lepidostomatidae	Gen.sp.	0	0	0	0	0	0	0,25	
TRICHOPTERA	GLOSSOSOMATIDAE	Agapetus	sp.	0	0	0	0	0	0	3,75	
TRICHOPTERA	GLOSSOSOMATIDAE	Silo	sp.	0	0	0	0	0	0	0	
TRICHOPTERA	LIMNephilidae	Anomalopterygella	chauviniiana	0	0	0	0	0	0	0	
TRICHOPTERA	LIMNephilidae	Eclisopteryx	dalecarlica	0	0	0	0	0	0	0	
TRICHOPTERA	LIMNephilidae	Eclisopteryx	madida	0	0	0	0	0	0	0	
TRICHOPTERA	LIMNephilidae	Halesus	sp.	0	0	0	0	0	0	0	
TRICHOPTERA	LIMNephilidae	Potamophylax	sp.	0	0	0	0	0	0	0,5	
TRICHOPTERA	LIMNephilidae	Potamophylax	rotundipennis	0	0	0	0	0	0	0	
TRICHOPTERA	LIMNephilidae	Allogamus	auricollis	0	0	0	0	0	0	0	
TRICHOPTERA	LIMNephilidae	Anabolia	sp.	0	0	0	0	0	0	0	
TRICHOPTERA	LIMNephilidae	Limnephiline	Gen.sp.	0	0	0	0	0	0	0	
TRICHOPTERA	SERICOSTOMATIDAE	Sericostoma	sp.	0	0	0	0	0	0	0	
TRICHOPTERA	ODONTOCERIDAE	Odontocerum	albicorne	0	0	0	0	0	116	0	
TRICHOPTERA	BRACHYCENTRIDAE	Micrasema	longulum	0	0	0	0	0	0	0	
TRICHOPTERA	BRACHYCENTRIDAE	Brachycentrus	maculatus	0	0	2	11	13	0	4,75	
DIPTERA	SIMULIIDAE	Simuliidae	Gen. sp.	0	0	0	3	21	13	0,5	
DIPTERA	LIMONIIDAE	Antocha	sp.	0	0	0	0	0	0	0,75	
DIPTERA	LIMONIIDAE	Dicranota	sp.	2	2	1	5	1	10	0	
DIPTERA	LIMONIIDAE	Hexatoma	sp.	5	7	9	8	16	14	0	
DIPTERA	TIPULIDAE	Tipulidae	Gen. sp.	0	0	0	0	0	0	0	
DIPTERA	PSYCHODIDAE	Psychodidae	Gen. Sp.	0	0	0	0	0	0	0	
DIPTERA	ATHERICIDAE	Ibsia	marginata	0	0	0	0	0	0	0	
DIPTERA	EMPIDIDAE	Empididae	Gen. Sp.	0	0	0	0	1	1	0	
DIPTERA	CHIRONOMIDAE	Chironomidae	Gen. Sp.	1188	1133	112	945	281	246	205	
COLEOPTERA	ELMIDAE	Elmis	sp.	0	0	0	2	0	3	1	
COLEOPTERA	ELMIDAE	Esolus	sp.	1	0	11	3	1	2	0	
COLEOPTERA	ELMIDAE	Limnius	sp.	1	0	0	0	0	0	0	
COLEOPTERA	ELMIDAE	Oulimnius	tuberculatus	0	0	0	0	0	0	0	
COLEOPTERA	HYDRAENIDAE	Hydraena	sp.	0	0	0	0	1	1	0	
COLEOPTERA	DYTISCIDAE	Oreodytes	sanmarkii	0	0	0	0	0	0	0	
COLEOPTERA	GYRINIDAE	Orectochylus	villosus	0	0	0	0	0	0	0	
ODONATA	GOMPHIDAE	Ophiogomphus	cecilia	0	0	0	1	0	0	0,25	
OLIGOCHAETA	OLIGOCHAETA	Oligochaeta	Gen. sp.	19	0	15	4	4	0	0	
NEMATODA	NEMATODA	Nematoda	Gen. sp.	2	4	2	1	4	0	0	
Summe				1227	1150	157	1022	371	450	243,5	
Gesamttaxazahl				13	7	11	17	16	17	20	

Großgruppe	Familie	Gattung	Art	Gewässer		Kleine Mühl													
				Typ		versandet													
				Substrat	Meso- /Mikrolithal	Meso- /Mikrolithal	Meso- /Mikrolithal	Makro- /Mesolithal	Makro- /Mesolithal	Makro- /Mesolithal	Makro- /Mesolithal	Wurzelsbärte	Akal	Akal	Akal	Akal	Psammal & Makrophyten	Psammal & Makrophyten	Psammal & Makrophyten
					Code	KLM_FKV2_MiMe1	KLM_FKV2_MiMe2	KLM_FKV2_MiMe3	KLM_FKV2_MaMeMo1	KLM_FKV2_MaMeMo2	KLM_FKV2_MaMeMo3	KLM_FKV2_Roots	KLM_PBV3_AK1	KLM_PBV3_AK2	KLM_PBV3_AK3	KLM_PBV3_AK4	KLM_PBV3_PM1	KLM_PBV3_PM2	KLM_PBV3_PM3
Individuendicht pro Einzelprobe (0,0625 m²)																			
GASTROPODA	ANCYLIDAE	Ancylus	fluviatilis	3	0	12	6	0	8	0	0	0	0	0	0	0	0		
GASTROPODA	LYMNAEIDAE	Radix	sp.	0	0	0	0	0	1	0,75	0	0	0	0	0	0	0		
BIVALVIA	PISIDIIDAE	Pisidium	sp.	0	0	0	0	0	0	0	0	1	0	0	1	0	0		
HIRUDINEA	ERPOBDELLIDAE	Dina	punctata	0	0	0	0	0	0	0	0	0	0	1	5	12	8		
AMPHIPODA	GAMMARIDAE	Gammarus	fossarum	0	0	0	0	1	2	0	0	0	1	0	0	0	0		
HYDRACHNIDIA	HYDRACHNIDIA	Hydrachnidia	Gen. Sp.	0	0	0	0	0	0	0	0	0	0	0	0	0	0		
EPHEMEROPTERA	BAETIDAE	Baetis	sp.	3	2	2	5	23	8	7,5	3	0	0	1	7	6	6		
EPHEMEROPTERA	HEPTAGENIIDAE	Epeorus	assimilis	0	0	0	0	0	0	0	0	0	0	0	1	0	0		
EPHEMEROPTERA	HEPTAGENIIDAE	Ecdyonurus	sp.	1	0	0	0	0	1	0	0	0	0	0	0	0	0		
EPHEMEROPTERA	HEPTAGENIIDAE	Heptagenia	sulphurea	0	2	0	0	3	0	0	0	0	0	0	0	0	0		
EPHEMEROPTERA	HEPTAGENIIDAE	Rhithrogena	sp.	12	6	6	5	6	25	0	0	0	0	1	0	0	0		
EPHEMEROPTERA	LEPTOPHELEIIDAE	Habroleptoides	confusa	0	0	2	0	8	10	4	0	0	0	0	0	0	0		
EPHEMEROPTERA	LEPTOPHELEIIDAE	Habrophlebia	lauta	0	0	0	0	0	0	0	0	0	0	0	0	0	0		
EPHEMEROPTERA	EPHEMERELLIDAE	Ephemerella	major	3	4	3	2	4	4	0,75	0	0	0	0	0	0	0		
EPHEMEROPTERA	EPHEMERELLIDAE	Ephemerella	mucronata	0	1	1	0	0	0	0,75	0	0	0	1	1	0	0		
EPHEMEROPTERA	EPHEMERELLIDAE	Ephemerella	notata	0	0	0	5	16	12	7	3	2	0	0	5	2	1		
EPHEMEROPTERA	EPHEMERIDAE	Ephemerella	danica	18	2	1	0	0	0	0	7	2	0	3	1	2	0		
PLECOPTERA	PERLIDAE	Dinocras	sp.	0	0	0	0	0	0	0	0	0	0	0	0	0	0		
PLECOPTERA	PERLIDAE	Perla	sp.	0	0	0	0	0	0	0	0	0	0	0	0	0	0		
PLECOPTERA	PERLODIDAE	Perlodes	sp.	0	1	0	0	0	0	0,25	0	0	0	0	0	0	0		
PLECOPTERA	PERLODIDAE	Isoperla	sp.	5	3	4	0	0	1	3,25	5	0	0	0	0	0	0		
PLECOPTERA	CHLOROPERLIDAE	Chloroperlidae	Gen. Sp.	0	0	0	14	29	39	1,5	0	0	0	0	1	6	0		
PLECOPTERA	TAENIOPTERYGIDAE	Brachyptera	sp.	0	0	0	0	0	2	1,5	0	0	0	0	0	0	0		
PLECOPTERA	NEMOURIDAE	Nemoura/Nemurella	sp.	0	0	0	0	0	0	0	0	0	0	0	0	0	0		
PLECOPTERA	NEMOURIDAE	Protonemura	sp.	0	0	2	10	10	16	1	0	0	0	0	0	0	0		
PLECOPTERA	NEMOURIDAE	Amphinemura	sp.	0	0	0	0	1	0	0	0	0	0	0	0	0	0		
PLECOPTERA	LEUCTRIDAE/CAPNIIDAE	Leuctra/Capnia	sp.	0	0	0	0	1	4	0	0	0	0	0	0	0	0		
TRICHOPTERA	RHYACOPHILIDAE	Rhyacophila	tristis	1	1	0	0	0	0	0	0	0	0	0	0	0	0		
TRICHOPTERA	RHYACOPHILIDAE	Rhyacophila	s. str.	0	0	1	0	0	4	0	0	0	0	0	0	0	0		
TRICHOPTERA	PSYCHOMIIDAE	Psychomyia	pusilla	0	0	0	0	0	0	0	0	0	0	0	0	0	0		
TRICHOPTERA	POLYCENTROPODIDAE	Polycentropus	sp.	0	0	0	0	0	0	2,25	0	0	0	0	0	0	0		
TRICHOPTERA	HYDROPSYCHIDAE	Cheumatopsyche	lepada	0	0	0	0	0	0	0	0	0	0	0	0	0	0		
TRICHOPTERA	HYDROPSYCHIDAE	Hydropsyche	sp.	12	5	28	111	107	81	12	20	1	1	0	7	4	6		
TRICHOPTERA	PHILOPOTAMIDAE	Philopotamidae	Gen.sp.	0	0	0	0	0	0	0	0	0	0	0	0	0	0		
TRICHOPTERA	LEPIDOSTOMATIDAE	Lepidostomatidae	Gen.sp.	0	0	0	0	1	3	0	0	0	0	0	0	0	0		
TRICHOPTERA	GLOSSOSOMATIDAE	Agapetus	sp.	0	1	2	1	3	10	0	0	0	0	0	0	0	0		
TRICHOPTERA	GLOSSOSOMATIDAE	Silo	sp.	1	1	2	0	0	0	0	4	0	0	0	0	0	0		
TRICHOPTERA	LIMNephilidae	Anomalopterygella	chauviniiana	0	4	9	3	3	1	0	20	3	4	0	0	1	3		
TRICHOPTERA	LIMNephilidae	Ecclisopteryx	dalecarlica	0	0	0	0	0	1	0	1	1	0	0	0	0	0		
TRICHOPTERA	LIMNephilidae	Ecclisopteryx	madida	0	0	0	0	0	0	0	0	0	0	0	0	0	0		
TRICHOPTERA	LIMNephilidae	Halesus	sp.	1	0	0	0	0	0	2,25	0	0	0	0	0	0	0		
TRICHOPTERA	LIMNephilidae	Potamophylax	sp.	1	0	3	0	0	0	0	0	1	0	0	0	0	0		
TRICHOPTERA	LIMNephilidae	Potamophylax	rotundipennis	0	2	0	0	0	0	0	0	0	0	0	0	0	0		
TRICHOPTERA	LIMNephilidae	Allogamus	auricollis	0	0	1	0	0	0	0	0	0	1	0	0	0	0		
TRICHOPTERA	LIMNephilidae	Anabolia	sp.	0	0	0	0	0	0	0	0	0	0	0	0	0	0		
TRICHOPTERA	LIMNephilidae	Limnephiline	Gen.sp.	0	0	3	1	12	2	5,25	0	0	0	0	1	0	1		
TRICHOPTERA	SERICOSTOMATIDAE	Sericostoma	sp.	2	0	1	1	1	4	0	0	0	0	0	0	0	1		
TRICHOPTERA	ODONTOCERIDAE	Odontocerum	albicomum	0	0	0	1	0	2	0	0	0	0	0	0	0	0		
TRICHOPTERA	BRACHYCENTRIDAE	Micrasema	longulum	0	0	0	0	0	0	0	0	0	0	0	0	0	0		
TRICHOPTERA	BRACHYCENTRIDAE	Brachycentrus	maculatus	19	2520	3850	5952	5440	3172	858	1	0	0	4	3	0	3		
DIPTERA	SIMULIIDAE	Simuliidae	Gen. sp.	1	0	0	3	2	2	0	0	0	0	0	0	0	0		
DIPTERA	LIMONIIDAE	Antocha	sp.	5	26	3	1	0	1	0	1	0	0	0	0	0	0		
DIPTERA	LIMONIIDAE	Dicranota	sp.	1	3	2	1	1	2	0	3	0	1	0	0	1	0		
DIPTERA	LIMONIIDAE	Hexatoma	sp.	4	3	14	1	4	3	0	3	3	1	0	0	0	1		
DIPTERA	TIPULIDAE	Tipulidae	Gen. sp.	0	0	0	0	0	0	0	0	0	0	0	0	0	0		
DIPTERA	PSYCHODIDAE	Psychodidae	Gen. Sp.	0	0	0	0	1	0	0	0	0	0	0	0	0	0		
DIPTERA	ATHERICIDAE	Ibisia	marginata	0	0	0	0	0	0	0	1	0	0	0	0	1	0		
DIPTERA	EMPIDIDAE	Empididae	Gen. Sp.	0	0	0	0	1	0	0	1	0	0	0	0	0	0		
DIPTERA	CHIRONOMIDAE	Chironomidae	Gen. Sp.	137	26	14	22	78	44	5,25	22	5	13	7	15	4	57		
COLEOPTERA	ELMIDAE	Elmidae	sp.	15	23	18	58	222	75	12,25	1	0	0	0	0	0	0		
COLEOPTERA	ELMIDAE	Esolus	sp.	5	1	3	0	0	2	1,5	8	0	0	0	0	0	0		
COLEOPTERA	ELMIDAE	Limnius	sp.	6	16	14	26	40	45	0,5	3	0	0	0	0	0	0		
COLEOPTERA	ELMIDAE	Oulinus	tuberculatus	0	0	0	0	8	0	0	0	0	0	0	0	0	0		
COLEOPTERA	HYDRAENIDAE	Hydraena	sp.	2	1	0	0	0	3	0,25	6	0	0	0	0	0	0		
COLEOPTERA	DYTISIDAE	Oreodytes	sanmarkii	0	0	0	0	0	0	0	0	0	0	0	0	0	0		
COLEOPTERA	GYRINIDAE	Orectochylus	villosus	1	0	1	2	3	3	1	1	0	0	0	0	0	0		
ODONATA	GOMPHIDAE	Ophiogomphus	cecilia	0	0	0	0	0	0	0,25	0	0	0	0	0	0	0		
OLIGOCHAETA	OLIGOCHAETA	Oligochaeta	Gen. sp.	0	0	0	0	0	0	0	71	1	1	5	3	2	2		
NEMATODA	NEMATODA	Nematoda	Gen. sp.	1	0	0	0	0	0	0	0	7	0	0	0	0	0		
Summe				260	2654	4002	6231	6029	3593	929	114	97	23	19	53	42	89		
Gesamttaxazahl				25	23	27	22	28	34	23	20	11	8	8	13	11	11		

4. Gesamttaxaliste mit Beschreiber (MHS-Methode)

Gattung/Art/Beschreiber

TURBELLARIA

[Kl:Turbellaria]

Turbellaria Gen. sp.

NEMATODA

[Kl:Nematoda]

Nematoda Gen. sp.

GASTROPODA

LYMNAEIDAE

Radix sp.

PLANORBIDAE

Ancylus fluviatilis O.F. MÜLLER, 1774

BIVALVIA

PISIDIIDAE

Pisidium sp.

OLIGOCHAETA

ENCHYTRAEIDAE

Cognettia sphagnetorum (VEJDOVSKY, 1877)

HAPLOTAXIDAE

Haplotaxis gordioides (HARTMANN, 1821)

LUMBRICIDAE

Lumbricidae Gen. sp.

LUMBRICULIDAE

Bythonomus lemani (GRUBE, 1879)

Lumbriculus variegatus (MÜLLER, 1774)

Rhynchelmis limosella HOFFMEISTER, 1843

Stylodrilus brachystylus HRABE, 1928

Stylodrilus heringianus CLAPAREDE, 1862

Stylodrilus sp.

NAIDIDAE

Nais alpina SPERBER, 1948

Nais bretscheri MICHAELSEN, 1899

Nais elinguis MÜLLER, 1773

Nais stolci HRABE, 1981

Slavina appendiculata (D'UDEKEM, 1855)

Specaria josinae (VEJDOVSKY, 1883)

Stylaria lacustris (LINNAEUS, 1767)

PROPAPPIDAE

Propappus volki MICHAELSEN, 1916

TUBIFICIDAE

Aulodrilus japonicus YAMAGUCHI, 1953

Ilyodrilus templetoni (SOUTHERN, 1909)

Limnodrilus hoffmeisteri CLAPAREDE, 1862

Rhyacodrilus coccineus (VEJDOVSKY, 1879)

Tubifex tubifex (MÜLLER, 1774)

Tubificidae Gen. sp. juv.

HIRUDINEA

ERPOBDELLIDAE

Dina punctata JOHANSSON, 1927

Erpobdellidae Gen. sp.

GLOSSIPHONIIDAE

Glossiphonia complanata (LINNAEUS, 1758)

Helobdella stagnalis (LINNAEUS, 1761)

AMPHIPODA

GAMMARIDAE

Gammarus fossarum KOCH, 1835

ISOPODA

ASELLIDAE

Asellus aquaticus (LINNAEUS, 1758)

HYDRACHNIDIA

[Ph:Hydrachnidia]

Hydrachnidia Gen. sp.

EPHEMEROPTERA

BAETIDAE

Baetis lutheri MÜLLER-LIEBENAU, 1967

Baetis muticus (LINNAEUS, 1758)

Baetis niger (LINNAEUS, 1761)

Baetis rhodani PICTET, 1843-1845

Baetis sp. juv.

Centroptilum luteolum (MÜLLER, 1776)

EPHEMERELLIDAE

Ephemerella major (KLAPALEK, 1905)

Ephemerella mucronata (BENGTSSON, 1909)

Ephemerella notata EATON, 1887

EPHEMERIDAE

Ephemera danica MÜLLER, 1764

HEPTAGENIIDAE

Ecdyonurus sp. juv.

Ecdyonurus torrentis KIMMINS, 1942

Ecdyonurus venosus (FABRICIUS, 1775)

Epeorus assimilis (EATON, 1871)

Heptagenia sulphurea (MÜLLER, 1776)

Rhithrogena picteti SOWA, 1971

Rhithrogena savoiensis ALBA-TERCEDOR & SOWA, 1987

Rhithrogena semicolorata (CURTIS, 1834)

Rhithrogena sp. juv.

LEPTOPHLEBIIDAE

Habroleptoides confusa SARTORI & JACOB, 1986

Habrophlebia lauta EATON, 1884

SIPHLONURIDAE

Siphonurus lacustris (EATON, 1870)

ODONATA

GOMPHIDAE

Ophiogomphus cecilia (GEOFFROY in FOURCROY, 1785)

PLECOPTERA

CHLOROPERLIDAE

Siphonoperla sp.

Siphonoperla taurica (PICTET, 1841)

Siphonoperla torrentium (PICTET, 1841)

LEUCTRIDAE

Leuctra sp.

NEMOURIDAE

Amphinemura borealis (MORTON, 1894)

Amphinemura sp.

Nemoura sp.

Protonemura sp.

PERLIDAE

Dinocras sp.

Perla marginata (PANZER, 1799)

Perla sp.

PERLODIDAE

Isoperla cf. difformis (KLAPALEK, 1909)

Isoperla sp.

Perlodes microcephalus (PICTET, 1833)

TAENIOPTERYGIDAE

Brachyptera risi (MORTON, 1896)

Brachyptera seticornis (KLAPALEK, 1902)

Brachyptera sp.

HETEROPTERA

APHELOCHEIRIDAE

Aphelocheirus aestivalis ssp.

MEGALOPTERA

SIALIDAE

Sialis cf. fuliginosa (PICTET, 1836)

COLEOPTERA

SCIRTIDAE

Scirtidae Gen. sp.

DYTISCIDAE

Oreodytes sanmarkii (SAHLBERG, 1826)

ELMIDAE

Elmis sp. LATREILLE, 1802

Elmis sp. Ad. C LATREILLE, 1802

Esolus parallelepipedus (MÜLLER, 1806)

Esolus parallelepipedus Ad. C (MÜLLER, 1806)

Limnius opacus MÜLLER, 1806

Limnius perrisi (DUFOUR, 1843)

Limnius sp. Ad. C

Limnius volckmari (PANZER, 1793)

Limnius volckmari Ad. C (PANZER, 1793)

Oulimnius tuberculatus (MÜLLER, 1806)

Oulimnius tuberculatus Ad. C (MÜLLER, 1806)

GYRINIDAE

Orectochilus villosus (MÜLLER, 1776)

HYDRAENIDAE

Hydraena gracilis GERMAR, 1824

Hydraena saga D'ORCHYMONT, 1930

Hydraena sp. Ad. C

Hydraena sp. Ad. Ad. C

TRICHOPTERA

BERAEIDAE

Beraeodes minuta (LINNAEUS, 1761)

BRACHYCENTRIDAE

Brachycentrus maculatus (FOURCROY, 1785)

Micrasema longulum McLACHLAN, 1876

Micrasema minimum McLACHLAN, 1876

GLOSSOSOMATIDAE

Agapetus cf. *ochripes* CURTIS, 1834

Agapetus sp. juv.

Glossosoma sp.

GOERIDAE

Goera pilosa (FABRICIUS, 1775)

Silo nigricornis (PICTET, 1834)

Silo pallipes (FABRICIUS, 1781)

Silo piceus (BRAUER, 1857)

Silo sp. juv.

HYDROPSYCHIDAE

Cheumatopsyche lepida (PICTET, 1834)

Hydropsyche bulbifera McLACHLAN, 1878

Hydropsyche bulbifera Pu. McLACHLAN, 1878

Hydropsyche incognita PITSCH, 1993

Hydropsyche pellucidula (CURTIS, 1834)

Hydropsyche siltalai DÖHLER, 1963

Hydropsyche sp. juv.

HYDROPTILIDAE

Hydroptila sp.

LEPIDOSTOMATIDAE

Lasiocephala basalis (KOLENATI, 1848)

LEPTOCERIDAE

Athripsodes sp. juv.

Oecetis testacea (CURTIS, 1834)

LIMNEPHILIDAE

Allogamus auricollis (PICTET, 1834)

Anabolia sp.

Anomalopterygella chauviniana (STEIN, 1874)

Chaetopteryx sp.

Ecclisopteryx dalecarlica KOLENATI, 1848

Halesus sp.

Limnephilinae Gen. sp.

Potamophylax sp.

ODONTOCERIDAE

Odontocerum albicorne (SCOPOLI, 1763)

PHILOPOTAMIDAE

Philopotamus montanus (DONOVAN, 1813)

POLYCENTROPODIDAE

Polycentropus flavomaculatus (PICTET, 1834)

PSYCHOMYIIDAE

Psychomyia pusilla (FABRICIUS, 1781)

RHYACOPHILIDAE

Rhyacophila s. str. sp.

Rhyacophila tristis PICTET, 1834

SERICOSTOMATIDAE

Notidobia ciliaris (LINNAEUS, 1761)

Sericostoma sp.

DIPTERA

ATHERICIDAE

Ibisia marginata (FABRICIUS, 1781)

CERATOPOGONIDAE

Bezzia-Gr. sp.

Ceratopogonidae Gen. sp.

CHIRONOMIDAE

Ablabesmyia (Ablabesmyia) longistyla FITTKAU, 1962

Apsectrotanypus trifascipennis (ZETTERSTEDT, 1838)

Brillia bifida (KIEFFER, 1909)

Brillia flavifrons JOHANNSEN, 1905

Chaetocladius sp.

Chironominae Gen. sp.

Cladotanytarsus vanderwulpi (EDWARDS, 1929)

Cladotanytarsus vanderwulpi-Gr.

Cladotanytarsus vanderwulpi-Gr. Pu.

Conchapelopia cf. melanops (WIEDEMANN, 1818)

Conchapelopia sp.

Cricotopus (Cricotopus) bicinctus (MEIGEN, 1818)

Cricotopus (Cricotopus) bicinctus Pu. (MEIGEN, 1818)

Cricotopus (Cricotopus) sp.

Cricotopus (Cricotopus) sp. Pu.

Cricotopus (Cricotopus) tremulus (LINNAEUS, 1758)

Cricotopus (Cricotopus) triannulatus MACQUART, 1826

Cryptochironomus rostratus KIEFFER, 1921

Demicryptochironomus sp.

Diamesa cinerella-Gr.

Diamesa cinerella-Gr. Pu.

Diamesa cf. hamaticornis KIEFFER, 1909

Diamesa hamaticornis Pu. KIEFFER, 1909

Diamesa insignipes KIEFFER, 1908

Diamesa insignipes Pu. KIEFFER, 1908

Diamesa sp.

Eukiefferiella clypeata (KIEFFER, 1923)
Eukiefferiella clypeata Pu. (KIEFFER, 1923)
Eukiefferiella coerulescens (KIEFFER, 1926)
Eukiefferiella devonica Pu. (EDWARDS, 1929)
Eukiefferiella devonica/ilkleyensis
Eukiefferiella fittkaui LEHMANN, 1972
Eukiefferiella lobifera GOETGHEBUER, 1934
Eukiefferiella minor (EDWARDS, 1929)
Eukiefferiella similis GOETGHEBUER, 1939
Eukiefferiella similis Pu. GOETGHEBUER, 1939
Heleniella cf. ornatcollis (EDWARDS, 1929)
Heleniella ornatcollis Pu. (EDWARDS, 1929)
Heleniella sp.
Heterotrissocladius marcidus (WALKER, 1856)
Macropelopia nebulosa (MEIGEN, 1804)
Micropsectra atrofasciata Pu. (KIEFFER, 1911)
Micropsectra atrofasciata-Agg.
Microtendipes cf. britteni (EDWARDS, 1929)
Microtendipes britteni Pu. (EDWARDS, 1929)
Microtendipes pedellus Pu. (DE GEER, 1776)
Microtendipes pedellus-Gr.
Microtendipes rydalensis (EDWARDS, 1929)
Nanocladius rectinervis Pu. (KIEFFER, 1911)
Natarsia cf. punctata (MEIGEN, 1804)
Nilotanypus dubius (MEIGEN, 1814)
Odontomesa fulva (KIEFFER, 1919)
Orthoclaadiinae Gen. sp.
Orthoclaadiinae Gen. sp. Pu.
Orthoclaadiini COP
Orthocladus sp.
Orthocladus (Euorthocladus) ashei SOPONIS, 1990
Orthocladus (Euorthocladus) ashei Pu. SOPONIS, 1990
Orthocladus (Euorthocladus) frigidus (ZETTERSTEDT, 1838)
Orthocladus (Euorthocladus) rivicola KIEFFER, 1921

Orthocladius (Euorthocladius) rivicola Pu. KIEFFER, 1921
Orthocladius (Euorthocladius) rivulorum KIEFFER, 1909
Orthocladius (Euorthocladius) rivulorum Pu. KIEFFER, 1909
Orthocladius (Orthocladius) cf. oblidens (WALKER, 1856)
Orthocladius (Orthocladius) oblidens Pu. (WALKER, 1856)
Orthocladius (Orthocladius) cf. obumbratus Pu. JOHANNSEN, 1905
Orthocladius (Orthocladius) rubicundus (MEIGEN, 1818)
Orthocladius (Orthocladius) rubicundus Pu. (MEIGEN, 1818)
Orthocladius (Orthocladius) sp.
Orthocladius (Orthocladius) sp. Pu.
Orthocladius (Symposiocladius) lignicola (KIEFFER, 1915)
Paracladius conversus (WALKER, 1856)
Paracladius conversus Pu. (WALKER, 1856)
Paracladopelma camptolabis Pu. (KIEFFER, 1913)
Paracladopelma camptolabis-Gr.
Paracladopelma mikiana (GOETGHEBUER, 1937)
Paracladopelma sp.
Paracricotopus niger (KIEFFER, 1913)
Paracricotopus niger Pu. (KIEFFER, 1913)
Parakiefferiella triquetra (PANKRATOVA, 1970)
Parametricnemus stylatus (KIEFFER, 1924)
Parametricnemus stylatus Pu. (KIEFFER, 1924)
Paratendipes cf. albimanus (MEIGEN, 1818)
Paratrichocladius rufiventris (MEIGEN, 1830)
Paratrichocladius skirwithensis/veronicae
Paratrichocladius skirwithensis/veronicae Ny.
Paratrissocladius excerptus (WALKER, 1856)
Pentaneurini Gen. sp.
Polypedilum (Polypedilum) albicorne (MEIGEN, 1938)
Polypedilum (Polypedilum) laetum (MEIGEN, 1818)
Polypedilum (Polypedilum) pedestre (MEIGEN, 1830)
Polypedilum (Polypedilum) sp.
Polypedilum (Tripodura) acifer TOWNES, 1945
Polypedilum (Tripodura) aegyptium KIEFFER, 1925

Polypedilum (Tripodura) scalaenum-Gr.
Polypedilum (Uresipedilum) convictum (WALKER, 1856)
Potthastia gaedii (MEIGEN, 1838)
Potthastia gaedii Pu. (MEIGEN, 1838)
Potthastia gaedii-Gr.
Potthastia longimana (KIEFFER, 1922)
Potthastia longimana-Gr.
Procladius (Holotanypus) cf. choreus (MEIGEN, 1804)
Prodiamesa olivacea (MEIGEN, 1818)
Prodiamesa olivacea Pu. (MEIGEN, 1818)
Rheocricotopus (Rheocricotopus) fuscipes (KIEFFER, 1909)
Rheocricotopus (Rheocricotopus) fuscipes Pu. (KIEFFER, 1909)
Rheopelopia ornata (MEIGEN, 1838)
Rheosmittia cf. spinicornis (BRUNDIN, 1956)
Rheosmittia spinicornis Pu. (BRUNDIN, 1956)
Rheotanytarsus cf. photophilus (GOETGHEBUER, 1921)
Rheotanytarsus rhenanus Pu. KLINK, 1983
Rheotanytarsus sp.
Rheotanytarsus sp. Pu.
Robackia demeijerei (KRUSEMAN, 1933)
Saetheria reissi JACKSON, 1977
Stempellinella brevis (EDWARDS, 1929)
Synorthocladius semivirens (KIEFFER, 1909)
Synorthocladius semivirens Pu. (KIEFFER, 1909)
Tanytarsini Gen. sp.
Tanytarsus brundini LINDEBERG, 1963
Tanytarsus brundini Pu. LINDEBERG, 1963
Tanytarsus brundini/curticornis
Tanytarsus debilis Pu. (MEIGEN, 1830)
Tanytarsus ejuncidus (WALKER, 1856)
Tanytarsus cf. eminulus (WALKER, 1856)
Tanytarsus eminulus Pu. (WALKER, 1856)
Tanytarsus pallidicornis (WALKER, 1856)
Tanytarsus sp.

Tanytarsus sp. Pu.

Thienemannia sp.

Thienemanniella sp.

Thienemannimyia carnea (FABRICIUS, 1805)

Thienemannimyia carnea Pu. (FABRICIUS, 1805)

Thienemannimyia Gr., Gen. indet.

Thienemannimyia sp.

Tvetenia calvescens (EDWARDS, 1929)

Tvetenia calvescens Pu. (EDWARDS, 1929)

Tvetenia verralli (EDWARDS, 1929)

Tvetenia verralli Pu. (EDWARDS, 1929)

Zavreliomyia sp.

EMPIDIDAE

Empididae Gen. sp.

LIMONIIDAE

Antocha sp.

Hexatoma sp.

PEDICIIDAE

Dicranota sp.

PSYCHODIDAE

Psychodidae Gen. sp.

SIMULIIDAE

Prosimulium sp.

Prosimulium tomosvaryi (ENDERLEIN, 1921)

Simuliidae Gen. sp. juv.

Simulium sp.

Simulium (Nevermannia) venum MACQUART, 1826

Simulium (Simulium) reptans (LINNAEUS, 1758)

Simulium (Simulium) reptans Pu. (LINNAEUS, 1758)

TIPULIDAE

Tipulidae Gen. sp.

Gesamttaxazahl 251

Gesamttaxazahl (exkl. "sp.") 179

ANHANG

Teil 7 – Tabellen zu den geologischen Auswertungen (Wasserkraftwerke und Probenahmestellen)

1. Erläuterungen.....	2
2. Rodl.....	2
3. Große Mühl	3
4. Kleine Mühl.....	4
5. Osterbach	5
6. Gusen.....	5
7. Aist.....	6
8. Naarn	7
9. Erlau.....	7

Teil 7

Tabellen zu den geologischen Auswertungen (Wasserkraftwerke und Probenahmestellen)

1. Erläuterungen

Im folgenden Abschnitt finden sich Tabellen der Einzugsgebiete, in denen die Wasserkraftwerke (inkl. zusätzlicher Informationen wie z.B. Wasserbuch-ID, Name des Kraftwerks, Kraftwerkstyp) bzw. Probenahmestellen in Bezug auf deren Lage in der jeweiligen geologischen Klasse bzw. Versandungsneigungs-Klasse aufgelistet sind.

2. Rodl

Tabelle 1: Wasserkraftwerke Rodl.

Gewässer	WB-ID	Name Wasserkraftwerk	Kraftwerkstyp	Lage Krafthaus	Betriebsweise	Geologische Klasse	Versandungsneigung
Kleine Rodl	413/1777	Mittermühle	Laufkraftwerk	Ausleitungskraftwerk	Laufbetrieb	Sedimente (Klasse 5)	hoch (Klasse 2)
Kleine Rodl	413/1831	Ehrenmühle	Laufkraftwerk	Ausleitungskraftwerk	Laufbetrieb	Sedimente (Klasse 5)	hoch (Klasse 2)
Kleine Rodl	413/2051	Helreichmühle	Laufkraftwerk	Ausleitungskraftwerk	Laufbetrieb	Sedimente (Klasse 5)	hoch (Klasse 2)
Große Rodl	416/0002	Bruckmühle Gramastetten	Laufkraftwerk	Ausleitungskraftwerk	Laufbetrieb	Metamorphite (Klasse 4)	gering (Klasse 1)
Große Rodl	416/0064	Achleitenmühle	Laufkraftwerk	Ausleitungskraftwerk	Laufbetrieb	Sedimente (Klasse 5)	hoch (Klasse 2)
Sonnberger Bach (Altbach)	416/0301	Hammermühle	Laufkraftwerk	Ausleitungskraftwerk	Laufbetrieb	Metamorphite (Klasse 4)	gering (Klasse 1)
Große Rodl	416/0321	Aumühle Grasböck	Laufkraftwerk	Ausleitungskraftwerk	Laufbetrieb	Grobkongranit und -gneis (Klasse 2)	hoch (Klasse 2)
Große Rodl	416/0336	Klammlaitenmühle	Laufkraftwerk	Ausleitungskraftwerk	Laufbetrieb	Sedimente (Klasse 5)	hoch (Klasse 2)
Steinbach	416/0379	Spielauermaühle	Laufkraftwerk	Ausleitungskraftwerk	Laufbetrieb	Feinkongranit (Klasse 1)	gering (Klasse 1)
Große Rodl	416/0426	Riefeshoferschmiede	Laufkraftwerk	Ausleitungskraftwerk	Laufbetrieb	Sedimente (Klasse 5)	hoch (Klasse 2)
Distelbach	416/0540	Trabergmühle	Laufkraftwerk	Ausleitungskraftwerk	Schwellbetrieb	Metamorphite (Klasse 4)	gering (Klasse 1)
Distelbach	416/0542	Hammerschmiede Waldschlag	Laufkraftwerk	Ausleitungskraftwerk	Laufbetrieb	Sedimente (Klasse 5)	hoch (Klasse 2)
Distelbach	416/0545	Ehrenreichmühle	Laufkraftwerk	Ausleitungskraftwerk	Laufbetrieb	Sedimente (Klasse 5)	hoch (Klasse 2)
Fuchsgraben (Weiglbach)	416/0552	Schmied im Fuchsgraben	Laufkraftwerk	Ausleitungskraftwerk	Laufbetrieb	Sedimente (Klasse 5)	hoch (Klasse 2)
Große Rodl	416/0553	Hammersäge Oberneukirchen	Laufkraftwerk	Ausleitungskraftwerk	Laufbetrieb	Sedimente (Klasse 5)	hoch (Klasse 2)
Schauerbach	416/0555	Neumühle	Laufkraftwerk	Ausleitungskraftwerk	Laufbetrieb	Sedimente (Klasse 5)	hoch (Klasse 2)
Große Rodl	416/0588	Edelmühle	Laufkraftwerk	Ausleitungskraftwerk	Laufbetrieb	Sedimente (Klasse 5)	hoch (Klasse 2)
Buchholzbach	416/0590	Mittermühle	Laufkraftwerk	Ausleitungskraftwerk	Laufbetrieb	Sedimente (Klasse 5)	hoch (Klasse 2)
Distelbach	416/0620	Stitzmühle	Laufkraftwerk	Ausleitungskraftwerk	Laufbetrieb	Sedimente (Klasse 5)	hoch (Klasse 2)
Distelbach	416/0624	Obermühle	Laufkraftwerk	Ausleitungskraftwerk	Laufbetrieb	Sedimente (Klasse 5)	hoch (Klasse 2)
Große Rodl	416/0822	Mittermühle Lummerstorfer	Laufkraftwerk	Flusskraftwerk	Laufbetrieb	Sedimente (Klasse 5)	hoch (Klasse 2)
Große Rodl	416/0832	Hofmühle	Laufkraftwerk	Ausleitungskraftwerk	Laufbetrieb	Metamorphite (Klasse 4)	gering (Klasse 1)
Kleine Rodl	416/0837	Hammerschmiede Bogendorf	Laufkraftwerk	Ausleitungskraftwerk	Laufbetrieb	Sedimente (Klasse 5)	hoch (Klasse 2)
Kleine Rodl	416/0840	Reithmühle	Laufkraftwerk	Ausleitungskraftwerk	Laufbetrieb	Sedimente (Klasse 5)	hoch (Klasse 2)
Kleine Rodl	416/0842	Hammerschmiede St. Gotthard	Laufkraftwerk	Ausleitungskraftwerk	Laufbetrieb	Grobkongranit und -gneis (Klasse 2)	hoch (Klasse 2)
Kleine Rodl	416/0853	Ledermühle	Laufkraftwerk	Ausleitungskraftwerk	Laufbetrieb	Sedimente (Klasse 5)	hoch (Klasse 2)
Kleine Rodl	416/0856	Loymühle	Laufkraftwerk	Ausleitungskraftwerk	Laufbetrieb	Sedimente (Klasse 5)	hoch (Klasse 2)
Ranitzbach	416/0857	Lugmühle	Laufkraftwerk	Ausleitungskraftwerk	Laufbetrieb	Sedimente (Klasse 5)	hoch (Klasse 2)
Große Rodl	416/0864	Griesmühle Walding	Laufkraftwerk	Ausleitungskraftwerk	Laufbetrieb	Sedimente (Klasse 5)	hoch (Klasse 2)
Kleine Rodl	416/0865	Vordermühle	Laufkraftwerk	Ausleitungskraftwerk	Laufbetrieb	Grobkongranit und -gneis (Klasse 2)	hoch (Klasse 2)
Große Rodl	416/0867	Rottenegg I E-Werk	Laufkraftwerk	Ausleitungskraftwerk	Laufbetrieb	Sedimente (Klasse 5)	hoch (Klasse 2)
Bach von Walding	416/0868	Pallmannsmühle	Laufkraftwerk	Ausleitungskraftwerk	Laufbetrieb	Sedimente (Klasse 5)	hoch (Klasse 2)
Kleine Rodl	416/2109	Rottenegg II E-Werk	Laufkraftwerk	Ausleitungskraftwerk	Laufbetrieb	Sedimente (Klasse 5)	hoch (Klasse 2)
Kleine Rodl	416/2109	St. Gotthard E-Werk	Laufkraftwerk	k.A.	k.A.	Sedimente (Klasse 5)	hoch (Klasse 2)

Tabelle 2: Probenahmestellen Rodl.

Name	Geologische Klasse	Versandungsneigung
R01H1	Sedimente (Klasse 5)	hoch (Klasse 2)
R02H1	Sedimente (Klasse 5)	hoch (Klasse 2)
R03	Sedimente (Klasse 5)	hoch (Klasse 2)
R04	Sedimente (Klasse 5)	hoch (Klasse 2)
R05	Sedimente (Klasse 5)	hoch (Klasse 2)
R06H2	Grobkongranit und -gneis (Klasse 2)	hoch (Klasse 2)
R07H2	Sedimente (Klasse 5)	hoch (Klasse 2)
R08	Sedimente (Klasse 5)	hoch (Klasse 2)
R09H3	Sedimente (Klasse 5)	hoch (Klasse 2)
R10H3	Sedimente (Klasse 5)	hoch (Klasse 2)
R11	Sedimente (Klasse 5)	hoch (Klasse 2)
R12H4	Sedimente (Klasse 5)	hoch (Klasse 2)
R13H4	Sedimente (Klasse 5)	hoch (Klasse 2)
R14	Sedimente (Klasse 5)	hoch (Klasse 2)
R15	Sedimente (Klasse 5)	hoch (Klasse 2)
R16	Sedimente (Klasse 5)	hoch (Klasse 2)
R17H5	Sedimente (Klasse 5)	hoch (Klasse 2)
R18H5	Sedimente (Klasse 5)	hoch (Klasse 2)
R19H6	Sedimente (Klasse 5)	hoch (Klasse 2)
R20H6	Sedimente (Klasse 5)	hoch (Klasse 2)
R21	Sedimente (Klasse 5)	hoch (Klasse 2)
R22H7	Sedimente (Klasse 5)	hoch (Klasse 2)
R23H7	Sedimente (Klasse 5)	hoch (Klasse 2)
R24	Grobkongranit und -gneis (Klasse 2)	hoch (Klasse 2)
R25	Grobkongranit und -gneis (Klasse 2)	hoch (Klasse 2)
R26	Metamorphite (Klasse 4)	gering (Klasse 1)

3. Große Mühl

Tabelle 3: Wasserkraftwerke Große Mühl.

Gewässer	WB-ID	Name Wasserkraftwerk	Kraftwerkstyp	Lage Krafthaus	Betriebsweise	Geologische Klasse	Versandungsneigung
Große Mühl	413/0100	Rotmühle	Laufkraftwerk	Ausleitungskraftwerk	Laufbetrieb	Sedimente (Klasse 5)	hoch (Klasse 2)
Zwetl	413/0137	Höller	Laufkraftwerk	Ausleitungskraftwerk	Laufbetrieb	Metamorphite (Klasse 4)	gering (Klasse 1)
Klaflerbach	413/0328	Obermühle	Laufkraftwerk	Ausleitungskraftwerk	Laufbetrieb	Metamorphite (Klasse 4)	gering (Klasse 1)
Große Mühl	413/0670	Stift Schlägl	Laufkraftwerk	Ausleitungskraftwerk	Laufbetrieb	Sedimente (Klasse 5)	hoch (Klasse 2)
Große Mühl	413/0670	Stift Schlägl KW Schnecke	Wasserkraftschnecke			Sedimente (Klasse 5)	hoch (Klasse 2)
Steinerne Mühl	413/1100	Reifmühle Dietrich	Laufkraftwerk	Ausleitungskraftwerk	Laufbetrieb	Feinkongranit (Klasse 1)	gering (Klasse 1)
Große Mühl	413/1153	Steinmühle Ulrichsberg	Laufkraftwerk	Ausleitungskraftwerk	Laufbetrieb	Sedimente (Klasse 5)	hoch (Klasse 2)
Klaflerbach	413/1155	Haindmühle 1	Laufkraftwerk	Ausleitungskraftwerk	Laufbetrieb	Grobkongranit und -gneis (Klasse 2)	hoch (Klasse 2)
Große Mühl	413/1161	Berdtschlägermühle	Laufkraftwerk	Flusskraftwerk	Schweilbetrieb	Feinkongranit (Klasse 1)	gering (Klasse 1)
Große Mühl	413/1169	Dietrichschlag E-Werk	Laufkraftwerk	Ausleitungskraftwerk	Laufbetrieb	Grobkongranit und -gneis (Klasse 2)	hoch (Klasse 2)
Klaflerbach	413/1201	Salnaermühle	Laufkraftwerk	Ausleitungskraftwerk	Laufbetrieb	Feinkongranit (Klasse 1)	gering (Klasse 1)
Steinerne Mühl	413/1406	Zaglühle	Laufkraftwerk	Flusskraftwerk	Laufbetrieb	Grobkongranit und -gneis (Klasse 2)	hoch (Klasse 2)
Große Mühl	413/1463	Furtmühle	Laufkraftwerk	Flusskraftwerk	Laufbetrieb	Sedimente (Klasse 5)	hoch (Klasse 2)
Große Mühl	413/1714	GMK Immobilienreuhand Vonwiller	Laufkraftwerk	Ausleitungskraftwerk	Laufbetrieb	Grobkongranit und -gneis (Klasse 2)	hoch (Klasse 2)
Zwetl	413/1720	Zwetlmühle	Laufkraftwerk	Ausleitungskraftwerk	Laufbetrieb	Feinkongranit (Klasse 1)	gering (Klasse 1)
Große Mühl	413/1723	Wagner Hofmühle (neu)	Laufkraftwerk	Flusskraftwerk	Laufbetrieb	Sedimente (Klasse 5)	hoch (Klasse 2)
Große Mühl	413/1729	Schönbergmühle	Laufkraftwerk	Flusskraftwerk	Laufbetrieb	Grobkongranit und -gneis (Klasse 2)	hoch (Klasse 2)
Steinerne Mühl	413/1730	Ruml	Laufkraftwerk	Ausleitungskraftwerk	Laufbetrieb	Feinkongranit (Klasse 1)	gering (Klasse 1)
Steinerne Mühl	413/1761	Revertera-Salandra E-Werk II	Laufkraftwerk	Ausleitungskraftwerk	Laufbetrieb	Feinkongranit (Klasse 1)	gering (Klasse 1)
Große Mühl	413/1800	Pfeffermühle	Laufkraftwerk	Flusskraftwerk	Laufbetrieb	Sedimente (Klasse 5)	hoch (Klasse 2)
Steinerne Mühl	413/1874	Gollner	Laufkraftwerk	Ausleitungskraftwerk	Laufbetrieb	Metamorphite (Klasse 4)	gering (Klasse 1)
Große Mühl	413/1908	Partenstein	Speicherkraftwerk	Ausleitungskraftwerk	Speicherbetrieb	Sedimente (Klasse 5)	hoch (Klasse 2)
Klaflerbach	413/1924	Holzschlag	Laufkraftwerk	Ausleitungskraftwerk	Laufbetrieb	Grobkongranit und -gneis (Klasse 2)	hoch (Klasse 2)
Steinerne Mühl	413/2103	Koblmiller-Kampmüller Marktmühle	Laufkraftwerk	Ausleitungskraftwerk	Laufbetrieb	Grobkongranit und -gneis (Klasse 2)	hoch (Klasse 2)
Steinerne Mühl	413/2112	Stahlmühle	Laufkraftwerk	Ausleitungskraftwerk	Laufbetrieb	Grobkongranit und -gneis (Klasse 2)	hoch (Klasse 2)
Steinerne Mühl	413/2116	Rechberger Michael	Laufkraftwerk	Ausleitungskraftwerk	Laufbetrieb	Grobkongranit und -gneis (Klasse 2)	hoch (Klasse 2)
Große Mühl	413/2117	Furtmüller E-Werk	Laufkraftwerk	Ausleitungskraftwerk	Laufbetrieb	Sedimente (Klasse 5)	hoch (Klasse 2)
Steinerne Mühl	413/2118	Stahlmühle	Laufkraftwerk	Flusskraftwerk	Laufbetrieb	Grobkongranit und -gneis (Klasse 2)	hoch (Klasse 2)
Klaflerbach	413/2214	Haindmühle 2	Laufkraftwerk	Ausleitungskraftwerk	Laufbetrieb	Grobkongranit und -gneis (Klasse 2)	hoch (Klasse 2)
Große Mühl	413/2256	Bemdlmühle	Laufkraftwerk	Flusskraftwerk	Laufbetrieb	Sedimente (Klasse 5)	hoch (Klasse 2)
Steinerne Mühl	413/2263	Stegmühle	Laufkraftwerk	Flusskraftwerk	Laufbetrieb	Grobkongranit und -gneis (Klasse 2)	hoch (Klasse 2)
Diessenbach	413/2322	Tutenmühle	Laufkraftwerk	Ausleitungskraftwerk	Laufbetrieb	Feinkongranit (Klasse 1)	gering (Klasse 1)
Große Mühl	413/2403	Baumgartenmühle	Laufkraftwerk	Flusskraftwerk	Laufbetrieb	Sedimente (Klasse 5)	hoch (Klasse 2)
Große Mühl	413/2404	Kern E-Werk	Laufkraftwerk	Ausleitungskraftwerk	Laufbetrieb	Sedimente (Klasse 5)	hoch (Klasse 2)
Große Mühl	413/2587	Teufelmühle	Laufkraftwerk	Ausleitungskraftwerk	Laufbetrieb	Sedimente (Klasse 5)	hoch (Klasse 2)
Große Mühl	413/2725	Magermühle	Laufkraftwerk	Ausleitungskraftwerk	Laufbetrieb	Sedimente (Klasse 5)	hoch (Klasse 2)
Steinerne Mühl	413/2845	Kastenschmiede	Laufkraftwerk	Ausleitungskraftwerk	Laufbetrieb	Grobkongranit und -gneis (Klasse 2)	hoch (Klasse 2)
Schwarzenberger Gegenbach	413/3053	Hausl	Laufkraftwerk	Ausleitungskraftwerk	Laufbetrieb	Grobkongranit und -gneis (Klasse 2)	hoch (Klasse 2)
Große Mühl	413/3279	Iglmühle	Laufkraftwerk	Ausleitungskraftwerk	Laufbetrieb	Sedimente (Klasse 5)	hoch (Klasse 2)
Steinerne Mühl	413/3558	Fauxmühle	Laufkraftwerk	Flusskraftwerk	Laufbetrieb	Grobkongranit und -gneis (Klasse 2)	hoch (Klasse 2)
Steinerne Mühl	413/3958	Revertera-Salandra E-Werk III	Laufkraftwerk	Ausleitungskraftwerk	Laufbetrieb	Feinkongranit (Klasse 1)	gering (Klasse 1)
Große Mühl	413/3973	Knollmühle	Laufkraftwerk	Ausleitungskraftwerk	Laufbetrieb	Sedimente (Klasse 5)	hoch (Klasse 2)
Klaflerbach	413/4142	Stögmüller Obermühle NEU	Laufkraftwerk	Ausleitungskraftwerk	Laufbetrieb	Metamorphite (Klasse 4)	gering (Klasse 1)

Tabelle 4: Probenahmestellen Große Mühl.

Name	Geologische Klasse	Versandungsneigung
GM 01	kA (Klasse 6)	kA (Klasse 4)
GM 02	Sedimente (Klasse 5)	hoch (Klasse 2)
GM 03	Sedimente (Klasse 5)	hoch (Klasse 2)
GM 04	Sedimente (Klasse 5)	hoch (Klasse 2)
GM 05	Sedimente (Klasse 5)	hoch (Klasse 2)
GM 06	Sedimente (Klasse 5)	hoch (Klasse 2)
GM 07	Sedimente (Klasse 5)	hoch (Klasse 2)
GM 08	Sedimente (Klasse 5)	hoch (Klasse 2)
GM 09	Sedimente (Klasse 5)	hoch (Klasse 2)
GM 10	Sedimente (Klasse 5)	hoch (Klasse 2)
GM 11	Sedimente (Klasse 5)	hoch (Klasse 2)
GM 12	Sedimente (Klasse 5)	hoch (Klasse 2)
GM 13	Feinkongranit (Klasse 1)	gering (Klasse 1)
GM 14	Sedimente (Klasse 5)	hoch (Klasse 2)
GM 15	Sedimente (Klasse 5)	hoch (Klasse 2)
GM 16	Sedimente (Klasse 5)	hoch (Klasse 2)
GM 17	Sedimente (Klasse 5)	hoch (Klasse 2)
GM 18	Sedimente (Klasse 5)	hoch (Klasse 2)
GM 19	Sedimente (Klasse 5)	hoch (Klasse 2)
GM 20	Sedimente (Klasse 5)	hoch (Klasse 2)
GM 21	Sedimente (Klasse 5)	hoch (Klasse 2)
GM 22	Sedimente (Klasse 5)	hoch (Klasse 2)
GM 23	Sedimente (Klasse 5)	hoch (Klasse 2)
GM 24	Sedimente (Klasse 5)	hoch (Klasse 2)
GM 25	Sedimente (Klasse 5)	hoch (Klasse 2)
GM 26	keine geologische Karte verfügbar	
GM 27	keine geologische Karte verfügbar	
GM 27	keine geologische Karte verfügbar	
GM 28	keine geologische Karte verfügbar	
GM 29	keine geologische Karte verfügbar	
GM 30	keine geologische Karte verfügbar	

4. Kleine Mühl

Tabelle 5: Wasserkraftwerke Kleine Mühl.

Gewässer	WB-ID	Name Wasserkraftwerk	Kraftwerkstyp	Lage Krafthaus	Betriebsweise	Geologische Klasse	Versandungsneigung
Daglesbach	413/1774	Viertelmühle	Laufkraftwerk	Ausleitungskraftwerk	Laufbetrieb	Sedimente (Klasse 5)	hoch (Klasse 2)
Daglesbach	413/1783	Kriemühle	Laufkraftwerk	Ausleitungskraftwerk	Laufbetrieb	Metamorphite (Klasse 4)	gering (Klasse 1)
Kleine Mühl	413/1795	Kleemühle	Laufkraftwerk	Flusskraftwerk	Laufbetrieb	Sedimente (Klasse 5)	hoch (Klasse 2)
Daglesbach	413/1853	Stritzmühle	Laufkraftwerk	Ausleitungskraftwerk	Laufbetrieb	Sedimente (Klasse 5)	hoch (Klasse 2)
Kleine Mühl	413/1888	Spritzelmühle	Laufkraftwerk	Ausleitungskraftwerk	Laufbetrieb	Grobkomgranit und -gneis (Klasse 2)	hoch (Klasse 2)
Daglesbach	413/1892	Mittermühle	Laufkraftwerk	Ausleitungskraftwerk	Laufbetrieb	Grobkomgranit und -gneis (Klasse 2)	hoch (Klasse 2)
Kleine Mühl	413/1893	Doppl	Laufkraftwerk	Ausleitungskraftwerk	Laufbetrieb	Sedimente (Klasse 5)	hoch (Klasse 2)
Kleine Mühl	413/1973	ARAF-Mühle	Laufkraftwerk	Ausleitungskraftwerk	Laufbetrieb	Sedimente (Klasse 5)	hoch (Klasse 2)
Leitenbach	413/2262	Bruckmühle Sarleinsbach	Laufkraftwerk	Ausleitungskraftwerk	Laufbetrieb	Grobkomgranit und -gneis (Klasse 2)	hoch (Klasse 2)
Kleine Mühl	413/2547	Hühnergeschrei	Laufkraftwerk	Ausleitungskraftwerk	Laufbetrieb	Sedimente (Klasse 5)	hoch (Klasse 2)
Kleine Mühl	413/2681	Sonnberger Obermühl Papier O Schleiferei	Laufkraftwerk	k.A.	k.A.	Sedimente (Klasse 5)	hoch (Klasse 2)
Kleine Mühl	413/2682	Papierfabrik Obermühl Papier O Zentrale	Laufkraftwerk	Ausleitungskraftwerk	Laufbetrieb	Sedimente (Klasse 5)	hoch (Klasse 2)
Daglesbach	413/2683	Sonnberger Obermühl Papier U Schleiferei	Laufkraftwerk	k.A.	k.A.	Sedimente (Klasse 5)	hoch (Klasse 2)
Kleine Mühl	413/2684	Sonnberger Papier Obermühl Fabrikszentrale	Laufkraftwerk	Ausleitungskraftwerk	Laufbetrieb	Sedimente (Klasse 5)	hoch (Klasse 2)
Daglesbach	413/2998	Hintringer	Laufkraftwerk	Ausleitungskraftwerk	Laufbetrieb	Grobkomgranit und -gneis (Klasse 2)	hoch (Klasse 2)
Kleine Mühl	413/3041	Neumühle	Laufkraftwerk	Flusskraftwerk	Laufbetrieb	Grobkomgranit und -gneis (Klasse 2)	hoch (Klasse 2)
Leitenbach	413/3077	Chagemühle	Laufkraftwerk	Ausleitungskraftwerk	Laufbetrieb	Grobkomgranit und -gneis (Klasse 2)	hoch (Klasse 2)
Leitenbach	413/3078	Fixlmühle	Laufkraftwerk	Ausleitungskraftwerk	Laufbetrieb	Grobkomgranit und -gneis (Klasse 2)	hoch (Klasse 2)
Leitenbach	413/3079	Hammerschmiede Sarleinsbach	Laufkraftwerk	Ausleitungskraftwerk	Laufbetrieb	Grobkomgranit und -gneis (Klasse 2)	hoch (Klasse 2)
Daglesbach	413/3411	Bruckmühle Witzersdorf	Laufkraftwerk	Ausleitungskraftwerk	Laufbetrieb	Sedimente (Klasse 5)	hoch (Klasse 2)
Kleine Mühl	413/3452	Dopplmühle	Laufkraftwerk	Ausleitungskraftwerk	Laufbetrieb	Sedimente (Klasse 5)	hoch (Klasse 2)
Daglesbach	413/3663	Lohrmühle	Laufkraftwerk	Ausleitungskraftwerk	Laufbetrieb	Sedimente (Klasse 5)	hoch (Klasse 2)
Kleine Mühl	413/3682	Koblmühle	Laufkraftwerk	Flusskraftwerk	Laufbetrieb	Grobkomgranit und -gneis (Klasse 2)	hoch (Klasse 2)
Kleine Mühl	413/3841	Höglmühle	Laufkraftwerk	Ausleitungskraftwerk	Laufbetrieb	Sedimente (Klasse 5)	hoch (Klasse 2)

Tabelle 6: Probenahmestellen Kleine Mühl.

Name	Geologische Klasse	Versandungsneigung
KM 01	Grobkomgranit und -gneis (Klasse 2)	hoch (Klasse 2)
KM 02	Grobkomgranit und -gneis (Klasse 2)	hoch (Klasse 2)
KM 03	Sedimente (Klasse 5)	hoch (Klasse 2)
KM 04	Sedimente (Klasse 5)	hoch (Klasse 2)
KM 05	Sedimente (Klasse 5)	hoch (Klasse 2)
KM 06	Sedimente (Klasse 5)	hoch (Klasse 2)
KM 07	Sedimente (Klasse 5)	hoch (Klasse 2)
KM 08	Sedimente (Klasse 5)	hoch (Klasse 2)
KM 09	Sedimente (Klasse 5)	hoch (Klasse 2)
KM 10	Sedimente (Klasse 5)	hoch (Klasse 2)
KM 11	Grobkomgranit und -gneis (Klasse 2)	hoch (Klasse 2)
KM 12	Grobkomgranit und -gneis (Klasse 2)	hoch (Klasse 2)
KM 13	Sedimente (Klasse 5)	hoch (Klasse 2)
KM 14	Sedimente (Klasse 5)	hoch (Klasse 2)
KM 15	Sedimente (Klasse 5)	hoch (Klasse 2)
KM 16	Grobkomgranit und -gneis (Klasse 2)	hoch (Klasse 2)
KM 17	kA (Klasse 6)	kA (Klasse 4)

5. Osterbach

Tabelle 7: Wasserkraftwerke Osterbach.

Name	Geologische Klasse	Versandungsneigung
O 01	Grobkomgranit und -gneis (Klasse 2)	hoch (Klasse 2)
O 02	Metamorphite (Klasse 4)	gering (Klasse 1)
O 03	Grobkomgranit und -gneis (Klasse 2)	hoch (Klasse 2)
O 04	Grobkomgranit und -gneis (Klasse 2)	hoch (Klasse 2)
O 05	keine geologische Karte verfügbar	
O 06	keine geologische Karte verfügbar	
O 07	keine geologische Karte verfügbar	
O 08	Metamorphite (Klasse 4)	gering (Klasse 1)
O 09	keine geologische Karte verfügbar	
O 10	Metamorphite (Klasse 4)	gering (Klasse 1)
O 11	keine geologische Karte verfügbar	
O 12	keine geologische Karte verfügbar	
O 13	Grobkomgranit und -gneis (Klasse 2)	hoch (Klasse 2)
O 14	Grobkomgranit und -gneis (Klasse 2)	hoch (Klasse 2)
O 16	Grobkomgranit und -gneis (Klasse 2)	hoch (Klasse 2)

6. Gusen

Tabelle 8: Wasserkraftwerke Gusen.

Gewässer	WB-ID	Name Wasserkraftwerk	Kraftwerkstyp	Lage Krafthaus	Betriebsweise	Geologische Klasse	Versandungsneigung
Kleine Gusen	406/0692	Gusennühle	Laufrastwerk	Ausleitungskraftwerk	Laufbetrieb	Grobkomgranit und -gneis (Klasse 2)	hoch (Klasse 2)
Kleine Gusen	406/0699	Schallmühle	Laufrastwerk	Ausleitungskraftwerk	Laufbetrieb	Grobkomgranit und -gneis (Klasse 2)	hoch (Klasse 2)
Kleine Gusen	406/0742	Weigmühle	Laufrastwerk	Ausleitungskraftwerk	Laufbetrieb	Sedimente (Klasse 5)	hoch (Klasse 2)
Kleine Gusen	406/2710	Karlinger Johann	Laufrastwerk	Flusskraftwerk	Laufbetrieb	Sonstige Magmatite (Klasse 3)	gering (Klasse 1)
Gusen	411/0056	Bruckmühle St. Georgen/Gusen	Laufrastwerk	Flusskraftwerk	Laufbetrieb	Grobkomgranit und -gneis (Klasse 2)	hoch (Klasse 2)
Gusen	411/1053	Knollmühle	Laufrastwerk	Ausleitungskraftwerk	Laufbetrieb	Grobkomgranit und -gneis (Klasse 2)	hoch (Klasse 2)
Gusen	416/0018	Wahlmühle Nagler	Laufrastwerk	Ausleitungskraftwerk	Laufbetrieb	Sedimente (Klasse 5)	hoch (Klasse 2)
Gusen	416/0159	Kunstmühle	Laufrastwerk	Ausleitungskraftwerk	Laufbetrieb	Sedimente (Klasse 5)	hoch (Klasse 2)
Gusen	416/0164	Holmühle	Laufrastwerk	Ausleitungskraftwerk	Laufbetrieb	Sedimente (Klasse 5)	hoch (Klasse 2)
Gusen	416/0168	Wöckinger Bruckmühle	k.A.	k.A.	k.A.	Feinkomgranit (Klasse 1)	gering (Klasse 1)
Gusen	416/0207	Pfandmühle	Laufrastwerk	Ausleitungskraftwerk	Laufbetrieb	Feinkomgranit (Klasse 1)	gering (Klasse 1)
Gusen	416/0208	Hammerschmiede Steinbach	Laufrastwerk	Ausleitungskraftwerk	Laufbetrieb	Feinkomgranit (Klasse 1)	gering (Klasse 1)
Gusen	416/0234	Kaimühle	Laufrastwerk	Ausleitungskraftwerk	Laufbetrieb	Sedimente (Klasse 5)	hoch (Klasse 2)
Gusen	416/0312	Schweinbachmühle	Laufrastwerk	Ausleitungskraftwerk	Laufbetrieb	Sedimente (Klasse 5)	hoch (Klasse 2)
Gusen	416/0315	Göweilmühle	Laufrastwerk	Ausleitungskraftwerk	Laufbetrieb	Feinkomgranit (Klasse 1)	gering (Klasse 1)
Gusen	416/0316	Schorr Theodor	k.A.	k.A.	k.A.	Feinkomgranit (Klasse 1)	gering (Klasse 1)
Gusen	416/0317	Aumühle Wögerbauer	Laufrastwerk	Ausleitungskraftwerk	Laufbetrieb	Feinkomgranit (Klasse 1)	gering (Klasse 1)
Gusen	416/0726	Walchschmiede	Laufrastwerk	Ausleitungskraftwerk	Laufbetrieb	Metamorphite (Klasse 4)	gering (Klasse 1)
Gusen	416/0754	Penzenmühle	Laufrastwerk	Ausleitungskraftwerk	Laufbetrieb	Feinkomgranit (Klasse 1)	gering (Klasse 1)
Gusen	416/0764	Grubmühle	Laufrastwerk	Ausleitungskraftwerk	Laufbetrieb	Sedimente (Klasse 5)	hoch (Klasse 2)
Gusen	416/0765	Schmiede in der Gusen	Laufrastwerk	Ausleitungskraftwerk	Laufbetrieb	Sedimente (Klasse 5)	hoch (Klasse 2)
Kleine Gusen	416/3266	Pühringer Energieversorgung	Laufrastwerk	Ausleitungskraftwerk	Laufbetrieb	Sonstige Magmatite (Klasse 3)	gering (Klasse 1)

Tabelle 9: Probenahmestellen Gusen.

Name	Geologische Klasse	Versandungsneigung
G 01	Sedimente (Klasse 5)	hoch (Klasse 2)
G 02	Sedimente (Klasse 5)	hoch (Klasse 2)
G 03	Sedimente (Klasse 5)	hoch (Klasse 2)
G 04	Sedimente (Klasse 5)	hoch (Klasse 2)
G 05	Sedimente (Klasse 5)	hoch (Klasse 2)
G 06	Sedimente (Klasse 5)	hoch (Klasse 2)
G 07	Sedimente (Klasse 5)	hoch (Klasse 2)
G 08	Sedimente (Klasse 5)	hoch (Klasse 2)
G 09	Sedimente (Klasse 5)	hoch (Klasse 2)
G 10	Sedimente (Klasse 5)	hoch (Klasse 2)
G 11	Sedimente (Klasse 5)	hoch (Klasse 2)
G 12	Grobkomgranit und -gneis (Klasse 2)	hoch (Klasse 2)
G 13	Sedimente (Klasse 5)	hoch (Klasse 2)
G 14	Feinkomgranit (Klasse 1)	gering (Klasse 1)
G 15	Metamorphite (Klasse 4)	gering (Klasse 1)
G 16	Sedimente (Klasse 5)	hoch (Klasse 2)
G 16l	Sonstige Magmatite (Klasse 3)	gering (Klasse 1)
G 17	Sedimente (Klasse 5)	hoch (Klasse 2)
G 18	Sedimente (Klasse 5)	hoch (Klasse 2)
G 19	Sedimente (Klasse 5)	hoch (Klasse 2)
G 20	Sedimente (Klasse 5)	hoch (Klasse 2)
G 21	Sedimente (Klasse 5)	hoch (Klasse 2)
G 22	Sedimente (Klasse 5)	hoch (Klasse 2)
G 23	Sonstige Magmatite (Klasse 3)	gering (Klasse 1)
G 24	Sonstige Magmatite (Klasse 3)	gering (Klasse 1)
G 25	Sonstige Magmatite (Klasse 3)	gering (Klasse 1)
G 71	Feinkomgranit (Klasse 1)	gering (Klasse 1)

7. Aist

Tabelle 10: Wasserkraftwerke Aist.

Gewässer	WB-ID	Name Wasserkraftwerk	Kraftwerkstyp	Lage Krafthaus	Betriebsweise	Geologische Klasse	Versandungsneigung
Feldaist	406/0465	Panholzmühle	Laufkraftwerk	Ausleitungskraftwerk	Laufbetrieb	Sonstige Magmatite (Klasse 3)	gering (Klasse 1)
Feistritzbach	406/0488	Eferebach Marktmühle	Laufkraftwerk	Ausleitungskraftwerk	Laufbetrieb	Sedimente (Klasse 5)	hoch (Klasse 2)
Feistritzbach	406/0497	Fürstenhammer	Laufkraftwerk	Ausleitungskraftwerk	Laufbetrieb	Sonstige Magmatite (Klasse 3)	gering (Klasse 1)
Feldaist	406/0557	Cebauer Pühmühle	Laufkraftwerk	Flusskraftwerk	Laufbetrieb	Sonstige Magmatite (Klasse 3)	gering (Klasse 1)
Feldaist	406/0669	Polivka und Ruthner Pleinerhammer	Laufkraftwerk	Ausleitungskraftwerk	Laufbetrieb	Sedimente (Klasse 5)	hoch (Klasse 2)
Feldaist	406/0670	Wintermühle Neulinger	Laufkraftwerk	Flusskraftwerk	Laufbetrieb	Sedimente (Klasse 5)	hoch (Klasse 2)
Feldaist	406/0727	Schiefer Maximilian Klammmühle	Laufkraftwerk	Ausleitungskraftwerk	Laufbetrieb	Sedimente (Klasse 5)	hoch (Klasse 2)
Feldaist	406/0844	Kumpfmühle	Laufkraftwerk	Ausleitungskraftwerk	Laufbetrieb	Grobkongranit und -gneis (Klasse 2)	hoch (Klasse 2)
Waldaist	406/0876	Hammerschmiede Hundsorf	Laufkraftwerk	Ausleitungskraftwerk	Laufbetrieb	Sedimente (Klasse 5)	hoch (Klasse 2)
Waldaist	406/0925	Hafermüllerschmiede	Laufkraftwerk	Flusskraftwerk	Laufbetrieb	Grobkongranit und -gneis (Klasse 2)	hoch (Klasse 2)
Waldaist	406/0971	Pieberbach II	Laufkraftwerk	Ausleitungskraftwerk	Laufbetrieb	Grobkongranit und -gneis (Klasse 2)	hoch (Klasse 2)
Waldaist	406/0998	Hofmühle	Laufkraftwerk	Flusskraftwerk	Laufbetrieb	Sedimente (Klasse 5)	hoch (Klasse 2)
Schlagler Bach	406/1058	Eichensteinmühle	Laufkraftwerk	Ausleitungskraftwerk	Laufbetrieb	Sonstige Magmatite (Klasse 3)	gering (Klasse 1)
Waldaist	406/1070	Riedhammer II	Laufkraftwerk	Ausleitungskraftwerk	Laufbetrieb	Grobkongranit und -gneis (Klasse 2)	hoch (Klasse 2)
Waldaist	406/1211	Pfahnmühle	Laufkraftwerk	Flusskraftwerk	Laufbetrieb	Sedimente (Klasse 5)	hoch (Klasse 2)
Feldaist	406/1262	Klausmühle	Laufkraftwerk	Ausleitungskraftwerk	Laufbetrieb	Grobkongranit und -gneis (Klasse 2)	hoch (Klasse 2)
Waldaist	406/1316	Pfartmühle	Laufkraftwerk	Flusskraftwerk	Laufbetrieb	Grobkongranit und -gneis (Klasse 2)	hoch (Klasse 2)
Waldaist	406/1325	Nothmühle	Laufkraftwerk	Flusskraftwerk	Laufbetrieb	Sedimente (Klasse 5)	hoch (Klasse 2)
Aist	406/1333	Pappenfabrik Merckens	Laufkraftwerk	Ausleitungskraftwerk	Laufbetrieb	Sedimente (Klasse 5)	hoch (Klasse 2)
Stampfenbach	406/1339	Hammermühle	Laufkraftwerk	Flusskraftwerk	Laufbetrieb	Grobkongranit und -gneis (Klasse 2)	hoch (Klasse 2)
Waldaist	406/1385	Oberhammer	Laufkraftwerk	Ausleitungskraftwerk	Laufbetrieb	Grobkongranit und -gneis (Klasse 2)	hoch (Klasse 2)
Weißer Aist	406/1403	Jordanmühle	Laufkraftwerk	Ausleitungskraftwerk	Laufbetrieb	Sedimente (Klasse 5)	hoch (Klasse 2)
Feldaist	406/1569	E-Werk Grub	Laufkraftwerk	Ausleitungskraftwerk	Laufbetrieb	Sedimente (Klasse 5)	hoch (Klasse 2)
Feldaist	406/2302	Ledermühle Pregarten	Laufkraftwerk	Flusskraftwerk	Laufbetrieb	Grobkongranit und -gneis (Klasse 2)	hoch (Klasse 2)
Feldaist	406/2370	2. Hammer im Thurntal	Laufkraftwerk	Ausleitungskraftwerk	Schwellbetrieb	Sonstige Magmatite (Klasse 3)	gering (Klasse 1)
Waldaist	406/2748	Fürholzer Ulmerthalmühle	Laufkraftwerk	Ausleitungskraftwerk	k. A.	Grobkongranit und -gneis (Klasse 2)	hoch (Klasse 2)
Feistritzbach	406/2778	Fehrmühle	Laufkraftwerk	Ausleitungskraftwerk	Laufbetrieb	Sonstige Magmatite (Klasse 3)	gering (Klasse 1)
Aist	411/0081	Merckens III Drahtzug	Laufkraftwerk	Ausleitungskraftwerk	Laufbetrieb	Sedimente (Klasse 5)	hoch (Klasse 2)
Aist	411/0082	Merckens IV Grabenmühle	Laufkraftwerk	Ausleitungskraftwerk	Laufbetrieb	Sedimente (Klasse 5)	hoch (Klasse 2)
Aist	411/0084	Dimeder E-Werk im Josefstal	Laufkraftwerk	Flusskraftwerk	Laufbetrieb	Sedimente (Klasse 5)	hoch (Klasse 2)
Aist	411/0085	Fries Ehrbruckmühle	Laufkraftwerk	Flusskraftwerk	Laufbetrieb	Sedimente (Klasse 5)	hoch (Klasse 2)
Aist	411/0086	Gschirmühle	Laufkraftwerk	Ausleitungskraftwerk	Laufbetrieb	Sedimente (Klasse 5)	hoch (Klasse 2)
Aist	411/0464	Hödlmayr E-Werk	Laufkraftwerk	Flusskraftwerk	Laufbetrieb	Sedimente (Klasse 5)	hoch (Klasse 2)

Tabelle 11: Probenahmestellen Aist.

Name	Geologische Klasse	Versandungsneigung
A 01	Grobkongranit und -gneis (Klasse 2)	hoch (Klasse 2)
A 02	Sonstige Magmatite (Klasse 3)	gering (Klasse 1)
A 03	Sedimente (Klasse 5)	hoch (Klasse 2)
A 04	Sedimente (Klasse 5)	hoch (Klasse 2)
A 05	Sonstige Magmatite (Klasse 3)	gering (Klasse 1)
A 06	Sedimente (Klasse 5)	hoch (Klasse 2)
A 07	Sedimente (Klasse 5)	hoch (Klasse 2)
A 08	Sedimente (Klasse 5)	hoch (Klasse 2)
A 09	Sedimente (Klasse 5)	hoch (Klasse 2)
A 10	Sedimente (Klasse 5)	hoch (Klasse 2)
A 11	Sedimente (Klasse 5)	hoch (Klasse 2)
A 12	Sedimente (Klasse 5)	hoch (Klasse 2)
A 13	Grobkongranit und -gneis (Klasse 2)	hoch (Klasse 2)
A 14	Sedimente (Klasse 5)	hoch (Klasse 2)
A 15	Grobkongranit und -gneis (Klasse 2)	hoch (Klasse 2)
A 16	Sedimente (Klasse 5)	hoch (Klasse 2)
A 17	Sedimente (Klasse 5)	hoch (Klasse 2)
A 18	Sedimente (Klasse 5)	hoch (Klasse 2)
A 19	Sedimente (Klasse 5)	hoch (Klasse 2)
A 20	Sedimente (Klasse 5)	hoch (Klasse 2)
A 22	Sedimente (Klasse 5)	hoch (Klasse 2)
A 23	Sedimente (Klasse 5)	hoch (Klasse 2)
MB 01	Grobkongranit und -gneis (Klasse 2)	hoch (Klasse 2)
MB 02	Grobkongranit und -gneis (Klasse 2)	hoch (Klasse 2)
WA 01	Sedimente (Klasse 5)	hoch (Klasse 2)
WA 02	Sedimente (Klasse 5)	hoch (Klasse 2)
WA 03	Sedimente (Klasse 5)	hoch (Klasse 2)
WA 04	Sedimente (Klasse 5)	hoch (Klasse 2)
WA 05	Grobkongranit und -gneis (Klasse 2)	hoch (Klasse 2)
WA 06	Sedimente (Klasse 5)	hoch (Klasse 2)
WA 07	Sedimente (Klasse 5)	hoch (Klasse 2)
WA 08	Sedimente (Klasse 5)	hoch (Klasse 2)
WA 09	Grobkongranit und -gneis (Klasse 2)	hoch (Klasse 2)
WA 10	Grobkongranit und -gneis (Klasse 2)	hoch (Klasse 2)
WA 11	Grobkongranit und -gneis (Klasse 2)	hoch (Klasse 2)
WA 12	Grobkongranit und -gneis (Klasse 2)	hoch (Klasse 2)
WA 13	Sedimente (Klasse 5)	hoch (Klasse 2)
WA 14	Grobkongranit und -gneis (Klasse 2)	hoch (Klasse 2)
WA 16	Grobkongranit und -gneis (Klasse 2)	hoch (Klasse 2)
WA 17	Grobkongranit und -gneis (Klasse 2)	hoch (Klasse 2)
WA 18	Feinkongranit (Klasse 1)	gering (Klasse 1)
WEA 01	Sedimente (Klasse 5)	hoch (Klasse 2)
WEA 02	Feinkongranit (Klasse 1)	gering (Klasse 1)
WEA 03	Sedimente (Klasse 5)	hoch (Klasse 2)

8. Naarn

Tabelle 12: Wasserkraftwerke Naarn.

Gewässer	WB-ID	Name Wasserkraftwerk	Kraftwerkstyp	Lage Krafthaus	Betriebsweise	Geologische Klasse	Versandungsneigung
Klammlaitenbach	406/1062	Klammlaiten	Laufkraftwerk	Ausleitungskraftwerk	Laufbetrieb	Grobkomgranit und -gneis (Klasse 2)	hoch (Klasse 2)
Naarn	406/1084	Pierbach E-Werk	Laufkraftwerk	Ausleitungskraftwerk	Laufbetrieb	Grobkomgranit und -gneis (Klasse 2)	hoch (Klasse 2)
Kleine Naarn	406/1158	Hammerschmiede Landshut	Laufkraftwerk	Ausleitungskraftwerk	Laufbetrieb	Grobkomgranit und -gneis (Klasse 2)	hoch (Klasse 2)
Klammlaitenbach	406/1165	Dießmühle	Laufkraftwerk	Flusskraftwerk	Laufbetrieb	Grobkomgranit und -gneis (Klasse 2)	hoch (Klasse 2)
Kleine Naarn	406/1182	Fichtmühle	Laufkraftwerk	Ausleitungskraftwerk	Laufbetrieb	Sedimente (Klasse 5)	hoch (Klasse 2)
Naarn	406/1241	Raabmühle	Laufkraftwerk	Flusskraftwerk	Laufbetrieb	Metamorphite (Klasse 4)	gering (Klasse 1)
Kleine Naarn	406/1292	Steinbruckmühle	Laufkraftwerk	Ausleitungskraftwerk	Laufbetrieb	Sedimente (Klasse 5)	hoch (Klasse 2)
Naarn	406/1295	Fragner (ehern. Fühhammer Schmiede)	Laufkraftwerk	Flusskraftwerk	Laufbetrieb	Grobkomgranit und -gneis (Klasse 2)	hoch (Klasse 2)
Nußbach	406/1400	Greißsäge	Laufkraftwerk	Ausleitungskraftwerk	Laufbetrieb	Grobkomgranit und -gneis (Klasse 2)	hoch (Klasse 2)
Klammlaitenbach	406/1420	Jungwirth (ehemals Rieghammer)	Laufkraftwerk	Ausleitungskraftwerk	Laufbetrieb	Sedimente (Klasse 5)	hoch (Klasse 2)
Kleine Naarn	406/1421	Grubmühle Schönau	Laufkraftwerk	Flusskraftwerk	Laufbetrieb	Sedimente (Klasse 5)	hoch (Klasse 2)
Kleine Naarn	406/1432	Benckendorff Haindmühle	Laufkraftwerk	Flusskraftwerk	Laufbetrieb	Grobkomgranit und -gneis (Klasse 2)	hoch (Klasse 2)
Kleine Naarn	406/1895	Luftensteiner Leopold und Angela	Laufkraftwerk	Flusskraftwerk	Laufbetrieb	Grobkomgranit und -gneis (Klasse 2)	hoch (Klasse 2)
Schwarzaubach	406/2147	Schwarzaubach	Laufkraftwerk	Ausleitungskraftwerk	Laufbetrieb	Sedimente (Klasse 5)	hoch (Klasse 2)
k.A.	406/2847	Palmetshofer Stefan und Gudrun	Laufkraftwerk	k.A.	k.A.	Grobkomgranit und -gneis (Klasse 2)	hoch (Klasse 2)
Naarn	411/0149	Rabentischmühle	Laufkraftwerk	Ausleitungskraftwerk	Laufbetrieb	Grobkomgranit und -gneis (Klasse 2)	hoch (Klasse 2)
Naarn	411/0166	Blauensteiner mühle	Laufkraftwerk	Flusskraftwerk	Laufbetrieb	Sedimente (Klasse 5)	hoch (Klasse 2)
Nußbach	411/0384	Prandstätter	Laufkraftwerk	Ausleitungskraftwerk	Laufbetrieb	Grobkomgranit und -gneis (Klasse 2)	hoch (Klasse 2)
Naarn	411/0647	Schartmühle (Kraftwerk III)	Laufkraftwerk	Ausleitungskraftwerk	Laufbetrieb	Grobkomgranit und -gneis (Klasse 2)	hoch (Klasse 2)
Naarn	411/0715	Toitschnmühle	Laufkraftwerk	Ausleitungskraftwerk	Laufbetrieb	Grobkomgranit und -gneis (Klasse 2)	hoch (Klasse 2)
Naarn	411/1102	Überwachs Kraftwerk I	Laufkraftwerk	Ausleitungskraftwerk	Laufbetrieb	Grobkomgranit und -gneis (Klasse 2)	hoch (Klasse 2)
Naarn	411/1134	Leitnermühle	Laufkraftwerk	Flusskraftwerk	Laufbetrieb	Sedimente (Klasse 5)	hoch (Klasse 2)
Naarn	411/1152	Aschermühle	Laufkraftwerk	Flusskraftwerk	Laufbetrieb	Grobkomgranit und -gneis (Klasse 2)	hoch (Klasse 2)
Naarn	411/1288	Poschacher	Laufkraftwerk	Ausleitungskraftwerk	Laufbetrieb	Feinkomgranit (Klasse 1)	gering (Klasse 1)

Tabelle 13: Probenahmestellen Naarn.

Name	Geologische Klasse	Versandungsneigung
N01	Sedimente (Klasse 5)	hoch (Klasse 2)
N02	kA (Klasse 6)	kA (Klasse 4)
N03	Sedimente (Klasse 5)	hoch (Klasse 2)
N04	Sedimente (Klasse 5)	hoch (Klasse 2)
N05	Feinkomgranit (Klasse 1)	gering (Klasse 1)
N06	Grobkomgranit und -gneis (Klasse 2)	hoch (Klasse 2)
N07	Grobkomgranit und -gneis (Klasse 2)	hoch (Klasse 2)
N08	Grobkomgranit und -gneis (Klasse 2)	hoch (Klasse 2)
N09	Grobkomgranit und -gneis (Klasse 2)	hoch (Klasse 2)
N10	Sedimente (Klasse 5)	hoch (Klasse 2)
N11	Sedimente (Klasse 5)	hoch (Klasse 2)
N12	Sedimente (Klasse 5)	hoch (Klasse 2)
N13	Sedimente (Klasse 5)	hoch (Klasse 2)
N14	Sedimente (Klasse 5)	hoch (Klasse 2)
N15	Sedimente (Klasse 5)	hoch (Klasse 2)
N16	Grobkomgranit und -gneis (Klasse 2)	hoch (Klasse 2)
N17	Sedimente (Klasse 5)	hoch (Klasse 2)
N18	Sedimente (Klasse 5)	hoch (Klasse 2)
N19	Sedimente (Klasse 5)	hoch (Klasse 2)
N20	Grobkomgranit und -gneis (Klasse 2)	hoch (Klasse 2)
N21	Sedimente (Klasse 5)	hoch (Klasse 2)

9. Erlau

Anm.: keine geologischen Daten verfügbar

ANHANG

Teil 8 – Aufnahmebogen „Hydromorphologie und Feststoffhaushalt“

Teil 8

Aufnahmebogen „Hydromorphologie und Feststoffhaushalt“

Allgemeine Gewässerdaten

Gewässername:	Abschnitt:	Datum/Uhrzeit:	Bearbeiter:
Ortsangabe:		Witterung:	
GPS Beginn:		GPS Ende:	

Es werden weitgehend homogene Abschnitte aufgenommen. Ein neuer Abschnitt beginnt wo sich wesentliche Änderungen hinsichtlich Gefälle, anthropogenen Einflüssen (hydrologische Änderungen, Änderungen der Verbauungssituation usw.) sowie anderer natürlicher gewässermorphologischer Parameter ergeben.

Gerinnegeometrie und Abfluss:

Morphologischer Flusstyp:	<input type="checkbox"/> Flachbett-Typ <input type="checkbox"/> anthropogener Flachbett-Typ <input type="checkbox"/> Kolk-Furt-Typ <input type="checkbox"/> Kaskaden-Typ <input type="checkbox"/>		
Benetzte Breite: m	Abflusssituation aktuell:	<input type="checkbox"/> keine Abfluss - künstlich bedingt	
Gewässerbettbreite: m	Abflusssituation vor der Aufnahme:	<input type="checkbox"/> keine Abfluss - natürlich	
Maximale Gewässertiefe: m	Durchschnittliche Gewässertiefe: m		

Hydrologie und Gewässerverlauf:

Hydrologie:	<input type="checkbox"/> freie Fließstrecke <input type="checkbox"/> Restwasserstrecke <input type="checkbox"/> Stau <input type="checkbox"/> Schwall <input type="checkbox"/> Ausleitungskanal <input type="checkbox"/>		
<input type="checkbox"/> 1 gestreckt: Gerinne, die nur geringe Flussentwicklung aufweisen. Oft ist die Gerinneform durch Taleinengung und hohes Gefälle bedingt. Richtungsänderungen sind scharf.			
<input type="checkbox"/> 2 furkierend/verzweigt: Aufzweigung in zahlreiche Nebenarme und Seitengerinne, bedingt durch hohen Geschiebetrieb in Verbindung mit mittlerem bis hohem Gefälle. Es bestehen keine eindeutig festgelegten Ufer, häufig wird der gesamte Talboden eingenommen.			
<input type="checkbox"/> 3 gewunden: Übergangstyp zwischen Furkation und Mäander. Der Flusslauf zeigt bereits Mäanderbögen, lokal sind aber immer wieder Flussbettaufweitungen mit Aufzweigungen oder Inselbildungen vorhanden.			
<input type="checkbox"/> 4 pendelnd: Im Talboden besteht Raum für pendelndes Abweichen des Flusses von der Tallinie unter Ausbildung von prall- und gleituferrähnlichen Situationen.			
<input type="checkbox"/> 5 mäandrierend: Freier Mäander entwickelt sich in eigener Alluvion.			
<input type="checkbox"/> 6 anthropogen bedingt gestreckt: Gewässer weist aufgrund menschlicher Überprägung einen unnatürlich gestreckten Verlauf auf, vereinzelte pendelnde Tendenzen.			
<input type="checkbox"/> 7 anthropogen bedingter Mühlbachcharakter: größtenteils unverbaute aber begradigte Ufer; evtl. Sicherung durch Baumreihen; relativ konstante Verhältnisse.			
<input type="checkbox"/> 8 durch Einstau gänzlich überprägt: Durch einen massiven Rückstau ist der Gewässertyp gänzlich überprägt bzw. nicht mehr erkennbar.			
<input type="checkbox"/> 9 Verrohrung: Gewässerverlauf durch Verrohrung komplett überprägt.			
<input type="checkbox"/> 10 anthropogen bedingt pendelnd: Gewässer weist aufgrund menschlicher Überprägung einen unnatürlich Verlauf auf, trotzdem zumindest noch pendelnd.			

Morphologie laut Leitfaden des BMLFUW und QZV:

Uferdynamik	1	Dynamik uneingeschränkt möglich, nur vereinzelte punktuelle Sicherungen an Prallufem oder Uferanbrüchen	<input type="checkbox"/>
	2	Dynamik stellenweise eingeschränkt Ufer immer wieder über kurze Strecken verbaut (lokale Sicherungen)	<input type="checkbox"/>
	3	Dynamik nur stellenweise möglich; Systematisch regulierte Gewässer mit fast durchgehend anthropogen überformt/verbauten Uferlinien und nur von kurzen unverbauten Abschnitten unterbrochen	<input type="checkbox"/>
	4	Uferlinien sind durchgehend anthropogen überformt/verbaut	<input type="checkbox"/>
	5	das Gewässer ist verrohrt oder liegt in einem geschlossenem Kastenprofil	<input type="checkbox"/>
Sohldynamik	1	Sohldynamik uneingeschränkt möglich, keine oder nur vereinzelte Maßnahmen zur Sohlstabilisierung (z.B. bei Brückensicherungen, Sohlwellen); Befindet sich in oder oberhalb des Abschnittes eine Geschiebesperre mit der Funktion des Geschieberückhaltes, so ist in diesem Fall im Einflussbereich des Bauwerkes in Klasse 2 einzustufen.	<input type="checkbox"/>
	2	Sohldynamik stellenweise eingeschränkt; Wiederholt Maßnahmen zur Sohlstabilisierung (z.B. Sohlwellen), zwischen den Bauwerken jedoch offenes Substrat und Dynamik möglich; Abschnitt, der zwar selbst unverbaut ist, jedoch durch eine oberhalb liegende Geschiebesperre beeinträchtigt ist	<input type="checkbox"/>
	3	Sohldynamik eingeschränkt durch lokale Sohlstabilisierungen bzw. Sicherungen (z.B. Sohlpflasterungen, Querbauwerke), zwischen den Bauwerken jedoch offenes Substrat vorhanden; Korngrößenverteilung des Sohlsubstrats aufgrund Verschlämmung deutlich verändert	<input type="checkbox"/>
	4	Sohldynamik durchgehend unterbunden nur vereinzelt Stellen mit offener Sohle, Änderung des Sohlsubstrats durch vollständige Sohlumgestaltung (z.B. überwiegend Sohlpflasterung, dichte Abfolge von Querbauwerken)	<input type="checkbox"/>
	5	das Gewässer ist verrohrt oder liegt in geschlossenem Kastenprofil	<input type="checkbox"/>

Generelle Substratverhältnisse

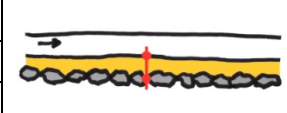
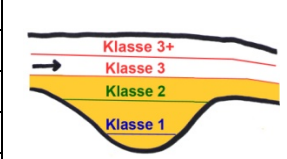

Substrat (Flächenanteile):

Megalithal (> 40 cm, „Große Steine, Blöcke, anstehender Fels) _____ %	Feinsediment- Thematik Sand- Thematik	Substratmobilität:																								
Makrolithal (20 - 40 cm; Grobes Blockwerk, kopfgroße Steine) _____ %		<input type="checkbox"/> leichte Kolmatierung <input type="checkbox"/> natürlich																								
Mesolithal (6,3 – 20 cm; faust- bis handgroße Steine) _____ %		<input type="checkbox"/> starke Kolmatierung <input type="checkbox"/> mobile Sande																								
Mikrolithal (2 – 6,3 cm; Grobkies; taubenei- bis kinderfaustgroß) _____ %		<table border="1" style="margin: auto; border-collapse: collapse;"> <thead> <tr> <th colspan="2">Korngrößenklassen</th> </tr> <tr> <th>Bezeichnung</th> <th>Korndurchmesser</th> </tr> </thead> <tbody> <tr> <td>Blöcke</td> <td>> 20 cm</td> </tr> <tr> <td>Steine</td> <td>6,3 - 20 cm</td> </tr> <tr> <td>Grobkies</td> <td>2 - 6,3 cm</td> </tr> <tr> <td>Mittelkies</td> <td>6,3 - 20 mm</td> </tr> <tr> <td>Feinkies</td> <td>2,0 - 6,3 mm</td> </tr> <tr> <td>Grobsand</td> <td>0,63 - 2 mm</td> </tr> <tr> <td>Mittelsand</td> <td>0,2 - 0,63 mm</td> </tr> <tr> <td>Feinsand</td> <td>0,063 - 0,2 mm</td> </tr> <tr> <td>Schluff</td> <td>0,002 - 0,063 mm</td> </tr> <tr> <td>Ton</td> <td>< 0,002 mm</td> </tr> </tbody> </table>	Korngrößenklassen		Bezeichnung	Korndurchmesser	Blöcke	> 20 cm	Steine	6,3 - 20 cm	Grobkies	2 - 6,3 cm	Mittelkies	6,3 - 20 mm	Feinkies	2,0 - 6,3 mm	Grobsand	0,63 - 2 mm	Mittelsand	0,2 - 0,63 mm	Feinsand	0,063 - 0,2 mm	Schluff	0,002 - 0,063 mm	Ton	< 0,002 mm
Korngrößenklassen																										
Bezeichnung		Korndurchmesser																								
Blöcke		> 20 cm																								
Steine	6,3 - 20 cm																									
Grobkies	2 - 6,3 cm																									
Mittelkies	6,3 - 20 mm																									
Feinkies	2,0 - 6,3 mm																									
Grobsand	0,63 - 2 mm																									
Mittelsand	0,2 - 0,63 mm																									
Feinsand	0,063 - 0,2 mm																									
Schluff	0,002 - 0,063 mm																									
Ton	< 0,002 mm																									
Akal (0,2 – 2 cm; Fein- bis Mittelkies) _____ %																										
Psammal (0,063 – 0,2 cm; Sand) _____ %																										
Pelal (< 0,063 cm; Feinschluff, Ton)* _____ %																										
*Einteilung von Ton, Schluff, Sand, Kies nach Udden & Wentworth																										

Modul Feinsediment - Anwendung in allen Gewässern möglich

Feinsedimentanteil (Fraktion < 2 mm Korngröße):
<input type="checkbox"/> nicht vorhanden
<input type="checkbox"/> nur in strömungsberuhigten Bereichen natürliche Ablagerungen
<input type="checkbox"/> über kleinere Bereiche im Bachbett Feinsedimentablagerung
<input type="checkbox"/> über größere Bereiche im Bachbett Feinsedimentablagerung
<input type="checkbox"/> dünner, flächiger Überzug über dem noch ersichtlichen Grobsediment
<input type="checkbox"/> dicker, flächiger Überzug über dem noch ersichtlichen Grobsediment
<input type="checkbox"/> flächige Auflage über die gesamte Sohle - nur bei steileren Passagen Grobsediment ersichtlich
<input type="checkbox"/> gesamte Sohle besteht nur aus Feinsediment
Zusätzlich: <input type="checkbox"/> Verfüllung des Kieslückenraums <input type="checkbox"/> Algenbewuchs des Sediments <input type="checkbox"/> spürbare Kolmatierung der Sohle <input type="checkbox"/> Trübung

Modul Sand - Anwendung im Kristallin der Böhmisches Masse

Flachbett- Typ	<input type="checkbox"/> Klasse 0	natürliche Substratzusammensetzung	
	<input type="checkbox"/> Klasse 1	Grobsediment ersichtlich, dazwischen kleinflächigere Sandablagerungen	
	<input type="checkbox"/> Klasse 2	tlw. flächige Überdeckung natürlichen Substrats mit Sand	
	<input type="checkbox"/> Klasse 3	gänzliche Überdeckung der Sohlsubstrates	
	<input type="checkbox"/> Klasse 3+	beinahe flächendeckende Sandablagerung, die auch bei NQ in Bewegung sind	
Furt-Kolk-Typ	<input type="checkbox"/> Klasse 0	natürliche Substratverteilung / kleinere Sandablagerungen in den Kolken	
	<input type="checkbox"/> Klasse 1	Kolke schon weiter aufgefüllt, kleinflächiger unnatürliche Sandablagerungen	
	<input type="checkbox"/> Klasse 2	Kolke sind mit Sand aufgefüllt	
	<input type="checkbox"/> Klasse 3	gänzliche Überdeckung der Kolk-Furt Struktur	
	<input type="checkbox"/> Klasse 3+	beinahe flächendeckende Sandablagerung, die auch bei NQ in Bewegung sind	
Kaskaden in Steilstufen	<input type="checkbox"/> Klasse 0	natürliche Substratzusammensetzung	
	<input type="checkbox"/> Klasse 1	Geringfügig unnatürliche Sandablagerungen	
	<input type="checkbox"/> Klasse 2	Sandablagerungen in den ruhigeren Bereichen in steilen Gewässerabschnitten	
	<input type="checkbox"/> Klasse 3	Massive Sandablagerungen zwischen dem groben Geschiebe	

Erosions-, Eintrags- und Sedimentationsfaktoren

Potential Ufererosion:

Ufererosion:	
Uferabbrüche:	<input type="checkbox"/> keine <input type="checkbox"/> vereinzelt <input type="checkbox"/> großflächig
Potential:	<input type="checkbox"/> mobilisierbar (keine Uferbefestigung bis Mittelwasser, keine Vegetation) <input type="checkbox"/> eingeschränkt mobilisierbar (natürliche Befestigung durch Bewuchs) <input type="checkbox"/> Außenbögen gesichert, Innenbögen mobilisierbar <input type="checkbox"/> nicht mobilisierbar (reguliert durch Uferbefestigung bis bordvoller Abflusshöhe bzw. natürliche Uferbefestigung durch anstehenden Fels)

Uferstruktur:	
Uferschutzstreifen	<input type="checkbox"/> gut funktionierender Uferschutzstreifen (direkte Einschwemmung aus dem Umland wird verhindert)
Ufervegetation:	<input type="checkbox"/> eingeschränkter Uferschutzstreifen (z.B. keine standorttyp. Vegetation, geringe Bestockungsdichte, Rodung, Lichtung...) <input type="checkbox"/> sehr geringer Uferschutzstreifen / nicht vorhanden

Potential künstliche Vorfluter (Drainagen):

GPS-Koordinaten	Form	Situierung	Materialeintrag	Korngrößen des Materialeintrags (Choriotope)	Anmerkungen
	<input type="checkbox"/> geschlossen <input type="checkbox"/> offen	<input type="checkbox"/> rechtsufrig <input type="checkbox"/> linksufrig	<input type="checkbox"/> bedeutend <input type="checkbox"/> unbedeutend <input type="checkbox"/> nicht feststellbar		
	<input type="checkbox"/> geschlossen <input type="checkbox"/> offen	<input type="checkbox"/> rechtsufrig <input type="checkbox"/> linksufrig	<input type="checkbox"/> bedeutend <input type="checkbox"/> unbedeutend <input type="checkbox"/> nicht feststellbar		
	<input type="checkbox"/> geschlossen <input type="checkbox"/> offen	<input type="checkbox"/> rechtsufrig <input type="checkbox"/> linksufrig	<input type="checkbox"/> bedeutend <input type="checkbox"/> unbedeutend <input type="checkbox"/> nicht feststellbar		
	<input type="checkbox"/> geschlossen <input type="checkbox"/> offen	<input type="checkbox"/> rechtsufrig <input type="checkbox"/> linksufrig	<input type="checkbox"/> bedeutend <input type="checkbox"/> unbedeutend <input type="checkbox"/> nicht feststellbar		
	<input type="checkbox"/> geschlossen <input type="checkbox"/> offen	<input type="checkbox"/> rechtsufrig <input type="checkbox"/> linksufrig	<input type="checkbox"/> bedeutend <input type="checkbox"/> unbedeutend <input type="checkbox"/> nicht feststellbar		
	<input type="checkbox"/> geschlossen <input type="checkbox"/> offen	<input type="checkbox"/> rechtsufrig <input type="checkbox"/> linksufrig	<input type="checkbox"/> bedeutend <input type="checkbox"/> unbedeutend <input type="checkbox"/> nicht feststellbar		

Potential natürliche Gewässer (Zubringerbäche, nat. Erosionsgräben):

GPS-Koordinaten	Form	Situierung	Materialeintrag	Korngrößen des Materialeintrags (Choriotope)	Schwemmkegel
	<input type="checkbox"/> geschlossen <input type="checkbox"/> offen	<input type="checkbox"/> rechtsufrig <input type="checkbox"/> linksufrig	<input type="checkbox"/> bedeutend <input type="checkbox"/> unbedeutend <input type="checkbox"/> nicht feststellbar		m ³
	<input type="checkbox"/> geschlossen <input type="checkbox"/> offen	<input type="checkbox"/> rechtsufrig <input type="checkbox"/> linksufrig	<input type="checkbox"/> bedeutend <input type="checkbox"/> unbedeutend <input type="checkbox"/> nicht feststellbar		m ³
	<input type="checkbox"/> geschlossen <input type="checkbox"/> offen	<input type="checkbox"/> rechtsufrig <input type="checkbox"/> linksufrig	<input type="checkbox"/> bedeutend <input type="checkbox"/> unbedeutend <input type="checkbox"/> nicht feststellbar		m ³
	<input type="checkbox"/> geschlossen <input type="checkbox"/> offen	<input type="checkbox"/> rechtsufrig <input type="checkbox"/> linksufrig	<input type="checkbox"/> bedeutend <input type="checkbox"/> unbedeutend <input type="checkbox"/> nicht feststellbar		m ³
	<input type="checkbox"/> geschlossen <input type="checkbox"/> offen	<input type="checkbox"/> rechtsufrig <input type="checkbox"/> linksufrig	<input type="checkbox"/> bedeutend <input type="checkbox"/> unbedeutend <input type="checkbox"/> nicht feststellbar		m ³
	<input type="checkbox"/> geschlossen <input type="checkbox"/> offen	<input type="checkbox"/> rechtsufrig <input type="checkbox"/> linksufrig	<input type="checkbox"/> bedeutend <input type="checkbox"/> unbedeutend <input type="checkbox"/> nicht feststellbar		m ³

Potential Sohlerosion:

<input type="checkbox"/> gepflastert (mit Wasserbausteinen) <input type="checkbox"/> natürlich stabil (Steilstufen) <input type="checkbox"/> abgeplasterte Sohle (Flachbett-Typ) <input type="checkbox"/> künstlich stabil (durch Sohlgurte, Querbauwerk, etc.) <input type="checkbox"/> Umlagerung <input type="checkbox"/> Auflandung <input type="checkbox"/> Erosion / Eintiefung <input type="checkbox"/> nicht feststellbar	Anmerkungen:
--	---------------------

Potential Verminderung des Abflussquerschnitts durch Ablagerung von Sedimenten:

GPS-Koordinaten	Situierung	Höhe [m]	Anteil [%] bezogen auf die Gewässerbreite	Anteil [%] Vegetation auf den Anlandungsbereich	Hochwassergefahr durch Auflandung
von bis	<input type="checkbox"/> rechtsufrig <input type="checkbox"/> linksufrig <input type="checkbox"/> mittig				<input type="checkbox"/>
von bis	<input type="checkbox"/> rechtsufrig <input type="checkbox"/> linksufrig <input type="checkbox"/> mittig				<input type="checkbox"/>
von bis	<input type="checkbox"/> rechtsufrig <input type="checkbox"/> linksufrig <input type="checkbox"/> mittig				<input type="checkbox"/>
von bis	<input type="checkbox"/> rechtsufrig <input type="checkbox"/> linksufrig <input type="checkbox"/> mittig				<input type="checkbox"/>

Potential Querbauwerke - Querbarrieren:

GPS-Koordinaten	Überfallshöhe [m]	natürlich	Passierbarkeit*	Länge Rückstau [m]	Breite Rückstau [m]	Materialdepot Abschätzung [m ³]	Bedienbare Öffnung / Schützentafeln etc.	Anmerkungen / Funktion
		<input type="checkbox"/>						
		<input type="checkbox"/>						
		<input type="checkbox"/>						
		<input type="checkbox"/>						
		<input type="checkbox"/>						
		<input type="checkbox"/>						
		<input type="checkbox"/>						

*Passierbarkeit (für Fische flussauf und flussab): 1...passierbar, 2...eingeschränkt passierbar, 3...weitgehend unpassierbar, 4...unpassierbar

Modul Gewässerökologie und Sediment:

Vegetation:

Totholz:	<input type="checkbox"/> keines <input type="checkbox"/> vereinzelt <input type="checkbox"/> mäßig <input type="checkbox"/> viel vorhanden
Uferbewuchs und ins Wasser tauchende Vegetation:	<input type="checkbox"/> keines <input type="checkbox"/> vereinzelt <input type="checkbox"/> mäßig <input type="checkbox"/> viel vorhanden
Submerse Vegetation:	<input type="checkbox"/> keines <input type="checkbox"/> vereinzelt <input type="checkbox"/> mäßig <input type="checkbox"/> viel vorhanden zusätzlich: <input type="checkbox"/> submerse Vegetation stabilisiert das Sediment

Laichplätze:

Bedingungen Salmonidenlaichplatz (Pulg et al., 2011): Fließgeschwindigkeit: 0,3 - 1 m/s; Wassertiefe: 0,1 - 0,6 m; Dominierende Korngröße: 18 - 23 mm; Feinsedimentanteil < 6%

Potentiell geeignete Bereiche für Kieslaicher:	<input type="checkbox"/> keine vorhanden <input type="checkbox"/> wenige vorhanden <input type="checkbox"/> mäßig vorhanden <input type="checkbox"/> viele vorhanden
---	---

Eindeutig erkennbare potentielle Laichplätze für Kieslaicher:

GPS-Koordinaten:	Ungefähr Breite x Länge	Korngröße des Sediments (Choriotope)	Anmerkungen / Gefährdungen
von bis			
von bis			
von bis			

Modul konkrete Ursachen und Umsetzung:

Konkrete Ursachen für die Sandbelastung:

GPS-Koordinaten	Gefährdung	Anmerkungen (Foto-Nr., etc)

Konkrete Ansatzpunkte Maßnahmen:

GPS-Koordinaten	Gefährdung	Maßnahmentyp	Priorität	Anmerkungen (Foto-Nr., etc)
			<input type="checkbox"/> sehr hoch <input type="checkbox"/> hoch <input type="checkbox"/> mäßig	
			<input type="checkbox"/> sehr hoch <input type="checkbox"/> hoch <input type="checkbox"/> mäßig	
			<input type="checkbox"/> sehr hoch <input type="checkbox"/> hoch <input type="checkbox"/> mäßig	
			<input type="checkbox"/> sehr hoch <input type="checkbox"/> hoch <input type="checkbox"/> mäßig	
			<input type="checkbox"/> sehr hoch <input type="checkbox"/> hoch <input type="checkbox"/> mäßig	
			<input type="checkbox"/> sehr hoch <input type="checkbox"/> hoch <input type="checkbox"/> mäßig	

Anmerkungen: